



This is a digital copy of a book that was preserved for generations on library shelves before it was carefully scanned by Google as part of a project to make the world's books discoverable online.

It has survived long enough for the copyright to expire and the book to enter the public domain. A public domain book is one that was never subject to copyright or whose legal copyright term has expired. Whether a book is in the public domain may vary country to country. Public domain books are our gateways to the past, representing a wealth of history, culture and knowledge that's often difficult to discover.

Marks, notations and other marginalia present in the original volume will appear in this file - a reminder of this book's long journey from the publisher to a library and finally to you.

### Usage guidelines

Google is proud to partner with libraries to digitize public domain materials and make them widely accessible. Public domain books belong to the public and we are merely their custodians. Nevertheless, this work is expensive, so in order to keep providing this resource, we have taken steps to prevent abuse by commercial parties, including placing technical restrictions on automated querying.

We also ask that you:

- + *Make non-commercial use of the files* We designed Google Book Search for use by individuals, and we request that you use these files for personal, non-commercial purposes.
- + *Refrain from automated querying* Do not send automated queries of any sort to Google's system: If you are conducting research on machine translation, optical character recognition or other areas where access to a large amount of text is helpful, please contact us. We encourage the use of public domain materials for these purposes and may be able to help.
- + *Maintain attribution* The Google "watermark" you see on each file is essential for informing people about this project and helping them find additional materials through Google Book Search. Please do not remove it.
- + *Keep it legal* Whatever your use, remember that you are responsible for ensuring that what you are doing is legal. Do not assume that just because we believe a book is in the public domain for users in the United States, that the work is also in the public domain for users in other countries. Whether a book is still in copyright varies from country to country, and we can't offer guidance on whether any specific use of any specific book is allowed. Please do not assume that a book's appearance in Google Book Search means it can be used in any manner anywhere in the world. Copyright infringement liability can be quite severe.

### About Google Book Search

Google's mission is to organize the world's information and to make it universally accessible and useful. Google Book Search helps readers discover the world's books while helping authors and publishers reach new audiences. You can search through the full text of this book on the web at <http://books.google.com/>



## Über dieses Buch

Dies ist ein digitales Exemplar eines Buches, das seit Generationen in den Regalen der Bibliotheken aufbewahrt wurde, bevor es von Google im Rahmen eines Projekts, mit dem die Bücher dieser Welt online verfügbar gemacht werden sollen, sorgfältig gescannt wurde.

Das Buch hat das Urheberrecht überdauert und kann nun öffentlich zugänglich gemacht werden. Ein öffentlich zugängliches Buch ist ein Buch, das niemals Urheberrechten unterlag oder bei dem die Schutzfrist des Urheberrechts abgelaufen ist. Ob ein Buch öffentlich zugänglich ist, kann von Land zu Land unterschiedlich sein. Öffentlich zugängliche Bücher sind unser Tor zur Vergangenheit und stellen ein geschichtliches, kulturelles und wissenschaftliches Vermögen dar, das häufig nur schwierig zu entdecken ist.

Gebrauchsspuren, Anmerkungen und andere Randbemerkungen, die im Originalband enthalten sind, finden sich auch in dieser Datei – eine Erinnerung an die lange Reise, die das Buch vom Verleger zu einer Bibliothek und weiter zu Ihnen hinter sich gebracht hat.

## Nutzungsrichtlinien

Google ist stolz, mit Bibliotheken in partnerschaftlicher Zusammenarbeit öffentlich zugängliches Material zu digitalisieren und einer breiten Masse zugänglich zu machen. Öffentlich zugängliche Bücher gehören der Öffentlichkeit, und wir sind nur ihre Hüter. Nichtsdestotrotz ist diese Arbeit kostspielig. Um diese Ressource weiterhin zur Verfügung stellen zu können, haben wir Schritte unternommen, um den Missbrauch durch kommerzielle Parteien zu verhindern. Dazu gehören technische Einschränkungen für automatisierte Abfragen.

Wir bitten Sie um Einhaltung folgender Richtlinien:

- + *Nutzung der Dateien zu nichtkommerziellen Zwecken* Wir haben Google Buchsuche für Endanwender konzipiert und möchten, dass Sie diese Dateien nur für persönliche, nichtkommerzielle Zwecke verwenden.
- + *Keine automatisierten Abfragen* Senden Sie keine automatisierten Abfragen irgendwelcher Art an das Google-System. Wenn Sie Recherchen über maschinelle Übersetzung, optische Zeichenerkennung oder andere Bereiche durchführen, in denen der Zugang zu Text in großen Mengen nützlich ist, wenden Sie sich bitte an uns. Wir fördern die Nutzung des öffentlich zugänglichen Materials für diese Zwecke und können Ihnen unter Umständen helfen.
- + *Beibehaltung von Google-Markenelementen* Das "Wasserzeichen" von Google, das Sie in jeder Datei finden, ist wichtig zur Information über dieses Projekt und hilft den Anwendern weiteres Material über Google Buchsuche zu finden. Bitte entfernen Sie das Wasserzeichen nicht.
- + *Bewegen Sie sich innerhalb der Legalität* Unabhängig von Ihrem Verwendungszweck müssen Sie sich Ihrer Verantwortung bewusst sein, sicherzustellen, dass Ihre Nutzung legal ist. Gehen Sie nicht davon aus, dass ein Buch, das nach unserem Dafürhalten für Nutzer in den USA öffentlich zugänglich ist, auch für Nutzer in anderen Ländern öffentlich zugänglich ist. Ob ein Buch noch dem Urheberrecht unterliegt, ist von Land zu Land verschieden. Wir können keine Beratung leisten, ob eine bestimmte Nutzung eines bestimmten Buches gesetzlich zulässig ist. Gehen Sie nicht davon aus, dass das Erscheinen eines Buchs in Google Buchsuche bedeutet, dass es in jeder Form und überall auf der Welt verwendet werden kann. Eine Urheberrechtsverletzung kann schwerwiegende Folgen haben.

## Über Google Buchsuche

Das Ziel von Google besteht darin, die weltweiten Informationen zu organisieren und allgemein nutzbar und zugänglich zu machen. Google Buchsuche hilft Lesern dabei, die Bücher dieser Welt zu entdecken, und unterstützt Autoren und Verleger dabei, neue Zielgruppen zu erreichen. Den gesamten Buchtext können Sie im Internet unter <http://books.google.com> durchsuchen.

## B. G. Teubners Sammlung von Lehrbüchern auf dem Gebiete der Mathematischen Wissenschaften mit Einschluß ihrer Anwendungen.

Diese Sammlung bietet in einzelnen in sich abgeschlossenen Werken zusammenfassende Darstellungen der wichtigsten Abschnitte der mathematischen Wissenschaften und deren Anwendungen. Im einzelnen wollen diese Werke in ihrer ausführlichen, neben der rein wissenschaftlichen auch pädagogische Momente berücksichtigenden Darstellung die Möglichkeit zu selbständigem Eindringen in die Wissenschaften bieten.

Die Werke sind in sich abgeschlossen, so daß sie ohne weiteres in der Gesamtheit oder in einzelnen Theilen benutzt werden können. Sie sollen die Studierenden in der wissenschaftlichen Arbeit ein genaues Bild der mathematischen Wissenschaften und ihrer Anwendungen geben.

Bisher

P. Bachmann

X, 402 S.

E. Blaschke

statistik

H. Bruns

und A.

G. H. Bruns

with 6

n. 17

E. Czuber

gleiches

1. Band

II. —

L. E. Dickson

X, 312 S.

F. Dingeldey

Integr.

1. Teil

II. —

O. Fischer

mit 10

vorgänge

an Maschinen.

In möglichst elementarer und anschaulicher Weise dargestellt. X, 372 S. 1906. n. 14. — [Bd. XXII.]

Ph. Forchheimer, Lehrbuch der Hydraulik. 1913. [ca. 400 S.] [Bd. XXXIX.]

A. Gleichen, Lehrb. d. geometrisch. Optik. XIV, 511 S. 1902. n. 20. — [Bd. VIII.]

L. Henneberg, graphische Statik der starren Systeme. XV, 782 S. 1911. n. 24. — [Bd. XXXI.]

A. Krazer, Lehrbuch d. Thetafunktionen. XXIV, 509 S. 1903. n. 24. — [Bd. XII.]

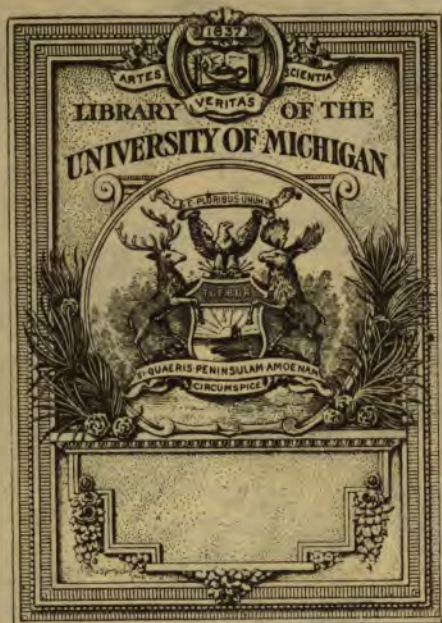
H. Lamb, Lehrbuch der Hydrodynamik. Deutsch von Jon. FÜRBERG. XVI, 787 S. 1907. n. 20. — [Bd. XXVI.]

R. von Lilienthal, Vorles. üb. Differentialgeometrie. [Bd. XXVIII, 1 u. 2.] In 2 Bd.

1. Band. Kurventheorie. VI, 363 S. 1908. n. 12. —

II. — 1. Teil: Flächentheorie. VII, 326 S. 1913. n. 13. —

H. A. Lorentz, on the Theory of Electrons and its Applications to the Phenomena of Radiation and Radiant Heat. IV, 332 S. 1909. n. 9. — (Englisch.) [Bd. XXIX.]



In usw. ver-

n. 2.] 1. Band.

n. 17. —

Lehre von den

[Bd. XXXIII.]

re. VIII, 310 S.

dealing mainly

204 S. 1907.

auf Fehlerthe-

[Bd. IX, 1 u. 2.]

Lehra. X, 410 S.

icherung. X, 470 S.

is Field theory.

Differential- und

ebenden Körper

ge Bewegungs-



11A  
552  
S196a

- G. Loria, spezielle algebraische und transzendente ebene Kurven. Theorie und Geschichte. Deutsch von Fr. Schürer. 2. Auflage. In 2 Teilen. [Bd. V, 1 u. 2.]  
I. Teil: Die algebraischen Kurven. XXVI, 488 S. 1910. n. H. 18.—  
II. — Die transzendenten Kurven. VIII, 384 S. 1911. n. H. 14.—  
— Vorlesungen über darstellende Geometrie. Deutsch v. Fr. Schürer. 2 Teile.  
[Bd. XXV, 1 u. 2.]  
I. Teil: Die Darstellungsmethoden. XI, 219 S. 1906. n. H. 6.60. Geb. M. 6.— Geb. M. 7.—  
II. — Anwendungen auf ebene Gebilde, Kurven u. Flächen. XV, 293 S. 1912. n. H. 11.—  
Geb. M. 12.—
- A. E. H. Love, Lehrbuch der Elastizität. Deutsch von A. Truesdell. XVI, 664 S. 1907. n. H. 16.— [Bd. XXIV.]
- R. Mehmke, Vorlesungen über Vektoren- und Punktrechnung. 2 Bände. 1912.  
[XXXVII.] I. Bd. Punktrechnung. 1. Teilband. VIII, 394 S. Gebunden n. H. 14.—
- E. Netto, Lehrbuch der Kombinatorik. VIII, 260 S. 1901. n. H. 9.— [Bd. VII.]
- W. F. Osgood, Lehrbuch der Funktionentheorie. In 2 Bänden. I. Band. 2. Aufl. XII, 750 S. 1912. n. H. 18.— [Bd. XX, 1.]
- E. Pascal, die Determinanten. Eine Darstellung ihrer Theorie und Anwendungen mit Rücksicht auf die Gesamtheit der neueren Forschungen. Deutsch von H. Leitzmann. XVI, 266 S. 1900. n. H. 10.— [Bd. III.]
- O. Perron, d. Lehrv. d. Kettenbrüchen. XII, 520 S. 1912. n. H. 22.— [Bd. XXXVI.]
- Fr. Pöckels, Lehrbuch der Kristalloptik. X, 519 S. 1906. n. H. 16.— [Bd. XIX.]
- D. Seliwanoff, Lehrb. d. Differenzenrechn. VI, 92 S. 1904. n. H. 4.— [Bd. XIII.]
- O. Staude, analytische Geometrie des Punktes, der geraden Linie und der Ebene. Ein Handbuch zu den Vorlesungen und Übungen über analytische Geometrie. II, 447 S. 1905. n. H. 14.— [Bd. XVI.]
- analytische Geometrie des Punktepaars, des Kegelschnittes und der Fläche II. Ordnung. In 2 Bänden. [Bd. XXX, 1 u. 2.] I. Band. X, 548 S. 1910. n. H. 22.— II. Band. IV, S. 549—1000. 1910. n. H. 18.—
- analytische Geometrie der kubischen Kegelschnitte. [ca. 200 S.] 1913. XXXVIII
- O. Stolz und J. A. Gmeiner, theoretische Arithmetik.  
I. Abteilung: Allgemeines. Die Lehre von den rationalen Zahlen. 2. Aufl. umgearb. von J. A. Gmeiner. (2. umgearb. Aufl. der Abschnitte 1—4 des I. Teiles der Vorlesungen u. allgemeine Arithmetik von O. Stolz.) [VI u. 148 S.] 1911. n. H. 6.70. [Bd. IV, 1.]  
II. — Die Lehre von den reellen und komplexen Zahlen. (2. Aufl. der Abschnitte 5—8, 10, 11 des I. und 1, 2, 5 des II. Teiles der Vorlesungen über allgemeine Arithmetik von O. Stolz.) [XI u. 8. 90—402.] 1902. n. H. 8.— [Bd. IV, 2.]
- Einleitung i. d. Funktionentheorie. 2. Aufl. X, 598 S. 1905. n. H. 15.— [Bd. XIV.]
- R. Sturm, die Lehre von den geometr. Verwandtschaften. 4 Bde. [Bd. XXVII, 1—4.]  
I. Band: Die Verwandtschaften zwischen Gebilden erster Stufe. XII, 413 S. 1908. n. H. 16.—  
II. — Die eindeutigen linearen Verwandtschaften zwischen Gebilden zweiter Stufe. VIII, 346 S. 1909. n. H. 16.—  
III. — Die eindeutigen linearen Verwandtschaften zwischen Gebilden dritter Stufe. VIII, 573 S. 1908. n. H. 20.—  
IV. — Die n-eindeutigen und die mehrdeutigen Verwandtschaften zweiter und dritter Stufe. X, 45 S. 1909. n. H. 20.—
- H. E. Timerding, Geometrie der Kräfte. X, 380 S. 1908. n. H. 16.— [Bd. I.]
- K. Th. Vahlen, Konstruktionen u. Approximationen. 1911. XII, 349 S. n. H. 12.— [Bd. XXIII.]
- W. Voigt, Lehrbuch der Kristall-Physik (mit Ausnahme der Kristall-Optik). XXIV, 964 S. 1910. n. H. 32.— [Bd. XXXIV.]
- G. Wallenberg und A. Guldberg, Theorie der linearen Differenzengleichungen. XIV, 290 S. 1911. n. H. 11.— [Bd. XXXV.]
- J. G. Wallentin, Einleitung in die theoretische Elektrizitätslehre. X, 444 S. 1904. n. H. 12.— [Bd. XV.]
- E. von Weber, Vorlesungen ab. das Pflaßsche Problem u. die Theorie der partiellen Differentialgleichungen erster Ordnung. XI, 622 S. 1900. n. H. 24.— [Bd. II.]
- A. G. Webster, the Dynamics of Particles and of rigid, elastic, and fluid Bodies, being Lectures on mathematical Physics. 2. ed. XII, 688 S. 1912. n. H. 14.— [Bd. XI.] (Eine deutsche Ausgabe von C. H. Möller befindet sich in Vorbereitung.)
- Partial Differential Equations of Mathematical Physics. (Englisch.)
- E. J. Wilczynski, projective differential Geometry of Curves and ruled Surfaces. VIII, 298 S. 1906. n. H. 10.— (Englisch.) [Bd. XVIII.]



Unter der Presse (\*) bez. in Vorbereitung:

- M. Böcher, über die reellen Lösungen der gewöhnlichen linearen Differentialgleichungen zweiter Ordnung.  
H. Broecker, Lehrbuch der Versicherungsmathematik.  
G. Castelnuovo und F. Enriques, Theorie der algebraischen Flächen.  
M. Dehn und P. Heegaard, Lehrbuch der Analysis situs.  
\* F. Dingeldey, Lehrbuch der analytischen Geometrie.  
— Kegelschnitte und Kegelschnittssysteme.  
G. Eneström (in Verbindung mit anderen Gelehrten), Handbuch der Geschichte der Mathematik.  
F. Engel, Einführung in die Theorie der Transformationsgruppen.  
F. Enriques, Prinzipien der Geometrie.  
J. Fredholm, die Integralgleichungen und ihre Anwendung auf die mathematische Physik.  
R. Fufter, komplexe Multiplikation.  
Ph. Furtwängler, die Mechanik der einfachsten physikalischen Apparate und Versuchsanordnungen.  
M. Grübler, Lehrbuch der hydraulischen Motoren.  
J. Grünwald, Abriß einer Geometrie der orientierten Linienelemente in der Ebene.  
J. Harkness, elliptische Funktionen.  
G. Herglotz, Lehrbuch der Kugel- und verwandter Funktionen.  
P. Hertz, Lehrbuch über statistische Mechanik.  
K. Heun u. v. Mises, die kinetischen Probleme der modernen Maschinenlehre.  
G. Jung, Geometrie der Massen.  
H. Lamb, Akustik.  
G. Landsberg, Vorlesungen über die Theorie der algebraischen Auflösung der Gleichungen.  
\* R. von Lilienthal, Vorlesungen über Differentialgeometrie. In 2 Bänden. II. Bd. 2. Teil.  
A. Loewy, Vorlesungen über die Theorie der linearen Substitutionsgruppen.  
H. A. Lorentz, die Elektronentheorie und ihre Anwendung auf die Erscheinungen des Lichtes und der strahlenden Wärme. Aus dem Englischen übersetzt.  
\* R. Mehmke, Vorlesungen über Vektoren- u. Punktrechnung. In 2 Bänden. I, 2. II.  
W. F. Osgood, Lehrbuch der Funktionentheorie. In 2 Bänden. II. Band.  
A. Pringsheim, Vorlesungen über Zahlen- und Funktionenlehre. In 2 Bänden.  
C. Segre, Vorlesungen über algebraische Geometrie, mit besonderer Berücksichtigung der mehrdimensionalen Räume.  
P. Stäckel, Lehrbuch der allgemeinen Dynamik.  
— Differentialgeometrie höherer Mannigfaltigkeiten.  
K. Th. Vahlen, Elemente der höheren Algebra.  
A. Voss, Prinzipien der rationalen Mechanik.  
— Abbildung und Abwicklung der krummen Flächen.  
\* A. G. Webster, Lehrbuch der Dynamik, als Einführung in die theoretische Physik. Deutsche Ausgabe von C. H. Müller. In 2 Teilen.  
A. Wiman, endliche Gruppen linearer Transformationen.  
W. Wirtinger, algebraische Funktionen und ihre Integrale.  
— partielle Differentialgleichungen.  
\* H. G. Zeuthen, die abzählenden Methoden der Geometrie.

➤ Nähere Angaben über obige Werke befinden sich in meinen „Mitteilungen“ bzw. mathematischen Katalogen, die ich zu verlangen bitte. Verlagsanerbieten für die Sammlung werden mir jederzeit willkommen sein.

Leipzig, Poststr. 3.

B. G. Teubner.

B. G. TEUBNERS SAMMLUNG VON LEHRBÜCHERN  
AUF DEM GEBIETE DER  
MATHEMATISCHEN WISSENSCHAFTEN  
MIT EINSCHLUSS IHRER ANWENDUNGEN  
BAND XXXVIII

---

# ANALYTISCHE GEOMETRIE DER KUBISCHEN KEGELSCHNITTE

VON

DR. OTTO STAUDE  
O. PROFESSOR DER MATHEMATIK  
AN DER UNIVERSITÄT ROSTOCK

MIT 58 FIGUREN IM TEXT



LEIPZIG UND BERLIN  
DRUCK UND VERLAG VON B. G. TEUBNER  
1913

**COPYRIGHT 1918 BY B. G. TEUBNER IN LEIPZIG**

**ALLE RECHTE,  
EINSCHLIESSLICH DES ÜBERSETZUNGSRECHTS, VORBEHALTEN**



97 fe 15-5-3.

## Vorwort.

Das vorliegende Buch enthält eine *unabhängige Einzeldarstellung* der Haupteigenschaften der kubischen Kegelschnitte nach analytischer Methode.<sup>1)</sup>

Es setzt keine anderen Vorkenntnisse voraus als die Lehre von den verschiedenen Koordinatensystemen<sup>2)</sup> im Raume und einige Sätze über die Flächen 2. Ordnung<sup>3)</sup>, wie sie in den meisten einführenden Werken und Vorlesungen über analytische Geometrie des Raumes dargeboten werden.

Die aus dem Inhaltsverzeichnis ersichtliche Anordnung des Stoffes mag vorweg noch mit einigen Worten näher erläutert und begründet werden.

Im I. Abschnitt wird im I. Kapitel der kub. Kegelschnitt als Durchschnitt von Kegel und Zylinder eingeführt und daraus gleichzeitig seine Darstellung durch zwei Gleichungen § 1, 2, durch einen Parameter § 1, 3 und durch Zeichnung § 1, 4 erhalten, worauf sogleich seine Einteilung in vier Arten § 2, 7 folgt. Die ursprünglichen analytischen Darstellungen werden durch Drehung des Koordinatensystems und Änderung des Parameters auf die einfachere Form § 3, 5 gebracht. Die allgemeine Raumkurve 3. O. wird in § 4, 1—4 als solche, die in jeder Ebene drei Punkte hat, erklärt und zuerst durch

---

1) Ein solches Buch dürfte wohl als ein Bedürfnis anerkannt werden, nachdem die „Einleitung in die Theorie der kub. Kegelschnitte“ von C. A. v. Drach, Leipzig bei B. G. Teubner, 1867, die sich ganz an L. Cremonas grundlegende analytische Untersuchungen angeschlossen, soeben vergriffen ist.

2) Der Vollständigkeit wegen ist an den betreffenden Stellen unter „I §.“ auf mein kleines Buch: „*Analytische Geometrie des Punktes, der geraden Linie und der Ebene*“, Leipzig 1905, verwiesen, welches seinem Zwecke gemäß das Handwerkszeug für analytisch geometrische Untersuchungen gebrauchsfertig zusammenstellt und gerade die hier erforderlichen Hilfsmittel darbietet.

3) In dieser Hinsicht ist an vereinzelten Stellen unter „II §.“ auf mein Buch: „*Analytische Geometrie des Punktepaars, des Kegelschnittes und der Fläche 2. Ordnung*“, Leipzig 1910, verwiesen, von dem jedoch das vorliegende Buch wesentlich unabhängig ist. Einige wenige Artikel mit weitergehenden Voraussetzungen sind durch kleineren Druck als überschlagbar gekennzeichnet.

a\*

Änderung des Parameters in die Gestalt § 4, 9 versetzt, sodann wird durch Änderung des Koordinatensystems die Form § 5, 4 der Parameterdarstellung herbeigeführt. In § 6, 4; 6 ergibt sich dann einerseits die Übereinstimmung der kub. Kegelschnitte und der Raumkurven 3. O., anderseits aber eine *endgültige* analytische Darstellung in *rechtwinkligen Koordinaten* § 6, 9, die weiterhin als Grundlage dient.

An sie anschließend, werden im II. Kapitel in § 7 die Schmiegungebenen und Asymptotenebenen, in § 8 die Tangenten und Asymptoten, neben den Sehnen und Achsen der Raumkurve 3. O. behandelt, auch auf die Polarentheorie und den linearen Komplex der Kurve, sowie ihren Schraubensinn hingewiesen. In § 9 werden die Sehnenkegel und Sehnenzylinder und schließlich das Bündel aller Flächen 2. O. durch die Raumkurve hergestellt, während § 10 den zu den Sehnenkegeln dualen Achsenkegelschnitten, ihrem Mittelpunktskegelschnitt und der zu dem Bündel des § 9 dualen Scharschar gewidmet ist. In § 11 werden im Anschluß an den Begriff der Scheitelpunkte der Kurve deren sonstige Scheitelelemente, vor allem die Scheiteldurchmesser, untersucht und in § 12 das für die einzelnen Arten mehr oder minder charakteristische *schiefwinklige System der Scheitelelemente* eingeführt. Wenn dieses auch das nach Cremonas Vorgang bisher gebräuchlichste ist und gegenüber dem rechtwinkligen eine weit größere Einfachheit der analytischen Formeln herbeiführt, so sind doch für die Bevorzugung des rechtwinkligen Systems abgesehen davon, daß es dem Anfänger vertrauter ist, zwei Gründe maßgebend geworden. Erstens, daß die in rechtwinkligen Koordinaten gegebenen Formeln formell die umfassenderen sind und die für die schiefwinkligen geltenden als Sonderfälle § 12, 4 einschließen; zweitens, daß sich auf die einheitliche Darstellung in rechtwinkligen Koordinaten ein in gleicher Vollständigkeit bisher nicht vorliegendes *System der analytischen Unterscheidung aller Unterarten* des kub. Kegelschnittes gründet. Ist dieser nämlich in der allgemeinen Form § 6, (14) gegeben, so findet sich in § 9, (47) die Bedingung für die gleichseitige kub. Hyperbel, in § 10, (36) die kub. Hyperbel mit Mittelpunktskreis, in § 21, (10) für die allgemeine und § 21, (14) für die spezielle gleichwinklige, in § 21, (15) für die zugleich gleichseitige und gleichwinklige kub. Hyperbel; ferner in § 10, (38) für die kub. Ellipse mit gleichseitiger Hyperbel als Mittelpunktskegelschnitt, in § 16, (4) für die kub. Ellipse mit Rotationszylinder und Rotationshyperboloid, in § 16, (16) mit nur einer Rotationsfläche, die wiederum in § 16, (21) ein Rotationskegel und in § 16, (25) ein Rotationszylinder sein kann; findet sich ferner in § 22, (53) die Bedin-

gung für die rechtwinklige kub. hyperbolische Parabel und in § 23, (39) für die kub. Parabel mit Direktrix, in § 16, (31) mit Rotationskegel.

Mit einem Teil dieser Unterarten ist schon auf das III. Kapitel übergegriffen, in welchem die *Gleichungen* der Rotationsflächen, die durch einen kub. Kegelschnitt gehen, in rechtwinkligen Koordinaten zum ersten Mal wirklich entwickelt und nach ihren verschiedenen Formen untersucht sind, bevor sie in wesentlich einfacherer Gestalt in schiefwinkligen Koordinaten in § 20, 26 und § 22, 15 wieder erscheinen.

Im IV. Kapitel werden die vier Arten der kub. Kegelschnitte im Einzelnen behandelt, zunächst wiederum in rechtwinkligen Koordinaten. Sodann aber wird für jede Art ein „natürliches“ schiefwinkliges System eingeführt, welches für sie eindeutig und charakteristisch ist und die Grundlage für die einfachste Gestaltbeschreibung bietet (s. die Figuren S. 94; 118; 134; 141). Unter diesen dürfte das *natürliche System der kub. Hyperbel* in der hier gegebenen Form und Ausführung neu sein. Es gestattet nicht nur eine in den drei schiefwinkligen Koordinaten  $x, y, z$  vollkommen symmetrische Darstellung aller Bestandteile der kub. Hyperbel § 20, (2); (4); (6)—(9); (11)—(14); (38); (40), sowie des zugehörigen linearen Komplexes § 20, (17) und Polarsystems § 20, (18); (19), sondern bringt auch die der kub. Hyperbel eigentümliche Doppelpyramidengruppe § 20, 18 unmittelbar zum Ausdruck. Dies tritt besonders bei der gleichwinkligen kub. Hyperbel § 21, 6 und ihrem Flächenbündel § 21, 7 hervor, wo die eine der vier Rotationsflächen § 21, (30) gegen die Gruppe invariant ist.

Im II. Abschnitt im I. Kapitel werden die Bestandteile der Raumkurve 3. O., also Schmiegungebenen § 24, Tangenten § 25, Sehnen und Achsen § 26, Treff- und Streichlinien, sowie Schmiegungsstrahlen § 27, in *Tetraederkoordinaten* behandelt, und zwar bezogen auf das in § 28 näher beschriebene *Schmiegungstetraeder*. In § 29 wird ebenso das Polarsystem der Raumkurve und des zugehörigen linearen Komplexes untersucht und in § 30 auf die Doppelverhältnisse und Involutionen von Punkten der Kurve hingewiesen. Neben den auf ein Schmiegungstetraeder bezogenen Entwicklungen werden aber auch die für ein *völlig allgemeines* Koordinatentetraeder gültigen *zusammengehörigen* Darstellungen der Punkte § 24, (1), Schmiegungebenen § 24, (1'), Tangenten § 25, (4), des linearen Komplexes § 25, (9) und § 29, 14 und seines Polarsystems § 29, 13; 15 aufgestellt.

Im II. Kapitel werden in § 31 die durch die Raumkurve 3. O. gehenden Flächen 2. O. und ihre Erzeugenden betrachtet. Alsdann



folgt die Theorie der konjugierten Punkte und Ebenen, einerseits im Anschluß an das Flächenbündel 2. O. § 32, 1—9 und anderseits an den Polkegelschnitt einer Ebene § 32, 10—11, folgen ferner die algebraischen Beziehungen der Parameter konjugierter Elemente in § 33, 1—8 und der Zusammenhang mit der Theorie der Harmonikale eines Dreiecks in § 33, 9—11. Auf die Theorie der konjugierten Elemente stützt sich eine *neue Darstellung* § 34, (33) der allgemeinen kub. Raumkurve und des Flächenbündels § 34, (34), welche in den Verhältnissen  $x_1 : x_4$ ,  $x_2 : x_4$ ,  $x_3 : x_4$  symmetrisch ist und die zu einer beliebigen Ebene gehörige Doppelpyramidengruppe der Raumkurve § 34, 14 unmittelbar erkennen läßt. Die entsprechende Parameterdarstellung § 34, (46); (47) zeigt die vollkommenste Symmetrie. Wird die dabei ausgezeichnete Ebene die unendlich ferne Ebene, so erhält man wieder das natürliche System der kub. Hyperbel. In § 35 wird der Übergang von den auf ein Schmiegungstetraeder bezüglichen Tetraederkoordinaten zu dem rechtwinkligen System und die Entstehung der Scheitелеlemente aus der zur unendlich fernen Ebene konjugierten gezeigt.

Im III. Kapitel werden in § 36 die projektiven Erzeugungen der Raumkurve 3. O. in kurzer Übersicht analytisch dargestellt, in § 37 ihre Konstruktion aus sechs Punkten, die Beziehung zwischen sieben ihrer Punkte und die zu einem einbeschriebenen Sechseck gehörige Sehne erwähnt, endlich in § 38 der Begriff des Gegenpunktes von vier Punkten der Raumkurve entwickelt.

Mit Rücksicht auf den beabsichtigten Umfang des Buches ist somit weniger eine in jeder Beziehung erschöpfende Darstellung des Gegenstandes, als vielmehr eine zuverlässige Grundlage sowohl für Übungsaufgaben, als auch für weitergehende analytische Entwicklungen über kub. Kegelschnitte angestrebt worden.

Auf die wichtigsten Quellenschriften ist gelegentlich hingewiesen worden.

Besonderer Dank gebührt der Firma B. G. Teubner, welche keine Mühe gescheut hat, um den Text und namentlich die Figuren aufs Sorgfältigste wiederzugeben.

Möchte das kleine Buch dazu beitragen, den kub. Kegelschnitten in den akademischen Vorlesungen und Übungen neben den ebenen Kegelschnitten einen gleichberechtigten Platz zu sichern.

Rostock, den 25. April 1913.

**Staudé.**

## Inhaltsverzeichnis.

### I. Abschnitt: Behandlung der Raumkurve 3. Ordnung in recht- und schiefwinkligen Koordinaten.

#### I. Kapitel. Begriff des kubischen Kegelschnittes und Darstellung in rechtwinkligen Koordinaten.

	Seite
§ 1. Der kub. Kegelschnitt als Durchschnitt von Kegel und Zylinder . . .	1
§ 2. Unterscheidung der kub. Kegelschnitte nach ihren unendlich fernen Punkten . . . . .	4
§ 3. Vereinfachung der analytischen Darstellung des kub. Kegelschnittes .	9
§ 4. Die allgemeine Raumkurve 3. Ordnung und die Transformation des Parameters . . . . .	13
§ 5. Die Transformation des rechtwinkligen Koordinatensystems . . . .	18
§ 6. Die allgemeine Raumkurve 3. Ordnung als kub. Kegelschnitt . . . .	22

#### II. Kapitel. Bestandteile des kub. Kegelschnittes.

§ 7. Die Schmiegungebenen . . . . .	27
§ 8. Sehnen, Achsen und Tangenten . . . . .	32
§ 9. Die Sehnenkegel . . . . .	38
§ 10. Die Achsenkegelschnitte . . . . .	46
§ 11. Scheitelpunkte, Scheitelemente, Scheitel- und Achsendurchmesser .	53
§ 12. Das schiefwinklige Koordinatensystem der Scheitelemente . . . .	61

#### III. Kapitel. Die Rotationsflächen der kub. Kegelschnitte.

§ 13. Anzahl und Lage der Berührungssehnen . . . . .	64
§ 14. Die unendlich fernen Kurven der Rotationsflächen . . . . .	69
§ 15. Die Gleichungen der Rotationsflächen . . . . .	76
§ 16. Besondere Fälle von Rotationsflächen . . . . .	81

#### IV. Kapitel. Die einzelnen Arten der kub. Kegelschnitte.

§ 17. Die kub. Ellipse . . . . .	86
§ 18. Der kub. Kreis . . . . .	95
§ 19. Überführung der kub. Hyperbel vom Scheitel- zum natürlichen Koordinatensystem . . . . .	100
§ 20. Die kub. Hyperbel im natürlichen Koordinatensystem . . . . .	105
§ 21. Die gleichseitige und gleichwinklige kub. Hyperbel . . . . .	121
§ 22. Die kub. hyperbolische Parabel . . . . .	127
§ 23. Die kub. Parabel . . . . .	136

## II. Abschnitt: Behandlung der Raumkurve 3. Ordnung in Tetraederkoordinaten.

### I. Kapitel. Bestandteile der Raumkurve 3. Ordnung.

	Seite
§ 24. Punkte und Schmiegungebenen . . . . .	146
§ 25. Tangenten . . . . .	153
§ 26. Sehnen und Achsen (s. auch Anm. S. 242) . . . . .	157
§ 27. Treff- und Streichlinien . . . . .	164
§ 28. Schmiegungetetraeder . . . . .	167
§ 29. Das Polarsystem der Raumkurve 3. Ordnung . . . . .	172
§ 30. Projektive Gebilde an der Raumkurve 3. Ordnung . . . . .	179

### II Kapitel. Raumkurve 3. Ordnung und Fläche 2. Ordnung.

§ 31. Flächen 2. Ordnung durch die Raumkurve 3. Ordnung . . . . .	183
§ 32. Konjugierte Punkte und Ebenen im Bündel und bei der Raumkurve 3. Ordnung . . . . .	191
§ 33. Die Schnittpunkte zweier konjugierter Ebenen mit der Kurve. . . .	198
§ 34. Das an eine Ebene sich anlehende Haupttetraeder . . . . .	206
§ 35. Übergang von kanonischen Tetraeder- zu rechtwinkligen Koordinaten	217

### III. Kapitel. Erzeugung und Beziehung zwischen Punkten der Raumkurve 3. Ordnung.

§ 36. Erzeugung der Raumkurve 3. Ordnung durch projektive Büschel und Bündel . . . . .	223
§ 37. Beziehung zwischen sieben Punkten der Raumkurve 3. Ordnung . .	229
§ 38. Der Gegenpunkt von vier Punkten der Raumkurve. . . . .	235
Sachverzeichnis . . . . .	239



## I. Abschnitt.

# Behandlung der Raumkurve dritter Ordnung in recht- und schiefwinkligen Koordinaten.

## I. Kapitel.

### Begriff des kubischen Kegelschnittes und Darstellung in rechtwinkligen Koordinaten.

#### § 1. Der kub. Kegelschnitt als Durchschnitt von Kegel und Zylinder.

1. **Erklärung des kub. Kegelschnittes.** Ein *Kegel* und ein *Zylinder*, beide von der *zweiten Ordnung*, sollen eine *gerade Erzeugende* miteinander *gemein* haben. Die Kurve, in welcher der Kegel *außerdem* von dem Zylinder geschnitten wird, heißt ein *kubischer* oder *räumlicher Kegelschnitt*.<sup>1)</sup>

2. **Darstellung durch zwei Gleichungen.** Wählt man die Spitze des Kegels als Anfangspunkt  $O$  und die gemeinsame Erzeugende als  $x$ -Achse eines rechtwinkligen Koordinatensystems  $Oxyz$ , so sind die *Gleichungen von Kegel und Zylinder* in homogenen gemeinen Koordinaten  $x, y, z, t$  (I § 47, 1) im allgemeinen von der Form (I § 72, (16); (14)):

$$(1) \quad a_{22}y^2 + 2a_{23}yz + a_{33}z^2 + 2a_{12}xy + 2a_{31}zx = 0,$$

$$(2) \quad b_{22}y^2 + 2b_{23}yz + b_{33}z^2 + 2b_{24}yt + 2b_{34}zt = 0.$$

Beide Flächen gehen durch die  $x$ -Achse  $y = 0, z = 0$ . Ihre Determinanten (I Anm. 1, II (1)):

$$(3) \quad A = 2a_{23}a_{31}a_{12} - a_{22}a_{31}^2 - a_{33}a_{12}^2,$$

$$(4) \quad B = 2b_{23}b_{34}b_{24} - b_{22}b_{34}^2 - b_{33}b_{24}^2$$

( $a_{23} = a_{32}, b_{23} = b_{32}, \dots$ ) sollen nicht verschwinden, so daß (vgl. unter 5):

$$(5) \quad A \neq 0, B \neq 0.$$

---

1) Fr. Seydewitz, Arch. Math. Phys. 10 (1847), S. 207; L. Cremona, Ann. di mat. 1 (1858), S. 164; H. Schröter, J. f. Math. 56 (1859), S. 37; v. Staudt, Beiträge (1860), S. 299.

Die den beiden Gleichungen (1) und (2) zugleich genügenden Punkte, mit Abzug der  $x$ -Achse, bilden den kub. Kegelschnitt.

**3. Parameterdarstellung mittels eines Ebenenbüschels.** Eine durch die  $x$ -Achse gelegte Ebene:

$$(6) \quad y = \lambda z,$$

mit beliebigem Parameter  $\lambda$ , schneidet den Zylinder (2), außer in der  $x$ -Achse, noch in einer Geraden  $h$ , die der  $x$ -Achse parallel ist, und den Kegel (1), außer in der  $x$ -Achse, noch in einer Geraden  $k$ , die durch  $O$  geht. Sie hat daher mit dem kub. Kegelschnitt, von Punkten der  $x$ -Achse abgesehen, nur den Schnittpunkt  $P$  der Geraden  $h$  und  $k$  gemein.

Für die Gerade  $h$  folgt aus (6) und (2) zunächst:

$$(b_{22}\lambda^2 + 2b_{23}\lambda + b_{33})z^2 + 2(b_{24}\lambda + b_{34})zt = 0$$

und, mit Weglassung des Faktors  $z$ , dessen Verschwinden nach (6) auf die  $x$ -Achse führt:

$$(7) \quad \frac{z}{t} = -2 \frac{b_{24}\lambda + b_{34}}{b_{22}\lambda^2 + 2b_{23}\lambda + b_{33}},$$

wonach aus (6):

$$(8) \quad \frac{y}{t} = -2 \frac{(b_{24}\lambda + b_{34})\lambda}{b_{22}\lambda^2 + 2b_{23}\lambda + b_{33}}.$$

Für die Gerade  $k$  folgt aus (6) und (1):

$$(a_{22}\lambda^2 + 2a_{23}\lambda + a_{33})z^2 + 2(a_{12}\lambda + a_{13})zx = 0$$

und, wieder mit Weglassung des Faktors  $z$ :

$$(9) \quad \frac{x}{z} = -\frac{a_{22}\lambda^2 + 2a_{23}\lambda + a_{33}}{2(a_{12}\lambda + a_{13})}, \quad \frac{y}{z} = \lambda.$$

Für den Schnittpunkt  $P$  der beiden Geraden  $h$  in (7), (8) und  $k$  in (9) wird daher mit einem Proportionalitätsfaktor  $\varrho$ :

$$(10) \quad \begin{cases} \varrho x = (a_{22}\lambda^2 + 2a_{23}\lambda + a_{33})(b_{24}\lambda + b_{34}), \\ \varrho y = -2(a_{12}\lambda + a_{13})(b_{24}\lambda + b_{34})\lambda, \\ \varrho z = -2(a_{12}\lambda + a_{13})(b_{24}\lambda + b_{34}), \\ \varrho t = (a_{12}\lambda + a_{13})(b_{22}\lambda^2 + 2b_{23}\lambda + b_{33}). \end{cases}$$

Jeder Ebene  $\lambda$  des Büschels (6) entspricht hiernach ein Punkt  $P$  des kub. Kegelschnittes, und die Formeln (10) bestimmen (vgl. unter 5) die Verhältnisse der homogenen Koordinaten des Punktes. Läßt man  $\lambda$  von  $-\infty$  bis  $+\infty$  gehen, erhält man alle Punkte des kub. Kegelschnittes.

Die Gleichungen (10) enthalten die Parameterdarstellung des kub. Kegelschnittes, welcher der übrige Durchschnitt der längs der  $x$ -Achse sich schneidenden Flächen (1) und (2) ist.

4. **Darstellung in schiefer Projektion.** Der Ableitung der *Parameterdarstellung* unter 3 entspricht genau die *Zeichnung* des kub. Kegelschnittes.

In Fig. 1 sind die kongruenten Leitkurven  $OHH_2$  und  $O'H'H'_2$  des Zylinders (2) in den beiden parallelen zur  $x$ -Achse senkrechten Ebenen  $Oyz$  und  $O'y'z'$  in schiefer Parallelprojektion dargestellt. Von dem Kegel (1) enthält Fig. 1 die Spitze  $O$  und die in der Ebene  $O'y'z'$  liegende Leitkurve  $O'K'_1K'$ . Irgendeine in der Ebene  $O'y'z'$  durch  $O'$  gelegte Gerade schneidet die in derselben Ebene liegenden Leitkurven in  $H'$  und  $K'$ . Die durch  $H'$  zur  $x$ -Achse gezogene Parallele  $h = H'H$  ist die Schnittlinie (7), (8) der Ebene  $OO'H'$ , einem Werte  $\lambda$  in (6) entsprechend, mit dem Zylinder (2); die Verbindungslinie  $k$  von  $K'$  mit  $O$  ist die in derselben Ebene  $OO'HH'KK'$  liegende Erzeugende (9) des Kegels (1). Der Schnittpunkt  $P$  der Geraden  $h$  und  $k$  ist ein Punkt des kub. Kegelschnittes.

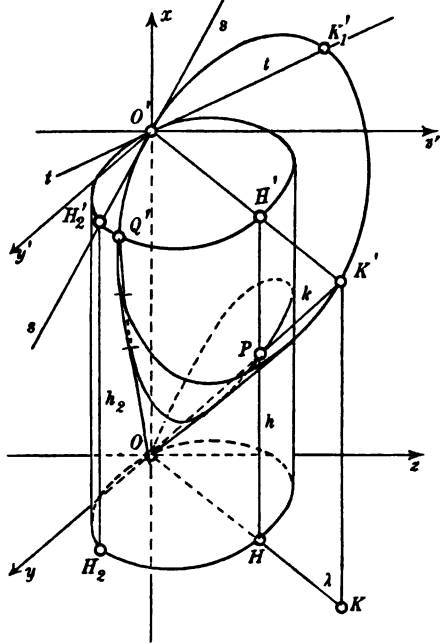


Fig. 1.

Bei Drehung der Geraden  $O'H'K'$  um  $O'$  erhält man in derselben Weise weitere Punkte der Kurve. In Fig. 1 ist sie in  $O$  und  $Q'$  zugleich mit dem Zylinder durch die Ebenen  $Oyz$  und  $O'y'z'$  abgeschnitten.

5. **Bedingung für Kegel und Zylinder.** Wir setzen die Determinante der Koeffizienten von  $\lambda^3, \lambda^2, \lambda, 1$  in den Ausdrücken (10) von Null verschieden voraus (s. § 4, 1—3), also:

$$(11) \quad D = 4 \begin{vmatrix} a_{22}b_{24} & a_{22}b_{34} + 2a_{23}b_{24} & a_{33}b_{24} + 2a_{23}b_{34} & a_{33}b_{34} \\ a_{12}b_{24} & a_{12}b_{34} + a_{13}b_{24} & a_{13}b_{34} & 0 \\ 0 & a_{12}b_{24} & a_{12}b_{34} + a_{13}b_{24} & a_{13}b_{34} \\ a_{12}b_{22} & a_{12}b_{22} + 2a_{13}b_{23} & a_{12}b_{33} + 2a_{13}b_{23} & a_{13}b_{33} \end{vmatrix} \neq 0,$$

oder entwickelt:

$$(12) \quad D = 4AB(a_{12}b_{24} - a_{13}b_{34}) \neq 0.$$

Dies bedeutet zunächst, wie schon in (5) angenommen, daß (1) ein *eigentlicher* (nicht zerfallender) Kegel und (2) ein *eigentlicher* (elliptischer, hyperbolischer oder parabolischer) Zylinder sei.



**6. Ausschluß der Berührung.** Die Tangentialebene der Fläche (1) oder (2) in irgendeinem Punkte  $x_0, y_0, z_0, t_0$  hat die Gleichung:

$$(13) (a_{12}y_0 + a_{13}z_0)x + (a_{21}x_0 + a_{22}y_0 + a_{23}z_0)y + (a_{31}x_0 + a_{32}y_0 + a_{33}z_0)z = 0,$$

bezüglich:

$$(14) (b_{22}y_0 + b_{23}z_0 + b_{24}t_0)y + (b_{32}y_0 + b_{33}z_0 + b_{34}t_0)z + (b_{42}y_0 + b_{43}z_0)t = 0.$$

Längs der gemeinsamen Erzeugenden, etwa im Punkte  $x_0 = 1, y_0 = 0, z_0 = 0, t_0 = 1$ , sind daher die Tangentialebenen des Kegels (1) und des Zylinders (2):

$$(15) \quad a_{21}y + a_{31}z = 0, \quad (16) \quad b_{24}y + b_{34}z = 0.$$

Die Bedingung:

$$(17) \quad a_{13}b_{24} - a_{12}b_{34} \neq 0$$

in (12) bedeutet also, daß die Tangentialebenen von Kegel und Zylinder längs der gemeinsamen Erzeugenden nicht zusammenfallen dürfen.<sup>1)</sup>

## § 2. Unterscheidung der kub. Kegelschnitte nach ihren unendlich fernen Punkten.

**1. Die beiden auf der gemeinsamen Erzeugenden liegenden Kurvenpunkte.** Mit der Bedingung § 1, (11) können die rechten Seiten der Gleichungen § 1, (10) für keinen Wert von  $\lambda$  gleichzeitig verschwinden. Daher enthält jede Ebene  $\lambda$  des Ebenenbüschels § 1, (6) immer einen und nur einen Punkt  $P$  des kub. Kegelschnittes, dessen Koordinaten in der Weise § 1, (10) von  $\lambda$  abhängen. Er ist der Schnittpunkt der beiden Geraden  $h$  und  $k$ , welche die Ebene  $\lambda$  ( $OO'HH'KK'$  Fig. 1 und im Ausschnitt Fig. 2) außer der  $x$ -Achse noch mit dem Zylinder und dem Kegel gemein hat.

Zwei besondere Lagen der Ebene  $\lambda$  sind dabei hervorzuheben. Wird die Ebene § 1, (6) mit  $\lambda = -b_{34} : b_{24}$  die Tangentialebene § 1, (16) des Zylinders, indem  $O'H'K'$  die Tangente  $t = O'K'_1$  seiner Leitkurve in der Ebene  $O'y'z'$  (Fig. 1) wird, so fällt ihre Schnittpunktlinie  $h = h_1$  mit dem Zylinder in die  $x$ -Achse hinein und der Schnittpunkt  $P$  von  $h_1$  und  $k_1$  in  $O$  (Fig. 3). In der Tat geben die Gleichungen § 1, (10) mit:

$$b_{24}\lambda + b_{34} = 0 : x, y, z, t = 0, 0, 0, 1.$$

Wird die Ebene § 1, (6) mit  $\lambda = -a_{31} : a_{12}$  die Tangentialebene § 1, (15) des Kegels, indem  $O'H'K'$  die Tangente  $s = O'H'_2$  seiner Leitkurve in der Ebene  $O'y'z'$  (Fig. 1) wird, so fällt ihre Schnittpunktlinie

1) Fr. Seydewitz, Arch. Math. Phys. 10 (1847), S. 211.

$k = k_2$  mit dem Kegel in die  $x$ -Achse hinein und der Schnittpunkt  $P$  der Parallelen  $h_2$  und  $k_2$  wird *unendlich fern* (Fig. 4). In der Tat geben die Gleichungen § 1, (10) mit:

$$a_{12}\lambda + a_{13} = 0 : x, y, z, t = 1, 0, 0, 0.$$

*Den beiden Tangentialebenen von Kegel und Zylinder längs der gemeinsamen Erzeugenden entsprechen als Punkte der Kurve: der Koordinatenanfangspunkt (die Spitze des Kegels) und der unendlich ferne Punkt der  $x$ -Achse (die Spitze des Zylinders).<sup>1)</sup>*

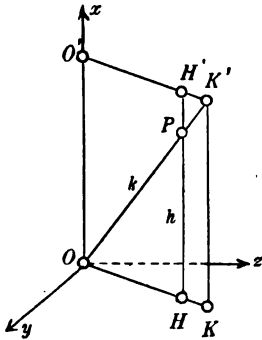


Fig. 2.

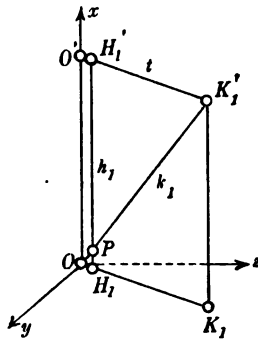


Fig. 3.

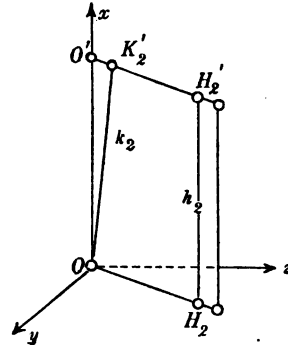


Fig. 4.

**2. Entstehung der drei unendlich fernen Punkte.** Der in einer Ebene § 1, (6) enthaltene Punkt  $P$  des kub. Kegelschnittes ist der Schnittpunkt der in der Ebene liegenden Erzeugenden  $h$  und  $k$  des Zylinders und Kegels (Fig. 2). Er kann auf zwei Weisen unendlich fern werden: *erstens*, wenn  $k$  parallel zu  $h$  wird, was nach 1 nur für die Tangentialebene:

$$(1) \quad a_{12}y + a_{13}z = 0$$

des Kegels längs der  $x$ -Achse eintritt (Fig. 4); *zweitens*, wenn die Gerade  $h$  (Fig. 2) selbst ins Unendliche fällt. Dies trifft für diejenigen beiden Ebenen § 1, (6) zu, welche die  $x$ -Achse mit den beiden unendlich fernen Geraden des Zylinders § 1, (2) verbinden, also seinen Asymptotenebenen parallel sind. Es sind die Ebenen des Ebenenpaares:

$$(2) \quad b_{22}y^2 + 2b_{23}yz + b_{33}z^2 = 0.$$

Die drei Ebenen (1) und (2) entsprechen nach § 1, (6) in der Tat gerade den drei Werten des Parameters  $\lambda$ , für die in § 1, (10)  $t$  verschwindet, den drei Wurzeln der kubischen Gleichung:

$$(3) \quad (a_{12}\lambda + a_{13})(b_{22}\lambda^2 + 2b_{23}\lambda + b_{33}) = 0.$$

1) O. Hesse, J. f. Math. 26 (1843), S. 150; Werke, S. 76.



5. Fall des hyperbolischen Zylinders (Fig. 6 u. 7). Der Zylinder § 1, (2) ist hyperbolisch, wenn:

$$(5) \quad b_{22}b_{33} - b_{23}^2 < 0.$$

Die Ebenen des Paares (2) und die Wurzeln  $\lambda$  des zweiten Faktors (3) sind reell und verschieden. Nicht nur zur Ebene (1),  $s = O'K_2'H_2'$  in Fig. 6, sondern auch zu den den Asymptotenebenen des hyperbolischen Zylinders parallelen Ebenen  $O'K_3', O'K_4'$  (Fig. 6) gehört je

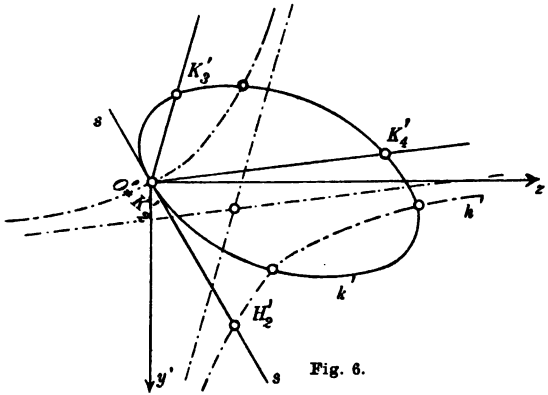


Fig. 6.

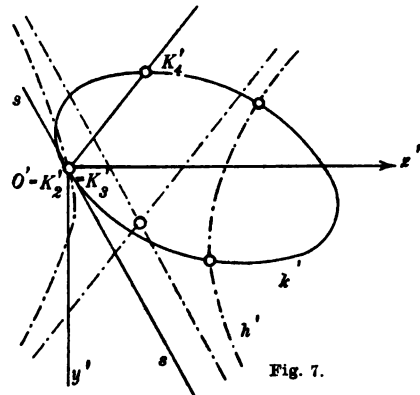


Fig. 7.

ein unendlich ferner Punkt  $E_1, E_2, E_3$  der Kurve § 1, (10). Wenn jedoch für:

$$(6) \quad b_{22}a_{13}^2 - 2b_{23}a_{13}a_{12} + b_{33}a_{12}^2 = 0$$

die Ebene (1) mit einer der beiden Ebenen (2) zusammenfällt ( $s$  parallel einer Asymptote,  $K'_3 = K'_4$  in Fig. 7) und die kub. Gleichung (3) die Wurzeln:

$$(7) \quad \lambda = -\frac{a_{13}}{a_{12}}, \quad \lambda = -\frac{a_{13}}{a_{12}}, \quad \lambda = \frac{b_{22}a_{13} - 2b_{23}a_{12}}{b_{33}a_{12}}$$

erhält, so fällt der Punkt  $E_2$  mit  $E_1$  zusammen, übereinstimmend mit den Gleichungen § 1, (10).

II. Der kub. Kegelschnitt § 1, (10), in welchem der Kegel § 1, (1) von dem Zylinder § 1, (2) geschnitten wird, hat in der unendlich fernen Ebene drei verschiedene reelle Punkte  $E_1 = X, E_2, E_3$ , wenn der Zylinder hyperbolisch ist.

IIa. Jedoch fallen zwei von den drei unendlich fernen Punkten,  $E_1 = E_2$  in  $X$  zusammen bei getrennt bleibendem  $E_3$ , wenn unter der Bedingung (6) die eine Asymptotenebene des hyperbolischen Zylinders parallel ist der Tangentialebene des Kegels längs der gemeinsamen Erzeugenden.

**6. Fall des parabolischen Zylinders** (Fig. 8 u. 9). Der Zylinder § 1, (2) ist parabolisch, wenn:

$$(8) \quad b_{22}b_{33} - b_{23}^2 = 0.$$

Die Ebenen des Paares (2),  $O'K_3' = O'K_4'$  in Fig. 8, fallen in der Ebene:

$$(9) \quad b_{22}y + b_{23}z = 0 \text{ oder } b_{23}y + b_{33}z = 0$$

zusammen, die der Hauptebene des parabolischen Zylinders parallel ist. Zu der doppelt zählenden Ebene

(9) gehört ein doppelt zählender unendlich ferner Punkt  $E_2 = E_3$

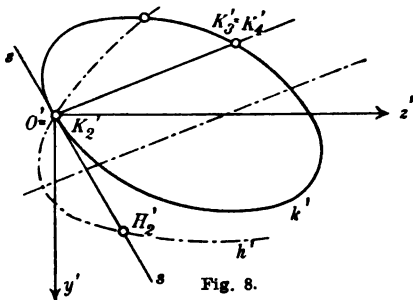


Fig. 8.

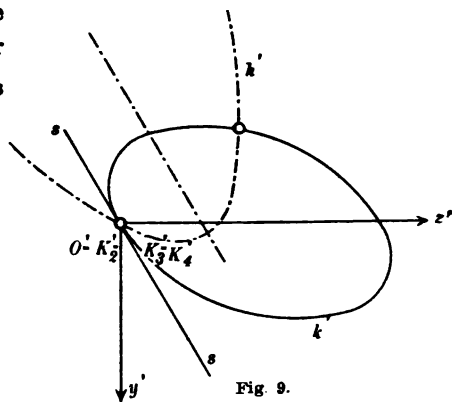


Fig. 9.

der Raumkurve. Er entspricht der Doppelwurzel  $\lambda$  des zweiten Faktors (3).

Wenn jedoch für:

$$(10) \quad a_{12}b_{23} - a_{13}b_{22} = 0 \quad \text{und} \quad (11) \quad a_{12}b_{33} - a_{13}b_{23} = 0$$

die Ebene (1) mit der Doppelsebene (9) zusammenfällt ( $s$  parallel der Hauptachse der Parabel in Fig. 9) und die kub. Gleichung (3) dreimal die Wurzeln  $\lambda = -a_{13} : a_{12}$  hat, so fallen alle drei unendlich fernen Punkte der Kurve zusammen.

III. Der kub. Kegelschnitt § 1, (10), in welchem der Kegel § 1, (1) von dem Zylinder § 1, (2) geschnitten wird, hat in der unendlich fernen Ebene zwei zusammenfallende Punkte  $E_2 = E_3$  und einen getrennten Punkt  $E_1 = X$ .

IV. Jedoch fallen alle drei unendlich fernen Punkte  $E_1, E_2, E_3$  in  $X$  zusammen, wenn unter den Bedingungen (10), (11) die Hauptebene des parabolischen Zylinders parallel ist der Tangentialebene des Kegels längs der gemeinsamen Erzeugenden.

Wir behalten beide Bedingungen (10) und (11) bei. Denn aus den beiden in  $b_{22}, b_{23}$  linearen und homogenen Gleichungen (8) und (10):

$$b_{33}b_{22} - b_{23}b_{23} = 0, \quad a_{13}b_{22} - a_{12}b_{23} = 0$$

folgt zwar die dritte, (11), von selbst, wenn  $b_{22}$  und  $b_{23}$  nicht beide 0 sind. Ist aber  $b_{22} = 0$  und  $b_{23} = 0$ , so ist (11) keine Folge von (8) und (10). Während also für  $b_{22} = 0$ ,  $b_{23} = 0$ ,  $a_{12}b_{33} \neq 0$  noch der Fall III vorliegt, entsteht für  $b_{22} = 0$ ,  $b_{23} = 0$ ,  $a_{12} = 0$ ,  $a_{13} \neq 0$  der Fall IV. Beides ist mit § 1, (12) verträglich.

**7. Die vier Arten der kub. Kegelschnitte.** Indem wir den Fall IIa und III zusammenfassen, ergeben sich für den durch die beiden Gleichungen § 1, (1); (2) oder die Parameterdarstellung § 1, (10) gegebenen kub. Kegelschnitt unter folgenden Bedingungen als reelle unendlich ferne Punkte:

- I.  $b_{22}b_{33} - b_{23}^2 > 0$ : ein unendlich ferner Punkt  $E_1 = X$ .
- II.  $b_{22}b_{33} - b_{23}^2 < 0$ ,  $b_{22}a_{13}^2 - 2b_{23}a_{13}a_{12} + b_{33}a_{12}^2 \neq 0$ : drei getrennte  
 $E_1 = X, E_2, E_3$ .
- III.  $b_{22}b_{33} - b_{23}^2 < 0$ ,  $b_{22}a_{13}^2 - 2b_{23}a_{13}a_{12} + b_{33}a_{12}^2 = 0$  } zwei zusammenfallende  
 oder  $b_{22}b_{33} - b_{23}^2 = 0$ ,  $b_{22}a_{13} - b_{23}a_{12}$ , } und ein getrennter  
 $b_{23}a_{13} - b_{33}a_{12}$  nicht beide 0 }  $E_1 = E_2 = X, E_3$   
 oder  $E_1 = X, E_2 = E_3$ .
- IV.  $b_{22}b_{33} - b_{23}^2 = 0$ ,  $b_{22}a_{13} - b_{23}a_{12} = 0$ ,  $b_{23}a_{13} - b_{33}a_{12} = 0$ : drei zusammenfallende  $E_1 = E_2 = E_3 = X$ .

Diesen vier Fällen<sup>1)</sup> entsprechend heißt der kub. Kegelschnitt

- I. kub. *Ellipse*; II. kub. *Hyperbel*; III. kub. *hyperbolische Parabel*;
- IV. kub. *Parabel*.

### § 3. Vereinfachung der analytischen Darstellung des kub. Kegelschnittes.

**1. Drehung des Koordinatensystems um die gemeinsame Erzeugende.** In § 1, 2 wurde die Spitze des Kegels als Anfangspunkt und die gemeinsame Gerade von Kegel und Zylinder als  $x$ -Achse des rechtwinkligen Koordinatensystems  $Oxyz$  gewählt. Diese Verfügung läßt noch eine Drehung des Systems um die  $x$ -Achse offen. Daher kann die  $xy$ -Ebene in die *Tangentialebene* § 1, (15) des Kegels längs der  $x$ -Achse gelegt, also ohne Beschränkung:

- (1)  $a_{12} = 0$   
genommen werden.

Wird gleichzeitig die Bezeichnung:

- (2)  $2a_{13}, 2b_{24}, 2b_{34}$  in  $-a_{13}, -b_{12}, -b_{13}$   
umgeändert, so ergibt sich aus § 1, 2:

1) Fr. Seydewitz, Arch. Math. Phys. 10 (1847), S. 212.

Der kub. Kegelschnitt kann stets durch die Gleichungen:

$$(3) \quad a_{22}y^2 + 2a_{23}yz + a_{33}z^2 - a_{13}zx = 0,$$

$$(4) \quad b_{22}y^2 + 2b_{23}yz + b_{33}z^2 - b_{12}yt - b_{13}zt = 0$$

eines Kegels und eines Zylinders dargestellt werden.

Die erforderlichen Bedingungen § 1, (3); (12); (4) kommen hier auf:

$$(5) \quad a_{22} \neq 0, \quad a_{13} \neq 0, \quad b_{12} \neq 0, \quad 4B = 2b_{23}b_{12}b_{13} - b_{22}b_{13}^2 - b_{33}b_{12}^2 \neq 0$$

zurück.

Die Parameterdarstellung § 1, (10) wird jetzt:

$$(6) \quad \begin{cases} \varrho x = (a_{22}\lambda^2 + 2a_{23}\lambda + a_{33})(b_{12}\lambda + b_{13}), \\ \varrho y = a_{13}(b_{12}\lambda + b_{13})\lambda, \\ \varrho z = a_{13}(b_{12}\lambda + b_{13}), \\ \varrho t = a_{13}(b_{22}\lambda^2 + 2b_{23}\lambda + b_{33}). \end{cases}$$

2. Die Unterscheidung der Arten. In § 2, 7 kommt die 2. Bedingung II mit (1) auf  $b_{22}a_{13}^2 \neq 0$  und nach (5) auf  $b_{22} \neq 0$  zurück, ebenso die 2. Bedingung des ersten Falles III auf  $b_{22} = 0$ , was aber mit  $b_{22}b_{33} - b_{23}^2 < 0$  zusammen  $b_{22} = 0, b_{23} \neq 0$  gibt. Im zweiten Fall III wäre  $b_{22}b_{33} - b_{23}^2 = 0; b_{22}, b_{23}$  nicht beide 0, was aber auf  $b_{22}b_{33} - b_{23}^2 = 0$   $b_{22} \neq 0$  zurückkommt, da mit  $b_{22} = 0$  auch  $b_{23} = 0$  sein müßte. Im Fall IV ist dann  $b_{22} = 0, b_{23} = 0$ .

Die Bedingungen werden also für den kub. Kegelschnitt (3), (4), (6):

$$(7) \quad \begin{array}{ll} \text{I. } b_{22}b_{33} - b_{23}^2 > 0: & \text{kub. Ellipse;} \\ \text{II. } b_{22}b_{33} - b_{23}^2 < 0, \quad b_{22} \neq 0: & \text{kub. Hyperbel;} \\ \text{III. } b_{22} = 0, \quad b_{23} \neq 0 & \left. \begin{array}{l} \\ \text{oder } b_{22}b_{33} - b_{23}^2 = 0, \quad b_{22} \neq 0 \end{array} \right\} \text{kub. hyperbolische} \\ & \qquad \qquad \qquad \qquad \qquad \qquad \text{Parabel;} \\ \text{IV. } b_{22} = 0, \quad b_{23} = 0: & \text{kub. Parabel.} \end{array}$$

Die Bedingungen ergeben sich auch direkt aus der letzten Gleichung (6). Der *einen* stets vorhandenen Wurzel  $\lambda = \infty$  der kub. Gleichung  $t = 0$  entspricht der unendlich ferne Punkt X der  $x$ -Achse. Die *beiden anderen* Wurzeln sind bei I imaginär; bei II reell, unter sich und von  $\infty$  verschieden; bei III entweder unter sich verschieden und eine gleich  $\infty$ , oder unter sich gleich und von  $\infty$  verschieden; bei IV unter sich gleich und gleich  $\infty$ .

### 3. Schematische Darstellung der Unterscheidungsmerkmale.

Um die Fig. 5—9 auf den vorliegenden Fall anzuwenden, hat man nur die  $y'$ -Achse in die Tangente  $s$  zu legen, also beispielsweise Fig. 5 in Fig. 10 zu verwandeln.



Man kann aber die fünf Fälle, statt durch die Schnittlinien von *Kegel* und *Zylinder* mit der Ebene  $O'y's'$  auch durch *die Schnittlinien beider mit der unendlich fernen Ebene  $t = \infty$*  schematisch kennzeichnen, als wenn diese im Endlichen läge.

Die drei Koordinatenebenen  $x = 0$ ,  $y = 0$ ,  $z = 0$  schneiden die unendlich ferne Ebene in einem Dreieck  $XYZ$  (Fig. 11–15); der *Kegel* (3) schneidet sie in einem als Ellipse dargestellten *Kegelschnitt  $k$* , welcher wegen (1) die Seite  $z = 0$  des Dreiecks in der Ecke  $X$  berührt; der *elliptische*, *hyperbolische* und *parabolische Zylinder* (4) schneidet sie in einem *imaginären* (Fig. 11) oder *reellen Linienpaar  $h$*  (Fig. 12 u. 13) mit dem Doppelpunkt  $X$  oder in einer *Doppellinie  $h$*  (Fig. 14

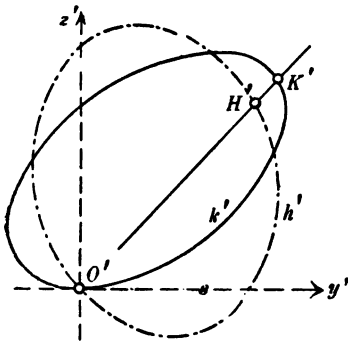


Fig. 10.

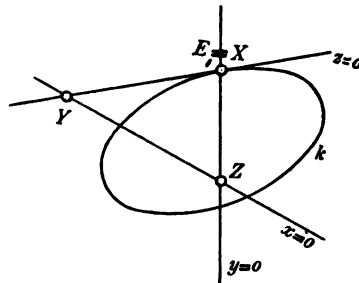


Fig. 11.

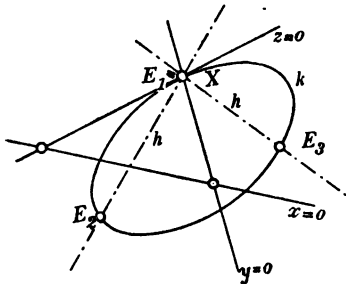


Fig. 12.

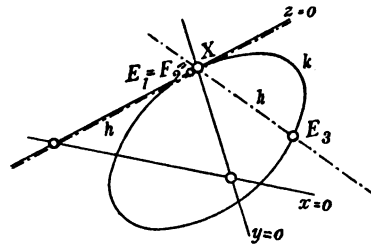


Fig. 13.

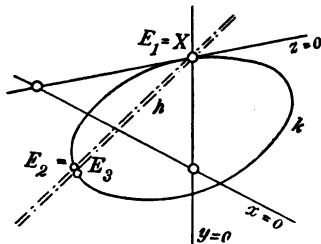


Fig. 14.

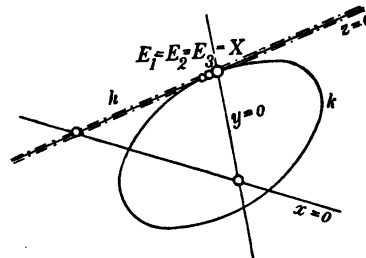


Fig. 15.

u. 15; die Schnittlinien des Zylinders sind in allen Fällen punktiert-gestrichelt dargestellt). Die Schnittpunkte der beiden Kurven  $h$  und  $k$  sind die unendlich fernen Punkte des kub. Kegelschnittes.

Fig. 11 entspricht der kub. Ellipse mit einem unendlich fernen Punkt  $E_1 = X$ ; Fig. 12 der kub. Hyperbel mit drei getrennten unendlich fernen Punkten  $E_1 = X, E_2, E_3$ ; Fig. 13 u. 14 der kub. hyperbolischen Parabel mit zwei zusammenfallenden und einem getrennten Punkt  $E_1 = E_2 = X$  und  $E_3$  oder  $E_2 = E_3$  und  $E_1 = X$ ; Fig. 15 der kub. Parabel mit drei zusammenfallenden  $E_1 = E_2 = E_3 = X$ .

**4. Änderung des Parameters.** Der unendlich ferne Punkt der  $x$ -Achse hat in der Darstellung (6) den Parameter  $\lambda = \infty$ . Will man dem Punkte  $O$  den Parameter 0 zukommen lassen, kann man, da nach (5)  $b_{12} \neq 0$ , durch die Gleichungen:

$$(8) \quad \lambda = \frac{b_{12}\lambda' - b_{13}}{b_{12}}, \quad \lambda' = \frac{b_{12}\lambda + b_{13}}{b_{12}}$$

einen neuen Parameter einführen. Man erhält dann an Stelle von (6) die folgende *Parameterdarstellung*:

$$(9) \quad \begin{cases} \varrho x = \{a_{22}(b_{12}\lambda' - b_{13})^2 + 2a_{23}(b_{12}\lambda' - b_{13})b_{12} + a_{33}b_{12}^2\} b_{12}\lambda', \\ \varrho y = a_{13}b_{12}^2(b_{12}\lambda' - b_{13})\lambda', \\ \varrho z = a_{13}b_{12}^3\lambda', \\ \varrho t = a_{13}\{b_{22}(b_{12}\lambda' - b_{13})^2 + 2b_{23}(b_{12}\lambda' - b_{13})b_{12} + b_{33}b_{12}^2\}. \end{cases}$$

**5. Form der Parameterdarstellung.** Die Gleichungen (9) sind, wenn  $\lambda'$  wieder mit  $\lambda$  bezeichnet wird, von der Form:

$$(10) \quad \begin{aligned} \varrho x &= a\lambda^3 + a'\lambda^2 + a''\lambda, & \varrho z &= b\lambda, \\ \varrho y &= b\lambda^2 + b'\lambda, & \varrho t &= l\lambda^2 + m\lambda + n. \end{aligned}$$

Sie enthalten sieben Konstanten, die Verhältnisse von  $a, a', a'', b, b', l, m, n$ , die mit den sieben Verhältnissen  $a_{22} : a_{23} : a_{33} : a_{13}$  und  $b_{22} : b_{23} : b_{33} : b_{12} : b_{13}$  der Gleichungen (3) und (4) in der Beziehung stehen:

$$(11) \quad \begin{cases} \frac{a}{b} = \frac{a_{22}}{a_{13}}, \quad \frac{a'}{b} = 2 \frac{a_{23}b_{12} - a_{22}b_{13}}{a_{13}b_{12}}, \quad \frac{a''}{b} = \frac{a_{22}b_{13}^2 - 2a_{23}b_{12}b_{13} + a_{33}b_{12}^2}{a_{13}b_{12}^2}, \\ \frac{b'}{b} = -\frac{b_{13}}{b_{12}}, \\ \frac{l}{b} = \frac{b_{22}}{b_{13}}, \quad \frac{m}{b} = 2 \frac{b_{23}b_{12} - b_{22}b_{13}}{b_{12}^2}, \quad \frac{n}{b} = \frac{b_{22}b_{13}^2 - 2b_{23}b_{12}b_{13} + b_{33}b_{12}^2}{b_{12}^3}. \end{cases}$$

Nach (5) ist:

$$(12) \quad a \neq 0, b \neq 0, n \neq 0.$$

Umgekehrt folgt daher aus (11):

$$(13) \begin{cases} \frac{a_{22}}{a_{12}} = \frac{a}{b}, \quad \frac{2a_{23}}{a_{13}} = \frac{a'b - 2ab'}{b^2}, \quad \frac{a_{33}}{a_{13}} = \frac{a''b^2 - a'b'b' + ab'^2}{b^3}; \\ \frac{b_{22}}{b_{12}} = \frac{l}{b}, \quad \frac{2b_{23}}{b_{13}} = \frac{mb - 2lb'}{b^2}, \quad \frac{b_{33}}{b_{13}} = \frac{nb^2 - mbb' + lb'^2}{b^3}, \quad \frac{b_{12}}{b_{13}} = -\frac{b'}{b}. \end{cases}$$

Der kub. Kegelschnitt kann also stets in der Form (10) dargestellt werden, wo die Verhältnisse der acht Koeffizienten mit der Beschränkung (12) beliebig gegeben sein können.

**6. Unterscheidung der Arten.** Da nach (13):

$$(14) \quad \frac{b_{22}b_{33} - b_{23}^2}{b_{12}^2} = \frac{4ln - m^2}{4b^2},$$

so folgt aus (7) und (13):

Der kub. Kegelschnitt (10) ist für:

- (15) I.  $4ln - m^2 > 0$ : eine kub. Ellipse;  
 II.  $4ln - m^2 < 0$ ,  $l \neq 0$ : kub. Hyperbel;  
 III.  $l = 0$ ,  $m \neq 0$  oder:  $4ln - m^2 = 0$ ,  $l \neq 0$ : kub. hyperbol. Parabel;  
 IV.  $l = 0$ ,  $m = 0$ : kub. Parabel.

#### § 4. Die allgemeine Raumkurve 3. Ordnung und die Transformation des Parameters.

**1. Die (rationale) Raumkurve 3. O.** Die Darstellungen § 1, (10); § 3, (6); (10) fallen unter die allgemeine Form:<sup>1)</sup>

$$(1) \quad \begin{cases} \rho x = a_{11}\lambda^3 + a_{12}\lambda^2 + a_{13}\lambda + a_{14}, \\ \rho y = a_{21}\lambda^3 + a_{22}\lambda^2 + a_{23}\lambda + a_{24}, \\ \rho z = a_{31}\lambda^3 + a_{32}\lambda^2 + a_{33}\lambda + a_{34}, \\ \rho t = a_{41}\lambda^3 + a_{42}\lambda^2 + a_{43}\lambda + a_{44} = g(\lambda), \end{cases}$$

mit 16 beliebigen Koeffizienten  $a_{ki}$ , welche der allgemeine Ausdruck der (rationalen) Raumkurve 3. O. ist (s. unter 4).

Vorausgesetzt wird nur, daß die Determinante der Koeffizienten nicht verschwinde:<sup>2)</sup>

$$(2) \quad A = |a_{ki}| \neq 0.$$

Dann können zunächst die vier ganzen Funktionen von  $\lambda$  für keinen Wert von  $\lambda$  gleichzeitig verschwinden. Es gehört also zu jedem Werte  $\lambda$  ein einziger bestimmter Punkt  $x, y, z, t$  (I § 47, 1).

1) Joachimsthal, J. f. Math. 56 (1859), S. 44.

2) Über die Ausartungen der Raumkurve 3. O., die hier ausgeschlossen bleiben, vgl. v. Staudt, Beitr. (1860), S. 301; H. Schubert, Math. Ann. 15 (1879), S. 529; A. Brill, Math. Ann. 64 (1907), S. 319; Palermo Rend. 25 (1908), S. 188.

**2. Auflösung nach den Potenzen von  $\lambda$ .** Bezeichnen  $A_{ki}$  die Unterdeterminanten dritten Grades von  $A$ , so können, wiederum in Folge der Voraussetzung (2)<sup>1)</sup>, die Gleichungen (1) mit  $\rho\sigma = A$  in der folgenden Form aufgelöst werden (s. § 24, (22)):

$$(3) \quad \begin{cases} \sigma\lambda^3 = A_{11}x + A_{21}y + A_{31}z + A_{41}t = y_1, \\ \sigma\lambda^2 = A_{12}x + A_{22}y + A_{32}z + A_{42}t = y_2, \\ \sigma\lambda = A_{13}x + A_{23}y + A_{33}z + A_{43}t = y_3, \\ \sigma = A_{14}x + A_{24}y + A_{34}z + A_{44}t = y_4. \end{cases}$$

Da nach (2) (I Anm. 1, III, (7)):

$$(4) \quad |A_{ki}| = A^3 \neq 0,$$

so können auch die vier zur Abkürzung eingeführten linearen Funktionen  $y_1, y_2, y_3, y_4$  für keinen Punkt  $x, y, z, t$  des Raumes alle gleichzeitig verschwinden. Vermöge der Gleichungen (vgl. § 7, (21)):

$$(5) \quad \lambda = y_1 : y_2 = y_2 : y_3 = y_3 : y_4$$

gehört daher zu jedem Punkte  $x, y, z, t$  der Raumkurve ein bestimmter Parameter  $\lambda$ .

Zu verschiedenen Parametern gehören verschiedene Punkte und umgekehrt.

**3. Schnittpunkte mit einer Ebene.** Soll ein Punkt (1) in einer gegebenen Ebene (I § 47, (4)):

$$(6) \quad ux + vy + wz + st = 0$$

liegen, muß  $\lambda$  der Bedingung entsprechen:

$$(7) \quad \begin{cases} (a_{11}u + a_{21}v + a_{31}w + a_{41}s)\lambda^3 + (a_{12}u + a_{22}v + a_{32}w + a_{42}s)\lambda^2 \\ + (a_{13}u + a_{23}v + a_{33}w + a_{43}s)\lambda + (a_{14}u + a_{24}v + a_{34}w + a_{44}s) = 0. \end{cases}$$

Da die Koeffizienten der kubischen Gleichung (7) nach (2) für keine Ebene  $u, v, w, s$  alle gleichzeitig verschwinden können, so folgt:

I. Die Raumkurve (1) hat in jeder Ebene des Raumes immer drei und nur drei Punkte.<sup>2)</sup>

Zwei von ihnen können konjugiert imaginär sein, wenigstens einer ist reell. Weiter folgt sofort:

II. Die Raumkurve (1) kann mit einer Geraden des Raumes nicht mehr als zwei Punkte gemein haben. Denn lägen drei Punkte der Kurve auf der Geraden, würde die Verbindungsebene der Geraden mit einem vierten Punkt der Kurve vier enthalten.

1) A. Baltzer, Anal. Geom. Leipzig 1882, S. 482.

2) M. Chasles, J. de math. (2) <sup>2</sup> (1857), S. 397.

**4. Raumkurve 3. O. überhaupt.** Eine Raumkurve 3. O. überhaupt ist eine solche, die in jeder Ebene drei Punkte hat. Legt man dann durch die Verbindungslinie zweier bekannter Punkte der Kurve ein Ebenenbüschel, so kann jede Ebene des Büschels die Kurve außer in den zwei bekannten nur noch in einem Punkte schneiden. Seine Koordinatenverhältnisse  $x : y : z : t$  müssen daher rational von dem Büschelparameter abhängen und müssen mit Rücksicht auf 3 gerade die Form (1) haben.

Jede Raumkurve 3. O. überhaupt ist eine rationale Raumkurve 3. O.<sup>1)</sup>

**5. Lineare Transformation des Parameters.** Die Form der Gleichungen (1) bleibt unverändert, wenn man durch die lineare Substitution:

$$(8) \quad \lambda = \frac{\alpha\mu + \beta}{\gamma\mu + \delta}, \quad \alpha\delta - \beta\gamma \neq 0,$$

einen neuen Parameter  $\mu$  einführt. Denn der dabei auftretende Nenner  $(\gamma\mu + \delta)^3$  kann, da es nur auf die Verhältnisse von  $x, y, z, t$  ankommt, in allen vier Gleichungen rechts weggelassen, bezüglich in  $\varrho$  aufgenommen werden. Es wird also wiederum:

$$(9) \quad \begin{cases} \varrho x = a'_{11}\mu^3 + a'_{12}\mu^2 + a'_{13}\mu + a'_{14}, \\ \varrho y = a'_{21}\mu^3 + a'_{22}\mu^2 + a'_{23}\mu + a'_{24}, \\ \varrho z = a'_{31}\mu^3 + a'_{32}\mu^2 + a'_{33}\mu + a'_{34}, \\ \varrho t = a'_{41}\mu^3 + a'_{42}\mu^2 + a'_{43}\mu + a'_{44}. \end{cases}$$

Hier haben insbesondere die Koeffizienten von  $\varrho t$  die Werte:

$$(10) \quad \begin{cases} a'_{41} = a_{41}\alpha^3 + a_{42}\alpha^2\gamma + a_{43}\alpha\gamma^2 + a_{44}\gamma^3, \\ a'_{42} = (3a_{41}\alpha^2 + 2a_{42}\alpha\gamma + a_{43}\gamma^2)\beta + (a_{42}\alpha^2 + 2a_{43}\alpha\gamma + 3a_{44}\gamma^2)\delta, \\ a'_{43} = (3a_{41}\alpha + a_{42}\gamma)\beta^2 + 2(a_{42}\alpha + a_{43}\gamma)\beta\delta + (a_{43}\alpha + 3a_{44}\gamma)\delta^2, \\ a'_{44} = a_{41}\beta^3 + a_{42}\beta^2\delta + a_{43}\beta\delta^2 + a_{44}\delta^3. \end{cases}$$

Die Eigenschaft (2) der Determinante bleibt bei der Transformation (8) erhalten (s. später § 24, 4).

**6. Verschwinden des Koeffizienten  $a'_{41}$ .** Wenn in (1):

$$(11) \quad a_{41} \neq 0,$$

so hat die kub. Gleichung:

$$(12) \quad g(\lambda) = a_{41}\lambda^3 + a_{42}\lambda^2 + a_{43}\lambda + a_{44} = 0$$

wenigstens eine reelle endliche Wurzel  $\lambda_0$ . Nimmt man dann in (8):

$$(13) \quad \alpha = \lambda_0, \quad \beta = 1, \quad \gamma = 1, \quad \delta = 0; \quad \alpha\delta - \beta\gamma = -1,$$

1) S. z. B. R. Mehmke, Punkt- und Vektorrechnung 1 (1913), S. 200.

so daß:

$$(14) \quad \lambda = \frac{\lambda_0 \mu + 1}{\mu},$$

so wird nach (10):

$$(15) \quad \begin{cases} a'_{41} = a_{41} \lambda_0^3 + a_{43} \lambda_0^2 + a_{43} \lambda_0 + a_{44} = 0, & a'_{43} = 3 a_{41} \lambda_0^2 + 2 a_{43} \lambda_0 + a_{43}, \\ a'_{43} = 3 a_{41} \lambda_0 + a_{43}, & a'_{44} = a_{41} + 0, \end{cases}$$

und damit die letzte Gleichung (9):

$$(16) \quad \varphi t = a'_{42} \mu^2 + a'_{43} \mu + a'_{44}.$$

Ist in (1)  $a_{41} \neq 0$ , kann man stets durch Einführung eines neuen Parameters  $\mu$  bewirken, daß  $a'_{41} = 0$ , wobei gleichzeitig  $a'_{44} = 0$ .

Ist bereits in (1)  $a_{41} = 0$ , so ist entweder  $a_{44} \neq 0$  oder  $a_{44} = 0$ . Im letzteren Falle kann man in (1)  $\lambda = \mu + \mu_0$  setzen, wodurch:

$$(17) \quad g(\lambda) = a_{42} \lambda^2 + a_{43} \lambda = a_{42} \mu^2 + (2 a_{42} \mu_0 + a_{43}) \mu + (a_{42} \mu_0^2 + a_{43} \mu_0).$$

Da nun der Koeffizient  $(a_{42} \mu_0 + a_{43}) \mu_0$  nicht in  $\mu_0$  identisch 0 ist, da sonst neben  $a_{41} = 0$ ,  $a_{44} = 0$  auch  $a_{42} = 0$ ,  $a_{43} = 0$ , was gegen (2) ist, kann man  $\mu_0$  immer so wählen, daß er von 0 verschieden ist.

Indem man schließlich die alte Bezeichnung wieder einführt, kann man sagen:

In den Gleichungen (1) kann ohne Beschränkung der Allgemeinheit:

$$(18) \quad a_{41} = 0, \quad a_{44} \neq 0$$

vorausgesetzt werden.

**7. Die unendlich fernen Punkte der Kurve.** Die kub. Gleichung (12) bestimmt die Parameter  $\lambda_1, \lambda_2, \lambda_3$  der drei Schnittpunkte der Kurve (1) mit der unendlich fernen Ebene. Einer dieser drei Punkte ist stets reell und erhält durch die Voraussetzung (18) den Parameter  $\lambda_1 = \infty$ . Alsdann sind für die beiden andern aus:

$$(19) \quad g(\lambda) = a_{42} \lambda^2 + a_{43} \lambda + a_{44} = 0$$

zu bestimmenden Parameter folgende Fälle möglich:

I.  $a_{42} \neq 0$ ,  $4 a_{42} a_{44} - a_{43}^2 > 0$ :  $\lambda_1 = \infty$ ,  $\lambda_2$  und  $\lambda_3$  imaginär;

II.  $a_{42} \neq 0$ ,  $4 a_{42} a_{44} - a_{43}^2 < 0$ :  $\lambda_1 = \infty$ ,  $\lambda_2$  und  $\lambda_3$  reell,  
 $\lambda_2 \neq \lambda_3$ ,  $\lambda_2 \neq \infty$ ,  $\lambda_3 \neq \infty$ ;

III a.  $a_{42} \neq 0$ ,  $4 a_{42} a_{44} - a_{43}^2 = 0$ :  $\lambda_1 = \infty$ ,  $\lambda_2 = \lambda_3 \neq \infty$ ;

III b.  $a_{42} = 0$ ,  $a_{43} \neq 0$  :  $\lambda_1 = \lambda_2 = \infty$ ,  $\lambda_3 \neq \infty$ ;

IV.  $a_{42} = 0$ ,  $a_{43} = 0$  :  $\lambda_1 = \lambda_2 = \lambda_3 = \infty$ .

Die Wurzel  $\lambda = 0$  ist durch (18) überall ausgeschlossen.

8. Weitere Normierung des Parameters. Ist nun *erstens*:

$$(20) \quad a_{42} \neq 0,$$

so wird aus (19) mit der unter die Form (8) fallenden Substitution:

$$(21) \quad \lambda = \mu - \frac{a_{43}}{2 a_{42}};$$

$$(22) \quad g(\lambda) = a_{42} \mu^2 + \frac{4 a_{42} a_{44} - a_{43}^2}{4 a_{42}},$$

also in den Fällen I und II, mit einer positiven Konstanten  $e^2$  zur Abkürzung, bezüglich:

$$(23) \quad g(\lambda) = a_{42} (\mu^2 + e^2); \quad g(\lambda) = a_{42} (\mu^2 - e^2); \quad e^2 \neq 0.$$

Im Falle IIIa ist nach (22), indem man mit (21) wieder von  $\mu$  auf  $\lambda$  zurückgeht und eine Abkürzung  $e$  einführt:

$$(24) \quad g(\lambda) = a_{42} \left( \lambda + \frac{a_{43}}{2 a_{42}} \right)^2 = a_{42} (\lambda - e)^2; \quad e \neq 0.$$

Es kann nämlich im Falle IIIa  $a_{43}$  nicht verschwinden, ohne daß auch  $a_{44} = 0$ , was gegen (2) wäre.

Ist *zweitens*:

$$(25) \quad a_{42} = 0,$$

so bleibt für die Fälle IIIb und IV:

$$(26) \quad g(\lambda) = a_{43} \lambda + a_{44} = a_{43} (\lambda - e), \quad e \neq 0; \quad g(\lambda) = a_{44}.$$

Da in die Gleichungen (1) nur die Verhältnisse der Koeffizienten eingehen, kann man in den Fällen (20)  $a_{42} = 1$ , in den Fällen (26)  $a_{43} = 1$ , bezüglich  $a_{44} = 1$  nehmen und erhält dann das Resultat:

In der vierten Gleichung (1) kann man ohne Beschränkung:

$$(27) \quad g(\lambda) = l \lambda^2 + m \lambda + n$$

setzen und hierin eine der folgenden Annahmen machen:

$$(28) \quad \begin{array}{l} \text{I. } l = 1, m = 0, n = e^2; \quad \text{II. } l = 1, m = 0, n = -e^2; \\ \text{III. } [l = 1, m = -2e, n = e^2 \text{ oder}]: l = 0, m = 1, n = -e; \\ \text{IV. } l = 0, m = 0, n = 1, \end{array}$$

wo überall:

$$(29) \quad e \neq 0 \quad (n \neq 0).$$

Es wird damit:

$$(30) \quad \begin{array}{l} \text{I. } g(\lambda) = \lambda^2 - e^2; \quad \text{II. } g(\lambda) = \lambda^2 + e^2; \\ \text{III. } g(\lambda) = (\lambda - e)^2 \text{ oder } \lambda - e; \quad \text{IV. } g(\lambda) = 1. \end{array}$$

Die beiden Fälle III gehen durch die Substitution:

$$(31) \quad \lambda = \frac{e \lambda'}{\lambda' - e}; \quad g(\lambda) = (\lambda - e)^2 = \frac{e^4}{(\lambda' - e)^2} = \frac{e^4 (\lambda' - e)}{(\lambda' - e)^3}$$



ineinander über, indem der Faktor  $e^4 : (\lambda' - e)^3$  wie unter 5 in  $\varrho$  aufgenommen wird. Wir behalten daher nur den einen, und zwar zweiten Fall III bei.

**9. Die Parameter der unendlich fernen Punkte.** Das Gesamtergebnis der vorstehenden Entwicklung besteht darin, daß durch geeignete lineare Substitutionen (8) des Parameters  $\lambda$  den drei unendlich fernen Punkten der allgemeinen Raumkurve 3. O. (1) in den vier Fällen 7, I—IV ohne Beschränkung der Allgemeinheit die Parameter:

$$(32) \quad \text{I. } \lambda = \infty, \lambda = ei, \lambda = -ei; \quad \text{II. } \lambda = \infty, \lambda = e, \lambda = -e;$$

$$\text{III. } \lambda = \infty, \lambda = \infty, \lambda = e, \quad \text{IV. } \lambda = \infty, \lambda = \infty, \lambda = \infty$$

zuerteilt werden können. Dabei bleibt, sofern  $e$  als unbestimmte Konstante betrachtet wird, auch der Parameter  $\lambda$  noch um einen konstanten Faktor unbestimmt (vgl. § 5, 5; 6).

## § 5. Die Transformation des rechtwinkligen Koordinatensystems.

**1. Parallelverschiebung des rechtwinkligen Koordinatensystems.** Bezogen auf ein rechtwinkliges Koordinatensystem  $Oxyz$  war die allgemeine Raumkurve 3. O. durch die Gleichungen § 4, (1) dargestellt, die nach § 4, (27) bei nicht homogener Schreibweise in die Form gebracht werden konnten:

$$(1) \quad \begin{cases} x = \frac{a_{11}\lambda^3 + a_{12}\lambda^2 + a_{13}\lambda + a_{14}}{g(\lambda)}, & y = \frac{a_{21}\lambda^3 + a_{22}\lambda^2 + a_{23}\lambda + a_{24}}{g(\lambda)}, \\ z = \frac{a_{31}\lambda^3 + a_{32}\lambda^2 + a_{33}\lambda + a_{34}}{g(\lambda)}, & g(\lambda) = l\lambda^2 + m\lambda + n, \quad n \neq 0. \end{cases}$$

Führt man nun durch die Substitution:

$$(2) \quad x = x_0 + x', \quad y = y_0 + y', \quad z = z_0 + z'$$

ein paralleles System  $O'x'y'z'$  mit dem Anfangspunkt  $x_0, y_0, z_0$  ein, so wird:

$$x' = x - x_0 = \frac{a_{11}\lambda^3 + (a_{12} - lx_0)\lambda^2 + (a_{13} - mx_0)\lambda + (a_{14} - nx_0)}{g(\lambda)}, \quad y' = \dots, \quad z' = \dots$$

Setzt man daher mit Rücksicht auf die Voraussetzung  $n \neq 0$ :

$$(3) \quad x_0 = \frac{a_{14}}{n}, \quad y_0 = \frac{a_{24}}{n}, \quad z_0 = \frac{a_{34}}{n},$$

läßt die Akzente für das neue System wieder fallen und bezeichnet die neuen Koeffizienten wieder allgemein mit  $a_k$ , so ergibt sich:

Die Parameterdarstellung der allgemeinen Raumkurve 3. O. kann stets auf die Form gebracht werden:

$$(4) \quad \begin{aligned} x &= \frac{a_{11}\lambda^3 + a_{12}\lambda^2 + a_{13}\lambda}{g(\lambda)}, & y &= \frac{a_{21}\lambda^3 + a_{22}\lambda^2 + a_{23}\lambda}{g(\lambda)}, \\ z &= \frac{a_{31}\lambda^3 + a_{32}\lambda^2 + a_{33}\lambda}{g(\lambda)}. \end{aligned}$$

Wir setzen nun neuerdings:

$$(5) \quad A = \begin{vmatrix} a_{11} & a_{12} & a_{13} \\ a_{21} & a_{22} & a_{23} \\ a_{31} & a_{32} & a_{33} \end{vmatrix}.$$

und haben die Voraussetzung:

$$(6) \quad An \neq 0.$$

Denn die Voraussetzung § 4, (2) ist ihrer Bedeutung nach, wie gegen jede lineare Transformation des Parameters § 4, 5, auch gegen jede lineare Transformation der Koordinaten invariant, da immer wieder jedem Parameter ein bestimmter Punkt entsprechen muß und umgekehrt (s. den allg. Beweis hierfür § 24, 3).

**2. Drehung des rechtwinkligen Koordinatensystems.** Führt man jetzt ein neues konzentrisches rechtwinkliges System  $O\xi\eta\zeta$  ein, dessen Achsen die Richtungskosinus  $\alpha_1\beta_1\gamma_1$ ,  $\alpha_2\beta_2\gamma_2$ ,  $\alpha_3\beta_3\gamma_3$  haben, so ist (I § 37, (11)):

$$(7) \quad \xi = \alpha_1 x + \beta_1 y + \gamma_1 z, \quad \eta = \alpha_2 x + \beta_2 y + \gamma_2 z, \quad \zeta = \alpha_3 x + \beta_3 y + \gamma_3 z.$$

Setzt man hier die Werte (4) ein, so ergibt sich:

$$(8) \quad \xi = \frac{a\lambda^3 + a'\lambda^2 + a''}{g(\lambda)}, \quad \eta = \frac{b'\lambda^3 + b\lambda^2 + b'}{g(\lambda)}, \quad \zeta = \frac{c'\lambda^3 + c''\lambda^2 + c}{g(\lambda)},$$

wo zur Abkürzung gesetzt ist:

$$(9) \quad \begin{cases} a_{11}\alpha_1 + a_{21}\beta_1 + a_{31}\gamma_1 = a, \\ a_{12}\alpha_1 + a_{22}\beta_1 + a_{32}\gamma_1 = a', \\ a_{13}\alpha_1 + a_{23}\beta_1 + a_{33}\gamma_1 = a''; \end{cases} \quad (10) \quad \begin{cases} a_{11}\alpha_2 + a_{21}\beta_2 + a_{31}\gamma_2 = b'', \\ a_{12}\alpha_2 + a_{22}\beta_2 + a_{32}\gamma_2 = b, \\ a_{13}\alpha_2 + a_{23}\beta_2 + a_{33}\gamma_2 = b'; \end{cases}$$

$$(11) \quad \begin{cases} a_{11}\alpha_3 + a_{21}\beta_3 + a_{31}\gamma_3 = c', \\ a_{12}\alpha_3 + a_{22}\beta_3 + a_{32}\gamma_3 = c'', \\ a_{13}\alpha_3 + a_{23}\beta_3 + a_{33}\gamma_3 = c. \end{cases}$$

**3. Verfügung über die Richtungskosinus.** Wir bestimmen nun die neun Richtungskosinus, die für drei unabhängige Konstanten zählen, aus den Bedingungen:

$$(12) \quad c' = 0, \quad c'' = 0; \quad b'' = 0.$$

Bezeichnen  $A_{ki}$  die Unterdeterminanten von  $A$  in (5), so folgt aus den beiden ersten Gleichungen (11) mit  $c' = 0$ ,  $c'' = 0$ :

$$(13) \quad \varrho \alpha_3 = A_{13}, \quad \varrho \beta_3 = A_{23}, \quad \varrho \gamma_3 = A_{33}; \quad \varrho^2 = A_{13}^2 + A_{23}^2 + A_{33}^2$$

( $\neq 0$  nach (6)) und dann aus der dritten:

$$(14) \quad c = \frac{A}{\varrho} \quad (\neq 0 \text{ nach (6)}).$$

Damit ist die Richtung der  $\xi$ -Achse (bis auf die Pfeilspitze) und die Konstante  $c$  bestimmt.

Aus der ersten Gleichung (10) mit  $b'' = 0$  und der Bedingung des Senkrechtstehens der  $\eta$ - und  $\xi$ -Achse, also aus:

$$\begin{aligned} a_{11}\alpha_2 + a_{21}\beta_2 + a_{31}\gamma_2 &= 0, \\ A_{13}\alpha_2 + A_{23}\beta_2 + A_{33}\gamma_2 &= 0, \end{aligned}$$

folgt nun weiter:

$$(15) \quad \sigma \alpha_2 = a_{21}A_{33} - a_{31}A_{23}, \quad \sigma \beta_2 = a_{31}A_{13} - a_{11}A_{33}, \quad \sigma \gamma_2 = a_{11}A_{23} - a_{21}A_{13},$$

$$(16) \quad \sigma^2 = (a_{21}A_{33} - a_{31}A_{23})^2 + (a_{31}A_{13} - a_{11}A_{33})^2 + (a_{11}A_{23} - a_{21}A_{13})^2.$$

*Es kann also  $\sigma$  nicht verschwinden;* denn sonst wäre:

$$A_{13} : A_{23} : A_{33} = a_{11} : a_{21} : a_{31}$$

und wegen der identischen Gleichung:

$$a_{11}A_{13} + a_{21}A_{23} + a_{31}A_{33} = 0,$$

da auch  $A_{13}$ ,  $A_{23}$ ,  $A_{33}$  nach (6) nicht alle verschwinden können:

$$a_{11}^2 + a_{21}^2 + a_{31}^2 = 0,$$

was mit (6) nicht verträglich.

Danach folgt aus den beiden letzten Gleichungen (10) mittels (15) und (13):

$$\begin{aligned} b &= \frac{1}{\sigma} \{ a_{12}(a_{21}A_{33} - a_{31}A_{23}) + a_{22}(a_{31}A_{13} - a_{11}A_{33}) + a_{32}(a_{11}A_{23} - a_{21}A_{13}) \} \\ (17) \quad &= -\frac{1}{\sigma} (A_{13}^2 + A_{23}^2 + A_{33}^2) = -\frac{\varrho^2}{\sigma} (\neq 0); \end{aligned}$$

$$\begin{aligned} b' &= \frac{1}{\sigma} \{ a_{13}(a_{21}A_{33} - a_{31}A_{23}) + a_{23}(a_{31}A_{13} - a_{11}A_{33}) + a_{33}(a_{11}A_{23} - a_{21}A_{13}) \} \\ (18) \quad &= \frac{1}{\sigma} (A_{13}A_{23} + A_{23}A_{33} + A_{33}A_{13}). \end{aligned}$$

Damit ist die Richtung der  $\eta$ -Achse und die Konstanten  $b$ ,  $b'$  bestimmt. Die  $\xi$ -Achse ist dann die Normale der  $\eta\xi$ -Ebene, und mit ihren Richtungskosinus sind nach (9) auch die Konstanten  $a$ ,  $a'$ ,  $a''$  bestimmt. Dabei muß  $a \neq 0$  werden, da die drei Gleichungen  $a = 0$ ,  $b'' = 0$ ,  $c' = 0$  mit (6) nicht verträglich sind.

**4. Resultat der beiden Koordinatentransformationen.** Bezeichnet man die neuen Koordinaten abermals mit  $x$ ,  $y$ ,  $z$  und führt wieder die homogene Schreibweise ein, so folgt:

Die Parameterdarstellung der allgemeinen Raumkurve 3. O. kann mit bezug auf ein rechtwinkliges Koordinatensystem immer in die Form gebracht werden:

$$(19) \quad \begin{cases} \varrho x = a\lambda^3 + a'\lambda^2 + a''\lambda, & \varrho y = b\lambda^3 + b'\lambda, \\ \varrho z = c\lambda, & \varrho t = l\lambda^3 + m\lambda + n, \end{cases}$$

wo  $l, m, n$  eines der Wertsysteme:

$$(20) \quad \text{I. } l = 1, m = 0, n = e^2; \quad \text{II. } l = 1, m = 0, n = -e^2;$$

$$\text{III. } l = 0, m = 1, n = -e; \quad \text{IV. } l = 0, m = 0, n = 1$$

bedeuten und:

$$(21) \quad abc n \neq 0.$$

5. Herstellung von zwei gleichen Koeffizienten. Wegen des unbestimmten Faktors  $\varrho$  können die rechten Seiten der Gleichungen (19) mit einem beliebigen Faktor multipliziert werden. Multipliziert man sie mit dem nach (21) stets bestimmten Faktor  $b^2 : c^2$  und setzt alsdann

$$(22) \quad \mu = \frac{b\lambda}{c},$$

so nehmen sie die Form an:

$$(23) \quad \begin{cases} \varrho x = \frac{ac}{b}\mu^3 + a'\mu^2 + \frac{a''b}{c}\mu, & \varrho y = b\mu^3 + \frac{bb'}{c}\mu, \\ \varrho z = b\mu, & \varrho t = l\mu^3 + \frac{mb}{c}\mu + \frac{nb^2}{c^2}, \end{cases}$$

wo  $\mu^2$  in  $y$  und  $\mu$  in  $z$  denselben Koeffizienten  $b$  haben.

Für die Wertsysteme (20) nimmt die rechte Seite der vierten Gleichung (23) die Formen an:

$$\mu^2 + \frac{b^2 e^2}{c^2}, \quad \mu^2 - \frac{b^2 e^2}{c^2}, \quad \frac{b}{c} \left( \mu - \frac{be}{c} \right), \quad \frac{b^2}{c^2}.$$

In den beiden letzten Fällen kann man nachträglich alle rechten Seiten von (23) wieder mit  $c : b$ , bezüglich  $c^2 : b^2$  multiplizieren, wodurch  $\mu^2$  in  $y$  und  $\mu$  in  $z$  beide denselben Koeffizienten  $c$ , bezüglich  $c^2 : b$  behalten. Bezeichnet man dann die neuen Koeffizienten wieder mit den früheren einfachen Buchstaben, auch  $be : c$  wieder mit  $e$  und  $\mu$  mit  $\lambda$ , so erhält man aus (23) wieder die Formeln (19) mit den Angaben (20), nur daß  $c = b$  geworden ist.

In der Parameterdarstellung (19) der allgemeinen Raumkurve 3. O. kann ohne Beschränkung:

$$(24) \quad b = c$$

genommen werden.

Damit ist dann der nach § 4, 9 noch verfügbare Faktor des Parameters  $\lambda$  bestimmt.

**6. Andere Verfügung über den Faktor des Parameters.** Setzt man in den Fällen I—III in (20), wo in (19)  $qt = \lambda^2 \pm e^2$  oder  $qt = \lambda - e$  wird,  $\lambda = e\mu$  und dividiert dann alle rechten Seiten durch  $e^2$  oder  $e$ , so erhält man:

$$qx = ae\mu^3 + a'\mu^2 + \frac{a''}{e}\mu, \quad qy = b\mu^2 + \frac{b'}{e}\mu, \quad qz = \frac{c}{e}\mu, \quad qt = \mu^2 \pm 1$$

oder:

$$qx = ae^2\mu^3 + a'e\mu^2 + a''\mu, \quad qy = be\mu^2 + b'\mu, \quad qz = c\mu, \quad qt = \mu - 1,$$

wo man schließlich die Koeffizienten wieder mit den einfachen Buchstaben wie in (19) und  $\mu$  mit  $\lambda$  bezeichnen kann. Man erhält dann die Gleichungen (19), nur mit  $e = 1$  in (20).

*In der Parameterdarstellung (19) kann ohne Beschränkung bei I—III:*

$$(25) \quad e = 1$$

*genommen werden.*

Auch damit ist der verfügbare Faktor von  $\lambda$  bestimmt.<sup>1)</sup>

## § 6. Die allgemeine Raumkurve dritter Ordnung als kubischer Kegelschnitt.

**1. Bestimmung eines Kurvenpunktes durch drei Ebenen.** Die Auflösung der Gleichungen § 5, (19) der allgemeinen Raumkurve 3. O. nach den Potenzen von  $\lambda$  gibt mit einem Proportionalitätsfaktor  $\sigma$ :

$$(1) \quad \begin{cases} \sigma\lambda^3 = n\{c(bx - a'y) + (a'b' - a''b)z\}, & \sigma\lambda^2 = an(cy - b'z), \\ \sigma\lambda = abnz, & \sigma = a\{-lcy + (lb' - mb)z + bct\}. \end{cases}$$

Indem man die drei ersten Gleichungen (1) je durch die folgende dividiert, erhält man die Abhängigkeit des Kurvenpunktes  $x, y, z, t$  von seinem Parameter  $\lambda$  durch folgende drei Gleichungen ausgedrückt:

$$(2) \quad \begin{cases} \{c(bx - a'y) + (a'b' - a''b)z\} - \lambda a(cy - b'z) = 0, & (cy - b'z) - \lambda bz = 0, \\ nbz - \lambda \{-lcy + (lb' - mb)z + bct\} = 0. \end{cases}$$

Der dem Parameter  $\lambda$  entsprechende Punkt erscheint danach als *Schnittpunkt dreier Ebenen* (vgl. § 36, 1).

1) Es bleiben dann sechs Konstanten  $a, a', a'', b, b', c$ , und sechs gehen auf das Koordinatensystem, vgl. R. Sturm, Math. Ann. 26 (1886), S. 489; Geom. Verwandtschaften 2 (1908), S. 178; H. Schubert, Kalkül d. abzähl. Geom., Leipzig 1879, S. 163.

2. **Übergang auf Kegel und Zylinder.** Er genügt daher auch den durch Elimination von  $\lambda$  aus den beiden ersten und beiden letzten Gleichungen (2) hervorgehenden Gleichungen:

$$(3) \quad \begin{cases} bz\{c(bx - a'y) + (a'b' - a''b)z\} - a(cy - b'z)^2 = 0, \\ (cy - b'z)\{-lcy + (lb' - mb)z + bct\} - nb^2z^2 = 0 \end{cases}$$

oder geordnet:

$$(4) \quad \begin{cases} ac^2y^2 + (a'b - 2ab')cyz + \{ab'^2 - (a'b' - a''b)b\}z^2 - b^2czz = 0, \\ lc^2y^2 + (mb - 2lb')cyz + \{lb'^2 - (mb' - nb)b\}z^2 - bc^2yt + bb'czt = 0 \end{cases}$$

oder mit neuer Bezeichnung der Koeffizienten:

$$(5) \quad a_{22}y^2 + 2a_{23}yz + a_{33}z^2 - a_{13}zx = 0,$$

$$(6) \quad b_{22}y^2 + 2b_{23}yz + b_{33}z^2 - b_{12}yt - b_{13}zt = 0.$$

Die allgemeine Raumkurve 3. O. § 5, (19) ist daher der übrige Durchschnitt eines Kegels (5) und eines Zylinders (6), welche die  $x$ -Achse  $y = 0$ ,  $z = 0$  gemein haben.

Diese selbst gehört der Kurve nicht an. Denn die Gleichungen (3) führen, je in Verbindung mit der mittleren (2) als linear und homogen in  $cy - b'z$  und  $bz$  betrachtet (vgl. § 7, 9), nur dann bei beliebigem  $\lambda$  auf die beiden anderen (2) zurück, wenn nicht  $cy - b'z$  und  $z$  beide verschwinden.

3. **Beziehung zwischen den beiderseitigen Koeffizienten.** Für die Verhältnisse der Koeffizienten der Gleichungen (5) und (6) ergibt sich aus (4), da nach § 5, (21)  $abcn \neq 0$  und daher nach (4) und (5), (6)  $a_{22}a_{13}b_{12} \neq 0$ :

$$(7) \quad \begin{cases} \frac{a_{22}}{a_{13}} = \frac{ac}{b^2}, & \frac{2a_{23}}{a_{13}} = \frac{a'b - 2ab'}{b^2}, & \frac{a_{33}}{a_{13}} = \frac{ab'^2 - a'b b' + a''b^2}{b^2c}, \\ \frac{b_{22}}{b_{12}} = \frac{l}{b}, & \frac{2b_{23}}{b_{12}} = \frac{mb - 2lb'}{bc}, & \frac{b_{33}}{b_{12}} = \frac{lb'^2 - mb b' + nb^2}{bc^2}, & \frac{b_{13}}{b_{12}} = -\frac{b'}{c}. \end{cases}$$

Umgekehrt ergeben sich aus diesen sieben Gleichungen die sieben Verhältnisse:

$$(8) \quad \begin{cases} \frac{ac}{b^2} = \frac{a_{22}}{a_{13}}, & \frac{a'}{b} = 2 \frac{a_{23}b_{12} - a_{22}b_{13}}{a_{13}b_{12}}, & \frac{a''}{c} = \frac{a_{22}b_{13}^2 - 2a_{23}b_{12}b_{13} + a_{33}b_{12}^2}{a_{13}b_{12}^2}, \\ \frac{l}{b} = \frac{b_{22}}{b_{12}}, & \frac{m}{c} = 2 \frac{b_{23}b_{12} - b_{22}b_{13}}{b_{12}^2}, & \frac{nb}{c^2} = \frac{b_{22}b_{13}^2 - 2b_{23}b_{12}b_{13} + b_{33}b_{12}^2}{b_{12}^2}, \\ & & \frac{b'}{c} = -\frac{b_{13}}{b_{12}}, \end{cases}$$

gerade diejenigen, welche in den rechts überall noch durch  $b$  dividierten Gleichungen § 5, (23) sich als wesentlich ergaben.

Da aber in § 5, (19) nach § 5, (24) ohne Beschränkung  $c = b$  genommen werden kann, so fallen die Formeln (7) und (8) vollkommen zusammen mit den Formeln § 3, (13) und (11); auch folgen, da  $abcn \neq 0$  und  $a_{12}a_{13}b_{12} \neq 0$ , mit Rücksicht auf den Wert von  $n$  in (8) die Bedingungen § 3, (5).

**4. Raumkurve 3. O. und kub. Kegelschnitt.** Der *kub. Kegelschnitt* wurde in § 1, 1 als der übrige Durchschnitt eines Kegels und eines Zylinders 2. O. definiert, die eine Erzeugende gemein haben.

Die *allgemeine* (stets rationale) *Raumkurve 3. O.* fand ihren Ausdruck in der Parameterdarstellung § 4, (1).

Nun folgt aus § 3, (10), daß *jeder kub. Kegelschnitt eine Raumkurve 3. O.*, und aus § 6, (5), (6), daß *jede Raumkurve 3. O. ein kub. Kegelschnitt* ist.

In der Tat gelten für beide dieselben Gleichungen § 3, (3); (4) und § 6, (5); (6) von Kegel und Zylinder, sowie dieselben Parameterdarstellungen § 3, (10) und § 5, (19); (24).

**5. Arten der Raumkurve 3. O.** Die Einteilung der kub. Kegelschnitte in vier Arten nach ihren drei unendlich fernen Punkten § 2, 7 und § 3, 2 und 6 überträgt sich demnach auf die allgemeine Raumkurve 3. O.

Für die bei dieser letzteren möglichen Fälle ist nach § 5, (20):

$$(9) \begin{cases} \text{I. } 4ln - m^2 = 4e^2 > 0; & \text{II. } 4ln - m^2 = -4e^2 < 0, l \neq 0; \\ \text{III. } l = 0, m \neq 0; & \text{IV. } l = 0, m = 0; \end{cases}$$

und daher nach § 3, 6 die *allgemeine Raumkurve 3. O.* § 5, (19), (24) in den vier Fällen § 5, (20) eine *kub. Ellipse, Hyperbel, hyperbolische Parabel, Parabel*.

**6. Vereinfachte Darstellung des kub. Kegelschnittes.** Zu den Ergebnissen 4 und 5 ist aber noch ein weiteres getreten. Da nämlich für die *allgemeine Raumkurve 3. O.* § 4, (1) durch geeignete Veränderung des Parameters  $\lambda$  und des Koordinatensystems  $Oxyz$  stets eines der vier speziellen Wertsysteme § 5, (20) von  $l, m, n$  hergestellt werden kann, so war die Darstellung des kub. Kegelschnittes § 3, (10), wo die Konstanten  $l, m, n$  allgemeine Werte mit fünf Unterfällen § 3, (15) hatten, noch nicht die einfachste.

Man kann also nach § 4, (31) einerseits den zweiten Fall III in § 3, (15) weglassen und andererseits in den Fällen I und II in § 3, (15)  $m = 0$  setzen<sup>1)</sup>, was eine besondere geometrische Bedeutung hat.

1) Cremona, Ann. di mat. 2 (1859), S. 205.

7. Bedeutung des Verschwindens von  $m$ . Nach (7) ist:

$$(10) \quad \frac{b_{22}b_{33} - b_{23}^2}{b_{11}^2} = \frac{4ln - m^2}{4c^2}.$$

Jenachdem dieser Ausdruck positiv (Fall (9) I), negativ (Fälle (9) II und III) oder null (Fall (9) IV), ist der Zylinder (6) ein *elliptischer*, *hyperbolischer* oder *parabolischer Zylinder*. Für seine Mittelpunktsachse ist (II § 11, (7)):

$$(11) \quad b_{22}y + b_{33}z - \frac{1}{2}b_{12}t = 0, \quad b_{32}y + b_{33}z - \frac{1}{2}b_{13}t = 0$$

oder:

$$(12) \quad y : z : t = b_{12}b_{33} - b_{13}b_{23} : b_{13}b_{22} - b_{12}b_{23} : 2(b_{22}b_{33} - b_{23}^2).$$

Unter der Bedingung:

$$(13) \quad m = 0 \quad \text{oder nach (8):} \quad b_{13}b_{22} - b_{12}b_{23} = 0$$

liegt die Mittelpunktsachse des Zylinders (6) in der Ebene  $z = 0$ , oder was, da in (5)  $a_{12} = 0$ , nach § 3, 1 dasselbe ist:

Die *Tangentialebene des Kegels* (5) *längs der gemeinsamen Erzeugenden der Flächen* (5) *und* (6) *ist eine Diametralebene des Zylinders* (6).

8. Einfachste Herstellung der kub. Kegelschnitte. Die Raumkurve 3. O. oder der kub. Kegelschnitt kann in allgemeinsten Form

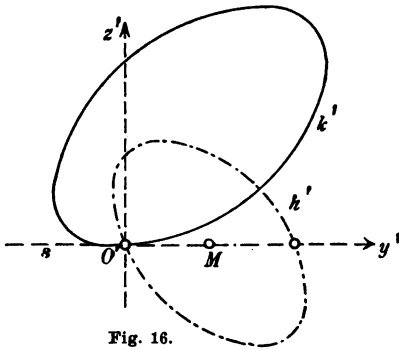


Fig. 16.

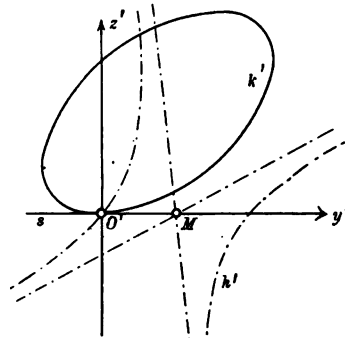


Fig. 17.

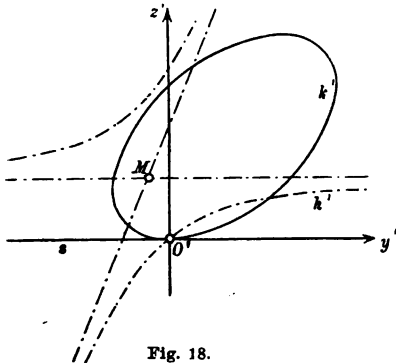


Fig. 18.

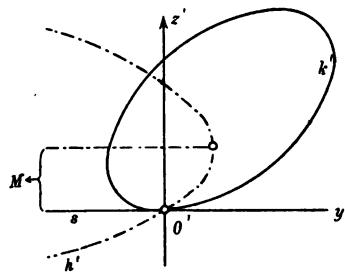


Fig. 19.



erhalten werden als der übrige *Durchschnitt eines Kegels und eines Zylinders*, die eine Erzeugende gemein haben, ohne sich längs ihrer zu berühren.

Bei der kub. *Ellipse*, *Hyperbel* und *Parabel* ist der Zylinder bezüglich elliptisch, hyperbolisch und parabolisch und die *Tangentialebene des Kegels längs der gemeinsamen Erzeugenden eine Diametralebene des Zylinders* (beim parabolischen eine Parallelebene zur Hauptebene).

Bei der *hyperbolischen Parabel* ist der Zylinder hyperbolisch und die Tangentialebene des Kegels längs der gemeinsamen Erzeugenden einer Asymptotenebene des Zylinders parallel, aber *nicht selbst Asymptotenebene* (also auch nicht Diametralebene).

Die vier Fälle sind nunmehr durch die Fig. 16—19 gekennzeichnet, welche die Schnittkurven  $h'$  und  $k'$  von Zylinder und Kegel mit einer zur  $x$ -Achse senkrechten Ebene  $O'y'z'$  in ihrer Lage gegen die Achsen  $y'$  und  $z'$  angeben. Für die kub. *Ellipse* in Fig. 16 ist  $y'$  nicht nur, wie schon in Fig. 10, die Tangente von  $k'$  in  $O'$ , sondern geht auch durch den Mittelpunkt  $M$  von  $h'$ . Das Entsprechende gibt Fig. 17 für die kub. *Hyperbel*. In Fig. 18, für die kub. *hyperbol. Parabel*, liegt dagegen  $M$  nicht auf der Tangente  $y'$ , während in Fig. 19, für die kub. *Parabel*, wiederum der unendlich ferne Mittelpunkt  $M$  von  $h'$  auf  $y'$  liegt, also  $y'$  der Hauptachse der Parabel  $h'$  parallel ist.

9. **Einfachste analytische Darstellung.** In bezug auf ein rechtwinkliges Koordinatensystem  $Oxyz$  ist der allgemeine kub. Kegelschnitt gegeben durch die Parameterdarstellung seiner Punkte:

$$(14) \quad \begin{cases} qx = a\lambda^3 + a'\lambda^2 + a''\lambda, \\ qy = b\lambda^3 + b'\lambda, \\ qz = c\lambda, \\ qt = l\lambda^2 + m\lambda + n, \end{cases}$$

wo:

$$(15) \quad abcn \neq 0,$$

und gleichzeitig als Durchschnitt des Kegels und Zylinders:

$$(16) \quad ac^2y^3 + (a'b - 2ab')cyz + (ab'^2 - a'bb' + a''b^2)z^2 - b^2czz = 0,$$

$$(17) \quad lc^2y^3 + (mb - 2lb')cyz + (lb'^2 - mb'b' + nb^2)z^2 - b^2c^2yt + bb'czt = 0.$$

Er ist eine kub. *Ellipse*; *Hyperbel*; *hyperbolische Parabel* oder *Parabel*, jenachdem:

$$(18) \quad \begin{cases} \text{I. } l = 1, m = 0, n = e^2; \text{ II. } l = 1, m = 0, n = -e^2; \\ \text{III. } l = 0, m = 1, n = -e \text{ oder IV. } l = 0, m = 0, n = 1. \end{cases}$$

Seine unendlich fernen Punkte haben die Parameter:

- (19) I.  $\lambda = \infty, ei, -ei$ ; II.  $\lambda = \infty, e, -e$ ; III.  $\lambda = \infty, \infty, e$ ;  
IV.  $\lambda = \infty, \infty, \infty$ .

Ohne Beschränkung kann entweder:

- (20)  $b = c$  oder  $e = 1$   
genommen werden.

## II. Kapitel.

### Bestandteile des kubischen Kegelschnittes.

#### § 7. Die Schmiegungebenen.

1. Die zugrunde zu legende Darstellung. Wir legen zur weiteren Untersuchung nunmehr die Parameterdarstellung § 6, (14) der allgemeinen Raumkurve 3. O. im rechtwinkligen Koordinatensystem  $Oxyz$  zugrunde:

$$(1) \quad \varrho x = a\lambda^3 + a'\lambda^2 + a''\lambda, \quad \varrho y = b\lambda^3 + b'\lambda, \quad \varrho z = c\lambda, \quad \varrho t = l\lambda^2 + m\lambda + n.$$

Jeder Punkt der Kurve ist durch seinen Parameter  $\lambda$  vollständig gekennzeichnet und kann daher kurz als „Punkt  $\lambda$ “ bezeichnet werden.<sup>1)</sup>

Die Gleichungen (1) sind nach § 6, (1) auch in der Form darstellbar:

$$(2) \quad \sigma\lambda^3 = y_1, \quad \sigma\lambda^2 = y_2, \quad \sigma\lambda = y_3, \quad \sigma = y_4,$$

wo  $y_1, y_2, y_3, y_4$  als Abkürzungen gebraucht sind für die in  $x, y, z, t$  linearen Funktionen (s. § 35, (3)):

$$(3) \quad \begin{cases} y_1 = n\{c(bx - a'y) + (a'b' - a''b)z\}, & y_2 = an(cy - b'z), \\ y_3 = abnz, & y_4 = a\{-cly + (b'l - bm)z + bct\}. \end{cases}$$

2. Die Verbindungsebene dreier Kurvenpunkte. Für einen Punkt  $\lambda_i$  der Kurve haben die rechtwinkligen Koordinaten die Werte

- (1) mit  $\lambda = \lambda_i$ , die mit ihnen gebildeten Funktionen (3) aber nach  
(2) bis auf einen gemeinsamen Faktor die Werte:

$$(4) \quad y_1 = \lambda_i^3, \quad y_2 = \lambda_i^2, \quad y_3 = \lambda_i, \quad y_4 = 1.$$

Nun stellt die Gleichung (s. § 24, (28)):

$$(5) \quad y_1 - (\lambda_1 + \lambda_2 + \lambda_3)y_2 + (\lambda_2\lambda_3 + \lambda_3\lambda_1 + \lambda_1\lambda_2)y_3 - \lambda_1\lambda_2\lambda_3y_4 = 0$$

mit Rücksicht auf (3) eine Ebene in laufenden Koordinaten  $x, y, z, t$  dar. Sie wird aber ersichtlich identisch erfüllt, wenn man für  $y_1, y_2, y_3, y_4$

1) W. Fr. Meyer, Apolarität und rationale Kurven (1883), S. 48.

die Werte (4) mit  $i = 1, 2$  oder  $3$ , oder was dasselbe ist, für  $x, y, z, t$  die Koordinaten der drei Punkte  $\lambda_1, \lambda_2$  oder  $\lambda_3$  der Kurve setzt.

Die Gleichung (5) stellt also die Verbindungsebene der drei Punkte  $\lambda_1, \lambda_2, \lambda_3$  dar; sie lautet, nach  $x, y, z, t$  geordnet:

$$(6) \quad bcnx + \{al\lambda_1\lambda_2\lambda_3 - an(\lambda_1 + \lambda_2 + \lambda_3) - a'n\}cy \\ + \{a(bm - b'l)\lambda_1\lambda_2\lambda_3 + abn(\lambda_2\lambda_3 + \lambda_3\lambda_1 + \lambda_1\lambda_2) + ab'n(\lambda_1 + \lambda_2 + \lambda_3) + (a'b' - a''b)n\}z \\ - abc\lambda_1\lambda_2\lambda_3t = 0.$$

**3. Tangentialebenen.** Fallen von den drei Punkten, die eine Ebene nach § 4, 3, I mit der Kurve gemein hat, zwei in einen zusammen, so wird die Ebene eine *Tangentialebene* in diesem Punkte, ihrem *Berührungspunkte*. In jedem Punkte  $\lambda$  der Kurve gibt es  $\infty^1$  Tangentialebenen, die ein Büschel bilden. Jede einzelne hat außer ihrem doppelt zählenden *Berührungspunkt*  $\lambda$  noch einen Punkt  $\lambda_0$  mit der Kurve gemein und hat als Verbindungsebene der drei Punkte  $\lambda_1 = \lambda, \lambda_2 = \lambda, \lambda_3 = \lambda_0$  nach (5) und (6) die Gleichung:

$$(7) \quad y_1 - (2\lambda + \lambda_0)y_2 + \lambda(\lambda + 2\lambda_0)y_3 - \lambda^2\lambda_0y_4 = 0,$$

oder ausführlich geschrieben:

$$(8) \quad bcnx + \{al\lambda^2\lambda_0 - an(2\lambda + \lambda_0) - a'n\}cy \\ + \{a(bm - b'l)\lambda^2\lambda_0 + abn\lambda(\lambda + 2\lambda_0) + ab'n(2\lambda + \lambda_0) + (a'b' - a''b)n\}z \\ - abc\lambda^2\lambda_0t = 0.$$

**4. Schmiegungebenen.** Fallen die drei Punkte, die eine Ebene mit der Kurve gemein hat, alle drei in einen zusammen, so wird die Ebene eine *Schmiegungebene* in diesem Punkte, ihrem *Schmiegungepunkt*. In jedem Punkte  $\lambda$  der Kurve gibt es eine Schmiegungeebene. Sie hat als Verbindungsebene der drei Punkte  $\lambda_1 = \lambda, \lambda_2 = \lambda, \lambda_3 = \lambda$  nach (5) und (6) die Gleichung:

$$(9) \quad y_1 - 3\lambda y_2 + 3\lambda^2 y_3 - \lambda^3 y_4 = 0,$$

oder ausführlich:

$$(10) \quad bcnx + (al\lambda^3 - 3an\lambda - a'n)cy \\ + \{a(bm - b'l)\lambda^3 + 3abn\lambda^2 + 3ab'n\lambda + (a'b' - a''b)n\}z - abc\lambda^3t = 0.$$

**5. Parameterdarstellung der Schmiegungebenen.** Für die Koordinaten  $u, v, w, s$  der Schmiegungeebene im Punkte  $\lambda$  folgt aus (10) mit einem Proportionalitätsfaktor  $\sigma$ :

$$(11) \quad \begin{cases} \sigma u = bcn, & \sigma v = c(al\lambda^3 - 3an\lambda - a'n), \\ \sigma w = a(bm - b'l)\lambda^3 + 3abn\lambda^2 + 3ab'n\lambda + (a'b' - a''b)n, \\ \sigma s = -abc\lambda^3. \end{cases}$$

Da hierin die Determinante der Koeffizienten von  $\lambda^3, \lambda^2, \lambda^1, \lambda^0$  den Wert  $(abcn)^3$  hat, also nach § 6, (15) von 0 verschieden ist, so folgt wie in § 4, 1; 2, daß die Beziehung zwischen Parameter  $\lambda$  und Ebene  $u, v, w, s$  *wechselseitig-eindeutig* ist. Jedem Parameter  $\lambda$  entspricht eine „*Schmiegungebene*  $\lambda$ “ und umgekehrt.

Die Auflösung der Gleichungen (11) nach den Potenzen von  $\lambda$  gibt ebenso wie in (2), (3) mit einem Faktor  $\varrho$ :

$$(12) \quad \varrho = v_1, \quad -3\varrho\lambda = v_2, \quad 3\varrho\lambda^2 = v_3, \quad -\varrho\lambda^3 = v_4,$$

wo  $v_1, v_2, v_3, v_4$  als Abkürzungen gebraucht sind für die in  $u, v, w, s$  linearen Funktionen (§ 35, (4)):

$$(13) \quad v_1 = au, \quad v_2 = a'u + bv + ls, \quad v_3 = a''u + b'v + cw + ms, \quad v_4 = ns.$$

**6. Die Klasse der Raumkurve 3. O.** Soll eine Ebene (11) durch einen gegebenen Punkt:

$$(14) \quad xu + yv + zw + ts = 0$$

des Raumes hindurchgehen, so muß  $\lambda$  der Bedingung entsprechen (§ 4, 3):

$$(15) \quad a(cly + (bm - b'l)z - bct)\lambda^3 + 3abnz\lambda^2 - 3an(cy - b'z)\lambda \\ + n(bcx - a'cy + (a'b' - a''b)z) = 0,$$

wo wiederum die vier Koeffizienten der Potenzen von  $\lambda$  nach § 6, (15) für keinen Punkt  $x, y, z, t$  alle verschwinden können.

*Durch jeden gegebenen Punkt des Raumes gehen daher drei Schmiegungebenen der Raumkurve 3. O. hindurch.*

*Die Raumkurve 3. Ordnung ist auch von der 3. Klasse<sup>1)</sup> (s. § 24, 10).*

**7. Der Schnittpunkt von drei Schmiegungebenen.** Mit Rücksicht auf (13) stellt die Gleichung:

$$(16) \quad 3\lambda_1\lambda_2\lambda_3v_1 + (\lambda_2\lambda_3 + \lambda_3\lambda_1 + \lambda_1\lambda_2)v_2 + (\lambda_1 + \lambda_2 + \lambda_3)v_3 + 3v_4 = 0$$

in laufenden Koordinaten  $u, v, w, s$  einen Punkt dar (vgl. (5)). Sie wird aber identisch erfüllt, wenn man für  $v_1, v_2, v_3, v_4$  die Werte:

$$(17) \quad v_1 = 1, \quad v_2 = -3\lambda_i, \quad v_3 = 3\lambda_i^2, \quad v_4 = -\lambda_i^3$$

mit  $i = 1, 2$  oder  $3$  (vgl. (4)) einsetzt oder, was wegen des Zusammenhangs der Gleichungen (11) und (12) dasselbe ist, für  $u, v, w, s$  die Koordinaten der drei Schmiegungebenen  $\lambda_1, \lambda_2, \lambda_3$ .

*Die Gleichung (16) stellt also den Schnittpunkt der drei Schmiegungebenen  $\lambda_1, \lambda_2, \lambda_3$  dar; sie lautet, nach  $u, v, w, s$  geordnet (vgl. (6)):*

1) H. Schröter, Oberfl. 2. O. u. Raumkurven 3. O. (1880), S. 272.

$$\begin{aligned}
 (18) \quad & \{3a\lambda_1\lambda_2\lambda_3 + a'(\lambda_2\lambda_3 + \lambda_3\lambda_1 + \lambda_1\lambda_2) + a''(\lambda_1 + \lambda_2 + \lambda_3)\}u \\
 & + \{b(\lambda_2\lambda_3 + \lambda_3\lambda_1 + \lambda_1\lambda_2) + b'(\lambda_1 + \lambda_2 + \lambda_3)\}v \\
 & + c(\lambda_1 + \lambda_2 + \lambda_3)w \\
 & + \{l(\lambda_2\lambda_3 + \lambda_3\lambda_1 + \lambda_1\lambda_2) + m(\lambda_1 + \lambda_2 + \lambda_3) + 3n\}s = 0.
 \end{aligned}$$

**8. Tangentenpunkte und Schmiegungepunkte.** Fallen von den drei Schmiegungeebenen, die nach 6 durch einen Punkt gehen, zwei zusammen,  $\lambda_1 = \lambda_2 = \lambda$ , während der dritte  $\lambda_3 = \lambda_0$  getrennt bleibt, so wird der Punkt ein „Tangentenpunkt in der Schmiegungeebene  $\lambda$ “ und seine Gleichung nach (16):

$$(19) \quad 3\lambda^2\lambda_0v_1 + \lambda(\lambda + 2\lambda_0)v_2 + (2\lambda + \lambda_0)v_3 + 3v_4 = 0.$$

Fallen endlich alle drei Schmiegungeebenen, die durch einen Punkt gehen, zusammen,  $\lambda_1 = \lambda_2 = \lambda_3 = \lambda$ , so wird der Punkt ein „Schmiegungepunkt in der Schmiegungeebene  $\lambda$ “ und seine Gleichung nach (16):

$$(20) \quad \lambda^3v_1 + \lambda^2v_2 + \lambda v_3 + v_4 = 0.$$

Da hier nach Einsetzung der Werte (13) die Koeffizienten von  $u, v, w, s$  mit den rechten Seiten von (1) übereinstimmen, ist der Schmiegungepunkt in der Schmiegungeebene  $\lambda$  der Punkt  $\lambda$  der Raumkurve.

Wie also zu jedem Punkte  $\lambda$  der Raumkurve eine Schmiegungeebene (11) gehört, so gehört auch zu jeder Schmiegungeebene  $\lambda$  ein Punkt (1) der Raumkurve.

Die Raumkurve ist als Inbegriff ihrer Punkte und Schmiegungeebenen sowohl durch die Gleichungen (1) wie durch die Gleichungen (11) bestimmt.

**9. Darstellung der Raumkurve durch drei Gleichungen.** Die Gleichungen § 6, (2), die den Punkt  $\lambda$  der Raumkurve als Durchschnitt von drei Ebenen bestimmen, lauten mit den Abkürzungen (3):

$$(21) \quad y_1 - \lambda y_2 = 0, \quad y_2 - \lambda y_3 = 0, \quad y_3 - \lambda y_4 = 0.$$

Durch Elimination von  $\lambda$  aus je zwei Gleichungen (21) ergibt sich, daß jeder Punkt der Raumkurve 3. O. auf den drei Flächen 2. O. liegt:

$$(22) \quad f = y_2y_4 - y_3^2 = 0, \quad g = y_2y_3 - y_1y_4 = 0, \quad h = y_1y_3 - y_2^2 = 0.$$

Die erste und dritte Fläche sind der schon § 6, (3) erhaltene Kegel und Zylinder. Aus ihren Gleichungen:

$$y_4y_2 - y_3y_3 = 0, \quad y_2y_2 - y_1y_3 = 0$$

folgt nun, indem man sie als linear und homogen in  $y_2$  und  $y_3$  auffaßt, daß entweder  $y_2 = 0$  und  $y_3 = 0$  oder die Determinante  $y_4 y_1 - y_3 y_2 = 0$  (I Anm. 2, I, (7)). Jeder auf der ersten und dritten Fläche (22) liegende Punkt liegt daher auch auf der zweiten, es sei denn, daß für ihn  $y_2 = 0$  und  $y_3 = 0$  oder nach (3)  $y = 0, z = 0$ , daß er also auf der gemeinsamen Erzeugenden von Kegel und Zylinder § 6, (3) liegt. Die Hinzufügung der mittleren Gleichung (22) ermöglicht also die *Abscheidung* dieser gemeinsamen Erzeugenden (§ 6, 2) von der Gesamtschnittkurve von Kegel und Zylinder.

I. *Jeder allen drei Gleichungen (22) genügende Punkt ist ein Punkt der Raumkurve 3. O., und jeder Punkt der Raumkurve genügt allen drei Gleichungen (22).*

In diesem Sinne ist die Raumkurve 3. O. durch die drei Gleichungen (22) mit der Bedeutung (3) von  $y_1, y_2, y_3, y_4$  dargestellt.

Das Entsprechende gilt für die Schmiegungebenen. Es folgen zunächst aus (12) die Gleichungen:

$$(23) \quad 3v_4 + \lambda v_3 = 0, \quad v_3 + \lambda v_2 = 0, \quad v_2 + 3\lambda v_1 = 0$$

und durch Elimination von  $\lambda$  die Gleichungen von drei Flächen 2. Klasse:

$$(24) \quad F = 3v_1 v_3 - v_2^2 = 0, \quad G = 9v_1 v_4 - v_2 v_3 = 0, \quad H = 3v_2 v_4 - v_3^2 = 0.$$

II. *Jede allen drei Gleichungen (24) genügende Ebene ist eine Schmiegungebene der Raumkurve und umgekehrt.*

**10. Die unendlich ferne Ebene als Bestandteil der Raumkurve.** Die vorstehenden Entwicklungen 1—9 gelten für allgemeine Werte von  $l, m, n$  in (1). Nach den Angaben § 6, (18); (19) über die besonderen Werte, welche  $l, m, n$  für die einzelnen Arten der kub. Kegelschnitte haben, ergibt sich nun aus den Begriffen in 2—4:

I. II. Bei der kub. *Ellipse* und *Hyperbel* ist die unendlich ferne Ebene die *Verbindungsebene* dreier getrennter Punkte der Kurve.

III. Bei der *hyperbolischen Parabel* ist sie diejenige *Tangentialebene* in dem doppelt zählenden Punkte  $\lambda = \infty$ , die noch durch den Punkt  $\lambda = e$  geht.

IV. Bei der *Parabel* ist sie die *Schmiegungebene* im Punkte  $\lambda = \infty$ .

In der Tat folgt auch aus (11), wenn man zunächst die Werte § 6, (18), IV für  $l, m, n$  einsetzt und dann  $\lambda = \infty$  nimmt:  $u, v, w, s = 0, 0, 0, 1$  (I § 47, (7)).

**11. Asymptotenebenen.** Ist die Schmiegungebene in einem (reellen) unendlich fernen Punkte der Kurve nicht die unendlich ferne Ebene selbst, so heißt sie eine *Asymptotenebene*.

I. Die kub. *Ellipse* hat nach § 6, (19) eine Asymptotenebene, deren Gleichung sich aus (10) für  $l = 1$ ,  $m = 0$ ,  $n = e^2$  ergibt, wenn alsdann  $\lambda = \infty$  gesetzt wird:

$$(25) \quad cy - b'z - bct = 0.$$

II. Die kub. *Hyperbel* hat drei Asymptotenebenen, deren Gleichungen sich aus (10) für  $l = 1$ ,  $m = 0$ ,  $n = -e^2$  ergeben mit  $\lambda = \infty$ ,  $\varepsilon e$ , wo  $\varepsilon = \pm 1$  ist:

$$(26) \quad \begin{cases} cy - b'z - bct = 0, \\ b'cx - (4ase + a')cy + (4ab'se + 3abe^2 + a'b' - a''b)z + abc\varepsilon et = 0. \end{cases}$$

III. Die kub. *hyperbolische Parabel* hat zwei Asymptotenebenen, deren Gleichungen sich aus (10) für  $l = 0$ ,  $m = 1$ ,  $n = -e$  ergeben mit  $\lambda = \infty$  und  $\lambda = e$ :

$$(27) \quad \begin{cases} z - ct = 0, \\ b'cx - (3ae + a')cy + (2abe^2 + 3ab'e + a'b' - a''b)z + abce^2t = 0. \end{cases}$$

IV. Die kub. *Parabel* hat keine Asymptotenebene.

## § 8. Sehnen, Achsen und Tangenten.

1. **Begriff und Gleichungen der Sehne.** Die Verbindungslinie zweier Punkte  $\lambda_1$  und  $\lambda_2$  der Raumkurve 3. O. heißt eine *Sehne* (vgl. § 4, 3, II).

Indem man sie als Schnittlinie der Ebenen  $\lambda_1, \lambda_2, \lambda_3 = 0$  und  $\lambda_1, \lambda_2, \lambda_3 = \infty$  in § 7, (5) auffaßt, erhält man als Gleichungen der Sehne  $\lambda_1 \lambda_2$ :

$$(1) \quad y_1 - (\lambda_1 + \lambda_2)y_2 + \lambda_1 \lambda_2 y_3 = 0, \quad y_2 - (\lambda_1 + \lambda_2)y_3 + \lambda_1 \lambda_2 y_4 = 0.$$

Es folgt also mit Rücksicht auf § 7, (3):

Die Gleichungen der Sehne  $\lambda_1 \lambda_2$  der Kurve § 7, (1) sind in laufenden Punktkoordinaten  $x, y, z, t$ :

$$(2) \quad \begin{cases} b'cx - \{a(\lambda_1 + \lambda_2) + a'\}cy + \{ab\lambda_1\lambda_2 + ab'(\lambda_1 + \lambda_2) + a'b' - a''b\}z = 0, \\ (l\lambda_1\lambda_2 - n)cy + \{(bm - b'l)\lambda_1\lambda_2 + bn(\lambda_1 + \lambda_2) + b'n\}z - b'c\lambda_1\lambda_2t = 0. \end{cases}$$

2. **Begriff und Gleichungen der Achse.** Die Schnittlinie zweier Schmiegungsebenen  $\lambda_1$  und  $\lambda_2$  der Raumkurve 3. O. heißt eine *Achse*.<sup>1)</sup>

1) W. F. Meyer, Apolarität und rationale Kurven, Tübingen 1883, S. 47; R. Sturm, Zeitschr. Math. Phys. 40 (1895), S. 2; Reye, Geom. d. L. 2 (1892), S. 202; „Linie in zwei Ebenen“ bei A. Cayley, J. de math. (1) 10 (1845), S. 245; „Doppellachse“ bei H. Schubert, Kalkül d. abzähl. Geom., Leipzig 1879, S. 163; „Biplanare“ bei Th. Reye, Geom. d. Lage 2 (1907), S. 28; „Schmiegungsachse“ bei Sturm, Geom. Verwandtsch. 1 (1908), S. 314.

Indem man sie als Verbindungslinie der beiden Punkte ansieht, durch welche die drei Schmiegungebenen  $\lambda_1, \lambda_2, \lambda_3 = 0$  und  $\lambda_1, \lambda_2, \lambda_3 = \infty$  in § 7, (16) hindurchgehen, werden die Gleichungen der Achse  $\lambda_1 \times \lambda_2$ :

$$(3) \quad \lambda_1 \lambda_2 v_2 + (\lambda_1 + \lambda_2) v_3 + 3v_4 = 0, \quad 3\lambda_1 \lambda_2 v_1 + (\lambda_1 + \lambda_2) v_2 + v_3 = 0,$$

oder mit den Werten § 7, (13):

Die Gleichungen der Achse  $\lambda_1 \times \lambda_2$  der Kurve § 7, (1) sind in laufenden Ebenenkoordinaten  $u, v, w, s$ :

$$(4) \quad \begin{cases} \{a' \lambda_1 \lambda_2 + a''(\lambda_1 + \lambda_2)\} u + \{b \lambda_1 \lambda_2 + b'(\lambda_1 + \lambda_2)\} v + c(\lambda_1 + \lambda_2) w \\ \quad + \{l \lambda_1 \lambda_2 + m(\lambda_1 + \lambda_2) + 3n\} s = 0, \\ \{3a \lambda_1 \lambda_2 + a'(\lambda_1 + \lambda_2) + a''\} u + \{b(\lambda_1 + \lambda_2) + b'\} v + cw \\ \quad + \{l(\lambda_1 + \lambda_2) + m\} s = 0. \end{cases}$$

**3. Sehne durch einen Punkt.** Für die durch einen gegebenen Punkt  $x, y, z, t$  gehende Sehne ist nach (1) mit den § 7, (22) eingeführten Abkürzungen:

$$(5) \quad 1 : -(\lambda_1 + \lambda_2) : \lambda_1 \lambda_2 = f : g : h,$$

so daß  $\lambda_1$  und  $\lambda_2$  die Wurzeln der quadratischen Gleichung:

$$(6) \quad f\lambda^2 + g\lambda + h = 0$$

werden. Da deren Koeffizienten aber nach § 7, 9, I nur für einen Punkt der Raumkurve selbst alle drei verschwinden können, so folgt:

Durch jeden nicht auf der Raumkurve selbst liegenden Punkt des Raumes geht eine bestimmte Sehne der Kurve (die Kurve hat einen „scheinbaren Doppelpunkt“).

Die Sehne heißt eine *eigentliche* oder *uneigentliche*, jenachdem ihre Endpunkte  $\lambda_1$  und  $\lambda_2$  reell oder konjugiert imaginär sind.

**4. Achse in einer Ebene.** Für die in einer gegebenen Ebene  $u, v, w, s$  liegende Achse folgt aus (3) mit der Bezeichnung § 7, (24):

$$(7) \quad \lambda_1 \lambda_2 : -(\lambda_1 + \lambda_2) : 1 = H : G : F$$

und daher die quadratische Gleichung:

$$(8) \quad F\lambda^2 + G\lambda + H = 0$$

und wie vorhin nach § 7, 9, II:

In jeder Ebene des Raumes, die nicht selbst Schmiegungebene ist, liegt eine bestimmte Achse der Raumkurve.

**5. Begriff und Gleichungen der Tangente.** Wenn die beiden Punkte  $\lambda_1$  und  $\lambda_2$  der Kurve, welche die Sehne verbindet, in einen Punkt  $\lambda$  zusammenfallen, so geht die Sehne in die *Tangente im Punkte*  $\lambda$  über. Aus (2) folgt alsdann:



Die Gleichungen der Tangente im Punkte  $\lambda$  der Raumkurve § 7, (1) sind in laufenden Punktkoordinaten:

$$(9) \quad \begin{cases} bcx - (2a\lambda + a')cy + (ab\lambda^2 + 2ab'\lambda + a'b' - a''b)z = 0, \\ (l\lambda^2 - n)cy + \{(bm - b'l)\lambda^2 + 2bn\lambda + b'n\}z - bc\lambda^2t = 0. \end{cases}$$

Wenn die beiden Schmiegunsebenen  $\lambda_1$  und  $\lambda_2$ , die eine Achse bestimmen, in eine Schmiegungebene  $\lambda$  zusammenfallen, so geht die Achse in die Tangente in der Schmiegungebene  $\lambda$  über. Aus (4) folgt alsdann:

Die Gleichungen der Tangente in der Schmiegungebene  $\lambda$  der Raumkurve § 7, (1) sind in laufenden Ebenenkoordinaten:

$$(10) \quad \begin{cases} (a'\lambda + 2a'')\lambda u + (b\lambda + 2b')\lambda v + 2clw + (l\lambda^2 + 2m\lambda + 3n)s = 0, \\ (3a\lambda^2 + 2a'\lambda + a'')u + (2b\lambda + b')v + cw + (2l\lambda + m)s = 0. \end{cases}$$

**6. Parameterdarstellung der Tangenten.** Die Tangenten (9) und (10) sind identisch. Denn die aus beiden Darstellungen (9) und (10) berechneten Strahlenkoordinaten (I § 48, (3); (3'); (10)) sind dieselben, und zwar ergibt sich:

Die Strahlenkoordinaten der Tangente der Raumkurve § 7, (1) im Punkte  $\lambda$  und in der Schmiegungebene  $\lambda$  sind bis auf einen Faktor  $q$ :

$$(11) \quad \begin{cases} qp_{33} = bc\lambda^2, qp_{31} = -(2a\lambda + a')c\lambda^2, qp_{12} = (ab\lambda^2 + 2ab'\lambda + a'b' - a''b)\lambda^2, \\ qp_{14} = al\lambda^4 + 2am\lambda^3 + (3an + a'm - a''l)\lambda^2 + 2a'n\lambda + a''n, \\ qp_{34} = (bm - b'l)\lambda^2 + 2bn\lambda + b'n, qp_{34} = -c(l\lambda^2 - n). \end{cases}$$

**7. Linearer Komplex der Tangenten.** Die Strahlenkoordinaten (11) erfüllen identisch in  $\lambda$  die Gleichung:

$$(12) \quad -(3an - a'm + a''l)p_{33} + (bm - b'l)p_{31} - clp_{12} + bcp_{14} - a'cp_{34} + (a'b' - a''b)p_{34} = 0.$$

Die Tangenten der Raumkurve gehören alle dem linearen Komplex (12) an. Bezeichnet man den Koeffizienten von  $p_{ki}$  in (12) mit  $a_{ki}$ , so ist:

$$(13) \quad D = a_{33}a_{14} + a_{31}a_{24} + a_{12}a_{34} = -3abcn.$$

Der lineare Komplex (12) ist daher bei positiv orientiertem Koordinatensystem  $Oxyz$  positiv oder negativ gewunden (II § 87, 6), je nachdem:

$$(14) \quad abc n < 0 \text{ oder } > 0.$$

**8. Der Schraubensinn der Raumkurve.** Eine durch die Parameterdarstellung:

$$(15) \quad x = \varphi(\lambda), \quad y = \psi(\lambda), \quad z = \chi(\lambda)$$

gegebene Raumkurve überhaupt hat in jedem Punkte  $\lambda$  einen bestimmten Schraubensinn (I § 32, 7), der positiv oder negativ ist, je nachdem die Determinante:

$$(16) \quad \Delta = \begin{vmatrix} x' & x'' & x''' \\ y' & y'' & y''' \\ z' & z'' & z''' \end{vmatrix},$$

in der  $x', x'', x''', y', \dots$  die 1., 2. und 3. Differentialquotienten nach  $\lambda$  bedeuten, positiv oder negativ ist.

Beim Übergang zu homogenen Koordinaten, wo an Stelle von (15):

$$(17) \quad x = \varphi(\lambda), \quad y = \psi(\lambda), \quad z = \chi(\lambda), \quad t = \omega(\lambda)$$

und in (16)  $x:t, y:t, z:t$  an Stelle von  $x, y, z$  tritt, wird nach einfacher Determinantenumformung:

$$(18) \quad \Delta = -\frac{1}{t^4} \begin{vmatrix} x & x' & x'' & x''' \\ y & y' & y'' & y''' \\ z & z' & z'' & z''' \\ t & t' & t'' & t''' \end{vmatrix}$$

was mit  $t=1, t'=t''=t'''=0$  wieder in (16) übergeht.

Für die Raumkurve 3. O. § 6, (14) wird nun aus (18) unter Berechnung der Differentialquotienten:

$$(19) \quad \Delta = -\frac{12abcn}{t^4}.$$

Die Raumkurve 3. O. § 6, (14) hat bei positiv orientiertem Koordinatensystem  $Oxyz$  in allen ihren Punkten<sup>1)</sup> positiven oder negativen Schraubensinn, jenachdem, wie in (14):

$$(20) \quad abc n < 0 \text{ oder } > 0.$$

**9. Pol und Polarebene.** Jeder lineare Komplex:

$$(21) \quad a_{23}p_{23} + a_{31}p_{31} + a_{12}p_{12} + a_{14}p_{14} + a_{24}p_{24} + a_{34}p_{34} = 0$$

bestimmt eine involutorische reziproke Verwandtschaft im Raume, bei der je ein Punkt und eine Ebene als *Pol* und *Polarebene* einander entsprechen. Zwischen den Koordinaten  $x, y, z, t$  von Pol und  $u, v, w, s$  von Polarebene bestehen die Beziehungen (II § 86, 5; 6):<sup>2)</sup>

$$(22) \quad \begin{cases} qu = a_{12}y - a_{31}z + a_{14}t, & \sigma x = a_{24}v - a_{34}w + a_{23}s, \\ qv = -a_{12}x + a_{23}z + a_{24}t, & \sigma y = -a_{34}u + a_{14}w + a_{31}s, \\ qw = a_{31}x - a_{23}y + a_{34}t, & \sigma z = a_{24}u - a_{14}v + a_{12}s, \\ qs = -a_{14}x - a_{24}y - a_{34}z; & \sigma t = -a_{23}u - a_{31}v - a_{12}w; \end{cases}$$

die einen sind die Auflösungen der anderen, mit zwei Proportionalitätsfaktoren  $q$  und  $\sigma$ .

Für den Komplex (12) lauten diese Beziehungen:

$$(23) \quad \begin{cases} qu = -cly - (bm - b'l)x + bct, \\ qv = clx - (3an - a'm + a''l)z - a'ct, \\ qw = (bm - b'l)x + (3an - a'm + a''l)y + (a'b' - a''b)t, \\ qs = -bcx + a'cy - (a'b' - a''b)z; \end{cases}$$

$$(24) \quad \begin{cases} \sigma x = (a'b' - a''b)v + a'cw - (3an - a'm + a''l)s, \\ \sigma y = -(a'b' - a''b)u + bcw + (bm - b'l)s, \\ \sigma z = -a'cu - bcv - cls, \\ \sigma t = (3an - a'm + a''l)u - (bm - b'l)v + clw. \end{cases}$$

1) R. Baltzer, Anal. Geom., Leipzig 1882, S. 475.

2) Möbius, J. f. Math. 10 (1833), S. 320; Werke 1, S. 494.

I. Wir nennen die hierdurch verbundenen Elemente  $x, y, z, t$  und  $u, v, w, s$  *Pol und Polarebene in bezug auf die Raumkurve 3. O.* § 7, (1), da sie auch für diese eine selbständige von dem Komplex unabhängige Bedeutung haben, die sich später (§ 29, 1; 14; § 35, 2) ergeben wird, nämlich:

II. Die Polarebene  $\Pi$  eines Punktes  $P$  ist die Verbindungsebene der Schmiegungepunkte der drei durch  $P$  gehenden Schmiegungeebenen (§ 7, 6); der Pol  $P$  einer Ebene  $\Pi$  ist der Schnittpunkt der Schmiegungeebenen der drei in  $\Pi$  liegenden Kurvenpunkte (wie beim ebenen Kegelschnitt die Polare  $p$  eines Punktes  $P$  die Verbindungslinie der Berührungspunkte der zwei durch  $P$  gehenden Tangenten und der Pol  $P$  einer Geraden  $p$  der Schnittpunkt der Tangenten der zwei in  $p$  liegenden Kurvenpunkte).

**10. Achse in der unendlich fernen Ebene.** Mit den Koordinaten  $u, v, w, s = 0, 0, 0, 1$  der unendlich fernen Ebene wird nach § 7, (13):

$$(25) \quad v_1 = 0, v_2 = l, v_3 = m, v_4 = n$$

und nach § 7, (24):

$$(26) \quad F = -l^2, G = -lm, H = 3ln - m^2,$$

sodaß nach (8) folgt:

Die in der unendlich fernen Ebene liegende Achse der Raumkurve 3. O. § 7, (1) ist durch die quadratische Gleichung bestimmt:

$$(27) \quad l^2 \lambda^2 + lm\lambda + (m^2 - 3ln) = 0.$$

**11. Parallele Schmiegungeebenen.** Für die kub. Ellipse und Hyperbel wird die Gleichung (27) nach § 6, (18):

$$(28) \quad \text{I. } \lambda^2 - 3e^2 = 0; \quad \text{II. } \lambda^2 + 3e^2 = 0,$$

und für die beiden Wurzeln  $\lambda_1$  und  $\lambda_2$  ist:

$$(29) \quad \lambda_1 + \lambda_2 = 0, \lambda_1 \lambda_2 = -3e^2$$

mit  $\varepsilon = 1$  für die Ellipse und  $\varepsilon = -1$  für die Hyperbel. Aus (4) folgt daher:

Die Gleichungen der in der unendlich fernen Ebene liegenden Achse der kub. Ellipse ( $\varepsilon = 1$ ) oder Hyperbel ( $\varepsilon = -1$ ) (§ 7, (1); § 6, (18)) lauten:

$$(30) \quad a'u + bv = 0, (-9a\varepsilon e^2 + a'')u + b'v + cw = 0.$$

I. Bei der kub. Ellipse sind die beiden durch diese Achse gehenden Schmiegungeebenen:

$$(31) \quad \lambda_1 = -e\sqrt{3}, \lambda_2 = e\sqrt{3}$$

reell und, da sie eine unendlich ferne Gerade gemein haben, parallel, und folgt aus § 7, (10) und § 6, (18), I:

Die Gleichungen der beiden parallelen Schmiegungeebenen<sup>1)</sup> der kub. Ellipse sind:

$$(32) \quad c(bx - a'y) + (9abe^2 + a'b' - a''b)z \pm 3\sqrt{3}abcet = 0.$$

1) Cremona, Ann. di mat. 2 (1859), S. 204.

II. Die kub. Hyperbel, bei der die beiden durch die Achse (30) gehenden Schmiegungebenen nicht reell sind, hat keine parallelen Schmiegungebenen.

III. Bei der kub. hyperbolischen Parabel § 6, (18), III hat die Gleichung (27) die Doppelwurzel  $\lambda = \infty$ . Die in der unendlich fernen Ebene liegende Achse wird daher die Tangente in der Schmiegungeebene  $\lambda = \infty$ , die zu dem doppelt zählenden unendlich fernen Punkt  $\lambda = \infty$  der Kurve (§ 6, (19), III) gehört.

Die kub. hyperbolische Parabel hat eine unendliche ferne Tangente.

Ihre Gleichungen lauten nach (9) mit  $l = 0$ ,  $m = 1$ ,  $n = -e$  und dann  $\lambda = \infty$ :

$$(33) \quad z = 0, \quad t = 0,$$

und die zugehörige Schmiegungeebene ist nach § 7, (27):

$$(34) \quad z - ct = 0.$$

IV. Bei der kub. Parabel § 6, (18), IV verschwinden alle Koeffizienten der Gleichung (27), wie denn nach § 7, 10, IV die unendlich ferne Ebene selbst Schmiegungeebene ist und die Ausnahme von Satz 4 eintritt.

12. Die Asymptoten der kub. Kegelschnitte. Ist die Tangente in einem unendlich fernen Punkte der Kurve nicht selbst unendlich fern<sup>1)</sup>, so heißt sie eine *Asymptote*.

I. Die kub. Ellipse hat eine Asymptote, die Tangente in dem einzigen unendlich fernen Punkte  $\lambda = \infty$  (§ 6, (19), I). Ihre Gleichungen sind nach (9) mit  $l = 1$ ,  $m = 0$ ,  $n = e^2$ ;  $\lambda = \infty$ :

$$(35) \quad y - bt = 0, \quad z = 0.$$

II. Die kub. Hyperbel hat drei Asymptoten, die Tangenten in ihren drei unendlich fernen Punkten  $\lambda = \infty$ ,  $\lambda = \varepsilon e$  ( $\varepsilon = \pm 1$ ) (§ 6, (19), II). Ihre Gleichungen lauten nach (9):

$$(36) \quad y - bt = 0, \quad z = 0:$$

$$(37) \quad \begin{cases} bcx - (2a\varepsilon e + a')cy + (abe^2 + 2ab'\varepsilon e + a'b' - a''b)z = 0, \\ 2cy - 2(b\varepsilon e + b')z - bct = 0. \end{cases}$$

III. Die kub. hyperbolische Parabel hat (vgl. 11, (33)) eine Asymptote, die Tangente in ihrem einfach zählenden unendlich fernen Punkte  $\lambda = e$  (§ 6, (19), III). Ihre Gleichungen lauten nach (9):

$$(38) \quad \begin{cases} bcx - (2ae + a')cy + (abe^2 + 2ab'e + a'b' - a''b)z = 0, \\ cy - (be + b')z - bct = 0. \end{cases}$$

1) Schröter, Oberfl. 2. O. (1880), S. 308.

IV. Die kub. Parabel hat keine Asymptote, da die Tangente in dem dreifach zählenden unendlich fernen Punkte  $\lambda = \infty$  (§ 6, (19), IV):

$$(39) \quad z = 0, t = 0$$

im Unendlichen liegt.

### § 9. Die Sehnenkegel.

**1. Begriff des Sehnenkegels.** Eliminiert man  $\lambda_2$  aus den Gleichungen der Sehne  $\lambda_1 \lambda_2$  in § 8, (1), so erhält man, mit  $\lambda$  statt  $\lambda_1$ , für den Ort aller durch den Punkt  $\lambda$  der Kurve gehenden Sehnen:

$$(1) \quad (y_1 - \lambda y_2)(y_3 - \lambda y_4) - (y_2 - \lambda y_3)^2 = 0$$

oder, nach  $\lambda$  geordnet mit Benutzung der Abkürzungen § 7, (22):

$$(2) \quad \lambda^2 f + \lambda g + h = 0.$$

Der Ort ist nach seiner Entstehung ein Kegel und nach seiner Gleichung von der 2. Ordnung:

*Die Sehnen, die einen festen Punkt  $\lambda$  der Raumkurve 3. O. mit allen übrigen Punkten der Kurve verbinden, bilden einen Kegel 2. O., den „Sehnenkegel des Punktes  $\lambda$ “.*

**2. Gleichung des Sehnenkegels in gemeinen Koordinaten.** Setzt man in die drei Ausdrücke § 7, (22) die Werte § 7, (3) ein, so wird mit Unterdrückung des gemeinsamen Faktors — an:

$$(3) \quad \begin{cases} f = a \{ c^2 l y^2 + (b m - 2 b' l) c y z + (b^2 n - b b' m + b'^2 l) z^2 - b c^2 y t + b b' c z t \}, \\ g = a' c^2 l y^2 - ((a n - a' m) b + (2 a' b' - a'' b) l) c y z \\ \quad + (a b b' n - (a' b' - a'' b)(b m - b' l) z^2 - (b m - b' l) b c z x - b c^2 l x y \\ \quad + b^2 c^2 x t - a' b c^2 y t + (a' b' - a'' b) b c z t, \\ h = n \{ a c^2 y^2 + (a' b - 2 a b') c y z + (a b'^2 - a' b b' + a'' b^2) z^2 - b^2 c z x \}. \end{cases}$$

Denkt man sich wiederum diese Werte in (2) eingesetzt, so hat man die Gleichung des Sehnenkegels des Punktes  $\lambda$  der Raumkurve 3. O. § 7, (1) im rechtwinkligen System  $Oxyz$ .

Man erhält sie auch aus den Gleichungen § 8, (2) durch Elimination von  $\lambda_2$  und mit  $\lambda$  für  $\lambda_1$ , in der Form:

$$(4) \quad \{ b c x - (a \lambda + a') c y + (a b' \lambda + a' b' - a'' b) z \} \\ \times \{ c l \lambda y + (b m - b' l) \lambda + b n \} z - b c \lambda t \} - a n \{ c y - (b \lambda + b') z \}^2 = 0.$$

Nach den Koordinaten geordnet, nimmt sie die Form an:

$$(5) \quad a_{22} y^2 + a_{33} z^2 + 2 a_{23} y z + 2 a_{31} z x + 2 a_{12} x y + 2 a_{14} x t + 2 a_{24} y t + 2 a_{34} z t = 0,$$

wo die Koeffizienten nach (2) und (3) die Werte haben:

$$\begin{aligned}
 (6) \quad a_{22} &= (a\lambda\lambda^2 + a'\lambda\lambda + an)c^2, \quad a_{33} = a(b^2n - bb'm + b'^2l)\lambda^2 \\
 &\quad + abb'n - (a'b' - a''b)(bm - b'l)\lambda + (ab'^2 - a'bb' + a''b^2)n, \\
 2a_{23} &= \{a(bm - 2b'l)\lambda^2 - ((an - a'm)b + (2a'b' - a''b)l)\lambda + (a'b - 2ab')n\}c, \\
 2a_{31} &= -bc((bm - b'l)\lambda + bn), \quad 2a_{13} = -bc^2l\lambda, \quad 2a_{14} = b^2c^2\lambda, \\
 2a_{24} &= -bc^2(a\lambda + a')\lambda, \quad 2a_{34} = bc(ab'\lambda + a'b' - a''b)\lambda.
 \end{aligned}$$

**3. Allgemeine Beschaffenheit des Sehnenkegels.** Der Sehnenkegel irgend eines (reellen) Punktes  $\lambda$  enthält nach seiner Entstehung in 1 die ganze Raumkurve. *Er ist stets ein reeller eigentlicher Kegel 2. O.*, da er die von  $\lambda$  nach den übrigen reellen Punkten hinlaufenden reellen Sehnen enthält, und die Raumkurve 3. O. nach § 4, 3, I nicht in einem Ebenenpaar enthalten sein kann (s. § 31, 4).

Da der Punkt  $\lambda$ , von dem der Sehnenkegel ausgeht, seine Spitze ist, so hat er im allgemeinen *eine endliche Spitze*. Er wird nur dann ein *Zylinder*, wenn der Punkt  $\lambda$  einer der unendlich fernen Punkte der Raumkurve ist.

**4. Die Sehnenzylinder.** Ein reeller eigentlicher Zylinder 2. O. ist elliptisch oder hyperbolisch oder parabolisch, je nachdem er die unendlich ferne Ebene in einem imaginären oder reellen Geradenpaar oder einer Doppelgeraden schneidet (II § 99, (31)). Dieses Geradenpaar entsteht aber bei dem Sehnenzylinder  $\lambda$ , indem der unendlich ferne Punkt  $\lambda$  mit den andern unendlich fernen Punkten der Kurve verbunden wird. Daher ergibt sich aus § 6, (19) sofort, was für Sehnenzylinder bei den vier Arten der Raumkurve vorhanden sind.

**I. Die kub. Ellipse hat nur einen, und zwar einen elliptischen Sehnenzylinder.**

Seine Spitze und zugleich der Doppelpunkt seines unendlich fernen imaginären Geradenpaares ist der Punkt  $\lambda = \infty$  ( $E_1$  in Fig. 11, S. 11).

**II. Die kub. Hyperbel hat drei hyperbolische Sehnenzylinder.**

Ihre Spitzen sind die drei Punkte  $\lambda = \infty, e, -e$  ( $E_1, E_2, E_3$  in Fig. 12), ihre unendlich fernen reellen Geradenpaare bestehen aus je zwei Seiten des Dreiecks der drei Punkte.

**III. Die kub. hyperbol. Parabel hat einen hyperbolischen und einen parabolischen Sehnenzylinder.**

Der hyperbolische hat als Spitze den doppelt zählenden unendlich fernen Punkt  $\lambda = \infty$  ( $E_1 = E_2$  in Fig. 13) und als unendlich fernes Geradenpaar die Tangente im Punkt  $\lambda = \infty$  und dessen Verbindungslinie mit dem einfach zählenden unendlich fernen Punkte

$\lambda = e$  ( $E_3$  in Fig. 13). Der parabolische hat als Spitze den Punkt  $\lambda = e$  und als unendlich ferne Doppelgerade dessen Verbindungslinie mit dem Punkte  $\lambda = \infty$ .

IV. Die kub. Parabel hat nur einen, und zwar parabolischen Sehnenzylinder.

Seine Spitze ist der dreifach zählende unendlich ferne Punkt  $\lambda = \infty$  ( $E_1 = E_2 = E_3$  in Fig. 15) und seine unendlich ferne Doppelinie die Tangente im Punkte  $\lambda = \infty$ .

5. Der Sehnenzylinder  $\lambda = \infty$ . Die Sehnenkegel (2) der Punkte  $\lambda = 0$  und  $\lambda = \infty$ , mit den Gleichungen:

$$(7) \quad h = 0: ac^2y^2 + (a'b - 2ab')cyz + (ab'^2 - a'bb' + a''b^2)z^2 - b^2csx = 0,$$

$$(8) \quad f = 0: c^2ly^2 + (bm - 2b'l)cyz + (b^2n - bb'm + b'^2l)z^2 - bc^2yt + bb'czt = 0,$$

sind der Kegel und Zylinder, als deren Durchschnitt die Raumkurve § 7, (1) schon in § 6, (16); (17) erhalten wurde (die Bedeutung der Fläche  $g = 0$  vgl. (37)).

Der Zylinder (8) ist in der Tat, wie zu § 6, (4); (6) bei § 6, (10) bemerkt, für den Fall I von § 6, (18) stets *elliptisch*, für die Fälle II und III *hyperbolisch*, für den Fall IV *parabolisch*.

Seine *Mittelpunktsachse* ist nach § 6, (11); (7):

$$cly + (\tfrac{1}{2}bm - b'l)z - \tfrac{1}{2}bct = 0,$$

$$(\tfrac{1}{2}bm - b'l)cy + (b^2n - bb'm + b'^2l)z + \tfrac{1}{2}bb'ct = 0$$

oder auch:

$$(9) \quad l(cy - b'z) + \tfrac{1}{2}b(mz - ct) = 0, \quad \tfrac{1}{2}m(cy - b'z) + bnz = 0.$$

6. Der elliptische Zylinder der kub. Ellipse. Aus (8) und (9) folgt nun sofort:

I. Der elliptische Zylinder der kub. Ellipse § 6, (14); (18), I ist:

$$(10) \quad c^2y^2 - 2b'cyz + (b^2e^2 + b'^2)z^2 - bc^2yt + bb'czt = 0,$$

und seine *Mittelpunktsachse*:

$$(11) \quad y - \tfrac{1}{2}bt = 0, \quad z = 0.$$

7. Die hyperbolischen Zylinder der kub. Hyperbel. Durch Umkehr des Vorzeichens von  $e^2$  in (10), sowie aus (5), (6) mit  $\lambda = \varepsilon e$  ( $\varepsilon = \pm 1$ ) geht hervor:

II. Die drei hyperbolischen Zylinder der kub. Hyperbel § 6, (14); (18), II sind:

$$(12) \quad c^2y^2 - 2b'cyz - (b^2e^2 - b'^2)z^2 - bc^2yt + bb'czt = 0,$$

$$(13) \quad a'c^2y^2 + \{(b\epsilon\epsilon + b')(a\epsilon\epsilon - a') - (ab'\epsilon\epsilon + a'b' - a''b)\}cyz \\ - (abe^2 - a'b' + a''b)(b\epsilon\epsilon + b')z^2 + bc(b\epsilon\epsilon + b')zx - bc^2xy \\ + b^2c^2xt - (a\epsilon\epsilon + a')bc^2yt + (ab'\epsilon\epsilon + a'b' - a''b)bczt = 0$$

und ihre *Mittelpunktsachsen* (II § 94, 1; 3):

$$(14) \quad y - \frac{1}{2}bt, \quad z = 0;$$

$$(15) \quad cy - (b\epsilon\epsilon + b')z - bct = 0, \\ c(bx - a'y) - (abe^2 - a'b' + a''b)z + abc\epsilon\epsilon t = 0.$$

**8. Die Zylinder der kub. hyperbolischen Parabel.** Aus (8) und (9), sowie aus (5), (6) mit  $\lambda = e$  ergibt sich:

III. Der *hyperbolische und parabolische Zylinder der kub. hyperbol. Parabel* § 6, (14); (18), III sind:

$$(16) \quad cyz - (be + b')z^2 - c^2yt + b'czt = 0,$$

$$(17) \quad ac^2y^2 - 2a(be + b')cyz + a(be + b')^2z^2 - b^2c^2xt \\ + (ae + a')bc^2yt - (ab'e + a'b' - a''b)bczt = 0$$

und ihre *Mittelpunktsachsen*:

$$(18) \quad y - (2be + b')t = 0, \quad z - ct = 0;$$

$$(19) \quad cy - (be + b')z = 0, \quad t = 0,$$

die letztere unendlich fern.

**9. Der parabolische Zylinder der kub. Parabel.** Endlich folgt aus (8) und (9):

IV. Der *parabolische Zylinder der kub. Parabel* § 6, (14); (18), IV ist:

$$(20) \quad bz^2 - c^2yt + b'czt = 0$$

und seine unendlich ferne *Mittelpunktsachse*:

$$(21) \quad z = 0, \quad t = 0.$$

**10. Durchschnitt zweier beliebiger Sehnenkegel.** Die Sehnenkegel irgend zweier Punkte  $\lambda_1$  und  $\lambda_2$  der Raumkurve ( $\lambda_1 \neq \lambda_2$ ) haben nach (2) die Gleichungen:

$$(22) \quad \lambda_1^2f + \lambda_1g + h = 0, \quad \lambda_2^2f + \lambda_2g + h = 0.$$

Jeder Punkt der Durchdringungskurve der beiden Kegel genügt beiden Gleichungen. Diese haben aber, wenn nicht gleichzeitig:  $f = 0, g = 0, h = 0$  (§ 7, 9, I) ist, zur Folge:

$$(23) \quad f : g : h = 1 : -(\lambda_1 + \lambda_2) : \lambda_1\lambda_2.$$



Da aber nach § 7, (22) identisch:

$$(24) \quad fy_1 + gy_2 + hy_3 = 0, \quad fy_2 + gy_3 + hy_4 = 0$$

ist, so genügt jeder Punkt, für den die Proportion (23) gilt, den Gleichungen § 8, (1) der Sehne  $\lambda_1 \lambda_2$ . Jeder Punkt der Durchdringungskurve der Kegel (22) liegt also entweder auf der Raumkurve oder auf der Sehne  $\lambda_1 \lambda_2$ , oder:

*Die Raumkurve 3. O. ist in Verbindung mit irgend einer ihrer Sehnen der vollständige Durchschnitt der zu den Endpunkten der Sehne gehörigen Sehnenkegel.*

**11. Durchschnitt der Sehnenkegel  $\lambda = 0$  und  $\lambda = \infty$ .** Die Darstellung (7); (8) und § 6, (16); (17) der Raumkurve 3. O. entspricht daher der Auswahl der beiden besonderen Sehnenkegel  $\lambda = 0$  und  $\lambda = \infty$  unter allen möglichen Sehnenkegeln.

Der Sehnenkegel  $\lambda = \infty$  ist *Sehnenzylinder*. Bei der kub. Ellipse und Parabel steht nach 4, I, IV nur ein solcher Sehnenzylinder zur Verfügung; bei der kub. Hyperbel ist  $\lambda = \infty$  einer von drei gleichberechtigten hyperbolischen Zylindern; bei der kub. hyperbolischen Parabel ist mit  $\lambda = \infty$  der hyperbolische Zylinder neben dem parabolischen ausgewählt.

In wieweit auch der Kegel  $\lambda = 0$  ein besonders ausgezeichneter Sehnenkegel ist, wird in § 11, 4 näher erörtert werden.

**12. Tangenten, Schmiegungeebenen und Sehnenkegel.** Die Tangente im Punkte  $\lambda$  der Raumkurve ist, als Verbindungslinie zweier unendlich benachbarten Punkte  $\lambda, \lambda'$  (§ 8, 5) der Kurve, eine Erzeugende des Sehnenkegels  $\lambda$  in 1. Die Schmiegungeebene im Punkte  $\lambda$  ist als Verbindungsebene dreier benachbarten Punkte  $\lambda, \lambda', \lambda''$  (§ 7, 4) auch Verbindungsebene zweier benachbarten Erzeugenden  $\lambda\lambda'$  und  $\lambda\lambda''$  des Sehnenkegels  $\lambda$  und daher dessen Tangentialebene längs der Tangente  $\lambda\lambda'$ .<sup>1)</sup> Es folgt also (s. d. analytischen Beweis § 26, 14):

*Die „Schmiegungeebene  $\lambda$ “ ist die Tangentialebene des „Sehnenkegels  $\lambda$ “ längs der „Tangente  $\lambda$ “, die auf ihm liegt.*

**13. Asymptoten, Asymptotenebenen und Sehnenzylinder.** Die Asymptoten § 8, 12 und Asymptotenebenen § 7, 11 stehen daher zu den Sehnenzylindern 4 in folgenden Beziehungen:

I. Die *Asymptote* § 8, (35) der *kub. Ellipse* liegt auf dem *elliptischen Zylinder* (10), und die *Asymptotenebene* § 7, (25) ist dessen Tangentialebene längs der Asymptote.

1) R. Sturm, Geom. Verw. 1 (1908), S. 313.

II. Die *drei Asymptoten* § 8, (36); (37) der *kub. Hyperbel* liegen je auf einem der *drei hyperbolischen Zylinder* (12); (13) und die *drei Asymptotenebenen* § 7, (26) sind deren Tangentialebenen längs der Asymptoten.

III. Die *Asymptote* § 8, (38) der *kub. hyperbolischen Parabel* liegt auf dem *parabolischen Zylinder* (17) und die *zweite Asymptotenebene* § 7, (27) ist dessen Tangentialebene längs der Asymptote. Die *unendlich ferne Tangente* § 8, (33) der *kub. hyperbolischen Parabel* liegt auf dem *hyperbolischen Zylinder* (16) und die *erste Asymptotenebene* § 7, (27) der Kurve ist dessen Tangentialebene längs der Tangente § 8, (33), d. h. die eine *Asymptotenebene des hyperbolischen Zylinders* (16).

IV. Die *unendlich ferne Tangente* § 8, (39) der *kub. Parabel* liegt auf dem *parabolischen Zylinder* (20), der längs dieser Tangente die unendlich ferne Ebene als Tangentialebene hat.

**14. Flächenbündel durch die Raumkurve 3. O.** Wie die Raumkurve 3. O. auf dem Kegel (2) liegt, so liegt sie nach § 7, 9, I auch auf jeder der  $\infty^3$  Flächen 2. O.:

$$(25) \quad \rho f + \sigma g + \tau h = 0,$$

wo  $\rho : \sigma : \tau$  zwei beliebige Parameterverhältnisse bedeuten. Diese Flächen bilden ein „*Bündel*“.

Es kann aber auch keine andere Fläche 2. O. geben, welche die Raumkurve ganz enthält. Denn jede Fläche 2. O. kann man sich mittels der linearen Funktionen § 7, (3) in der Form dargestellt denken:

$$(26) \quad b_{11}y_1^2 + b_{22}y_2^2 + b_{33}y_3^2 + b_{44}y_4^2 + 2b_{23}y_2y_3 + 2b_{31}y_3y_1 + 2b_{12}y_1y_2 \\ + 2b_{14}y_1y_4 + 2b_{24}y_2y_4 + 2b_{34}y_3y_4 = 0 \quad (\S 31, 1).$$

Soll alsdann die Kurve auf ihr liegen, muß die durch Einsetzung der Werte § 7, (2) entstehende Gleichung:

$$(27) \quad b_{11}\lambda^6 + b_{22}\lambda^4 + b_{33}\lambda^2 + b_{44} + 2b_{23}\lambda^3 + 2b_{31}\lambda^4 + 2b_{12}\lambda^5 + 2b_{14}\lambda^3 \\ + 2b_{24}\lambda^2 + 2b_{34}\lambda = 0$$

identisch in  $\lambda$  erfüllt sein, also:

$$(28) \quad b_{11} = 0, \quad b_{12} = 0, \quad b_{22} + 2b_{31} = 0, \quad b_{23} + b_{14} = 0, \\ b_{33} + 2b_{24} = 0, \quad b_{34} = 0, \quad b_{44} = 0.$$

Damit nimmt aber die Gleichung (26) die Form an:

$$(29) \quad b_{22}(y_2^2 - y_1y_3) + 2b_{14}(y_1y_4 - y_2y_3) + b_{33}(y_3^2 - y_2y_4) = 0,$$

die nach § 7, (22) mit  $\rho, \sigma, \tau$  für  $-b_{33}, -2b_{14}, -b_{22}$  in (25) übergeht.

Jede durch die Raumkurve gehende Fläche 2. O. muß dem Bündel (25) angehören.

Mit Rücksicht auf (3) hat die Gleichung (25) in den rechtwinkligen Koordinaten die Form (5) mit folgenden Werten der Koeffizienten:

$$(30) \begin{cases} a_{22} = c^2(a'l\rho + a'l\sigma + an\tau), & a_{33} = a(b^2n - bb'm + b'^2l)\rho \\ & + (abb'n - (a'b' - a''b)(bm - b'l))\sigma + (ab'^2 - a'bb' + a''b^2)n\tau, \\ 2a_{23} = c\{a(bm - 2b'l)\rho - ((an - a'm)b + (2a'b' - a''b)l)\sigma + (a'b - 2ab')n\tau\}, \\ 2a_{31} = -bc((bm - b'l)\sigma + bn\tau), & 2a_{12} = -bc^2l\sigma, & 2a_{14} = b^2c^2\sigma, \\ 2a_{24} = -bc^2(a\rho + a'\sigma), & 2a_{34} = bc(ab'\rho + (a'b' - a''b)\sigma). \end{cases}$$

**15. Art der einzelnen Flächen des Bündels.** Die Art der Fläche 2. O. (25) oder (5), (30) hängt wesentlich von der Determinante der Fläche ab. Die Determinante der Fläche (25) hat, insofern man nach § 7, (22)  $y_1, y_2, y_3, y_4$  als Variable ansieht, wie wir aus § 31, (7) vorwegnehmen, den Wert:  $(\rho\tau - \sigma^2)^2$ . Da nun die Determinante der Substitution § 7, (3), durch die (25) in (5), (30) übergeht, den Wert  $a^3b^3c^3n^3$  hat, so ist die Determinante der Fläche (5), (30), insofern man  $x, y, z, t$  als Variable ansieht (II § 138, (17)):

$$(31) \quad A = S^2(\rho\tau - \sigma^2)^2, \quad S = a^3b^3c^3n^3.$$

Reelle Flächen 2. O. (5) mit positiver Determinante  $A$  sind aber (II § 99, (31)) notwendig einschalige Hyperboloide oder hyperbolische Paraboloid.  $A$  ist aber positiv, so oft:

$$(32) \quad \rho\tau - \sigma^2 \neq 0.$$

Ist dagegen:

$$(33) \quad \rho\tau - \sigma^2 = 0,$$

so kann man:

$$(34) \quad \frac{\rho}{\sigma} = \frac{\sigma}{\tau} = \lambda \text{ oder } \rho = \lambda^2, \sigma = \lambda, \tau = 1$$

setzen, worauf die Fläche (25) wieder in den Sehnenkegel (2) des Punktes  $\lambda$  übergeht. Also:

*Eine durch die Raumkurve 3. O. gehende Fläche 2. O. ist entweder ein Sehnenkegel oder ein einschaliges Hyperboloid oder hyperbolisches Paraboloid.*

**16. Bedeutung der Fläche  $g = 0$ .** Setzt man in den Gleichungen der Sehne  $\lambda_1\lambda_2$  im § 8, (2):  $\lambda_1 = \lambda, \lambda_2 = -\lambda$ , so erhält man für die Sehne  $\lambda, -\lambda$ :

$$(35) \quad \begin{cases} \{bcx - a'cy + (a'b' - a''b)z\} - \lambda^2 abz = 0, \\ n(cy - b'z) + \lambda^2\{lcy + (bm - b'l)z - bct\} = 0, \end{cases}$$

und durch Elimination von  $\lambda^2$ :

$$(36) \quad \{bcx - a'cy + (a'b' - a''b)z\} \{lcy + (bm - b'l)z - bct\} \\ + abnz(cy - b'z) = 0$$

oder nach (3):

$$(37) \quad g = 0.$$

Die Fläche (37) ist der Ort aller Sehnen, die zwei Punkte der Kurve mit entgegengesetzten Parametern  $\lambda$  und  $-\lambda$  verbinden.

Die unendlich ferne Kurve der Fläche (36) zerfällt, wenn  $m = 0$ , in das Geradenpaar:

$$(38) \quad \{(b(cx - a''z) - a'(cy - b'z))l + abnz\}(cy - b'z) = 0, \quad t = 0$$

und, wenn  $l = 0$ , in das Geradenpaar:

$$(39) \quad \{(b(cx - a''z) - a'(cy - b'z))m + an(cy - b'z)\}z = 0, \quad t = 0.$$

Die Fläche (37) ist daher in allen Fällen § 6, (18) ein hyperbolisches Paraboloid.

Da die zweite Gleichung (35) mit  $m = 0$  die Form:

$$(n + l\lambda^2)(cy - b'z) - \lambda^2 bct = 0$$

erhält, so sind die Sehnen  $\lambda, -\lambda$  in den Fällen  $m = 0$  alle parallel der Ebene:

$$(40) \quad cy - b'z = 0.$$

**17. Alle Bündelflächen gleichseitig.** Die Fläche (5) ist gleichseitig (II § 100, (13)), wenn:

$$(41) \quad a_{11} + a_{22} + a_{33} = 0.$$

Soll diese Bedingung mit den Koeffizienten (30) identisch in  $\varrho, \sigma, \tau$  bestehen, muß sein:

$$(42) \quad l(b'^2 + c^2) - bb'm + b^2n = 0,$$

$$(43) \quad (a'(b'^2 + c^2) - a''bb')l - (a'b' - a''b)bm + abb'n = 0,$$

$$(44) \quad a(b'^2 + c^2) - (a'b' - a''b)b = 0.$$

Die Bedingung (42) ist mit  $l = 1, m = 0, n = e^2$  und  $l = 0, m = 0, n = 1$  nicht erfüllbar nach § 6, (15). Für  $l = 0, m = 1, n = -e$  führen die Gleichungen (42)–(44) auf:  $be + b' = 0, ae^2 + a'e + a'' = 0, ac^2 = 0$ , was ebenfalls mit § 6, (15) nicht verträglich. Es bleibt also nur der Fall der kub. Hyperbel mit  $l = 1, m = 0, n = -e^2$  in § 6, (18), II. Dann wird aus (42)–(44):

$$(45) \quad b'^2 + c^2 = b^2e^2; \quad (46) \quad be^2a' - b'(ae^2 + a'') = 0, \quad b'a' - b(ae^2 + a'') = 0.$$

Da aber die Gleichungen (46) linear und homogen in  $a', -(ae^2 + a'')$  sind, während ihre Determinante nach (45)  $b^2e^2 - b'^2 = c^2 \neq 0$  ist, so folgt:

Bei der kub. Hyperbel § 6, (14); (18), II sind alle durch sie hindurchgehenden Flächen (5), (30) gleichseitig, wenn:

$$(47) \quad ae^2 + a'' = 0, \quad a' = 0, \quad b^2e^2 = b'^2 + c^2.$$

Insbesondere sind alle Sehnenkegel und die drei hyperbolischen Zylinder (12) und (13) gleichseitig. Die Kurve heißt dann gleichseitige kub. Hyperbel (s. § 16, 7).

## § 10. Die Achsenkegelschnitte.

**1. Begriff des Achsenkegelschnittes.** Eliminiert man  $\lambda_2$  aus den Gleichungen einer Achse  $\lambda_1 \times \lambda_2$  in § 8, (3), so erhält man, mit  $\lambda$  statt  $\lambda_1$ , für den Ort aller in der Schmiegungebene  $\lambda$  liegenden Achsen:

$$(1) \quad (3\lambda v_1 + v_2)(\lambda v_3 + 3v_4) - (\lambda v_2 + v_3)^2 = 0$$

oder, mit den Abkürzungen § 7, (24):

$$(2) \quad \lambda^2 F + \lambda G + H = 0.$$

Der Ort ist nach seiner Entstehung eine ebene Kurve und nach seiner Gleichung von der 2. Klasse:

Die Achsen, in denen eine feste Schmiegungebene  $\lambda$  von allen übrigen Schmiegungebenen geschnitten wird, umhüllen eine Kurve zweiter Klasse<sup>1)</sup>, den „Achsenkegelschnitt in der Schmiegungebene  $\lambda$ “ oder „Schmiegungekegelschnitt“<sup>2)</sup> (dual zu § 9, 1).

**2. Gleichung des Achsenkegelschnittes in gemeinen Koordinaten.** Setzt man in die drei Ausdrücke § 7, (24) die Werte § 7, (13) ein, so wird mit Umkehrung aller Vorzeichen:

$$(3) \quad \begin{cases} F = -(3aa'' - a'^2)u^2 + b^2v^2 - 3acwu - (3ab' - 2a'b)uv \\ \quad - (3am - 2a'l)us + 2blvs + l^2s^2, \\ G = a'a''u^2 + bb'v^2 + bcvw + a'cwu + (a'b' + a''b)uv \\ \quad - (9an - a'm - a''l)us + (bm + b'l)vs + clws + lms^2, \\ H = a''^2u^2 + b'^2v^2 + c^2w^2 + 2b'cvw + 2a''cwu + 2a''b'uv \\ \quad - (3a'n - 2a''m)us - (3bn - 2b'm)vs + 2cmws - (3ln - m^2)s^2. \end{cases}$$

Denkt man sich wiederum diese Werte in (2) eingesetzt, so hat man die Gleichung des Achsenkegelschnittes in der Schmiegungebene  $\lambda$  der Raumkurve § 7, (1) in Ebenenkoordinaten des rechtwinkligen Systems  $Oxyz$ .

1) Möbius, Werke 1, S. 122 (1827).

2) H. Schröter, Math. Ann. 25 (1884), S. 293.

Man erhält sie auch aus den Gleichungen § 8, (4) durch Elimination von  $\lambda_2$  und mit  $\lambda$  für  $\lambda_1$  in der Form:

$$(4) \quad (3a\lambda u + (a'u + bv + ls))((a''u + b'v + cw + ms)\lambda + 3ns) \\ - ((a'u + bv + ls)\lambda + (a''u + b'v + cw + ms))^2 = 0.$$

Nach den Koordinaten geordnet, nimmt sie die Form an:

$$(5) \quad b_{11}u^2 + b_{22}v^2 + b_{33}w^2 + 2b_{23}vw + 2b_{31}wu + 2b_{12}uv \\ + 2b_{14}us + 2b_{24}vs + 2b_{34}ws + b_{44}s^2 = 0,$$

wo die Koeffizienten nach (2) und (3) die Werte haben:

$$(6) \quad b_{11} = -(3aa'' - a'^2)\lambda^2 + a'a''\lambda + a''^2, \quad b_{22} = b^2\lambda^2 + bb'\lambda + b'^2, \quad b_{33} = c^2, \\ 2b_{23} = (b\lambda + 2b')c, \quad 2b_{31} = (-3a\lambda^2 + a'\lambda + 2a'')c, \\ 2b_{12} = -(3ab' - 2a'b)\lambda^2 + (a'b' + a''b)\lambda + 2a''b', \\ 2b_{14} = -(3am - 2a'l)\lambda^2 - (9an - a'm - a''l)\lambda - (3a'n - 2a''m), \\ 2b_{24} = 2bl\lambda^2 + (bm + b'l)\lambda - (3bn - 2b'm), \\ 2b_{34} = c(l\lambda + 2m), \quad b_{44} = l^2\lambda^2 + lm\lambda - (3ln - m^2).$$

**3. Endliche und unendlich ferne Achsenkegelschnitte.** Dual entsprechend dem Sehnenkegel § 9, 3 ist der Achsenkegelschnitt *stets ein reeller eigentlicher Kegelschnitt* (§ 31, 4), also, so oft er einer *endlichen* Schmiegungeebene  $\lambda$  angehört, eine *Ellipse, Hyperbel* oder *Parabel*.

Die unendlich ferne Ebene kommt als Schmiegungeebene nach § 7, 10 nur bei der kub. Parabel vor, entsprechend dem Parameter  $\lambda = \infty$ . Da zugleich nach § 6, (18), IV  $l = 0$ ,  $m = 0$ ,  $n = 1$  wird, so folgt aus (4):

*Der in der unendlich fernen Ebene liegende Achsenkegelschnitt  $\lambda = \infty$  der kub. Parabel hat die Gleichung:*

$$(7) \quad 3au(a''u + b'v + cw) - (a'u + bv)^2 = 0.$$

**4. Parabeln als Achsenkegelschnitte.** Der in einer *endlichen* Schmiegungeebene  $\lambda$  liegende Kegelschnitt (5) ist (II § 104, (2)) eine Parabel, wenn er mit:

$$(8) \quad b_{44} = l^2\lambda^2 + lm\lambda - (3ln - m^2) = 0$$

die unendlich ferne Ebene als Tangentialebene hat. Dieselbe quadratische Gleichung (8) bestimmte aber § 8, (27) die beiden durch die unendlich ferne Achse gehenden Schmiegungeebenen  $\lambda$ . Es folgt daher aus § 8, 11:

I. Unter den Achsenkegelschnitten der *kub. Ellipse* befinden sich *zwei Parabeln*, die in den beiden parallelen Schmiegungebenen:

$$(9) \quad \lambda = \pm e\sqrt{3}$$

liegen.

II. Die *kub. Hyperbel* hat unter ihren Achsenkegelschnitten *keine Parabeln*.

III. Bei der *kub. hyperb. Parabel* ist nur *ein* Achsenkegelschnitt eine *Parabel*, der in der Schmiegungeebene  $\lambda = \infty$  des doppelt zählenden unendlich fernen Kurvenpunktes, der einen der beiden Asymptotenebenen liegt.

IV. Bei der *kub. Parabel* sind *alle* Achsenkegelschnitte, außer (7), *Parabeln*.

5. Unterscheidung der Ellipsen und Hyperbeln. Wenn im Gegensatz zu (8):

$$(10) \quad b_{44} \neq 0,$$

so ist der Kegelschnitt (5) ein Mittelpunktkegelschnitt (II § 104, 5), also nach 3 eine Ellipse oder Hyperbel.

Die Determinante

$$(11) \quad B = |b_{ki}|$$

der Fläche 2. Kl. (5) hat, da diese ein Kegelschnitt ist, den Wert 0. Bei verschwindender Determinante  $B$  haben aber die Hauptunterdeterminanten 3. Grades  $B_{11}$ ,  $B_{22}$ ,  $B_{33}$ ,  $B_{44}$ , soweit sie nicht verschwinden, dasselbe Vorzeichen (II § 79, (9)); dasselbe Vorzeichen hat dann auch die Summe (II § 102, (19)):

$$(12) \quad B_0' = B_{11} + B_{22} + B_{33}.$$

Nun berechnet sich aus (6):

$$(13) \quad B_{11} = -\left(\frac{3}{2}bcn\right)^2,$$

so daß (§ 6, (15)) stets:

$$(14) \quad B_0' < 0.$$

Der Kegelschnitt (5) ist aber (II § 104 (21)) eine *Ellipse oder Hyperbel*, je nachdem:

$$(15) \quad B_0'b_{44} > 0 \quad \text{oder} \quad < 0,$$

also nach (14):

$$(16) \quad b_{44} < 0 \quad \text{oder} \quad b_{44} > 0.$$

Für die drei ersten Arten § 6, (18) ist der Koeffizient  $b_{44}$  in (6):

$$(17) \quad \text{I. } b_{44} = \lambda^2 - 3e^2, \quad \text{II. } b_{44} = \lambda^2 + 3e^2, \quad \text{III. } b_{44} = 1.$$

I. Bei der kub. Ellipse ist der Achsenkegelschnitt  $\lambda$  eine Ellipse oder Hyperbel, je nachdem:

$$(18) \quad \lambda^2 < 3e^2 \quad \text{oder} \quad \lambda^2 > 3e^2.$$

Den Übergang bilden die Parabeln in den Schmiegungebenen (9).

II. Bei der kub. Hyperbel sind alle Achsenkegelschnitte Hyperbeln.

III. Bei der kub. hyperb. Parabel sind sie, mit Ausnahme einer Parabel für  $\lambda = \infty$ , nur Hyperbeln.<sup>1)</sup>

**6. Begriff des Mittelpunktskegelschnittes.** Die Koordinaten des Mittelpunktes der Fläche 2. Kl. (5) sind allgemein (II § 101, (13)):

$$(19) \quad x:y:z:t = b_{14}:b_{24}:b_{34}:b_{44}.$$

Da aber die Koeffizienten  $b_{14}$ ,  $b_{24}$ ,  $b_{34}$ ,  $b_{44}$  in (6) vom zweiten Grade in  $\lambda$  sind, so folgt:

Der Ort der Mittelpunkte aller Achsenkegelschnitte ist wieder ein Kegelschnitt, der „Mittelpunktskegelschnitt“ der Raumkurve 3. O.

**7. Der Mittelpunktskegelschnitt der kub. Ellipse und Hyperbel.** Für die kub. Ellipse ( $\varepsilon = 1$ ) und Hyperbel ( $\varepsilon = -1$ ) lautet die Parameterdarstellung des Mittelpunktskegelschnittes nach (19); (6) und § 6, (18):

$$(20) \quad \begin{cases} x = 2a'\lambda^2 - (9a\varepsilon e^2 - a'')\lambda - 3a'\varepsilon e^2, & y = 2b\lambda^2 + b'\lambda - 3b\varepsilon e^2, \\ z = c\lambda, & t = 2(\lambda^2 - 3\varepsilon e^2). \end{cases}$$

Seine zwei Schnittpunkte mit der Ebene:

$$(21) \quad ux + vy + wz + st = 0$$

bestimmen sich aus der quadratischen Gleichung:

$$(22) \quad \begin{cases} 2(a'u + bv + s)\lambda^2 + (- (9a\varepsilon e^2 - a'')u + b'v + cw)\lambda \\ - 3\varepsilon e^2(a'u + bv + 2s) = 0. \end{cases}$$

Sollen die Koeffizienten dieser Gleichung alle verschwinden:

$$(23) \quad \begin{cases} a'u + bv + s = 0, & - (9a\varepsilon e^2 - a'')u + b'v + cw = 0, \\ a'u + bv + 2s = 0, \end{cases}$$

müssen  $u$ ,  $v$ ,  $w$ ,  $s$  bis auf einen Faktor die Werte haben:

$$(24) \quad u = bc, \quad v = -a'c, \quad w = (9a\varepsilon e^2 - a'')b + a'b', \quad s = 0.$$

I. Der Mittelpunktskegelschnitt (20) liegt in der Ebene:

$$(25) \quad c(bx - a'y) + (9ab\varepsilon e^2 + a'b' - a''b)z = 0.$$

1) Cremona, Ann. di mat. 2 (1869), S. 202 ff.



In jeder andern Ebene hat er *nur zwei Punkte*, ist also ein *eigentlicher Kegelschnitt*. In der unendlich fernen Ebene  $u = 0$ ,  $v = 0$ ,  $w = 0$ ,  $s = 1$  hat er nach (22) die *getrennten Punkte*:

$$(26) \quad \lambda^2 - 3\epsilon e^2 = 0.$$

II. *Daher ist der Mittelpunktskegelschnitt bei der kub. Ellipse ( $\epsilon = 1$ ) eine Hyperbel und bei der kub. Hyperbel ( $\epsilon = -1$ ) eine Ellipse.*

III. *Bei der kub. Ellipse ist die Ebene (25) der Mittelpunkts-hyperbel (20) den beiden parallelen Schmiegungebenen § 8, (32) parallel.*

Die Mittelpunkte der elliptischen Achsenkegelschnitte (18) liegen auf dem einen, der hyperbolischen auf dem andern Zweig der Hyperbel (20)<sup>1)</sup>.

**8. Der Mittelpunktskegelschnitt der kub. hyperb. Parabel.** Mit den Werten § 6, (18), III nehmen die Gleichungen (19) nach (6) die Form an:

$$(27) \quad \begin{cases} x = \frac{1}{2}(-3a\lambda^2 + (9ae + a')\lambda + (3a'e + 2a'')), \\ y = \frac{1}{2}(b\lambda + (3be + 2b')), \quad z = c, \quad t = 1. \end{cases}$$

Für die Schnittpunkte mit der Ebene (21) ergibt sich die quadratische Gleichung:

$$(28) \quad \begin{cases} -3au\lambda^2 + ((9ae + a')u + bv)\lambda \\ + ((3a'e + 2a'')u + (3be + 2b')v + 2cw + 2s) = 0, \end{cases}$$

die für die Ebene  $u, v, w, s = 0, 0, 0, 1$  die Doppelwurzel  $\lambda = \infty$  hat und nur für eine Ebene  $u = 0$ ,  $v = 0$ ,  $w = 1$ ,  $s = -c$  identisch wird.

*Der Mittelpunktskegelschnitt bei der kub. hyperb. Parabel ist eine Parabel in der Ebene:*

$$(29) \quad z - ct = 0,$$

*der einen Asymptotenebene § 7, (27).*

Bei der kub. Parabel zieht sich der Mittelpunktskegelschnitt (19) nach (6) mit  $l = 0$ ,  $m = 0$ ,  $n = 1$  auf die unendlich ferne Gerade:

$$(30) \quad z = 0, \quad t = 0$$

zusammen, die Tangente § 8, (39)<sup>2)</sup>.

**9. Schnittpunkte der Ebene des Mittelpunktskegelschnittes mit der Raumkurve.** Für die drei Schnittpunkte der Ebene (25) mit der Raumkurve ergibt sich durch Einsetzen der Werte § 7, (1) in (25) die kubische Gleichung:

$$(31) \quad \lambda(\lambda^2 + 9\epsilon e^2) = 0.$$

1) Cremona, Ann. di mat. 2 (1859), S. 203 ff.; J. f. Math. 58 (1861), S. 146.

2) Schröter, Oberfl. 2. O. (1880), S. 322.

Die Ebene des Mittelpunktskegelschnittes schneidet die kub. Ellipse ( $\varepsilon = 1$ ) in einem reellen Punkte  $\lambda = 0$ , die kub. Hyperbel ( $\varepsilon = -1$ ) in drei reellen Punkten:

$$(32) \quad \lambda = 0, \quad \lambda = \pm 3e.$$

Die Ebene (29) schneidet als Schmiegungeebene dreifach im Punkte  $\lambda = \infty$ .

**10. Der Mittelpunktskegelschnitt ein Kreis.** Die unendlich fernen Punkte des Kegelschnittes (20) haben neben  $t = 0$  die Koordinaten:

$$(33) \quad x = 3a'\varepsilon e^2 - (9ae^2 - a')\lambda, \quad y = 3b'\varepsilon e^2 + b'\lambda, \quad z = c\lambda; \quad \lambda^2 = 3\varepsilon e^2.$$

Für  $\varepsilon = -1$  sind sie imaginär und ist:

$$(34) \quad x^2 + y^2 + z^2 = -3e^2\{(9ae^2 + a'')^2 + b'^2 + c^2 - 3(a'^2 + b^2)e^2 \\ \pm 2(9ae^2 + a'')a' + bb')\sqrt{3}ei\}.$$

Sie liegen beide auf dem imaginären Kugelkreise:

$$(35) \quad x^2 + y^2 + z^2 = 0,$$

wenn der Ausdruck (34) verschwindet, oder:

Der Mittelpunktskegelschnitt der kub. Hyperbel § 6, (14); (18), II ist ein Kreis, wenn:

$$(36) \quad (9ae^2 + a'')^2 + b'^2 + c^2 - 3(a'^2 + b^2)e^2 = 0, \quad (9ae^2 + a'')a' + bb' = 0.$$

**11. Der Mittelpunktskegelschnitt eine gleichseitige Hyperbel.** Für  $\varepsilon = 1$  sind die Punkte (33) reell und haben, den beiden Werten von  $\lambda$  entsprechend die Koordinaten:

$$(37) \quad x = 3a'e^2 \mp (9ae^2 - a'')e\sqrt{3}, \quad y = 3be^2 \pm b'e\sqrt{3}, \quad z = \pm ce\sqrt{3}.$$

Sie sind harmonische Pole des imaginären Kugelkreises (35), wenn

$$9a'^2e^4 - 3(9ae^2 - a'')^2e^2 + 9b^2e^4 - 3b'^2e^2 - 3c^2e^2 = 0,$$

oder:

Der Mittelpunktskegelschnitt der kub. Ellipse § 6, (14); (18), I ist eine gleichseitige Hyperbel, wenn:

$$(38) \quad (9ae^2 - a'')^2 + b'^2 + c^2 - 3(a'^2 + b^2)e^2 = 0$$

**12. Kub. Hyperbel mit lauter gleichseitigen Achsenhyperbeln.** Bei der kub. Hyperbel sind nach 5, II alle Achsenkegelschnitte (5) Hyperbeln. Dabei haben die Unterdeterminanten:

$$(39) \quad \beta_{44} = b_{11}b_{44} - b_{14}^2, \quad \beta_{55} = b_{22}b_{44} - b_{24}^2, \quad \beta_{66} = b_{33}b_{44} - b_{34}^2$$

mit  $l = 1$ ,  $m = 0$ ,  $n = -e^2$  nach (6) die Werte:

$$(40) \quad \begin{cases} -\frac{4}{3}\beta_{44} = 4aa''\lambda^4 + 12aa'e^2\lambda^3 + (27a^2e^4 + 18aa''e^3 - a''^3)\lambda^2 \\ \quad + 2(9ae^2 - a'')a'e^2\lambda + (3a'^2e^3 - 4a''^2)e^2, \\ -\frac{4}{3}\beta_{55} = -b'^2\lambda^3 - 2bb'e^2\lambda + (3b^2e^3 - 4b'^2)e^2, \\ -\frac{4}{3}\beta_{66} = -c^2\lambda^3 - 4c^2e^2. \end{cases}$$

Die Hyperbel (5) ist aber gleichseitig (II § 104, (20)), wenn:

$$(41) \quad B_0 = \beta_{44} + \beta_{55} + \beta_{66} = 0.$$

Soll diese Bedingung für alle Werte  $\lambda$  erfüllt sein, müssen nach (40) die Gleichungen bestehen:

$$\begin{aligned} aa'' = 0, \quad aa'e^2 = 0, \quad 27a^2e^4 + 18aa''e^3 - a''^3 - b'^2 - c^2 = 0, \\ (9ae^2 - a'')a' - bb' = 0, \quad 3a'^2e^3 - 4a''^2 + 3b^2e^3 - 4b'^2 - 4c^2 = 0, \end{aligned}$$

oder da  $abce \neq 0$ :

$$a' = 0, \quad a'' = 0, \quad b' = 0, \quad 27a^2e^4 - c^2 = 0, \quad 3b^2e^3 - 4c^2 = 0:$$

Für die kub. Hyperbel § 6, (14); (18), II sind alle Achsenkegelschnitte gleichseitige Hyperbeln, wenn:

$$(42) \quad a' = 0, \quad a'' = 0, \quad b' = 0, \quad b^2 = 36a^2e^3, \quad c^2 = 27a^2e^4.$$

Da hiermit die Bedingungen (36) erfüllt sind, so folgt:

Bei der Hyperbel (42) ist der Mittelpunktskegelschnitt ein Kreis.

**13. Flächenschar schar der Schmiegungebenen.** Dual zu § 9, 14 folgt im Anschluß an (2):

Jede Fläche 2. Klasse der Schar schar:

$$(43) \quad \rho F + \sigma G + \tau H = 0$$

enthält alle Schmiegungebenen der Raumkurve 3. O. als Tangentialebenen und es gibt auch keine anderen solchen Flächen.

Die Gleichung (43) hat die Form (5) mit folgenden Werten der Koeffizienten:

$$(44) \quad \begin{cases} b_{11} = -(3aa'' - a'^2)\rho + a'a''\sigma + a''^2\tau, \quad b_{22} = b^2\rho + bb'\sigma + b'^2\tau, \\ b_{33} = c^2\tau, \quad 2b_{23} = (b\sigma + 2b'\tau)c, \\ 2b_{31} = (-3a\rho + a'\sigma + 2a''\tau)c, \\ 2b_{12} = -(3ab' - 2a'b)\rho + (a'b' + a''b)\sigma + 2a''b'\tau, \\ 2b_{14} = -(3am - 2a'l)\rho - (9an - a'm - a''l)\sigma - (3a'n - 2a''m)\tau, \\ 2b_{24} = 2bl\rho + (bm + b'l)\sigma - (3bn - 2b'm)\tau, \\ 2b_{34} = c(l\sigma + 2m\tau), \quad b_{44} = l^2\rho + lm\sigma - (3ln - m^2)\tau. \end{cases}$$

Unter der Bedingung § 9, (33) geht die Fläche (43) wieder in den *Achsenkegelschnitt* in der Schmiegungeebene mit dem Parameter  $\lambda$  in § 9, (34) über. Andernfalls ist sie eine *eigentliche Linienfläche* 2. Kl. (§ 31, 3), bei der *kub. Parabel* ( $l=0$ ,  $m=0$ ;  $b_{44}=0$ ) insbesondere stets ein *hyperbolischer Paraboloid*.

**14. Bedeutung der Fläche  $G=0$ .** Setzt man in den Gleichungen der Achse  $\lambda_1 \times \lambda_2$  in § 8, (4):  $\lambda_1 = \lambda$ ,  $\lambda_2 = -\lambda$ , so erhält man für die Achse  $\lambda \times -\lambda$ :

$$(45) \quad \begin{cases} \lambda^2(a'u + bv + ls) - 3ns = 0, \\ -3au\lambda^2 + (a''u + b'v + cw + ms) = 0; \end{cases}$$

und durch Elimination von  $\lambda^2$ :

$$(46) \quad (a'u + bv + ls)(a''u + b'v + cw + ms) - 9anus = 0$$

oder nach (3):

$$(47) \quad G = 0.$$

Alle Ebenen, die büschelweise durch eine Achse  $\lambda \times -\lambda$  gehen sind also Tangentialebenen der Fläche (47), die Achsen selbst folglich Erzeugende, oder:

*Die Fläche 2. Kl. (47) ist der Ort aller der Achsen, in denen sich zwei Schmiegungeebenen von entgegengesetzten Parametern  $\lambda$  und  $-\lambda$  schneiden.*

Sie ist, da der Koeffizient  $lm$  von  $s^2$  nach (3) für alle Fälle § 6, (18) verschwindet, immer ein *hyperbolisches Paraboloid*.

## § 11. Scheitelpunkte, Scheitelemente, Scheitel- und Achsen-durchmesser.

**1. Begriff des Scheitelpunktes.** Eine Asymptote der Raumkurve 3. O. ist nach § 9, 13 Erzeugende eines durch die Kurve gehenden Zylinders. Die durch diese Erzeugende bestimmte Diametralebene des Zylinders schneidet, wie jede Ebene, die Kurve in drei Punkten. Von ihnen fallen zwei in den Berührungspunkt der Asymptote und der dritte, da in derselben Geraden nach § 4, 3, II nicht mehr als zwei Kurvenpunkte liegen können, in die diametral gegenüberliegende Erzeugende des Zylinders. Diesen dritten *der Asymptote diametral gegenüberliegenden Punkt der Kurve* nennen wir, wenn er im Endlichen liegt, einen *Scheitelpunkt*.

Eine Asymptote (§ 8, 12) soll bei dieser Erklärung auch durch eine *unendlich ferne Tangente* vertretbar sein.

2. Die Scheitelpunkte der kub. Ellipse und Hyperbel. Die Asymptote  $\lambda = \infty$  der kub. Ellipse und Hyperbel hat nach § 8, (35); (36) die Gleichungen:

$$(1) \quad y - bt = 0, \quad z = 0,$$

und die Mittelpunktsachse des Zylinders  $\lambda = \infty$  nach § 9, (11); (14) die Gleichungen:

$$(2) \quad y - \frac{1}{2}bt = 0, \quad z = 0.$$

Die beide Geraden verbindende Diametralebene  $z = 0$  des Zylinders schneidet die Kurve § 6, (14) in den Punkten  $\lambda = \infty, \infty, 0$ . Der letztere ist also ein Scheitelpunkt.

Die Asymptote  $\lambda = \epsilon e (\epsilon = \pm 1)$  der kub. Hyperbel hat nach § 8, (37) die Gleichungen:

$$(3) \quad \begin{cases} bcx - (2a\epsilon e + a')cy + (abe^2 + 2ab'\epsilon e + a'b' - a''b)z = 0, \\ 2cy - 2(b\epsilon e + b')z - bct = 0, \end{cases}$$

und die Mittelpunktsachse des hyperbol. Zylinders  $\lambda = \epsilon e$  nach § 9, (15) die Gleichungen:

$$(4) \quad \begin{cases} bcx - a'cy - (abe^2 - a'b' + a''b)z + abcc\epsilon e t = 0, \\ cy - (b\epsilon e + b')z - bct = 0. \end{cases}$$

Addiert man die mit  $3a\epsilon e$  multiplizierte zweite Gleichung (3) zur ersten (3) und die mit  $4a\epsilon e$  multiplizierte zweite Gleichung (4) zur ersten (4), so folgt beidemal dieselbe Gleichung:

$$(5) \quad bcx + (4a\epsilon e - a')cy - (5abe^2 + 4ab'\epsilon e - a'b' + a''b)z - 3abcc\epsilon e t = 0,$$

die somit die durch die Asymptote (3) gehende Diametralebene des Zylinders darstellt. Setzt man die Werte § 6, (14); (18), II in (5) ein, so folgt für die Schnittpunkte der Diametralebene mit der Kurve:

$$(6) \quad \lambda^3 + \epsilon e \lambda^2 - 5e^2 \lambda + 3\epsilon e^3 = (\lambda - \epsilon e)^2 (\lambda + 3\epsilon e) = 0;$$

der Punkt  $\lambda = -3\epsilon e$  ist daher Scheitelpunkt.

I. Die kub. Ellipse hat einen Scheitelpunkt  $\lambda = 0$ , der auf dem elliptischen Zylinder der Asymptote  $\lambda = \infty$  diametral gegenüberliegt.

II. Die kub. Hyperbel hat drei Scheitelpunkte:

$$(7) \quad \lambda = 0, \quad \lambda = -3e, \quad \lambda = 3e,$$

die auf den drei hyperbolischen Zylindern bezüglich den Asymptoten:

$$(8) \quad \lambda = \infty, \quad \lambda = e, \quad \lambda = -e$$

diametral gegenüberliegen.

III. Die Scheitelpunkte liegen nach § 10, 9 in der Ebene des Mittelpunktskegelschnittes.<sup>1)</sup>

1) Cremona, J. f. Math. 58 (1861), S. 147; Schröter, Oberfl. 2.O. (1880), S. 335.

**3. Die Scheitelpunkte der kub. hyperbolischen Parabel und Parabel.** Die *Asymptote*  $\lambda = e$  der kub. hyperbol. Parabel § 8, (38) ist Erzeugende des parabolischen Zylinders (§ 9, 13, III). Die durch sie gehende „Diametralebene“ (II § 14, 8) des parabolischen Zylinders schneidet diesen in seiner unendlich fernen Geraden. Es liegt also auch kein *endlicher* Punkt der Raumkurve der Asymptote diametral gegenüber. Die *unendlich ferne Tangente*  $\lambda = \infty$  ist (§ 9, 13, III) Erzeugende des hyperbolischen Zylinders, in dessen Asymptotenebene gelegen, so daß ihr keine *endliche* Erzeugende diametral gegenüberliegt.

III. Die kub. hyperb. Parabel hat keinen Scheitelpunkt.

Die *unendlich ferne Tangente* der kub. Parabel ist (§ 9, 13, IV) die unendlich ferne Erzeugende des parabolischen Zylinders. Alle durch sie gehenden Ebenen sind Diametralebenen des Zylinders, so daß jeder Punkt der Kurve mit ihr durch eine Diametralebene verbunden werden kann.

IV. Die kub. Parabel hat unendlich viele Scheitelpunkte; jeder *endliche* Punkt der Kurve ist ein solcher.

**4. Der Scheitelpunkt als Koordinatenanfangspunkt.** Das rechtwinklige System  $Oxyz$ , auf das die Gleichungen § 6, (14) bezogen sind, hat den Punkt  $\lambda = 0$  der Raumkurve als Anfangspunkt  $O$ .

Bei der kub. Ellipse ist dieser nach 2, I der einzige Scheitelpunkt, bei der kub. Hyperbel nach 2, II einer der drei Scheitelpunkte, bei den beiden kub. Parabeln dagegen ist er nach 3, III; IV nicht in gleicher Weise ausgezeichnet. In der Tat ist auch in diesen Fällen, die nach § 6, (18), III; IV bei nicht homogener Schreibweise, in der Form:

$$(9) \quad x = \frac{a\lambda^3 + a'\lambda^2 + a''\lambda}{m\lambda + n}, \quad y = \frac{b\lambda^3 + b'\lambda^2 + b''\lambda}{m\lambda + n}, \quad z = \frac{c\lambda}{m\lambda + n}$$

zusammengefaßt werden können, die Form der Gleichungen für den gewählten Anfangspunkt nicht charakteristisch.

**5. Parallelverschiebung des Koordinatensystems.** Führt man nämlich durch die Substitution:

$$(10) \quad X = x - x_0, \quad Y = y - y_0, \quad Z = z - z_0$$

ein paralleles System ein, dessen Anfangspunkt  $x_0, y_0, z_0$  irgendein Punkt  $\lambda_0$  der Kurve sei, so wird:

$$X = \frac{a\lambda^3 + a'\lambda^2 + a''\lambda}{m\lambda + n} - \frac{a\lambda_0^3 + a'\lambda_0^2 + a''\lambda_0}{m\lambda_0 + n}, \quad \dots, \dots$$

oder mit den Abkürzungen:

$$\lambda = \lambda_0 + \mu, \quad n_0 = m\lambda_0 + n$$

zusammengezogen:

$$X = \frac{an_0\mu^3 + (3a\lambda_0 + a')n_0\mu^2 + (2am\lambda_0^3 + (3an + a'm)\lambda_0^2 + 2a'n\lambda_0 + a''n)\mu}{n_0(m\lambda + n)}, \dots$$

oder wieder homogen geschrieben:

$$(11) \quad X = a\mu^3 + a_0'\mu^2 + a_0''\mu, \quad Y = b\mu^2 + b_0'\mu, \quad Z = c_0\mu, \quad T = m\mu + n_0$$

wo die neuen Konstanten die Werte haben:

$$(12) \quad \begin{cases} a_0' = 3a\lambda_0 + a', & n_0a_0'' = 2am\lambda_0^3 + (3an + a'm)\lambda_0^2 + 2a'n\lambda_0 + a''n, \\ n_0b_0' = bm\lambda_0^2 + 2bn\lambda_0 + b'n, & n_0c_0 = cn, \quad n_0 = m\lambda_0 + n. \end{cases}$$

Danach ergibt sich aber mit  $m = 1$ ,  $n = -e$  und  $m = 0$ ,  $n = 1$  (§ 6, (14); (18)):

III. Die Gleichungen für die kub. hyperbol. Parabel im rechtwinkligen System  $Oxyz$ :

$$(13) \quad x = a\lambda^3 + a'\lambda^2 + a''\lambda, \quad y = b\lambda^2 + b'\lambda, \quad z = c\lambda, \quad t = \lambda - e$$

behalten in jedem parallelen System  $O_0XYZ$ , dessen Anfangspunkt  $O_0$  ein beliebiger endlicher Punkt  $\lambda_0$  der Kurve ( $\lambda_0 \neq e$ ) ist, dieselbe Form:

$$(14) \quad X = a\mu^3 + a_0'\mu^2 + a_0''\mu, \quad Y = b\mu^2 + b_0'\mu, \quad Z = c_0\mu, \quad T = \mu - e_0,$$

mit den neuen Konstanten:

$$(15) \quad \begin{cases} a_0' = 3a\lambda_0 + a', & e_0a_0'' = -2a\lambda_0^3 + (3ae - a')\lambda_0^2 + 2a'e\lambda_0 + a''e \\ e_0b_0' = -b\lambda_0^2 + 2be\lambda_0 + b'e, & e_0c_0 = ce, \quad e_0 = -\lambda_0 + e \end{cases}$$

und dem neuen Parameter:

$$(16) \quad \mu = \lambda - \lambda_0.$$

IV. Die Gleichungen für die kub. Parabel im rechtwinkligen System  $Oxyz$ :

$$(17) \quad x = a\lambda^3 + a'\lambda^2 + a''\lambda, \quad y = b\lambda^2 + b'\lambda, \quad z = c\lambda, \quad t = 1$$

behalten in jedem parallelen System  $O_0XYZ$ , dessen Anfangspunkt  $O_0$  ein beliebiger Punkt  $\lambda_0$  der Kurve ist, dieselbe Form:

$$(18) \quad X = a\mu^3 + a_0'\mu^2 + a_0''\mu, \quad Y = b\mu^2 + b_0'\mu, \quad Z = c\mu, \quad T = 1$$

mit den neuen Koeffizienten:

$$(19) \quad a_0' = 3a\lambda_0 + a', \quad a_0'' = 3a\lambda_0^2 + 2a'\lambda_0 + a'', \quad b_0' = 2b\lambda_0 + b'$$

und dem neuen Parameter (16).

**6. Tangentialebenen von Kegel und Zylinder längs der gemeinsamen Erzeugenden.** Die Raumkurve 3. O. wird nach § 6, (16); (17) als Durchschnitt des Kegels und Zylinders:

$$(20) \quad ac^2y^2 + (a'b - 2ab')cyz + (ab'^2 - a'bb' + a''b^2)z^2 - b^2czz = 0,$$

$$(21) \quad c^2ly^2 + (bm - 2b'l)cyz + (b'^2l - bb'm + b^2n)z^2 - bc^2yt + bb'czt = 0$$

erhalten. Der Kegel hat seine Spitze in  $O$  und ist Fig. 20 durch seine Leitlinie  $k'$  in der zur Ebene  $Oyz$  parallelen Ebene  $O'y'z'$  angedeutet. Der Zylinder ist Fig. 20 durch die Leitlinien  $h$  und  $h'$  bezeichnet. Beide Flächen haben als gemeinsame Erzeugende die  $x$ -Achse.

I. Die *Tangentialebene des Kegels* längs einer Erzeugenden  $x_0:y_0:z_0$  hat die Gleichung:

$$(22) \quad 2ac^2y_0y + (a'b - 2ab')c(y_0z + z_0y) + 2(ab'^2 - a'bb' + a''b^2)z_0z - b^2c(z_0x + x_0z) = 0,$$

die *Tangentialebene des Zylinders* längs einer Erzeugenden  $y_0:z_0:t_0$  ebenso:

$$(23) \quad 2c^2ly_0y + (bm - 2b'l)c(y_0z + z_0y) + 2(b'^2l - bb'm + b^2n)z_0z - bc^2(y_0t + t_0y) + bb'c(z_0t + t_0z) = 0.$$

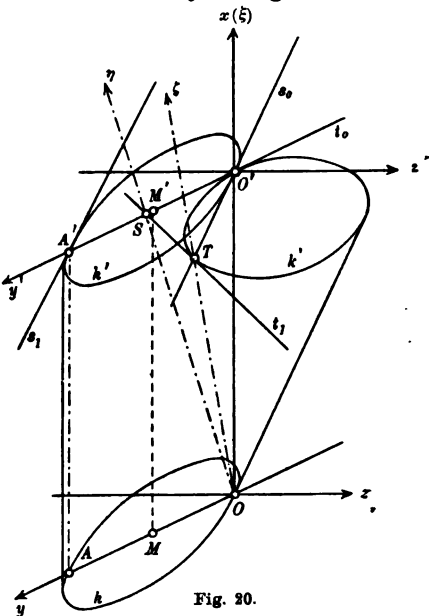


Fig. 20.

Längs der gemeinsamen Erzeugenden  $y_0 = 0, z_0 = 0$  ( $OO'$  Fig. 20) hat daher der Kegel die Tangentialebene:

$$(24) \quad z = 0 \quad (Ot_0, OyO'y')$$

und der Zylinder die Tangentialebene:

$$(25) \quad cy - b'z = 0 \quad (Os_0).$$

Jene schneidet den Zylinder außer in der  $x$ -Achse in der Erzeugenden:

$$(26) \quad y:z:t = b:0:l \quad (AA'),$$

diese den Kegel außer in der  $x$ -Achse in der Erzeugenden:

$$(27) \quad x:y:z = a':b':c \quad (OT).$$

Da diese beiden Geraden aus § 8, (9) mit  $\lambda = \infty$  und  $\lambda = 0$  hervorgehen, so ergibt sich:

II. Die *Tangentialebene*  $Ot_0$  des Kegels längs der gemeinsamen Erzeugenden schneidet den Zylinder in der Tangente  $AA'$  der Raumkurve im Punkte  $\lambda = \infty$ , die *Tangentialebene*  $Os_0$  des Zylinders längs der



*gemeinsamen Erzeugenden schneidet den Kegel in der Tangente OT der Raumkurve im Punkte  $\lambda = 0^1$ ) (Fig. 20).*

**7. Weitere Tangentialebenen von Kegel und Zylinder.** Wiederum hat der *Kegel* längs der Erzeugenden (27), der Tangente  $\lambda = 0$ , nach (22) die Tangentialebene:

$$(28) \quad c(bx - a'y) + (a'b' - a''b)z = 0 \quad (Ot_1),$$

nach § 7, (10) die Schmiegungeebene  $\lambda = 0$ ; und der *Zylinder* längs der Erzeugenden (26), der Tangente  $\lambda = 0$ , die Tangentialebene:

$$(29) \quad l(cy - b'z) + b(mz - ct) = 0 \quad (As_1),$$

nach § 7, (10) die Schmiegungeebene  $\lambda = \infty$ . Beides stimmt mit § 9, 12 überein, da (20) der Sehnenkegel  $\lambda = 0$  und (21) der Sehnenkegel  $\lambda = \infty$  ist.

Die Schnittlinie der beiden Tangentialebenen (24) und (28) des Kegels:

$$(30) \quad x : y : z = a' : b : 0 \quad (OS \text{ Fig. 20})$$

ist die *Polare der Tangentialebene  $Os_0$  des Zylinders in bezug auf den Kegel* (II § 80, 3).

• Die Schnittlinie der beiden Tangentialebenen (25) und (29) des Zylinders:

$$(31) \quad y : z : t = b' : c : m$$

ist die *Polare der Tangentialebene  $Ot_0$  des Kegels in bezug auf den Zylinder* (in Fig. 20 ist sie unendlich fern, weil  $t_0 = y'$  mit  $m = 0$  ein Durchmesser der Leitkurve  $h'$  ist).

Die Geraden (26), (27), (30), (31) und Ebenen (24), (25), (28), (29) mögen kurz als *Scheitelelemente* bezeichnet werden, da sie sich, außer im Fall 3, III, an den Scheitelpunkt  $\lambda = 0$  anlehnen. Sie geben zugleich die *Bedeutung eines Teils der Konstanten  $a, a', a'', b, b', c, l, m, n$* .

**8. Scheiteldurchmesser.** Der laufende Punkt der geraden Linie (30) ist mit einem Parameter  $\sigma$ :

$$(32) \quad x = a'\sigma, \quad y = b\sigma, \quad z = 0, \quad (t = 1).$$

Soll er auf der Sehne  $\lambda_1 \lambda_2$  der Raumkurve liegen, müssen die Gleichungen § 8, (2) durch die Substitution (32) erfüllt werden, also die Bedingungen bestehen:

$$(33) \quad \lambda_1 + \lambda_2 = 0, \quad (l\lambda_1 \lambda_2 - n)\sigma - \lambda_1 \lambda_2 = 0,$$

oder mit veränderter Bezeichnung:

1) Fr. Seydewitz, Arch. Math. Phys. 10 (1847), S. 206.

I. Die Sehne  $\lambda\lambda'$  der Raumkurve 3. O. schneidet die Gerade (32) unter der Bedingung:

$$(34) \quad \lambda + \lambda' = 0.$$

Der Parameter des Schnittpunktes ist dann:

$$(35) \quad \sigma = \frac{\lambda\lambda'}{l\lambda\lambda' - n} = \frac{\lambda^2}{l\lambda^2 + n}.$$

Die beiden Endpunkte  $\lambda$  und  $\lambda' = -\lambda$  der Sehne haben nach § 6, (14) die nicht homogenen Koordinaten:

$$(36) \quad x = \frac{a\lambda^2 + a'\lambda^2 + a''\lambda}{l\lambda^2 + m\lambda + n}, \dots; x' = \frac{-a\lambda^2 + a'\lambda^2 - a''\lambda}{l\lambda^2 - m\lambda + n}, \dots$$

Ihr Mittelpunkt ist unter der Voraussetzung  $m = 0$ :

$$(37) \quad \frac{x+x'}{2} = \frac{a'\lambda^2}{l\lambda^2 + n}, \quad \frac{y+y'}{2} = \frac{b\lambda^2}{b\lambda^2 + n}, \quad \frac{z+z'}{2} = 0,$$

also gerade der Punkt (32) mit dem Werte (35) von  $\sigma$ .

II. Die gerade Linie (30) schneidet und halbiert, falls  $m = 0$  ist, alle die Sehnen der Raumkurve § 6, (14), die zwei Punkte mit entgegengesetzten Parametern  $\lambda$  und  $-\lambda$  verbinden.

Für  $m \neq 0$  hat sie diese Bedeutung nicht. Die Fälle  $m = 0$  (§ 6, (18)) sind aber nach 2, I; II und 3, IV gerade die Fälle, wo der Kurvenpunkt  $\lambda = 0$  oder  $O$ , durch den die Gerade (30) geht, ein Scheitelpunkt ist. Die *Scheiteltangente*  $\lambda = 0$  gehört zu den halbierten Sehnen.

Daher nennen wir die Gerade (30) einen *Scheiteldurchmesser* der Raumkurve 3. O. Es wird sich später ergeben, daß die Anzahl der Scheiteldurchmesser der vier Arten der Raumkurve gerade den unter 2, I; II; 3, III; IV angegebenen Anzahlen der Scheitelpunkte entspricht (§ 35, 6; 8), so daß die kub. Ellipse einen, die kub. Hyperbel drei<sup>1)</sup>, die kub. hyperbolische Parabel keinen, die kub. Parabel unendlich viele Scheiteldurchmesser besitzt.

9. **Achsendurchmesser.** Der Zylinder (21) ist nach § 9, 6; 7 für die kub. Ellipse elliptisch und für die kub. Hyperbel hyperbolisch und hat in beiden Fällen die *Mittelpunktsachse* ( $MM'$  in Fig. 20):

$$(38) \quad y = \frac{1}{2}b, \quad z = 0,$$

in nicht homogener Schreibweise mit  $t = 1$  in § 9, (11); (14). Die Gerade (38) schneidet die Sehne § 8, (2), wenn ( $l = 1$ ):

$$x - \frac{1}{2}(a(\lambda_1 + \lambda_2) + a') = 0, \quad \frac{1}{2}(\lambda_1\lambda_2 - n) - \lambda_1\lambda_2 = 0$$

1) Cremona, J. f. Math. 58 (1861), S. 147; Schröter, Oberfl. S. 335.

oder mit  $\lambda, \lambda'$  für  $\lambda_1, \lambda_2$ :

$$(39) \quad \lambda\lambda' + n = 0, \quad (40) \quad x = \frac{1}{2}a(\lambda + \lambda') + \frac{1}{2}a'.$$

Der Schnittpunkt ist dann der Mittelpunkt der Sehne  $\lambda\lambda'$  der Raumkurve 3. O., da sie zugleich Sehne des Zylinders ist und die Mittelpunktsachse eines elliptischen oder hyperbolischen Zylinders alle sie schneidenden Sehnen des Zylinders halbiert.

Der Zylinder (21) ist nach § 9, 8 für die *kub. hyperbolische Parabel* hyperbolisch und hat nach § 9, (18) die *Mittelpunktsachse* (mit  $t = 1$ ):

$$(41) \quad y = 2be + b', \quad z = c.$$

Sie schneidet die Sehne  $\lambda\lambda'$  nach § 8, (2), wenn ( $l = 0, m = 1, n = -e$ ):

$$(42) \quad \lambda + \lambda' = 2e, \quad (43) \quad x = 4ae^2 + 2a'e + a'' - a\lambda\lambda'.$$

Die *Mittelpunktsachse* des elliptischen oder hyperbolischen Zylinders (21) schneidet und halbiert alle Sehnen  $\lambda\lambda'$  der Raumkurve § 6, (14), deren Endpunktparameter  $\lambda$  und  $\lambda'$  für die *kub. Ellipse* oder *Hyperbel* der Bedingung (39), für die *kub. hyperbolische Parabel* der Bedingung (42) entsprechen.

Wir nennen daher die Mittelpunktsachse einen *Achsendurchmesser* der Raumkurve 3. O.<sup>1)</sup> Es wird sich später ergeben (§ 20, 13), daß für die *kub. Hyperbel* auch die Mittelpunktsachsen der beiden anderen hyperbolischen Zylinder solche Durchmesser sind, so daß die *kub. Ellipse* einen, die *kub. Hyperbel* drei, die *kub. hyperbolischen Parabel* einen, die *kub. Parabel* keinen Achsendurchmesser besitzt.

**10. Ort der von einem Scheiteldurchmesser halbierten Sehnen.** Der Ort der Sehnen  $\lambda, -\lambda$  hat sich in § 9, (36) für alle Fälle § 6, (18) ergeben. In den Fällen  $m = 0$  ist nach 8, II ein Scheiteldurchmesser vorhanden. Daher ergibt sich aus § 9, (37); (3); (40):

Der Ort der vom Scheiteldurchmesser (30) halbierten Sehnen  $\lambda, -\lambda$ , die der Ebene (25) parallel sind, ist das *hyperbolische Paraboloid*:

$$(44) \quad \begin{cases} g = a'c^2ly^2 - (abn + (2a'b' - a''b)l)cyz + (abn + (a'b' - a''b)l)b'z^2 \\ + bb'clzx - bc^2lxy + b^2c^2xt - a'bc^2yt + (a'b' - a''b)bczt = 0. \end{cases}$$

**11. Ort der von einem Achsendurchmesser halbierten Sehnen.** Bei der *kub. Ellipse* und *Hyperbel* ist  $l = 1, m = 0$ . Bezeichnet man nun das laufende  $x$  des Mittelpunktes der Sehne  $\lambda\lambda'$  mit  $\sigma$ , so daß nach (39), (40):

$$(45) \quad \lambda\lambda' = -n, \quad \lambda + \lambda' = \frac{2\sigma - a'}{a},$$

1) Schröter, Oberfl. 2. O. (1880), S. 339.

so werden die Gleichungen der Sehne nach § 8, (2):

$$(46) \quad \begin{cases} bcx - 2c\sigma y - (abn - 2b'\sigma + a''b)z = 0, \\ 2acy - (2ab' + 2b\sigma - a'b)z - abct = 0. \end{cases}$$

Durch Elimination von  $\sigma$  folgt als Ort der vom Achsendurchmesser (38) halbierten Sehnen, die Fläche 2. O.:

$$(47) \quad \begin{cases} 2ac^2y^2 + \{(an + a'')b^2 + (2ab' - a'b)b'\}z^2 - (4ab' - a'b)cyz \\ - b^2czz - abc^2yt + abb'czt = 0. \end{cases}$$

Sie entspricht den Bündelparametern  $\rho = 1$ ,  $\sigma = 0$ ,  $n\tau = 1$  in § 9, (30).

Bei der kub. hyperbolischen Parabel werden die Gleichungen der Sehne  $\lambda\lambda'$  mit (42):

$$(48) \quad \begin{cases} \{bcx - (2ae + a')cy + (2ab'e + a'b' - a''b)z\} + b\lambda\lambda' \cdot az = 0, \\ e\{cy - (2be + b')z\} + b\lambda\lambda' \cdot (z - ct) = 0. \end{cases}$$

Durch Elimination von  $b\lambda\lambda'$  folgt als Ort der vom Achsendurchmesser (41) halbierten Sehnen die Fläche 2. O.:

$$(49) \quad \begin{cases} (2abe^2 + 3ab'e + a'b' - a''b)z^2 - (3ae + a')cyz + bczz - bc^2xt \\ + (2ae + a')c^2yt - (2ab'e + a'b' - a''b)czt = 0, \end{cases}$$

entsprechend den Bündelparametern  $\rho = -2e$ ,  $\sigma = -1$ ,  $\tau = 0$ .

## § 12. Das schiefwinklige Koordinatensystem der Scheitelelemente.

**1. Einführung eines schiefwinkligen Systems.** Die vom Anfangspunkt  $O$  des rechtwinkligen Koordinatensystems  $Oxyz$  (Fig. 20), dem Punkte  $\lambda = 0$  der Raumkurve, ausgehenden Geraden  $OO'$ ,  $OS$  und  $OT$ , also *erstens* die  $x$ -Achse als gemeinsame Erzeugende von Kegel und Zylinder § 11, (20); (21), *zweitens* die Polare § 11, (30) der längs der  $x$ -Achse berührenden Tangentialebene des Zylinders in bezug auf den Kegel und *drittens* die Tangente § 11, (27) der Raumkurve im Punkte  $O$ , haben die Richtungskosinus:

$$(1) \quad \begin{cases} \alpha_1 = 1, & \beta_1 = 0, & \gamma_1 = 0; \\ \alpha_2 = \frac{a'}{b_0}, & \beta_2 = \frac{b}{b_0}, & \gamma_2 = 0; & b_0 = \sqrt{a'^2 + b^2}; \\ \alpha_3 = \frac{a''}{c_0}, & \beta_3 = \frac{b'}{c_0}, & \gamma_3 = \frac{c}{c_0}; & c_0 = \sqrt{a''^2 + b'^2 + c^2}. \end{cases}$$

Sie bilden also nach § 6, (15) ein stets vorhandenes, dem Punkte  $O$  der Kurve eigentümliches schiefwinkliges Achsensystem  $O\xi\eta\zeta$ .<sup>1)</sup>

1) Cremona, Ann. di mat. 2 (1859), S. 201.

Die Ebene  $O\eta\xi$  ( $OST = Ot_1$  Fig. 20) ist nach § 11, (28) die Schmiegungeebene der Raumkurve im Punkte  $O$ ; ihre drei Schnittpunkte mit der Kurve sind also  $\lambda = 0, 0, 0$ . Die Ebene  $O\xi\xi$  ( $Os_0$  Fig. 20) ist, weil sie durch die Tangente  $OT$  und die  $x$ -Achse geht, die durch den Punkt  $\lambda = \infty$  gehende Tangentialebene der Kurve im Punkte  $O$ ; ihre drei Schnittpunkte sind  $\lambda = 0, 0, \infty$ . Die Ebene  $O\xi\eta$  ( $Ot_0$  Fig. 20) ist, weil sie nach § 11, 6, II die Tangente § 11, (26) enthält, die durch  $O$  gehende Tangentialebene der Kurve im Punkte  $\lambda = \infty$ ; ihre drei Schnittpunkte sind  $\lambda = 0, \infty, \infty$ .

**2. Die Transformationsformeln.** Zur Vermittlung zwischen dem rechtwinkligen System  $Oxyz$  und dem schiefwinkligen  $O\xi\eta\xi$  dienen für *Punktkoordinaten* die Formeln (I § 37, (2); (5)):

$$(2) \quad x = \xi + \frac{a'}{b_0} \eta + \frac{a''}{c_0} \xi, \quad y = \frac{b}{b_0} \eta + \frac{b'}{c_0} \xi, \quad z = \frac{c}{c_0} \xi, \quad t = \tau;$$

$$(3) \quad \xi = x - \frac{a'}{b} y + \frac{a'b' - a''b}{bc} z, \quad \eta = b_0 \frac{cy - b'z}{bc}, \quad \xi = c_0 \frac{z}{c}, \quad \tau = t$$

und für *Ebenenkoordinaten* (I § 45, (23)), unter  $u', v', w', s'$ , die auf  $O\xi\eta\xi$  bezüglichen verstanden:

$$(4) \quad u' = u, \quad v' = \frac{a'u + bv}{b_0}, \quad w' = \frac{a'u + b'v + cw}{c_0}, \quad s' = s;$$

$$(5) \quad u = u', \quad v = \frac{-a'u' + b_0 v'}{b}, \quad w = \frac{(a'b' - a''b)u' - b_0 b' v' + c_0 b w'}{bc}, \quad s = s'.$$

**3. Parameterdarstellung der Raumkurve im schiefwinkligen System.** Setzt man nun die Werte § 6, (14) in (3) und § 7, (11) in (4) ein, so folgt, wenn man nachträglich das neue System wieder  $Oxyz$  nennt und  $b_0, c_0$  wieder mit  $b, c$  bezeichnet:

In dem schiefwinkligen System  $Oxyz$  der Scheitelelemente lautet die Parameterdarstellung der Punkte und Schmiegungeebenen der Raumkurve 3. O.:

$$(6) \quad px = a\lambda^3, \quad py = b\lambda^2, \quad pz = c\lambda, \quad pt = l\lambda^2 + m\lambda + n;^1)$$

$$(7) \quad \sigma u = \frac{n}{a}, \quad \sigma v = \frac{(l\lambda^2 - 3n)\lambda}{b}, \quad \sigma w = \frac{(m\lambda + 3n)\lambda^2}{c}, \quad \sigma s = -\lambda^3,$$

wo  $l, m, n$  die Werte § 6, (18) haben.

Die Formeln (6) zeigen wiederum, daß in den drei Ebenen  $x = 0$ ;  $y = 0$ ;  $z = 0$  bezüglich die drei Kurvenpunkte  $\lambda = 0, 0, 0$ ;  $\lambda = 0, 0, \infty$ ;

1) Möbius, Werke 1, S. 157 (1827); Cremona, Ann. di mat. 2 (1859), S. 201; J. f. Math. 58 (1861), S. 149; v. Drach, kub. Kegelschn., S. 55.

$\lambda = 0, \infty, \infty$  liegen, die Formeln (7), daß durch die Punkte  $u = 0$  und  $s = 0$  je drei zusammenfallende Schmiegungebenen  $\lambda = \infty$  und  $\lambda = 0$  gehen (§ 7, 8).

**4. Sehnen, Achsen und Tangenten.** Da die Ableitung der Gleichungen § 8, (2) und (4) aus § 7, (1) ebenso für schiefwinklige wie für rechtwinklige Koordinaten gilt, so hat man, um aus (6) die entsprechenden Folgerungen zu ziehen, nur:

$$(8) \quad a' = 0, \quad a'' = 0, \quad b' = 0$$

zu setzen.

Die Gleichungen der Sehne  $\lambda_1 \lambda_2$  werden daher im schiefwinkligen System  $Oxyz$  nach § 8, (2):

$$(9) \quad \begin{cases} \frac{x}{a} - (\lambda_1 + \lambda_2) \frac{y}{b} + \lambda_1 \lambda_2 \frac{z}{c} = 0, \\ (l\lambda_1 \lambda_2 - n) \frac{y}{b} + (m\lambda_1 \lambda_2 + n(\lambda_1 + \lambda_2)) \frac{z}{c} - \lambda_1 \lambda_2 t = 0, \end{cases}$$

und die Gleichungen der Achse  $\lambda_1 \times \lambda_2$  nach § 8, (4):

$$(10) \quad \begin{cases} b\lambda_1 \lambda_2 v + c(\lambda_1 + \lambda_2)w + (l\lambda_1 \lambda_2 + m(\lambda_1 + \lambda_2) + 3n)s = 0, \\ 3a\lambda_1 \lambda_2 u + b(\lambda_1 + \lambda_2)v + cw + (l(\lambda_1 + \lambda_2) + m)s = 0. \end{cases}$$

Die Parameterdarstellung der Tangenten aber wird nach § 8, (11):

$$(11) \quad \begin{cases} \varrho p_{33} = bc\lambda^2, \varrho p_{31} = -2ca\lambda^3, \varrho p_{13} = ab\lambda^4, \varrho p_{14} = a(l\lambda^3 + 2m\lambda + 3n)\lambda^2, \\ \varrho p_{24} = b(m\lambda + 2n)\lambda, \varrho p_{34} = -c(l\lambda^2 - n). \end{cases}$$

**5. Flächenbündel und Flächenschar.** Infolge von (8) nehmen die linearen Funktionen § 7, (3), bis auf den gemeinsamen Faktor  $abc$ , und die linearen Funktionen § 7, (13) die Werte an:

$$(12) \quad y_1 = n \frac{x}{a}, \quad y_2 = n \frac{y}{b}, \quad y_3 = n \frac{z}{c}, \quad y_4 = -\left(l \frac{y}{b} + m \frac{z}{c} - t\right);$$

$$(13) \quad v_1 = au, \quad v_2 = bv + ls, \quad v_3 = cw + ms, \quad v_4 = ns.$$

Gleichzeitig wird dann aus § 9, (3), bis auf den Faktor  $ab^2c^2$ , und aus § 10, (3):

$$(14) \quad \begin{cases} f = l \frac{y^2}{b^2} + m \frac{y}{b} \frac{z}{c} + n \frac{z^2}{c^2} - \frac{y}{b} t, & -g = n \frac{y}{b} \frac{z}{c} + m \frac{z}{c} \frac{x}{a} + l \frac{x}{a} \frac{y}{b} - \frac{x}{a} t, \\ h = n \left( \frac{y^2}{b^2} - \frac{z}{c} \frac{x}{a} \right); \end{cases}$$

$$(15) \quad \begin{cases} F = b^2 v^2 - 3acwu - 3amus + 2blvs + l^2 s^2, \\ G = bcvw - 9anus + bmv s + clws + lms^2, \\ H = c^2 w^2 - 3bnvs + 2cmws - (3ln - m^2)s^2. \end{cases}$$

Mit den Werten (14) und (15) stellen dann die Gleichungen (§ 9, (25); § 10, (43)):

$$(16) \quad \varrho f + \sigma g + \tau h = 0; \quad (17) \quad \varrho F + \sigma G + \tau H = 0$$

das Bündel aller durch die Kurve (6) gehenden Flächen 2. O. und die Scharschar aller von den Schmiegungebenen (7) berührten Flächen 2. Kl. dar.

Mit der Bedingung § 9, (33); (34) ist (16) der Sehnenkegel  $\lambda$  und (17) der Achsenkegelschnitt  $\lambda$ .

**6. Darstellung der Raumkurve 3. O. durch drei Flächen.** Im Sinne von § 7, 9, I; II ist die Raumkurve (6), (7) in Punkt- und Ebenenkoordinaten durch die drei Gleichungen:

$$(18) \quad f = 0, \quad g = 0, \quad h = 0; \quad (19) \quad F = 0, \quad G = 0, \quad H = 0$$

dargestellt.

In (18) ist  $f = 0$  der Sehnenzylinder  $\lambda = \infty$ ,  $h = 0$  der Sehnenkegel  $\lambda = 0$  (§ 9, 5),  $g = 0$  das hyperbolische Paraboloid der Sehnen  $\lambda, -\lambda$  (§ 9, 16); in (19) sind  $F = 0$  und  $H = 0$  die Achsenkegelschnitte in den Schmiegungebenen  $\lambda = \infty$  und  $\lambda = 0$ ,  $G = 0$  das hyperbolische Paraboloid der Achsen  $\lambda \propto -\lambda$  (§ 10, 14).

### III. Kapitel.

## Die Rotationsflächen der kub. Kegelschnitte.

### § 13. Anzahl und Lage der Berührungssehnen.

**1. Begriff der Berührungssehne einer Rotationsfläche 2. O.** Die Gleichung § 9, (5); (30) umfaßt mit ihren zwei verfügbaren Parameterverhältnissen  $\varrho : \sigma : \tau$  alle durch die Raumkurve 3. O. § 6, (14) gehenden Flächen 2. O. Unter diesen werden sich eine begrenzte Zahl von Rotationsflächen befinden, da für eine solche zwei Bedingungen erfüllt sein müssen (II § 100, 3).

Eine Rotationsfläche 2. O. hat die charakteristische Eigenschaft, daß in ihrer, auf ein Koordinatensystem  $Oxyz$  der Hauptachsenrichtungen bezogenen Gleichung (II § 90, (12)):

$$(1) \quad a_{11}x^2 + a_{22}y^2 + a_{33}z^2 + 2a_{14}xt + 2a_{24}yt + 2a_{34}zt + a_{44}t^2 = 0$$

zwei der Hauptachsenkoeffizienten  $a_{11}$ ,  $a_{22}$ ,  $a_{33}$  gleich sind, etwa:

$$(2) \quad a_{22} = a_{33}.$$

Die Schnittkurve  $r$  der Rotationsfläche mit der unendlich fernen Ebene:

$$(3) \quad a_{11}x^2 + a_{22}(y^2 + z^2) = 0, \quad t = 0$$

hat dann mit dem *imaginären Kugelkreis* oder *absoluten Kegelschnitt*  $k$ :

$$(4) \quad x^2 + y^2 + z^2 = 0, \quad t = 0$$

zwei mal zwei zusammenfallende Schnittpunkte  $B, B'$ :

$$(5) \quad x^2 = 0, \quad y^2 + z^2 = 0, \quad t = 0$$

berührt ihn also in zwei Punkten  $B, B'$  (Fig. 21 sind  $r$  und  $k$  mit ihren Berührungspunkten reell dargestellt). Die Verbindungslinie  $BB'$  dieser beiden Punkte,  $x = 0, t = 0$ , soll kurz die *Berührungssehne der Rotationsfläche* genannt werden. Die durch die Berührungssehne  $BB'$  gehenden Ebenen  $x = ct$  bilden das einzige System der Kreisschnittebenen der Rotationsfläche (1); (2) (II § 100, 2, II).

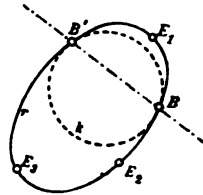


Fig. 21.

## 2. Arten von Rotationsflächen der Raumkurve

3. O. Nach der Art der durch die Raumkurve 3. O. überhaupt hindurchgehenden Flächen 2. O. (§ 9, 15) kommen von Rotationsflächen (II § 117, 13) nur in Frage: Das *einschalige Rotationshyperboloid*, der *Rotationskegel*, der *Rotationszylinder* und der *parabolische Zylinder*. Der letztere entspricht in (1), (2) dem Falle  $a_{22} = 0$ . Seine Schnittkurve (3) mit der Ebene  $t = 0$  hat, als *Doppelgerade*  $x^2 = 0$ , zwei mal zwei Schnittpunkte (5) mit dem Kreise (4). Sie ist selbst die Berührungssehne, und die durch sie gehenden „Kreisschnittebenen“  $x = ct$  schneiden den parabolischen Zylinder nach (1) in einer endlichen und einer unendlich fernen Geraden.

3. Allgemeine Bestimmung der Rotationsflächen. Die unendlich ferne Kurve  $r$  einer die Raumkurve 3. O. enthaltenden Fläche 2. O. überhaupt muß durch die drei unendlich fernen Punkte  $E_1, E_2, E_3$  der Raumkurve gehen. Diese bilden bei der kub. Ellipse und Hyperbel (§ 6, (14); (19), I; II), die wir zunächst ins Auge fassen, ein *Dreieck*  $E_1 E_2 E_3$ . Für eine Rotationsfläche muß die Kurve  $r$  außerdem den Kugelkreis  $k$  doppelt berühren.

I. Die unendlich ferne Kurve einer durch die Raumkurve gehenden Rotationsfläche ist also (Fig. 21) ein *Kegelschnitt*  $r$ , der durch die drei gegebenen Punkte  $E_1, E_2, E_3$  geht und den gegebenen Kegelschnitt  $k$  doppelt berührt.<sup>1)</sup>

Der so bestimmte Kegelschnitt  $r$  vertritt als solcher fünf Punkte. Die Fläche 2. O., die durch ihn und noch vier endliche Punkte der

1) L. Cremona, J. f. Math. 68 (1864), S. 143; Dixon, Quart. J. 24 (1889), S. 30.



Raumkurve 3. O. gerade bestimmt ist, enthält sieben Punkte der Raumkurve und damit die ganze Raumkurve 3. O., da diese sonst mit einer Fläche 2. O. nur sechs Punkte gemein haben kann (§ 31, 1).

II. Es wird also zu jedem nach I bestimmten Kegelschnitt  $r$  eine durch die Raumkurve gehende Rotationsfläche gehören.

Wir bestimmen zunächst die Kegelschnitte  $r$ .

4. **Notwendige Eigenschaft der Berührungssehne.** Alle Kegelschnitte  $r$ , die den Kugelkreis  $k$  (Fig. 21) in den unbekannten Punkten  $B, B'$  berühren, bilden einen *Kegelschnittbüschel*. Diesem gehört, neben  $k$  selbst, der gesuchte Kegelschnitt  $r$ , sowie die als Doppellinie gedachte Berührungssehne  $BB'$  an.

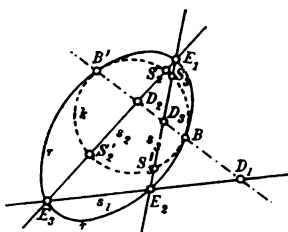


Fig. 22.

Jede Gerade schneidet den Kegelschnittbüschel in einer *Punktinvolution* (II § 48, 8), deren einer *Doppelpunkt* der Schnittpunkt der Geraden mit der Doppellinie  $BB'$  ist. Nun ist auf der Seite  $s_3 = E_1 E_2$  des Dreiecks  $E_1 E_2 E_3$  (Fig. 22) die Punktinvolution vollständig bestimmt, da zwei ihrer Punktepaare (II § 8, 7), nämlich die Schnittpunkte  $E_1$  und  $E_2$  mit  $r$  und die Schnittpunkte  $S_3, S_3'$  mit  $k$  bekannt sind. Einer der beiden, dann ebenfalls bekannten Doppelpunkte  $D_3, D_3'$  der Involution, etwa  $D_3$ , muß also auf  $BB'$  liegen. Dasselbe muß für die Seiten  $s_2 = E_2 E_1$  und  $s_1 = E_3 E_2$  gelten, die  $k$  in  $S_2, S_2'$  und  $S_1, S_1'$  schneiden und deren Involutionen die Doppelpunkte  $D_2, D_2'$  und  $D_1, D_1'$  haben mögen.

III. Auf der Berührungssehne  $BB'$  muß also von jeder der drei Involutionen, die auf den Seiten  $s_1; s_2; s_3$  durch die Punktepaare  $E_2 E_3, S_1 S_1'; E_3 E_1, S_2 S_2'; E_1 E_2, S_3 S_3'$  (Fig. 22) bestimmt sind, je ein Doppelpunkt  $D_1; D_2; D_3$  liegen.

5. **Lagebeziehung der sechs Doppelpunkte.** Nach Bestimmung der sechs Doppelpunkte  $D_1, D_1'$  auf  $s_1; D_2, D_2'$  auf  $s_2$  und  $D_3, D_3'$  auf  $s_3$  betrachten wir zunächst die vier letzteren und verbinden je zwei ungleichnamige (mit verschied. unteren Indizes) mit einander.

IV. Die Verbindungslinien  $D_2 D_3, D_2' D_3', D_2 D_3', D_2' D_3$  bilden ein vollständiges Vierseit (Fig. 23).

Dieses hat, außer den vier Ecken  $D_2, D_3, D_2', D_3'$ , noch zwei weitere Ecken:  $D_4 = D_2 D_3 \times D_2' D_3'$  und  $D_4' = D_2 D_3' \times D_2' D_3$  und, außer den zwei Nebenseiten  $s_3 = D_3 D_3'$  und  $s_2 = D_2 D_2'$ , noch eine

dritte Nebenseite  $s_4 = D_4 D_4'$ , welche  $s_3$  und  $s_2$  in  $E_4$  und  $E_4'$  schneiden möge (Fig. 23).

Auf der Nebenseite  $s_3$  sind die auf ihr liegenden Ecken  $D_3, D_3'$  und die Schnittpunkte  $E_1, E_4$  mit den beiden anderen Nebenseiten harmonisch (I § 27, 7, III'). Da aber  $D_3, D_3'$  nach ihrer Entstehung unter 4 als Doppelpunkte der Involution auf  $s_3$  auch zu  $E_1, E_4$  har-

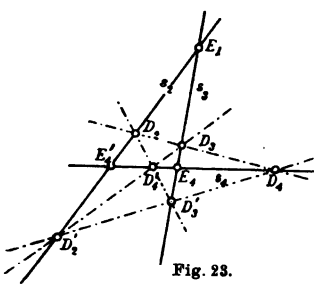


Fig. 23.

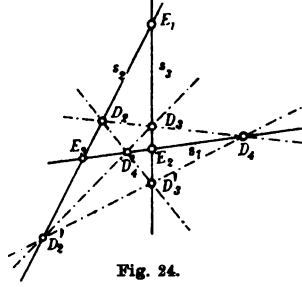


Fig. 24.

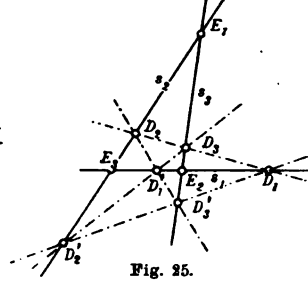


Fig. 25.

monisch sind, muß  $E_4 = E_2$  sein; ebenso auf  $s_3$ :  $E_4' = E_3$ . Dann fällt auch  $s_4 = E_4 E_4'$  mit  $s_1 = E_2 E_3$  zusammen (Fig. 24).

V. Die Seiten  $s_1, s_2, s_3$  sind daher die Nebenseiten des vollständigen Vierseits in IV.

Auf der Nebenseite  $s_1$  (Fig. 24) sind die auf ihr liegenden Ecken  $D_4, D_4'$  zu den Schnittpunkten  $E_2, E_3$  mit den beiden anderen Nebenseiten harmonisch.

In dem vollständigen Vierseit (Fig. 24) sind ferner die Gegenecken  $D_2, D_2'$  sowohl, wie  $D_3, D_3'$  nach ihrer Entstehung unter 4 harmonische Pole des Kugelkreises  $k$ ; dasselbe gilt daher (II § 48, 7 IV dual) von den dritten Gegenecken  $D_4, D_4'$ .

Da somit  $D_4, D_4'$  sowohl zu  $E_2, E_3$  als zu  $S_1, S_1'$  harmonisch sind, so sind  $D_1, D_1'$  nach ihrer Entstehung unter 4 mit  $D_4, D_4'$  identisch (Fig. 25).

VI. Die Doppelpunkte  $D_1, D_1'$ ;  $D_2, D_2'$ ;  $D_3, D_3'$  der Involutionen, die auf den drei Seiten  $s_1, s_2, s_3$  des Dreiecks  $E_1 E_2 E_3$  durch die jedesmaligen Ecken  $E_2, E_3$ ;  $E_3, E_1$ ;  $E_1, E_2$  und die jedesmaligen Schnittpunkte  $S_1, S_1'$ ;  $S_2, S_2'$ ;  $S_3, S_3'$  mit dem imaginären Kugelkreis  $k$  bestimmt werden, bilden die sechs Ecken eines vollständigen Vierseits, dessen drei Nebenseiten die Seiten  $s_1, s_2, s_3$  sind (Fig. 25).

Die vier Seiten des vollständigen Vierseits sind dann die einzig möglichen Verbindungslinien je zweier ungleichnamiger der sechs Doppelpunkte  $D_1, D_1'$ ;  $D_2, D_2'$ ;  $D_3, D_3'$  und enthalten je drei ungleichnamige von diesen (Fig. 25).

VII. Sie sind daher nach 4, III die einzig möglichen Berührungssehnen.

6. **Hinreichende Eigenschaft einer Berührungssehne.** Greift man andererseits irgend eine Seite  $D_2 D_3$  des vollständigen Vierecks 5, IV heraus (Fig. 22), so ist durch den Kugelkreis  $k$  und die Gerade  $D_2 D_3$ , als Doppellinie genommen, der Büschel der Kegelschnitte bestimmt, die  $k$  in den Schnittpunkten  $B, B'$  mit der Doppellinie berühren. Durch jeden Punkt der Ebene  $t = 0$ , etwa durch  $E_1$ , ist ein solcher Kegelschnitt  $r$  bestimmt.

Die Seite  $s_3$  schneidet den Büschel in einer Involution, die durch das Punktepaar  $S_3, S_3'$  und den Doppelpunkt  $D_3$  bestimmt, also dieselbe ist, die unter 4 durch  $S_3, S_3'$  und  $E_1, E_2$  bestimmt war. Daher muß der zweite Schnittpunkt von  $r$  mit  $s_3$  der zu  $E_1$  gehörige Punkt  $E_2$  der Involution sein, also  $r$  durch  $E_2$ , und ebenso auch durch  $E_3$  gehen.

VIII. Zu jeder der vier Seiten des vollständigen Vierseits (Fig. 25) gehört auch wirklich ein durch die drei Punkte  $E_1, E_2, E_3$  gehender Kegelschnitt  $r$ , der den Kugelkreis  $k$  in seinen zwei Schnittpunkten mit der Seite berührt.

IX. Es wird daher bei der kub. Ellipse und Hyperbel vier Kegelschnitte  $r$  von der Eigenschaft 3, I geben.

7. **Zusammenfall zweier der drei Punkte  $E_1, E_2, E_3$ .** Fallen die beiden Punkte  $E_2$  und  $E_3$  zusammen (§ 6, (14); (19), III), so wird  $s_1$  die Tangente der Raumkurve im doppelt zählenden unendlich fernen

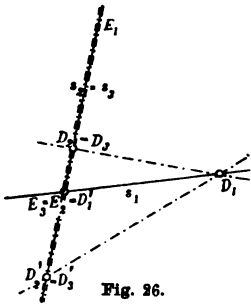


Fig. 26.

Punkte  $E_2 = E_3$ . Auf dieser ist dann nach 4 (Fig. 26)  $E_2 = E_3$  selbst der eine Doppelpunkt  $D_1'$  der durch  $E_2, E_3$  und  $S_1, S_1'$  bestimmten Involution und daher  $D_1$  als harmonischer Pol von  $D_1' = E_2 = E_3$  in bezug auf den Kugelkreis  $k$  bestimmt. Dagegen auf  $s_2 = s_3$  bestimmen sich  $D_2 = D_3$  und  $D_2' = D_3'$  wie in 4 als Doppelpunkte der Involution der Punktepaare  $E_1, E_2 = E_3$  und  $S_2 = S_3, S_2' = S_3'$  (Fig. 22).

Von den vier Seiten des vollständigen Vierseits fallen dann  $D_2 D_3'$  und  $D_2' D_3$  in  $s_2 = s_3$  hinein, während die beiden anderen  $D_1$  mit  $D_2 = D_3$  und  $D_1' = D_3'$  verbinden.

VII'. Bei der kub. hyperb. Parabel gibt es daher eine doppelt zählende und zwei einfach zählende Berührungssehnen.

IX'. Ihnen entsprechen drei Kegelschnitte  $r$ , von denen der erste die doppelt zählende Berührungssehne selbst ist, da sie alle drei Punkte  $E_1 E_2 E_3$  enthält.

Fallen alle drei Punkte  $E_1, E_2, E_3$  zusammen (§ 6, (14); (19), IV), so wird der Grenzübergang<sup>1)</sup> unsicher. Jedoch werden sich hier, im Falle der kub. Parabel, die Rotationsflächen auf direktem Wege ergeben (§ 15, 6).

#### § 14. Die unendlich fernen Kurven der Rotationsflächen.

1. Das Dreieck der unendlich fernen Punkte. Für die analytische Bestimmung der Berührungssehnen, gehen wir von den Gleichungen § 6, (14); (18), II der *kub. Hyperbel* aus:

$$(1) \quad x = a\lambda^3 + a'\lambda^2 + a''\lambda, \quad y = b\lambda^3 + b'\lambda, \quad z = c\lambda, \quad t = \lambda^2 - e^2.$$

Die Koordinaten der drei unendlich fernen Punkte  $\lambda = \infty, \lambda = e, \lambda = -e$  der Kurve (1) haben (neben  $t = 0$ , was wir überall nicht ausdrücklich angeben) die Koordinaten:

$$(2) \quad \begin{aligned} E_1: x &= 1, \quad y = 0, \quad z = 0; \\ E_2: x_0 &= ae^3 + a'e^2 + a''e, \quad y_0 = be^3 + b'e, \quad z_0 = ce; \\ E_3: x'_0 &= -ae^3 + a'e^2 - a''e, \quad y'_0 = be^3 - b'e, \quad z'_0 = -ce. \end{aligned}$$

Da hiernach:

$$(3) \quad y_0 z'_0 - z_0 y'_0 = -2bce^3, \quad z_0 x'_0 - x_0 z'_0 = 2a'ce^3, \quad x_0 y'_0 - y_0 x'_0 = 2Ae$$

mit der Abkürzung:

$$(4) \quad A = abe^3 - a'b' + a''b,$$

so sind die Gleichungen der drei Seiten des Dreiecks  $E_1 E_2 E_3$ :

$$(5) \quad s_1: -bcx + a'cy + Az = 0; \quad s_2: z'_0 y - y'_0 z = 0; \quad s_3: z_0 y - y_0 z = 0^3$$

2. Die Involutionen auf den Seiten  $s_2$  und  $s_3$ . Die Seite  $s_3$  schneidet den imaginären Kugelkreis § 13, (4) in den Punkten (Fig. 22).

$$(6) \quad S_3: x_1 = iw_0, \quad y_1 = y_0, \quad z_1 = z_0; \quad S'_3: x_2 = -iw_0, \quad y_2 = y_0, \quad z_2 = z_0,$$

wo zur Abkürzung:

$$(7) \quad w_0 = \sqrt{y_0^2 + z_0^2}$$

gesetzt ist, die doppelt gestrichene Quadratwurzel absolut verstanden.

Das Dreieck  $XYZ$  (Fig. 27) der unendlich fernen Punkte der Achsen des rechtwinkligen Systems  $Oxyz$  dient zugleich als *Koordinatendreieck in der unendlich fernen Ebene* und ist, weil das System rechtwinklig ist, ein *Polardreieck des Kugelkreises* § 13, (4).

1) L. Cremona, J. f. Math. 63 (1864), S. 142.

Die Seite  $s_3$  des Dreiecks  $E_1 E_2 E_3$  in (5) kann niemals in die Seite  $z = 0$  des Dreiecks  $XYZ$  fallen, da  $z_0 = ce \neq 0$  (§ 6, (15)). Man

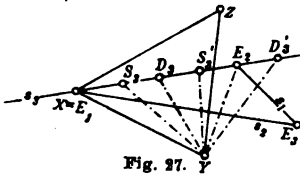


Fig. 27.

kann daher  $x, z$  als homogene Koordinaten der Punkte von  $s_3$  nehmen (I § 28, 16); es sind zugleich die der Strahlen, welche die Punkte von  $s_3$  mit  $Y$  verbinden (Fig. 27). In jenem Sinne ist die Gleichung der durch die Punktepaare  $S_3, S_3'$  und  $E_1, E_2$  in (6) und (2) bestimmten Involution, wenn  $x, z$  und  $x', z'$  irgend zwei entsprechende Punktepaare bedeuten (II § 8, (17)):

$$\begin{vmatrix} xx' & xs' + xz' & zz' \\ x_1 x_2 & x_1 z_2 + z_1 x_2 & z_1 z_2 \\ 1 \cdot x_0 & 1 \cdot z_0 + 0 \cdot x_0 & 0 \cdot z_0 \end{vmatrix} = \begin{vmatrix} xx' & xs' + xz' & zz' \\ w_0^2 & 0 & z_0^2 \\ x_0 & z_0 & 0 \end{vmatrix} = 0,$$

oder entwickelt:

$$(8) \quad z_0^2 xx' - x_0 z_0 (xs' + xz') - w_0^2 zz' = 0.$$

Für die Doppelpunkte  $D_3, D_3'$  (§ 13, 4) dieser Involution bestimmt die quadratische Gleichung:

$$(9) \quad z_0^2 x^2 - 2x_0 z_0 xz - w_0^2 z^2 = 0$$

das Verhältnis  $x:z$ . Ihre drei Koordinaten  $x, y, z$  werden daher, da für alle Punkte auf  $s_3$  nach (5)  $y:z = y_0:z_0$  ist, bis auf einen gemeinsamen Faktor:

$$(10) \quad D_3: x_0 + w, y_0, z_0; \quad D_3': x_0 - w, y_0, z_0,$$

wo zur Abkürzung gesetzt ist:

$$(11) \quad w = \sqrt{x_0^2 + y_0^2 + z_0^2}.$$

In gleicher Weise schneidet die Seite  $s_2$  den Kugelkreis in den Punkten:

$$(6') \quad S_2: x_1' = iw_0', y_1' = y_0', z_1' = z_0'; \quad S_2': x_2' = -iw_0', y_2' = y_0', z_2' = z_0',$$

$$(7') \quad w_0' = \sqrt{y_0'^2 + z_0'^2},$$

und werden die Doppelpunkte der durch die Punktepaare  $S_3, S_3'$  und  $E_1, E_2$  bestimmten Involution:

$$(10') \quad D_2: x_0' + w', y_0', z_0'; \quad D_2': x_0' - w', y_0', z_0',$$

$$(11') \quad w' = \sqrt{x_0'^2 + y_0'^2 + z_0'^2}.$$

Mit (10), (10') sind die Doppelpunkte  $D_3, D_3'$  und  $D_2, D_2'$  der § 13, 4 eingeführten Involutionen auf den Seiten  $s_3$  und  $s_2$  bestimmt.

3. Die Gleichungen der Berührungsschnen. Sie liefern ihrerseits nach § 13, 5, IV; VII das Vierseit der Berührungsschnen  $D_2 D_3$ ,  $D_2' D_3$ ,  $D_2 D_3'$ ,  $D_2' D_3'$ . Die Gerade  $D_2 D_3$  hat nach (10), (10') die Gleichung:

$(y_0 z_0' - z_0 y_0')x + (z_0(x_0' + w') - (x_0 + w)z_0')y + ((x_0 + w)y_0' - y_0(x_0' + w'))z = 0$   
oder nach (3) und (2):

$$(12) \quad D_2 D_3: -2bce^2x + c(2a'e^2 + w + w')y \\ + (2Ae^2 + be(w - w') - b'(w + w'))z = 0.$$

Beim Übergang von  $D_2 D_3$  zu  $D_2' D_3$  ändert sich nach (10') nur das Vorzeichen von  $w'$ , so daß:

$$(12) \quad D_2' D_3: -2bce^2x + c(2a'e^2 + w - w')y \\ + (2Ae^2 + be(w + w') - b'(w - w'))z = 0,$$

und entsprechend:

$$(12) \quad \left\{ \begin{array}{l} D_2 D_3': -2bce^2x + c(2a'e^2 - w + w')y \\ \quad + (2Ae^2 + be(-w - w') - b'(-w + w'))z = 0, \\ D_2' D_3': -2bce^2x + c(2a'e^2 - w - w')y \\ \quad + (2Ae^2 + be(-w + w') - b'(-w - w'))z = 0. \end{array} \right.$$

Die Gleichungen (12) stellen also die vier Berührungsschnen § 13, 5, VII dar.

Durch Addition der ersten und vierten oder der zweiten und dritten Gleichung (12) folgt jedesmal die erste Gleichung (5), woraus in Übereinstimmung mit § 13, 5, V hervorgeht:

Die Schnittpunkte  $D_1 = D_2 D_3 \times D_2' D_3'$  und  $D_1' = D_2' D_3 \times D_2 D_3'$  liegen auf  $s_1$  (Fig. 25).

4. Die vier reellen Berührungsschnen der kub. Hyperbel. Bei der kub. Hyperbel (1) sind die Punkte  $E_1$ ,  $E_2$ ,  $E_3$  in (2) alle drei reell und die absolut gedachten Quadratwurzeln  $w$  und  $w'$  in (11) und (11') stets reell und von 0 verschieden. Damit werden auch die Doppelpunkte  $D_2$ ,  $D_3$ ;  $D_2'$ ,  $D_3'$  in (10) und (10') und die Verbindungslinien (12) alle vier reell.

Indem die Gleichungen (12) noch mit  $2e^2$  dividiert und in eine zusammengefaßt werden, ergibt sich:

Bei der kub. Hyperbel (1) gibt es vier<sup>1)</sup> reelle Berührungsschnen, deren Gleichungen aus der gemeinsamen Form:

$$(13) \quad -bcx + (a' + p)cy + ((ae^2 + a'' + q)b - (a' + p)b')z = 0$$

1) L. Cremona, J. f. Math. 63 (1864), S. 143.

*hervorgehen, indem für  $p, q$  der Reihe nach die Wertpaare:*

$$(14) \quad p, q = \frac{w+w'}{2e^2}, \frac{w-w'}{2e}; \frac{w-w'}{2e^2}, \frac{w+w'}{2e}; -\frac{w-w'}{2e^2}, -\frac{w+w'}{2e}; \\ -\frac{w+w'}{2e^2}, -\frac{w-w'}{2e}$$

*mit den Werten (11), (11') von  $w, w'$  gesetzt werden.*

Da nach (11), (11') und (2):

$$(15) \quad \begin{cases} w^2 = \{(ae^2 + a'')^2 + (a'^2 + b^2)e^2 + b'^2 + c^2 + 2((ae^2 + a'')a' + bb')e\}e^2, \\ w'^2 = \{(ae^2 + a'')^2 + (a'^2 + b^2)e^2 + b'^2 + c^2 - 2((ae^2 + a'')a' + bb')e\}e^2, \end{cases}$$

so ist:

$$(16) \quad \begin{cases} w^2 + w'^2 = 2\{(ae^2 + a'')^2 + (a'^2 + b^2)e^2 + b'^2 + c^2\}e^2, \\ w^2 - w'^2 = 4\{(ae^2 + a'')a' + bb'\}e^2, \end{cases}$$

und daher für alle vier Wertpaare (14):

$$(17) \quad e^2 p^2 + q^2 = (ae^2 + a'')^2 + (a'^2 + b^2)e^2 + b'^2 + c^2,$$

$$(18) \quad pq = (ae^2 + a'')a' + bb'.$$

**5. Die zwei reellen Berührungssehnenn der kub. Ellipse.** Um die vorstehenden Ergebnisse von der kub. Hyperbel (1) auf die *kub. Ellipse*:

$$(19) \quad x = a\lambda^3 + a'\lambda^2 + a''\lambda, \quad y = b\lambda^2 + b'\lambda, \quad z = c\lambda, \quad t = \lambda^2 + e^2$$

zu übertragen, hat man überall *ei* für *e* zu setzen.

Von dem Dreieck der unendlich fernen Punkte:

$$(20) \quad E_1: x = 1, \quad y = 0, \quad z = 0;$$

$$E_2: x_0 = -a'e^2 - (ae^2 - a'')ei, \quad y_0 = -be^2 + b'ei, \quad z_0 = cei;$$

$$E_3: x_0' = -a'e^2 + (ae^2 - a'')ei, \quad y_0' = -be^2 - b'ei, \quad z_0' = -cei,$$

sind die Ecken  $E_2$  und  $E_3$  imaginär. Von den Seiten (5) bleibt  $s_1$  reell, nur mit  $-e^2$  für  $e^2$  in (4), während  $s_2$  und  $s_3$  imaginär werden.

Die Quadrate der Wurzeln (11), (11') erhalten statt (15) die Werte:

$$(21) \quad \begin{cases} w^2 = \{-(ae^2 - a'')^2 + (a'^2 + b^2)e^2 - (b'^2 + c^2) + 2((ae^2 - a'')a' - bb')ei\}e^2, \\ w'^2 = \{-(ae^2 - a'')^2 + (a'^2 + b^2)e^2 - (b'^2 + c^2) - 2((ae^2 - a'')a' - bb')ei\}e^2, \end{cases}$$

worauf dann statt (16):

$$(22) \quad \begin{cases} w^2 + w'^2 = 2\{-(ae^2 - a'')^2 + (a'^2 + b^2)e^2 - (b'^2 + c^2)\}e^2, \\ w^2 - w'^2 = 4\{(ae^2 - a'')a' - bb'\}e^2i. \end{cases}$$

Mit den Abkürzungen:

$$(23) \quad \alpha = -(ae^2 - a'')^2 + (a'^2 + b^2)e^2 - (b'^2 + c^2), \quad \beta = 2((ae^2 - a'')a' - bb')e$$

ist nach (21):

$$(24) \quad w^2 = (\alpha + \beta i)e^2, \quad w'^2 = (\alpha - \beta i)e^2.$$

Die Wurzeln  $w, w'$ , deren reeller Teil positiv ist, sind dann:

$$(25) \quad w = (A + Bi)e, \quad w' = (A - Bi)e,$$

wo mit positiven Werten, der doppelt gestrichenen reellen Wurzeln<sup>1)</sup>:

$$(26) \quad A = \sqrt{\frac{\alpha + \sqrt{\alpha^2 + \beta^2}}{2}}, \quad B = \varepsilon \sqrt{\frac{-\alpha + \sqrt{\alpha^2 + \beta^2}}{2}},$$

und das Vorzeichen  $\varepsilon = \pm 1$  aus der zweiten der beiden Gleichungen:

$$(27) \quad A^2 - B^2 = \alpha, \quad 2AB = \beta$$

zu bestimmen ist ( $\varepsilon = \text{sign } \beta$ ).<sup>1)</sup>

Indem nun in den Gleichungen (13), (14)  $e$  durch  $ei$  ersetzt wird, nehmen sie die Gestalt an:

$$(28) \quad -bcx + (a' + p)cy + ((-ae^2 + a'' + q)b - (a' + p)b')z = 0,$$

$$p, q = -\frac{w + w'}{2e^2}, \frac{w - w'}{2ei}; -\frac{w - w'}{2e^2}, \frac{w + w'}{2ei}; \frac{w - w'}{2e^2}, -\frac{w + w'}{2ei};$$

$$\frac{w + w'}{2e^2}, -\frac{w - w'}{2ei},$$

oder nach (25):

$$(29) \quad p, q = -\frac{A}{e}, B; -\frac{Bi}{e}, \frac{A}{i}; \frac{Bi}{e}, -\frac{A}{i}; \frac{A}{e}, -B.$$

Es werden also nur die zwei Berührungssehnern (12) reell, welche die nach (20) und (25) konjugiert imaginären Punkte  $D_2$  und  $D_3$ ,  $D_2'$  und  $D_3'$  in (10), (10') verbinden.<sup>2)</sup>

Bei der kub. Ellipse (19) gibt es zwei reelle Berührungssehnern, deren Gleichungen aus der gemeinsamen Form:

$$(30) \quad -bcx + (a' + p)cy + ((-ae^2 + a'' + q)b - (a' + p)b')z = 0$$

hervorgehen, indem für  $p, q$  die Wertepaare:

$$(31) \quad p, q = -\frac{A}{e}, B; \frac{A}{e}, -B$$

gesetzt werden mit den Werten (26) von  $A, B$ .

Für beide Wertepaare (31) ist nach (27):

$$-e^2 p^2 + q^2 = -A^2 + B^2 = -\alpha, \quad pq = -\frac{AB}{e} = -\frac{\beta}{2e},$$

1) C. F. Gauß, Werke 2, S. 104.

2) L. Cremona, J. f. Math. 63 (1864), S. 144.



oder nach (23):

$$(32) \quad -e^2 p^2 + q^2 = (ae^2 - a'')^2 - (a'^2 + b^2)e^2 + b'^2 + c^2,$$

$$(33) \quad pq = -(ae^2 - a'')a' + bb',$$

wie auch aus (17) durch Vertauschung von  $e^2$  mit  $-e^2$  hervorgeht.

**6. Die drei reellen Berührungssehnern der kub. hyperb. Parabel.**  
Von dem Dreieck der drei unendlich fernen Punkte  $E_1, E_2, E_3$  der kub. hyperb. Parabel:

$$(34) \quad x = a\lambda^3 + a'\lambda^2 + a''\lambda, \quad y = b\lambda^3 + b'\lambda, \quad z = c\lambda, \quad t = \lambda - e,$$

fallen zwei Ecken  $E_2$  und  $E_3$  in die Ecke  $X$  ( $x=1, y=0, z=0$ ) des Koordinatendreiecks  $XYZ$  hinein (Fig. 28), während die dritte die Koordinaten hat:

$$(35) \quad \begin{aligned} E_1: x_0 &= ae^3 + a'e^2 + a''e, \\ y_0 &= be^3 + b'e, \quad z_0 = ce. \end{aligned}$$

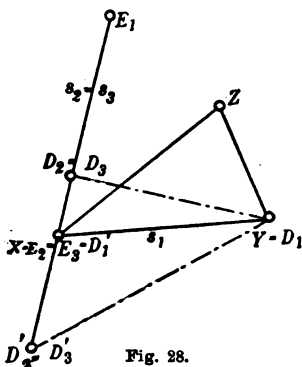


Fig. 28.

Die Gleichungen der drei Seiten, von denen  $s_1$  die Tangente § 8, (33) der Raumkurve im Punkte  $E_2 = E_3$  oder  $\lambda = \infty$  ist, werden:

$$(36) \quad s_1: z = 0; \quad s_2 = s_3: z_0 y - y_0 z = 0.$$

Die Doppelpunkte der Involution (§ 13, 7), die auf  $s_2 = s_3$  durch die Schnittpunkte  $S_3, S_3'$  mit dem Kugelkreis und die Punkte  $E_1, E_2$  bestimmt ist, sind wegen der Übereinstimmung von  $s_3$  in (36) und (5) und von  $E_1, E_2$  in (35) mit  $E_2, E_1$  in (2), genau wie in (10):

$$(37) \quad D_2 = D_3: x_0 + w, y_0, z_0; \quad D_2' = D_3': x_0 - w, y_0, z_0,$$

wo:

$$(38) \quad w = ep, \quad p = \sqrt{(ae^3 + a'e + a'')^2 + (be + b')^2 + c^2}.$$

Es sind ferner auf der Tangente  $s_1$  nach 2, Abs. 2,  $X$  und  $Y$  harmonische Pole des Kugelkreises, also nach § 13, 7:

$$(39) \quad D_1 = Y, \quad D_1' = E_2 = E_3 = X.$$

Die beiden Berührungssehnern  $D_1 D_2$  und  $D_1 D_2'$  (Fig. 28) haben daher die Gleichungen:

$$(40) \quad z_0 x - (x_0 + w)z = 0; \quad z_0 x - (x_0 - w)z = 0,$$

während  $D_2 D_3' = D_2' D_3$  in  $s_2 = s_3$  in (36) hineinfallen.

Bei der kub. hyperb. Parabel (34) gibt es drei<sup>1)</sup> reelle Berührungssehnern mit den Gleichungen:

1) L. Cremona, J. f. Math. 63 (1864), S. 143.

(41)  $cx - (ae^2 + a'e + a' \pm p)z = 0$ ; (42)  $cy - (be + b')z = 0$ ,  
 wo  $p$  den Wert (38) hat.

**7. Die unendlich fernen Kurven der Rotationsflächen der kub. Hyperbel.** Die unendlich ferne Kurve  $r$  einer durch die kub. Hyperbel (1) gehenden Rotationsfläche gehört nach § 13, 6 dem Kegelschnittbüschel an, der durch den Kugelkreis § 13, (4) und die doppelt gelegte Berührungssehne (13) bestimmt ist und daher mit einem Parameter  $\mu$  die Gleichung hat:

$$(43) \quad \{-bcx + (a' + p)cy + ((ae^2 + a'' + q)b - (a' + p)b')z\}^2 \\ - \mu(x^2 + y^2 + z^2) = 0.$$

Innerhalb dieses Büschels ist die Kurve  $r$  dadurch bestimmt, daß sie durch den Punkt  $E_1$  in (2) hindurchgeht. Daher hat  $\mu$  für sie den Wert:  $b^2c^2$ . Setzt man aber diesen Wert  $\mu$  und die Koordinaten von  $E_2$  oder  $E_3$  aus (2) in (43) ein, so folgen mit Rücksicht auf (11), (11') die Gleichungen:

$$\{bce(ep + q)\}^2 - b^2c^2w^2 = 0, \quad \{bce(ep - q)\}^2 - b^2c^2w'^2 = 0,$$

die erfüllt sind, weil nach (14):

$$e(ep + q) = \pm w, \quad e(ep - q) = \pm w'.$$

Die Kurve  $r$  geht also (§ 13, 6) auch durch  $E_2$  und  $E_3$ , so daß der Satz gilt:

*Der Kegelschnitt:*

$$(44) \quad \{-bcx + (a' + p)cy + ((ae^2 + a'' + q)b - (a' + p)b')z\}^2 \\ - b^2c^2(x^2 + y^2 + z^2) = 0, \quad t = 0$$

hat für jedes der vier Wertepaare (14) die Eigenschaft, daß er durch die drei unendlich fernen Punkte  $E_1, E_2, E_3$  der kubischen Hyperbel (1) geht und den Kugelkreis doppelt berührt.

**8. Die unendlich fernen Kurven der Rotationsflächen der kub. Ellipse.** In derselben Weise ergibt sich im Anschluß an (30):

*Der Kegelschnitt:*

$$(45) \quad \{-bcx + (a' + p)cy + ((-ae^2 + a'' + q)b - (a' + p)b')z\}^2 \\ - b^2c^2(x^2 + y^2 + z^2) = 0, \quad t = 0$$

hat für jedes der beiden Wertepaare (31) die Eigenschaft, daß er durch die drei unendlich fernen Punkte  $E_1, E_2, E_3$  der kub. Ellipse (19) geht und den Kugelkreis doppelt berührt.

In der Tat gibt die Substitution der Koordinaten von  $E_2$  oder  $E_3$  aus (20):

$$\{bce(-ep + qi)\}^2 - b^2c^2w^2 = 0, \quad \{bce(-ep - qi)\}^2 - b^2c^2w'^2 = 0$$

und ist andererseits nach (31) und (25):

$$e(-ep + qi) = \pm e(A + Bi) = \pm w,$$

$$e(-ep - qi) = \pm e(A - Bi) = \pm w'.$$

**9. Die unendlich fernen Kurven der Rotationsflächen der kub. hyperb. Parabel.** Bei der kub. hyperb. Parabel geht (nach (41)) der dem Kugelkreis doppelt berührende Kegelschnitt:

$$(46) \quad \{cx - (ae^2 + a'e + a'' \pm p)z\}^2 - c^2(x^2 + y^2 + z^2) = 0, \quad t = 0,$$

mit dem Werte (38) von  $p$ , einerseits durch den unendlich fernen Punkt  $E_1$  in (35) und andererseits durch den doppelt zählenden Punkt  $E_2 = E_3 = X$ , indem er hier die Tangente  $z = 0$  der Raumkurve berührt.

Außerdem ist die doppelt zählende Berührungsehne (42):

$$(47) \quad \{cy - (be + b')z\}^2 = 0$$

selbst ein den Kugelkreis doppelt berührender Kegelschnitt, der durch die drei unendlich fernen Punkte  $E_1$ ,  $E_2$  und  $E_3 = E_2$  der Raumkurve hindurchgeht.

**10. Weitere Aufgabe und kub. Parabel.** Nachdem in (44)—(47) die unendlich fernen Kurven der durch die Raumkurve 3. O. gehen- den Rotationsflächen hergestellt sind, bleibt noch übrig, die Gleichungen dieser Rotationsflächen selbst zu ermitteln.

Dabei wird sich auch die kub. Parabel noch erledigen lassen.

## § 15. Die Gleichungen der Rotationsflächen.

**1. Bestimmung der Bündelparameter.** Jede durch die Raumkurve 3. O. § 6, (14) hindurchgehende Fläche 2. O. hat eine Gleichung von der Form § 9, (5) mit den Werten § 9, (30) der Koeffizienten, in denen  $\varrho$ ,  $\sigma$ ,  $\tau$  homogene Parameter sind.

Die unendlich ferne Kurve einer solchen Fläche hat die Gleichung:

$$(1) \quad a_{22}y^2 + a_{33}z^2 + 2a_{23}yz + 2a_{31}zx + 2a_{12}xy = 0, \quad t = 0,$$

deren Koeffizienten den fünf ersten Formeln § 9, (30) zu entnehmen sind.

Soll aber die Fläche eine Rotationsfläche sein, muß ihre unendlich ferne Kurve, zunächst für die kub. Hyperbel die Gleichung § 14, (44) haben. Daher müssen die Koeffizienten § 9, (30) von (1) und die von § 14, (44) einander proportional, oder, da der Proportionali-

tätsfaktor in  $\varrho, \sigma, \tau$  aufgenommen werden kann, einander gleich sein. So ergeben sich durch Gleichsetzen der Koeffizienten  $a_{22}, a_{31}, a_{12}$ , wobei in § 9, (30) noch  $l = 1, m = 0, n = -e^2$  zu nehmen ist, die Bedingungen:

$$(2) \quad \begin{aligned} a\varrho + a'\sigma - ae^2\tau &= (a' + p)^2 - b^2, \\ b'\sigma + be^2\tau &= -2((ae^2 + a'' + q)b - (a' + p)b'), \quad \sigma = 2(a' + p). \end{aligned}$$

Hieraus folgen für die Bündelparameter  $\varrho, \sigma, \tau$  die Werte:

$$(3) \quad \begin{aligned} a\varrho &= -a'^2 - b^2 - 2a(ae^2 + a'' + q) + p^2, \\ \sigma &= 2(a' + p), \quad e^2\tau = -2(ae^2 + a'' + q), \end{aligned}$$

mit denen noch:

$$(4) \quad a\varrho + a'\sigma = -b^2 - 2a(ae^2 + a'' + q) + (a' + p)^2.$$

**2. Bestimmung der Koeffizienten.** Sind hiernach die Parameter  $\varrho, \sigma, \tau$  so bestimmt worden, daß die Koeffizienten  $a_{22}, a_{31}, a_{12}$  in § 9, (30) den gleichnamigen in § 14, (44) gleich werden, so müssen die mit diesen Parametern (3) gebildeten Koeffizienten  $a_{23}$  und  $a_{33}$  in § 9, (30) von selbst den gleichnamigen in § 14, (44) gleich werden. Man kann dies in der Tat bestätigen unter Benutzung der Formeln (4) und § 14, (17); (18). Dann aber ist überhaupt die linke Seite der Gleichung § 14, (44) mit dem Teil (1) der Gleichung § 9, (5), (30) identisch, und man hat nur noch in den Koeffizienten  $2a_{14}, 2a_{24}, 2a_{34}$  von § 9, (30) die Werte (3) von  $\varrho, \sigma, \tau$  einzusetzen. Dies gibt mit Rücksicht auf (4):

$$(5) \quad \begin{cases} 2a_{14} = 2b^2c^2(a' + p), \quad 2a_{24} = bc^2\{b^2 + 2a(ae^2 + a'' + q) - (a' + p)^2\}, \\ 2a_{34} = bc\{(-b^2 - 2a(ae^2 + a'' + q) + (a' + p)^2)b' - 2a''b(a' + p)\}. \end{cases}$$

**3. Die vier Rotationsflächen der kub. Hyperbel.** So ergibt sich schließlich der Satz:

*Die Gleichung der vier durch die kub. Hyperbel § 14, (1) gehenden Rotationsflächen lautet:*

$$(6) \quad \begin{aligned} &\{-bcx + (a' + p)cy + ((ae^2 + a'' + q)b - (a' + p)b')z\}^2 \\ &- b^2c^2(x^2 + y^2 + z^2) + 2a_{14}xt + 2a_{24}yt + 2a_{34}zt = 0. \end{aligned}$$

Hier haben  $2a_{14}, 2a_{24}, 2a_{34}$  die Werte (5) und  $p, q$  die Werte § 14, (14). Die Gleichung (6) entspricht den Werten (3) der Parameter  $\varrho, \sigma, \tau$  des Bündels in § 9, (30).

**4. Die zwei Rotationsflächen der kub. Ellipse.** Die Betrachtungen unter 1; 2 knüpfen an die Formeln § 14, (44); (17); (18) an, die sich auf die kub. Hyperbel beziehen; die entsprechenden § 14, (45),

(32), (33) für die kub. Ellipse haben nur  $-e^2$  an Stelle von  $e^2$ , also folgt in gleicher Weise:

Die Gleichung der beiden durch die kub. Ellipse § 14, (19) gehen- den Rotationsflächen lautet:

$$(7) \quad \{-bcx + (a' + p)cy + ((-ae^2 + a'' + q)b - (a' + p)b')z\}^2 - b^2c^2(x^2 + y^2 + z^2) + 2a_{14}xt + 2a_{24}yt + 2a_{34}zt = 0.$$

Hier ist:

$$(8) \quad \begin{cases} 2a_{14} = 2b^2c^2(a' + p), & 2a_{24} = bc^2\{b^2 + 2a(-ae^2 + a'' + q) - (a' + p)^2\}, \\ 2a_{34} = bc\{(-b^2 - 2a(-ae^2 + a'' + q) + (a' + p)^2)b' - 2a''b(a' + p)\}, \end{cases}$$

und haben  $p, q$  die Werte § 14, (31). Die Gleichung (7) entspricht, nach (3) mit  $-e^2$  für  $e^2$ , den Werten:

$$(9) \quad \begin{aligned} a\rho &= -a'^2 - b^2 - 2a(-ae^2 + a'' + q) + p^2, \\ \sigma &= 2(a' + p), \quad e^2\tau = 2(-ae^2 + a'' + q) \end{aligned}$$

der Bündelparameter  $\rho, \sigma, \tau$  in § 9, (30), wo überdies  $l=1, m=0, n=e^2$ .

5. Die drei Rotationsflächen der kub. hyperb. Parabel. Für  $l=0, m=1, n=-e$  werden die Koeffizienten § 9, (30) der unendlich fernen Kurve (1) der Bündelfläche  $\rho, \sigma, \tau$ :

$$(10) \quad \begin{cases} a_{22} = -ac^2e\tau, \\ a_{33} = -ab(be + b')\rho - b(a'b'e + a'b' - a''b)\sigma - e(ab'^2 - a'b'b' + a''b^2)\tau, \\ 2a_{23} = c\{ab\rho + b(ae + a')\sigma - (a'b - 2ab')e\tau\}, \\ 2a_{31} = -b^2c(\sigma - e\tau), \quad 2a_{12} = 0. \end{cases}$$

Die entsprechenden Koeffizienten der mit  $ae$  multiplizierten Gleichung § 14, (46) sind:

$$(11) \quad a_{22} = -ac^2e, \quad a_{33} = ae(A^2 - c^2), \quad 2a_{23} = 0, \quad 2a_{31} = -2aceA, \quad 2a_{12} = 0$$

mit der Abkürzung:

$$(12) \quad A = ae^2 + a'e + a'' \pm p,$$

und die mit  $-ae$  multiplizierten von § 14, (17):

$$(13) \quad a_{22} = -ac^2e, \quad a_{33} = -ae(be + b')^2, \quad 2a_{23} = 2ace(be + b'), \\ 2a_{31} = 0, \quad 2a_{12} = 0.$$

Die Vergleichung der Koeffizienten  $a_{22}, a_{23}, a_{31}$  in (10) und (11) gibt:

$$\tau = 1, \quad ab\rho + b(ae + a')\sigma - (a'b - 2ab')e\tau = 0, \quad b^2(\sigma - e\tau) = 2aeA,$$

und daraus:

$$(14) \quad b^2\rho = -2(ae + a')Ae - be(be + 2b'), \quad b^2\sigma = (2aA + b^2)e, \quad \tau = 1.$$

Die Koeffizienten  $a_{33}$  in (10) und (11) werden damit von selbst gleich und die drei letzten in § 9, (30) werden:

$$(15) \quad \begin{cases} 2a_{14} = c^2(2aA + b^2)e, & 2ba_{24} = c^2e(2a^2eA + ab(be + 2b') - a'b^2), \\ 2ba_{34} = -ce\{2a(ab'e + a''b)A + abb'(be + 2b') - (a'b' - a''b)b^2\}. \end{cases}$$

Die Vergleichung der Koeffizienten  $a_{22}$ ,  $a_{33}$ ,  $a_{31}$  in (10) und (13) gibt:

$$\tau = 1, \quad ab\rho + b(ae + a')\sigma - (a'b - 2ab')e\tau = 2ae(be + b'), \quad \sigma - e\tau = 0$$

und daraus:

$$(16) \quad \rho = e^2, \quad \sigma = e, \quad \tau = 1$$

und nach § 9, (30):

$$(17) \quad 2a_{14} = b^2c^2e, \quad 2a_{24} = -(ae + a')bec^2, \quad 2a_{34} = bce(ab'e + a'b' - a''b).$$

Durch die kub. hyperb. Parabel § 14, (34) gehen zuerst die zwei Rotationsflächen:

$$(18) \quad ae(cx - Az)^2 - aec^2(x^2 + y^2 + z^2) + 2a_{14}xt + 2a_{24}yt + 2a_{34}zt = 0$$

mit den Werten (12) von  $A$  und § 14, (38) von  $p$ . Die Koeffizienten  $a_{14}$ ,  $a_{24}$ ,  $a_{34}$  haben die Werte in (15), die Bündelparameter  $\rho$ ,  $\sigma$ ,  $\tau$  die Werte in (14).

Dazu kommt noch als dritte Rotationsfläche:

$$(19) \quad -ae\{cy - (be + b')z\}^2 + 2a_{14}xt + 2a_{24}yt + 2a_{34}zt = 0$$

mit den Werten (17) von  $a_{14}$ ,  $a_{24}$ ,  $a_{34}$ . Sie ist der parabolische Zylinder § 9, (17) mit den Werten (16) der Bündelparameter.

**6. Die zwei Rotationsflächen der kub. Parabel.** Für  $l=0$ ,  $m=0$ ,  $n=1$  werden die ersten Koeffizienten § 9, (30) der Bündelfläche  $\rho$ ,  $\sigma$ ,  $\tau$ :

$$(20) \quad a_{11} = 0, \quad a_{22} = ac^2\tau, \quad a_{33} = ab^2\rho + abb'\sigma + (ab'^2 - a'b'b' + a''b^2)\tau, \\ 2a_{23} = c\{-ab\sigma + (a'b - 2ab')\tau\}, \quad 2a_{31} = -b^2c\tau, \quad 2a_{12} = 0.$$

Eine solche Fläche ist, da  $a_{12} = 0$ , eine Rotationsfläche, wenn eine der folgenden Bedingungen erfüllt ist (II § 100, 3):

$$(21) \quad a_{23} \neq 0, \quad a_{31} = 0, \quad a_{12} = 0, \quad (a_{11} - a_{22})(a_{11} - a_{33}) - a_{23}^2 = 0,$$

oder:

$$(22) \quad a_{31} \neq 0, \quad a_{12} = 0, \quad a_{23} = 0, \quad (a_{22} - a_{33})(a_{22} - a_{11}) - a_{31}^2 = 0,$$

oder:

$$(23) \quad a_{23} = 0, \quad a_{31} = 0, \quad a_{12} = 0 \quad \text{und} \quad a_{22} = a_{33} \quad \text{oder} \quad a_{33} = a_{11} \quad \text{oder} \quad a_{11} = a_{22}.$$

Die Bedingungen (21) würden nach (20) erfordern, daß  $\tau = 0$  und damit  $a_{23} = 0$ . Dann würde aber die letzte Gleichung (21) sich auf

$a_{23}^2 = 0$  verkürzen und der ersten widersprechen. Die Bedingungen (22) geben neben  $\tau \neq 0$ :

$$-ab\sigma + (a'b - 2ab')\tau = 0,$$

$$4a(ab^2\varrho + abb'\sigma + (ab'^2 - a'bb' + a''b^2 - ac^2)\tau) + b^4\tau = 0$$

oder, indem  $\tau = ab$  angenommen wird:

$$(24) \quad 4ab\varrho = 4a(ab'^2 + ac^2 - a''b^2) - b^4, \quad \sigma = a'b - 2ab', \quad \tau = ab.$$

Mit diesen Werten wird dann nach (20) und § 9, (30):

$$(25) \quad a_{22} = a^2bc^2, \quad 4a_{23} = b(4a^2c^2 - b^4), \quad 2a_{31} = -ab^2c;$$

$$(26) \quad \begin{cases} 2a_{14} = b^2c^2(a'b - 2ab'), \\ 8a_{24} = -c^2\{4a(ab'^2 + ac^2 - a''b^2) - b^4 + 4a'b(a'b - 2ab')\}, \\ 8a_{34} = c\{4ab'(ab'^2 + ac^2 - a''b^2) - b^4b' + 4b(a'b - 2ab')(a'b' - a''b)\}. \end{cases}$$

Die Bedingungen (23) verlangen  $\tau = 0$ ,  $\sigma = 0$ , worauf mit  $\varrho = 1$ :

$$(27) \quad a_{11} = 0, \quad a_{22} = 0, \quad a_{33} = ab^2 \neq 0,$$

also die Bedingung  $a_{11} = a_{22}$  erfüllt ist. Zugleich wird nach § 9, (30):

$$(28) \quad 2a_{14} = 0, \quad 2a_{24} = -abc^2, \quad 2a_{34} = abb'c.$$

Mit den Koeffizienten (25) folgt nunmehr:

*Durch die kub. Parabel:*

$$(29) \quad x = a\lambda^3 + a'\lambda^2 + a''\lambda, \quad y = b\lambda^2 + b'\lambda, \quad z = c\lambda, \quad t = 1$$

geht die Rotationsfläche:

$$(30) \quad -b(2acx + b^2z)^2 + 4a^2bc^2(x^2 + y^2 + z^2) + 8a_{14}xt + 8a_{24}yt + 8a_{34}zt = 0$$

mit den Werten (26) von  $a_{14}$ ,  $a_{24}$ ,  $a_{34}$  und den Bündelparametern (24).

Dazu kommt nach (27) und (28) noch die Rotationsfläche:

$$(31) \quad bz^2 - c^2yt + b'czt = 0,$$

der parabolische Zylinder § 9, (20).

**7. Berührungssehnenn bei der kub. Parabel.** Die Berührungssehnenn der beiden Rotationsflächen (30) und (31) sind nach der Form der Gleichungen:

$$(32) \quad 2acx + b^2z = 0, \quad t = 0; \quad (33) \quad z = 0, \quad t = 0.$$

Die letztere ist die Tangente § 8, (39) der kub. Parabel im dreifach zählenden unendlich fernen Punkte  $E_1 = E_2 = E_3 = X$ , die erstere  $BB'$  geht durch die Ecke  $Y$  des Koordinatendreiecks  $XYZ$  (Fig. 29). Daher hat  $Y$  in bezug auf den Kugelkreis  $k$  und die unendlich ferne Kurve  $r$  der Fläche (30)

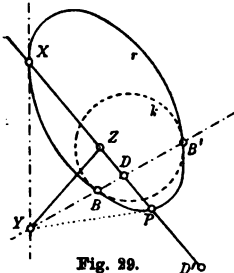


Fig. 29.

dieselbe Polare  $XP = XZ(y=0)$ . Der Schnittpunkt  $D$  von  $BB'$  mit  $y=0$  ist einer der beiden Doppelpunkte  $D, D'$  der Involution, die auf  $y=0$  durch die Schnittpunkte  $X, P$  mit  $r$  und diejenigen mit  $k$  bestimmt wird (§ 13, 4).

## § 16. Besondere Fälle von Rotationsflächen.

1. Kub. Ellipse mit Rotationszylinder. Bei der kub. Ellipse:

$$(1) \quad x = a\lambda^3 + a'\lambda^2 + a''\lambda, \quad y = b\lambda^2 + b'\lambda, \quad z = c\lambda, \quad t = \lambda^2 + e^2$$

haben die Seiten  $s_2$  und  $s_3$  des Dreiecks  $E_1E_2E_3$  der drei unendlich fernen Punkte § 14, (20) nach § 14, (5) die Linienkoordinaten:

$$(2) \quad \begin{aligned} u &= 0, \quad v = z'_0 = -cei, \quad w = -y'_0 = be^2 + b'ei; \\ u &= 0, \quad v = z_0 = cei, \quad w = -y_0 = be^2 - b'ei, \end{aligned}$$

die gleichzeitig die drei ersten Koordinaten der durch die Seiten gehenden Ebenen  $u, v, w, s$  im Raume sind (I § 49, 4). Da nun mit den Werten (2):

$$(3) \quad u^2 + v^2 + w^2 = e^2(b^2e^2 - c^2 - b'^2 \pm 2bb'ei),$$

so folgt (II § 84, (9')):

I. Die Bedingungen:

$$(4) \quad b' = 0, \quad b^2e^2 - c^2 = 0 \quad (c = \epsilon be, \quad \epsilon = \pm 1)$$

sind notwendig und hinreichend dafür, daß die beiden imaginären Seiten  $E_1E_2$  und  $E_1E_3$  des Dreiecks der unendlich fernen Punkte der kub. Ellipse (1) Tangenten des imaginären Kugelkreises  $k$  sind (in Fig. 30 schematisch als reell dargestellt).

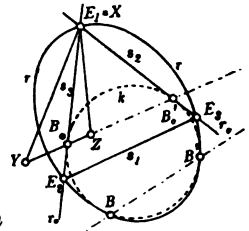


Fig. 30.

Der durch die Kurve (1) gehende einzige Zylinder § 9, (10); (5) kann, da für ihn:

$$a_{11} = 0, \quad a_{22} \neq 0, \quad a_{33} \neq 0, \quad a_{31} = 0, \quad a_{12} = 0,$$

$$(a_{11} - a_{22})(a_{11} - a_{33}) - a_{33}^2 = b^2c^2e^2 \neq 0$$

ist, nur dann eine Rotationsfläche sein, wenn (§ 15, (21); (23)):

$$a_{23} = -b'c = 0, \quad a_{33} - a_{22} = b^2e^2 + b'^2 - c^2 = 0.$$

I'. Der im Allgemeinen elliptische Zylinder der kub. Ellipse (1) ist immer und nur unter den Bedingungen (4) ein Rotationszylinder (gerader Kreiszyylinder).<sup>1)</sup>

1) F. Lindemann, Vorles. Raum (1891), S. 251; Th. Reye, Geom. d. L. 2 (1892), S. 321.



2. Die beiden Rotationsflächen der kub. Ellipse (1), (4). Im Falle (4) wird nach § 14, (23):

$$\alpha = -(ae^3 - a'')^2 + a'^2 e^2, \quad \beta = 2(ae^3 - a'')a'e$$

und damit:

$$\begin{aligned} \sqrt{\alpha^2 + \beta^2} &= (ae^3 - a'')^2 + a'^2 e^2; \quad \alpha + \sqrt{\alpha^2 + \beta^2} = 2a'^2 e^2, \\ &\quad -\alpha + \sqrt{\alpha^2 + \beta^2} = 2(ae^3 - a'')^2. \end{aligned}$$

Nach § 14, (26); (27) ist dann, da  $e > 0$ :

$$A = \delta a'e (\delta = \text{sign. } a'), \quad B = \delta(ae^3 - a''); \quad 2AB = 2(ae^3 - a'')a'e,$$

und nach § 14, (31) haben  $p, q$  die Werte:

$$(5) \quad p = -a', \quad q = ae^3 - a'', \quad \text{oder:} \quad (6) \quad p = a', \quad q = -(ae^3 - a'').$$

Da für das Wertepaar (5):  $a' + p = 0$ ,  $-ae^3 + a'' + q = 0$ , so gehört dazu nach § 15, (7); (8) als *erste Rotationsfläche*:

$$(7) \quad y^2 + z^2 - byt = 0,$$

also der mit (4) aus § 9, (10) entstehende *Rotationszylinder*.

Für das Wertepaar (6) wird  $a' + p = 2a'$ ,  $-ae^3 + a'' + q = -2(ae^3 - a'')$  und damit nach § 15, (7); (8) mit (4) die Gleichung der *zweiten Rotationsfläche*:

$$\begin{aligned} (8) \quad &(4a'^3 - b^3)e^2 y^2 + (4(ae^3 - a'')^2 - b^3 e^2) z^2 - 8\epsilon a'e(ae^3 - a'')yz \\ &+ 4\epsilon be(ae^3 - a'')zx - 4a'be^2 xy + 4a'b^2 e^2 xt \\ &- be^2(4a(ae^3 - a'') + 4a'^2 - b^3)yt - 4\epsilon a'a''bezt = 0. \end{aligned}$$

Die unendlich ferne Kurve des Zylinders (7) ist das imaginäre Linienpaar  $r_0 r_0$  (Fig. 30), dessen Seiten den Kugelkreis  $k$  in  $B_0, B'_0$  berühren und das die drei Punkte  $E_1, E_2, E_3$  der Kurve (1), den ersten  $E_1$  als Doppelpunkt, enthält. Die zugehörige Berührungssehne  $B_0 B'_0$  ist die Seite  $x = 0$  des Dreiecks  $XYZ$ . Die unendlich ferne Kurve  $r$  der Fläche (8) berührt den Kugelkreis in  $B, B'$ . Die zugehörige Berührungssehne  $BB'$  hat nach § 15, (7) die Gleichung:

$$(9) \quad bex - 2a'ey + 2\epsilon(ae^3 - a'')z = 0.$$

3. Kub. Ellipse mit Rotationszylinder und Rotationskegel. Die Bündelparameter der Fläche (8) haben nach § 15, (9) die Werte:

$$(10) \quad a\rho = 4a(ae^3 - a'') - b^2, \quad \sigma = 4a', \quad e^2\tau = -4(ae^3 - a''),$$

sodasß:

$$(11) \quad -\frac{1}{4}ae^2(\rho\tau - \sigma^2) = 4a((ae^3 - a'')^2 + a'^2 e^2) - (ae^3 - a'')b^2.$$

Während daher die Fläche (8) im allgemeinen ein *Rotationshyperboloid* ist (§ 9, (32)), wird sie im Falle (§ 9, (33)):

$$(12) \quad 4a((ae^2 - a'')^2 + a'^2 e^2) - (ae^2 - a'')b^2 = 0$$

ein *Rotationskegel*, der *Sehnenkegel des Punktes*:

$$(13) \quad \lambda = \frac{q}{\sigma} = \frac{\sigma}{\tau} = \frac{4a(ae^2 - a'') - b^2}{4aa'} = \frac{-a'e^2}{ae^2 - a''}.$$

Sind für die kub. Ellipse (1) die Bedingungen (4) und (12) erfüllt, so geht durch sie ein *Rotationszylinder* und ein *Rotationskegel*.

Ist neben (4) die Bedingung (12) dadurch erfüllt, daß:

$$(14) \quad a' = 0, 4a(ae^2 - a'') - b^2 = 0, ae^2 - a'' \neq 0$$

so wird der Rotationskegel der *Scheitelkegel*  $\lambda = 0$ . Seine Gleichung wird nach (8), (4) und (14):

$$(15) \quad ac^2 y^2 + a'' b^2 z^2 - b^2 c z x = 0,$$

in Übereinstimmung mit § 9, (7).

**4. Kub. Ellipse mit nur einer Rotationsfläche.** Für die beiden imaginären unendlich fernen Punkte  $E_2$  und  $E_3$  der kub. Ellipse in § 14, (20) ist nach § 14, (11), (11'); (24):

$$w^2 = x_0'^2 + y_0'^2 + z_0'^2 = e^2(\alpha + \beta i),$$

$$w'^2 = x_0'^2 + y_0'^2 + z_0'^2 = e^2(\alpha - \beta i),$$

woraus mit Rücksicht auf die Werte § 14, (23) von  $\alpha$  und  $\beta$  folgt (in Fig. 31 reell dargestellt):

II. Die beiden imaginären unendlich fernen Punkte der kub. Ellipse (1) liegen immer dann und nur dann auf dem imaginären Kugelkreis<sup>1)</sup> § 13, (4)), wenn:

$$(16) \quad (ae^2 - a'')^2 - (a'^2 + b^2)e^2 + b'^2 + c^2 = 0, (ae^2 - a'')a' - bb' = 0.$$

Mit  $\alpha = 0, \beta = 0$  ist dann auch  $A = 0, B = 0$  (§ 14, (26)) und  $p = 0, q = 0$  (§ 14, (31)). Aber auch umgekehrt können die beiden Wertepaare § 14, (31) nur gleich werden, wenn  $A = 0, B = 0$  und nach § 14, (27)  $\alpha = 0, \beta = 0$ .

II'. Immer und nur unter der Bedingung (16) fallen die beiden durch die kub. Ellipse gehenden Rotationsflächen in eine einzige zusammen.<sup>2)</sup>

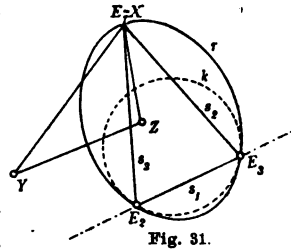


Fig. 31.

1) W. Wirtinger, Wien. Sitz.ber. 94 (1886), 2. Abt., S. 302; R. Bricard, S. M. F. Bull. 32 (1904), S. 269; J. Majcen, Agram Ak. 158 (1904), S. 69; A. Grünwald, Zeitschr. Math. Phys. 55 (1907), S. 264; F. Rulf, Monatsh. f. Math. 21 (1910), S. 329.

2) L. Cremona, J. f. Math. 63 (1864), S. 144; A. Hurwitz, Math. Ann. 30 (1887), S. 298.

Die Gleichung dieser *Rotationsfläche* lautet nach § 15, (7); (8):

$$(17) \quad \{bcx - a'cy + (ae^2 - a'')b + a'b')z\}^2 - b^2c^2(x^2 + y^2 + z^2) \\ + 2a'b^2c^2xt - bc^2(2a(ae^2 - a'') + a'^2 - b^2)yt \\ + bc((2a(ae^2 - a'') + a'^2 - b^2)b' - 2a'a'b')zt = 0.$$

Ihre *Berührungssehne*:

$$(18) \quad bcx - a'cy + (ae^2 - a'')b + a'b')z = 0$$

ist nach § 14, (5) die Seite  $s_1 = E_2E_3$  des Dreiecks  $E_1E_2E_3$  (Fig. 31).

**5. Kub. Ellipse mit Rotationskegel.** Die Bündelparameter der Fläche (17) sind nach § 15, (9):

$$(19) \quad a\rho = 2a(ae^2 - a'') - a'^2 - b^2, \quad \sigma = 2a', \quad e^2\tau = -2(ae^2 - a''),$$

sodaß:

$$(20) \quad -\frac{1}{2}ae^2(\rho\tau - \sigma^2) = 2a((ae^2 - a'')^2 + a'^2e^2) - (ae^2 - a'')(a'^2 + b^2).$$

Ist für die kub. Ellipse (1) neben (16) die Bedingung:

$$(21) \quad 2a((ae^2 - a'')^2 + a'^2e^2) - (ae^2 - a'')(a'^2 + b^2) = 0$$

erfüllt, so ist die einzige durch sie gehende *Rotationsfläche* ein *Rotationskegel*. Er ist der Sehnenkegel des Punktes:

$$(22) \quad \lambda = \frac{\rho}{\sigma} = \frac{\sigma}{\tau} = \frac{2a(ae^2 - a'') - a'^2 - b^2}{2aa'} = \frac{-a'e^2}{ae^2 - a''}.$$

Er wird im besonderen der Scheitelkegel  $\lambda = 0$ , wenn die Bedingung (21) dadurch erfüllt ist daß:

$$a' = 0, \quad ae^2 - a'' \neq 0, \quad 2a(ae^2 - a'') - b^2 = 0,$$

womit aus (16) wird:

$$(ae^2 - a'')^2 - b^2e^2 + c^2 = 0, \quad b' = 0.$$

Daraus folgt schließlich, daß unter den Bedingungen:

$$(23) \quad a' = 0, \quad b' = 0, \quad b^2 = 2a(ae^2 - a''), \quad c^2 = (ae^2 + a'')(ae^2 - a'')$$

die einzige durch die kub. Ellipse gehende *Rotationsfläche* der *Scheitelkegel* ist.

Seine Gleichung wird nach (17) und (23), wie in (15):

$$(24) \quad ac^2y^2 + a''b^2z^2 - b^2czz = 0.$$

**6. Der kub. Kreis.** Unter den Bedingungen (4) berühren die Seiten  $E_1E_2$  und  $E_1E_3$  des unendlich fernen Dreiecks der kub. Ellipse (1) den Kugelkreis (Fig. 30), unter den Bedingungen (16) liegen die Ecken  $E_2, E_3$  auf dem Kugelkreis (Fig. 31). Wenn die Bedingungen

(4) und (16) gleichzeitig erfüllt sind, gelten beide Folgerungen (Fig. 32). Infolge von (4) wird aber aus (16):

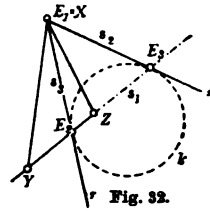
$$(ae^2 - a'')^2 - a'^2 e^2 = 0, \quad (ae^2 - a'')a' = 0,$$

was nur möglich, wenn beide Faktoren der zweiten Gleichung verschwinden, also:

I. Immer und nur dann, wenn für die kub. Ellipse (1) die Bedingungen erfüllt sind:

$$(25) \quad a' = 0, \quad b' = 0, \quad ae^2 - a'' = 0, \quad b^2 e^2 - c^2 = 0 \quad (c = \varepsilon be, \quad \varepsilon = \pm 1)$$

liegen die beiden imaginären Ecken  $E_2$  und  $E_3$  des unendlich fernen Dreiecks  $E_1 E_2 E_3$  auf dem Kugelkreis und sind die beiden imaginären Seiten  $E_1 E_2$  und  $E_1 E_3$  die Tangenten des Kugelkreises in ihnen.



Wir nennen die Kurve (1) dann einen *kubischen Kreis*<sup>1)</sup>. Die Parameterdarstellung (1) nimmt für den kub. Kreis nach (25) die Form an:

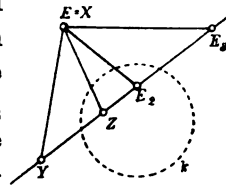
$$(26) \quad x = a\lambda(\lambda^2 + e^2), \quad y = b\lambda^2, \quad z = \varepsilon be\lambda, \quad t = \lambda^2 + e^2,$$

während die zweite Rotationsfläche (8) des Falles (4) und die einzige Rotationsfläche (17) des Falles (16) sich beide in dem Rotationszylinder (7) vereinigen.

II. Die einzige durch den kub. Kreis gehende Rotationsfläche ist der Rotationszylinder (7).

III. Da man in (26) das Vorzeichen von  $\lambda$  umkehren darf, kann das doppelte Vorzeichen von  $z$  auch nach  $x$  verlegt und dann in  $a$  aufgenommen werden.

7. Rotationsflächen der gleichseitigen kub. Hyperbel. Das Koordinatendreieck  $XYZ$  in der unendlich fernen Ebene ist nach § 14, 2 ein Polardreieck des imaginären Kugelkreises  $k$ . Soll auch das Dreieck  $E_1 E_2 E_3$  der kub. Hyperbel in § 14, (2) ein solches Polardreieck sein, so müssen, da die Ecken  $E_1$  und  $X$  zusammenfallen, auch die Seiten  $E_2 E_3$  und  $YZ$  zusammenfallen, also  $E_2$  und  $E_3$  auf der Seite  $x = 0$  liegen und überdies harmonische Pole des Kugelkreises sein. Dies gibt nach § 14, (2) die Bedingungen:



$$x_0 = 0, \quad x'_0 = 0; \quad y_0 y'_0 + z_0 z'_0 = 0 \quad \text{oder (Fig. 33):}$$

1) A. Schoenflies, *Geom. d. Beweg.*, Leipzig 1886, S. 117; W. Fiedler, *Darstell. Geom.* 2 (1885), S. 132; F. Schuh, *Zeitschr. Math. Phys.* 47 (1902), S. 377; R. O. Consentius, *ebd.* 25 (1880), S. 119 bezeichnet als kub. Kreis die kub. Ellipse § 16, 1.

Das Dreieck der unendlich fernen Punkte der kub. Hyperbel § 14, (1) ist ein Polardreieck des imaginären Kugelkreises unter den Bedingungen:

$$(27) \quad ae^2 + a'' = 0, \quad a' = 0, \quad b^2e^2 - b'^2 - c^2 = 0.$$

Es sind die der gleichseitigen kub. Hyperbel in § 9, (47).

Die vier durch diese Hyperbel gehenden gleichseitigen Rotationshyperboloide sind nach § 15, (6):

$$(28) \quad \{bcx - cpy + (b'p - bq)z\}^2 - b^2c^2(x^2 + y^2 + z^2) \\ + 2b^2c^2pxt + bc^2(2aq + b^2 - p^2)yt \\ - bc(2aq + b^2 - p^2)b' + 2a''bp)zt = 0,$$

wo nach § 14, (15), (17), (18) in den Wertepaaren  $p, q$ :

$$(29) \quad w^2 = ((be + b')^2 + c^2)e^2, \quad w'^2 = ((be - b')^2 + c^2)e^2; \\ e^2p^2 + q^2 = 2b^2e^2, \quad pq = bb',$$

und die Bündelparameter nach § 15, (3) die Werte haben:

$$(30) \quad a\varrho = -b^2 - 2aq + p^2, \quad \sigma = 2p, \quad e^2\tau = -2q.$$

**8. Kub. Parabel mit Rotationskegel.** Die Bündelparameter des einen durch die kub. Parabel gehenden Rotationshyperboloides haben die Werte § 15, (24). Unter der Bedingung:

$$(31) \quad 4(\varrho\tau - \sigma^2) = 4a(ab'^2 + ac^2 - a''b^2) - 4(a'b - 2ab')^2 - b^4 = 0$$

geht jedoch dieses Hyperboloid in einen Rotationskegel über, den Sehnenkegel des Punktes:

$$(32) \quad \lambda = \frac{\varrho}{\sigma} = \frac{\sigma}{\tau} = \frac{4a(ab'^2 + ac^2 - a''b^2) - b^4}{4ab(a'b - 2ab')} = \frac{a'b - 2ab'}{ab}.$$

Für den Fall:

$$(33) \quad 2ab' - a'b = 0, \quad 4a(ab'^2 + ac^2 - a''b^2) - b^4 = 0$$

wird dieser Rotationskegel § 15, (30) der Sehnenkegel  $\lambda = 0$  (§ 9, (7)):

$$(34) \quad 4a^2c^2y^2 + (4a^2c^2 - b^4)z^2 - 4ab^2czzx = 0.$$

#### IV. Kapitel.

### Die einzelnen Arten der kub. Kegelschnitte.

#### § 17. Die kubische Ellipse.

**1. Anordnung.** Wir haben bisher die gemeinsamen Eigenschaften aller Raumkurven 3. O. in den Vordergrund gestellt, jedoch immer schon auf die Besonderheiten der vier Arten § 6, (18) hingewiesen. Wir stellen nun in der Folge den Artbegriff voran und verbinden die

bisher zerstreuten Eigenschaften mit anderen neu abzuleitenden Eigenschaften zu einem *Gesamtbild jeder einzelnen Art*.

**2. Die Parameterdarstellungen.** Bezogen auf ein *rechtwinkliges System*  $Oxyz$  wird die *kub. Ellipse* nach § 6, (14); (18); § 7, (11) und § 8, (11) allgemein durch die folgende *Parameterdarstellung ihrer Punkte, Schmiegungebenen und Tangenten* gegeben:

$$(1) \begin{cases} x = a\lambda^3 + a'\lambda^2 + a''\lambda, \\ y = \quad \quad b\lambda^2 + b'\lambda, \\ z = \quad \quad \quad c\lambda, \\ t = \lambda^2 + e^2; \end{cases} \quad (2) \begin{cases} u = bce^2, \\ v = (a\lambda^3 - 3ae^2\lambda - a'e^2)c, \\ w = a\lambda(-b'\lambda^2 + 3be^2\lambda + 3b'e^2) \\ \quad + (a'b' - a''b)e^2, \\ s = -abc\lambda^2; \end{cases}$$

$$(3) \begin{cases} p_{23} = bc\lambda^2, \\ p_{31} = -(2a\lambda + a')c\lambda^2, \\ p_{12} = (a\lambda(b\lambda + 2b') + a'b' - a''b)\lambda^2, \end{cases} \quad \begin{cases} p_{14} = a\lambda^4 + (3ae^2 - a'')\lambda^2 + 2a'e^2\lambda + a''e^2, \\ p_{34} = -b'(\lambda^2 - e^2) + 2be^2\lambda, \\ p_{34} = -c(\lambda^2 - e^2), \end{cases}$$

wo  $abce \neq 0$  und ohne Beschränkung  $e = 1$  gesetzt werden kann.

**3. Durchdringung von Zylinder und Kegel.** Die Kurve ist nach § 11, (21); (20) der *übrige Durchschnitt* des *elliptischen Zylinders*:

$$(4) \quad c^2y^2 - 2b'cyz + (b^2e^2 + b'^2)z^2 - bc^2yt + bb'czt = 0$$

(Fig. 34 durch zwei Schnitte  $h$  und  $h'$  in den parallelen Ebenen  $Oyz$  und  $O'y'z'$  gegeben) und des *Kegels*:

$$(5) \quad ac^2y^2 + (a'h - 2ab')cyz + (ab'^2 - a'bb' + a''b^2)z^2 - b^2czz = 0$$

(Fig. 34 durch die Spitze  $O$  und den Schnitt  $k'$  in der Ebene  $O'y'z'$  gegeben), welche beiden Flächen *außerdem* die  $x$ -Achse gemein haben.

**4. Bestimmtheit des rechtwinkligen Systems.** Das System  $Oxyz$ , auf das sich die Darstellung (1) — (5) bezieht, ist ein *ganz bestimmtes*.

Sein Anfangspunkt  $O$  ist der einzige *Scheitelpunkt*  $\lambda = 0$

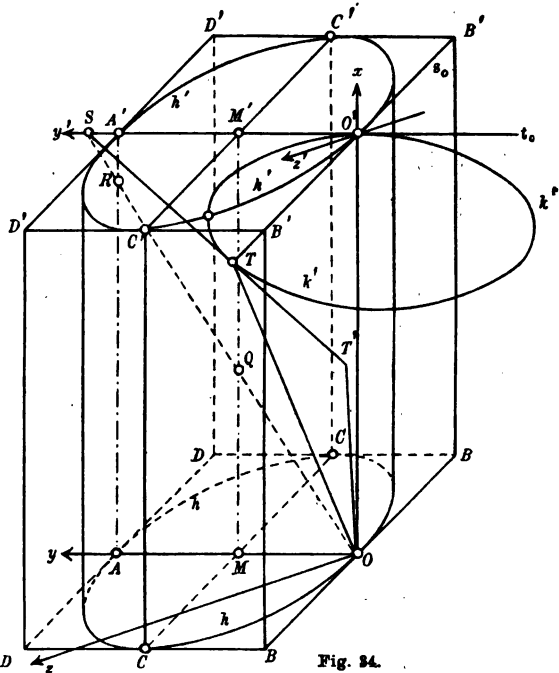


Fig. 34.

der Kurve (§ 11, 2, I), seine  $x$ -Achse die durch ihn gehende *Erzeugende des einzigen* (§ 9, 4, I) *Zylinders* (4), der durch die Kurve geht, seine  $xy$ -Ebene:

$$(6) \quad z = 0 \quad (OO'AA')$$

diejenige *Diametralebene* des Zylinders, die den *Scheitelpunkt*  $O$  mit der einzigen (§ 8, 12, I) *Asymptote* ( $AA'$  Fig. 34) verbindet.

Deshalb sind die *Gleichungen der Mittelpunktsachse* des Zylinders ( $MM'$  Fig. 34) und der *Asymptote* von der Form (§ 9, (11); § 8, (35) mit  $t = 1$ ):

$$(7) \quad y = \frac{b}{2}, \quad z = 0;$$

$$(8) \quad y = b, \quad z = 0.$$

**5. Weitere Scheitelemente.** Zugleich ist die  $x$ -Achse *gemeinsame Erzeugende* des elliptischen Zylinders (4) und des Scheitelkegels (5), und die  $xy$ -Ebene (6) die *Tangentialebene*  $Ot_0$  des Scheitelkegels längs der  $x$ -Achse.

Der *Tangentialebene* des Zylinders längs der  $x$ -Achse (§ 11, (25)):

$$(9) \quad cy - b'z = 0 \quad (Os_0, OO'BB')$$

ist parallel die *Asymptotenebene* (§ 7, (25)):

$$(10) \quad cy - b'z - bc = 0 \quad (DD'),$$

die *Tangentialebene* des Zylinders längs der *Asymptote* (8). Die zu beiden Ebenen (9) und (10) parallele Ebene:

$$(11) \quad cy - b'z - \frac{1}{2}bc = 0 \quad (CC')$$

ist daher die zu (6) konjugierte *Diametralebene* des Zylinders.

Die *Scheiteltangente* der Kurve (§ 11, (27)):

$$(12) \quad x : y : z = a'' : b' : c \quad (OT)$$

ist diejenige *Erzeugende* des Scheitelkegels, die in der *Tangentialebene* (9) des Zylinders liegt.

Die *Scheitelschmiegungebene*:

$$(13) \quad c(bx - a'y) + (a'b' - a''b)z = 0 \quad (OTT')$$

ist nach § 11, (28) *Tangentialebene* des Scheitelkegels längs der *Scheiteltangente*.

**6. Die beiden Durchmesser.** Die *Mittelpunktsachse* (7) des Zylinders (4) ( $MM'$  Fig. 34) ist nach § 11, 9 *der einzige Achsendurchmesser* der Kurve.

Die Schnittlinie der beiden Tangentialebenen (6) und (13) des Kegels (5):

$$(14) \quad x : y : z = a' : b : 0 \quad (OS)$$

ist nach § 11, 8 *der einzige Scheiteldurchmesser* der Kurve.

Die beiden Durchmesser  $MM'$  und  $OS$  schneiden sich im Punkte:

$$(15) \quad x = \frac{a'}{2}, \quad y = \frac{b}{2}, \quad z = 0, \quad (Q),$$

der Scheiteldurchmesser  $OS$  und die Asymptote  $AA'$  im Punkte:

$$(16) \quad x = a', \quad y = b, \quad z = 0 \quad (R).$$

**7. Die vom Achsendurchmesser halbierten Sehnen.** Nach § 11, (39) halbiert der Achsendurchmesser (7) alle Sehnen der kub. Ellipse, deren Endpunkte  $\lambda$  und  $\lambda'$ , durch die Bedingung:

$$(17) \quad \lambda \lambda' = -e^2$$

verbunden, in derselben Diametralebene des elliptischen Zylinders (4) liegen.

Die Koordinaten des Mittelpunktes einer solchen Sehne sind nach § 11, (40):

$$(18) \quad x = \frac{a}{2}(\lambda + \lambda') + \frac{a'}{2}, \quad y = \frac{b}{2}, \quad z = 0.$$

Umgekehrt gehört daher zu jedem Punkte  $x$  des Durchmessers (7) eine aus den Angaben:

$$(19) \quad \lambda + \lambda' = \frac{2x - a'}{a}, \quad \lambda \lambda' = -e^2$$

mittels einer quadratischen Gleichung bestimmte reelle Sehne  $\lambda \lambda'$ , die der Punkt halbiert.

**8. Die Nebenscheitelpunkte.** Zu den vom Achsendurchmesser halbierten Sehnen gehört die den Scheitelpunkt  $\lambda = 0$  und den unendlich fernen Punkt  $\lambda' = \infty$  verbindende  $x$ -Achse, ferner diejenige Sehne, welche die „Nebenscheitelpunkte“  $N$  und  $N'$ :

$$(20) \quad \lambda = e \quad \text{und} \quad \lambda' = -e$$

verbindet und nach (18) den Punkt (15) als Mittelpunkt hat. Da für alle Punkte der Kurve (1) mit  $t = 1$ :

$$(21) \quad cy - b'z = \frac{bce\lambda^2}{\lambda^2 + e^2},$$

so liegen die Nebenscheitelpunkte, für die  $\lambda^2 = e^2$ , mit dem Punkt  $\lambda = \infty$  als dritten, in der Diametralebene (11) des elliptischen Zylinders. Ihre Tangenten sind, da nach (3)  $p_{34} = 0$ , parallel der Ebene (6).



**9. Ort der halbierten Sehnen.** Der Ort der vom Achsendurchmesser halbierten Sehnen ist nach § 11, (47) die Fläche 2. O.:

$$(22) \quad 2ac^2y^2 + \{(ae^2 + a'')b^2 + (2ab' - a'b)b'\}z^2 - (4ab' - a'b)cyz - b^2czz - abc^2yt + abb'czt = 0.$$

Sie ist, da in der Bezeichnung von § 9, (5):  $A_{44} = -a_{22}a_{31}^2 \neq 0$  und nach § 9, (32) stets ein *einschaliges Hyperboloid* (II § 99, (31)).

**10. Die vom Scheiteldurchmesser halbierten Sehnen.** Nach § 11, 8 halbiert der Scheiteldurchmesser (14) alle Sehnen der kub. Ellipse, deren Endpunkte  $\lambda$  und  $\lambda'$  durch die Bedingung:

$$(23) \quad \lambda + \lambda' = 0$$

verbunden sind, also alle Sehnen  $\lambda, -\lambda$ .

Da der Punkt  $\lambda$  der Kurve nach (1) durch die Ebene:

$$(24) \quad (cy - b'z) - \lambda bz = 0$$

eines durch die  $x$ -Achse gelegten Ebenenbüschels gekennzeichnet ist, so liegen die Endpunkte  $\lambda$  und  $-\lambda$  der Sehne in zwei solchen Ebenen des Büschels (24), die zu den beiden Tangentialebenen (9) und (6) des Zylinders und Kegels längs der  $x$ -Achse harmonisch sind.

Die Koordinaten des Mittelpunktes der Sehne  $\lambda, -\lambda$  sind nach § 11, (37) mit  $t = 1$ :

$$(25) \quad x = \frac{a'\lambda^2}{\lambda^2 + e^2}, \quad y = \frac{b\lambda^2}{\lambda^2 + e^2}, \quad z = 0.$$

Stellt man den Durchmesser (14) in der Form § 11, (32):

$$(26) \quad x = a'\sigma, \quad y = b\sigma, \quad z = 0$$

dar, so sind die Endpunkte der Sehne, die einen gegebenen Punkt  $\sigma$  des Durchmessers trifft, nach § 11, (35):

$$(27) \quad \lambda = e\sqrt{\frac{\sigma}{1-\sigma}}, \quad \lambda' = -e\sqrt{\frac{\sigma}{1-\sigma}}.$$

Sie sind daher nur reell, wenn der Punkt  $\sigma$  mit  $0 \leq \sigma \leq 1$  zwischen dem Scheitelpunkt  $O$  und dem Schnittpunkt (16) des Durchmessers (26) mit der Asymptote (8) liegt. Die diesen äußersten Werten entsprechenden Sehnen  $\lambda, -\lambda$  sind die *Scheiteltangente* und die *Asymptote*.

Die Sehne  $\lambda = e$ ,  $\lambda' = -e$  wird nach (17) und (23) sowohl vom Scheiteldurchmesser wie vom Achsendurchmesser halbiert, und ihr Mittelpunkt ist der Punkt (15).

**11. Ort der halbierten Sehnen.** Der Ort der vom Scheiteldurchmesser halbierten Sehnen ist nach § 11, (44) das *hyperbolische Paraboloid*:

$$(28) \quad a'c^2y^2 - (abe^2 + 2a'b' - a''b)cys + (abe^2 + a'b' - a''b)b'z^2 + bb'cax - bc^2xy \\ + b^2c^2xt - a'bc^2yt + (a'b' - a''b)bcst = 0.$$

Es ist *gleichzeitig* in dem *besonderen* Falle, daß zwischen den Koeffizienten in (1) die Beziehung besteht (II § 100, (13)):

$$(29) \quad (ae^2 - a'')bb' + a'(b'^2 + c^2) = 0.$$

**12. Die Achsenkegelschnitte.** Der Achsenkegelschnitt  $\lambda$  der kub. Ellipse ist nach § 10, 5, I eine *Ellipse*, wenn:

$$(30) \quad -e\sqrt{3} < \lambda < e\sqrt{3},$$

eine *Hyperbel*, wenn  $\lambda$  außerhalb des Intervalles (30) liegt, eine *Parabel* in den beiden parallelen Schmiegungebenen § 8, (32), die den Grenzen des Intervalles (30) entsprechen.

Von den beiden ausgezeichneten Achsenkegelschnitten  $\lambda = 0$  und  $\lambda = \infty$  (§ 10, (4)):

$$(31) \quad (a'u + b'v + cw)^2 - 3e^2s(a'u + b'v + s) = 0,$$

$$(32) \quad (a'u + b'v + s)^2 - 3au(a''u + b'v + cw) = 0$$

ist daher der erste eine *Ellipse*, der zweite eine *Hyperbel*, jene in der *Scheitelschmiegungeebene*, diese in der *Asymptotenebene* gelegen.

Beide Ebenen schneiden sich in der Verbindungslinie  $r_0$  der beiden Punkte:

$$(33) \quad a''u + b'v + cw = 0 \quad \text{und} \\ a'u + b'v + s = 0,$$

des unendlich fernen Punktes der Scheiteltangente (12) und des Schnittpunktes (16) des Scheiteldurchmessers mit der Asymptote.

In der Tat liegt jeder der beiden Punkte (33) in jeder der beiden Ebenen (13) und (10) (Fig. 34 würde  $r_0$  als die durch  $R$  gezogene Parallele zu  $OT$  erhalten).

Nach der Form ihrer Gleichung (II § 52, (7')) hat die Ellipse (31) in den Punkten  $O = 0, 0, 0, 1$  und  $R = a', b, 0, 1$  parallele Tangenten von der Richtung  $a'' : b' : c$  ( $r_1$  und  $r_0$  Fig. 35). Ebenso hat die Hyperbel (32) zwei vom Punkte  $R = a', b, 0, 1$  ausgehende und in den unendlich fernen Punkten  $a'', b', c, 0$  und  $1, 0, 0, 0$  berührende Tangenten. Es ist also  $R$  der Mittelpunkt und sind die Gerade  $r_0$

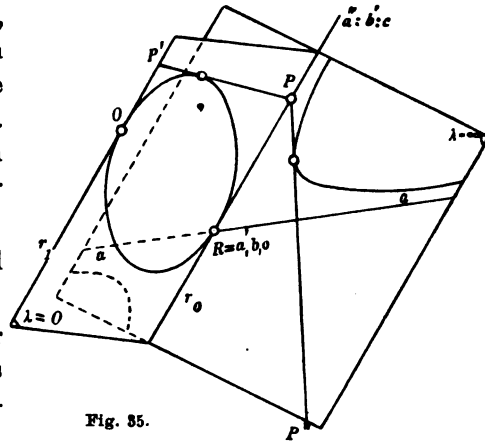


Fig. 35.

und die Asymptote  $a$  der kub. Ellipse die beiden Asymptoten der Hyperbel.

Wie die gemeinsamen Punkte der beiden Flächen (4) und (5), mit Abzug der  $x$ -Achse, die Punkte (1) der kub. Ellipse sind, so sind die gemeinsamen Tangentialebenen der beiden Kegelschnitte (31) und (32) ( $PP'P''$  Fig. 35), mit Abzug des Ebenenbüschels der Geraden  $r_0$ , die Schmiegungebenen (2).

Von dem Ebenenbüschel sind nur zwei Ebenen, die der Kegelschnitte (31) und (32) selbst, Schmiegungebenen.

**13. Das natürliche Koordinatensystem der kub. Ellipse.** Für die kub. Ellipse ist das schiefwinklige System  $O\xi\eta\zeta$  der Scheitелеlemente § 12, 1 ein einziges ausgezeichnetes; wir bezeichnen es jetzt wiederum mit  $Oxyz$ .

Sein Anfangspunkt ist der Scheitelpunkt  $O$ , seine  $x$ -Achse die gemeinsame Erzeugende von elliptischem Zylinder und Scheitelkegel, seine  $y$ -Achse der Scheiteldurchmesser und seine  $z$ -Achse die Scheiteltangente.

In diesem System lauten nach § 12, (6); (7); (11) die Parameterdarstellungen der kub. Ellipse (mit  $e = 1$ ):

$$(34) \quad x = a\lambda^3, \quad y = b\lambda^3, \quad z = c\lambda, \quad t = \lambda^2 + 1;$$

$$(35) \quad au = 1, \quad bv = \lambda(\lambda^2 - 3), \quad cw = 3\lambda^2, \quad s = -\lambda^3;$$

$$(36) \quad p_{23} = bc\lambda^2, \quad p_{31} = -2ca\lambda^3, \quad p_{12} = ab\lambda^4, \\ p_{14} = a\lambda^2(\lambda^2 + 3), \quad p_{24} = 2b\lambda, \quad p_{34} = -c(\lambda^2 - 1).$$

**14. Flächenbündel und Scharschar.** Das Bündel aller durch die kub. Ellipse (34) gehenden Flächen ist mit den Parametern  $\varrho:\sigma:\tau$  nach § 12, (16):

$$(37) \quad \varrho\left(\frac{y^2}{b^2} + \frac{z^2}{c^2} - \frac{y}{b}t\right) - \sigma\left(\frac{y}{b}\frac{z}{c} + \frac{x}{a}\frac{y}{b} - \frac{x}{a}t\right) + \tau\left(\frac{y^2}{b^2} - \frac{z}{c}\frac{x}{a}\right) = 0;$$

die Scharschar aller die Ebenen (35) enthaltenden Flächen 2. Kl. nach § 12, (17):

$$(38) \quad \varrho(b^2v^2 - 3acwu + 2bvs + s^2) + \sigma(bcvw - 9aus + cws) \\ + \tau(c^2w^2 - 3bvs - 3s^2) = 0.$$

Aus (37) geht mit  $\varrho = \lambda^2$ ,  $\sigma = \lambda$ ,  $\tau = 1$  der Sehnenkegel  $\lambda$  und dann mit  $\lambda = \infty$  und  $\lambda = 0$  der elliptische Zylinder und Scheitelkegel:

$$(39) \quad \frac{y^2}{b^2} + \frac{z^2}{c^2} - \frac{y}{b} = 0, \quad (40) \quad \frac{y^2}{b^2} - \frac{z}{c}\frac{x}{a} = 0$$

hervor, dagegen mit  $\varrho = 0$ ,  $\sigma = 1$ ,  $\tau = 0$  das *hyperbolische Paraboloid* (§ 12, 6):

$$(41) \quad \frac{y}{b} \frac{z}{c} + \frac{x}{a} \frac{y}{b} - \frac{x}{a} = 0,$$

auf dem die vom Scheiteldurchmesser halbierten Sehnen liegen ( $t = 1$ ).

Ebenso folgen aus (38) die Achsenkegelschnitte  $\lambda = \infty$  und  $\lambda = 0$ :

$$(42) \quad (bv + s)^2 - 3acwu = 0; \quad (43) \quad c^2w^2 - 3(bv + s)s = 0$$

und das *hyperbolische Paraboloid* (§ 12, 6):

$$(44) \quad bcvw - 9aus + cws = 0,$$

auf dem die Achsen liegen, in denen sich zwei Schmiegungebenen  $\lambda$  und  $-\lambda$  schneiden.

**15. Konstruktion der kub. Ellipse.** Mittels des elliptischen Zylinders (39) und des Kegels (40) und des durch die gemeinsame Erzeugende gelegten Ebenenbüschels:

$$(45) \quad \frac{y}{b} - \lambda \frac{z}{c} = 0$$

kann die kub. Ellipse im Anschluß an ihr natürliches Koordinatensystem  $Oxyz$  konstruiert werden.

Die Spitze des Kegels liegt im Anfangspunkt  $O$ . In der zur Ebene  $Oyz$  parallelen Ebene  $O'y's'$ , die etwa die Gleichung  $x = a$  habe, ist die Leitlinie des Zylinders (39) eine Ellipse, welche die  $z'$ -Achse als Tangente im Punkte  $O'$  und die  $y'$ -Achse als zu jener konjugierten Durchmesser (Fig. 36) hat. In derselben Ebene  $O'y's'$  ist die Leitlinie des Kegels eine Parabel ((40) mit  $x = a$ ), welche die  $y'$ -Achse als Tangente im Punkte  $O'$  hat und die  $z'$ -Achse als zu jener konjugierten „Durchmesser“ (Parallele zur Hauptachse). In Fig. 36 ist  $Oxyz$  rechtwinklig angenommen und in schiefer Projektion dargestellt. Die Konstruktion würde bei schiefwinkligem  $Oxyz$  dieselbe sein.

Die Schnittlinien der Ebenen  $\lambda$  und  $-\lambda$  des Büschels (45) mit  $O'y's'$  schneiden nun die Ellipse in zwei Punkten  $H$  und  $H'$ , die auf derselben Parallelen zur  $z'$ -Achse liegen (Fig. 36) und die Parabel in zwei Punkten  $K$  und  $K'$  die auf derselben Parallelen zur  $y'$ -Achse liegen (Fig. 36). Die durch  $H$  und  $H'$  parallel zur  $x$ -Achse gezogenen Erzeugenden des Zylinders werden von den Erzeugenden  $OK$  und  $OK'$  des Kegels in zwei Punkten  $P$  und  $P'$  der kub. Ellipse geschnitten, deren nicht homogene Koordinaten nach (34) die Form  $x, y, z$

und  $-x, y, -z$  haben. Die Sehne  $PP'$  wird von dem Scheiteldurchmesser  $Oy$  halbiert (ebenso die anderen Sehnen der Fig. 36, die das Paraboloid (41) bilden).  $N$  und  $N'$  (Fig. 36) sind die Nebenscheitel-

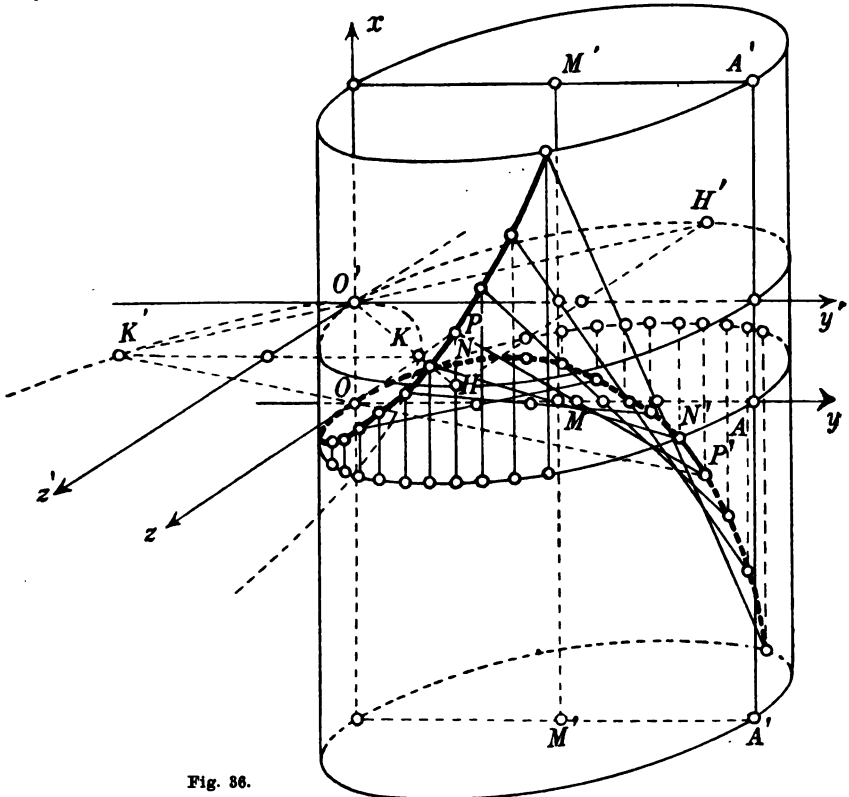


Fig. 36.

punkte (20), deren Sehne  $NN'$  sowohl vom Scheitel- als vom Achsen-  
durchmesser  $MM'$  halbiert wird. Übrigens halbiert dieser die Sehnen,  
deren Endpunkte in diametralen Erzeugenden des Zylinders liegen.  
Dem Scheitelpunkt  $O$  liegt die Asymptote  $AA'$  diametral gegenüber.

**16. Ebenen parallel zur Scheitelschmiegungsebene.** Die der  
Scheitelschmiegungsebene, der Ebene  $x = 0$  des schiefwinkligen Systems  
(§ 12, 1), parallelen Ebenen:

$$(46) \quad x - qt = 0$$

mit einem Parameter  $q$  schneiden die Kurve (34) in drei durch die  
kubische Gleichung:

$$(47) \quad a\lambda^3 - q(\lambda^2 + 1) = 0$$

bestimmten Punkten. Da deren Diskriminante  $(27a^2 + 4q^2)q^2 > 0$ ,  
hat sie für  $q \neq 0$  nur eine reelle Wurzel.

Die zur  $yz$ -Ebene des schiefwinkligen Systems parallelen Ebenen haben nur einen reellen Schnittpunkt; die  $yz$ -Ebene selbst drei zusammenfallende  $\lambda = 0$ .<sup>1)</sup>

### § 18. Der kubische Kreis.

**1. Begriff und Parameterdarstellung.** Diejenige kub. Ellipse, von deren unendlich fernem Dreieck  $E_1E_2E_3$  die beiden imaginären Ecken  $E_2$  und  $E_3$  Punkte und die beiden imaginären Seiten  $E_1E_2$  und  $E_1E_3$  Tangenten des Kugelkreises sind, wurde in § 16, 6 als kub. Kreis bezeichnet. Sie geht aus den allgemeinen Gleichungen § 17, (1) unter den Bedingungen § 16, (25) hervor, wobei auch noch  $e = 1$  und (§ 16, 6, III)  $s = 1$  genommen werden kann, also:

$$(1) \quad a' = 0, \quad a'' = a, \quad b' = 0, \quad c = b.$$

Der kub. Kreis hat in bezug auf das rechtwinklige System  $Oxyz$  des Scheitels (§ 17, 4) die folgende Parameterdarstellung seiner Punkte, Schmiegungebenen und Tangenten:

$$(2) \quad x = a\lambda(\lambda^2 + 1), \quad y = b\lambda^2, \quad z = b\lambda, \quad t = \lambda^2 + 1;$$

$$(3) \quad u = b, \quad v = a\lambda(\lambda^2 - 3), \quad w = a(3\lambda^2 - 1), \quad s = -ab\lambda^2,$$

$$(4) \quad p_{23} = b^2\lambda^2, \quad p_{31} = -2ab\lambda^2, \quad p_{12} = ab\lambda^2(\lambda^2 - 1)$$

$$p_{14} = a(\lambda^2 + 1)^2, \quad p_{24} = 2b\lambda, \quad p_{34} = -b(\lambda^2 - 1),$$

wo jedesmal ein Proportionalitätsfaktor hinzu zu denken ist.

**2. Durchschnitt von Zylinder und Kegel.** Der kub. Kreis ist der Durchschnitt des Rotationszylinders und des elliptischen Kegels.<sup>2)</sup>

$$(5) \quad y^2 + z^2 - byt = 0; \quad (6) \quad a(y^2 + z^2) - bzx = 0,$$

die außerdem die  $x$ -Achse gemein haben.

Der Zylinder (5) ist die einzige Rotationsfläche 2. O., die durch die Kurve geht (§ 16, 6, II).

**3. Der Schraubensinn.** In nicht homogener Schreibweise werden die Gleichungen (2):

$$(7) \quad x = a\lambda, \quad y = \frac{b\lambda^2}{\lambda^2 + 1}, \quad z = \frac{b\lambda}{\lambda^2 + 1},$$

1) Die Auf- und Abschwankung der kub. Ellipse in den auf Gipszylindern gezeichneten Raumkurven 3. O. von E. Lange (M. Schilling, Katalog 1911, S. 132) fällt daher fort, wenn, wie hier in Fig. 36, nicht die zur Zylinderachse senkrechten, sondern die der Scheitelschmiegungeebene parallelen Ebenen ausgezeichnet werden; vgl. ferner für alle vier Arten des kub. Kegelschnittes die Modelle von W. Ludwig (M. Schilling, Katalog 1911, S. 132) und von H. Wiener (B. G. Teubner, Verzeichn. math. Modelle 1912, S. 29).

2) C. Hoffmann, Unterrichtabl. f. Math. 16 (1910), S. 34.

oder, wenn:

$$(8) \quad \lambda = 1 : \operatorname{tg} \frac{\varphi}{2}$$

gesetzt wird:

$$(9) \quad x = a \operatorname{ctg} \frac{\varphi}{2}, \quad y = \frac{b}{2} - \frac{b}{2} \cos \varphi, \quad z = \frac{b}{2} \sin \varphi,$$

wo  $\varphi$  den Winkel der laufenden Diametralebene des Zylinders (5) gegen die  $xy$ -Ebene bedeutet (Fig. 37).

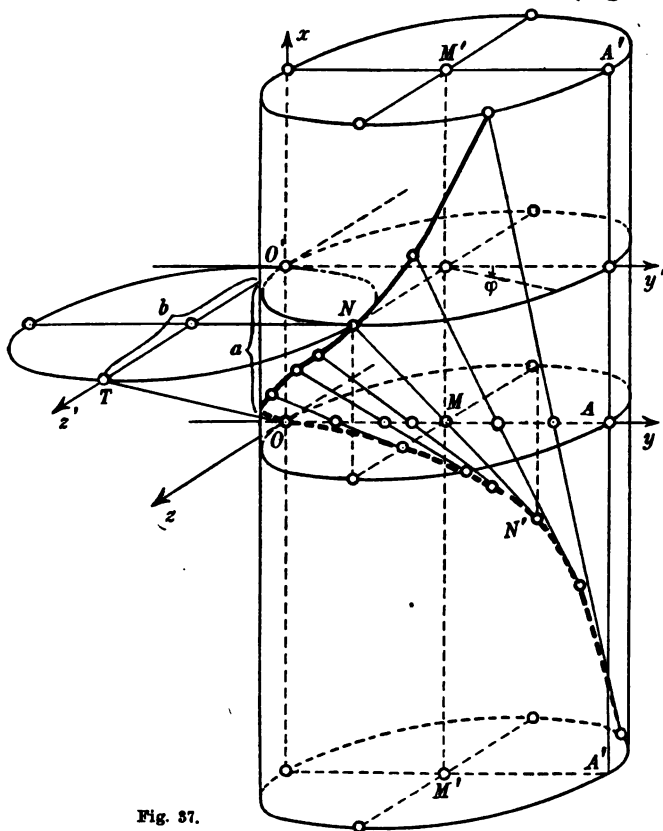


Fig. 37.

Während nun  $\varphi$ , dem positiven Drehungssinn der  $y'z'$ -Ebene (I § 32, 8) folgend, von 0 über  $\pi$  bis  $2\pi$  zunimmt, bewegt sich  $x$  bei positivem  $a$  von  $+\infty$  über 0 bis  $-\infty$ , bei negativem  $a$  umgekehrt. Es folgt also in Übereinstimmung mit § 8, (20):

Der kub. Kreis (2) hat, bei positiv orientiertem System  $Oxyz$ , positiven oder negativen Schraubensinn (I § 32, 7), je nachdem  $a < 0$  oder  $a > 0$  (bei Fig. 37 ist die Kurve dementsprechend bei negativ orientiertem System  $Oxyz$  und positivem  $a = OO'$  positiv geschraubt)<sup>1)</sup>.

**4. Die Scheitelelemente.** Der Punkt  $O$  mit  $\lambda = 0$  ist der Scheitelpunkt des kub. Kreises. Er liegt auf dem Rotationszylinder (5) der Asymptote (§ 17, (8)):

$$(10) \quad y = b, \quad z = 0 \quad (AA')$$

(Fig. 37) diametral gegenüber<sup>2)</sup>. Die Scheiteltangente:

1) F. Schuh, Zeitschr. Math. Phys. 47 (1902), S. 380.

2) A. Schoenflies, Geom. d. Bew., Leipzig 1886, S. 118; R. Sturm, Geom. Verwandtschaft. 2 (1908), S. 181.

$$(11) \quad bx - az = 0, \quad y = 0 \quad (OT)$$

ist die Berührungslinie der *Scheitelschmiegungebene*:

$$(12) \quad bx - az = 0$$

mit dem *Scheitelkegel* (6) (§ 17, 5).

Der *Scheiteldurchmesser*:

$$(13) \quad z = 0, \quad x = 0,$$

fällt in die *y*-Achse, der *Achsendurchmesser*:

$$(14) \quad y = \frac{b}{2}, \quad z = 0 \quad (MM')$$

ist die *Mittelpunktsachse* des Zylinders. Jener halbiert alle Sehnen  $\lambda, -\lambda$  (Fig. 37), dieser alle Sehnen  $\lambda, -1:\lambda$ .

Den Werten  $\lambda = 1, -1$  ( $\varphi = \frac{\pi}{2}, \frac{3\pi}{2}$  in (8)) entsprechen nach (7) die beiden *Nebenscheitelpunkte*  $N, N'$ :

$$(15) \quad x = a, \quad y = \frac{b}{2}, \quad z = \frac{b}{2}; \quad x = -a, \quad y = \frac{b}{2}, \quad z = -\frac{b}{2},$$

( $t = 1$ ), deren Sehne sowohl vom Scheitel- als vom Achsendurchmesser halbiert wird (in  $M$  Fig. 37).

**5. Kreisschnitte senkrecht zur Asymptote.** Die Ebene  $x = a$  ( $O'y'z'$  Fig. 37) schneidet den *Zylinder* (5) und den *Kegel* (6) in *den beiden Kreisen* vom gleichen Durchmesser  $b$ :

$$(16) \quad y^2 + z^2 - by = 0, \quad y^2 + z^2 - bz = 0,$$

die sich außer im Punkte  $O'$  der *x*-Achse in dem ersten *Nebenscheitelpunkt* (15) schneiden und mit  $O$  zusammen ( $OO' = a$ ) zur *Bestimmung des kub. Kreises* dienen können.

Für die Schnittpunkte der Kurve mit irgend einer zur *x*-Achse senkrechten Ebene mit dem Parameter  $m$ :

$$(17) \quad x - mt = 0$$

ergibt sich aus (2):

$$(18) \quad (a\lambda - m)(\lambda^2 + 1) = 0.$$

Der *kub. Kreis* wird also von jeder zur *Zylinderachse* senkrechten Ebene in einem *einigen reellen Punkte* geschnitten.

Die beiden imaginären Schnittpunkte  $\lambda^2 + 1 = 0$ , für die nach (2)  $t = 0$ ,  $x^2 + y^2 + z^2 = 0$ , sind die imaginären Kreispunkte der Ebene (17)<sup>1</sup>.

1) F. Schuh, Zeitschr. Math. Phys. 47 (1902), S. 381.



*Die Kreisschnittebenen des Zylinders (5) bilden auch die eine Schar von Kreisschnittebenen des elliptischen Kegels (6).*

**6. Flächenbündel des kub. Kreises.** Das Bündel der durch den kub. Kreis gehenden Flächen 2. O. ist nach § 9, (25); (3):

$$(19) \quad \varrho f + \sigma g + \tau h = 0,$$

mit:

$$(20) \quad f = a(y^2 + z^2 - byt), \quad g = -b(xy - bxt + ast), \quad h = a(y^2 + z^2) - bsx$$

oder geordnet:

$$(21) \quad (\varrho + \tau)a(y^2 + z^2) - \tau bsx - \sigma bxy + \sigma b^2xt - \varrho aby - \sigma abzt = 0.$$

Die Fläche  $g = 0$  ist nach § 9, 16 das hyperbolische Paraboloid der vom Scheiteldurchmesser halbierten Sehnen (s. 8, II).

**7. Kreisschnittebenen der Bündelflächen.** Die vier Schnittpunkte der unendlich fernen Kurve der Fläche (21) und des Kugelkreises:

$$(22) \quad (\varrho + \tau)a(y^2 + z^2) - \tau bsx - \sigma bxy = 0, \quad x^2 + y^2 + z^2 = 0, \quad t = 0$$

liegen auf dem durch Elimination von  $y^2 + z^2$  hervorgehenden, reellen Geradenpaar:

$$(23) \quad x\{(\varrho + \tau)ax + \sigma by + \tau bs\} = 0, \quad t = 0.$$

Durch die eine oder andere Gerade des Paares gehen die Kreisschnittebenen der Fläche (21):

*Für jede Fläche des Bündels ist die eine Schar von Kreisschnittebenen zur Achse des Rotationszylinders senkrecht.<sup>1)</sup>*

Der Kreis, in dem die Ebene (17) die Fläche (21) schneidet, zerfällt in eine endliche und eine unendlich ferne Gerade, wenn  $\varrho + \tau = 0$ .

*Die Fläche (21) ist ein hyperbolisches Paraboloid, wenn:*

$$(24) \quad \varrho + \tau = 0 \quad (\varrho\tau - \sigma^2 \neq 0, \text{ § 9, (32)}).$$

In der Tat ist für (21) auch die Unterdeterminante, deren Verschwinden ein Paraboloid bedingt (II § 99, (31)):

$$(25) \quad A_{44} = -\frac{1}{4}ab^2(\varrho + \tau)(\sigma^2 + \tau^2).$$

**8. Orthogonale Flächen.** In der unendlich fernen Ebene hat die eine Seite  $x = 0$  des vollständigen Vierecks der Schnittpunkte (22) in bezug auf den Kugelkreis den Pol  $x = 1, y = 0, z = 0$ . Da dieser auf der ersten Kurve (22) liegt, folgt (II § 100, 7):

*I. Alle Flächen des Bündels (21) sind orthogonal.<sup>2)</sup>*

1) A. Schoenflies, Geom. d. Bew., Leipzig 1886, S. 117.

2) A. Schoenflies, ebd. S. 116; Th. Reye, Geom. d. L. 2 (1892), S. 176.

In der Tat ist neben (25):

$$(26) \quad A'_{44} = a^2(\rho + \tau)^2 - \frac{1}{4}b^2(\sigma^2 + \tau^2), \quad A''_{44} = 2a(\rho + \tau)$$

und damit die Bedingung:

$$(27) \quad A''_{44} - 4A'_{44}A''_{44} + 8A_{44} = 0$$

der orthogonalen Flächen (II § 100, (29)) erfüllt.

II. Die *hyperbolischen Paraboloid*  $\rho + \tau = 0$  sind sämtlich *gleichseitig*, da  $A''_{44} = 0$ .

**9. Die Scharschar der Flächen 2. Kl.** Die Scharschar der Flächen 2. Kl., welche die Schmiegungebenen (3) als Tangentialebenen haben, ist nach § 10, (43); (3):

$$(28) \quad \rho F + \sigma G + \tau H = 0,$$

wo:

$$F = -3a^2u^2 + b^2v^2 - 3abwu + 2bvs + s^2,$$

$$(29) \quad G = b^2vw + abuv - 8aus + cws,$$

$$H = a^2u^2 + b^2w^2 + 2abwu - 3bvs - 3s^2.$$

**10. Der Mittelpunktskegelschnitt.** Der Mittelpunktskegelschnitt hat nach § 10, (20) die Parameterdarstellung:

$$(30) \quad x = -8a\lambda, \quad y = b(2\lambda^2 - 3), \quad z = b\lambda, \quad t = 2(\lambda^2 - 3)$$

und liegt in der Ebene:

$$(31) \quad bx + 8az = 0.$$

Er ist eine Hyperbel, die nach § 10, (38) gleichseitig wird für:

$$(32) \quad b^2 = 32a^2.$$

**11. Die Sehnen  $\lambda_0, \lambda$  und  $-\lambda_0, \lambda$ .** Die Sehne, welche die Punkte  $\lambda_0$  und  $\lambda$  der Kurve (2) verbindet, hat, mit Rücksicht auf (1), nach § 8, (2) die Gleichungen:

$$(33) \quad bx - a(\lambda_0 + \lambda)y + a(\lambda_0\lambda - 1)z = 0, \quad (\lambda_0\lambda - 1)y + (\lambda_0 + \lambda)z - b\lambda_0\lambda = 0$$

oder auch, wenn  $x_0, y_0, z_0$  die Koordinaten des Punktes  $\lambda_0$  sind, der den Gleichungen (33) genügt:

$$b(x - x_0) - a(\lambda_0 + \lambda)(y - y_0) + a(\lambda_0\lambda - 1)(z - z_0) = 0,$$

$$(\lambda_0\lambda - 1)(y - y_0) + (\lambda_0 + \lambda)(z - z_0) = 0$$

oder:

$$b(x - x_0) - a\lambda\{(y - y_0) - \lambda_0(z - z_0)\} - a\{\lambda_0(y - y_0) + (z - z_0)\} = 0,$$

$$\{(y - y_0) - \lambda_0(z - z_0)\} - \lambda\{\lambda_0(y - y_0) + (z - z_0)\} = 0$$

oder endlich:

$$(34) \quad x - x_0 : \frac{(y - y_0) - \lambda_0(z - z_0)}{w_0} : \frac{\lambda_0(y - y_0) + (z - z_0)}{w_0} = \frac{aw_0}{b} (\lambda^2 + 1) : \lambda : 1$$

wo der beigelegte Faktor  $w_0$  die Bedeutung haben soll:

$$(35) \quad w_0 = \sqrt{1 + \lambda_0^2}.$$

Ebenso hat *die Sehne, welche die Punkte  $-\lambda_0$  und  $\lambda$  verbindet*, die Gleichungen:

$$(36) \quad x - x'_0: \frac{(y - y'_0) + \lambda_0(z - z'_0)}{w_0}: \frac{-\lambda_0(y - y'_0) + (z - z'_0)}{w_0} = \frac{aw_0}{b}(\lambda^2 + 1): \lambda: 1,$$

wenn  $x'_0 = -x_0$ ,  $y'_0 = y_0$ ,  $z'_0 = -z_0$  der Punkt  $-\lambda_0$  ist.

**12. Kongruente Bündel.** Durch die Transformationen (I § 14, (10)):

$$(37) \quad \begin{cases} \xi = x - x_0, \eta = (y - y_0) \cos(-\varphi_0) + (z - z_0) \sin(-\varphi_0), \\ \xi = -(y - y_0) \sin(-\varphi_0) + (z - z_0) \cos(-\varphi_0), \\ \xi' = x - x'_0, \eta' = (y - y'_0) \cos \varphi_0 + (z - z'_0) \sin \varphi_0, \\ \xi' = -(y - y'_0) \sin \varphi_0 + (z - z'_0) \cos \varphi_0 \end{cases}$$

werden nun neben  $Oxyz$  zwei neue Systeme  $P_0\xi\eta\xi$  und  $P'_0\xi'\eta'\xi'$  eingeführt, deren Anfangspunkte  $P_0$  und  $P'_0$  die Punkte  $\lambda_0$  und  $-\lambda_0$  der Kurve (2) sind, deren Achsen  $\xi$  und  $\xi'$  der Achse  $x$  parallel und deren Achsen  $\eta$ ,  $\xi$  und  $\eta'$ ,  $\xi'$  gegen die Achsen  $y$ ,  $z$  um die Winkel  $-\varphi_0$  und  $\varphi_0$  gedreht sind. Nimmt man hierbei mit Rücksicht auf (35):

$$\cos \varphi_0 = \frac{1}{w_0}, \quad \sin \varphi_0 = \frac{\lambda_0}{w_0},$$

so werden die Gleichungen der Sehnen (34) und (36) in den neuen Systemen:

$$(38) \quad \xi : \eta : \xi = \frac{aw_0}{b}(\lambda^2 + 1): \lambda: 1; \quad \xi' : \eta' : \xi' = \frac{aw_0}{b}(\lambda^2 + 1): \lambda: 1.$$

Die Sehnen  $\lambda_0$ ,  $\lambda$  und  $-\lambda_0$ ,  $\lambda$  haben daher, bei festem  $\lambda_0$  und wechselndem  $\lambda$ , in den beiden Systemen  $P_0\xi\eta\xi$  und  $P'_0\xi'\eta'\xi'$  jedesmal dieselben Richtungskosinus oder:

*Die Sehnen, welche zwei feste Punkte  $\lambda_0$  und  $-\lambda_0$  des kub. Kreises mit dem laufenden Punkte  $\lambda$  verbinden, gehören kongruenten Bündeln an<sup>1)</sup>.*

## § 19. Überführung der kub. Hyperbel vom Scheitel- zum natürlichen Koordinatensystem.

**1. Die Parameterdarstellung im Scheitelsystem.** Die Darstellungen der kub. Ellipse in § 17, 2; 3 gelten, sofern  $-e^2$  für  $e^2$  gesetzt wird, auch für die kub. Hyperbel. Insbesondere ist für deren Punkte und Schmiegungebenen:

1) H. Helmholtz, Handbuch der physiolog. Optik, 3. Aufl. (1910), S. 386 (*Horopterkurve*); A. Schoenflies, Geom. d. Bew., Leipzig 1886, S. 119; F. Schur,

$$(1) \begin{cases} x = a\lambda^3 + a'\lambda^2 + a''\lambda, \\ y = b\lambda^2 + b'\lambda, \\ z = c\lambda, \\ t = \lambda^2 - e^2; \end{cases} \quad (2) \begin{cases} u = bce^2, \\ v = -(a\lambda^3 + 3ae^2\lambda + a'e^2)c, \\ w = a\lambda(b'\lambda^2 + 3be^2\lambda + 3b'e^2) \\ \quad + (a'b' - a''b)e^2, \\ s = abc\lambda^3. \end{cases}$$

Während aber für die kub. Ellipse das hierbei gewählte Koordinatensystem ein einziges, an den einzigen Scheitelpunkt sich anlehnendes ist, gilt dies bei der kub. Hyperbel nicht mehr.

Um auch hier ein *einzigartiges* System zu gewinnen, wird man als *Achsenrichtungen* naturgemäß die Richtungen nach den drei unendlich fernen Punkten der kub. Hyperbel wählen.<sup>1)</sup> Es handelt sich dann noch um die Wahl eines geeigneten Anfangspunktes.

**2. Der Mittelpunkt der kub. Hyperbel.** Die kub. Hyperbel hat nach § 11, (7) *drei Scheitelpunkte*:

$$(3) \quad \lambda = 0, \quad \lambda = -3e, \quad \lambda = 3e$$

und in ihnen drei *Scheitelschmiegungeebenen*, die nach (2) und (3) die Koordinaten haben:

$$\begin{aligned} u &= bc, \quad v = -a'c, \quad w = a'b' - a''b, \quad s = 0; \\ u &= bc, \quad v = -(36a\epsilon e + a')c, \quad w = 9a\epsilon e(3b\epsilon e + 4b') + (a'b' - a''b), \\ &\quad s = 27abc\epsilon e \end{aligned}$$

mit  $\epsilon = -1$  und  $\epsilon = 1$ . Ihre Gleichungen werden daher:

$$(4) \quad \begin{aligned} bcx - a'cy + (a'b' - a''b)z &= 0, \\ \{bcx - a'cy + (a'b' - a''b)z\} + 27abe^2z - 9a\epsilon e(4cy - 4b'z - 3bc) &= 0 \end{aligned}$$

Der Schnittpunkt der drei Ebenen (4) genügt den Gleichungen:

$$bcx - a'cy + (a'b' - a''b)z = 0, \quad z = 0, \quad 4cy - 4b'z - 3bc = 0$$

und hat daher die Koordinaten:

$$(5) \quad x_0 = \frac{3}{4}a', \quad y_0 = \frac{3}{4}b, \quad z_0 = 0.$$

*Der Punkt (5), der Schnittpunkt der drei Scheitelschmiegungeebenen der kub. Hyperbel soll ihr Mittelpunkt heißen.<sup>2)</sup>*

Dorpater Sitz.-Ber. 1889, S. 162; F. Schuh, Zeitschr. Math. Phys. 47 (1902), S. 375; R. Sturm, Geom. Verwandtschaften 2 (1908), S. 180; Katalog math. Modelle v. M. Schilling in Leipzig (1911), S. 74; 133.

1) A. Bioche, Edinb. M. S. Proc. 13 (1895), S. 146.

2) L. Geisenheimer, Zeitschr. Math. Phys. 27 (1882), S. 322.

3. Die Richtungskosinus der neuen Achsen. Die Richtungen nach den drei unendlich fernen Punkten § 14, (2) der kub. Hyperbel haben die Kosinus:

$$(6) \quad \begin{cases} \alpha_1 = 1, & \beta_1 = 0, & \gamma_1 = 0; \\ \alpha_2 = \frac{ae^2 + a'e + a''}{p}, & \beta_2 = \frac{be + b'}{p}, & \gamma_2 = \frac{c}{p}; \\ \alpha_3 = \frac{ae^2 - a'e + a''}{q}, & \beta_3 = \frac{-be + b'}{q}, & \gamma_3 = \frac{c}{q}, \end{cases}$$

wo zur Abkürzung gesetzt ist:

$$(7) \quad \begin{aligned} p^2 &= (ae^2 + a'e + a'')^2 + (be + b')^2 + c^2, \\ q^2 &= (ae^2 - a'e + a'')^2 + (-be + b')^2 + c^2. \end{aligned}$$

Die Determinante der neuen Richtungskosinus ist:

$$(8) \quad \Delta = \frac{2bce}{pq},$$

und für ihre durch  $\Delta$  selbst geteilten Unterdeterminanten ergibt sich, wie § 14, (3):

$$(9) \quad \begin{cases} \frac{A_1}{\Delta} = 1, & \frac{B_1}{\Delta} = -\frac{a'}{b}, & \frac{\Gamma_1}{\Delta} = -\frac{abe^2 - a'b' + a''b}{bc}; \\ \frac{A_2}{\Delta} = 0, & \frac{B_2}{\Delta} = \frac{p}{2be}, & \frac{\Gamma_2}{\Delta} = \frac{(be - b')p}{2bce}; \\ \frac{A_3}{\Delta} = 0, & \frac{B_3}{\Delta} = -\frac{q}{2be}, & \frac{\Gamma_3}{\Delta} = \frac{(be + b')q}{2bce}. \end{cases}$$

4. Die Übergangsformeln. Wir führen nun ein *schiefwinkliges System*  $\Omega\xi\eta\zeta$  ein, dessen Anfangspunkt  $\Omega$  der Mittelpunkt (5) ist und dessen Achsen  $\xi, \eta, \zeta$  die Richtungen (6) nach den unendlich fernen Punkten haben oder, was dasselbe ist, den drei Asymptoten (§ 8, 12, II) der kub. Hyperbel parallel laufen. Wir nennen es das *natürliche System der kub. Hyperbel*.

Sind  $\xi, \eta, \zeta, \tau$  und  $u', v', w', s'$  die neuen Punkt- und Ebenenkoordinaten, so gelten mit (5), (6), (9) die Formeln (I § 37, (13); (16)):

$$(10) \quad \begin{cases} x = x_0\tau + \xi + \alpha_2\eta + \alpha_3\zeta, \\ y = y_0\tau + \beta_2\eta + \beta_3\zeta, \\ z = \gamma_2\eta + \gamma_3\zeta, \\ t = \tau; \end{cases} \quad (11) \quad \begin{cases} \xi = x + \frac{B_1}{\Delta}y + \frac{\Gamma_1}{\Delta}z, \\ \eta = \eta_0t + \frac{B_2}{\Delta}y + \frac{\Gamma_2}{\Delta}z, \\ \zeta = \zeta_0t + \frac{B_3}{\Delta}y + \frac{\Gamma_3}{\Delta}z, \\ \tau = t, \end{cases}$$

wo (I § 37, (15)):

$$(11') \quad \xi_0 = 0, \quad \eta_0 = -\frac{3p}{8e}, \quad \zeta_0 = \frac{3q}{8e}$$

die Koordinaten des alten Anfangspunktes  $O$  im neuen System sind. Ferner aber ist (I § 45, 10):

$$(12) \quad \begin{cases} u = u', \\ v = \frac{B_1}{\Delta} u' + \frac{B_2}{\Delta} v' + \frac{B_3}{\Delta} w', \\ w = \frac{\Gamma_1}{\Delta} u' + \frac{\Gamma_2}{\Delta} v' + \frac{\Gamma_3}{\Delta} w', \\ s = \eta_0 v' + \xi_0 w' + s'; \end{cases} \quad (13) \quad \begin{cases} u' = u, \\ v' = \alpha_2 u + \beta_2 v + \gamma_2 w, \\ w' = \alpha_3 u + \beta_3 v + \gamma_3 w, \\ s' = x_0 u + y_0 v + s. \end{cases}$$

##### 5. Parameterdarstellung der Punkte und Schmiegungebenen.

Setzt man nun in (11) und (13) die Werte (1) und (2) ein, so erhält man nach einfacher Zusammenfassung:

$$(14) \quad \begin{cases} \xi = a\lambda(\lambda + e)(\lambda - e), \\ \eta = \frac{p}{8e}(\lambda + e)(\lambda + 3e), \\ \xi = -\frac{q}{8e}(\lambda - e)(\lambda - 3e), \\ \tau = (\lambda + e)(\lambda - e); \end{cases} \quad (15) \quad \begin{cases} u' = -e^3, \\ v' = \frac{ae}{p}(\lambda - e)^3, \\ w' = -\frac{ae}{q}(\lambda + e)^3, \\ s' = -\frac{1}{4}a\lambda(\lambda + 3e)(\lambda - 3e); \end{cases}$$

Dividiert man hier alle rechten Seiten mit  $e^3$  und bezeichnet alsdann neuerdings:

$$(16) \quad \frac{\lambda}{e}, ae, -\frac{p}{8e}, -\frac{q}{8e}; \xi, \eta, \xi, \tau; u', v', w', s' \text{ mit } \lambda, a, b, c; x, y, z, t; u, v, w, s,$$

so ergibt sich folgende *Parameterdarstellung der Punkte und Ebenen der kub. Hyperbel im neuen System*:

$$(17) \quad \begin{cases} x = a\lambda(\lambda + 1)(\lambda - 1), \\ y = -b(\lambda + 1)(\lambda + 3), \\ z = c(\lambda - 1)(\lambda - 3), \\ t = (\lambda - 1)(\lambda + 1) \end{cases} \quad (18) \quad \begin{cases} u = \frac{8}{a}, \\ v = \frac{1}{b}(\lambda - 1)^3, \\ w = -\frac{1}{c}(\lambda + 1)^3, \\ s = 2\lambda(\lambda + 3)(\lambda - 3). \end{cases}$$

6. Die Gleichungen der Sehne. Die Gleichungen der Sehne  $\lambda_1 \lambda_2$  in § 8, (2) werden für die kub. Hyperbel:

$$(19) \quad \begin{cases} b(cx - a''z) - \{a(\lambda_1 + \lambda_2) + a'\}(cy - b'z) + ab\lambda_1\lambda_2z = 0, \\ be^2(\lambda_1 + \lambda_2)z - (\lambda_1\lambda_2 + e^2)(cy - b'z) + bc\lambda_1\lambda_2t = 0. \end{cases}$$

Infolge der Substitution (10) und den daraus abgeleiteten Beziehungen:

$$(20) \begin{cases} bx - a'y = b\xi + (abe^2 - a'b' + a''b) \left( \frac{\eta}{p} + \frac{\xi}{q} \right), \\ cy - b'z = bc \left\{ e \left( \frac{\eta}{p} - \frac{\xi}{q} \right) + \frac{3}{4} \tau \right\}, \\ cx - a''z = c \left\{ \xi + ae^2 \left( \frac{\eta}{p} + \frac{\xi}{q} \right) + a'e \left( \frac{\eta}{p} - \frac{\xi}{q} \right) + \frac{3}{4} a'\tau \right\} \end{cases}$$

nehmen die Gleichungen (19) die Form an:

$$(21) \begin{cases} \frac{\xi}{ae} + e \left( \frac{\lambda_1 \lambda_2}{e^2} - \frac{\lambda_1 + \lambda_2}{e} + 1 \right) \frac{\eta}{p} + e \left( \frac{\lambda_1 \lambda_2}{e^2} + \frac{\lambda_1 + \lambda_2}{e} + 1 \right) \frac{\xi}{q} - \frac{3}{4} \frac{\lambda_1 + \lambda_2}{e} \tau = 0, \\ -e \left( \frac{\lambda_1 \lambda_2}{e^2} - \frac{\lambda_1 + \lambda_2}{e} + 1 \right) \frac{\eta}{p} + e \left( \frac{\lambda_1 \lambda_2}{e^2} + \frac{\lambda_1 + \lambda_2}{e} + 1 \right) \frac{\xi}{q} + \frac{1}{4} \left( \frac{\lambda_1 \lambda_2}{e^2} - 3 \right) \tau = 0. \end{cases}$$

Hieraus ergibt sich dann in der neuen Bezeichnung (16):

$$(22) \begin{cases} 8 \frac{x}{a} - (\lambda_1 - 1)(\lambda_2 - 1) \frac{y}{b} - (\lambda_1 + 1)(\lambda_2 + 1) \frac{z}{c} - 6(\lambda_1 + \lambda_2)t = 0, \\ (\lambda_1 - 1)(\lambda_2 - 1) \frac{y}{b} - (\lambda_1 + 1)(\lambda_2 + 1) \frac{z}{c} + 2(\lambda_1 \lambda_2 - 3)t = 0, \end{cases}$$

und mit Elimination von  $y$  oder  $z$ :

$$(23) \begin{cases} 4 \frac{x}{a} - (\lambda_1 + 1)(\lambda_2 + 1) \frac{z}{c} + (\lambda_1 \lambda_2 - 3)(\lambda_1 + \lambda_2 - 3)t = 0, \\ -4 \frac{x}{a} + (\lambda_1 - 1)(\lambda_2 - 1) \frac{y}{b} + (\lambda_1 \lambda_2 + 3)(\lambda_1 + \lambda_2 - 3)t = 0. \end{cases}$$

7. Die Gleichungen der Achse. Die Gleichungen der Achse  $\lambda_1 \times \lambda_2$  sind nach § 8, (4):

$$(24) \begin{cases} 3a\lambda_1\lambda_2u + (a'u + bv + s)(\lambda_1 + \lambda_2) + (a''u + b'v + cw) = 0, \\ (a'u + bv + s)\lambda_1\lambda_2 + (a''u + b'v + cw)(\lambda_1 + \lambda_2) - 3e^2s = 0. \end{cases}$$

Infolge der Substitution (12) und den daraus folgenden Beziehungen:

$$(25) \quad a'u + bv + s = \frac{pv' - qw'}{8e} + s', \quad a''u + b'v + cw = -ae^2u' + \frac{pv' + qw'}{2}$$

nehmen die Gleichungen (24) die Form an:

$$(26) \begin{cases} ae \left( 3 \frac{\lambda_1 \lambda_2}{e^2} - 1 \right) u' + \frac{p}{8e} \left( \frac{\lambda_1 + \lambda_2}{e} + 4 \right) v' - \frac{q}{8e} \left( \frac{\lambda_1 + \lambda_2}{e} - 4 \right) w' \\ \quad + \frac{\lambda_1 + \lambda_2}{e} s' = 0, \\ -ae \frac{\lambda_1 + \lambda_2}{e} u' + \frac{p}{8e} \left( \frac{\lambda_1 \lambda_2}{e^2} + 4 \frac{\lambda_1 + \lambda_2}{e} + 9 \right) v' \\ \quad - \frac{q}{8e} \left( \frac{\lambda_1 \lambda_2}{e^2} - 4 \frac{\lambda_1 + \lambda_2}{e} + 9 \right) + \left( \frac{\lambda_1 \lambda_2}{e^2} - 3 \right) s' = 0, \end{cases}$$

und endlich in der neuen Bezeichnung (16):

$$(27) \begin{cases} (3\lambda_1\lambda_2 - 1)au - (\lambda_1 + \lambda_2 + 4)bv + (\lambda_1 + \lambda_2 - 4)cw + (\lambda_1 + \lambda_2)s = 0, \\ (\lambda_1 + \lambda_2)au + (\lambda_1\lambda_2 + 4(\lambda_1 + \lambda_2) + 9)bv \\ \quad - (\lambda_1\lambda_2 - 4(\lambda_1 + \lambda_2) + 9)cw - (\lambda_1\lambda_2 - 3)s. \end{cases}$$

**8. Die Gleichungen der Tangente.** Aus (23) und (27) folgen die *Gleichungen der Tangente des Punktes  $\lambda$*  in Punkt- und Ebenenkoordinaten:

$$(28) \begin{cases} -4\frac{x}{a} + (\lambda - 1)^2\frac{y}{b} + (\lambda^2 + 6\lambda - 3)t = 0, \\ 4\frac{x}{a} - (\lambda + 1)^2\frac{z}{c} + (\lambda^2 - 6\lambda - 3)t = 0, \end{cases}$$

$$(29) \begin{cases} (3\lambda^2 - 1)au - 2(\lambda + 2)bv + 2(\lambda - 2)cw + 2\lambda s = 0, \\ 2\lambda au + (\lambda^2 + 8\lambda + 9)bv - (\lambda^2 - 8\lambda + 9)cw - (\lambda^2 - 3)s = 0 \end{cases}$$

und daraus die *Parameterdarstellung der Strahlenkoordinaten der Tangente*:

$$(30) \begin{cases} p_{23} = 8bc(\lambda^2 - 3), & p_{31} = -ca(\lambda - 1)^2(\lambda^2 - 6\lambda - 3), \\ p_{13} = -ab(\lambda + 1)^2(\lambda^2 + 6\lambda - 3), & p_{14} = a(\lambda^2 - 1)^2, \\ p_{24} = 4b(\lambda + 1)^2, & p_{34} = 4c(\lambda - 1)^2. \end{cases}$$

**9. Sehnenkegel und Achsenkegelschnitt.** Durch Elimination von  $\lambda_2$  aus den beiden Gleichungen (23) folgt, indem nachträglich  $\lambda$  für  $\lambda_1$  gesetzt wird:

*Der Sehnenkegel des Punktes  $\lambda$  der kub. Hyperbel (17) hat die Gleichung:*

$$(31) \begin{cases} (\lambda^2 - 1)\frac{y}{b}\frac{z}{c} + 2(\lambda + 1)\frac{z}{c}\frac{x}{a} - 2(\lambda - 1)\frac{x}{a}\frac{y}{b} - 4\lambda\frac{x}{a}t \\ + (\lambda - 1)(\lambda + 3)\frac{y}{b}t - (\lambda + 1)(\lambda - 3)\frac{z}{c}t + 3(\lambda^2 + 3)t^2 = 0. \end{cases}$$

Ebenso folgt im Anschluß an (27):

*Der Achsenkegelschnitt in der Schmiegungeebene  $\lambda$  hat die Gleichung:*

$$(32) \begin{cases} (3\lambda^2 + 1)a^2u^2 + ((\lambda + 2)^2 + 3)b^2v^2 + ((\lambda - 2)^2 + 3)c^2w^2 \\ + (\lambda^2 + 3)s^2 - 2(\lambda + 5)(\lambda - 5)bcvw + 4(\lambda - 2)(3\lambda - 1)cawu \\ + 4(\lambda + 2)(3\lambda + 1)abuv + 8\lambda aus - 2(\lambda - 1)(\lambda + 3)bvs \\ + 2(\lambda + 1)(\lambda - 3)cws = 0. \end{cases}$$

## § 20. Die kub. Hyperbel im natürlichen Koordinatensystem.

**1. Das natürliche Koordinatensystem.** Das natürliche Koordinatensystem  $Oxyz$  der kub. Hyperbel hat als Anfangspunkt  $O$  den



*Mittelpunkt* der Kurve, während seine Achsen  $x, y, z$  parallel sind den drei *Asymptoten*.

Die Parameterdarstellung der *Punkte*, *Schmiegungebenen* und *Tangenten* im System  $Oxyz$  wurde in § 19, (17); (18); (30) erhalten, die Gleichungen der *Sehnen*, *Achsen* und *Tangenten* in § 19, (23); (27); (28), des *Sehnenkegels* und *Achsenkegelschnittes* in § 19, (31); (32).

Wir legen nunmehr diese Gleichungen der Untersuchung der kub. Hyperbel zugrunde. Dabei werden alle vom Parameter  $\lambda$  freien Gleichungssysteme (s. z. B. (2); (4); (8)) vollkommen symmetrisch in  $x, y, z$  und  $a, b, c$ . Dasselbe würde auch für die mit dem Parameter  $\lambda$  behafteten Gleichungssysteme (s. z. B. (23), (24)) gelten, wenn wir den drei unendlich fernen Punkten die gleichbezeichneten Parameter  $\lambda = \alpha, \beta, \gamma$  (§ 34, 15) an Stelle von  $\lambda = \infty, 1, -1$  geben wollten, was jedoch die Formeln übrigens weitläufiger gestalten würde.

**2. Die drei unendlich fernen Punkte.** Die Form der Gleichungen § 19, (17); (18) hat folgende Bedeutung.

Die *drei unendlich fernen Punkte*  $t = 0$  der kub. Hyperbel gehören nach der vierten Gleichung § 19, (17) zu den *Parameterwerten*:

$$(1) \quad \lambda = \infty, \lambda = 1, \lambda = -1$$

und sind nach den drei ersten Gleichungen § 19, (17) die unendlich fernen Punkte der Achsen  $x, y, z$ .

Wenn die drei durch einen Punkt des Raumes gehenden Schmiegungebenen alle drei zusammenfallen, so liegt der Punkt nach § 7, 8 auf der Kurve. Daher haben die Gleichungen  $u = 0; v = 0; w = 0$

der drei unendlich fernen Punkte der Achsen  $x; y; z$  in Ebenenkoordinaten, nach § 19, (18), je einen der Werte (1) als dreifache Wurzel.

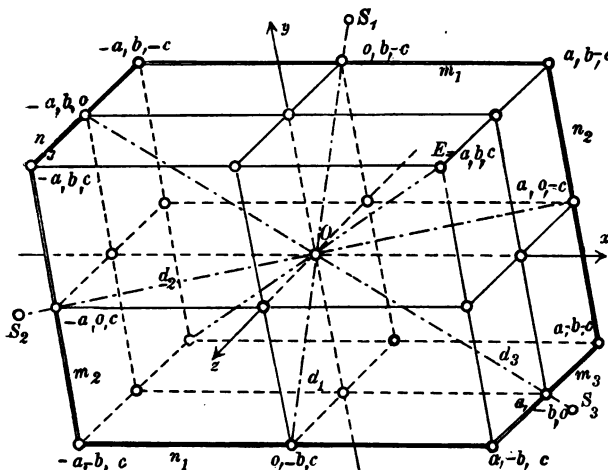


Fig. 38.

**3. Die Asymptoten und das Parallelepi-  
pedon.** Die drei *Asymptoten*  $n_1, n_2, n_3$  der kub. Hyperbel haben als Tangenten in den Punkten (1) nach § 19, (28) mit  $t = 1$  die Gleichungen:

$$(2) \quad n_1 : y = -b, z = c; \quad n_2 : z = -c, x = a; \quad n_3 : x = -a, y = b.$$

Sie sind den Achsen  $x, y, z$  parallel. Um ihre Lage zu übersehen, konstruieren wir bei gegebenem System  $Oxyz$  den Punkt:

$$(3) \quad E = a, b, c,$$

dessen Koordinaten nach § 19, (17) bei geeigneter Wahl der Pfeilspitzen der Achsen  $x, y, z$  positiv gelten können, und vervollständigen das durch diesen Punkt bestimmte „*Parallelepipedon der kub. Hyperbel*“ mit den acht Ecken  $\pm a, \pm b, \pm c$ . Dann bilden die Asymptoten (2) drei Kanten dieses Parallelepipedons (Fig. 38), von denen keine eine der beiden andern schneidet.

**4. Die drei Asymptotenebenen.** Die drei Asymptotenebenen  $A_1, A_2, A_3$  der kub. Hyperbel haben als Schmiegungebenen in den Punkten (1) nach § 19, (18) mit  $t = 1$  die Gleichungen:

$$(4) \quad A_1 : \frac{y}{b} - \frac{z}{c} + 2 = 0; \quad A_2 : \frac{z}{c} - \frac{x}{a} + 2 = 0; \quad A_3 : \frac{x}{a} - \frac{y}{b} + 2 = 0.$$

Sie gehen alle drei durch den unendlich fernen Punkt  $x = a, y = b, z = c, t = 0$ , bilden also ein *Prisma*, dessen Kanten:

$$(5) \quad \begin{cases} x : y - 2b : z + 2c = a : b : c; & x + 2a : y : z - 2c = a : b : c; \\ & x - 2a : y + 2b : z = a : b : c \end{cases}$$

die Richtung der Diagonale  $OE$  des Parallelepipedons (Fig. 38) haben.

**5. Die drei hyperbolischen Zylinder.** Die drei durch die kub. Hyperbel gehenden hyperbolischen Zylinder haben als Sehnenkegel der Punkte (1) nach § 19, (31) die Gleichungen:

$$(6) \quad \begin{cases} \left(\frac{y}{b} - 1\right) \left(\frac{z}{c} + 1\right) + 4 = 0, & \left(\frac{z}{c} - 1\right) \left(\frac{x}{a} + 1\right) + 4 = 0, \\ & \left(\frac{x}{a} - 1\right) \left(\frac{y}{b} + 1\right) + 4 = 0. \end{cases}$$

Sie enthalten je eine der Asymptoten (2).

Ihre *Mittelpunktsachsen*  $m_1, m_2, m_3$  (Fig. 38) sind nach der Form der Gleichungen (6):

$$(7) \quad m_1 : y = b, z = -c; \quad m_2 : z = c, x = -a; \quad m_3 : x = a, y = -b.$$

Die *Mittelpunktsachsen*  $m_1, m_2, m_3$  sind daher die parallelen *Gegenkanten der Asymptoten*  $n_1, n_2, n_3$  im Parallelepipedon der kub. Hyperbel.

Die *Verbindungsebenen der Asymptoten mit den gleichnamigen Mittelpunktsachsen* sind die *Diagonalebenen*:

$$(8) \quad \frac{y}{b} + \frac{z}{c} = 0, \quad \frac{z}{c} + \frac{x}{a} = 0, \quad \frac{x}{a} + \frac{y}{b} = 0$$

des Parallelepipedons.

Die Asymptotenebenen:

$$(9) \quad y = b, z = -c; \quad z = c, x = -a; \quad x = a, y = -b$$

der drei hyperbolischen Zylinder (6) sind die sechs Seitenebenen des Parallelepipedons und verbinden jedesmal die Mittelpunktsachse eines Zylinders mit den beiden ungleichnamigen Asymptoten.

**6. Die drei Scheitelpunkte.** Neben den drei Parameterwerten (1) sind im § 19, (17); (18) die drei Parameterwerte:

$$(10) \quad \lambda = 0, \quad \lambda = -3, \quad \lambda = 3$$

ausgezeichnet. Die ihnen nach § 19, (17) entsprechenden Punkte der Kurve:

$$(11) \quad S_1: x = 0, y = 3b, z = -3c \quad S_2: x = -3a, y = 0, z = 3c; \\ S_3: x = 3a, y = -3b, z = 0$$

liegen in den durch die bezügliche Asymptote gehenden Diametral-ebenen (8) der drei hyperbolischen Zylinder, sind also (§ 11, (7); § 19, (16)) die drei Scheitelpunkte der kub. Hyperbel (in Fig. 38 sind die Strecken  $OS_1, OS_2, OS_3$  der Raumpersparnis wegen verkürzt angegeben).

In jeder der drei Koordinatenebenen  $x = 0, y = 0, z = 0$  liegt nach § 19, (17), außer zwei unendlich fernen Punkten (1) der Kurve, als dritter Kurvenpunkt einer der Scheitelpunkte (10).

**7. Die drei Scheiteltangenten.** Mit den Werten (10) von  $\lambda$  ergeben sich aus § 19, (28) die drei Scheiteltangenten der kub. Hyperbel. Ihre Gleichungen lassen sich im Anschluß an (11) in die Form bringen:

$$(12) \quad x:y-3b:z+3c = a:4b:4c; \quad x+3a:y:z-3c = 4a:b:4c; \\ x-3a:y+3b:z = 4a:4b:c.$$

Da sie bezüglich in den Ebenen:

$$(13) \quad \frac{y}{b} - \frac{z}{c} - 6 = 0; \quad \frac{z}{c} - \frac{x}{a} - 6 = 0, \quad \frac{x}{a} - \frac{y}{b} - 6 = 0$$

liegen, sind sie je einer Asymptotenebene (4) parallel.

**8. Die drei Scheitelschmiegungebenen.** Aus § 19, (18) folgen mit den Werten (10) die Koordinaten und danach die Gleichungen der drei Scheitelschmiegungebenen:

$$(14) \quad 8\frac{x}{a} - \frac{y}{b} - \frac{z}{c} = 0; \quad 8\frac{y}{b} - \frac{z}{c} - \frac{x}{a} = 0; \quad 8\frac{z}{c} - \frac{x}{a} - \frac{y}{b} = 0.$$

Es sind in Übereinstimmung mit der letzten Gleichung § 19, (18) diejenigen Schmiegungebenen (10), die durch den Anfangspunkt  $O(s=0)$  gehen. In der Tat war nach § 19, 2 der Mittelpunkt  $O$  der kub. Hyperbel der Schnittpunkt der drei Scheitelschmiegungebenen.

**9. Der Komplex der Tangenten.** Die Tangenten einer Raumkurve 3. O. gehören nach § 8, 7 einem linearen Strahlenkomplex an. Um dessen Gleichung im jetzigen natürlichen System  $Oxyz$ :

$$(15) \quad a_{23}p_{23} + a_{31}p_{31} + a_{12}p_{12} + a_{14}p_{14} + a_{24}p_{24} + a_{34}p_{34} = 0$$

zu erhalten, genügt die Kenntnis von fünf Komplexstrahlen. Solche sind aber die Asymptoten (2) mit den Strahlenkoordinaten:

$$0, c, b, -1, 0, 0; \quad c, 0, a, 0, -1, 0; \quad b, a, 0, 0, 0, -1,$$

durch die die Gleichung (15) auf:

$$(16) \quad \begin{cases} a_{23}(p_{23} + cp_{24} + bp_{34}) + a_{31}(p_{31} + ap_{34} + cp_{14}) \\ \quad + a_{12}(p_{12} + bp_{14} + ap_{24}) = 0 \end{cases}$$

zurückkommt; ferner die beiden letzten Scheiteltangenten (12) mit den Koordinaten (I § 48, (18)):

$$3bc, -24ca, 3ab, 4a, b, 4c; \quad 3bc, 3ca, -24ab, 4a, 4b, c,$$

mit denen aus (16)  $a_{23}:a_{31}:a_{12} = a:b:c$  folgt.

Der lineare Komplex, dem die Tangenten der kub. Hyperbel angehören, ist:

$$(17) \quad ap_{23} + bp_{31} + cp_{12} + 2bcp_{14} + 2cap_{24} + 2abp_{34} = 0.$$

**10. Pol und Polarebene.** Zwischen Pol  $x, y, z, t$  und Polarebene  $u, v, w, s$  in bezug auf den Komplex (17) bestehen nach § 8, (22) bis auf einen Proportionalitätsfaktor die Beziehungen:

$$(18) \quad \begin{cases} au = \frac{y}{b} - \frac{z}{c} + 2t, \\ bv = \frac{z}{c} - \frac{x}{a} + 2t, \\ cw = \frac{x}{a} - \frac{y}{b} + 2t, \\ s = -2\frac{x}{a} - 2\frac{y}{b} - 2\frac{z}{c}; \end{cases} \quad (19) \quad \begin{cases} \frac{x}{a} = 2bv - 2cw + s, \\ \frac{y}{b} = 2cw - 2au + s, \\ \frac{z}{c} = 2au - 2bv + s, \\ t = -au - bv - cw. \end{cases}$$

Es sind zugleich die Beziehungen zwischen Pol und Polarebene in bezug auf die kub. Hyperbel (§ 8, 9, II).

**11. Die Hauptebene.** Mit  $x=0, y=0, z=0, t=1$  folgt aus (18):  $au=2, bv=2, cw=2, s=0$ , also:

Die Polarebene des Mittelpunktes  $O$  der kub. Hyperbel ist:

$$(20) \quad \frac{x}{a} + \frac{y}{b} + \frac{z}{c} = 0.$$

Sie ist in der Tat die Verbindungsebene der drei Scheitelpunkte (11), der Schmiegunbspunkte der drei durch  $O$  gehenden Schmiegungs-ebenen (10) (§ 8, 9, II).

Wir nennen sie die *Hauptebene der kub. Hyperbel*.

**12. Die Hauptachse.** Mit  $u = 0, v = 0, w = 0, s = 1$  folgt aus (19):  $x = a, y = b, z = c, t = 0$ , also:

I. Der Pol der unendlich fernen Ebene ist:

$$(21) \quad x : y : z = a : b : c, \quad t = 0.$$

Er ist in der Tat der Schnittpunkt der drei Schmiegungs-ebenen (4) der unendlich fernen Punkte (1).<sup>1)</sup>

Die den Mittelpunkt  $O$  mit dem Punkte (21) verbindende Gerade:

$$(22) \quad x : y : z = a : b : c$$

die Diagonale  $OE$  des Parallelepipedons (Fig. 38) soll die *Hauptachse der kub. Hyperbel* heißen.

Der Pol irgend einer zur Hauptebene (20) parallelen Ebene:  $u = 1 : a, v = 1 : b, w = 1 : c, s$  hat nach (19) die Koordinaten  $x = as, y = bs, z = cs, t = -3$ , liegt also auf (22) oder:

II. Die Hauptachse der kub. Hyperbel ist derjenige Durchmesser des Komplexes (17) (II § 87, 2), auf dem die Pole aller zur Hauptebene der kub. Hyperbel parallelen Ebenen liegen.

**13. Die drei Achsendurchmesser.** Die Bedingung, daß die Sehne  $\lambda_1 \lambda_2$  und die Mittelpunktsachse  $m_1$  sich in einem Punkte  $x, y, z, (t = 1)$  schneiden, ergibt sich durch Einsetzen der Werte  $y = b, z = -c, t = 1$  aus (7) in die Gleichungen § 19, (23), die dann zugleich auch  $x$  bestimmen. Indem man das Gleiche auch für  $m_2$  und  $m_3$  ausführt, findet man:

Die Sehne  $\lambda_1 \lambda_2$  schneidet die Mittelpunktsachsen  $m_1, m_2, m_3$  der drei hyperbol. Zylinder bezüglich unter den Bedingungen:

$$(23) \quad \lambda_1 \lambda_2 = 1; \quad \lambda_1 + \lambda_2 = -2; \quad \lambda_1 + \lambda_2 = 2,$$

worauf der Schnittpunkt, der Halbierungspunkt der Sehne (§ 11, 9), neben den beiden bereits durch (7) bestimmten Koordinaten die dritte hat:

$$(24) \quad x = a \frac{\lambda_1 + \lambda_2}{2}, \quad y = -b \frac{\lambda_1 \lambda_2 - 5}{\lambda_1 \lambda_2 + 3}, \quad z = c \frac{\lambda_1 \lambda_2 - 5}{\lambda_1 \lambda_2 + 3}.$$

1) R. Mehmke, Zeitschr. Math. Phys. 40 (1896), S. 240.

Um zu gegebenem Punkte einer der Mittelpunktsachsen die von ihm halbierte Sehne zu bestimmen, bestimmt man aus (23) und (24) jedesmal  $\lambda_1 \lambda_2$  und  $\lambda_1 + \lambda_2$  und damit die quadratische Gleichung für  $\lambda_1$  und  $\lambda_2$ :

$$(25) \quad \begin{cases} \lambda^2 - 2 \frac{x}{a} \lambda + 1 = 0, & \left(1 + \frac{y}{b}\right)(\lambda^2 + 2\lambda) + \left(5 - 3 \frac{y}{b}\right) = 0; \\ \left(\frac{z}{c} - 1\right)(\lambda^2 - 2\lambda) - \left(5 + 3 \frac{z}{c}\right) = 0. \end{cases}$$

Die Wurzeln dieser Gleichungen sind reell, wenn:

$$\frac{x^2}{a^2} - 1 > 0; \quad \frac{y^2}{b^2} - 1 > 0; \quad \frac{z^2}{c^2} - 1 > 0;$$

Die Mittelpunktsachsen  $m_1, m_2, m_3$  werden nur außerhalb der Abschnitte, mit denen sie dem Parallelepipedon (Fig. 38) als Kanten angehören, von reellen Sehnen getroffen.

Die in den beiden Endpunkten einer solchen Kante treffenden Sehnen sind die beiden mit ihr ungleichnamigen Asymptoten  $n_1, n_2, n_3$ .

**14. Die drei Scheiteldurchmesser.** Zwei Punkte  $\lambda_1$  und  $\lambda_2$  der kub. Hyperbel haben nach § 19, (17) die gemeinen Koordinaten:

$$(26) \quad \begin{cases} x_1 = a \lambda_1, & y_1 = -b \frac{\lambda_1 + 3}{\lambda_1 - 1}, & z_1 = c \frac{\lambda_1 - 3}{\lambda_1 + 1}, \\ x_2 = a \lambda_2, & y_2 = -b \frac{\lambda_2 + 3}{\lambda_2 - 1}, & z_2 = c \frac{\lambda_2 - 3}{\lambda_2 + 1}. \end{cases}$$

Der Mittelpunkt der Sehne  $\lambda_1 \lambda_2$  ist daher:

$$(27) \quad x = a \frac{\lambda_1 + \lambda_2}{2}, \quad y = -b \frac{\lambda_1 \lambda_2 + (\lambda_1 + \lambda_2) - 3}{\lambda_1 \lambda_2 - (\lambda_1 + \lambda_2) + 1}, \quad z = c \frac{\lambda_1 \lambda_2 - (\lambda_1 + \lambda_2) - 3}{\lambda_1 \lambda_2 + (\lambda_1 + \lambda_2) + 1}.$$

Macht man insbesondere Summe und Produkt von  $\lambda_1$  und  $\lambda_2$  auf eine der drei Weisen:

$$(28) \quad \begin{cases} \lambda_1 + \lambda_2 = 0, & \lambda_1 \lambda_2 = \frac{3 - \sigma}{1 + \sigma}; & \lambda_1 + \lambda_2 = -2\sigma, & \lambda_1 \lambda_2 = 2\sigma + 3; \\ & \lambda_1 + \lambda_2 = 2\sigma, & \lambda_1 \lambda_2 = 2\sigma + 3 \end{cases}$$

von einem Parameter  $\sigma$  abhängig, so geben die Formeln (27) für den Mittelpunkt der Sehne  $\lambda_1 \lambda_2$  bezüglich:

$$(29) \quad \begin{cases} x = 0, & y = b\sigma, & z = -c\sigma; & x = -a\sigma, & y = 0, & z = c\sigma; \\ & x = a\sigma, & y = -b\sigma, & z = 0. \end{cases}$$

Die Gleichungen (29) stellen aber bei veränderlichem  $\sigma$  drei gerade Linien dar, die den Mittelpunkt  $O$  der kub. Hyperbel,  $\sigma = 0$ , mit den drei Scheitelpunkten (11),  $\sigma = 3$ , verbinden.

I. Die Verbindungslinien des Mittelpunktes mit den drei Scheitelpunkten sind die drei Scheiteldurchmesser der kub. Hyperbel.<sup>1)</sup>

Unter Elimination von  $\sigma$  folgt nämlich (§ 11, 8) aus (28):

II. Jeder der drei Scheiteldurchmesser  $d_1, d_2, d_3$  (Fig. 38) halbiert alle Sehnen  $\lambda_1 \lambda_2$  für die bezüglich:

$$(30) \quad \lambda_2 = -\lambda_1, \quad \lambda_2 = -\frac{\lambda_1 - 3}{\lambda_1 + 1}; \quad \lambda_2 = \frac{\lambda_1 + 3}{\lambda_1 - 1}.$$

Die drei Scheiteldurchmesser sind nach (29) auch durch die Gleichungenpaare:

$$(31) \quad \begin{cases} d_1 : x = 0, & \frac{y}{b} + \frac{z}{c} = 0; & d_2 : y = 0, & \frac{z}{c} + \frac{x}{a} = 0; \\ & & d_3 : z = 0, & \frac{x}{a} + \frac{y}{b} = 0 \end{cases}$$

dargestellt und daher die Schnittlinien der Hauptebene (20) mit den Koordinatenebenen.

**15. Realität der halbierten Sehnen.** Um zu gegebenem Punkte  $\sigma$  eines Scheiteldurchmessers (29) die von ihm halbierte Sehne zu finden, entnimmt man aus (28) die quadratische Gleichung für  $\lambda_1, \lambda_2$ :

$$\lambda^2 + \frac{3-\sigma}{1+\sigma} = 0; \quad \lambda^2 + 2\sigma\lambda + 2\sigma + 3 = 0; \quad \lambda^2 - 2\sigma\lambda + 2\sigma + 3 = 0$$

und erhält die Wurzeln:

$$(32) \quad \begin{cases} \lambda_1, \lambda_2 = \pm \sqrt{\frac{\sigma-3}{\sigma+1}}; & \lambda_1, \lambda_2 = -\sigma \pm \sqrt{(\sigma+1)(\sigma-3)}; \\ & \lambda_1, \lambda_2 = \sigma \pm \sqrt{(\sigma+1)(\sigma-3)}. \end{cases}$$

Daher werden die Scheiteldurchmesser  $d_1, d_2, d_3$  nur außerhalb der Strecke vom Scheitelpunkt (11),  $\sigma = 3$  in (29), bis zum Durchschnittspunkt mit der gleichnamigen Asymptote (2),  $\sigma = -1$  in (29), von reellen Sehnen getroffen (Fig. 39).

**16. Besondere halbierte Sehnen.** Die von den Endpunkten dieser Strecke halbierten Sehnen sind nach (32) und (10) die Scheiteltangenten  $\sigma = 3$  und nach (32) und (1) die Asymptoten  $\sigma = -1$ .

Mit  $\sigma = -3:2$  ergibt sich aus (32):  $\lambda_1, \lambda_2 = -3, 3; 3, 0; 0, -3$ , woraus nach (10) folgt:

I Die Scheiteldurchmesser halbieren in  $M_1, M_2, M_3$  die Seiten des Scheitelpunktsdreiecks  $S_1 S_2 S_3$ , sind also dessen Transversalen  $S_1 M_1, S_2 M_2, S_3 M_3$  (Fig. 42).

1) Der Mittelpunkt als Schnittpunkt der drei Durchmesser bei L. Geisenheimer, Zeitschr. Math. Phys. 27 (1882), S. 322.

Der gemeinsame Punkt  $O$ ,  $\sigma = 0$ , der drei Durchmesser (29), halbiert nach jeder der drei Angaben (32) die Sehne:

$$\lambda_1 = i\sqrt{3}, \quad \lambda_2 = -i\sqrt{3} \quad (\lambda_1 + \lambda_2 = 0, \lambda_1 \lambda_2 = 3)$$

oder nach § 19, (23):

$$-\frac{x}{a} + \frac{y}{b} = 0, \quad \frac{x}{a} - \frac{z}{c} = 0.$$

Dies bedeutet nach (22):

II. Die Hauptachse der kub. Hyperbel ist die durch den Mittelpunkt  $O$  gehende Sehne (§ 8, 3), die von jedem der drei Durchmesser halbiert wird.

Sie hat keine reellen Endpunkte  $\lambda_1, \lambda_2$ , während durch  $O$  drei reelle Schmiegungebenen gehen (§ 26, 10).

**17. Schließungssatz über ein Sehnensechseck.** Zu jedem Punkte  $\lambda_1$  der kub. Hyperbel gehören nach (30) drei bestimmte Punkte  $\lambda_2$ , deren Verbindungslinien  $\lambda_1 \lambda_2$  mit  $\lambda_1$  je von einem der Durchmesser  $d_1, d_2, d_3$  halbiert werden.

Geht man von einem Punkte  $\lambda_1 = \lambda$  aus und bestimmt dann, indem man die Reihe (30) zweimal durchläuft, die weiteren Punkte:

$$(33) \quad \begin{cases} \lambda_2 = -\lambda, & \lambda_3 = -\frac{\lambda_2 - 3}{\lambda_2 + 1} = -\frac{\lambda + 3}{\lambda - 1}, & \lambda_4 = \frac{\lambda_3 + 3}{\lambda_3 - 1} = -\frac{\lambda - 3}{\lambda + 1}, \\ \lambda_5 = -\lambda_4 = \frac{\lambda - 3}{\lambda + 1}, & \lambda_6 = -\frac{\lambda_5 - 3}{\lambda_5 + 1} = \frac{\lambda + 3}{\lambda - 1}, & \lambda_7 = \frac{\lambda_6 + 3}{\lambda_6 - 1} = \lambda, \end{cases}$$

so schließt sich die Reihe, indem  $\lambda_7$  wieder in  $\lambda_1 = \lambda$  fällt, zu einem Sehnensechseck, dessen gegenüberliegende Seitenpaare  $\lambda_1 \lambda_2$  und  $\lambda_4 \lambda_5$ ;  $\lambda_2 \lambda_3$  und  $\lambda_5 \lambda_6$ ;  $\lambda_3 \lambda_4$  und  $\lambda_6 \lambda_1$  bezüglich von den Durchmessern  $d_1, d_2, d_3$  halbiert werden (Fig. 42 sind drei solche Sechsecke dargestellt, die den Werten  $\lambda_1 = 2, \frac{5}{3}, \frac{3}{2}$  entsprechen).

Für  $\lambda_1 = 0, -3$  oder  $3$  entartet das Sehnensechseck in das Scheitelpunktsdreieck in 16, I, entweder in Verbindung mit den drei Scheiteltangenten ( $S_1 S_2 S_3$  und  $t_1, t_2, t_3$  in Fig. 42) oder verdoppelt.

Die Koordinaten der sechs Punkte (33) entsprechen nach (26) den Gleichungen:

$$\begin{aligned} \frac{x_1}{a} = \lambda, \quad \frac{y_1}{b} = -\frac{\lambda + 3}{\lambda - 1}, \quad \frac{z_1}{c} = \frac{\lambda - 3}{\lambda + 1}; \quad \frac{x_2}{a} = -\lambda, \quad \frac{y_2}{b} = -\frac{\lambda - 3}{\lambda + 1}, \quad \frac{z_2}{c} = \frac{\lambda + 3}{\lambda - 1}; \\ \frac{x_3}{a} = -\frac{\lambda + 3}{\lambda - 1}, \quad \frac{y_3}{b} = \frac{\lambda - 3}{\lambda + 1}, \quad \frac{z_3}{c} = \lambda; \quad \frac{x_4}{a} = -\frac{\lambda - 3}{\lambda + 1}, \quad \frac{y_4}{b} = \frac{\lambda + 3}{\lambda - 1}, \quad \frac{z_4}{c} = -\lambda; \\ \frac{x_5}{a} = \frac{\lambda - 3}{\lambda + 1}, \quad \frac{y_5}{b} = \lambda, \quad \frac{z_5}{c} = -\frac{\lambda + 3}{\lambda - 1}; \quad \frac{x_6}{a} = \frac{\lambda + 3}{\lambda - 1}, \quad \frac{y_6}{b} = -\lambda, \quad \frac{z_6}{c} = -\frac{\lambda - 3}{\lambda + 1}. \end{aligned}$$

Danach liegen die Punkte  $\lambda_1, \lambda_3, \lambda_5$ , sowie die Punkte  $\lambda_2, \lambda_4, \lambda_6$  bezüglich in den Ebenen:



$$\frac{x}{a} + \frac{y}{b} + \frac{z}{c} = \lambda - \frac{\lambda+3}{\lambda-1} + \frac{\lambda-3}{\lambda+1}; \quad \frac{x}{a} + \frac{y}{b} + \frac{z}{c} = -\lambda - \frac{\lambda-3}{\lambda+1} + \frac{\lambda+3}{\lambda-1}$$

oder:

$$\frac{x}{a} + \frac{y}{b} + \frac{z}{c} = \frac{\lambda^3 - 9\lambda}{\lambda^2 - 1}; \quad \frac{x}{a} + \frac{y}{b} + \frac{z}{c} = -\frac{\lambda^3 - 9\lambda}{\lambda^2 - 1}.$$

Sowohl die drei ungeraden, als die drei geraden Ecken des Sechsecks (33) liegen in einer zur Hauptebene (20) parallelen Ebene. Die beiden parallelen Ebenen liegen zu beiden Seiten der Hauptebene in gleichem Abstand von ihr und fallen für  $\lambda = 0, -3$  oder  $3$  in sie hinein.

**18. Die Doppelpyramidengruppe<sup>1)</sup> der kub. Hyperbel.** Durch die sechs linearen Substitutionen:

$$(34) \quad s_0: \lambda' = \lambda; \quad s_1: \lambda' = -\lambda; \quad s_2: \lambda' = -\frac{\lambda-3}{\lambda+1}; \quad s_3: \lambda' = \frac{\lambda+3}{\lambda-1}; \\ s_4: \lambda' = -\frac{\lambda+3}{\lambda-1}; \quad s_5: \lambda' = \frac{\lambda-3}{\lambda+1}$$

geht nach (33) der Punkt  $\lambda_1 = \lambda$  auch unmittelbar in jeden der sechs Punkte  $\lambda' = \lambda_1, \lambda_2, \lambda_4, \lambda_6, \lambda_3, \lambda_5$  über.

Die Substitutionen (34) aber bilden eine Gruppe mit den Merkmalen:

$$(35) \quad \begin{cases} s_1^2 = 1, s_2^2 = 1, s_3^2 = 1; s_4^2 = s_5, s_5^2 = s_4; s_4^3 = 1, s_5^3 = 1; \\ s_2 s_3 = s_3 s_1 = s_1 s_2 = s_4; s_3 s_2 = s_1 s_3 = s_2 s_1 = s_5; \\ s_1 s_4 = s_5 s_1 = s_2, s_2 s_4 = s_5 s_2 = s_3, s_3 s_4 = s_5 s_3 = s_1; \\ s_4 s_1 = s_1 s_5 = s_3, s_4 s_2 = s_2 s_5 = s_1, s_4 s_3 = s_3 s_5 = s_2; s_4 s_5 = s_5 s_4 = 1. \end{cases}$$

Die geometrische Bedeutung der drei Substitutionen  $s_1, s_2, s_3$  der Gruppe ist in 14, II enthalten. In Fig. 42 wird auch  $P_1 P_2$  von  $d_1$ ,  $P_1 P_4$  von  $d_2$ ,  $P_1 P_6$  von  $d_3$  halbiert.

Durch jede Substitution der Gruppe, angewendet auf alle Punkte  $\lambda$ , geht die kub. Hyperbel in sich über.

**19. Flächen der von den Scheiteldurchmessern halbierten Sehnen.** Die Gleichungenpaare der Sehnen  $\lambda_1 \lambda_2$ , deren Parameter durch eine der Bedingungen (28) verknüpft sind, lauten nach § 19, (23):

$$(36) \quad \begin{cases} (\sigma+1) \frac{x}{a} - \frac{y}{b} + \sigma = 0, & \left\{ \frac{x}{a} - (\sigma+1) \frac{y}{b} + \sigma = 0, \right. & \left\{ \frac{x}{a} - \frac{y}{b} - 2\sigma = 0, \right. \\ (\sigma+1) \frac{x}{a} - \frac{z}{c} - \sigma = 0; & \left\{ \frac{x}{a} - \frac{z}{c} + 2\sigma = 0; \right. & \left\{ \frac{x}{a} - (\sigma+1) \frac{z}{c} - \sigma = 0. \right. \end{cases}$$

Die Sehnen sind wegen der für sie geltenden Gleichungen:

1) H. Wiener in B. G. Teubners Verz. math. Modelle 1912, S. 30.

$$(37) \quad \frac{y}{b} - \frac{z}{c} = 2\sigma; \quad \frac{z}{c} - \frac{x}{a} = 2\sigma; \quad \frac{x}{a} - \frac{y}{b} = 2\sigma$$

jedesmal einer der Asymptotenebenen (4) parallel. Durch Elimination von  $\sigma$  ergibt sich mit Rücksicht hierauf:

Diejenigen Sehnen, die von einem der drei Scheiteldurchmesser halbiert werden bilden die eine Schar der Erzeugenden eines der drei hyperbolischen Paraboloid:

$$(38) \quad \begin{aligned} H_1 &= \frac{zx}{ca} - \frac{xy}{ab} - 2\frac{x}{a} + \frac{y}{b} + \frac{z}{c} = 0; \\ H_2 &= \frac{xy}{ab} - \frac{yz}{bc} - 2\frac{y}{b} + \frac{z}{c} + \frac{x}{a} = 0; \\ H_3 &= \frac{yz}{bc} - \frac{zx}{ca} - 2\frac{z}{c} + \frac{x}{a} + \frac{y}{b} = 0. \end{aligned}$$

Da identisch in  $x, y, z$ :

$$(39) \quad H_1 + H_2 + H_3 = 0$$

so gehören diese drei Paraboloid einem Büschel von Flächen 2. O. an.

Sie gehen alle drei durch die kub. Hyperbel und durch deren Hauptachse (22), die Sehne des Mittelpunktes (vgl. § 37, 7).

**20. Das Flächenbündel der kub. Hyperbel.** Die drei Zylinder (6) gehören keinem Büschel an, da die beiden letzten, homogen geschrieben, die Gerade  $x=0, t=0$  gemein haben, die dem ersten nicht angehört.

Daher ist mit den homogenen Parametern  $\varrho, \sigma, \tau$  die Gleichung des Bündels aller durch die kub. Hyperbel gehenden Flächen 2. O.:

$$(40) \quad \varrho \frac{yz}{bc} + \sigma \frac{zx}{ca} + \tau \frac{xy}{ab} - (\sigma - \tau) \frac{x}{a} t - (\tau - \varrho) \frac{y}{b} t - (\varrho - \sigma) \frac{z}{c} t + 3(\varrho + \sigma + \tau) t^2 = 0.$$

Die Determinante der mit 2 multiplizierten Gleichung (40) und die Unterdeterminante ihres letzten Elementes sind:

$$(41) \quad A = 4 \left( \frac{\sigma\tau + \tau\varrho + \varrho\sigma}{abc} \right)^2; \quad A_{44} = \frac{2\varrho\sigma\tau}{a^2b^2c^2}.$$

Ist  $A \neq 0$ , ist die Fläche (40) für  $A_{44} \neq 0$  ein einschaliges Hyperboloid, für  $A_{44} = 0$  ein hyperbolisches Paraboloid.

Ist  $A = 0$ , wird sie der Sehnenkegel § 19, (31) des Punktes:

$$(42) \quad \lambda = \frac{2\varrho + \sigma}{\sigma} = -\frac{2\varrho + \tau}{\tau},$$

während:

$$\varrho : \sigma : \tau = (\lambda - 1)(\lambda + 1) : 2(\lambda + 1) : -2(\lambda - 1).$$

**21. Die Achse der unendlich fernen Ebene.** Soll die Achse § 19, (27) in der unendlich fernen Ebene  $u = 0, v = 0, w = 0, s = 1$  liegen, muß:

$$(43) \quad \lambda_1 + \lambda_2 = 0, \quad \lambda_1 \lambda_2 = 3: \quad \lambda_1 = i\sqrt{3}, \quad \lambda_2 = -i\sqrt{3}$$

sein, worauf die Gleichungen § 19, (27) werden:

$$2au - bv - cw = 0, \quad bv - cw = 0$$

oder in Punktkoordinaten:

$$(44) \quad \frac{x}{a} + \frac{y}{b} + \frac{z}{c} = 0, \quad t = 0.$$

*Die in der unendlich fernen Ebene liegende Achse ist die Schnittlinie jener mit der Hauptebene (20).*

Die Schmiegungepunkte der beiden durch sie gehenden imaginären Schmiegungeebenen (43) sind nach 16 die imaginären Endpunkte der durch den Mittelpunkt gehenden Sehne.

**22. Der Mittelpunktskegelschnitt.** Der Mittelpunktskegelschnitt der kub. Hyperbel ist nach § 10, 7, II eine *Ellipse*. Ihre Parameterdarstellung lautet nach § 19, (32):

$$(45) \quad x = 4a\lambda, \quad y = -b(\lambda - 1)(\lambda + 3), \quad z = c(\lambda + 1)(\lambda - 3), \quad t = \lambda^2 + 3.$$

Da diese Werte von  $x, y, z$  unabhängig von  $\lambda$  der Gleichung (20) genügen, so folgt (§ 11, 2, III):

*Der Mittelpunktskegelschnitt liegt in der Hauptebene (20).*

Die Ellipse (45) schneidet die Koordinatenebenen in den Punktepaaren  $\lambda = \infty, 0; 1, -3; -1, 3$  oder ( $t = 1$ ):

(46)  $0, -b, c$  und  $0, b, -c; a, 0, -c$  und  $-a, 0, c; -a, b, 0$  und  $a, -b, 0$ , also in den Schnittpunkten der Scheiteldurchmesser  $d_1, d_2, d_3$  in (29) mit den Asymptoten  $n_1, n_2, n_3$  in (2) und den Mittelpunktsachsen  $m_1, m_2, m_3$  in (7) (Fig. 38). Sie hat ihren Mittelpunkt im Anfangspunkt  $O^1$ , der alle diejenigen ihrer Sehnen  $\lambda\lambda'$ , für die  $\lambda\lambda' + 3 = 0$  ist, halbiert.

**23. Die Achsenkegelschnitte der Asymptotenebenen.** Für die Achsenkegelschnitte in den drei Asymptotenebenen (4) ergibt sich mit den Parameterwerten (1) aus § 19, (32):

$$(47) \quad \begin{aligned} (-bv + cw + s)^2 + 3au(au + 4bv + 4cw) &= 0 \\ (-cw + au + s)^2 + 3bv(bv + 4cw + 4au) &= 0, \\ (-au + bv + s)^2 + 3cw(cw + 4au + 4bv) &= 0. \end{aligned}$$

Sie sind nach § 10, 5, II *Hyperbeln*.

1 Cremona, Ann. di mat. 2 (1859), S. 205; Geisenheimer, Zeitschr. Math. Phys. 27 (1882), S. 322.

Aus der Form der ersten Gleichung (47) (II § 52, (7')) geht hervor, daß die unendlich fernen Punkte (I § 47, (8)):

$$(48) \quad u = 0, \quad au + 4bv + 4cw = 0$$

die Berührungspunkte der vom Punkte:

$$(49) \quad -bv + cw + s = 0$$

an die erste Hyperbel (47) gelegten Tangenten sind. Diese sind daher die Asymptoten, die eine nach (48) der  $x$ -Achse, die andere der ersten Scheiteltangente (12) parallel, und der Punkt (49), der erste (46), ist der Mittelpunkt der Hyperbel.

Die drei Hyperbeln (47) haben als Mittelpunkte die Schnittpunkte der Durchmesser  $d_1, d_2, d_3$  je mit der gleichnamigen Asymptote  $n_1, n_2, n_3$  der Raumkurve und als Asymptoten je eine der Asymptoten  $n_1, n_2, n_3$  und je eine Parallele zu den drei Scheiteltangenten.

**24. Die drei Zweige.** Während der Parameter  $\lambda$  sich von  $+\infty$  bis  $-\infty$  bewegt, geht die kub. Hyperbel § 19, (17) dreimal durch die unendlich ferne Ebene hindurch (Fig. 40). Sie besteht daher aus drei Zweigen  $e_1, e_2, e_3$ ,

die je einen Scheitelpunkt  $\lambda = 0, -3, +\infty$  enthalten. Der

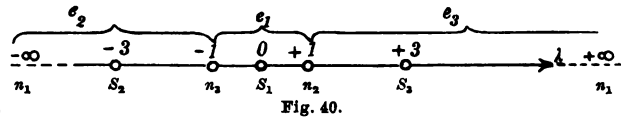


Fig. 40.

Zweig  $e_1$  (Fig. 40) erstreckt sich, während  $\lambda$  von  $+1$  über  $0$  nach  $-1$  geht, von der Asymptote  $n_2$  her über den Scheitelpunkt  $S_1$  gegen die Asymptote  $n_3$ ; der Zweig  $e_2$ , während  $\lambda$  von  $-1$  über  $-3$  nach  $-\infty$  geht, von  $n_3$  über  $S_2$  gegen  $n_1$ ; der Zweig  $e_3$ , während  $\lambda$  von  $+\infty$  über  $+3$  nach  $+1$  geht, von  $n_1$  über  $S_3$  gegen  $n_2$ .

Von den beiden Mänteln eines jeden der drei hyperbol. Zylinder (6) enthält immer der eine,  $h_1, h_2$  (Fig. 41),  $h_3$  einen Scheitelpunkt  $S_1, S_2, S_3$ , der andere  $h'_1, h'_2$  (Fig. 41),  $h'_3$ , diametral gegenüberliegend, eine Asymptote  $n_1, n_2, n_3$ . Alsdann verteilen sich die drei Kurvenzweige auf die sechs Zylindermäntel in der Weise, daß

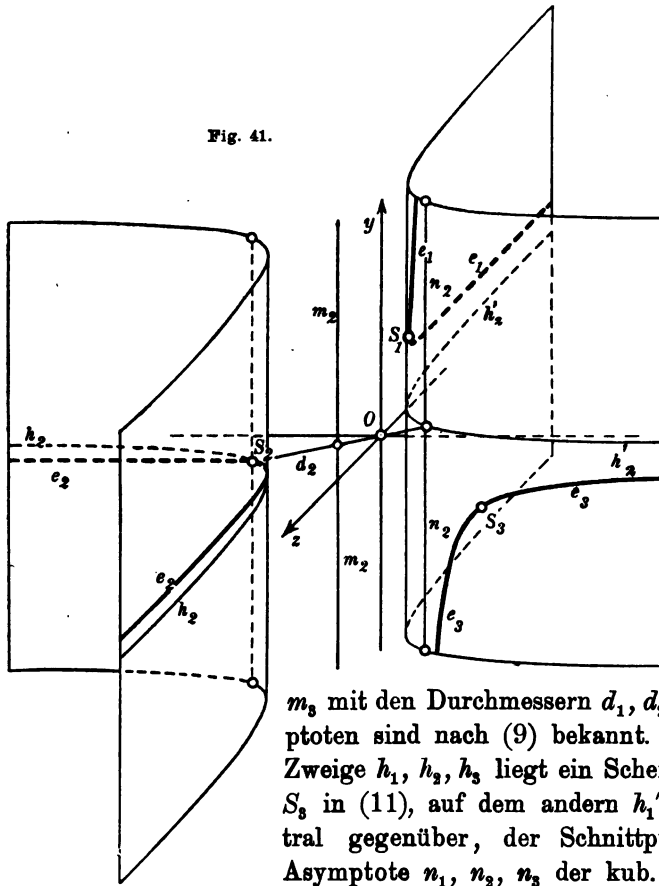
$e_1$  auf  $h_1$ ,  $e_2$  und  $e_3$  auf  $h'_1$ ;  $e_2$  auf  $h_2$ ,  $e_3$  und  $e_1$  auf  $h'_2$  (Fig. 41);

$e_3$  auf  $h_3$ ,  $e_1$  und  $e_2$  auf  $h'_3$ .

**25. Darstellung der kub. Hyperbel.** Wenn schon die Kurve auf einem hyperbol. Zylinder (Fig. 41) aufgezeichnet werden kann, so erscheint es doch zweckmäßig die volle Gleichberechtigung der drei Zylinder und die in 18 bemerkte Gruppe der kub. Hyperbel in der Darstellung zum Ausdruck zu bringen. Diesem Zweck dient Fig. 42, aus der auch Fig. 41 durch Hinzufügung des einen Zylinders entstanden ist.

In Fig. 42 dient die  $xy$ -Ebene des natürlichen Koordinatensystems  $Oxyz$  als Ebene der Zeichnung in schiefer Projektion.  $Oxyz$  ist rechtwinklig angenommen, was aber unwesentlich ist. Zunächst ist das Parallelepipedon (Fig. 38) der kub. Hyperbel dargestellt und dann

Fig. 41.



die beiden Zweige der Leithyperbeln der drei hyperbolischen Zylinder,  $h_1, h_1'$  in der  $yz=$ ,  $h_2, h_2'$  in der  $xz=$ ,  $h_3, h_3'$  in der  $xy$ -Ebene. Die Mittelpunkte der drei Hyperbeln liegen in den Schnittpunkten der Mittelpunktsachsen  $m_1, m_2,$

$m_3$  mit den Durchmessern  $d_1, d_2, d_3$ , ihre Asymptoten sind nach (9) bekannt. Auf dem einen Zweige  $h_1, h_2, h_3$  liegt ein Scheitelpunkt  $S_1, S_2, S_3$  in (11), auf dem andern  $h_1', h_2', h_3'$ , diametral gegenüber, der Schnittpunkt mit einer Asymptote  $n_1, n_2, n_3$  der kub. Hyperbel.

Die beiden Zylinder über den in der  $xz$ - und  $xy$ -Ebene liegenden Hyperbeln  $h_2, h_2'$  und  $h_3, h_3'$  sind der  $y$ - und  $z$ -Achse parallel. Legt man nun durch einen Punkt  $X$  der  $x$ -Achse (Fig. 42 ganz rechts) Parallelen zur  $z$ - und  $y$ -Achse, so schneiden diese die Zweige  $h_2'$  und  $h_3$  in  $H'$  und  $H$ . Der vierte Eckpunkt  $P$  des Parallelogramms  $XH'HP$  ist als Schnittpunkt der Erzeugenden  $H'P$  und  $HP$  der beiden Zylinder in der Ebene des Parallelogramms ein Punkt der Kurve. Der Punkt  $X$  hat den Abstand  $9a$  von  $O$ , die entsprechenden Abstände  $7a, 5a$  geben zwei weitere Punkte der Kurve, dem Abstand  $3a$  entspricht der Scheitel  $S_3$ . In gleicher Weise ergeben sich (Fig. 42 links),

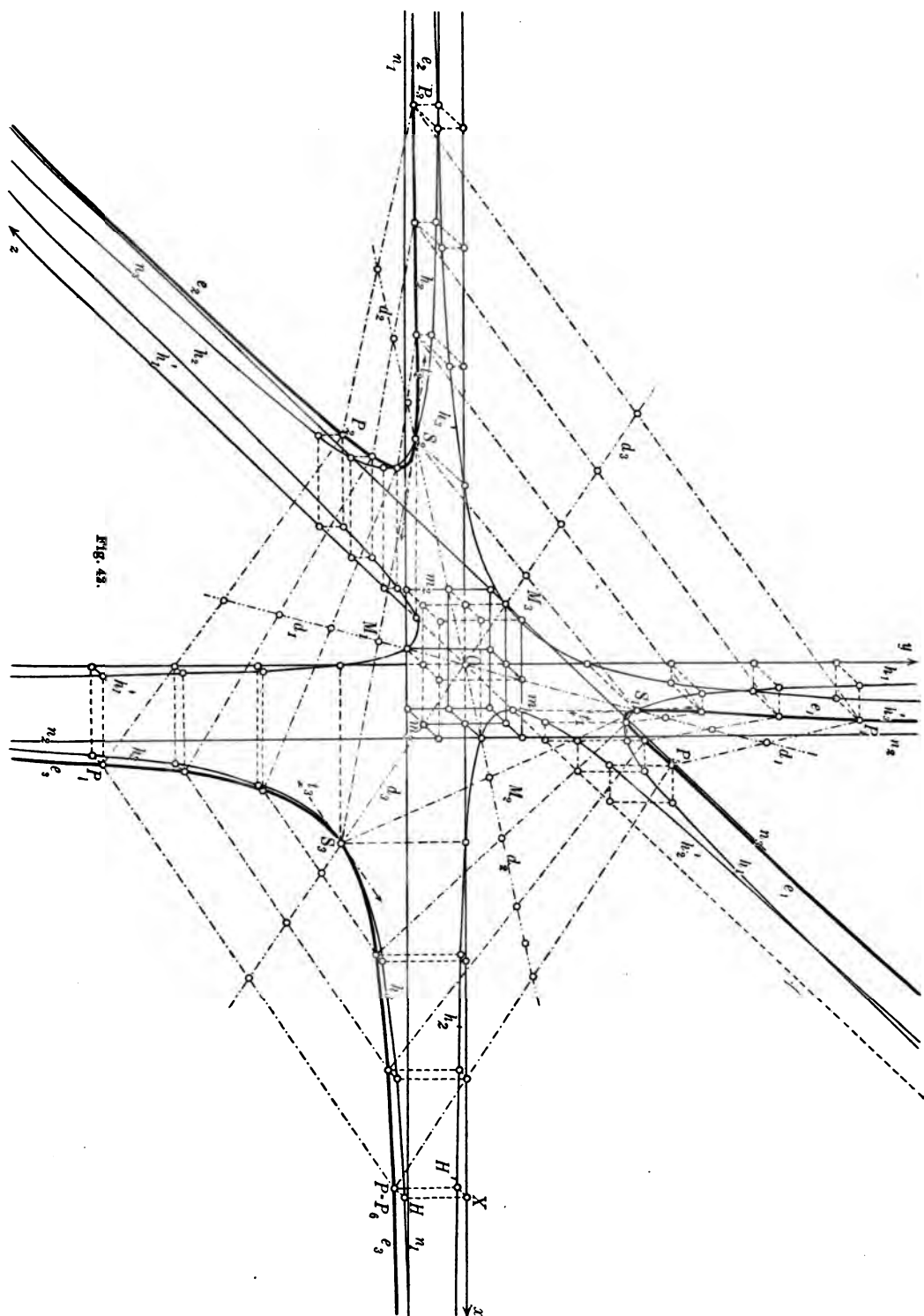


Fig. 43.

den Abständen  $-9a, -7a, -5a, -3a$  entsprechend drei Punkte und der Scheitel  $S_2$ . Entsprechend verfährt man auf den anderen Achsen  $y$  und  $z$ . Die Punkte  $P_1, P_2, P_3, P_4, P_5, P_6 = P$  bilden ein Sechseck der unter 17 beschriebenen Art.

**26. Die Rotationsflächen im natürlichen System.** Bei der Darstellung der kub. Hyperbel im natürlichen System sind die unendlich fernen Punkte  $E_1, E_2, E_3$  der Kurve (Fig. 25, S. 67) zugleich die Ecken  $X, Y, Z$  des Koordinatendreiecks in der unendlich fernen Ebene, aber dieses ist nicht mehr, wie in § 14, 2, ein Polardreieck des Kugelkreises. Des letzteren Gleichung lautet jetzt neben  $t=0$  (II § 91, (10)):

$$(50) \quad x^2 + y^2 + z^2 + 2\alpha yz + 2\beta zx + 2\gamma xy = 0,$$

wo  $\alpha, \beta, \gamma$  die Kosinus der Achsenwinkel sind.

Die Schnittpunkte  $S_3 = x_1, y_1, 0$  und  $S_3' = x_1', y_1', 0$  der Seite  $s_3 = E_1E_2$  oder  $z=0$  mit dem Kugelkreis sind daher durch die quadratische Gleichung bestimmt:

$$x^2 + y^2 + 2\gamma xy = 0: \quad \frac{x_1}{y_1} \frac{x_1'}{y_1'} = 1.$$

Die durch  $S_3, S_3'$  und die Ecken  $E_1 = 1, 0, 0, E_2 = 0, 1, 0$  bestimmte Involution hat somit die Gleichung:

$$xx' - yy' = 0$$

und die Doppelpunkte:

$$x^2 - y^2 = 0: D_3 = 1, 1, 0; \quad D_3' = 1, -1, 0.$$

In gleicher Weise werden die Doppelpunkte der Involution auf der Seite  $s_2$ :

$$(51) \quad D_2 = 1, 0, 1; \quad D_2' = -1, 0, 1.$$

Die Gleichungen der vier Berührungssehn  $\S 14, 3$  lauten daher (Fig. 25):

$$(52) \quad \begin{aligned} D_2'D_3': x + y + z &= 0; & D_2D_3: -x + y + z &= 0; \\ D_2'D_3: x - y + z &= 0; & D_2D_3': x + y - z &= 0. \end{aligned}$$

Die unendlich fernen Kurven der zugehörigen Rotationsflächen sind dann wie § 14, 7:

$$(53) \quad (x^2 + y^2 + z^2 + 2\alpha yz + 2\beta zx + 2\gamma xy) - (\varepsilon x + \varepsilon' y + \varepsilon'' z)^2 = 0,$$

wo für  $\varepsilon, \varepsilon', \varepsilon''$  die Vorzeichenkombinationen zu setzen sind:

$$\varepsilon, \varepsilon' \varepsilon'' = 1, 1, 1; \quad -1, 1, 1; \quad 1, -1, 1; \quad 1, 1, -1,$$

oder auch:

$$(\varepsilon' \varepsilon'' - \alpha)yz + (\varepsilon'' \varepsilon - \beta)zx + (\varepsilon \varepsilon' - \gamma)xy = 0.$$

Die Gleichungen der vier durch die kub. Hyperbel gehenden Rotationsflächen gehen daher aus (40) hervor mit den vier Wertsystemen der Parameter  $\rho$ ,  $\sigma$ ,  $\tau$ :

$$(54) \quad \begin{cases} \rho = bc(1-\alpha), & \sigma = ca(1-\beta), & \tau = ab(1-\gamma); \\ \rho = bc(1-\alpha), & \sigma = -ca(1+\beta), & \tau = -ab(1+\gamma); \\ \rho = -bc(1+\alpha), & \sigma = ca(1-\beta), & \tau = -ab(1+\gamma); \\ \rho = -bc(1+\alpha), & \sigma = -ca(1+\beta), & \tau = ab(1-\gamma). \end{cases}$$

## § 21. Die gleichseitige und die gleichwinklige kub. Hyperbel.

1. Bedingungen der gleichseitigen kub. Hyperbel. Die kub. Hyperbel § 19, (1) ist *gleichseitig*<sup>1)</sup>, wenn:

$$(1) \quad ae^2 + a'' = 0, \quad a' = 0, \quad b^2e^2 - b'^2 - c^2 = 0.$$

Diese Bedingungen sind notwendig und hinreichend sowohl dafür, daß die drei unendlich fernen Punkte der Kurve ein Polardreieck des imaginären Kugelkreises bilden (§ 16, 7), als auch dafür, daß alle durch die Kurve gehenden Flächen 2. O., darunter alle Sehnenkegel und die drei hyperbolischen Zylinder, *gleichseitig* sind (§ 9, 17).

Das natürliche System, auf das sich die Gleichungen § 19, (17) beziehen, ist dann rechtwinklig, da seine Achsen die Richtungen nach den drei unendlich fernen Punkten der Kurve haben. Ebenso wird das Parallelepipedon § 20, 3 rechtwinklig.

2. Die Rotationsflächen der gleichseitigen kub. Hyperbel. Da die Kosinus der Achsenwinkel des natürlichen Systems jetzt:

$$(2) \quad \alpha = 0, \quad \beta = 0, \quad \gamma = 0$$

werden, so ergibt sich aus § 20, (40); (54):

Die vier durch die gleichseitige kub. Hyperbel gehenden gleichseitigen Rotationshyperboloide haben im natürlichen System die Gleichungen:

$$(3) \quad \begin{cases} yz + zx + xy + (b-c)xt + (c-a)yt + (a-b)zt \\ \quad + 3(bc + ca + ab)t^2 = 0, \\ yz - zx - xy - (b-c)xt + (c+a)yt - (a+b)zt \\ \quad + 3(bc - ca - ab)t^2 = 0, \\ -yz + zx - xy - (b+c)xt - (c-a)yt + (a+b)zt \\ \quad + 3(-bc + ca - ab)t^2 = 0, \\ -yz - zx + xy + (b+c)xt - (c+a)yt - (a-b)zt \\ \quad + 3(-bc - ca + ab)t^2 = 0. \end{cases}$$

1) Th. Reye, Geom. d. L. 2 (1907), S. 180; Ch. Bioche, Edinb. M. S. Proc. 13 (1895), S. 146.



Ihre Mittelpunkte:

$$(4) \quad x_0, y_0, z_0 = b - c, c - a, a - b; \quad -(b - c), c + a, -(a + b); \\ -(b + c), -(c - a), a + b; \quad b + c, -(c + a), -(a - b)$$

liegen alle vier in der zur Hauptachse § 20, (22) senkrechten Ebene:

$$(5) \quad ax + by + cz = 0.$$

Die Determinanten der vier Flächen (3) sind nach § 20, (41), von dem Faktor 4 abgesehen:

$$(a + b + c)^2, \quad (-a + b + c)^2, \quad (a - b + c)^2, \quad (a + b - c)^2,$$

so daß eine von ihnen ein *Rotationskegel* werden kann.

**3. Gleichwinklige kub. Hyperbel.** Die kub. Hyperbel soll *gleichwinklig* genannt werden, wenn die *Achsenwinkel* des natürlichen Koordinatensystems einander gleich und die *Kanten* des Parallelepipeds § 20, 3 gleich lang sind. Die zweite Eigenschaft erfordert, daß die Konstanten  $a, b, c$  in § 19, (17) alle drei gleich werden oder daß die Konstanten in § 19, (1) mit Rücksicht auf § 19, (16) den Bedingungen genügen:

$$(6) \quad p = q = -8ae^2;$$

die erste Eigenschaft erfordert, mit den aus § 19, (6) folgenden Werten der Achenwinkelkosinus:

$$(7) \quad \alpha = \frac{(ae^2 + a'')^2 - a'^2e^2 - b^2e^2 + b'^2 + c^2}{pq}, \quad \beta = \frac{ae^2 - a'e + a''}{q}, \\ \gamma = \frac{ae^2 + a'e + a''}{p};$$

$$(8) \quad \alpha = \beta = \gamma.$$

Die Bedingung  $p^2 = q^2$  gibt nach § 19, (7):

$$(9) \quad (ae^2 + a'')a' + bb' = 0$$

und die Bedingung  $\beta = \gamma$  mit Rücksicht auf  $p = q$ :

$$a' = 0, \text{ worauf aus (9): } b' = 0.$$

Dann geht aus  $p = -8ae^2$  und  $\alpha = \beta$  weiter hervor:

$$(ae^2 + a'')^2 + b^2e^2 + c^2 = 64a^2e^4, \\ (ae^2 + a'')^2 - b^2e^2 + c^2 = -8ae^2(ae^2 + a'')$$

und daraus durch Kombination:

$$b^2 = 36a^2e^2 + 4aa'', \quad c^2 = 27a^2e^4 - a''^2 - 6ae^2a''.$$

Unter den Bedingungen:

$$(10) \quad a' = 0, \quad b' = 0, \quad b^2 = 4a(9ae^2 + a''), \quad c^2 = (9ae^2 + a'')(3ae^2 - a'')$$

sind daher bei entsprechender Wahl der Vorzeichen von  $p$  und  $q$  die Gleichungen (6) und (8) erfüllt.

Zugleich wird:

$$(11) \quad \alpha = \beta = \gamma = -\frac{ae^2 + a''}{8ae^2}.$$

Bei positivem  $a$  muß nach (10)  $a''$  zwischen den Grenzen:

$$-9ae^2 < a'' < 3ae^2$$

genommen werden, worauf für die Kosinus  $\alpha, \beta, \gamma$  in (11):

$$(12) \quad -\frac{1}{2} < -\frac{ae^2 + a''}{8ae^2} < 1,$$

also die Achsenwinkel selbst zwischen  $0^\circ$  und  $120^\circ$  gelegen sind.

Wenn für die kub. Hyperbel § 19, (1) die Bedingungen (10) erfüllt sind, so bilden die Achsen des natürlichen Koordinatensystems unter einander gleiche Winkel von dem Kosinus (11) und ist in den auf dieses System bezogenen Gleichungen § 19, (17):

$$(13) \quad a = b = c.$$

#### 4. Allgemeine und besondere gleichwinklige kub. Hyperbeln.

Mit (10) sind die Bedingungen § 10, (36) erfüllt:

I. Der Mittelpunktskegelschnitt der gleichwinkligen kub. Hyperbel ist ein Kreis.

Fügt man zu den Bedingungen (10) noch die weitere:

$$(14) \quad a'' = 0$$

hinzu ( $\alpha = \beta = \gamma = -1:8$ ), so erhält man die Bedingungen § 10, (42).

II. Bei dem besonderen Falle (14) der gleichwinkligen kub. Hyperbel<sup>1)</sup> sind alle Achsenkegelschnitte gleichseitige Hyperbeln.

Die Scheitelschmiegungebenen § 20, (14) mit den Stellungskosinus  $1, -1:8, -1:8$  sind dann senkrecht zu den Achsen  $x, y, z$ , also auch zu den Asymptoten.<sup>2)</sup>

III. In einem andern besonderen Falle, wo neben (10):

$$(15) \quad ae^2 + a'' = 0$$

ist die gleichwinklige kub. Hyperbel nach (11) zugleich ein Sonderfall der gleichseitigen kub. Hyperbel (1). Ihr Parallelepipedon § 20, 3 wird dann ein Würfel.

5. Hauptachse und Hauptebene. Die allgemeine gleichwinklige kub. Hyperbel ist durch die Gleichungen § 19, (17) dargestellt mit

1) H. Krüger, Zeitschr. Math. Phys. 38 (1893) S. 348.

2) ebd. S. 349.

der Beziehung (13) der Konstanten  $a, b, c$  und der weiteren Bedingung, daß die Achsen des natürlichen Systems  $Oxyz$  nach (11) gleiche Winkel miteinander bilden. Die Betrachtungen des § 20 finden somit unmittelbar Anwendung, jedoch treten einige besondere Beziehungen hervor.

In bezug auf das *schiefwinklige* System  $Oxyz$  sind die Richtungskosinus  $\lambda, \mu, \nu$  der Normale der Hauptebene § 20, (20):

$$(16) \quad \lambda : \mu : \nu = \frac{1}{a} : \frac{1}{b} : \frac{1}{c},$$

dagegen die der Hauptachse § 20, (22), welche den Anfangspunkt  $O$  mit dem unendlich fernen Punkt § 20, (21) verbindet:

$$(17) \quad \lambda : \mu : \nu = a + \gamma b + \beta c : \gamma a + b + \alpha c : \beta a + \alpha b + c.$$

Sollen beide Geraden gleiche Richtung haben, muß:

$$\frac{1}{a} : \frac{1}{b} : \frac{1}{c} = a + \gamma b + \beta c : \gamma a + b + \alpha c : \beta a + \alpha b + c$$

oder:

$$(18) \quad a^3 + \beta ca + \gamma ab = b^3 + \gamma ab + \alpha bc = c^3 + \alpha bc + \beta ca.$$

Diese Bedingung ist im Falle (11), (13) erfüllt:

*Die Hauptachse der gleichwinkligen kub. Hyperbel:*

$$(19) \quad x : y : z = 1 : 1 : 1$$

*ist die Normale ihrer Hauptebene:*

$$(20) \quad x + y + z = 0$$

im Punkte  $O$ , also nach § 20, 12 auch die Hauptachse des linearen Komplexes der Tangenten (II § 87, 4).

**6. Die Doppelpyramidengruppe.** Die nicht homogenen Koordinaten eines Punktes  $\lambda$  der gleichwinkligen kub. Hyperbel sind nach § 20, (26):

$$(21) \quad x = a\lambda, \quad y = -a \frac{\lambda + 3}{\lambda - 1}, \quad z = a \frac{\lambda - 3}{\lambda + 1},$$

und alsdann die Koordinaten der Ecken des entsprechenden Sechsecks § 20, 17:

$$(22) \quad \begin{cases} x_1, y_1, z_1 = x, y, z; & x_3, y_3, z_3 = y, z, x; \\ x_2, y_2, z_2 = -x, -z, -y; & y_4, y_4, z_4 = -z, -y, -x; \\ & x_5, y_5, z_5 = z, x, y; \\ & x_6, y_6, z_6 = -y, -x, -z. \end{cases}$$

Die Kurve behält daher dieselbe Gestalt und Lage gegen sechs verschieden liegende, aber kongruente *schiefwinklige Koordinatensysteme*,

die aus  $Oxyz$  entstehen durch zyklische Vertauschung der drei Achsen oder durch Vertauschung zweier Achsen mit gleichzeitiger Umkehr aller drei Pfeilspitzen. Die sechs Systeme haben alle den gleichen Orientierungssinn (I § 32, 8).

Die Kurve geht durch die Gruppe dieser sechs Vertauschungen in sich über. Die Hauptebene (20) und Hauptachse (19) bleiben dabei immer erhalten.

**7. Das Flächenbündel.** Das Bündel aller durch die Kurve gehenden Flächen 2. O. ist nach § 20, (40):

$$(23) \quad \varrho yz + \sigma zx + \tau xy - a(\sigma - \tau)x - a(\tau - \varrho)y - a(\varrho - \sigma)z \\ + 3a^2(\varrho + \sigma + \tau) = 0.$$

Hier ist eine zyklische Vertauschung der drei Parameter  $\varrho, \sigma, \tau$  gleichwertig mit einer solchen der  $x, y, z$  und eine Vertauschung zweier Parameter, etwa  $\sigma, \tau$  gleichwertig mit einer Vertauschung von  $x, y, z$  mit  $-x, -y, -z$ . Die sechs Flächen (23), die den Permutationen von  $\varrho, \sigma, \tau$  entsprechen, haben daher in den sechs entsprechenden Koordinatensystemen 6 je ein und dieselbe Gleichung oder:

*Je sechs, den sechs Permutationen eines Systems von Parameterwerten  $\varrho, \sigma, \tau$  entsprechende Flächen des Bündels sind kongruent.*

Die Fläche (23) wird nach § 20, (42) für:

$$(24) \quad \sigma\tau + \tau\varrho + \varrho\sigma = 0$$

der Sehnenkegel des Punktes:

$$(25) \quad \lambda = 2 \frac{\varrho}{\sigma} + 1 = -2 \frac{\varrho}{\tau} - 1.$$

Durch zyklische Vertauschungen der drei Parameter  $\varrho, \sigma, \tau$  entstehen aber aus (25) mit Rücksicht auf (24) die Werte:

$$\lambda, \quad -\frac{\lambda+3}{\lambda-1}, \quad \frac{\lambda-3}{\lambda+1}$$

und durch Vertauschung zweier Parameter außerdem die entgegengesetzten dieser drei Werte oder mit Rücksicht auf § 20, (33):

*Die Sehnenkegel von je sechs zu einem Sechseck der Form § 20, 17 zusammengehörigen Kurvenpunkten sind kongruent.*

Im Falle der Scheitelkegel  $\varrho, \sigma, \tau = -1, 2, 2; 2, -1, 2; 2, 2, -1$  oder  $\lambda = 0; -3; 3$  bleiben von den sechs kongruenten Kegeln nur drei übrig:

$$(26) \quad \begin{cases} -yz + 2zx + 2xy - 3ay + 3az + 9a^2 = 0, \\ -zx + 2xy + 2yz - 3az + 3ax + 9a^2 = 0, \\ -xy + 2yz + 2zx - 3ax + 3ay + 9a^2 = 0: \end{cases}$$

ebenso im Falle der drei *hyperbolischen Zylinder*  $\varrho, \sigma, \tau = 1, 0, 0; 0, 1, 0; 0, 0, 1$  oder  $\lambda = \infty, 1, -1$ :

$$(27) \quad yz + ay - az + 3a^2 = 0, \quad zx + az - ax + 3a^2 = 0, \\ xy + ax - ay + 3a^2 = 0.$$

**8. Gleichseitige Flächen.** Die allgemeine Bedingung gleichseitiger Flächen 2. O. im schiefwinkligen System (II § 100, (13); § 91 (16)):

$$a_{11}(1 - \alpha^2) + a_{22}(1 - \beta^2) + a_{33}(1 - \gamma^2) + 2a_{23}(\beta\gamma - \alpha) \\ + 2a_{31}(\gamma\alpha - \beta) + 2a_{12}(\alpha\beta - \gamma) = 0$$

kommt für die Fläche (23) mit Rücksicht auf (11) für  $\alpha \neq 0$  zurück auf:

$$(28) \quad a_{23} + a_{31} + a_{12} = 0 \text{ oder } \varrho + \sigma + \tau = 0.$$

*Alle gleichseitigen Bündelflächen gehen durch den Mittelpunkt O der Kurve und alle durch den Mittelpunkt gehenden Bündelflächen sind gleichseitig.*

Zu diesen Flächen gehören die *drei kongruenten hyperbolischen Paraboloiden*  $\varrho, \sigma, \tau = 0, 1, -1; -1, 0, 1; 1, -1, 0$ :

$$(29) \quad zx - xy - 2ax + ay + az = 0, \quad xy - yz - 2ay + az + ax, \\ yz - zx - 2az + 2ax + 2ay = 0,$$

auf denen nach § 20, (38) die von den drei Scheiteldurchmessern halbierten Sehnen liegen.

Im Falle 4, III, wo  $\alpha = 0$ , sind alle Bündelflächen gleichseitig.

**9. Rotationsflächen.** Durch die gleichwinklge kub. Hyperbel gehen *vier Rotationsflächen*, deren Parameter nach § 20, (54) bis auf den gemeinsamen Faktor  $a^2$  die Werte haben:

$$\varrho, \sigma, \tau = 1 - \alpha, 1 - \alpha, 1 - \alpha; 1 - \alpha, -(1 + \alpha), -(1 + \alpha); \\ -(1 + \alpha), 1 - \alpha, -(1 + \alpha); -(1 + \alpha), -(1 + \alpha), 1 - \alpha.$$

Die Gleichungen der vier Rotationsflächen lauten nach (23):

$$(30) \quad yz + zx + xy + 9a^2 = 0;$$

$$(31) \quad \begin{cases} (1 - \alpha)yz - (1 + \alpha)zx - (1 + \alpha)xy + 2ay - 2az - 3a^2(1 + 3\alpha) = 0, \\ (1 - \alpha)zx - (1 + \alpha)xy - (1 + \alpha)yz + 2az - 2ax - 3a^2(1 + 3\alpha) = 0, \\ (1 - \alpha)xy - (1 + \alpha)yz - (1 + \alpha)zx + 2ax - 2ay - 3a^2(1 + 3\alpha) = 0. \end{cases}$$

Die drei Flächen (31) bilden eine Gruppe von drei kongruenten Flächen, die den Permutationen der Parameter  $\varrho, \sigma, \tau$  entspricht; ihre Mittelpunkte:

$$(32) \quad x_0, y_0, z_0 = 0, \frac{2a}{1 - \alpha}, -\frac{2a}{1 - \alpha}; -\frac{2a}{1 - \alpha}, 0, \frac{2a}{1 - \alpha}; \frac{2a}{1 - \alpha}, -\frac{2a}{1 - \alpha}, 0$$

liegen in der Hauptebene (20).

Die Rotationsfläche (30) hat den Mittelpunkt der kub. Hyperbel als Mittelpunkt und geht bei den sechs Vertauschungen der Doppelpyramidengruppe (22) jedesmal in sich über.

Ihre Kreisschnittebenen sind nach § 20, (52) der Hauptebene (20) parallel.

## § 22. Die kub. hyperbolische Parabel.

1. Darstellung in rechtwinkligen Koordinaten. Bezogen auf ein rechtwinkliges System  $Oxyz$  hat die kub. hyperbolische Parabel nach § 6, (14); (18); § 7, (11) die Parameterdarstellung:

$$(1) \quad x = a\lambda^3 + a'\lambda^2 + a''\lambda, \quad y = b\lambda^3 + b'\lambda, \quad z = c\lambda, \quad t = \lambda - e;$$

$$(2) \quad u = -bce, \quad v = ce(3a\lambda + a'), \\ w = ab\lambda^3 - 3abe\lambda^2 - 3ab'e\lambda - (a'b' - a''b)e, \quad s = -abc\lambda^3.$$

Sie ist nach § 6, (16); (17) der übrige Durchschnitt des hyperbolischen Zylinders:

$$(3) \quad (be + b')z^2 - cyz + c^2yt - b'czt = 0$$

und des Kegels:

$$(4) \quad ac^2y^2 + (a'b - 2ab')cyz + (ab'^2 - a'bb' + a''b^2)z^2 - b^2czz = 0,$$

abgesehen von der beiden gemeinsamen  $x$ -Achse.

Charakteristisch für die Lage beider Flächen ist nach § 6, 8, daß die Tangentialebene  $z = 0$  (§ 11, (24)) des Kegels (4) längs der  $x$ -Achse zu der einen Asymptotenebene des Zylinders (3) parallel ist (Fig. 18, S. 25 gibt den Durchschnitt beider Flächen in einer zur Achse des Zylinders senkrechten Ebene  $O'y'z'$ ).

2. Fehlender Scheitelpunkt. Das gewählte System  $Oxyz$  mit dem Punkte  $\lambda = 0$  der Kurve als Anfangspunkt, ist kein ausgezeichnetes. Verschiebt man es parallel mit sich selbst nach irgendeinem anderen Punkte  $O_0 = x_0, y_0, z_0$  ( $\lambda_0$ ) der Kurve durch die Substitution § 11, (10), so bleibt die Form der Parameterdarstellung nach § 11, (14) dieselbe. Die Kurve § 11, (14) ist im neuen System  $O_0XYZ$  wieder wie in (3) und (4) der Durchschnitt des Zylinders:

$$(5) \quad (be_0 + b'_0)Z^2 - c_0YZ + c_0^2YT - b'_0c_0ZT = 0$$

und des Kegels:

$$(6) \quad ac_0^2Y^2 + (a'_0b - 2ab'_0)c_0YZ + (ab_0'^2 - a'_0bb'_0 + a_0''b^2)Z^2 - b^2c_0ZX = 0$$

Die Gleichung (5), die nach § 11, (15) auch in der Form:

$$(be + b')Z^2 - cYZ + \frac{c^2e}{e - \lambda_0}YT + \frac{b\lambda_0^2 - 2be\lambda_0 - b'e}{e - \lambda_0}cZT = 0$$

geschrieben werden kann, stellt denselben Zylinder dar, wie die Gleichung (3). Während aber (4) der Sehnenkegel des Punktes  $\lambda = 0$  war, ist (6) der Sehnenkegel des Punktes  $\lambda_0$ . Wiederum ist die Tangentialebene  $Z = 0$  des Kegels (6) längs der  $X$ -Achse der einen Asymptotenebene des Zylinders (5) parallel:

*Alle Sehnenkegel der kub. hyperbolischen Parabel (1) haben längs ihrer gemeinsamen Erzeugenden mit dem hyperbolischen Zylinder (3) parallele Tangentialebenen, parallel mit einer Asymptotenebene des Zylinders.*

Nach § 11, 4 entspricht die Gleichberechtigung aller Punkte der Kurve dem Fehlen eines *Scheitelpunktes*. Auch ein *Scheiteldurchmesser* ist nicht vorhanden.

**3. Der Achsendurchmesser.** Dagegen ist nach § 11, 9 die *Mittelpunktsachse des hyperbolischen Zylinders* (3) mit  $t = 1$ :

$$(7) \quad y = 2be + b', \quad z = c$$

ein *Achsendurchmesser der kub. hyperbolischen Parabel*. Er halbiert alle Sehnen, zwischen deren Endpunktsparametern  $\lambda$  und  $\lambda'$  die Beziehung besteht:

$$(8) \quad \lambda + \lambda' = 2e.$$

Die Koordinaten des Mittelpunktes einer solchen Sehne sind alsdann:

$$(9) \quad x = 4ae^2 + 2a'e + a'' - a\lambda\lambda', \quad y = 2be + b', \quad z = c.$$

**4. Die Asymptote.** Zu den vom Achsendurchmesser halbierten Sehnen ist die *Asymptote* § 8, (38):

$$(10) \quad \begin{cases} bcx - (2ae + a')cy + (abe^2 + 2ab'e + a'b' - a''b)z = 0, \\ cy - (be + b')z - bcet = 0 \end{cases}$$

zu rechnen, da sie als Sehne der Punkte  $\lambda = e$ ,  $\lambda' = e$  der Bedingung (8) entspricht.

*Ihr Schnittpunkt mit dem Achsendurchmesser ist daher nach (9):*

$$(11) \quad x_0 = 3ae^2 + 2a'e + a'', \quad y_0 = 2be + b', \quad z_0 = c, \quad t_0 = 1.$$

Sie liegt auf dem *parabolischen Zylinder* § 9, (17), der durch die Kurve geht.

Ihre *Richtungskosinus* sind, da sie durch den unendlich fernen Punkt  $\lambda = e$  (§ 14, (35)) hindurchgeht:

$$(12) \quad \alpha_s = \frac{ae^2 + a'e + a''}{p}, \quad \beta_s = \frac{be + b'}{p}, \quad \gamma_s = \frac{c}{p};$$

$$p = \sqrt{(ae^2 + a'e + a'')^2 + (be + b')^2 + c^2}.$$

**5. Die beiden Asymptotenebenen.** Die beiden *Asymptotenebenen der Kurve* (1), die Schmiegungebenen in den Punkten  $\lambda = \infty$  und  $\lambda = e$ , haben nach § 7, (27) die Gleichungen:

$$(13) \quad z = ct; bcx - (3ae + a')cy + (2abe^2 + 3ab'e + a'b' - a''b)z + abce^2t = 0.$$

Die erste Ebene ist nach § 9, 13, III die eine Asymptotenebene des hyperbolischen Zylinders (3) und geht als solche durch die Mittelpunktsachse (7); die zweite aber ist die Tangentialebene des parabolischen Zylinders § 9, (17) längs der Asymptote (10) und geht als solche durch die Asymptote.

Die *Schnittlinie der beiden Asymptotenebenen*, die somit durch den Punkt (11) geht, hat die Richtungskosinus:

$$(14) \quad \alpha_2 = \frac{3ae + a'}{q}, \beta_2 = \frac{b}{q}, \gamma_2 = 0; q = \sqrt{(3ae + a')^2 + b^2}.$$

**6. Das natürliche Koordinatensystem der kub. hyperbolischen Parabel.** Wir führen nun ein *schiefwinkliges Koordinatensystem*  $\Omega\xi\eta\zeta$  ein, dessen Anfangspunkt  $\Omega = x_0, y_0, z_0$  der *Schnittpunkt* (11) von *Achsendurchmesser* und *Asymptote*, dessen  $\xi$ -Achse der *Achsendurchmesser* (7), dessen  $\eta$ -Achse die *Schnittlinie der beiden Asymptotenebenen* (13) und dessen  $\zeta$ -Achse die *Asymptote* selbst ist.

Da der Achsendurchmesser (7) die Richtungskosinus:

$$(15) \quad \alpha_1 = 1, \beta_1 = 0, \gamma_1 = 0$$

hat, ist die Determinante der neun Richtungskosinus (15), (14), (12)  $\Delta = bc : pq$  immer von Null verschieden. Ihre durch  $\Delta$  geteilten Unterdeterminanten sind:

$$(16) \quad \begin{cases} \frac{A_1}{\Delta} = 1, \frac{B_1}{\Delta} = -\frac{3ae + a'}{b}, \frac{\Gamma_1}{\Delta} = \frac{2abe^2 + 3ab'e + a'b' - a''b}{bc}; \\ \frac{A_2}{\Delta} = 0, \frac{B_2}{\Delta} = \frac{q}{b}, \frac{\Gamma_2}{\Delta} = -\frac{be + b'}{bc}q; \frac{A_3}{\Delta} = 0, \frac{B_3}{\Delta} = 0, \frac{\Gamma_3}{\Delta} = \frac{p}{c}. \end{cases}$$

Damit bestehen zwischen den beiderseitigen Punkt- und Ebenenkoordinaten die Beziehungen (I § 37, (16); § 45, (23)):

$$(17) \quad \begin{cases} \xi = ae^2t + x + \frac{B_1}{\Delta}y + \frac{\Gamma_1}{\Delta}z, \\ \eta = -eqt + \frac{B_2}{\Delta}y + \frac{\Gamma_2}{\Delta}z, \\ \zeta = -pt + \frac{\Gamma_3}{\Delta}z, \\ \tau = t; \end{cases} \quad (18) \quad \begin{cases} u' = u, \\ v' = \alpha_2u + \beta_2v, \\ w' = \alpha_3u + \beta_3v + \gamma_3w, \\ s' = x_0u + y_0v + z_0w + s. \end{cases}$$



Setzt man nun die Werte (1) in (17), (2) in (18) ein, so ergibt sich, von einem jedesmaligen Proportionalitätsfaktor abgesehen:

$$(19) \quad \begin{cases} \xi = a(\lambda - e)^3, \eta = q(\lambda - e)^2, \xi = pe, \tau = \lambda - e; \\ u' = \frac{1}{a}, v' = -\frac{3}{q}(\lambda - e), w' = -\frac{1}{pe}(\lambda - e)^3, s' = 3(\lambda - e)^2. \end{cases}$$

**7. Punkte und Schmiegungebenen im natürlichen System.** Ändert man schließlich die Bezeichnung:

$$(20) \quad q, pe; \lambda - e; \xi, \eta, \zeta, \tau; u', v', w', s' \text{ in } b, c; \lambda; x, y, z, t; u, v, w, s,$$

so folgt:

*Im natürlichen schiefwinkligen System Oxyz lautet die Parameterdarstellung der kub. hyperbolischen Parabel:*

$$(21) \quad x = a\lambda^3, \quad y = b\lambda^2, \quad z = c, \quad t = \lambda;$$

$$(22) \quad u = \frac{1}{a}, \quad v = -\frac{3\lambda}{b}, \quad w = -\frac{\lambda^3}{c}, \quad s = 3\lambda^2.$$

Die nunmehrige  $x$ -Achse ist die *Mittelpunktsachse* des hyperbolischen Zylinders, die  $z$ -Achse die auf dem parabolischen Zylinder liegende *Asymptote*, die  $yz$ - und  $xy$ -Ebene sind die beiden *Asymptotenebenen* der Kurve.

**8. Sehnen, Achsen und Tangenten.** Die Darstellung (21), (22) hat die Form § 7, (2), (12), falls die Bezeichnung:

$$(23) \quad y_1, y_2, y_3, y_4; v_1, v_2, v_3, v_4 \text{ in } \frac{x}{a}, \frac{y}{b}, t, \frac{z}{c}; au, bv, s, cw$$

verwandelt wird. Daher folgen sofort aus § 8, (1) und (3) die *Gleichungen der Sehne*  $\lambda_1\lambda_2$  und *Achse*  $\lambda_1 \times \lambda_2$  der kub. hyperbolischen Parabel:

$$(24) \quad \begin{cases} \frac{x}{a} - (\lambda_1 + \lambda_2) \frac{y}{b} + \lambda_1\lambda_2 t = 0, \\ \frac{y}{b} - (\lambda_1 + \lambda_2) t + \lambda_1\lambda_2 \frac{z}{c} = 0; \end{cases} \quad (25) \quad \begin{cases} 3\lambda_1\lambda_2 au + (\lambda_1 + \lambda_2) bv + s = 0, \\ \lambda_1\lambda_2 bv + (\lambda_1 + \lambda_2) s + 3cw = 0. \end{cases}$$

Daraus aber ergeben sich die *Gleichungen der Tangente*  $\lambda$  (§ 8, 5):

$$(26) \quad \begin{cases} \frac{x}{a} - 2\lambda \frac{y}{b} + \lambda^2 t = 0, \\ \frac{y}{b} - 2\lambda t + \lambda^2 \frac{z}{c} = 0; \end{cases} \quad (27) \quad \begin{cases} 3\lambda^2 au + 2\lambda bv + s = 0, \\ \lambda^2 bv + 2\lambda s + 3cw = 0, \end{cases}$$

und die *Parameterdarstellung der Strahlenkoordinaten der Tangente*:

$$(28) \quad p_{23} = 2bc\lambda, p_{31} = -3ca\lambda^2, p_{12} = ab\lambda^4, p_{14} = 2a\lambda^3, p_{24} = b\lambda^2, p_{34} = -c.$$

### 9. Das natürliche Koordinatensystem als Schmiegungstetraeder.

Da sich aus (21) für die je drei in den Koordinatenebenen  $x = 0$ ;  $y = 0$ ;  $z = 0$ ;  $t = 0$  liegenden Kurvenpunkte (§ 4, 3, I):  $\lambda = 0, 0, 0$ ;  $0, 0, \infty$ ;  $\infty, \infty, \infty$ ;  $0, \infty, \infty$  ergibt, so hat das natürliche System  $Oxyz$  als Tetraeder aufgefaßt, die Eigenschaft, daß die beiden Ebenen  $x = 0$  und  $z = 0$  die Schmiegungebenen der beiden *unendlich fernen Punkte*  $\lambda = 0$  und  $\lambda = \infty$  (§ 7, 4), und die beiden Ebenen  $y = 0$  und  $t = 0$  diejenigen Tangentialebenen (§ 7, 3) in  $\lambda = 0$  und  $\lambda = \infty$  sind, die bezüglich durch  $\lambda = \infty$  und  $\lambda = 0$  gehen.

Nennt man ein solches durch je zwei Kurvenpunkte bestimmtes Tetraeder ein *Schmiegungstetraeder* der Raumkurve 3. O. (§ 28, 1), so ist das natürliche Koordinatensystem das den beiden *unendlich fernen Punkten* der kub. hyperbolischen Parabel entsprechende Schmiegungstetraeder. Es gibt nur ein solches Schmiegungstetraeder.

**10. Flächenbündel und Sehnenkegel.** Mittels der Vertauschungen (23) ergibt sich aus § 9, (25) die Gleichung des Bündels aller durch die Kurve (21) gehenden Flächen 2. O.:

$$(29) \quad \varrho f + \sigma g + \tau h = 0,$$

in der  $f, g, h$  nach § 7, (22) die Bedeutung haben:

$$(30) \quad f = \frac{yz}{bc} - t^2, \quad g = \frac{y}{b}t - \frac{zx}{ca}, \quad h = \frac{x}{a}t - \frac{y^2}{b^2},$$

und ebenso aus § 9, (2) die Gleichung des Sehnenkegels im Punkte  $\lambda$ :

$$(31) \quad \lambda^2 f + \lambda g + h = 0.$$

Für  $\lambda = \infty$  und  $\lambda = 0$  erhält man hieraus,  $t = 1$  genommen, den hyperbolischen und den parabolischen Zylinder der kub. hyperb. Parabel (21):

$$(32) \quad f = \frac{yz}{bc} - 1 = 0; \quad (33) \quad -h = \frac{y^2}{b^2} - \frac{x}{a} = 0.$$

Die  $zx$ - und  $xy$ -Ebene sind die Asymptotenebenen des hyperbolischen Zylinders.

**11. Flächenschar und Achsenkegelschnitt.** In gleicher Weise folgt mittels (23) aus § 10, (43) und (2) die Schar der von den Ebenen (22) berührten Flächen 2. Kl.:

$$(34) \quad \varrho F + \sigma G + \tau H = 0,$$

wo nach § 7, (24):

$$(35) \quad F = 3aus - b^2v^2, \quad G = 9acuw - bvs, \quad H = 3bcvw - s^2,$$

und der Achsenkegelschnitt in der Schmiegungebene  $\lambda$ :

$$(36) \quad \lambda^2 F + \lambda G + H = 0.$$

Der Mittelpunkt dieses Kegelschnittes hat die Koordinaten:

$$(37) \quad x = -\frac{3a}{2}\lambda^2, \quad y = \frac{b}{2}\lambda, \quad z = 0.$$

Der *Mittelpunktskegelschnitt der kub. hyperb. Parabel* (21) ist daher (§ 10, 8) *die Parabel*:

$$(38) \quad 6\frac{y^2}{b^2} + \frac{x}{a} = 0, \quad z = 0,$$

die nach 9 in der einen Asymptotenebene, der Schmiegungeebene des doppelt zählenden unendlich fernen Punktes  $\lambda = \infty$  der Raumkurve liegt.

Die *Achsenkegelschnitte der beiden Asymptotenebenen* selbst haben die mit  $\lambda = \infty$  und  $\lambda = 0$  aus (36) folgenden Gleichungen:

$$(39) \quad -F = b^2v^2 - 3aus = 0, \quad H = 3bcvw - s^2 = 0$$

oder in Punktkoordinaten:

$$(40) \quad 3\frac{y^2}{b^2} - 4\frac{x}{a} = 0, \quad z = 0; \quad (41) \quad 4\frac{yz}{bc} - 3 = 0, \quad x = 0.$$

Die beiden Parabeln (38) und (40), sowie die Leitparabel des Zylinders (33) in der  $xy$ -Ebene haben im Punkte  $O$  alle drei dieselbe Tangente  $z = 0$ ,  $x = 0$ , die Schnittlinie der beiden Asymptotenebenen, und denselben zu ihr konjugierten Durchmesser (II § 14, 8)  $y = 0$ ,  $z = 0$ , die Mittelpunktsachse des hyperbolischen Zylinders.

Die Hyperbel (41) und die Leithyperbel des Zylinders (32) haben dieselben Asymptoten  $x = 0$ ,  $y = 0$  und  $x = 0$ ,  $z = 0$ .

**12. Ort der Sehnen und Achsen  $\lambda$ ,  $-\lambda$ .** Die nicht homogene Form der Gleichungen (21) und (22) lautet:

$$(42) \quad x = a\lambda^2, \quad y = b\lambda, \quad z = \frac{c}{\lambda}; \quad (43) \quad u = \frac{1}{3a\lambda^2}, \quad v = -\frac{1}{b\lambda}, \quad w = -\frac{\lambda}{3c}.$$

Die Punkte  $\lambda$  und  $-\lambda$  haben daher die Koordinaten  $x, y, z$ , und  $x, -y, -z$ , so daß ihre Sehne vom Punkte  $x, 0, 0$  der  $x$ -Achse halbiert wird und der  $yz$ -Ebene parallel ist. Die Gleichungen der Sehne  $\lambda, -\lambda$  sind nach (24):

$$(44) \quad \frac{x}{a} - \lambda^2 t = 0, \quad \frac{y}{b} - \lambda^2 \frac{z}{c} = 0.$$

*Der Ort aller dieser Sehnen, die vom Achsendurchmesser, der Mittelpunktsachse des hyperbolischen Zylinders, halbiert werden, ist das hyperbolische Paraboloid<sup>1)</sup>:*

$$(45) \quad -g = \frac{zx}{ca} - \frac{y}{b}t = 0.$$

1) Schröter, Oberfl. 2. O. (1882), S. 332.

Die Schmiegungebenen  $\lambda$  und  $-\lambda$  haben nach (43) die Koordinaten  $u, v, w$  und  $u, -v, -w$ ; ihre Schnittlinie hat nach (25) in Ebenen- und danach in Punktkoordinaten die Gleichungen:

$$(46) \quad -3\lambda^2 au + s = 0, \quad -\lambda^2 bv + 3cw = 0;$$

$$(47) \quad \frac{x}{a} + 3\lambda^2 t = 0, \quad 3\frac{y}{b} + \lambda^2 \frac{z}{c} = 0.$$

Während daher für  $a > 0$  alle Sehnen  $\lambda, -\lambda$  nach (44) die positive Halbachse  $x$  treffen, treffen alle Achsen  $\lambda \times -\lambda$  nach (47) die negative Halbachse  $x$ . Die  $z$ -Achse, die als Asymptote sowohl Sehne als Achse  $\lambda = 0, -\lambda = 0$  ist, trifft im Punkte  $O$ .

*Der Ort aller Achsen  $\lambda, -\lambda$ , die nach (47) der  $yz$ -Ebene parallel sind, ist das hyperbolische Paraboloid:*

$$(48) \quad G = 9cawu - bvs = 0 \quad \text{oder:} \quad \frac{zx}{ca} - 9\frac{y}{b}t = 0.$$

**13. Konstruktion der kub. hyperb. Parabel.** Die beiden Gleichungen (32) und (33) des hyperbolischen und parabolischen Zylinders, in Verbindung mit der Gleichung:

$$(49) \quad \frac{y}{b} = \lambda$$

eines Bündels von Parallelebenen zur  $zx$ -Ebene, sind mit der Parameterdarstellung (42) gleichwertig und sind der unmittelbare Ausdruck der Konstruktion der kub. hyperbol. Parabel, wenn in der  $yz$ -Ebene eines schiefwinkligen Achsensystems  $Oxyz$ , der Zeichnungsebene der Fig. 43, die Leithyperbel  $h$  des hyperbolischen Zylinders (32) und in der  $xy$ -Ebene die Leitparabel  $p$  des parabolischen Zylinders (33) gegeben sind (in Fig. 43 ist das System  $Oxyz$  rechtwinklig genommen, was an dem Konstruktionsverfahren nichts ändert). Die Ebenen des Bündels (49) gehen alle durch die gemeinsame Erzeugende  $y = 0, t = 0$  der beiden Zylinder (32) und (33), die Sehne (24) der beiden unendlich fernen Punkte  $\lambda_1 = 0$  und  $\lambda_2 = \infty$  der Kurve (21), enthalten daher je noch einen Punkt der Kurve.

Zwei Ebenen  $\lambda$  und  $-\lambda$  des Bündels (49) schneiden die  $y$ -Achse in den Punkten  $J$  und  $J'$  ( $OJ = OJ' = b\lambda$ ). Geht man nun durch  $J$  und  $J'$  in der  $yz$ -Ebene parallel zur  $z$ -Achse bis zu den Schnittpunkten  $H$  und  $H'$  mit der Leithyperbel  $h$  und zieht durch  $H$  und  $H'$  Parallellinien zur  $x$ -Achse, so erhält man die Schnittlinien  $l$  und  $l'$  der Ebenen  $\lambda$  und  $-\lambda$  mit dem hyperbolischen Zylinder. Geht man dagegen von  $J$  und  $J'$  in der  $xy$ -Ebene parallel der  $x$ -Achse bis zu den Schnittpunkten  $Q$  und  $Q'$  mit der Leitparabel  $p$  und zieht durch

$Q$  und  $Q'$  Parallellinien zur  $z$ -Achse, so erhält man die Schnittlinien  $m$  und  $m'$  der Ebenen  $\lambda$  und  $-\lambda$  mit dem parabolischen Zylinder. Die Schnittpunkte  $l \times m = P$  und  $l' \times m' = P'$  sind zwei Punkte  $\lambda$  und  $-\lambda$  der Raumkurve (42). Ihre Verbindungslinie  $PP'$  wird in

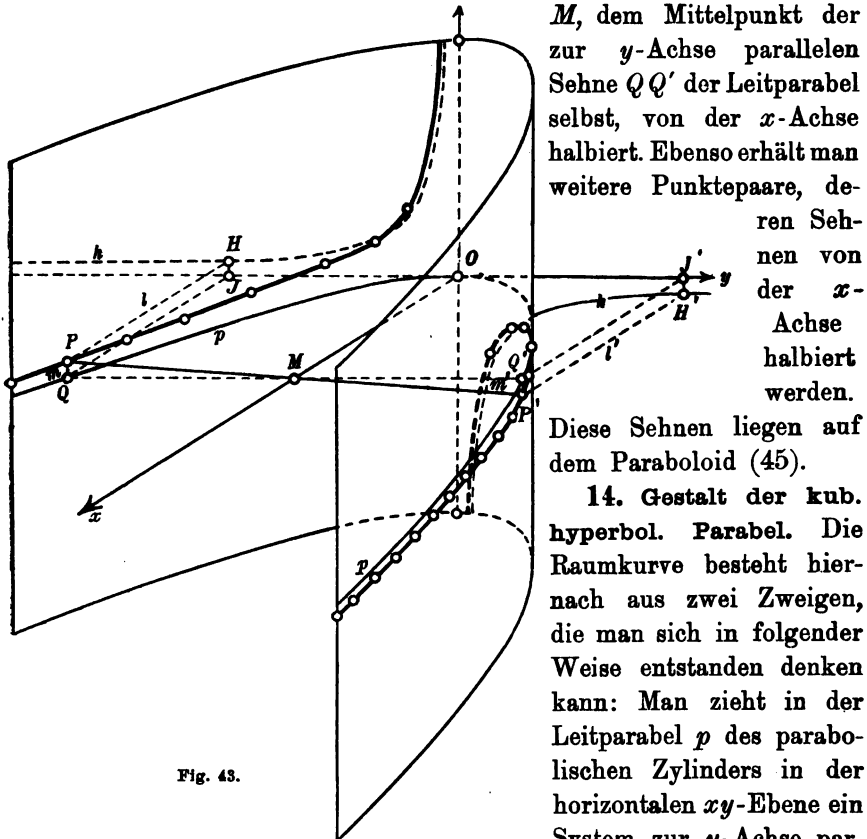


Fig. 43.

$M$ , dem Mittelpunkt der zur  $y$ -Achse parallelen Sehne  $QQ'$  der Leitparabel selbst, von der  $x$ -Achse halbiert. Ebenso erhält man weitere Punktepaare, deren Sehnen von der  $x$ -Achse halbiert werden.

Diese Sehnen liegen auf dem Paraboloid (45).

**14. Gestalt der kub. hyperbol. Parabel.** Die Raumkurve besteht hier nach aus zwei Zweigen, die man sich in folgender Weise entstanden denken kann: Man zieht in der Leitparabel  $p$  des parabolischen Zylinders in der horizontalen  $xy$ -Ebene ein System zur  $y$ -Achse paralleler Sehnen  $QQ'$ , die von der  $x$ -Achse halbiert werden. Dann verschiebt man die gegenüberliegenden Endpunkte jeder Sehne auf den Erzeugenden  $m, m'$  des parabolischen Zylinders soweit nach oben bzw. nach unten, als die parallel der  $z$ -Achse gemessene Höhe  $JH$  der Leithyperbel in der durch  $m$  zur  $zx$ -Ebene gelegten Parallelebene beträgt. Die Parabel  $p$  wird dann im Scheitelpunkt  $O$  zerrissen und unendlich weit nach oben und unten längs der  $z$ -Achse hingezogen, während sie andererseits gegen die positive  $x$ -Achse hin immer weniger von ihrer ursprünglichen Lage nach oben und unten abweicht.

**15. Die Rotationsflächen im natürlichen System.** In der unendlich fernen Ebene  $t = 0$  fallen von dem Dreieck der drei Kurven-

punkte  $E_1, E_2, E_3$ , zwei Ecken  $E_2$  und  $E_3$  ( $\lambda = \infty$ ) in die Ecke  $X$  des Koordinatendreiecks  $XYZ$ , eine Ecke  $E_1$  ( $\lambda = 0$ ) aber in  $Z$ . Die Gleichungen der drei Seiten von  $E_1, E_2, E_3$ , von denen  $s_1$  nach § 13, 7 die Tangente im Punkte  $\lambda = \infty$  ist, werden (Fig. 44):

$$s_1: z = 0 \text{ (nach (26)); } s_2 = s_3: y = 0.$$

Die Doppelpunkte der Involution § 14, 6 die auf  $s_2 = s_3$  durch die Schnittpunkte  $S_2, S_3'$  mit dem Kugelkreis und die Ecken  $E_1, E_2$  bestimmt wird, sind ebenso wie § 20, (51):

$$D_2 = D_3 = 1, 0, 1; \quad D_2' = D_3' = -1, 0, 1.$$

Auf der Seite  $s_1$  erfüllen zwei harmonische Pole  $x_1, y_1, 0$  und  $x_2, y_2, 0$  des Kugelkreises die Bedingung:

$$x_1 x_2 + y_1 y_2 + \gamma(x_1 y_2 + x_2 y_1) = 0,$$

so daß:

$$D_1 = -\gamma, 1, 0; \quad D_1' = E_2 = E_3 = 1, 0, 0$$

harmonische Pole sind. Die beiden Berührungssehnens sind daher wie § 14, 6:

$$D_1 D_2: x + \gamma y - z = 0, \quad D_1 D_2': x + \gamma y + z = 0.$$

Damit wird die unendlich ferne Kurve der beiden Rotationsflächen wie § 14, 9:

$$(50) \quad (x^2 + y^2 + z^2 + 2\alpha yz + 2\beta zx + 2\gamma xy) - (x + \gamma y + \varepsilon z)^2 = 0$$

oder:

$$(51) \quad (1 - \gamma^2)y^2 + 2(\alpha - \varepsilon\gamma)yz + 2(\beta - \varepsilon)zx = 0, \quad \varepsilon = \pm 1.$$

Sie geht durch den Punkt  $Z(x = 0, y = 0)$  und berührt die Seite  $s_1(z = 0)$  in  $X$ .

Die Gleichungen der beiden durch die kub. hyperb. Parabel gehenden Rotationsflächen gehen daher aus (29) hervor mit den Werten:

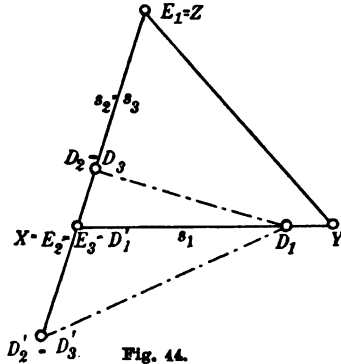
$$(52) \quad \rho = 2bc(\alpha - \varepsilon\gamma), \quad \sigma = -2ca(\beta - \varepsilon), \quad \tau = -b^2(1 - \gamma^2).$$

**16. Die rechtwinklige kub. hyperb. Parabel.** Nach (15), (14), (12) sind in bezug auf das ursprüngliche System  $Oxyz$  in 1 die Kosinus der Achsenwinkel des natürlichen Systems:

$$\alpha = \frac{(3ae + a')(ae^2 + a'e + a'') + b(be + b')}{pq}, \quad \beta = \frac{ae^2 + a'e + a''}{p}, \quad \gamma = \frac{3ae + a'}{q}.$$

Das natürliche System in 6—15 wird daher rechtwinklig<sup>1)</sup>, wenn für die ursprüngliche Darstellung (1) die Bedingungen erfüllt sind:

1) F. Lindemann, Vorles. Geom. Raum (1891), S. 251.



$$(53) \quad a' = -3ae, \quad a'' = 2ae^2, \quad b' = -be.$$

Das unendlich ferne Dreieck  $XYZ$  des natürlichen Systems (Fig. 44) ist dann ein Polardreieck des Kugelkreises.

Bei dieser besonderen kub. hyperbol. Parabel sind die Asymptotenebenen der Kurve selbst ( $yz$ - und  $xy$ -Ebene unter 7) und die des hyperbol. Zylinders (32) je untereinander senkrecht und die Asymptote der Kurve ( $z$ -Achse in 7) fällt in die Scheitellinie des parabolischen Zylinders (33).

Die Gleichungen (29), (52) der beiden Rotationsflächen der Kurve im natürlichen System sind:

$$(54) \quad y^2 - 2\epsilon z x - b^2 \frac{x}{a} t + 2\epsilon c a \frac{y}{b} t = 0.$$

### § 23. Die kubische Parabel.

1. **Parameterdarstellung im rechtwinkligen System.** Bezogen auf ein *rechtwinkliges* System  $Oxyz$  wird die kub. Parabel nach § 6, (14); (18); § 7, (11) und § 8, (11) allgemein durch folgende Parameterdarstellung ihrer *Punkte*, *Schmiegungebenen* und *Tangenten* gegeben:

$$(1) \quad \begin{cases} x = a\lambda^3 + a'\lambda^2 + a''\lambda, \\ y = b\lambda^3 + b'\lambda, \\ z = c\lambda, \\ t = 1; \end{cases} \quad (2) \quad \begin{cases} u = bc, \\ v = -(3a\lambda + a')c, \\ w = 3a(b\lambda + b')\lambda + a'b' - a''b, \\ s = -abc\lambda^3; \end{cases}$$

$$(3) \quad \begin{cases} p_{23} = bc\lambda^2, & p_{14} = 3a\lambda^2 + 2a'\lambda + a'', \\ p_{31} = -(2a\lambda + a')c\lambda^2, & p_{24} = 2b\lambda + b', \\ p_{12} = (ab\lambda^2 + 2ab'\lambda + a'b' - a''b)\lambda^2, & p_{34} = c, \end{cases}$$

wo  $abc \neq 0$  ist.

2. **Durchdringung von Zylinder und Kegel.** Die kub. Parabel ist der übrige Durchschnitt des *parabolischen Zylinders*:

$$(4) \quad bz^2 - c^2yt + b'czt = 0$$

und des *Kegels*:

$$(5) \quad ac^2y^2 + (a'b - 2ab')cyz + (ab'^2 - a'bb' + a''b^2)z^2 - b^3czz = 0,$$

die außerdem die  $x$ -Achse gemein haben.

Charakteristisch für die Lage beider Flächen ist nach § 6, 8, daß die *Tangentialebene des Kegels längs der gemeinsamen Erzeugenden*, die  $xy$ -Ebene, zur *Hauptebene des parabolischen Zylinders parallel* ist

(Fig. 45 gibt den Durchschnitt beider Flächen mit einer zur  $x$ -Achse senkrechten Ebene  $O'y'z'$ , wie Fig. 19, S. 25).

**3. Elemente des Anfangspunktes.** Die *Tangente* der Kurve (1) im Anfangspunkte  $\lambda = 0$ :

$$(6) \quad x:y:z = a'':b':c \quad (OT)$$

ist nach § 11, 6, II diejenige Erzeugende des Kegels (5) in der er geschnitten wird von der Tangentialebene  $Os_0$  des Zylinders (Fig. 45) längs der  $x$ -Achse.

Die *Schmiegungeebene* im Punkte  $\lambda = 0$ :

$$(7) \quad c(bx - a'y) + (a'b' - a''b)z = 0 \quad (Ot_1)$$

ist nach § 11, 7 die Tangentialebene des Kegels längs der Erzeugenden (6).

Der *Durchmesser* durch den Punkt  $\lambda = 0$ :

$$(8) \quad x:y:z = a':b:0 \quad (OS),$$

nach § 11, (30) die Polare der Ebene  $Os_0$  in bezug auf den Kegel, halbiert nach § 11, 8, II alle Sehnen  $\lambda, -\lambda$ .

**4. Unendlich viele Scheitelpunkte.** Jedoch sind die Elemente des Anfangspunktes keine ausgezeichneten Elemente der Kurve, da nach § 11, 3, IV jeder Punkt der Kurve als Scheitelpunkt gleichberechtigt ist. In der Tat behalten die Gleichungen (1) ihre Form in § 11, (18) unverändert bei, wenn ein von einem beliebigen Punkte  $O_0 = \lambda_0$  der Kurve ausgehendes, dem System  $Oxyz$  paralleles System  $O_0XYZ$  eingeführt wird. Die Kurve § 11, (18) erscheint wiederum als der Durchschnitt des parabolischen Zylinders:

$$(9) \quad bZ^2 - c^2Y + b_0'cZ = 0$$

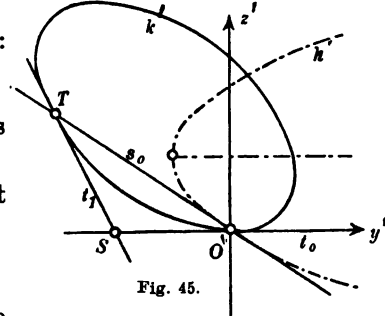
und des Kegels:

$$(10) \quad ac^2Y^2 + (a_0'b - 2ab_0')cYZ + (ab_0'^2 - a_0'bb_0' + a_0''b^2)Z^2 - b^2cZX = 0.$$

Während aber (5) der Sehnenkegel des Punktes  $\lambda = 0$  war, ist (10) der Sehnenkegel des Punktes  $\lambda_0$ . Wiederum ist die Tangentialebene  $Z = 0$  des Kegels (10) längs der  $X$ -Achse der Hauptebene des Zylinders (9) parallel.

*Alle Sehnenkegel der kub. Parabel (1) haben längs ihrer gemeinsamen Erzeugenden mit dem parabolischen Zylinder (4) parallele Tangentialebenen, parallel der Hauptebene des Zylinders.*

**5. Unendlich viele Scheiteldurchmesser.** Wie bei der Darstellung (1) zum Punkte  $\lambda = 0$  der Durchmesser (8), so gehört auch





bei der Darstellung § 11, (18) zum Punkte  $\mu = 0$  oder  $\lambda = \lambda_0$  der Durchmesser:

$$(11) \quad X:Y:Z = a'_0:b:0 = 3a\lambda_0 + a':b:0$$

oder im System  $Oxyz$  dargestellt nach § 11, (10) mit Benutzung der für  $\lambda = \lambda_0$  gebildeten Werte (1):

$$(12) \quad (3a\lambda_0 + a')y - bx - (2ab\lambda_0^2 + 3ab'\lambda_0^2 + (a'b' - a''b)\lambda_0) = 0, \quad z = c\lambda_0.$$

Bei der kub. Parabel (1) gehört zu jedem Punkte  $\lambda_0$  ein Scheiteldurchmesser (12). Er ist nach § 11, (30) die Polare der Tangentialebene des parabolischen Zylinders (4), längs der gemeinsamen Erzeugenden mit dem Sehnenkegel  $\lambda_0$ , in bezug auf diesen Kegel und halbiert alle Sehnen  $\lambda\lambda'$ , für die:

$$(13) \quad \lambda + \lambda' = 2\lambda_0.$$

Alle Durchmesser sind nach der zweiten Gleichung (12) der Hauptebene des parabolischen Zylinders parallel.<sup>1)</sup>

**6. Ort der halbierten Sehnen.** Die der Bedingung (13) entsprechenden Sehnen  $\lambda\lambda'$  haben nach § 8, (2) die Gleichungen:

$$(14) \quad \begin{cases} bcx - (2a\lambda_0 + a')cy + (2ab'\lambda_0 + a'b' - a''b)z + ab\lambda\lambda'z = 0, \\ cy - (2b\lambda_0 + b')z + bc\lambda\lambda't = 0. \end{cases}$$

Durch Elimination von  $\lambda\lambda'$  ergibt sich als Ort der Sehnen, die vom Durchmesser des Punktes  $\lambda_0$  halbiert werden, das hyperbolische Paraboloid:

$$(15) \quad \begin{cases} a(2b\lambda_0 + b')z^2 - acyz + bc^2xt - (2a\lambda_0 + a')c^2yt. \\ + (2ab'\lambda_0 + a'b' - a''b)czt = 0. \end{cases}$$

**7. Paraboloid im Bündel.** Das Bündel aller durch die Kurve (1) gehenden Flächen 2. O. ist nach § 9, (25):

$$(16) \quad \varrho f + \sigma g + \tau h = 0,$$

wo  $f:ab$  und  $h$  die linken Seiten der Gleichungen (4) und (5) und  $g$  nach § 9, (3) bedeutet:

$$(17) \quad g = -abcyz + abb'z^2 + b^2c^2xt - a'b'c^2yt + (a'b' - a''b)bczt.$$

Die Determinante der unendlich fernen Kurve der Fläche (16) ist, da im Sinne von § 9, (5)  $a_{11} = 0$ ,  $a_{12} = 0$  ist:

$$A_{44} = -a_{22}a_{31}^2 = -\frac{1}{4}ab^4c^4\tau^3.$$

1) v. Drach, Kub. Kegelschn. (1867), S. 68.

Die Fläche (16) ist daher mit Rücksicht auf § 9, (32) ein hyperbolisches Paraboloid für  $\tau = 0$ ,  $\sigma \neq 0$ ; wir setzen etwa  $\rho = 2\lambda_0$ ,  $\sigma = 1$ :

*Alle im Bündel (16) enthaltenen hyperbolischen Paraboloiden bilden den Büschel:*

$$(18) \quad 2\lambda_0 f + g = 0.$$

Sie haben alle, außer der Raumkurve selbst, deren unendlich ferne Tangente  $z = 0$ ,  $t = 0$  (§ 8, (39)) gemein.

Die Gleichung (18) ist identisch mit (15), so daß jedes Paraboloid des Büschels (18) die von einem Durchmesser halbierten Sehnen enthält.

**8. Einfachste Darstellung in rechtwinkligen Koordinaten.** Wählt man für die Darstellung § 11, (18):

$$(19) \quad \lambda_0 = -\frac{b'}{2b},$$

so wird nach § 11, (19):  $b'_0 = 0$ . Man kann daher, indem man den Punkt (19) von vornherein als Anfangspunkt  $O$  genommen denkt, in (1) ohne Beschränkung annehmen, daß:

$$(20) \quad b' = 0.$$

*Die kub. Parabel kann in bezug auf ein rechtwinkliges System  $Oxyz$  immer durch die Gleichungen dargestellt werden:*

$$(21) \quad x = a\lambda^3 + a'\lambda^2 + a''\lambda, \\ y = b\lambda^2, \quad z = c\lambda;$$

$$(22) \quad u = bc, \quad v = -(3a\lambda + a')c, \\ w = (3a\lambda^2 - a'')b, \quad s = -abc\lambda^3.$$

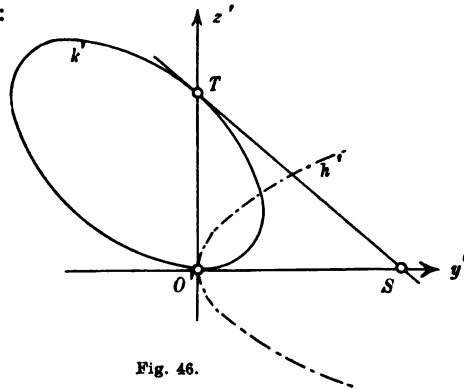


Fig. 46.

Sie ist dann der Durchschnitt des parabolischen Zylinders und Kegels:

$$(23) \quad bz^2 - c^2yt = 0; \quad (24) \quad ac^2y^2 + a'bcyz + a''b^2z^2 - b^2csx = 0.$$

Die  $x$ -Achse ist die Scheitelerzeugende des parabolischen Zylinders und  $O$  der auf ihr liegende (endliche) Kurvenpunkt (Fig. 46),

**9. Das natürliche Koordinatensystem der kub. Parabel.** Für die Kurve (1) bildet die vom Scheitelpunkt  $O$  ausgehende  $x$ -Achse, der Scheiteldurchmesser (8) und die Scheiteltangente (6) das in § 11, 1 eingeführte schiefwinklige System der Scheitelemente, für welches die Gleichungen § 12, (6); (7); (11) gelten. Da aber nach 4 jeder Punkt Scheitelpunkt ist, so folgt:

Zu jedem beliebigen (endlichen) Punkte  $O$  der kub. Parabel als Scheitel gehört ein bestimmtes schiefwinkliges System  $Oxyz$ , in bezug auf das die Parameterdarstellungen der Kurve lauten:

$$(25) \quad x = a\lambda^3, \quad y = b\lambda^2, \quad z = c\lambda, \quad t = 1;$$

$$(26) \quad u = \frac{1}{a}, \quad v = -\frac{3\lambda}{b}, \quad w = \frac{3\lambda^2}{c}, \quad s = -\lambda^3;$$

$$(27) \quad \begin{cases} p_{33} = bc\lambda^2, & p_{31} = -2ca\lambda^3, & p_{12} = ab\lambda^4, \\ p_{14} = 3a\lambda^2, & p_{34} = 2b\lambda, & p_{34} = c. \end{cases}$$

Die Ebenen  $x = 0$ ;  $y = 0$ ;  $z = 0$ ;  $t = 0$  enthalten nach (25) die Kurvenpunkte  $\lambda = 0, 0, 0$ ;  $0, 0, \infty$ ;  $0, \infty, \infty$ ;  $\infty, \infty, \infty$ ; die Ebenen  $x = 0$  und  $t = 0$  sind also die Schmiegungebenen in den Punkten  $\lambda = 0$  und  $\lambda = \infty$ , die Ebenen  $y = 0$  und  $z = 0$  diejenigen Tangentialebenen in beiden Punkten, die je durch den anderen gehen.

Das eingeführte „natürliche“ System  $Oxyz$  ist daher nach § 22, 9 das den Punkten  $\lambda = 0$  und  $\lambda = \infty$  entsprechende Schmiegungstetraeder. Es gibt, da  $\lambda = 0$  ein beliebiger Punkt ist, unendlich viele solche Schmiegungstetraeder.

Die  $y$ -Achse, als Scheiteldurchmesser, halbiert alle Sehnen  $\lambda, -\lambda$ .

**10. Flächenbündel und Scharschar.** Nach § 12, 5 ist das Bündel aller durch die Kurve (25) gehenden Flächen 2. O. und die Scharschar aller von den Ebenen (26) berührten Flächen 2. Kl.:

$$(28) \quad \varrho f + \sigma g + \tau h = 0; \quad (29) \quad \varrho F + \sigma G + \tau H = 0,$$

wo:

$$(30) \quad f = \frac{z^2}{c^2} - \frac{y}{b}t, \quad -g = \frac{y}{b}\frac{z}{c} - \frac{x}{a}t, \quad h = \frac{y^2}{b^2} - \frac{z}{c}\frac{x}{a};$$

$$(31) \quad F = b^2v^2 - 3cawu, \quad G = bcvw - 9aus, \quad H = c^2w^2 - 3bvs.$$

Die Gleichungen:

$$(32) \quad f = \frac{z^2}{c^2} - \frac{y}{b} = 0, \quad h = \frac{y^2}{b^2} - \frac{z}{c}\frac{x}{a} = 0$$

stellen den parabolischen Zylinder und den zum Punkte  $\lambda = 0$  gehörigen Sehnenkegel dar und:

$$(33) \quad F = b^2v^2 - 3cawu = 0, \quad H = c^2w^2 - 3bvs = 0$$

den Achsenkegelschnitt der unendlich fernen Schmiegungebene und denjenigen des Punktes  $\lambda = 0$ .

**11. Konstruktion der kub. Parabel.** Die beiden Gleichungen (32) in Verbindung mit der Gleichung:

$$(34) \quad \frac{y}{b} - \lambda \frac{s}{c} = 0$$

sind der Parameterdarstellung (25) gleichwertig und enthalten die Konstruktion der kub. Parabel, wenn in der zur  $yz$ -Ebene parallelen  $y's'$ -Ebene  $x=a$  eines schiefwinkligen Achsensystems  $Oxyz$  die Leitparabel  $h$  des parabolischen Zylinders  $f=0$  und die Leitparabel  $k$  des Kegels  $h=0$  gegeben sind. In (34) hat man dann einen Büschel von Ebenen, die durch die  $x$ -Achse die gemeinsame

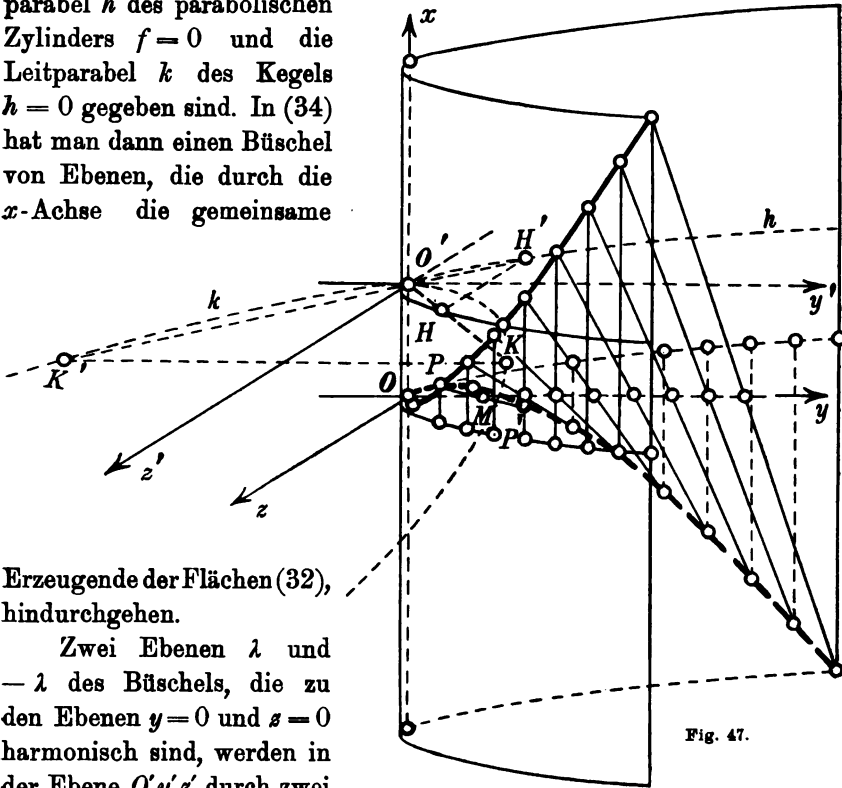


Fig. 47.

Erzeugende der Flächen (32), hindurchgehen.

Zwei Ebenen  $\lambda$  und  $-\lambda$  des Büschels, die zu den Ebenen  $y=0$  und  $s=0$  harmonisch sind, werden in der Ebene  $O'y's'$  durch zwei Strahlen durch  $O'$  bezeichnet, welche die Kurven  $h$  und  $k$  in  $H, H'$  und  $K, K'$  schneiden (Fig. 47). Indem man durch  $H, H'$  Parallelen zur  $x$ -Achse zieht und  $K, K'$  mit  $O$  verbindet (in Fig. 47 sind diese Linien hinzuzudenken), erhält man die in den Ebenen  $\lambda, \lambda'$  liegenden Erzeugenden von Zylinder und Kegel und in deren Schnittpunkten  $P, P'$  zwei Punkte der Kurve. Ihre Sehne  $PP'$  wird in  $M$  von dem Durchmesser des Punktes  $O$ , der  $y$ -Achse, halbiert. In Fig. 47 sind für weitere Punktepaare  $\lambda, -\lambda$  die von der  $y$ -Achse halbierten Sehnen gezogen; zu diesen Sehnen gehört die  $z$ -Achse, die Tangente der Raumkurve im Punkte  $O$ .

**12. Der Parallelkegel.** Für die folgenden Betrachtungen legen wir die vereinfachte Darstellung (21) der allgemeinen kub. Parabel in

*rechtwinkligen Koordinaten* zugrunde. Zu (21) treten neben (22) noch die mit  $b' = 0$  verkürzten Formeln (3).

Zieht man durch den Anfangspunkt  $O$  Parallelstrahlen zu allen Tangenten der Kurve, so entsteht ein Kegel, der kurz als *Parallelkegel* bezeichnet werden soll. Für einen Punkt  $x, y, z$  dieses Kegels ist nach (3) (I § 48, (19)):

$$(35) \quad x : y : z = 3a\lambda^2 + 2a'\lambda + a'' : 2b\lambda : c.$$

Durch Elimination von  $\lambda$  ergibt sich als Gleichung des Parallelkegels:

$$(36) \quad 3ac^2y^2 + 4a''b^2z^2 + 4a'bcyz - 4b^2czz = 0.$$

Es ist also ein *Kegel 2. O.* Seine Gleichung in Ebenenkoordinaten des Bündels (I § 49, 5; II § 80, (12)) lautet:

$$(37) \quad (a'^2 - 3aa'')u^2 + b^2v^2 - 3cawu + 2a'buv = 0.$$

Zieht man andererseits durch  $O$  Parallelebenen zu allen Schmiegungsebenen der Kurve, so ist für eine solche Parallelebene nach (22):

$$(38) \quad u : v : w = bc : -(3a\lambda + a')c : (3a\lambda^2 - a'')b.$$

Hieraus folgt aber durch Elimination von  $\lambda$  die Gleichung (37):

I. *Legt man durch den Punkt  $O$  Parallelstrahlen zu allen Tangenten und Parallelebenen zu allen Schmiegungsebenen der kub. Parabel (21), so sind die einen die Erzeugenden und die anderen die Tangentialebenen desselben Kegels (37), (38).<sup>1)</sup>*

Da der Parallelkegel (37) unter der Bedingung:

$$(39) \quad a'^2 - 3aa'' + b^2 = 0$$

dual gleichseitig (II § 71, (30)) ist, so folgt:

II. *Bei der kub. Parabel (21) gibt es entweder keine drei zueinander senkrechten Schmiegungsebenen oder, falls die Bedingung (39) erfüllt ist unendlich viele Systeme solcher.<sup>2)</sup>*

Es gehören dann zu jeder Schmiegungsebene zwei zu ihr und untereinander senkrechte.

**13. Senkrechte Schmiegungsebenen.** Sollen überhaupt zwei Schmiegungsebenen  $\lambda_0$  und  $\lambda$  zueinander senkrecht sein, muß nach (22):

$$(40) \quad b^2c^2 + (3a\lambda_0 + a')(3a\lambda + a')c^2 + (3a\lambda_0^2 - a'')(3a\lambda^2 - a'')b^2 = 0$$

oder nach  $\lambda$  geordnet:

1) H. Schröter, *Oberflächen 2. O.* (1880), S. 307.

2) O. Böklen, *Zeitschr. Math. Phys.* 29 (1884), S. 378; F. Meyer, ebd. 30 (1885), S. 345.

$$(41) \quad 3ab^2(3a\lambda_0^2 - a'')\lambda^2 + 3ac^2(3a\lambda_0 + a')\lambda + b^3c^2 \\ + a'c^2(3a\lambda_0 + a') - a''b^2(3a\lambda_0^2 - a'') = 0.$$

Zu einer Schmiegungebene  $\lambda_0$  gibt es zwei Senkrechte  $\lambda_1$  und  $\lambda_2$ , für die:

$$(42) \quad \lambda_1 + \lambda_2 = -\frac{3ac^2(3a\lambda_0 + a')}{3ab^2(3a\lambda_0^2 - a'')}, \\ \lambda_1\lambda_2 = \frac{b^2c^2 + a'c^2(3a\lambda_0 + a') - a''b^2(3a\lambda_0^2 - a'')}{3ab^2(3a\lambda_0^2 - a'')}.$$

Sollen auch  $\lambda_1$  und  $\lambda_2$  untereinander senkrecht sein, was einschließt, daß sie reell sind, so muß nach (40) die Bedingung:

$$(43) \quad b^2c^2 + (3a\lambda_1 + a')(3a\lambda_2 + a')c^2 + (3a\lambda_1^2 - a'')(3a\lambda_2^2 - a'')b^2 = 0$$

erfüllt sein, die sich nach Einsetzen der Werte (42) auf die Form bringen läßt:

$$(44) \quad \{(3a\lambda_0 - a'')^2b^2 + (3a\lambda_0 + a')^2c^2 + b^2c^2\}(a'^2 - 3aa'' + b^2) = 0,$$

die im allgemeinen für kein  $\lambda_0$  erfüllt ist, unter der Bedingung (39) aber für jedes  $\lambda_0$ , so daß wieder der Satz 12, II folgt.

**14. Ort der Schnittpunkte.** Für den Schnittpunkt  $x, y, z, t$  der drei Schmiegungebenen  $\lambda_0, \lambda_1, \lambda_2$  ist nach § 7, (18) mit  $l = 0, m = 0, n = 1; b' = 0$ :

$$(45) \quad \frac{3x}{t} = 3a\lambda_0\lambda_1\lambda_2 + a'(\lambda_0\lambda_1 + \lambda_0\lambda_2 + \lambda_1\lambda_2) + a''(\lambda_0 + \lambda_1 + \lambda_2), \\ \frac{3y}{t} = b(\lambda_0\lambda_1 + \lambda_0\lambda_2 + \lambda_1\lambda_2), \quad \frac{3z}{t} = c(\lambda_0 + \lambda_1 + \lambda_2).$$

Mit Einsetzung der Werte (42) ergibt sich aber unter der Bedingung (39), daß unabhängig von  $\lambda_0$ :

$$(46) \quad 3\frac{x}{t} = -\frac{a'a''}{3a}, \quad 3\frac{y}{t} = -\frac{3ac^2 + a''b^2}{3ab}.$$

*Der Ort der Schnittpunkte dreier rechtwinkligen Schmiegungebenen der speziellen kub. Parabel (21), (39) ist die zur Hauptebene des parabolischen Zylinders (23) senkrechte gerade Linie (46), die Direktrix der speziellen kub. Parabel.<sup>1)</sup>*

Die Gleichung einer Ebene, die durch die Direktrix (46) senkrecht zur Schmiegungeebene  $\lambda$ :

$$(47) \quad bcx - (3a\lambda + a')cy + (3a\lambda^2 - a'')bz - abc\lambda^2 = 0$$

1) O. Böklen, Zeitschr. Math. Phys. 29 (1884), S. 379; F. Meyer, Böklen Mitt. 1 (1884), S. 11; Zeitschr. Math. Phys. 30 (1885), S. 846.

gelegt wird, lautet (mit  $t = 1$ ):

$$(3a\lambda + a') \left( x + \frac{a'a''}{9a} \right) + b \left( y + \frac{3ac^2 + a''b^2}{9ab} \right) = 0$$

oder mit Benutzung von (39):

$$(48) \quad 3(3a\lambda + a')x + 3by + a'a''\lambda + a''^2 + c^2 = 0.$$

Die beiden Gleichungen (47) und (48) stellen also die senkrechte Projektion der Direktrix (46) auf die Schmiegungebene  $\lambda$  dar.

**15. Elemente der Achsenparabel.** Der Achsenkegelschnitt der kub. Parabel in der Schmiegungebene (47) ist nach § 10, 4 eine Parabel. Er hat die Gleichung § 10, (5) mit den Koeffizienten ( $l = 0$ ,  $m = 0$ ,  $n = 1$ ;  $b' = 0$ ):

$$(49) \quad \begin{cases} b_{11} = (a'^2 - 3aa')\lambda^2 + a'a''\lambda + a''^2, & b_{22} = b^2\lambda^2, & b_{33} = c^2, \\ 2b_{23} = bc\lambda, & 2b_{31} = (-3a\lambda^2 + a'\lambda + 2a'')c, & 2b_{12} = 2a'b\lambda^2 + a''b\lambda, \\ 2b_{14} = -3(3a\lambda + a'), & 2b_{24} = -3b, & 2b_{34} = 0, & b_{44} = 0. \end{cases}$$

Ist nun  $x'$  die Hauptachse und  $z'$  die Scheiteltangente der Parabel (Fig. 48), so sind die Richtungskosinus von  $x'$  nach II § 103, (4):

$$(50) \quad \alpha_1 = \frac{b_{14}}{q}, \quad \beta_1 = \frac{b_{24}}{q}, \quad \gamma_1 = \frac{b_{34}}{q} = 0; \quad q = \sqrt{b_{14}^2 + b_{24}^2}.$$

Ferner ist für die Koordinaten  $x_0$ ,  $y_0$ ,  $z_0$  des Scheitelpunktes nach II § 103, (10):

$$(51) \quad \begin{cases} 2q^4x_0 = 2q^3(b_{11}b_{14} + b_{12}b_{24}) - (b_{11}b_{14}^2 + 2b_{12}b_{14}b_{24} + b_{22}b_{24}^2)b_{14}, \\ 2q^4y_0 = 2q^3(b_{12}b_{14} + b_{22}b_{24}) - (b_{11}b_{14}^2 + 2b_{12}b_{14}b_{24} + b_{22}b_{24}^2)b_{24}, \\ 2q^4z_0 = 2(b_{13}b_{14} + b_{23}b_{24}). \end{cases}$$

Der Brennpunkt der Parabel hat auf der Achse  $x'$  den Abstand  $-\frac{p}{2}$  vom Scheitel und daher die Koordinaten:

$$(52) \quad x = x_0 - \frac{p}{2}\alpha_1, \quad y = y_0 - \frac{p}{2}\beta_1, \quad z = z_0 - \frac{p}{2}\gamma_1 = z_0,$$

wo der Parameter  $p$  nach II § 104, (2); II § 103, (16); (5); II § 102, (19) den Wert hat:

$$(53) \quad p = \frac{(b_{22} + b_{33})b_{14}^2 + (b_{11} + b_{33})b_{24}^2 - 2b_{12}b_{14}b_{24}}{q^3}.$$

Die homogenen Koordinaten des Brennpunktes der Achsenparabel  $\lambda$  werden daher:

$$(54) \quad \begin{cases} x = 2b_{12}b_{24} + (b_{11} - b_{22} - b_{33})b_{14}, & y = 2b_{12}b_{14} + (b_{22} - b_{11} - b_{33})b_{24}, \\ z = 2(b_{13}b_{14} + b_{23}b_{24}), & t = 2(b_{14}^2 + b_{24}^2). \end{cases}$$

Die Direktrix der Parabel wird aus der Ebene (47) ausgeschnitten durch eine zweite Ebene, die zu  $x'$  senkrecht ist und den Abstand  $\frac{p}{2}$  vom Scheitelpunkt (Fig. 48), also die Gleichung hat:

$$(55) \quad \alpha_1 \left( x - x_0 - \frac{p}{2} \alpha_1 \right) + \beta_1 \left( y - y_0 - \frac{p}{2} \beta_1 \right) + \gamma_1 \left( z - z_0 - \frac{p}{2} \gamma_1 \right) = 0$$

oder nach II § 103, (8); (7); (9):

$$(56) \quad 2b_{14}x + 2b_{24}y - (b_{11} + b_{22} + b_{33}) = 0.$$

Die Direktrix der Achsenparabel  $\lambda$  ist dargestellt durch die Gleichungen (47) und:

$$(57) \quad 3(3a\lambda + a')x + 3by + (a'^2 - 3aa'' + b^2)\lambda^2 + a'a''\lambda + a''^2 + c^2 = 0.$$

### 16. Ort der Brennpunkte der Achsenparabeln.

Mit Rücksicht auf (49) stellen die Gleichungen (54) bei veränderlichem  $\lambda$  eine Raumkurve 3. O. § 4, (1) dar, welche die unendlich ferne Ebene  $t=0$  in einem reellen,  $\lambda=\infty$ , und zwei imaginären Punkten schneidet:

I. Der Ort der Brennpunkte aller Achsenparabeln der kub. Parabel ist eine kub. Ellipse.<sup>1)</sup>

Für den Parameter  $\lambda$  der beiden imaginären unendlich fernen Punkte ist nun:

$$b_{14} = b_{24}i \quad \text{oder} \quad 3a\lambda + a' = bi,$$

mit doppeltem Vorzeichen von  $i$ , und danach aus (54):  $x^2 + y^2 + z^2 = 0$ .

II. Die beiden imaginären unendlich fernen Punkte der kub. Ellipse (54) gehören dem imaginären Kugelkreis an.<sup>1)</sup>

17. Eigenschaft der kub. Parabel mit Direktrix. Da im Falle (39) die Gleichung (57) mit (48) übereinkommt, so folgt:

Die Direktrix der Achsenparabel  $\lambda$  der kub. Parabel (21), (39) ist die senkrechte Projektion der Direktrix (46) auf die Schmiegungeebene  $\lambda$ .<sup>2)</sup>

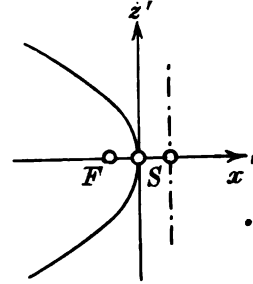


Fig. 48.

1) W. Wirtinger, Wien. Sitzungsber. 94 (1886) 2. Abt., S. 302.

2) O. Böklen, Zeitschr. Math. Phys. 29 (1884), S. 379.



## II. Abschnitt.

# Behandlung der Raumkurve dritter Ordnung in Tetraederkoordinaten.

## I. Kapitel.

### Bestandteile der Raumkurve dritter Ordnung.

#### § 24. Punkte und Schmiegungsebenen.

**1. Definition von Punktreihe und Ebenenbüschel.** Werden unter  $x_k$  und  $u_k$ ,  $k = 1, 2, 3, 4$ , *Punkt- und Ebenenkoordinaten* in bezug auf ein beliebiges *Koordinatentetraeder*  $E_1 E_2 E_3 E_4$  verstanden, so enthalten die Gleichungssysteme:

$$(1) \quad \varrho x_k = a_{k1} \lambda^3 + a_{k2} \lambda^2 + a_{k3} \lambda + a_{k4};$$

$$(1') \quad \sigma u_k = A_{k1} - 3 A_{k2} \lambda + 3 A_{k3} \lambda^2 - A_{k4} \lambda^3,$$

unter  $\varrho$  und  $\sigma$  Proportionalitätsfaktoren verstanden, wie § 4, (1), die Parameterdarstellung der *allgemeinen Punktreihe* (Raumkurve) 3. O. und des *allgemeinen Ebenenbüschels* 3. O.

Unter der Voraussetzung:

$$(2) \quad A = |a_{ki}| \neq 0; \quad (2') \quad A = |A_{ki}| \neq 0$$

entspricht jedem Werte des *Parameters*  $\lambda$  immer ein und nur ein „*Punkt*  $\lambda$ “ der Reihe, bezüglich eine „*Ebene*  $\lambda$ “ des Büschels.

Die 16 *Konstanten*  $a_{ki}$  und die 16 *Konstanten*  $A_{ki}$  können beiderseits ganz unabhängig voneinander gedacht werden. Setzen wir indessen voraus, daß die  $A_{ki}$  die *Unterdeterminanten* 3. Grades der *Determinante*  $A$  sind, so werden die beiden Gebilde (1) und (1') von einander abhängig gemacht (siehe später unter 10), aber auch dann kann (I Anm. 1, III, (8)) jedes der beiden Gebilde, gleichviel welches, als das ursprünglich gegebene und daher als völlig allgemein gelten.

**2. Charakteristische Eigenschaft von Punktreihe und Ebenenbüschel.** Die Substitution der Koordinaten (1) oder (1') in die Bedingung der vereinigten Lage von Punkt und Ebene:

$$(3) \quad u_1 x_1 + u_2 x_2 + u_3 x_3 + u_4 x_4 = 0$$

gibt je eine Gleichung 3. Grades in  $\lambda$ , deren Koeffizienten nach (2) oder (2') niemals alle verschwinden (§ 4, 3).

*Daher liegen in jeder Ebene des Raumes drei Punkte der Punktreihe 3. O. und gehen durch jeden Punkt des Raumes drei Ebenen des Büschels 3. O.<sup>1)</sup>*

Von den drei Elementen sind entweder eines oder alle drei reell.

**3. Die Determinante der Parameterdarstellung als Invariante der Koordinatentransformation.** Irgend ein *neues Koordinatentetraeder*  $J_1 J_2 J_3 J_4$  wird mit willkürlichen Konstanten  $c_{ki}$  von nicht verschwindender *Substitutionsdeterminante*:

$$(4) \quad C = |c_{ki}|$$

durch die Gleichungen eingeführt (I § 63, (8); (9)):

$$(5) \quad x_k = \sum_1^4 c_{ki} y_i; \quad (6) \quad C y_i = \sum_1^4 C_{ki} x_k,$$

$k, l = 1, 2, 3, 4$ , wo  $C_{ki}$  die Unterdeterminanten 3. Grades von  $C$  sind. Schreibt man daher die Gleichungen (1) in der Form:

$$(7) \quad \varrho x_k = \sum_1^4 a_{km} \lambda^{4-m},$$

so wird nach (6):

$$\varrho C y_i = \sum_k C_{ki} \sum_m a_{km} \lambda^{4-m} = \sum_m \left\{ \sum_k C_{ki} a_{km} \right\} \lambda^{4-m}$$

oder wenn man:

$$(8) \quad C b_{im} = \sum_1^4 C_{ki} a_{km}$$

setzt:

$$(9) \quad \varrho y_i = \sum_1^4 b_{im} \lambda^{4-m}.$$

*In dem neuen System erhalten also die Gleichungen (7) die Form (9) mit den durch (8) definierten Koeffizienten.*

Nun ist (I Anm. 1, V, 3) nach dem Multiplikationstheorem der Determinanten:

$$C^4 B = C^4 \cdot |b_{im}| = |C b_{im}| = |C_{ki}| \cdot |a_{km}| = C^3 A.$$

Zwischen den Determinanten der Parameterdarstellungen (7) und (9) besteht die Beziehung:

$$(10) \quad A = BC.$$

1) M. Chasles, J. de Math. (2) 2 (1857), S. 404 (Nr. 40); H. Schröter, J. f. Math. 56 (1859), S. 29; Cremona, Ann. di mat. 1 (1858), S. 166.

*Die Determinante der Parameterdarstellung ist gegen jede Koordinatentransformation invariant.*

**4. Die Determinante als Invariante der Parametertransformation.** Führt man in (7) bei *ungeändertem Koordinatentetraeder* durch die Substitution:

$$(11) \quad \lambda = \frac{\alpha\mu + \beta}{\gamma\mu + \delta}$$

mit nicht verschwindender Substitutionsdeterminante:

$$(12) \quad \Delta = \alpha\delta - \beta\gamma$$

einen *neuen Parameter*  $\mu$  ein, so wird, wenn der gemeinsame Nenner  $(\gamma\mu + \delta)^2$  der rechten Seite in  $\varrho$  aufgenommen wird:

$$(13) \quad \varrho x_k = \sum_{i=1}^4 a'_{ki} \mu^{4-i},$$

wo:

$$(14) \quad \begin{cases} a'_{k1} = b_{k1}\alpha^2 + b_{k3}\gamma^2, & a'_{k2} = 2b_{k1}\alpha\beta + b_{k2}\alpha^2 + 2b_{k3}\gamma\delta + b_{k4}\gamma^2, \\ a'_{k3} = b_{k1}\beta^2 + 2b_{k2}\alpha\beta + b_{k3}\delta^2 + 2b_{k4}\gamma\delta, & a'_{k4} = b_{k2}\beta^2 + b_{k4}\delta^2 \end{cases}$$

und wiederum:

$$(15) \quad \begin{aligned} b_{k1} &= a_{k1}\alpha + a_{k2}\gamma, & b_{k2} &= a_{k1}\beta + a_{k2}\delta, \\ b_{k3} &= a_{k3}\alpha + a_{k4}\gamma, & b_{k4} &= a_{k3}\beta + a_{k4}\delta. \end{aligned}$$

Dann wird nach dem Multiplikationstheorem der Determinanten:

$$(16) \quad A' = |a'_{ki}| = \Delta^4 |b_{ki}| = \Delta^6 |a_{ki}| = \Delta^6 A.$$

*I. Die Determinante der Parameterdarstellung ist gegen jede lineare Transformation des Parameters invariant.*

Die drei verfügbaren Konstantenverhältnisse  $\alpha : \beta : \gamma : \delta$  der Substitution (11) kann man so bestimmen, daß drei beliebig angenommene Punkte  $\lambda_1, \lambda_2, \lambda_3$  der Kurve (1) in der neuen Darstellung (13) vorgegebene Parameter  $\mu_1, \mu_2, \mu_3$  bekommen. Mit Rückkehr zur ursprünglichen Bezeichnung erhält man daher den Satz:

*II. In der Darstellung (1) kann der Parameter  $\lambda$  von vornherein so gewählt werden, daß drei beliebig angenommene Punkte der Kurve vorgegebene Parameter  $\lambda_1, \lambda_2, \lambda_3$ , z. B. 0, 1,  $\infty$  oder  $\infty, 1, -1$ , erhalten.*

**5. Die kanonischen Koordinaten.** Nimmt man für die Konstanten  $c_{ki}$  des neuen Koordinatensystems insbesondere:

$$(17) \quad c_{ki} = a_{ki},$$

so geht die Substitution (5), (6) über in:

$$(18) \quad x_k = \sum_{i=1}^4 a_{ki} y_i; \quad (19) \quad A y_i = \sum_{k=1}^4 A_{ki} x_k,$$

während gleichzeitig zwischen alten und neuen Ebenenkoordinaten die Gleichungen bestehen (I § 63, (11); (12)):

$$(20) \quad v_i = \sum_1^4 a_{ki} u_k; \quad (21) \quad A u_k = \sum_1^4 A_{ki} v_i.$$

Setzt man jetzt in (19) die Werte (1) und in (20) die Werte (1') ein, so folgt:

$$A \varrho y_i = \sum_1^4 A_{ki} (a_{k1} \lambda^3 + a_{k2} \lambda^2 + a_{k3} \lambda + a_{k4});$$

$$\sigma v_i = \sum_1^4 a_{ki} (A_{k1} - 3 A_{k2} \lambda + 3 A_{k3} \lambda^2 - A_{k4} \lambda^3)$$

oder (I Anm. 1, III, (17)) mit  $A\sigma$  für  $\sigma$ :

1. Die Parameterdarstellungen (1) und (1') der allgemeinen Punkt-*reie* und des allgemeinen Strahlbüschels 3. O. können durch Einführung eines neuen Koordinatensystems  $J_1 J_2 J_3 J_4$  stets auf die Form gebracht werden:

$$(22) \quad \varrho y_1 = \lambda^3, \varrho y_2 = \lambda^2, \varrho y_3 = \lambda, \varrho y_4 = 1^1);$$

$$(22') \quad \sigma v_1 = 1, \sigma v_2 = -3\lambda, \sigma v_3 = 3\lambda^2, \sigma v_4 = -\lambda^3.$$

Wir nennen die neuen Punkt- und Ebenenkoordinaten  $y_k$  und  $v_k$ , welche durch die zusammengehörigen Formeln (18)–(21) mit den alten  $x_k$  und  $u_k$  verbunden sind, die *kanonischen Koordinaten* der Gebilde (1) und (1'). Zu den Formeln (18)–(21) treten noch die zwischen alten und neuen Strahlenkoordinaten  $p_k$  und  $r_k$  hinzu (I § 63, (19); (20)):

$$(23) \quad p_k = \sum_1^6 \alpha_{ki} r_i \quad (24) \quad A^2 r_i = \sum_1^6 A_{ki} p_k.$$

hinzu, wo  $\alpha_{ki}$  und  $A_{ki}$  die aus den Elementen  $a_{ki}$ , bezüglich  $A_{ki}$  gebildeten Unterdeterminanten 2. Grades sind (I Anm. 1, III, (4)).

**6. Schnittpunkte der Raumkurve mit einer Ebene.** Die Bedingung der vereinigten Lage von Punkt und Ebene:

$$(25) \quad v_1 y_1 + v_2 y_2 + v_3 y_3 + v_4 y_4 = 0$$

gibt mit Substitution der Werte (22) oder (22'):

$$(26) \quad v_1 \lambda^3 + v_2 \lambda^2 + v_3 \lambda + v_4 = 0; \quad (26') \quad y_1 - 3\lambda y_2 + 3\lambda^2 y_3 - \lambda^3 y_4 = 0;$$

also entsprechend dem Satze unter 2:

1) Möbius, Werke 1, S. 118 (1827); Joachimsthal, J. f. Math. 56 (1858), S. 44; Cremona, Ann. di mat. (1) 1 (1858), S. 164. R. Mehmke, Punkt- und Vektorrechnung 1 (1913), S. 198.

Die drei in einer gegebenen Ebene  $v_k$  liegenden Punkte  $\lambda_1, \lambda_2, \lambda_3$  der Punktreihe (22) bestimmen sich aus der kubischen Gleichung (26), so daß:

$$(27) \quad \begin{cases} \lambda_1 + \lambda_2 + \lambda_3 = -\frac{v_2}{v_1}, \\ \lambda_2 \lambda_3 + \lambda_3 \lambda_1 + \lambda_1 \lambda_2 = \frac{v_3}{v_1}, \\ \lambda_1 \lambda_2 \lambda_3 = -\frac{v_4}{v_1}. \end{cases}$$

Die drei durch einen gegebenen Punkt  $y_k$  gehenden Ebenen  $\lambda_1, \lambda_2, \lambda_3$  des Ebenenbüschels (22') bestimmen sich aus der kubischen Gleichung (26'), sodaß:

$$(27') \quad \begin{cases} \lambda_1 + \lambda_2 + \lambda_3 = 3\frac{y_2}{y_4}, \\ \lambda_2 \lambda_3 + \lambda_3 \lambda_1 + \lambda_1 \lambda_2 = \frac{3y_3}{y_4}, \\ \lambda_1 \lambda_2 \lambda_3 = \frac{y_1}{y_4}. \end{cases}$$

**7. Verbindungsebene dreier Punkte der Raumkurve.** Umgekehrt gelten wie § 7, 2; 7 die Sätze:

Die Verbindungsebene dreier gegebenen Punkte  $\lambda_1, \lambda_2, \lambda_3$  der Punktreihe hat die Gleichung:<sup>1)</sup>

$$(28) \quad y_1 - (\lambda_1 + \lambda_2 + \lambda_3) y_2 + (\lambda_2 \lambda_3 + \lambda_3 \lambda_1 + \lambda_1 \lambda_2) y_3 - \lambda_1 \lambda_2 \lambda_3 y_4 = 0.$$

Der Schnittpunkt dreier gegebenen Ebenen  $\lambda_1, \lambda_2, \lambda_3$  des Ebenenbüschels hat die Gleichung:

$$(28') \quad \lambda_1 \lambda_2 \lambda_3 v_1 + \frac{1}{3} (\lambda_2 \lambda_3 + \lambda_3 \lambda_1 + \lambda_1 \lambda_2) v_2 + \frac{1}{3} (\lambda_1 + \lambda_2 + \lambda_3) v_3 + v_4 = 0.$$

### 8. Berührungsebene der Raumkurve.

Fallen von den drei Punkten  $\lambda_1, \lambda_2, \lambda_3$  der Punktreihe, die eine Ebene enthält, zwei zusammen,  $\lambda_1 = \lambda_2$ , so ist die Ebene eine Berührungsebene im Punkte  $\lambda_1 = \lambda_2$  der Punktreihe.

Fallen von den drei Ebenen  $\lambda_1, \lambda_2, \lambda_3$  des Ebenenbüschels, die durch einen Punkt gehen, zwei zusammen,  $\lambda_1 = \lambda_2$ , so ist der Punkt ein Berührungspunkt in der Ebene  $\lambda_1 = \lambda_2$  des Ebenenbüschels.

Mit  $\lambda_1 = \lambda_2 = \lambda$ ,  $\lambda_3 = \lambda_0$  folgt daher aus (28) und (28'):

Diejenige Berührungsebene im Punkte  $\lambda$  der Punktreihe, die noch durch den Punkt  $\lambda_0$  geht, hat die Gleichung:<sup>2)</sup>

$$(29) \quad y_1 - (2\lambda + \lambda_0) y_2 + \lambda(\lambda + 2\lambda_0) y_3 - \lambda^2 \lambda_0 y_4 = 0.$$

Derjenige Berührungspunkt in der Ebene  $\lambda$  des Ebenenbüschels, der noch in der Ebene  $\lambda_0$  liegt, hat die Gleichung:

$$(29') \quad \lambda^2 \lambda_0 v_1 + \frac{1}{3} \lambda(\lambda + 2\lambda_0) v_2 + \frac{1}{3} (2\lambda + \lambda_0) v_3 + v_4 = 0.$$

Da die Gleichung (29) in  $\lambda_0$  linear ist, stellt sie bei festem  $\lambda$  und veränderlichem  $\lambda_0$  ein Ebenenbüschel (1. O.) dar, also:

1) Cremona, Ann. di mat. 1 (1858), S. 166; Joachimsthal, J. f. Math. 56 (1859), S. 45.

2) Cremona, Ann. di mat. 1 (1858), S. 278.

*Alle Berührungsebenen im Punkte  $\lambda$  der Punktreihe gehen durch eine Gerade.* | *Alle Berührungspunkte in der Ebene  $\lambda$  des Ebenenbüschels liegen auf einer Geraden.*

Auf diese Geraden kommen wir in § 25, 5 zurück.

**9. Die Schmiegungebenen der Raumkurve.** Wird im besonderen  $\lambda_0 = \lambda$ , so wird aus der Tangentenebene die *Schmiegungebene im Punkte  $\lambda$*  und aus dem Berührungspunkt der *Schmiegungepunkt in der Ebene  $\lambda$* .

*Die Schmiegungeebene im Punkte  $\lambda$  der Punktreihe (22) hat die Gleichung:<sup>1)</sup>* | *Der Schmiegungepunkt in der Ebene  $\lambda$  des Ebenenbüschels (22') hat die Gleichung:*

$$(30) \quad y_1 - 3\lambda y_2 + 3\lambda^2 y_3 - \lambda^3 y_4 = 0 \quad (31') \quad \lambda^3 v_1 + \lambda^2 v_2 + \lambda v_3 + v_4 = 0$$

*und demnach die Koordinaten:*

*und demnach die Koordinaten:*

$$(31) \quad \sigma v_1 = 1, \sigma v_2 = -3\lambda, \quad (31') \quad \sigma y_1 = \lambda^3, \sigma y_2 = \lambda^2, \sigma y_3 = \lambda, \\ \sigma v_3 = 3\lambda^2, \sigma v_4 = -\lambda^3. \quad \sigma y_4 = 1.$$

**10. Identität von Punktreihe und Ebenenbüschel 3. O.** Hieraus folgt zunächst mit Rücksicht darauf, daß die Gleichungen (1) und (1') je *unabhängig voneinander* mit willkürlichen Konstanten  $a_{ki}$  oder  $A_{ki}$  gegeben und durch Koordinatentransformation auf die Form (22) oder (22') gebracht werden konnten, mit der nun (31') und (31) übereinstimmt:

*I. Die Schmiegungeebenen einer jeden gegebenen Punktreihe 3. O. bilden einen Ebenenbüschel 3. O.<sup>2)</sup>* | *I'. Die Schmiegungepunkte eines jeden gegebenen Ebenenbüschels 3. O. bilden eine Punktreihe 3. O.<sup>2)</sup>*

Weiter aber folgt mit Rückgang auf 1, wo die Koeffizienten  $A_{ki}$  in (1') die Unterdeterminanten der Determinante der Koeffizienten  $a_{ki}$  in (1) und daher die Gleichungen (1) und (1') wechselseitig *von einander abhängig* sein sollten:

**II. Die Schmiegungeebenen der Punktreihe (1) bilden gerade den Ebenenbüschel (1') und die Schmiegungeebenen des Ebenenbüschels (1') gerade die Punktreihe (1).**

Wir fassen nunmehr beide, Punktreihe und Ebenenbüschel, als ein einziges aus „*Punkten*“ und „*Ebenen*“ bestehendes Gebilde auf, das wir *Raumkurve 3. O. und 3. Klasse* nennen. Die Ordnung bezeichnet die Anzahl der Punkte der Raumkurve in jeder Ebene des Raumes,

1) Joachimsthal, J. f. Math. 56 (1859), S. 45.

2) H. Schröter, J. f. Math. 56 (1859), S. 36.

die Klasse aber die Anzahl der Ebenen der Raumkurve durch jeden Punkt des Raumes.

III. *Als dann ist dieselbe Raumkurve 3. O. und 3. Kl. in einem beliebigen Koordinatensystem in Punkt- und Ebenenkoordinaten<sup>1)</sup> durch die Gleichungen (1) und (1') dargestellt, im kanonischen System ebenso durch (22) und (22').*

IV. *Ein Punkt der Kurve und die zu ihm gehörige Schmiegungsebene entsprechen dabei demselben Parameterwert  $\lambda$ .*

11. **Darstellung ohne Parameter.** Durch Elimination von  $\lambda$  aus je zwei Gleichungen (22) und (22') folgt:

$$(32) \quad \frac{y_1}{y_2} = \frac{y_2}{y_3} = \frac{y_3}{y_4}; \quad (32') \quad \frac{3v_4}{v_3} = \frac{v_3}{v_2} = \frac{v_2}{3v_1}.$$

I. *Die Punkte der Raumkurve sind daher gemeinsame Punkte der drei Flächen 2. Ordnung:*

$$(33) \quad f = y_2 y_4 - y_3^2 = 0, \quad g = y_2 y_3 - y_1 y_4 = 0, \quad h = y_1 y_3 - y_2^2 = 0,$$

*und die Ebenen der Raumkurve gemeinsame Tangentialebenen der drei Flächen zweiter Klasse:*

$$(33') \quad F = 3v_1 v_3 - v_2^2 = 0, \quad G = 9v_1 v_4 - v_2 v_3 = 0, \quad H = 3v_2 v_4 - v_3^2 = 0.$$

Schon zwei Flächen können im allgemeinen dienen, um eine Raumkurve als ihren Durchschnitt zu bestimmen, so die beiden Kegelflächen (33):

$$(34) \quad \begin{cases} f = y_4 y_2 - y_3 y_3 = 0, \\ h = -y_2 y_2 + y_1 y_3 = 0. \end{cases}$$

Diese haben jedoch außer der Raumkurve 3. O. noch eine ganze Gerade:

$$(35) \quad y_2 = 0, \quad y_3 = 0$$

gemein, welche der Fläche  $g = 0$  nicht angehört, sondern sie nur in zwei Punkten  $y_1, y_2, y_3, y_4 = 1, 0, 0, 0; 0, 0, 0, 1$  schneidet. Alle andern gemeinsamen Punkte von  $f = 0$  und  $h = 0$  gehören der Fläche  $g = 0$  an, da aus den in  $y_2, y_3$  linearen homogenen Gleichungen, falls  $y_2$  und  $y_3$  nicht beide 0 sind, die Gleichung  $g = 0$  folgt.

Durch Hinzunahme der dritten Fläche  $g = 0$  wird daher die gerade Linie (35) als fremder Bestandteil des Durchschnittes der beiden andern Flächen ausgeschieden. In diesem Sinne sagen wir:

II. *Die Raumkurve 3. O. und 3. Kl. wird in Punkt- und Ebenenkoordinaten durch die drei Gleichungen (33), bezüglich (33') dargestellt.*

1) J. Tannery, Bull. sc. math. 11 (1876), S. 185.

## § 25. Tangenten.

**1. Raumkurve 3. O. und gerade Linie.** Eine gerade Linie im Raume kann nach § 4, 3, II *nicht mehr als zwei Punkte*  $P_1$  und  $P_2$  der Raumkurve enthalten. Ebenso können durch eine gerade Linie *nicht mehr als zwei Ebenen* der Raumkurve gehen.

**2. Begriff der Sehne und Achse.** Eine gerade Linie, die zwei Punkte der Raumkurve 3. O. enthält, heißt nach § 8, 1 eine *Sehne*; eine gerade Linie durch die zwei Ebenen der Raumkurve 3. O. gehen, nach § 8, 2 eine *Achse der Kurve*.

**3. Gleichungen einer Sehne oder Achse.** Die Gleichungen der *Sehne*, welche zwei Punkte  $\lambda_1$  und  $\lambda_2$  der Kurve § 24, (22) verbindet<sup>1)</sup>, bezüglich der *Achse*, in welcher sich zwei Schmiegungeebenen der Kurve § 24, (22') schneiden, lauten in *kanonischen Koordinaten*, wie § 8, (1); (3):

$$(1) \quad y_1 - (\lambda_1 + \lambda_2)y_2 + \lambda_1\lambda_2y_3 = 0, \quad y_2 - (\lambda_1 + \lambda_2)y_3 + \lambda_1\lambda_2y_4 = 0;$$

$$(1') \quad 3\lambda_1\lambda_2v_1 + (\lambda_1 + \lambda_2)v_2 + v_3 = 0, \quad \lambda_1\lambda_2v_2 + (\lambda_1 + \lambda_2)v_3 + 3v_4 = 0.$$

**4. Doppelte Entstehung der Tangente.**

Fallen für eine Sehne die beiden Punkte  $\lambda_1$  und  $\lambda_2$ , die sie verbindet, in einen Punkt  $\lambda$  zusammen, so wird sie die *Tangente im Punkte  $\lambda$  der Punktreihe 3. O.*

Die Gleichungen der Tangente im Punkte  $\lambda$  sind nach (1):

$$(2) \quad \begin{cases} y_1 - 2\lambda y_2 + \lambda^2 y_3 = 0, \\ y_2 - 2\lambda y_3 + \lambda^2 y_4 = 0; \end{cases}$$

Fallen für eine Achse die beiden Ebenen  $\lambda_1$  und  $\lambda_2$ , die sich in ihr schneiden, in eine Ebene  $\lambda$  zusammen, so wird sie die *Tangente in der Ebene  $\lambda$  des Ebenenbüschels 3. O.*

Die Gleichungen der Tangente in der Ebene  $\lambda$  sind nach (1'):

$$(2') \quad \begin{cases} 3\lambda^2 v_1 + 2\lambda v_2 + v_3 = 0, \\ \lambda^2 v_2 + 2\lambda v_3 + 3v_4 = 0. \end{cases}$$

Die beiden Geraden (2) und (2') sind nach § 8, 6 dieselben und haben die Strahlenkoordinaten<sup>2)</sup>:

$$(3) \quad \begin{cases} \varrho r_1 = \lambda^2, & \varrho r_2 = -2\lambda^2, & \varrho r_3 = \lambda^4, \\ \varrho r_4 = 3\lambda^2, & \varrho r_5 = 2\lambda, & \varrho r_6 = 1. \end{cases}$$

Die „Tangente  $\lambda$ “ der Raumkurve, die in Punkt- und Ebenenkoordinaten durch die Gleichungen (2), bezüglich (2') dargestellt ist und deren Strahlenkoordinaten die Werte (3) haben, ist also sowohl die Ver-

1) Cremona, Ann. di mat. 1 (1858), S. 164.

2) R. Sturm, J. f. Math. 86 (1879), S. 120.



*bindungslinie des Punktes  $\lambda$  mit seinem unendlich benachbarten als die Schnittlinie der Schmiegungebene  $\lambda$  mit ihrer benachbarten.*<sup>1)</sup>

**5. Beziehung der verschiedenen Berührungselemente.** Die Punkte der Tangente (2) genügen der Gleichung § 24, (29) unabhängig von  $\lambda_0$ , die Ebenen der Tangente (2') ebenso der Gleichung § 24, (29'). Daher folgt, daß die am Schluß von § 24, 8 erwähnten Geraden beide in die Tangente fallen.

Durch die „Tangente  $\lambda$ “ gehen alle „Berührungsebenen im Punkte  $\lambda$ “. Auf der „Tangente  $\lambda$ “ liegen alle „Berührungspunkte in der Ebene  $\lambda$ “.

Oder etwas anders ausgedrückt:

In jeder durch die Tangente  $\lambda$  gehenden Ebene liegt außer dem doppelt zählenden Punkte  $\lambda$  nur noch ein Punkt  $\lambda_0$  der Kurve. Durch jeden auf der Tangente  $\lambda$  liegenden Punkt geht außer der doppelt zählenden Ebene  $\lambda$  nur noch eine Schmiegungebene  $\lambda_0$ .

**6. Dreifache Parameterdarstellung der Raumkurve.** Neben die Parameterdarstellung der Punkte § 24, (22) und Schmiegungebenen § 24, (22') stellt sich diejenige der Tangenten in (3), sämtlich auf das *kanonische System* bezogen. Führt man die Darstellung (3) mittels § 24, (23) auf das *ursprüngliche Koordinatensystem* zurück, so folgt:

Die in Punkt- und Ebenenkoordinaten durch die Gleichungen § 24, (1) und (1') dargestellte Raumkurve hat in Linienkoordinaten die Gleichungen:

$$(4) \quad \wp p_k = \alpha_{k1} \lambda^2 - 2\alpha_{k2} \lambda^3 + \alpha_{k3} \lambda^4 + 3\alpha_{k4} \lambda^5 + 2\alpha_{k5} \lambda + \alpha_{k6},$$

$k = 1, 2, \dots, 6$  (vgl. die dreifache Darstellung der Fläche 2. O, II § 138, (1); § 143, (2); § 144, (2)).

**7. Der Rang der Raumkurve 3. O.** Soll, im kanonischen System betrachtet, die Tangente (3) eine gegebene Gerade  $r_k^0$  schneiden, muß die Bedingung der vereinigten Lage (I § 59, 8):

$$(5) \quad r_1^0 r_4 + r_2^0 r_5 + r_3^0 r_6 + r_4^0 r_1 + r_5^0 r_2 + r_6^0 r_3 = 0$$

oder mit Einsetzung der Werte (3):

$$(6) \quad r_6^0 \lambda^4 - 2r_5^0 \lambda^3 + (3r_1^0 + r_4^0) \lambda^2 + 2r_2^0 \lambda + r_3^0 = 0$$

erfüllt sein. Hier können nicht alle Koeffizienten verschwinden, da aus  $r_2^0 = 0$ ,  $r_3^0 = 0$ ,  $r_5^0 = 0$ ,  $r_6^0 = 0$  bereits (I § 59, 2)  $r_1^0 r_4^0 = 0$  und da-

1) Über die Abhängigkeit von vier Tangenten vgl. A. Voß, Math. Ann. 13 (1878), S. 169; H. Schubert, ebd. 15 (1879), S. 531; R. Sturm, J. f. Math. 86 (1879), S. 130.

mit aus  $3r_1^0 + r_4^0 = 0$  auch  $r_1^0 = 0$ ,  $r_4^0 = 0$  folgen würde. Die Bedingung liefert also vier Wurzeln  $\lambda$  und damit vier Tangenten.

*Jede Gerade des Raumes wird von vier Tangenten der Raumkurve getroffen; die Raumkurve ist vom Range 4.<sup>1)</sup>*

Ist  $r_x^0$  selbst eine Tangente mit  $\lambda = \lambda_0$  aus (3), so wird die Gleichung (6):

$$(7) \quad (\lambda - \lambda_0)^4 = 0,$$

gibt daher vierfach zählend die Tangente  $\lambda_0$  selbst (vgl. § 26, 5).

**8. Linearer Komplex der Tangenten.** Durch Elimination von  $\lambda^2$  aus der 1. und 4. Gleichung (3) ergibt sich:

*Die Tangenten der Raumkurve 3. O. gehören dem linearen Komplex an<sup>2)</sup>:*

$$(8) \quad r_4 - 3r_1 = 0.^3)$$

*Im ursprünglichen Koordinatensystem lautet die Gleichung dieses Komplexes nach § 24, (24):*

$$(9) \quad \sum_1^6 (A_{k4} - 3A_{k1})p_k = 0 \quad \text{oder:} \quad \sum_1^6 (\alpha_{\bar{k}1} - 3\alpha_{\bar{k}4})p_k = 0^4)$$

(I Anm. 1, III, (11)), wo  $\bar{k}$  den komplementären Index zu  $k$  (z. B.  $k = 1$ ,  $\bar{k} = 4$ ) bedeutet.

**9. Quadratischer Komplex der Tangenten.** Weiter folgen aus (3) die Gleichungen:

$$(10) \quad 4r_1r_4 + 3r_2r_5 = 0, \quad r_2r_5 + 4r_3r_6 = 0,$$

beide gleichbedeutend, da identisch:

$$(4r_1r_4 + 3r_2r_5) + (r_2r_5 + 4r_3r_6) = 0.$$

*Die Tangenten der Raumkurve 3. O. gehören dem quadratischen Komplex an:*

$$(11) \quad r_1r_4 : r_2r_5 : r_3r_6 = 3 : -4 : 1.$$

**10. Beziehung des Komplexes zum Koordinatentetraeder.** Die Gerade  $r_k$  schneidet (I § 59, (13')) die Koordinatenebenen  $y_k = 0$ ,  $k = 1, 2, 3, 4$ , in den Punkten:

$$0, r_3, -r_2, r_4; \quad -r_3, 0, r_1, r_5; \quad r_2, -r_1, 0, r_6; \quad -r_4, -r_5, -r_6, 0.$$

1) A. Cayley, J. de math. (1) 10 (1845), S. 250.

2) v. Staudt, Beitr. (1860), S. 314.

3) R. Sturm, J. f. Math. 86 (1879), S. 123.

4) J. Tannery, Bull. sc. math. 11 (1876), S. 186.

Aus der Punktreihe des 1. und 4. Punktes (I § 58, (20')):

$$\lambda \cdot 0 + \mu r_4, \quad \lambda r_3 + \mu r_5, \quad -\lambda r_2 + \mu r_6, \quad \lambda r_4 + \mu \cdot 0$$

gehen die beiden mittleren für  $\lambda = r_5, \mu = -r_3; \lambda = r_6, \mu = r_2$  hervor. Daher folgt (I § 58, (19')):

*Das Doppelverhältnis der Schnittpunkte 1, 2, 3, 4 der Geraden  $r_k$  mit den vier Seitenflächen des Koordinatentetraeders ist:*

$$(12) \quad \delta = \frac{42}{12} : \frac{43}{13} = -\frac{r_5}{r_3} : \frac{r_6}{r_2} = -\frac{r_5 r_6}{r_3 r_2}.$$

*Diejenigen Geraden, welche das Tetraeder unter konstantem Doppelverhältnis  $\delta$  schneiden, bilden daher den „tetraedralen“ Komplex:*

$$(13) \quad r_1 r_4 : r_2 r_5 : r_3 r_6 = \delta - 1 : -\delta : 1.$$

*Der Komplex (11) ist daher ein tetraedraler und entspricht dem Werte  $\delta = 4$ .<sup>1)</sup>*

**11. Die Tangentenfläche.** Aus (2) und (2') folgt mit den § 24, (33), (33') eingeführten Abkürzungen:

$$1 : -2\lambda : \lambda^2 = f : g : h; \quad 1 : -2\lambda : \lambda^2 = F : G : H,$$

und durch Elimination von  $\lambda$  ergibt sich:

*Die Tangentenfläche der Raumkurve 3. O. hat in Punkt- und Ebenenkoordinaten die Gleichungen 4. Grades<sup>2)</sup>:*

$$(14) \quad g^2 - 4fh = 0; \quad (14') \quad G^2 - 4FH = 0.$$

*Der ersteren genügen alle Punkte  $y_k$ , die auf einer Tangente liegen, der letzteren alle Ebenen  $v_k$ , die durch eine Tangente gehen.*

Daraus folgt mit Rücksicht auf § 24, 8:

<i>Auf einer beliebigen Geraden liegen vier Berührungspunkte.</i>	<i>Durch eine beliebige Gerade gehen vier Berührungsebenen.<sup>3)</sup></i>
---	--

**12. Schnittkurve von Tangentenfläche und Schmiegungeebene.** Vermöge der Gleichung:

$$(15) \quad y_1 - 3\lambda y_2 + 3\lambda^2 y_3 - \lambda^3 y_4 = 0$$

besteht unter Elimination von  $y_4$  die Identität:

$$(16) \quad \lambda^6 (g^2 - 4fg) = (y_1 - 2\lambda y_2 + \lambda^2 y_3)^2 (y_1^2 - 3\lambda^2 y_2^2 + 4\lambda^2 y_3 y_1 - 2\lambda y_1 y_2),$$

1) Lindemann, Vorles. Geom. Raum (1891), S. 242; 288.

2) M. Chasles, Aperçu hist. (1837), S. 406 (Note 33, (14)); Cremona, Ann. di mat. 1 (1858), S. 164; H. A. Schwarz, J. f. Math. 64 (1865), S. 3; R. Sturm, Liniengeom. 1 (1892), S. 55.

3) Chasles, J. de math. (2) 2 (1857), S. 404 (Nr. 38); H. Schröter, J. f. Math. 56 (1859), S. 33.

ebenso vermöge der Gleichung:

$$(15') \quad \lambda^3 v_1 + \lambda^3 v_2 + \lambda v_3 + v_4 = 0$$

unter Elimination von  $y_1$  die Identität:

$$(16') \quad \lambda^6 (G^2 - 4FH) - 3(\lambda^2 v_2 + 2\lambda v_3 + 3v_4)^2 (3v_4^2 - \lambda^2 v_3^2 + 4\lambda^2 v_3 v_4 + 2\lambda v_3 v_4).$$

Daraus folgt mit Rücksicht auf (2), (2'):

*Die Schnittkurve der Tangentenfläche (14) mit der Schmiegungebene (15) zerfällt in die doppelt zählende Tangente  $\lambda$  und den Kegelschnitt<sup>1)</sup>, der durch die Gleichung:<sup>2)</sup>*

$$(17) \quad y_1^2 - 3\lambda^2 y_2^2 + 4\lambda^2 y_3 y_1 - 2\lambda y_1 y_2 = 0$$

*in Verbindung mit der Gleichung (15) dargestellt wird.*

*Die durch den Kurvenpunkt (15') gehenden Ebenen der Tangentenfläche (14') umhüllen die doppelt zählende Tangente  $\lambda$  und den Kegel 2. Klasse, der durch die Gleichung:*

$$(17') \quad 3v_4^2 - \lambda^2 v_3^2 + 4\lambda^2 v_3 v_4 + 2\lambda v_3 v_4 = 0$$

*in Verbindung mit der Gleichung (15') dargestellt wird.*

## § 26. Sehnen und Achsen.

### 1. Bestimmung der Sehne durch einen Punkt des Raumes.

Soll die Sehne § 25, (1) durch einen Punkt  $y_k^0$  des Raumes gehen oder die Achse § 25, (1') in einer Ebene  $v_k^0$  liegen, müssen die Bedingungen erfüllt sein:

$$(1) \quad \begin{cases} y_1^0 - (\lambda_1 + \lambda_2) y_2^0 + \lambda_1 \lambda_2 y_3^0 = 0, \\ y_2^0 - (\lambda_1 + \lambda_2) y_3^0 + \lambda_1 \lambda_2 y_4^0 = 0; \end{cases}$$

$$(1') \quad \begin{cases} 3\lambda_1 \lambda_2 v_1^0 + (\lambda_1 + \lambda_2) v_2^0 + v_3^0 = 0, \\ \lambda_1 \lambda_2 v_2^0 + (\lambda_1 + \lambda_2) v_3^0 + 3v_4^0 = 0. \end{cases}$$

Aus diesen Gleichungen folgen aber, mit Benutzung der Abkürzungen § 24, (33); (33'), für  $\lambda_1 + \lambda_2$  und  $\lambda_1 \lambda_2$  die Bedingungen:

$$(2) \quad 1 : -(\lambda_1 + \lambda_2) : \lambda_1 \lambda_2 = f_0 : g_0 : h_0;$$

$$(2') \quad 1 : -(\lambda_1 + \lambda_2) : \lambda_1 \lambda_2 = F_0 : G_0 : H_0,$$

wo der Index 0 die Substitution  $y_k = y_k^0$  und  $v_k = v_k^0$  andeutet. Dann aber sind  $\lambda_1, \lambda_2$  die Wurzeln der quadratischen Gleichungen:

$$(3) \quad f_0 \lambda^2 + g_0 \lambda + h_0 = 0; \quad (3') \quad F_0 \lambda^2 + G_0 \lambda + H_0 = 0.$$

1) H. Schröter, J. f. Math. 56 (1909), S. 28.

2) Cremona, Ann. di mat. 1 (1858), S. 288.

I. Durch einen gegebenen Punkt  $y_k^0$  des Raumes geht eine Sehne der Raumkurve.<sup>1)</sup>

II. Die beiden Punkte  $\lambda_1, \lambda_2$  der Kurve, deren Verbindungslinie sie ist, bestimmen sich aus der quadratischen Gleichung (3).

Sind sie reell, heißt die Sehne eine *eigentliche*, sonst eine *uneigentliche*.

I'. In einer gegebenen Ebene  $v_k^0$  des Raumes liegt eine Achse der Raumkurve.<sup>1)</sup>

II'. Die beiden Schmiegungsebenen  $\lambda_1, \lambda_2$  der Kurve, deren Schnittlinie sie ist, bestimmen sich aus der quadratischen Gleichung (3').

Sind sie reell, heißt die Achse eine *eigentliche*, sonst eine *uneigentliche*.

Nach dem Satze I hat die Raumkurve 3. O. für jeden Augenpunkt im allgemeinen einen *scheinbaren Doppelpunkt*.<sup>2)</sup>

**2. Besondere Fälle.** Die Gleichung (2) oder (2') hat eine Doppelwurzel, wenn der Punkt  $y_k^0$  oder die Ebene  $v_k^0$  der Tangentenfläche § 25, (14) oder (14') angehört.

Die Gleichung (2) oder (2') wird identisch in  $\lambda$  erfüllt, wenn der Punkt  $y_k^0$  oder die Ebene  $v_k^0$  der Kurve § 24, (33) oder (33') selbst angehört (s. nachher unter 11).

**3. Gleichungen der Sehne durch einen Punkt.** Durch Einsetzen der Werte (2) in die Gleichungen § 25, (1) und der Werte (2') in die Gleichungen § 25, (1') geht hervor:

Die Gleichungen der durch einen gegebenen Punkt  $y_k^0$  gehenden Sehne in Punktkoordinaten, bezüglich der in einer gegebenen Ebene  $v_k^0$  liegenden Achse in Ebenenkoordinaten, lauten:

$$(4) \begin{cases} f_0 y_1 + g_0 y_2 + h_0 y_3 = 0, \\ f_0 y_2 + g_0 y_3 + h_0 y_4 = 0; \end{cases} \quad (4') \begin{cases} 3F_0 v_4 - G_0 v_3 + H_0 v_2 = 0, \\ F_0 v_3 - G_0 v_2 + 3H_0 v_1 = 0. \end{cases}$$

**4. Anzahl der Sehnen in einer Ebene.** Da in jeder Ebene des Raumes drei Punkte  $\lambda_1, \lambda_2, \lambda_3$  der Raumkurve liegen, so enthält die Ebene auch drei Sehnen  $\lambda_2 \lambda_3, \lambda_3 \lambda_1$  und  $\lambda_1 \lambda_2$ :

In jeder Ebene des Raumes liegen drei Sehnen. Durch jeden Punkt des Raumes gehen drei Achsen.

Die *Sehnenkongruenz* der Raumkurve 3. O. ist von der 1. O. und 3. Klasse, die *Achsenkongruenz* von der 1. Klasse und 3. O.<sup>3)</sup>

1) A. Cayley, J. de math. (1) 10 (1845), S. 250; Cremona, Ann. di mat. 2 (1859), S. 25.

2) H. Schröter, J. f. Math. 56 (1859), S. 43.

3) Reye, Geom. d. Lage 2 (1892), S. 191; G. Halphen, Bull. soc. math. 1 (1876), S. 114; R. Sturm, Hamburg. Mitteil. 2 (1889), S. 61.

**5. Parameterdarstellung der Sehnenkongruenz.** Mit den Abkürzungen:

$$(5) \quad \lambda_1 + \lambda_2 = \mu, \quad \lambda_1 \lambda_2 = \nu$$

ergibt sich aus den Gleichungen § 25, (1) und (1') (I § 59, 1):

Die Achsenkoordinaten  $s_k$  der Sehne  $\lambda_1 \lambda_2$  und die Strahlenkoordinaten  $r_k$  der Achse  $\lambda_1 \times \lambda_2$  hängen von zwei unabhängigen Parametern  $\mu$  und  $\nu$  in der Weise ab:<sup>1)</sup>

$$(6) \quad \begin{cases} \varrho s_1 = \mu^2 - \nu, & \varrho s_4 = \nu \\ \varrho s_2 = \mu, & \varrho s_5 = -\mu\nu \\ \varrho s_3 = 1, & \varrho s_6 = \nu^2 \end{cases} \quad (6') \quad \begin{cases} \varrho r_1 = \frac{\mu^2 - \nu}{3}, & \varrho r_4 = 3\nu, \\ \varrho r_2 = -\mu\nu, & \varrho r_5 = \mu, \\ \varrho r_3 = \nu^2, & \varrho r_6 = 1. \end{cases}$$

Um die Formeln auch auf die Werte  $\infty$  von  $\lambda_1$  oder  $\lambda_2$  anzuwenden, setzt man in (6), (6') die Werte (5) ein, schreibt  $\lambda_1 : \mu_1$ ,  $\lambda_2 : \mu_2$  für  $\lambda_1$ ,  $\lambda_2$  und multipliziert die rechten Seiten mit  $\mu_1^2 \mu_2^2$ , sodaß:

$$(6'') \quad \varrho s_1 = \lambda_1^2 \mu_2^2 + \lambda_1 \lambda_2 \mu_1 \mu_2 + \lambda_2^2 \mu_1^2, \quad \varrho s_2 = (\lambda_1 \mu_2 + \lambda_2 \mu_1) \mu_1 \mu_2, \\ \varrho s_3 = \mu_1^2 \mu_2^2, \quad \varrho s_4 = \lambda_1 \lambda_2 \mu_1 \mu_2, \quad \varrho s_5 = -(\lambda_1 \mu_2 + \lambda_2 \mu_1) \lambda_1 \lambda_2, \quad \varrho s_6 = \lambda_1^2 \lambda_2^2.$$

Man hat dann z. B. für  $\lambda_1 = 1$ ,  $\mu_1 = 0$ ;  $\lambda_2 = 0$ ,  $\mu_2 = 1$  die Werte 1, 0, 0, 0, 0, 0 der Achsenkoordinaten der Sehne  $J_1 J_4$ .

Die Gleichung § 25, (6) wird für eine Sehne  $r_k^0 = \mu, \nu$  mit Rückgang auf die Werte (5):

$$\lambda^4 - 3\mu\lambda^3 + (2\nu + \mu^2)\lambda^2 - 2\mu\nu\lambda + \nu^2 = (\lambda - \lambda_1)^2(\lambda - \lambda_2)^2 = 0.$$

Eine Sehne wird also nur von den beiden Tangenten ihrer Endpunkte getroffen.

**6. Quadratische Komplexe der Sehnen.** Durch Elimination von  $\mu, \nu$  gehen aus (6) und (6') die Gleichungen je dreier quadratischer Komplexe hervor, denen die Sehnen, bezüglich die Achsen angehören:

$$(7) \quad s_2 s_4 + s_3 s_5 = 0, \quad s_2 s_6 + s_4 s_5 = 0, \quad s_3 s_6 - s_4^2 = 0;$$

$$(7') \quad r_2 r_4 + 3r_3 r_5 = 0, \quad 3r_2 r_6 + r_4 r_5 = 0, \quad 9r_3 r_6 - r_4^2 = 0.$$

**7. Zusammenfall oder Schnitt von Sehne und Achse.** Soll eine Sehne  $\mu, \nu$  in (6) mit einer Achse  $\mu', \nu'$  in (6') zusammenfallen, so muß bis auf einen Faktor  $\tau$ :

$$\tau\nu = \frac{\mu'^2 - \nu'}{3}, \quad -\tau\mu\nu = -\mu'\nu', \quad \tau\nu^2 = \nu'^2, \quad \tau(\mu^2 - \nu) = 3\nu', \\ \tau\mu = \mu', \quad \tau \cdot 1 = 1.$$

1) R. Sturm, J. f. Math. 86 (1879), S. 120.

Da somit  $\tau = 1$  ist, folgt:  $\mu' = \mu$ ,  $\nu' = \nu$  und dann:  $3\nu = \mu^2 - \nu$  oder:

$$(8) \quad \mu^2 - 4\nu = (\lambda_1 - \lambda_2)^2 = 0.$$

I. *Die Tangenten sind die einzigen Geraden, die zugleich Sehnen und Achsen sind.*<sup>1)</sup>

Die Sehne  $\lambda_1\lambda_2$  und die Achse  $\lambda_1 \times \lambda_2$  heißen *zusammengehörig*, weil diese die Schnittlinie der Schmiegungebenen ist, die zu den Endpunkten jener gehören. Zusammengehörige Sehnen und Achsen haben auch gleiche Parameterwerte  $\mu, \nu$  in (6) und (6').

Sollen solchergestalt zusammengehörige Sehne und Achse sich schneiden, muß:

$$\frac{1}{3}(\mu^2 - \nu)^2 - \mu^2\nu + \nu^2 + 3\nu^2 - \mu^2\nu + \nu^2 = \frac{1}{3}(\mu^2 - 4\nu)^2 = 0,$$

also wie in (8)  $\lambda_1 = \lambda_2$  sein.

II. *Sehne und zugehörige Achse schneiden sich, wenn sie nicht Tangenten sind, niemals.*

8. **Gemeinsame Transversale von Sehne und Achse.** Wenn eine Gerade  $r_k$  sowohl die Sehne  $\lambda_1\lambda_2$  als die Achse  $\lambda_1 \times \lambda_2$  schneidet, so muß nach (6) und (6'):

$$(9) \quad \begin{cases} R_1 = (\mu^2 - \nu)r_1 + \mu r_2 + r_3 + \nu r_4 - \mu\nu r_5 + \nu^2 r_6 = 0, \\ R_2 = 3\nu r_1 + \mu r_2 + r_3 + \frac{\mu^2 - \nu}{3} r_4 - \mu\nu r_5 + \nu^2 r_6 = 0 \end{cases}$$

sein. Zwischen den linken Seiten dieser Bedingungen besteht aber die Identität:

$$(10) \quad R_1 - R_2 = (\mu^2 - 4\nu)(r_1 - \frac{1}{3}r_4).$$

Für  $\lambda_1 \neq \lambda_2$  ist nach (8)  $\mu^2 - 4\nu \neq 0$ . Daher folgt aus (10):

I. *Eine gemeinsame Transversale einer Sehne  $\lambda_1\lambda_2$  und der zugehörigen Achse  $\lambda_1 \times \lambda_2$  gehört dem linearen Komplex (§ 25, (8)) an:*

$$(11) \quad 3r_1 - r_4 = 0.$$

II. *Wenn eine dem Komplex (11) angehörige Gerade von Sehne  $\lambda_1\lambda_2$  und zugehöriger Achse  $\lambda_1 \times \lambda_2$  die eine schneidet, so schneidet sie auch die andere.*

9. **Hyperboloidische Lage von zwei Sehnen und Achsen.** Sind  $\lambda_1\lambda_2$  und  $\lambda_3\lambda_4$  zwei Sehnen,  $\lambda_1 \times \lambda_2$  und  $\lambda_3 \times \lambda_4$  die zugehörigen Achsen, so muß jede gemeinsame Transversale der drei Geraden  $\lambda_1\lambda_2$ ,  $\lambda_1 \times \lambda_2$ ,  $\lambda_3\lambda_4$  nach 8, I dem Komplex (11) angehören und dann nach 8, II auch  $\lambda_3 \times \lambda_4$  schneiden, also (I § 60, 7):

1) H. Schröter, Oberflächen 2. O., Leipzig 1880, S. 274.

*Zwei Sehnen und die zugehörigen Achsen liegen stets hyperboloidisch.*

**10. Realitätsbeziehung von Sehne und Schmiegungeebene.** Die Gleichungen zweier Punkte oder Schmiegungeebenen  $\lambda_1$  und  $\lambda_2$  der Kurve § 24, (22), (22') lauten:

$$(12) \quad \begin{cases} P_1 = \lambda_1^3 v_1 + \lambda_1^2 v_2 + \lambda_1 v_3 + v_4 = 0, \\ P_2 = \lambda_2^3 v_1 + \lambda_2^2 v_2 + \lambda_2 v_3 + v_4 = 0; \end{cases}$$

$$(12') \quad \begin{cases} \Pi_1 = y_1 - 3\lambda_1 y_2 + 3\lambda_1^2 y_3 - \lambda_1^3 y_4 = 0, \\ \Pi_2 = y_1 - 3\lambda_2 y_2 + 3\lambda_2^2 y_3 - \lambda_2^3 y_4 = 0, \end{cases}$$

und danach die Gleichung irgendeines Punktes  $P$  der Sehne  $\lambda_1 \lambda_2$  oder einer Ebene  $\Pi$  der Achse  $\lambda_1 \times \lambda_2$  mit einem Parameter  $t$ :

$$(13) \quad P = P_1 - tP_2 = 0; \quad (13') \quad \Pi = \Pi_1 - t\Pi_2 = 0.$$

Um die drei durch  $P$  gehenden Schmiegungeebenen (§ 24, 2) oder die drei in  $\Pi$  liegenden Kurvenpunkte zu bestimmen, setzt man in (13) die Werte § 24, (22') oder in (13') die Werte § 24, (22) ein. In beiden Fällen erhält man die in  $\lambda$  kubische Gleichung:

$$(14) \quad (\lambda - \lambda_1)^3 - t(\lambda - \lambda_2)^3 = 0$$

und daraus:

$$(15) \quad \frac{\lambda - \lambda_1}{\lambda - \lambda_2} = \sqrt[3]{t}; \quad \lambda = \frac{\lambda_1 - \lambda_2 \sqrt[3]{t}}{1 - \sqrt[3]{t}}.$$

Da die 3. Wurzel aus einem reellen  $t$  einen reellen und zwei komplexe Werte hat, folgt bei reell vorausgesetzten  $\lambda_1$  und  $\lambda_2$ :

<i>Geht durch einen Punkt des Raumes eine eigentliche Sehne, so geht durch ihn nur eine reelle Schmiegungeebene.<sup>1)</sup></i>	<i>Liegt in einer Ebene des Raumes eine eigentliche Achse, so liegt in der Ebene nur ein reeller Kurvenpunkt.</i>
---	---

oder auch umgekehrt ausgedrückt:

<i>Gehen durch einen Punkt drei reelle Schmiegungeebenen, so geht durch ihn keine eigentliche Sehne.</i>	<i>Liegen in einer Ebene drei reelle Kurvenpunkte, so enthält sie keine eigentliche Achse.</i>
--	--

Wenn daher eine Sehne und eine Achse sich schneiden, so ist die eine eigentlich, die andere uneigentlich.<sup>2)</sup>

1) Joachimsthal, J. f. Math. 56 (1859), S. 45; v. Staudt, Beitr. (1856), S. 381; Cremona, Ann. di mat. 2 (1859), S. 25.

2) H. Schröter, Oberflächen 2. O., Leipzig 1880, S. 292; St. Jolles, J. f. Math. 130 (1906), S. 274.



**11. Sehnenkegel und Achsenkegelschnitt.** Durch einen Punkt  $\lambda$  der Raumkurve 3. O. gehen nach 2 unendlich viele Sehnen, die ihn mit allen übrigen Punkten  $\lambda_0$  der Kurve verbinden und daher einen *Kegel* bilden. In einer Schmiegungeebene  $\lambda$  liegen ebenso unendlich viele Achsen, in denen sie von allen übrigen Schmiegungeebenen  $\lambda$  geschnitten wird; sie umhüllen eine ebene *Kurve*.

Man erhält die Gleichung des Kegels und der Kurve, indem man aus den Gleichungen der Sehne  $\lambda\lambda_0$  und der Achse  $\lambda \times \lambda_0$  (§ 25, (1); (1')):

$$(16) \quad \begin{cases} (y_1 - \lambda y_2) - \lambda_0(y_2 - \lambda y_3) = 0, \\ (y_2 - \lambda y_3) - \lambda_0(y_3 - \lambda y_4) = 0; \end{cases}$$

$$(16') \quad \begin{cases} \lambda_0(3\lambda v_1 + v_2) + (\lambda v_2 + v_3) = 0, \\ \lambda_0(\lambda v_2 + v_3) + (\lambda v_3 + 3v_4) = 0; \end{cases}$$

$\lambda_0$  eliminiert:

$$(17) \quad (y_1 - \lambda y_2)(y_3 - \lambda y_4) - (y_2 - \lambda y_3)^2 = 0;$$

$$(17') \quad (3\lambda v_1 + v_2)(\lambda v_3 + 3v_4) - (\lambda v_2 + v_3)^2 = 0,$$

oder mit den in § 24, (33), (33') eingeführten Abkürzungen:

$$(18) \quad \lambda^2 f + \lambda g + h = 0; \quad (18') \quad \lambda^2 F + \lambda G + H = 0.$$

Da beide Gleichungen vom 2. Grade sind, so folgt:

<p>Die durch den Punkt <math>\lambda</math> der Raumkurve gehenden Sehnen bilden Kegel 2. O., den Sehnenkegel <math>\lambda</math> in (18).<sup>1)</sup></p>	<p>Die in einer Schmiegungeebene <math>\lambda</math> liegenden Achsen umhüllen einen Kegelschnitt, den Achsenkegelschnitt <math>\lambda</math> in (18').<sup>2)</sup></p>
--	--

**12. Duale Gleichungen von Sehnenkegel und Achsenkegelschnitt.** Geordnet geben die Gleichungen (17) und (17'):

$$(19) \quad 2y_2^2 + 2\lambda^2 y_3^2 - 2\lambda y_2 y_3 - 2y_3 y_1 + 2\lambda y_1 y_4 - 2\lambda^2 y_2 y_4 = 0;$$

$$(19') \quad 2\lambda^2 v_2^2 + 2v_3^2 + 2\lambda v_2 v_3 - 6\lambda^2 v_3 v_1 - 18\lambda v_1 v_4 - 6v_2 v_4 = 0.$$

Der in *Ebenenkoordinaten* als *Fläche 2. Klasse* dargestellte *Kegelschnitt* (19') wird in *Punktkoordinaten* durch zwei Gleichungen dargestellt, die Gleichung seiner *Ebene*, der Schmiegungeebene  $\lambda$ , und die Gleichung eines *Kegels*, der etwa von der Spitze  $J_4$  über ihm errichtet ist. Jene ist die Gleichung § 24, (30), diese aber lautet (II § 143, (12)):

$$\alpha_{11}y_1^2 + \alpha_{22}y_2^2 + \alpha_{33}y_3^2 + 2\alpha_{23}y_2y_3 + 2\alpha_{31}y_3y_1 + 2\alpha_{12}y_1y_2 = 0,$$

1) Fr. Seydewitz, Arch. Math. Phys. 10 (1847), S. 207.

2) H. Schröter, J. f. Math. 56 (1859), S. 29.

falls die  $\alpha_{ki}$  die Determinanten 2. Grades aus den Koeffizienten:

$$\begin{aligned} \alpha_{11} = 0, \quad \alpha_{22} = 2\lambda^2, \quad \alpha_{33} = 2, \quad \alpha_{44} = 0, \quad \alpha_{23} = \lambda, \quad \alpha_{31} = -3\lambda^2, \\ \alpha_{12} = 0, \quad \alpha_{14} = -9\lambda, \quad \alpha_{24} = -3, \quad \alpha_{34} = 0, \end{aligned}$$

bedeuten. Danach ist:

$$\alpha_{11} = 3\lambda^2, \quad \alpha_{22} = -9\lambda^4, \quad \alpha_{33} = 0, \quad \alpha_{23} = 0, \quad \alpha_{31} = 6\lambda^4, \quad \alpha_{12} = -3\lambda^5.$$

Der Achsenkegelschnitt  $\lambda$  in (19') hat in Punktkoordinaten die beiden Gleichungen:

$$(20') \quad \begin{cases} y_1 - 3\lambda y_2 + 3\lambda^2 y_3 - \lambda^3 y_4 = 0, \\ y_1^2 - 3\lambda^2 y_2^2 + 4\lambda^2 y_3 y_1 - 2\lambda y_1 y_2 = 0. \end{cases}$$

Entsprechend ergibt sich für den Kegel (19):

Der Sehnenkegel  $\lambda$  in (19) hat in Ebenenkoordinaten die beiden Gleichungen:

$$(20) \quad \begin{cases} \lambda^3 v_1 + \lambda^2 v_2 + \lambda v_3 + v_4 = 0, \\ 3v_4^2 - \lambda^2 v_3^2 + 4\lambda^2 v_2 v_4 + 2\lambda v_3 v_4 = 0. \end{cases}$$

### 13. Beziehung von Achsenkegelschnitt und Tangentenfläche.

Sieht man daher von den in § 25, 12 auftretenden doppelt zählenden Tangenten ab, so folgt:

Der Achsenkegelschnitt in der Schmiegungeebene  $\lambda$  ist zugleich die Durchschnittskurve der Schmiegungeebene mit der Tangentenfläche.<sup>1)</sup> Der Sehnenkegel des Kurvenpunktes  $\lambda$  wird umhüllt von den durch diesen Punkt gehenden Ebenen der Tangentenfläche.

14. Beziehung von Tangente und Schmiegungeebene zum Sehnenkegel. Dem Sehnenkegel  $\lambda$  in (17) gehört die Tangente  $\lambda$  an, da aus den Gleichungen (16) auch für  $\lambda_0 = \lambda$  die Gleichung (17) folgt.

Die Tangentialebene des Sehnenkegels  $\lambda$  in irgendeinem seiner Punkte  $y_k^0$  hat nach (19) die Gleichung:

$$(21) \quad -(y_3^0 - \lambda y_4^0)y_1 + (2y_2^0 - \lambda y_3^0 - \lambda^2 y_4^0)y_2 - (y_1^0 + \lambda y_2^0 - 2\lambda^2 y_3^0)y_3 + \lambda(y_1^0 - \lambda y_2^0)y_4 = 0.$$

Ist nun  $y_k^0$  ein Punkt der Tangente  $\lambda$ , die, wie bemerkt, dem Sehnenkegel  $\lambda$  angehört, so ist nach § 25, (2):

$$(22) \quad y_1^0 = 3\lambda^2 y_3^0 - 2\lambda^3 y_4^0, \quad y_2^0 = 2\lambda y_3^0 - \lambda^2 y_4^0,$$

und damit wird aus (21):

$$(23) \quad (y_3^0 - \lambda y_4^0)(y_1 - 3\lambda y_2 + 3\lambda^2 y_3 - \lambda^3 y_4) = 0,$$

also nach § 24, (30) die Gleichung der Schmiegungeebene.

1) Möbius, Werke 1, S. 122 (1827).

Die Tangentialebene des „Sehnenkegels  $\lambda$ “ längs der auf ihm liegenden „Tangente  $\lambda$ “ ist die „Schmiegungeebene  $\lambda$ “.<sup>1)</sup>

Der duale Satz lautet:

Die in der „Schmiegungeebene  $\lambda$ “ liegende „Tangente  $\lambda$ “ berührt den „Achsenkegelschnitt  $\lambda$ “ im „Punkte  $\lambda$ “ der Raumkurve.

## § 27. Treff- und Streichlinien.

**1. Begriff der Treff- und Streichlinien.** Eine Gerade im Raume heißt eine *Trefflinie*<sup>2)</sup> (*Unisekante, Transversale*), wenn sie wenigstens einen Punkt der Raumkurve enthält; eine *Streichlinie* (*Uniplanare, Linie in einer Ebene*), wenn wenigstens eine Schmiegungeebene durch sie hindurchgeht.

Die Trefflinien zerfallen in Trefflinien im engeren Sinne, die nur einen Punkt mit der Raumkurve gemein haben, und Sehnen (§ 25, 2); die Streichlinien ebenso in Streichlinien im engeren Sinne und Achsen (§ 25, 2).

**2. Der Komplex der Trefflinien.** Soll eine Gerade mit den Achsenkoordinaten  $s_k$  durch den Kurvenpunkt § 24, (22) gehen, oder eine Gerade mit den Strahlenkoordinaten  $r_k$  in der Schmiegungeebene § 24, (22') liegen, so müssen die Bedingungen erfüllt sein (I § 59, (9); (11)):

$$(1) \quad s_3 \lambda^2 - s_2 \lambda + s_4 = 0, \quad s_1 \lambda - s_3 \lambda^3 + s_5 = 0, \quad s_2 \lambda^3 - s_1 \lambda^2 + s_6 = 0,$$

$$s_4 \lambda^2 + s_5 \lambda + s_6 = 0;$$

$$(1') \quad 3r_3 + 3r_2 \lambda + r_4 \lambda^2 = 0, \quad 3r_1 \lambda^2 - r_3 - r_5 \lambda^3 = 0, \quad r_2 + 3r_1 \lambda - r_6 \lambda^3 = 0,$$

$$r_4 - 3r_5 \lambda + 3r_6 \lambda^2 = 0.$$

Aus der ersten und vierten Gleichung folgt jedesmal:

$$(2) \quad \lambda^2 : \lambda : 1 = -s_2 s_6 - s_4 s_5 : s_4^2 - s_3 s_6 : s_3 s_5 + s_2 s_4;$$

$$(2') \quad 1 : \lambda : \lambda^2 = 9r_2 r_6 + 3r_4 r_5 : r_4^2 - 9r_3 r_6 : -9r_3 r_5 - 3r_2 r_4$$

und danach unter Elimination von  $\lambda$  bezüglich:

$$(s_4^2 - s_3 s_6)^2 + (s_2 s_6 + s_4 s_5)(s_3 s_5 + s_2 s_4) = 0;$$

$$(r_4^2 - 9r_3 r_6)^2 + (9r_2 r_6 + 3r_4 r_5)(9r_3 r_5 + 3r_2 r_4) = 0.$$

Hiervon die Identitäten (I § 59, (5)):

$$s_3 s_6 (s_1 s_4 + s_2 s_5 + s_3 s_6) = 0; \quad 81 r_3 r_6 (r_1 r_4 + r_2 r_5 + r_3 r_6) = 0$$

abgezogen und den nicht identisch verschwindenden Faktor  $s_4$  oder  $r_4$  weggehoben, gibt den Satz:

1) Fr. Seydewitz, Arch. Math. Phys. 10 (1847), S. 208.

2) Lindemann, Vorles. Geom. Raum (1891) S. 243.

Alle Trefflinien und alle Streichlinien der Raumkurve § 24, (22); (22') bilden je einen Komplex 3. Grades mit der Gleichung:<sup>1)</sup>

$$(3) \quad s_4^3 + s_2^2 s_6 + s_6^2 s_3 + s_3 s_4 s_5 - s_1 s_3 s_6 - 2 s_3 s_4 s_6 = 0;$$

$$(3') \quad r_4^3 + 27 r_2^2 r_6 + 27 r_6^2 r_3 + 9 r_3 r_4 r_5 - 81 r_1 r_3 r_6 - 18 r_3 r_4 r_6 = 0.$$

**3. Komplexkegel und Komplexkurve.** Die durch einen Punkt  $P$  des Raumes gehenden Trefflinien bilden den *Komplexkegel des Punktes  $P$* , einen *Kegel 3. O.* (I § 72, 12). Die durch  $P$  gehende Sehne (§ 26, 1) bildet einen Doppelstrahl des Kegels.

Die in einer Ebene  $\Pi$  des Raumes liegenden Trefflinien bilden die *Komplexkurve der Ebene  $\Pi$* , eine Kurve 3. Kl. (I § 72, 12), die in die drei Strahlbüschel zerfällt, deren Mittelpunkte die drei in der Ebene  $\Pi$  enthaltenen Punkte der Raumkurve sind.

Das dual Entsprechende gilt für den Komplex der Streichlinien.

**4. Rationale Parameterdarstellung des Komplexkegels.** Führt man bei fest bleibenden Ecken  $J_1, J_2, J_3$  an Stelle von  $J_4$  einen andern Punkt  $J_4' = y_k^0$  als Ecke des Koordinatentetraeders ein (Fig. 49), so bestehen zwischen alten  $y_k$  und neuen Koordinaten  $z_k$  die Gleichungen (I § 63, (25)):

$$(4) \quad y_1 = z_1 + y_1^0 z_4, \quad y_2 = z_2 + y_2^0 z_4, \quad y_3 = z_3 + y_3^0 z_4, \quad y_4 = y_4^0 z_4;$$

$$(5) \quad y_4^0 z_1 = y_4^0 y_1 - y_1^0 y_4, \quad y_4^0 z_2 = y_4^0 y_2 - y_2^0 y_4, \quad y_4^0 z_3 = y_4^0 y_3 - y_3^0 y_4, \\ y_4^0 z_4 = y_4.$$

I. Die Parameterdarstellung § 24, (22) wird daher im neuen System:

$$(6) \quad \sigma z_1 = y_4^0 \lambda^3 - y_1^0, \quad \sigma z_2 = y_4^0 \lambda^3 - y_2^0, \quad \sigma z_3 = y_4^0 \lambda - y_3^0, \quad \sigma z_4 = 1.$$

Da aber allen Punkten einer durch  $J_4'$  gehenden Geraden dieselben Verhältnisse  $z_1 : z_2 : z_3$ , zugleich die Koordinaten des Strahles im Bündel, zukommen (I § 57, 15), so folgt:

II. Die Parameterdarstellung des vom Punkte  $y_k^0$  über der Raumkurve errichteten Kegels 3. O. lautet in laufenden Koordinaten  $z_1, z_2, z_3$  des Strahles im Bündel:

$$(7) \quad \sigma z_1 = y_4^0 \lambda^3 - y_1^0, \quad \sigma z_2 = y_4^0 \lambda^3 - y_2^0, \quad \sigma z_3 = y_4^0 \lambda - y_3^0.$$

In entsprechender Weise wird die in einer Ebene  $v_k^0$  liegende Komplexkurve 3. Kl. des Komplexes der Streichlinien rational dargestellt.

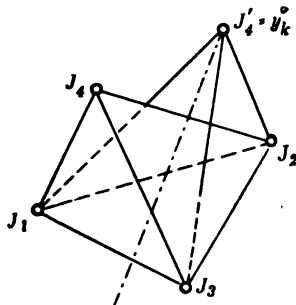


Fig. 49.

1) Lindemann, ebd. S. 244; 248.

**5. Übergang auf den Sehnenkegel.** Ist  $y_k^0$  ein Punkt  $\lambda_0$  der Raumkurve selbst, so wird aus (7) nach § 24, (22):

$$(8) \quad \sigma z_1 = (\lambda - \lambda_0)(\lambda^2 + \lambda_0 \lambda + \lambda_0^2), \quad \sigma z_2 = (\lambda - \lambda_0)(\lambda + \lambda_0), \quad \sigma z_3 = \lambda - \lambda_0.$$

Dem Parameterwerte  $\lambda = \lambda_0$ , für den  $z_1 : z_2 : z_3$  unbestimmt wird, entspricht das Bündel aller durch den Punkt  $\lambda_0$  gehenden Strahlen, die sämtlich Treffgerade sind. Dagegen bedeutet:

$$(6) \quad \sigma z_1 = \lambda^2 + \lambda_0 \lambda + \lambda_0^2, \quad \sigma z_2 = \lambda + \lambda_0, \quad \sigma z_3 = 1$$

den Sehnenkegel 2. O. des Punktes  $\lambda_0$ . In der Tat folgt aus (9) durch Elimination von  $\sigma$  und  $\lambda$ :

$$(10) \quad z_2^2 - z_1 z_3 - \lambda_0 z_2 z_3 + \lambda_0^2 z_3^2 = 0$$

und diese Gleichung geht vermittels (5) in die mit  $\lambda = \lambda_0$  gebildete Gleichung § 26, (19) über.

**6. Schmiegungsstrahlen.** Eine Gerade, die sowohl mit dem Punkte  $\lambda$  der Kurve, als mit der zugehörigen Schmiegungebene  $\lambda$  vereinigt liegt, heißt ein *Schmiegungsstrahl*.<sup>1)</sup>

I. Er ist gleichzeitig Treff- und Streichlinie. Umgekehrt ist jede Gerade, die Treff- und Streichlinie zugleich ist, ein Schmiegungsstrahl. Denn als Trefflinie enthält sie einen Kurvenpunkt  $\lambda'$  und als Streichlinie liegt sie in einer Schmiegungebene  $\lambda$ ; diese aber enthält keinen andern Kurvenpunkt als ihren Schmiegungepunkt  $\lambda$ , daher muß  $\lambda' = \lambda$  sein. Die Linienkoordinaten eines Schmiegungsstrahles genügen daher, bei gleichem  $\lambda$ , beiden Systemen (1) und (1'). Die erste Gleichung (1) lautet aber, aus Achsenkoordinaten  $s_k$  in Strahlenkoordinaten  $r_k$  übertragen (I § 59, (7)):

$$r_6 \lambda^2 - r_5 \lambda + r_1 = 0$$

und gibt, mit der vierten (1') kombiniert:

$$(11) \quad 3r_1 - r_4 = 0$$

II. Alle Schmiegungsstrahlen gehören dem linearen Komplex § 25, (8) an.<sup>2)</sup>

**7. Das Strahlbündel an einem Kurvenpunkte.** Der Punkt  $\lambda_0$  der Raumkurve ist nach § 24, (22) der Schnittpunkt der drei Ebenen:

$$(12) \quad y_1 - \lambda_0 y_2 = 0, \quad y_2 - \lambda_0 y_3 = 0, \quad y_3 - \lambda_0 y_4 = 0.$$

1) Reye, G. d. L. 2 (4. Aufl. 1907), S. 175. H. Schubert, Kalkül d. abzähl. Geom. (1879), S. 163.

2) R. Sturm, J. f. Math. 86 (1879), S. 123; Math. Ann. 26 (1886), S. 488. — Reye, G. d. L. 2 (4. Aufl. 1907), S. 177.

I. *Daher stellt, bei laufenden Parametern  $\varrho:\sigma:\tau$ , die Proportion (I § 53, (6)):*

$$(13) \quad y_1 - \lambda_0 y_2 : y_2 - \lambda_0 y_3 : y_3 - \lambda_0 y_4 = \varrho : \sigma : \tau$$

*alle Strahlen des Bündels am Punkte  $\lambda_0$  dar.*

Soll die Gerade (13) eine Sehne sein, muß sie außer  $\lambda_0$  noch einen Punkt  $\lambda$  der Kurve § 24, (22) enthalten, so daß:

$$\lambda^3 - \lambda_0 \lambda^2 : \lambda^2 - \lambda_0 \lambda : \lambda - \lambda_0 = \lambda^2 : \lambda : 1 = \varrho : \sigma : \tau.$$

Die Parameter müssen also die Bedingung erfüllen:

$$(14) \quad \varrho\tau - \sigma^2 = 0.$$

Umgekehrt, wenn die Bedingung (14) erfüllt ist, kann man:

$$(15) \quad \varrho : \sigma = \sigma : \tau = \lambda$$

setzen und erhält aus (13):

$$(16) \quad y_1 - \lambda_0 y_2 : y_2 - \lambda_0 y_3 : y_3 - \lambda_0 y_4 = \lambda^2 : \lambda : 1,$$

woraus die Gleichungen der Sehne  $\lambda_0 \lambda$  in § 25, (1) folgen.

II. *Die Gerade (13) ist eine Trefflinie im engeren Sinne, die nur einen Punkt  $\lambda_0$  mit der Raumkurve gemein hat, wenn:*

$$(17) \quad \varrho\tau - \sigma^2 \neq 0,$$

*dagegen eine Sehne  $\lambda_0 \lambda$  unter der Bedingung (14) mit dem Werte (15) von  $\lambda$ .*

Die Gerade (13) liegt in der durch die Gleichung (§ 24, (30)):

$$(y_1 - \lambda_0 y_2) - 2\lambda_0(y_2 - \lambda_0 y_3) + \lambda_0^2(y_3 - \lambda_0 y_4) = 0,$$

dargestellten Schmiegungeebene  $\lambda_0$ , wenn die Parameter der Bedingung genügen:

$$(18) \quad \varrho - 2\lambda_0\sigma + \lambda_0^2\tau = 0.$$

III. *Die Gerade (13) ist ein Schmiegungsstrahl unter der Bedingung (18). Gleichzeitig bestehen die Bedingungen (15) und (18) nur für die Tangente mit  $\lambda = \lambda_0$ .*

## § 28. Schmiegungstetraeder.

1. *Beziehung der kanonischen Koordinaten zur Kurve.* Jede Raumkurve 3. O. kann nach § 24, 5 bei Einführung kanonischer Koordinaten in der Form § 24, (22), (22') dargestellt werden, die bei homogener Schreibweise des Parameters  $\lambda$ , mit  $\lambda:\mu$  für  $\lambda$ , und mit Unterdrückung der Faktoren  $\varrho$  und  $\sigma$  lauten:

$$(1) \quad y_1 = \lambda^3, \quad y_2 = \lambda^2\mu, \quad y_3 = \lambda\mu^2, \quad y_4 = \mu^3;$$

$$(1') \quad v_1 = \mu^3, \quad v_2 = -3\lambda\mu^2, \quad v_3 = 3\lambda^2\mu, \quad v_4 = -\lambda^3.$$

Das hierbei benutzte Koordinatentetraeder hat eine besondere Lage gegen die Raumkurve.

Die Kurvenpunkte  $\lambda = 0, \mu = 1$  und  $\lambda = 1, \mu = 0$  sind nach (1) die Ecken  $J_4$  und  $J_1$ , die Schmiegungebenen  $\lambda = 0, \mu = 1$  und  $\lambda = 1, \mu = 0$  die Seitenebenen  $l_1$  und  $l_4$  des Tetraeders (I § 57, (16), (16')).

Da ferner nach (1) in der Ebene  $y_2 = 0$  die Kurvenpunkte  $\lambda = 0, \lambda = 0, \mu = 0$  (§ 24, 6), in der Ebene  $y_3 = 0$  die Kurvenpunkte  $\lambda = 0, \mu = 0, \mu = 0$  liegen, und nach (1') durch die Ecke  $v_2 = 0$  die Schmiegungebenen  $\lambda = 0, \mu = 0, \mu = 0$ , durch die Ecke  $v_3 = 0$  die Schmiegungebenen  $\lambda = 0, \lambda = 0, \mu = 0$  gehen, so folgt mit Rücksicht auf § 24, 8:

*Von dem kanonischen Koordinatentetraeder sind die Eckpunkte  $J_4$  und  $J_1$  zwei Punkte der Raumkurve und die Seitenebenen  $l_1$  und  $l_4$  die zu ihnen gehörigen Schmiegungebenen, sind ferner die Eckpunkte  $J_3$  und  $J_2$  diejenigen Berührungspunkte in den Schmiegungebenen  $l_1$  und  $l_4$ , die bezüglich in  $l_4$  und  $l_1$  liegen, und sind die Seitenebenen  $l_2$  und  $l_3$  diejenigen Berührungsebenen in den Punkten  $J_4$  und  $J_1$ , die bezüglich durch  $J_1$  und  $J_4$  gehen.*

Bezeichnen wir also die Eckpunkte kurz durch die nicht homogenen Parameter der drei durch sie gehenden Schmiegungebenen und die Seitenebenen durch die Parameter der drei in ihnen liegenden Kurvenpunkte (§ 24, 2), so ist:

$$(2) \begin{cases} J_1 = \infty, \infty, \infty; & J_2 = \infty, \infty, 0; & J_3 = \infty, 0, 0; & J_4 = 0, 0, 0; \\ l_1 = 0, 0, 0; & l_2 = 0, 0, \infty; & l_3 = 0, \infty, \infty; & l_4 = \infty, \infty, \infty. \end{cases}$$

Wir nennen ein solches Tetraeder ein *Schmiegungstetraeder der Raumkurve*.<sup>1)</sup>

*Hat also die Parameterdarstellung der Raumkurve in einem Koordinatentetraeder die Form (1), (1'), so ist dieses ein Schmiegungstetraeder.*

**2. Bestimmung eines Schmiegungstetraeders durch zwei Parameter.** Ein Schmiegungstetraeder ist allgemein durch zwei Kurvenpunkte oder zwei Schmiegungebenen oder, wenn wir beides zusammenfassen, durch zwei von einander verschiedene Parameterwerte  $\alpha$  und  $\beta$  bestimmt. Alsdann sind die Ecken  $P_k$  und Seitenebenen  $\Pi_k$  im Sinne von (2):

$$(3) \begin{cases} P_1 = \beta, \beta, \beta; & P_2 = \beta, \beta, \alpha; & P_3 = \beta, \alpha, \alpha; & P_4 = \alpha, \alpha, \alpha; \\ \Pi_1 = \alpha, \alpha, \alpha; & \Pi_2 = \alpha, \alpha, \beta; & \Pi_3 = \alpha, \beta, \beta; & \Pi_4 = \beta, \beta, \beta. \end{cases}$$

1) H. Schröter, Math. Ann. 25 (1885), S. 294.

I. Es sind also  $P_4$  und  $P_1$  zwei beliebige Punkte der Kurve,  $\Pi_1$  und  $\Pi_4$  ihre Schmiegungebenen und  $\Pi_2$  und  $\Pi_3$  diejenigen Berührungsebenen in  $P_4$  und  $P_1$ , die bezüglich durch  $P_1$  und  $P_4$  gehen.

Dann entsprechen auch die Punkte  $P_2$  und  $P_3$  den Angaben (3). In der Tat sind die Gleichungen der vier Ebenen  $\Pi_1, \Pi_2, \Pi_3, \Pi_4$  nach § 24, (30), (29):

$$(4) \begin{cases} y_1 - 3\alpha y_2 + 3\alpha^2 y_3 - \alpha^3 y_4 = 0, & y_1 - (2\alpha + \beta)y_2 + \alpha(\alpha + 2\beta)y_3 - \alpha^2\beta y_4 = 0, \\ y_1 - (\alpha + 2\beta)y_2 + \beta(2\alpha + \beta)y_3 - \alpha\beta^2 y_4 = 0, & y_1 - 3\beta y_2 + 3\beta^2 y_3 - \beta^3 y_4 = 0. \end{cases}$$

Die vier Ebenen bilden stets ein wirkliches Tetraeder, da die Determinante der Koeffizienten  $(\alpha - \beta)^6$  ist. Die Koordinaten der Punkte (3) sind ebenso nach § 24, (30'), (29'):

$$(5) \quad \begin{aligned} P_1 &= \beta^3, \beta^2, \beta, 1; & P_2 &= 3\alpha\beta^2, \beta(2\alpha + \beta), \alpha + 2\beta, 3; \\ P_3 &= 3\alpha^2\beta, \alpha(\alpha + 2\beta), 2\alpha + \beta, 3; & P_4 &= \alpha^3, \alpha^2, \alpha, 1. \end{aligned}$$

Diese Koordinaten von  $P_2$  und  $P_3$  genügen aber je den Gleichungen der drei ungleichnamigen Ebenen (4).

II. Bei beliebigen Werten von  $\alpha$  und  $\beta$ ,  $\alpha \neq \beta$ , bilden die Ebenen (4) und die Punkte (5) ein Schmiegungetetraeder.

**3. Einführung eines Schmiegungetetraeders als Koordinatentetraeder.** Um von dem Koordinaten-Tetraeder der Darstellung (1) auf das der Ebenen (4) überzugehen, dienen die Transformationsformeln<sup>1)</sup>:

$$(6) \quad \begin{cases} z_1 = (\beta - \gamma)^3 \{ y_1 - 3\alpha y_2 + 3\alpha^2 y_3 - \alpha^3 y_4 \}, \\ z_2 = (\beta - \gamma)^2 (\alpha - \gamma) \{ y_1 - (2\alpha + \beta)y_2 + \alpha(\alpha + 2\beta)y_3 - \alpha^2\beta y_4 \}, \\ z_3 = (\beta - \gamma)(\alpha - \gamma)^2 \{ y_1 - (\alpha + 2\beta)y_2 + \beta(2\alpha + \beta)y_3 - \alpha\beta^2 y_4 \}, \\ z_4 = (\alpha - \gamma)^3 \{ y_1 - 3\beta y_2 + 3\beta^2 y_3 - \beta^3 y_4 \}, \end{cases}$$

wo  $z_k$  die neuen Punktkoordinaten und  $\gamma$  ein Wert des Parameters  $\lambda$  ist, durch den der Einheitspunkt der neuen Koordinaten bestimmt werden soll (I § 57, 9).

Setzt man in (6) die Werte § 24, (22) der  $y_k$  ein, so erhält man:

$$(7) \quad \begin{cases} \varrho z_1 = (\beta - \gamma)^3 (\lambda - \alpha)^3, & \varrho z_2 = (\beta - \gamma)^2 (\alpha - \gamma) (\lambda - \alpha)^2 (\lambda - \beta), \\ \varrho z_3 = (\beta - \gamma) (\alpha - \gamma)^2 (\lambda - \alpha) (\lambda - \beta)^2, & \varrho z_4 = (\alpha - \gamma)^3 (\lambda - \beta)^3, \end{cases}$$

oder mit dem neuen Parameter:

$$(8) \quad \lambda' = \frac{(\beta - \gamma)(\lambda - \alpha)}{(\alpha - \gamma)(\lambda - \beta)}$$

und mit anderem  $\varrho$ :

$$(9) \quad \varrho z_1 = \lambda'^3, \quad \varrho z_2 = \lambda'^2, \quad \varrho z_3 = \lambda', \quad \varrho z_4 = 1.$$

1) Cremona, Ann. di mat. 1 (2858), S. 289.



I. In jedem durch irgend zwei getrennte Punkte  $\lambda = \alpha$  und  $\lambda = \beta$  der Kurve bestimmten Schmiegungstetraeder kann die Parameterdarstellung in die kanonische Form gebracht werden.<sup>1)</sup>

II. Den Werten  $\lambda = \alpha, \beta, \gamma$  des alten Parameters entsprechen nach (8) die Werte  $\lambda' = 0, \infty, 1$  des neuen.

4. Die Kanten des Schmiegungstetraeders. Die Kante  $J_1J_4$  in dem Schmiegungstetraeder unter 1 ist als Verbindungslinie zweier

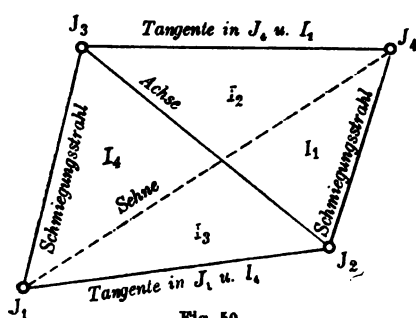


Fig. 50.

Kurvenpunkte  $J_4$  und  $J_1$  eine Sehne (Fig. 50) und die Kante  $J_2J_3$  als Schnittlinie der zugehörigen Schmiegungebenen  $l_1$  und  $l_4$  die zugehörige Achse (§ 26, 7). Die Kante  $J_1J_2$  ist, als Schnittlinie zweier Berührungsebenen im Punkte  $J_1$ , nämlich der Schmiegungeebene  $l_4$  und der Tangentialebene  $l_3$ , nach § 25, 5 Tangente in  $J_1$  und in  $l_4$ . Ebenso ist  $J_3J_4$ , als Schnittlinie der

Schmiegungeebene  $l_1$  und der Tangentialebene  $l_2$  in  $J_4$ , Tangente in  $J_4$  und in  $l_1$ . Die Kante  $J_1J_3$  ist Trefflinie in  $J_1$  und Streichlinie in  $l_4$ , also nach § 27, 6 Schmiegungsstrahl; ebenso die Kante  $J_2J_4$ , die durch  $J_4$  geht und in  $l_1$  liegt.

In einem Schmiegungstetraeder  $J_1J_2J_3J_4$  (Fig. 50) sind die Gegenkanten  $J_1J_4$  und  $J_2J_3$  zusammengehörige Sehne und Achse, die Gegenkanten  $J_1J_2$  und  $J_3J_4$  Tangenten und die Gegenkanten  $J_1J_3$  und  $J_2J_4$  Schmiegungsstrahlen.<sup>2)</sup>

5. Sehne in vereinigter Lage mit zwei Kanten. Die beiden Kanten  $J_1J_3$  und  $J_2J_4$ , die Schmiegungsstrahlen sind, haben (I § 59, (21')) die Achsenkoordinaten 0, 0, 0, 0, 1, 0 und 0, 1, 0, 0, 0, 0. Die Bedingung, daß eine Gerade  $s_k$  eine solche Kante schneidet, ist daher bezüglich:

$$s_2 = 0; \quad s_5 = 0.$$

Soll eine Sehne  $s_k = \lambda_1; \lambda_2$  oder mit homogener Bezeichnung des Parameters  $s_k = \lambda_1, \mu_1; \lambda_2, \mu_2$  eine solche Kante schneiden, muß nach § 26, (6'') bezüglich:

$$(10) \quad (\lambda_1\mu_2 + \lambda_2\mu_1)\mu_1\mu_2 = 0; \quad (\lambda_1\mu_2 + \lambda_2\mu_1)\lambda_1\lambda_2 = 0.$$

1) Über kollineare Transformationen der Raumkurve 3. O. in sich vgl. R. Sturm, Math. Ann. 26 (1886), S. 489; S. Lie, Transformationsgruppen 3 (1893), S. 185; F. Klein, Autograf. Hefte, Geom. 1 (1893), S. 391. Über die Bedeutung des Einheitspunktes vgl. A. Voss, Jahrb. Math. Vereinig. 22 (1913), S. 107.

2) R. Sturm, Math. Ann. 26 (1886), S. 488.

Das gleichzeitige Bestehen dieser Bedingungen erfordert, wenn wir von der Sehne  $J_1J_4$ :  $\lambda_1 = 0$ ,  $\mu_1 = 1$ ;  $\lambda_2 = 1$ ,  $\mu_2 = 0$  oder  $\lambda_1 = 1$ ,  $\mu_1 = 0$ ;  $\lambda_2 = 0$ ,  $\mu_2 = 1$  absehen:

$$(11) \quad \lambda_1\mu_2 + \lambda_2\mu_1 = 0.$$

Entsprechendes gilt für eine Achse  $\lambda_1 \times \lambda_2$ , also:

*Diejenigen Sehnen  $\lambda_1\lambda_2$  und Achsen  $\lambda_1 \times \lambda_2$ , welche der Bedingung:*

$$(12) \quad \lambda_1 + \lambda_2 = 0$$

*genügen, schneiden jede der beiden Kanten  $J_3J_1$  und  $J_3J_4$  des Schmiegungstetraeders.*

**6. Harmonische Teilung der Sehnen.** Jeder Punkt der Sehne, welche entsprechend der Bedingung (12) die beiden Kurvenpunkte  $R_1 = \lambda$  und  $R_2 = -\lambda$  verbindet, hat nach § 24, (22) Koordinaten von der Form:

$$(13) \quad y_1 = (1 - \tau)\lambda^3, y_2 = (1 + \tau)\lambda^3, y_3 = (1 - \tau)\lambda, y_4 = 1 + \tau,$$

wo  $\tau$  der längs der Sehne wechselnde Parameter ist.

Die Schnittpunkte  $Q_1$  und  $Q_2$  der Sehne mit den Kanten  $J_3J_1$  ( $y_2 = 0$ ,  $y_4 = 0$ ) und  $J_3J_4$  ( $y_1 = 0$ ,  $y_3 = 0$ ) entsprechen daher den Werten  $\tau = -1$  und  $\tau = 1$ , sind also harmonisch zu  $R_1$  und  $R_2$ . Der duale Satz gilt für Achsen, also:

<p><i>Jede Sehne, welche die beiden Kanten <math>J_3J_1</math> und <math>J_3J_4</math> des Schmiegungstetraeders schneidet, wird von ihnen harmonisch geteilt.<sup>1)</sup></i></p>	<p><i>Der Winkel der beiden Schmiegungebenen einer solchen Achse, welche die beiden Kanten <math>J_3J_1</math> und <math>J_3J_4</math> schneidet, wird von den Verbindungsebenen der Achse mit diesen Kanten harmonisch geteilt.</i></p>
---	--

Diese Sätze gelten nach (9) auch für jedes andere Schmiegungstetraeder  $P_1P_2P_3P_4$ .

**7. Ort der Sehnen.** Die Gleichungen der Sehnen und Achsen, welche den Parameterwerten  $\lambda_1 = \lambda$  und  $\lambda_2 = -\lambda$  entsprechen, sind nach § 25, (1), (1'):

$$(14) \quad y_1 - \lambda^2 y_3 = 0, y_2 - \lambda^2 y_4 = 0;$$

$$(14') \quad 3\lambda^2 v_1 - v_3 = 0, \lambda^2 v_2 - 3v_4 = 0.$$

Durch Elimination von  $\lambda^2$  ergibt sich (vgl. § 24, (33), (33')):

1) L. Cremona, J. f. Math. 58 (1861), S. 147; R. Sturm, Math. Ann. 26 (1886), S. 488.

Die Sehnen, welche die beiden Kanten  $J_3J_1$  und  $J_3J_4$  schneiden, liegen auf der Fläche 2. O.

$$(15) \quad g = y_3y_3 - y_1y_4 = 0;$$

Die Achsen, welche die beiden Kanten  $J_3J_1$  und  $J_3J_4$  schneiden, liegen auf der Fläche 2. Kl.

$$(15') \quad G = 9v_1v_4 - v_2v_3 = 0.$$

### § 29. Das Polarsystem der Raumkurve 3. Ordnung.

1. Begriff von Polarebene und Pol. Die Raumkurve sei durch die Gleichungen § 24, (22); (22') gegeben.

Die Verbindungsebene der Schmiegun-  
gungspunkte der drei durch einen  
Punkt  $y_k^0$  des Raumes gehenden  
Schmiegungebenen  $\lambda_1, \lambda_2, \lambda_3$  heißt  
die Polarebene des Punktes  $y_k^0$ .

Der Schnittpunkt der Schmiegun-  
gebenen der drei in einer Ebene  $v_k^0$   
des Raumes liegenden Kurvenpunkte  
 $\lambda_1, \lambda_2, \lambda_3$  heißt der Pol der Ebene  $v_k^0$ .

Zwischen  $y_k^0$  oder  $v_k^0$  und  $\lambda_1, \lambda_2, \lambda_3$  bestehen dabei nach § 24, (27'); (27) mit Rücksicht auf § 24, 10, IV die Gleichungen:

$$y_4^0\lambda_1\lambda_2\lambda_3 = y_1^0, \quad y_4^0(\lambda_2\lambda_3 + \lambda_3\lambda_1 + \lambda_1\lambda_2) = 3y_2^0, \quad y_4^0(\lambda_1 + \lambda_2 + \lambda_3) = 3y_3^0;$$

$$v_1^0\lambda_1\lambda_2\lambda_3 = -v_4^0, \quad v_1^0(\lambda_2\lambda_3 + \lambda_3\lambda_1 + \lambda_1\lambda_2) = v_3^0, \quad v_1^0(\lambda_1 + \lambda_2 + \lambda_3) = -v_2^0,$$

sodaß wiederum aus § 24, (28); (28') folgt:

Die Gleichung der Polarebene des  
Punktes  $y_k^0$  lautet in laufenden  
Punktkoordinaten:

$$(1) \quad y_4^0y_1 - 3y_3^0y_2 + 3y_2^0y_3 - y_1^0y_4 = 0.$$

Die Koordinaten  $v_x^0$  dieser Ebene  
sind daher:

$$(2) \quad \rho v_1^0 = y_4^0, \quad \rho v_2^0 = -3y_3^0, \\ \rho v_3^0 = 3y_2^0, \quad \rho v_4^0 = -y_1^0.$$

Die Gleichung des Poles der Ebene  
 $v_k^0$  lautet in laufenden Ebenen-  
koordinaten:

$$(1') \quad -3v_4^0v_1 + v_3^0v_2 - v_2^0v_3 + 3v_1^0v_4 = 0.$$

Die Koordinaten  $y_x^0$  dieses Punk-  
tes sind daher:

$$(2') \quad \sigma y_1^0 = -3v_4^0, \quad \sigma y_2^0 = v_3^0, \\ \sigma y_3^0 = -v_2^0, \quad \sigma y_4^0 = 3v_1^0.$$

2. Involutorische Beziehung. Da aber von den Gleichungen (2) und (2') die einen die Auflösungen der andern sind (mit  $\rho\sigma = 3$ ), so ergibt sich:

Jede Ebene ist die Polarebene ihres Poles, jeder Punkt der Pol seiner Polarebene.

Je ein Punkt  $y_k$  und eine Ebene  $v_k$  des Raumes gehören als Pol und Polarebene zusammen und sind, unter Weglassung des Index 0, durch die Gleichungen verbunden:<sup>1)</sup>

1) Cremona, Ann. di mat. 2 (1859), S. 21.

$$(3) \quad \varrho v_1 = y_4, \quad \varrho v_2 = -3y_3, \quad \varrho v_3 = 3y_2, \quad \varrho v_4 = -y_1;$$

$$(3') \quad \sigma y_1 = -3v_4, \quad \sigma y_2 = v_3, \quad \sigma y_3 = -v_2, \quad \sigma y_4 = 3v_1.$$

**3. Vereinigte Lage.** Da die Gleichung (1) durch  $y_k = y_k^0$ , (1') durch  $v_k = v_k^0$  identisch erfüllt wird, gilt der wichtige Satz:

*Pol und Polarebene liegen stets vereinigt.<sup>1)</sup>*

**4. Polarverwandtschaft der Raumkurve mit sich selbst.** Ist  $y_k$  ein Punkt  $\lambda$  und  $v_k$  eine Ebene  $\lambda$  der Raumkurve, so geben die Formeln (3) und (3') nach § 24, (22); (22'):

$$\varrho v_1 = 1, \quad \varrho v_2 = -3\lambda, \quad \varrho v_3 = 3\lambda^2, \quad \varrho v_4 = -\lambda^3;$$

$$\sigma y_1 = 3\lambda^3, \quad \sigma y_2 = 3\lambda^2, \quad \sigma y_3 = 3\lambda, \quad \sigma y_4 = 3,$$

sodaß wieder nach § 24, (22'); (22) und § 24, 10, IV folgt:

*Die Polarebene eines Punktes der Kurve ist seine Schmiegungebene.<sup>2)</sup> Der Pol einer Schmiegungebene ist ihr Schmiegungepunkt.<sup>2)</sup>*

Vermöge (3) gilt für die Ausdrücke § 24, (33); (33'), abgesehen von den Proportionalitätsfaktoren, die Beziehung:

$$(4) \quad f = F, \quad g = G, \quad h = H.$$

Wie die Raumkurve selbst<sup>3)</sup>, sind daher auch die zu ihrer Darstellung benutzten Flächen 2. O. und 2. Kl. in § 24, (33); (33') vermöge (3) untereinander polarverwandt.

**5. Polarebenen der Punkte einer Reihe.** Die Polarebenen der beiden Punkte  $y_k^{(1)}$  und  $y_k^{(2)}$  sind nach (3) mit Unterdrückung des Faktors  $\varrho$ :

$$(5) \quad v_1^{(1)} = y_4^{(1)}, \quad v_2^{(1)} = -3y_3^{(1)}, \quad v_3^{(1)} = 3y_2^{(1)}, \quad v_4^{(1)} = -y_1^{(1)};$$

$$v_1^{(2)} = y_4^{(2)}, \quad v_2^{(2)} = -3y_3^{(2)}, \quad v_3^{(2)} = 3y_2^{(2)}, \quad v_4^{(2)} = -y_1^{(2)}$$

und die Polarebene des laufenden Punktes  $y_k^{(1)} + \tau y_k^{(2)}$  ihrer Verbindungslinie wieder nach (3):

$$v_1 = y_4^{(1)} + \tau y_4^{(2)}, \quad v_2 = -3(y_3^{(1)} + \tau y_3^{(2)}), \quad v_3 = 3(y_2^{(1)} + \tau y_2^{(2)}),$$

$$v_4 = -(y_1^{(1)} + \tau y_1^{(2)})$$

oder nach (5):

$$v_x = v_k^{(1)} + \tau v_k^{(2)}.$$

1) Chasles, J. de math. (2) 2 (1857), S. 404 (No. 41); H. Schröter, J. f. Math. 56 (1859), S. 39; Cremona, Ann. di mat. 1 (1858), S. 166; 2 (1859), S. 19.

2) H. Schröter, J. f. Math. 56 (1859), S. 42.

3) Cremona, Ann. di mat. 1 (1858), S. 165; 2 (1859), S. 20; Reye, Zeitschr. Math. Phys. 13 (1868), S. 521; R. Sturm, Math. Ann. 26 (1886), S. 506.

*Die Polarebenen aller Punkte einer Punktreihe bilden einen ihr projektiven Ebenenbüschel.*

*Die Pole aller Ebenen eines Büschels bilden eine ihm projektive Punktreihe.*

**6. Reziproke Polaren.** Sind  $r_x$  die Strahlenkoordinaten der Geraden  $y_k^{(1)}y_k^{(2)}$  und  $s'_k$  die Achsenkoordinaten der Geraden  $v_k^{(1)} \times v_k^{(2)}$ , so ist nach (5):

$$s'_1 = 9r_1, s'_2 = 3r_5, s'_3 = 3r_6, s'_4 = r_4, s'_5 = 3r_2, s'_6 = 3r_3,$$

oder wenn man die Strahlenkoordinaten  $r'_k$  von  $v_k^{(1)} \times v_k^{(2)}$  einführt und wieder einen Proportionalitätsfaktor hinzufügt:

$$(6) \quad \varrho r'_1 = r_4, \varrho r'_2 = 3r_5, \varrho r'_3 = 3r_6, \varrho r'_4 = 9r_1, \varrho r'_5 = 3r_2, \varrho r'_6 = 3r_3.$$

Hieraus folgt umgekehrt mit  $\varrho\sigma = 9$ :

$$(7) \quad \sigma r_1 = r'_4, \sigma r_2 = 3r'_5, \sigma r_3 = 3r'_6, \sigma r_4 = 9r'_1, \sigma r_5 = 3r'_2, \sigma r_6 = 3r'_3.$$

Nennt man daher „Polare“ einer Geraden die Schnittlinie der Polarebenen irgend zweier Punkte der Geraden, so ist die Beziehung zwischen der Geraden und ihrer Polaren reziprok.

I. *Zwei Gerade sind reziproke Polaren<sup>1)</sup>, wenn jede die Schnittlinie der Polarebenen irgend zweier Punkte der anderen oder die Verbindungslinie der Pole irgend zweier Ebenen der andern ist.<sup>2)</sup>*

II. *Zwischen den Strahlenkoordinaten  $r_k$  und  $r'_k$  zweier reziproker Polaren bestehen die Gleichungen (6) und (7).*

**7. Sehne und Achse als reziproke Polaren.** Die Polarebenen zweier Punkte  $\lambda_1$  und  $\lambda_2$  der Kurve sind nach 4 die Schmiegungebenen  $\lambda_1$  und  $\lambda_2$ . Daraus folgt nach 6, I:

I. *Die Sehne  $s = \lambda_1\lambda_2$  und die zugehörige Achse  $a = \lambda_1 \times \lambda_2$  (§ 26, 7) sind reziproke Polaren.<sup>3)</sup>*

In der Tat stehen die beiderseitigen Strahlenkoordinaten § 26, (6); (6'):

$$(8) \quad \begin{cases} r_1 = \nu, r_2 = -\mu\nu, r_3 = \nu^2, r_4 = \mu^2 - \nu, r_5 = \mu, r_6 = 1; \\ r'_1 = \mu^2 - \nu, r'_2 = -3\mu\nu, r'_3 = 3\nu^2, r'_4 = 9\nu, r'_5 = 3\mu, r'_6 = 3 \end{cases}$$

in der Beziehung (6).

Die durch einen Punkt  $y_k$  des Raumes gehenden Sehne  $\lambda_1\lambda_2$  und die in einer Ebene des Raumes liegende Achse  $\lambda_1 \times \lambda_2$  bestimmen sich nach § 26, (3); (3') aus den Gleichungen:

$$(9) \quad f\lambda^2 + g\lambda + h = 0 \quad (9') \quad F\lambda^2 + G\lambda + H = 0.$$

1) Cremona, Ann. di mat. 2 (1859), S. 20; Nouv. Ann. (2) 1 (1862), S. 294.

2) H. Schröter, J. f. Math. 56 (1859), S. 42.

3) R. Sturm, Geom. Verw. 3 (1909), S. 110.

Sind nun  $y_k$  und  $v_k$  Pol und Polarebene, so sind nach (4) beide Gleichungen identisch (vgl. Fig. 51, S. 197):

II. *Die durch einen Punkt P gehende Sehne s und die in seiner Polarebene II liegende Achse a sind zusammengehörig; die durch die Achse gehenden Schmiegungebenen gehören zu den Endpunkten der Sehne.*

8. **Vereinigte Lage zweier reziproker Polaren.** Aus (6) folgt die identische Gleichung (I § 59, (5')):

$$(10) \quad \varrho(r_1 r_4' + r_2 r_5' + r_3 r_6' + r_4 r_1' + r_5 r_2' + r_6 r_3') = (3r_1 - r_4)^2.$$

Eine Gerade  $r_k$  schneidet daher immer dann und nur dann ihre reziproke Polare, wenn sie dem linearen Komplex:

$$(11) \quad 3r_1 - r_4 = 0$$

angehört. Dann aber ist nach (6):

$$\varrho r_1' = 3r_1, \varrho r_2' = 3r_2, \varrho r_3' = 3r_3, \varrho r_4' = 3r_4, \varrho r_5' = 3r_5, \varrho r_6' = 3r_6,$$

so daß  $r_k$  und  $r_k'$  ganz zusammenfallen:

*Eine Gerade fällt immer dann und nur dann mit ihrer reziproken Polaren zusammen, wenn sie dem linearen Komplex (11) angehört. Eine andere Gerade hat überhaupt keinen Punkt mit ihrer reziproken Polaren gemein.*

Der Komplex (11) enthält nach § 25, 8 auch die Tangenten der Raumkurve, in denen Sehnen und Achsen (7, I) zusammenfallen, die also ihre eignen reziproken Polaren sind.<sup>1)</sup>

9. **Polarbeziehungen im Schmiegungstetraeder.** In einem Schmiegungstetraeder  $P_1 P_2 P_3 P_4$  sind nach § 28, (3) die Ebenen  $\Pi_1$  und  $\Pi_4$  mit Rücksicht auf 4 die Polarebenen der Ecken  $P_4$  und  $P_1$ . Durch die Ecke  $P_2$  gehen nach § 28, (3) die drei Schmiegungebenen  $\beta, \beta, \alpha$ ; die Polarebene der Ecke ist daher nach 1 die Verbindungsebene der Punkte  $\beta, \beta, \alpha$ , also nach § 28, (3) die Ebene  $\Pi_3$ .

I. *In einem Schmiegungstetraeder  $P_1 P_2 P_3 P_4$  gehören die Paare  $P_1$  und  $\Pi_4$ ,  $P_4$  und  $\Pi_1$ ,  $P_2$  und  $\Pi_3$ ,  $P_3$  und  $\Pi_2$  je einer Ecke und einer Seitenfläche als Pol und Polarebene zusammen.*

Die Kanten  $J_2 J_3$  und  $J_1 J_4$  (Fig. 50) sind als zusammengehörige Achse und Sehne nach 7, I reziproke Polaren, die Kanten  $J_1 J_2$  und  $J_3 J_4$  als Tangenten ihre eignen reziproken Polaren. Die Polarebenen  $\Pi_2$  und  $\Pi_4$  zweier Punkte  $J_3$  und  $J_1$  (nach I) der Kante  $J_3 J_1$  gehen wieder durch die Kante  $J_3 J_1$  nach der Bezeichnung des Tetraeders.

1) Schröter, J. f. Math. 56 (1859), S. 42.

Diese Kante ist also ihre eigne reziproke Polare, ebenso  $J_3 J_4$ . So für jedes Schmiegungetetraeder  $P_1 P_2 P_3 P_4$ .

II. Die Kanten  $P_1 P_4$  und  $P_2 P_3$ , die Sehne und Achse sind, sind reziproke Polaren; die übrigen Kanten  $P_1 P_2$  und  $P_3 P_4$ , die Tangenten, und  $P_3 P_1$  und  $P_2 P_4$ , die Schmiegungetstrahlen sind, sind je ihre eignen reziproken Polaren (vgl. 8 und § 27, 6 II).

**10. Konjugierte Elemente.** Zwei konjugierte Punkte  $y_k^{(1)}$  und  $y_k^{(2)}$  oder zwei konjugierte Ebenen  $v_k^{(1)}$  und  $v_k^{(2)}$  sind solche Punkte und Ebenen, die durch die Beziehungen:

$$(12) \quad y_1^{(1)} y_4^{(2)} - 3 y_2^{(1)} y_3^{(2)} + 3 y_3^{(1)} y_2^{(2)} - y_4^{(1)} y_1^{(2)} = 0;$$

$$(12') \quad 3 v_1^{(1)} v_4^{(2)} - v_2^{(1)} v_3^{(2)} + v_3^{(1)} v_2^{(2)} - 3 v_4^{(1)} v_1^{(2)} = 0$$

verknüpft sind. Es folgt dann aus (1); (1'):

<p>Von zwei konjugierten Punkten liegt jeder in der Polarebene des andern.</p>	<p>Von zwei konjugierten Ebenen geht jede durch den Pol der an- dern.</p>
--	---

Die Gleichung der reziproken Polare  $r_k^{(1)'}$  von  $r_k^{(1)}$  in laufenden Strahlenkoordinaten  $r_k^{(2)}$  lautet:

$$r_4^{(1)'} r_1^{(2)} + r_5^{(1)'} r_2^{(2)} + r_6^{(1)'} r_3^{(2)} + r_1^{(1)'} r_4^{(2)} + r_2^{(1)'} r_5^{(2)} + r_3^{(1)'} r_6^{(2)} = 0$$

oder nach (6):

$$(13) \quad 9 r_1^{(1)} r_1^{(2)} + 3 r_5^{(1)} r_2^{(2)} + 3 r_6^{(1)} r_3^{(2)} + r_4^{(1)} r_4^{(2)} + 3 r_2^{(1)} r_5^{(2)} + 3 r_3^{(1)} r_6^{(2)} = 0.$$

Zwei durch diese in  $r_k^{(1)}$  und  $r_k^{(2)}$  symmetrische Gleichung verbundene Gerade heißen *konjugierte Gerade*.

Von zwei konjugierten Geraden schneidet jede die reziproke Polare der andern.

Mit  $r_k^{(1)} = r_k^{(2)}$  folgt wie in (10):

Eine Gerade fällt mit ihrer konjugierten zusammen, wenn sie dem Komplex (10) angehört.

**11. Transversale zweier reziproken Polaren.** Sind  $r_k$  und  $r_k'$  zwei reziproke Polaren und  $r_k^0$  eine beliebige Gerade, so ist mit den Abkürzungen:

$$(14) \quad \begin{aligned} S &= r_4 r_1^0 + r_5 r_2^0 + r_6 r_3^0 + r_1 r_4^0 + r_2 r_5^0 + r_3 r_6^0, \\ S' &= r_4' r_1^0 + r_5' r_2^0 + r_6' r_3^0 + r_1' r_4^0 + r_2' r_5^0 + r_3' r_6^0 \end{aligned}$$

nach (6) identisch:

$$(15) \quad \varrho S' - 3S = (3r_1 - r_4)(3r_1^0 - r_4^0).$$

Ist daher  $r_k^0$  eine Gerade des Komplexes (11), die  $r_k$  schneidet ( $S = 0$ ), so schneidet sie auch  $r_k'$  ( $S' = 0$ ):

I. Jede Komplexgerade  $r_k^0$ , die eine Gerade  $r_k$  schneidet, schneidet auch deren reziproke Polare  $r_k'$ .

Ist aber  $r_k^0$  eine Gerade, welche zwei getrennte, also nach 8 nicht dem Komplex angehörige reziproke Polaren schneidet ( $S = 0$ ,  $S' = 0$ ,  $3r_1 - r_4 \neq 0$ ), so gehört sie nach (15) dem Komplex an:

II. Jede gemeinsame Transversale von zwei getrennten reziproken Polaren gehört dem Komplex an.

12. Hyperboloidische Lage von zwei Paaren. Sind  $r, r'$  und  $r_0, r_0'$  zwei Paare getrennter reziproker Polaren und  $t$  irgend eine gemeinsame Transversale von  $r, r', r_0$ , so gehört  $t$  nach 11, II dem Komplex an und schneidet daher nach 11, I auch  $r_0'$ :

Zwei Paare getrennter reziproker Polaren liegen hyperboloidisch (Sonderfall in § 26, 9).

13. Pol und Polarebene im allgemeinen System. Die Rückkehr von dem kanonischen System der Gleichungen § 24, (22) zum allgemeinen der Gleichungen § 24, (1) geschieht nach § 24, (21); § 29, (3) mit  $\varrho = 1$ ; § 24, (19) und gibt:

$$A^2 u_k = \sum_1^4 \{ (A_{k1} A_{m4} - A_{k4} A_{m1}) - 3(A_{k2} A_{m3} - A_{k3} A_{m2}) \} x_m,$$

oder wenn man (I Anm. 1, III, (9)) die Unterdeterminanten 2. Grades  $\alpha_{ki}$  der  $a_{ki}$  einführt:

$$(16) \begin{cases} Au_1 = & (\alpha_{61} - 3\alpha_{64})x_2 - (\alpha_{51} - 3\alpha_{54})x_3 + (\alpha_{11} - 3\alpha_{14})x_4, \\ Au_2 = -(\alpha_{61} - 3\alpha_{64})x_1 & + (\alpha_{41} - 3\alpha_{44})x_3 + (\alpha_{21} - 3\alpha_{24})x_4, \\ Au_3 = (\alpha_{51} - 3\alpha_{54})x_1 - (\alpha_{41} - 3\alpha_{44})x_2 & + (\alpha_{31} - 3\alpha_{34})x_4, \\ Au_4 = -(\alpha_{11} - 3\alpha_{14})x_1 - (\alpha_{21} - 3\alpha_{24})x_2 - (\alpha_{31} - 3\alpha_{34})x_3. \end{cases}$$

Ebenso ergibt sich aus § 24, (18); § 29, (3') mit  $\sigma = 3$ ; § 24, (20):

$$3x_k = \sum_1^4 \{ (a_{k2} a_{m3} - a_{k3} a_{m2}) - 3(a_{k1} a_{m4} - a_{k4} a_{m1}) \} u_m$$

oder:

$$(17) \begin{cases} 3x_1 = & (\alpha_{31} - 3\alpha_{34})u_2 - (\alpha_{21} - 3\alpha_{24})u_3 + (\alpha_{41} - 3\alpha_{44})u_4, \\ 3x_2 = -(\alpha_{31} - 3\alpha_{34})u_1 & + (\alpha_{11} - 3\alpha_{14})u_3 + (\alpha_{51} - 3\alpha_{54})u_4, \\ 3x_3 = (\alpha_{21} - 3\alpha_{24})u_1 - (\alpha_{11} - 3\alpha_{14})u_2 & + (\alpha_{61} - 3\alpha_{64})u_4, \\ 3x_4 = -(\alpha_{41} - 3\alpha_{44})u_1 - (\alpha_{51} - 3\alpha_{54})u_2 - (\alpha_{61} - 3\alpha_{64})u_3. \end{cases}$$

Zwischen Pol  $x_k$  und Polarebene  $u_k$  der Raumkurve § 24, (1); (1') bestehen die Beziehungen (16) und (17), wo die  $\alpha_{ki}$  die Unterdeterminanten 2. Grades aus den Elementen  $a_{ki}$  bedeuten.



Die Gleichungen haben die charakteristische Form der *involutorischen Korrelation mit schiefer Determinante* (II § 78, 14).

**14. Der Komplex im allgemeinen System.** Die Gleichung (11) wird in Folge von § 24, (24):

$$(18) \quad A^2(3r_1 - r_4) = \sum_1^6 (3A_{m1} - A_{m4})p_m$$

oder (I Anm. 1, III, (9)):

$$(19) \quad -\varphi = A(3r_1 - r_4) = \sum_1^6 (3\alpha_{\bar{m}4} - \alpha_{\bar{m}1})p_m,$$

wo  $\bar{m}$  den komplementären Index zu  $m$  bedeutet.

I. Die Gleichung des Komplexes (11) lautet daher im System der Gleichungen § 24, (1):

$$(20) \quad \begin{cases} (\alpha_{41} - 3\alpha_{44})p_1 + (\alpha_{51} - 3\alpha_{54})p_2 + (\alpha_{61} - 3\alpha_{64})p_3 \\ + (\alpha_{11} - 3\alpha_{14})p_4 + (\alpha_{21} - 3\alpha_{24})p_5 + (\alpha_{31} - 3\alpha_{34})p_6 = 0. \end{cases}^1$$

Die Determinante der Komplexes (20) ist:

$$(21) \quad \begin{aligned} D &= (\alpha_{41} - 3\alpha_{44})(\alpha_{11} - 3\alpha_{14}) + (\alpha_{51} - 3\alpha_{54})(\alpha_{21} - 3\alpha_{24}) \\ &\quad + (\alpha_{61} - 3\alpha_{64})(\alpha_{31} - 3\alpha_{34}) \\ &= (\alpha_{11}\alpha_{41} + \alpha_{21}\alpha_{51} + \alpha_{31}\alpha_{61}) + 9(\alpha_{14}\alpha_{44} + \alpha_{24}\alpha_{54} + \alpha_{34}\alpha_{64}) \\ &\quad - 3(\alpha_{11}\alpha_{44} + \alpha_{21}\alpha_{54} + \alpha_{31}\alpha_{64} + \alpha_{41}\alpha_{14} + \alpha_{51}\alpha_{24} + \alpha_{61}\alpha_{34}) = -3A \end{aligned}$$

(I Anm. 1, III, (19); (20)), also bis auf den Faktor  $-3$  die Determinante § 24, (2). Nach der Form der Gleichung (20) folgt:<sup>2</sup>

II. Das Polarsystem (16), (17) der Raumkurve 3. O. § 24, (1) ist (II § 86, (1); (19)) dasselbe, wie das des linearen Komplexes (20).

**15. Reziproke Polaren im allgemeinen System.** Nach § 24, (23), § 29, (6) mit  $\varphi = 1$ , § 24, (24) folgt für die reziproke Polare  $p'_k$  von  $p_k$ :

$$\begin{aligned} A^2 p'_k &= \sum_1^6 \{ \alpha_{k1} A_{m4} + 3\alpha_{k2} A_{m2} + 3\alpha_{k3} A_{m3} + 9\alpha_{k4} A_{m1} + 3\alpha_{k5} A_{m5} \\ &\quad + 3\alpha_{k6} A_{m6} \} p_m \\ &= \sum_1^6 \{ 3(\alpha_{k1} A_{m1} + \alpha_{k2} A_{m2} + \alpha_{k3} A_{m3} + \alpha_{k4} A_{m4} + \alpha_{k5} A_{m5} + \alpha_{k6} A_{m6}) \\ &\quad - 3(\alpha_{k1} A_{m1} + \alpha_{k4} A_{m4}) + \alpha_{k1} A_{m4} + 9\alpha_{k4} A_{m1} \} p_m \\ &= 3A^2 p_k + (\alpha_{k1} - 3\alpha_{k4}) \sum_1^6 (A_{m4} - 3A_{m1}) p_m \end{aligned}$$

1) J. Tannery, Bull. sc. math. 11 (1876), S. 186.

2) H. Schröter, J. f. Math. 56 (1858), S. 43; über die  $\infty^7$  zu einem lin. Komplex gehörenden Raumkurven 3. O. vgl. Reye, Geom. d. L. 2 (1907), S. 200.

(I Anm. 1, III, (18)) und nach (18) und (21):

$$(22) \quad Ap'_k = -Dp_k + (\alpha_{k1} - 3\alpha_{k4})\varphi.$$

*Zwischen den Strahlenkoordinaten zweier reziproken Polaren der Raumkurve § 24, (1) bestehen die Beziehungen (22)<sup>1)</sup> (II § 86, (24)).*

**16. Die Möbiusschen Tetraeder.** Sind  $A_1, A_2, A_3, A_4$  irgend vier Punkte der Raumkurve 3. O. und  $B_1, B_2, B_3, B_4$  ihre Schmiegungebenen, so bilden jene ein Tetraeder  $\mathfrak{A}$  mit den Seitenebenen:

$$A_1 = A_2 A_3 A_4, \quad A_2 = A_3 A_1 A_4, \quad A_3 = A_1 A_2 A_4, \quad A_4 = A_1 A_2 A_3$$

und diese ein zweites Tetraeder  $\mathfrak{B}$  mit den Ecken:

$$B_1 = B_2 \times B_3 \times B_4, \quad B_2 = B_3 \times B_1 \times B_4, \quad B_3 = B_1 \times B_2 \times B_4, \quad B_4 = B_1 \times B_2 \times B_3.$$

Da jeder der Punkte  $A_k$  mit seiner Schmiegungebene  $B_k$  vereinigt liegt, so liegen die Ecken  $A_k$  des ersten Tetraeders  $\mathfrak{A}$  in den gleichnamigen Ebenen  $B_k$  des zweiten  $\mathfrak{B}$ .

Die Ebene  $A_1$  ist eine durch die drei Punkte  $A_2, A_3, A_4$  der Kurve gehende Ebene; daher liegt auch der Schnittpunkt  $B_1$  der drei Schmiegungebenen  $B_2, B_3, B_4$  dieser drei Punkte, als Pol der Ebene  $A_1$ , in ihr nach 3, also  $B_1$  in  $A_1$ , und allgemein liegen die Ecken  $B_k$  des zweiten Tetraeders  $\mathfrak{B}$  in den gleichnamigen Ebenen  $A_k$  des ersten  $\mathfrak{A}$ .

*Vier Punkte eines kub. Kegelschnittes bilden ein Tetraeder, ihre Schmiegungebenen ein zweites. Das eine Tetraeder ist dem andern gleichzeitig ein- und umbeschrieben.<sup>2)</sup>*

Die Gegenkanten  $A_1 A_2$  und  $A_3 A_4$  des einen,  $B_3 B_4 = B_1 \times B_2$  und  $B_1 B_2 = B_3 \times B_4$  des andern sind zwei Sehnen und zugehörige Achsen. Daher folgt aus § 26, 9:

*Je zwei Gegenkanten des einen Tetraeders und die gleichnamigen des andern liegen hyperboloidisch.<sup>3)</sup>*

## § 30. Projektive Gebilde an der Raumkurve 3. Ordnung.

**1. Doppelverhältnis von vier Punkten der Kurve.** Die Gleichung der Ebene, welche die feste Sehne  $\lambda_1 \lambda_2$  in § 25, (1) mit dem laufenden Punkte  $\lambda$  der Kurve verbindet, ist nach § 24, (28):

$$(1) \quad \{y_1 - (\lambda_1 + \lambda_2)y_2 + \lambda_1 \lambda_2 y_3\} - \lambda \{y_2 - (\lambda_1 + \lambda_2)y_3 + \lambda_1 \lambda_2 y_4\} = 0.$$

1) R. Sturm, J. f. Math. 86 (1879), S. 138.

2) Möbius, J. f. Math. 3 (1828), S. 273; Werke 1, S. 441; (1837) Werke 3, S. 126; J. Neuberger, Liège Mém. (2) 11 (1885), S. 14; P. Muth, Zeitschr. Math. Phys. 37 (1892), S. 117; G. Bauer, Münch. Ber. 27 (1897), S. 359.

3) Möbius, J. f. Math. 10 (1833), S. 336; Werke 1, S. 498; H. Schröter, J. f. Math. 56 (1859), S. 41.

Die Gleichung des Punktes, in welchem die feste Achse  $\lambda_1 \times \lambda_2$  in § 25, (1') von der laufenden Schmiegungeebene  $\lambda$  geschnitten wird, ist ebenso nach § 24, (28')

$$(1') \quad \{3v_4 + (\lambda_1 + \lambda_2)v_3 + \lambda_1\lambda_2v_2\} + \lambda\{v_3 + (\lambda_1 + \lambda_2)v_2 + 3\lambda_1\lambda_2v_1\} = 0.$$

Für vier Lagen  $\lambda', \lambda'', \lambda''', \lambda''''$  des laufenden Punktes  $\lambda$  ist das Doppelverhältnis der vier entsprechenden Ebenen (1) und für vier Lagen  $\lambda', \lambda'', \lambda''', \lambda''''$  der laufenden Schmiegungeebene  $\lambda$  ist das Doppelverhältnis der vier entsprechenden Punkte (1') (I § 42, 11; § 46, 5):

$$(2) \quad \delta = \frac{(\lambda' - \lambda'''')(\lambda'' - \lambda''')}{(\lambda'' - \lambda'''')(\lambda' - \lambda''')}$$

unabhängig von  $\lambda_1, \lambda_2$ . Es folgt daher:

<p>Vier Punkte <math>\lambda', \lambda'', \lambda''', \lambda''''</math> der Raumkurve haben ein bestimmtes Doppelverhältnis <math>\delta</math>, dasjenige der vier Ebenen, welche sie mit irgend einer Sehne (oder Tangente) verbinden.</p>	<p>Vier Schmiegungeebenen <math>\lambda', \lambda'', \lambda''', \lambda''''</math> haben ein bestimmtes Doppelverhältnis <math>\delta</math>, dasjenige der vier Punkte, in denen sie irgend eine Achse (oder Tangente) schneiden.<sup>1)</sup></p>
---	--

Das Doppelverhältnis (2) von vier Punkten ist dasselbe wie das der zugehörigen Schmiegungeebenen.<sup>2)</sup>

## 2. Harmonische Punkte und Punktinvolutionen auf der Kurve.

Vier Punkte oder Schmiegungeebenen heißen *harmonisch*<sup>3)</sup>, wenn ihr Doppelverhältnis  $\delta = -1$ , also:

$$(3) \quad \lambda'\lambda'' - \frac{1}{2}(\lambda' + \lambda'')(\lambda''' + \lambda''') + \lambda'''\lambda'''' = 0.$$

Daher bilden die unendlich vielen durch eine Gleichung von der Form (II § 8, (8)):

$$(4) \quad a_{11}\lambda_1\lambda_2 + a_{12}(\lambda_1 + \lambda_2) + a_{22} = 0$$

verbundenen Punktepaaire eine *Involution von Punktepaairen auf der Kurve*. Alle diese Punktepaaire sind harmonisch zu den durch die quadratische Gleichung:

$$(5) \quad a_{11}\lambda^2 + 2a_{12}\lambda + a_{22} = 0$$

bestimmten *Doppelpunkten* der Involution.

Ebenso bilden die durch die Gleichung (4) verknüpften Paare von Schmiegungeebenen  $\lambda_1, \lambda_2$  eine *Involution von Ebenenpaaren an der Kurve* mit den Doppelbenen (5).

1) H. Schröter, J. f. Math. 56 (1859), S. 29; 30.

2) Cremona, Ann. di mat. 1 (1858), S. 165; Reye, G. d. L. 2 (1907), S. 176.

3) v. Staudt, Beiträge (1860), S. 321; Reye, a. a. O., S. 165.

**3. Projektive Ebenenbüschel an zwei Sehnen.** Die Ebenenbüschel, welche zwei feste Sehnen  $\lambda_1\lambda_2$  und  $\lambda_3\lambda_4$  mit dem laufenden Punkte  $\lambda$  verbinden:

$$(6) \quad \begin{cases} \{y_1 - (\lambda_1 + \lambda_2)y_3 + \lambda_1\lambda_2y_3\} - \lambda\{y_2 - (\lambda_1 + \lambda_2)y_3 + \lambda_1\lambda_2y_4\} = 0, \\ \{y_1 - (\lambda_3 + \lambda_4)y_2 + \lambda_3\lambda_4y_3\} - \lambda\{y_2 - (\lambda_3 + \lambda_4)y_3 + \lambda_3\lambda_4y_4\} = 0, \end{cases}$$

sind nach der Form ihrer Gleichungen (I § 66, (10)) projektiv. Sie haben keine Ebene entsprechend gemein. Denn wenn die Ebenen (6) bei gleichem  $\lambda$  zusammenfielen, müßten auch ihre Schnittpunkte  $\lambda, \lambda_1, \lambda_2$  und  $\lambda, \lambda_3, \lambda_4$  mit der Kurve dieselben sein, also auch die Sehnen  $\lambda_1\lambda_2$  und  $\lambda_3\lambda_4$  dieselben sein. Dagegen können die Sehnen mit  $\lambda_2 = \lambda_3$  „anschließend“ sein.

<p><i>Die Verbindungsebenen zweier festen Sehnen mit dem laufenden Punkte der Kurve bilden zwei projektive Ebenenbüschel, die keine Ebene entsprechend gemein haben.<sup>1)</sup></i></p>	<p><i>Die Schnittpunkte zweier festen Achsen mit der laufenden Schmiegungebene bilden zwei projektive Punktreihen, die keinen Punkt entsprechend gemein haben.</i></p>
---	--

Da bei der kub. Parabel die unendlich ferne Ebene Schmiegungebene ist (§ 7, 10), so geht aus dem Satze rechts hervor (II § 13, 19):

*Bei der kub. Parabel werden zwei feste Achsen von der laufenden Schmiegungebene in ähnlichen Punktreihen geschnitten.<sup>2)</sup>*

**4. Projektive Ebenenbündel an zwei Punkten.** Die Gleichung des Bündels von Ebenen, welche den festen Punkt  $\lambda_1$  der Kurve mit der laufenden Sehne  $\lambda\lambda'$  verbinden, lautet nach § 24, (28), wenn  $\lambda + \lambda' = -\mu$ ,  $\lambda\lambda' = \nu$  gesetzt wird:

$$(7) \quad (y_1 - \lambda_1y_2) + \mu(y_2 - \lambda_1y_3) + \nu(y_3 - \lambda_1y_4) = 0,$$

und ebenso für einen zweiten festen Punkt  $\lambda_2$ :

$$(8) \quad (y_1 - \lambda_2y_2) + \mu(y_2 - \lambda_2y_3) + \nu(y_3 - \lambda_2y_4) = 0.$$

Die beiden Bündel (7) und (8) sind nach der Form ihrer Gleichungen (I § 68, (10)) projektiv. Bei gleichen Werten von  $\mu$  und  $\nu$  können die Ebenen (7) und (8) nicht zusammenfallen, ohne daß  $\lambda_1 = \lambda_2$ .

*Die Verbindungsebenen zweier fester Punkte der Kurve mit der laufenden Sehne bilden zwei projektive Ebenenbündel<sup>3)</sup>, die keine Ebene entsprechend gemein haben.*

*Dual schneidet die laufende Achse zwei feste Schmiegungebenen in projektiven Punktfeldern.<sup>3)</sup>*

1) Chasles, J. de math. (2) 2 (1857), S. 399 (Nr. 9).

2) H. Schröter, Math. Ann. 25 (1885), S. 295.

3) Fr. Seydewitz, Arch. Math. Phys. 10 (1847), S. 207; 213 für lauf. Tangente.

5. **Projektive Strahlbündel an zwei Punkten.** Die Gleichungen des Bündels von Treffgeraden, die durch einen Punkt  $\lambda_1$  der Kurve gehen, sind nach § 27, (13):

$$(9) \quad y_1 - \lambda_1 y_2 : y_2 - \lambda_1 y_3 : y_3 - \lambda_1 y_4 = \varrho : \sigma : \tau,$$

und ebenso für einen zweiten Punkt  $\lambda_2 (\lambda_1 - \lambda_2 \neq 0)$ :

$$(10) \quad y_1 - \lambda_2 y_2 : y_2 - \lambda_2 y_3 : y_3 - \lambda_2 y_4 = \varrho : \sigma : \tau.$$

Die beiden Strahlbündel (9) und (10) sind nach der Form ihrer Gleichungen (I § 68, (20)) projektiv, wenn gleichen Verhältnissen  $\varrho : \sigma : \tau$  entsprechende Strahlen zugehören. Im allgemeinen werden sich entsprechende Strahlen nicht schneiden. Soll jedoch ein Punkt  $y_k$  der Schnittpunkt von zwei entsprechenden Strahlen sein, muß er den Bedingungen:

$$(11) \quad y_1 - \lambda_1 y_2 : y_2 - \lambda_1 y_3 : y_3 - \lambda_1 y_4 = y_1 - \lambda_2 y_2 : y_2 - \lambda_2 y_3 : y_3 - \lambda_2 y_4$$

oder, da:

$$\begin{aligned} (y_2 - \lambda_1 y_3)(y_3 - \lambda_2 y_4) - (y_3 - \lambda_1 y_4)(y_2 - \lambda_2 y_3) &= (\lambda_1 - \lambda_2)(y_2 y_4 - y_3^2) \\ &= (\lambda_1 - \lambda_2)f, \dots, \end{aligned}$$

mit den Abkürzungen § 24, (33):

$$(12) \quad f = 0, \quad g = 0, \quad h = 0.$$

Er muß also auf der Kurve selbst liegen. Ist umgekehrt  $\lambda$  ein Punkt der Kurve, so stellen die Gleichungen (9) und (10) nach § 27, (16) mit den übereinstimmenden Werten  $\varrho : \sigma : \tau = \lambda^2 : \lambda : 1$  die Sehnen  $\lambda_1 \lambda$  und  $\lambda_2 \lambda$  dar.

*Die Verbindungslinien zweier festen Punkte  $\lambda_1$  und  $\lambda_2$  der Kurve mit dem laufenden Punkte  $\lambda$  bilden die sich schneidenden entsprechenden Strahlen zweier projektiven Strahlbündel.<sup>1)</sup>*

Diese haben keinen Strahl entsprechend gemein, da dem Strahle  $\lambda_1 \lambda_2$  des ersten Bündels die Tangente  $\lambda_2 \lambda_2$  im Zentrum des zweiten und ebenso dem Strahle  $\lambda_2 \lambda_1$  des zweiten die Tangente  $\lambda_1 \lambda_1$  im ersten entspricht.

*Dual bilden die Schnittlinien zweier festen Schmiegungebenen mit der laufenden Schmiegungeebene die vereinigt liegenden entsprechenden Strahlen zweier projektiven Strahlfelder.*

1) Seydewitz, Arch. Math. Phys. 10 (1847), S. 207.

## II. Kapitel.

## Raumkurve 3. Ordnung und Fläche 2. Ordnung.

## § 31. Flächen 2. Ordnung durch die Raumkurve 3. Ordnung.

1. Schnittpunkte der Fläche 2. O. mit der Raumkurve. Die Punkte und Schmiegungebenen der Raumkurve 3. O. sind in *kanonischen Koordinaten* durch die Gleichungen § 24, (22), (22') dargestellt. Soll der Punkt  $\lambda$  der Kurve auf einer *Fläche 2. O.*:

$$(1) \quad \begin{cases} a_{11}y_1^2 + a_{22}y_2^2 + a_{33}y_3^2 + a_{44}y_4^2 + 2a_{23}y_2y_3 + 2a_{31}y_3y_1 \\ \quad + 2a_{12}y_1y_2 + 2a_{14}y_1y_4 + 2a_{24}y_2y_4 + 2a_{34}y_3y_4 = 0 \end{cases}$$

liegen, oder die Schmiegungeebene  $\lambda$  Tangentialebene einer *Fläche 2. Kl.*:

$$(1') \quad \begin{cases} b_{11}v_1^2 + b_{22}v_2^2 + b_{33}v_3^2 + b_{44}v_4^2 + 2b_{23}v_2v_3 + 2b_{31}v_3v_1 \\ \quad + 2b_{12}v_1v_2 + 2b_{14}v_1v_4 + 2b_{24}v_2v_4 + 2b_{34}v_3v_4 = 0 \end{cases}$$

sein, so muß  $\lambda$  der Bedingung:

$$(2) \quad \begin{cases} a_{11}\lambda^6 + 2a_{12}\lambda^5 + (a_{22} + 2a_{13})\lambda^4 + 2(a_{23} + a_{14})\lambda^3 \\ \quad + (2a_{24} + a_{33})\lambda^2 + 2a_{34}\lambda + a_{44} = 0, \end{cases}$$

bezüglich der Bedingung:

$$(2') \quad \begin{cases} b_{44}\lambda^6 - 6b_{34}\lambda^5 + 3(3b_{33} + 2b_{24})\lambda^4 - 2(9b_{23} + b_{14})\lambda^3 \\ \quad + 3(3b_{22} + 2b_{13})\lambda^2 - 6b_{12}\lambda + b_{11} = 0 \end{cases}$$

genügen.

*Die Raumkurve 3. O. hat im allgemeinen mit einer Fläche 2. O. sechs Punkte und mit einer Fläche 2. Kl. sechs Ebenen gemein.*

2. Flächen 2. O. durch die Raumkurve 3. O. Hat die Raumkurve mit einer Fläche 2. O. *mehr als sechs Punkte* oder mit einer Fläche 2. Kl. *mehr als sechs Ebenen* gemein, so gehören *alle* ihre Punkte der Fläche 2. O., bezüglich *alle* ihre Ebenen der Fläche 2. Kl. an.<sup>1)</sup>

Dies tritt ein, wenn die Gleichung 6. Grades in  $\lambda$ , (2) oder (2'), identisch in  $\lambda$  erfüllt ist, also:

$$(3) \quad \begin{cases} a_{11} = 0, a_{12} = 0, a_{22} + 2a_{13} = 0, 2(a_{23} + a_{14}) = 0, \\ \quad 2a_{24} + a_{33} = 0, a_{34} = 0, a_{44} = 0 \end{cases}$$

oder:

$$(3') \quad \begin{cases} b_{11} = 0, b_{12} = 0, 3b_{22} + 2b_{13} = 0, 2(9b_{23} + b_{14}) = 0, \\ \quad 2b_{24} + 3b_{33} = 0, b_{34} = 0, b_{44} = 0. \end{cases}$$

Ändert man die Bezeichnung dahin ab, daß man:

$$2a_{24} = \varrho, 2a_{23} = \sigma, 2a_{13} = \tau; \quad b_{22} = -\varrho, 2b_{23} = -\sigma, b_{33} = -\tau$$

1) H. Müller, Math. Ann. 1 (1869), S. 411.

setzt, so nehmen die den Bedingungen (3) oder (3') entsprechenden Gleichungen (1) oder (1') die Form an:

$$(4) \quad \rho(y_2y_4 - y_3^2) + \sigma(y_2y_3 - y_1y_4) + \tau(y_1y_3 - y_2^2) = 0,$$

$$(4') \quad \rho(3v_1v_3 - v_2^2) + \sigma(9v_1v_4 - v_2v_3) + \tau(3v_2v_4 - v_3^2) = 0,$$

so daß mit den in § 24, (33), (33') eingeführten Abkürzungen:

$$(5) \quad \begin{cases} f = y_2y_4 - y_3^2, & g = y_2y_3 - y_1y_4, & h = y_1y_3 - y_2^2; \\ F = 3v_1v_3 - v_2^2, & G = 9v_1v_4 - v_2v_3, & H = 3v_2v_4 - v_3^2 \end{cases}$$

der Satz gilt:

*Eine Fläche 2. O. enthält immer dann und nur dann die ganze Raumkurve 3. O., wenn ihre Gleichung die Form: 1)*

$$(6) \quad \rho f + \sigma g + \tau h = 0$$

*hat, und eine Fläche 2. Kl. enthält ebenso alle Schmiegungsebenen der Raumkurve als Tangentialebenen, wenn ihre Gleichung die Form:*

$$(6') \quad \rho F + \sigma G + \tau H = 0$$

*hat.*

Jede dieser Gleichungen stellt mit den beiden Parameterverhältnissen  $\rho : \sigma : \tau$  ein *lineares System* von  $\infty^2$  Flächen dar, ein *Flächenbündel*, bezüglich eine *Scharschar*.

Jede Fläche  $\rho, \sigma, \tau$  des einen Systems ist nach § 29, (4) *polarverwandt* der Fläche  $\rho, \sigma, \tau$  des andern.

**3. Die eigentlichen Flächen des Bündels.** Die *Determinante* der Fläche (4) ist, wenn die Gleichung (4) mit 2 multipliziert wird:

$$(7) \quad \begin{vmatrix} 0 & 0 & \tau & -\sigma \\ 0 & -2\tau & \sigma & \rho \\ \tau & \sigma & -2\rho & 0 \\ -\sigma & \rho & 0 & 0 \end{vmatrix} = (\rho\tau - \sigma^2)^2.$$

Flächen 2. O. mit positiver Determinante sind (II § 153, (21)) Linienflächen oder Flächen ohne reelle Punkte. Das letztere ist ausgeschlossen, da die Raumkurve 3. O. auf den Flächen liegt, also:

*Alle Flächen (6) oder (6'), für welche:*

$$(8) \quad \rho\tau - \sigma^2 \neq 0$$

*sind eigentliche Linienflächen 2. O. und 2. Kl. (einschalige Hyperboloide oder hyperbolische Paraboloid).*

**4. Die uneigentlichen Flächen des Bündels.** Die *Unterdeterminanten* 3. Grades der Determinante (7) sind:

1) Cremona, Ann. di mat. 1 (1858), S. 279.

$$(9) \quad \begin{vmatrix} 2\rho^3 & 2\rho^2\sigma & \rho(\rho\tau + \sigma^2) & (3\rho\tau - \sigma^2)\sigma \\ 2\rho^2\sigma & 2\rho\sigma^2 & (\rho\tau + \sigma^2)\sigma & (\rho\tau + \sigma^2)\tau \\ \rho(\rho\tau + \sigma^2) & (\rho\tau + \sigma^2)\sigma & 2\sigma^2\tau & 2\sigma\tau^2 \\ (3\rho\tau - \sigma^2)\sigma & (\rho\tau + \sigma^2)\tau & 2\sigma\tau^2 & 2\tau^3 \end{vmatrix}.$$

Ist nun im Gegensatz zu (8):

$$(10) \quad \rho\tau - \sigma^2 = 0,$$

so können wir setzen:

$$(11) \quad \frac{\rho}{\sigma} = \frac{\sigma}{\tau} = \lambda \quad \text{oder kurz:} \quad (12) \quad \rho = \lambda^2, \quad \sigma = \lambda, \quad \tau = 1.$$

Damit werden die Unterdeterminanten vierter Zeile in (9):

$$(13) \quad 2\lambda^3, \quad 2\lambda^2, \quad 2\lambda, \quad 2,$$

die der dritten, zweiten und ersten Zeile gleich den Werten (13), bezüglich mit  $\lambda$ ,  $\lambda^2$ ,  $\lambda^3$  multipliziert (I Anm. 1, III, (21)). Da die Unterdeterminanten also nicht alle verschwinden können, so folgt:

I. *Alle Flächen (6) oder (6'), für welche die Bedingung (10) besteht, sind eigentliche Kegel 2. O., bezüglich eigentliche Kurven 2. Kl.*

Ferner aber folgt aus (13), daß die Spitzen der Kegel die Koordinaten (II § 139, (8)):

$$(14) \quad y_1 : y_2 : y_3 : y_4 = \lambda^3 : \lambda^2 : \lambda : 1$$

haben oder mit Rücksicht auf § 24, (22):

II. *Der Ort der Spitzen aller im Bündel (6) enthaltenen Kegel ist die Raumkurve 3. O. selbst; die Ebenen aller in der Schar (6') enthaltenen Kegelschnitte sind die Schmiegungsebenen der Raumkurve.*

In der Tat gehen die Gleichungen (6) und (6') mit den Werten (12) der Parameter in die Gleichungen § 26, (18) und (18') der Sehnenkegel und Achsenkegelschnitte der Raumkurve über.

III. *Alle Flächen (6) oder (6'), für welche die Bedingung (10) besteht, sind Sehnenkegel oder Achsenkegelschnitte.*

5. **Elementarteiler der im Bündel enthaltenen Büschel.** Zwei Flächen  $\rho$ ,  $\sigma$ ,  $\tau$  und  $\rho'$ ,  $\sigma'$ ,  $\tau'$  des Bündels (6) bestimmen einen Büschel:

$$(15) \quad \begin{cases} (\rho f + \sigma g + \tau h) + \omega(\rho' f + \sigma' g + \tau' h) \\ = (\rho + \omega\rho')f + (\sigma + \omega\sigma')g + (\tau + \omega\tau')h = 0 \end{cases}$$

mit dem Parameter  $\omega$ .

Die Determinante des Büschels ist nach (7), wo nur  $\rho + \omega\rho'$ ,  $\sigma + \omega\sigma'$ ,  $\tau + \omega\tau'$  für  $\rho$ ,  $\sigma$ ,  $\tau$  zu setzen ist:

$$(16) \quad \begin{cases} \Delta(\omega) = \{(\rho + \omega\rho')(\tau + \omega\tau') - (\sigma + \omega\sigma')^2\}^2 \\ = \{(\rho\tau - \sigma^2) + (\rho\tau' - 2\sigma\sigma' + \rho'\tau)\omega + (\rho'\tau' - \sigma'^2)\omega^2\}^2. \end{cases}$$



Sie hat daher entweder zwei Doppelwurzeln  $\omega$  oder, falls:

$$(17) \quad 4(\rho\tau - \sigma^2)(\rho'\tau' - \sigma'^2) - (\rho\tau' - 2\sigma\sigma' + \rho'\tau)^2 = 0$$

ist, eine vierfache Wurzel. Die Unterdeterminanten 3. Grades von  $\Delta(\omega)$  können nach (9) niemals verschwinden, ohne daß  $\rho + \omega\rho'$ ,  $\sigma + \omega\sigma'$ ,  $\tau + \omega\tau'$ , die für  $\rho, \sigma, \tau$  eintreten, alle verschwinden und daher die Flächen  $\rho, \sigma, \tau$  und  $\rho', \sigma', \tau'$  identisch sind. Es folgt also mit Rücksicht auf 4, III:

I. Jedes in dem Bündel (6) enthaltene Büschel (15) enthält zwei doppelt zählende Sehnenkegel oder einen vierfach zählenden.

Die beiden Sehnenkegel haben als solche eine Sehne, die Verbindungslinie ihrer Spitzen, bei ihrem Zusammenfall eine Tangente gemein. Die Sehne oder Tangente bildet, zusammen mit der Raumkurve selbst, die Grundkurve 4. O. des Büschels oder:

II. Der vollständige Durchschnitt irgend zweier durch die Raumkurve gehenden Flächen 2. O. besteht aus der Raumkurve und einer ihrer Sehnen oder Tangenten (§ 36, 12).

6. Bestimmung der Sehne in einem gegebenen Büschel. Aus den Gleichungen § 25, (1) der Sehne  $\lambda_1\lambda_2$  folgt, wie schon § 26, (2) bemerkt, die Proportion:

$$(18) \quad f : g : h = 1 : -(\lambda_1 + \lambda_2) : \lambda_1\lambda_2.$$

Aber auch umgekehrt folgt aus (18) mit einem Proportionalitätsfaktor  $\kappa$ :

$$f = \kappa, \quad g = -\kappa(\lambda_1 + \lambda_2), \quad h = \kappa\lambda_1\lambda_2$$

und, da nach (5) identisch in  $y_1, y_2, y_3, y_4$ :

$$(19) \quad fy_1 + gy_2 + hy_3 = 0, \quad fy_2 + gy_3 + hy_4 = 0,$$

wiederum, wie in § 25, (1):

$$(20) \quad y_1 - (\lambda_1 + \lambda_2)y_2 + \lambda_1\lambda_2y_3 = 0, \quad y_2 - (\lambda_1 + \lambda_2)y_3 + \lambda_1\lambda_2y_4 = 0.$$

I. Die Proportion (18) ist also für die Punkte  $y_x$  der Sehne  $\lambda_1\lambda_2$  charakteristisch.

Soll nun die Sehne (18) auf allen Flächen des Büschels (15) liegen, muß identisch in  $\omega$ :

$$(\rho + \omega\rho') - (\sigma + \omega\sigma')(\lambda_1 + \lambda_2) + (\tau + \omega\tau')\lambda_1\lambda_2 = 0,$$

also einzeln:

$$\rho - \sigma(\lambda_1 + \lambda_2) + \tau\lambda_1\lambda_2 = 0, \quad \rho' - \sigma'(\lambda_1 + \lambda_2) + \tau'\lambda_1\lambda_2 = 0$$

sein, woraus sich ergibt:

$$(21) \quad 1 : -(\lambda_1 + \lambda_2) : \lambda_1\lambda_2 = \sigma\tau' - \tau\sigma' : \tau\rho' - \rho\tau' : \rho\sigma' - \sigma\rho'.$$

Die Gleichungen der Sehne lauten daher nach (20):

$$(22) \quad \begin{vmatrix} y_1 & y_2 & y_3 \\ \varrho & \sigma & \tau \\ \varrho' & \sigma' & \tau' \end{vmatrix} = 0, \quad \begin{vmatrix} y_2 & y_3 & y_4 \\ \varrho & \sigma & \tau \\ \varrho' & \sigma' & \tau' \end{vmatrix} = 0.$$

II. Die Endpunkte  $\lambda_1, \lambda_2$  der Sehne, welche zwei Flächen  $\varrho, \sigma, \tau$  und  $\varrho', \sigma', \tau'$  des Bündels (6), außer der Raumkurve selbst gemein haben, bestimmen sich aus der quadratischen Gleichung:

$$(23) \quad (\sigma\tau' - \tau\sigma')\lambda^2 + (\tau\varrho' - \varrho\tau')\lambda + (\varrho\sigma' - \sigma\varrho') = 0.$$

Die Sehne wird *Tangente* unter der mit (17) identischen Bedingung:

$$(24) \quad 4(\sigma\tau' - \tau\sigma')(\varrho\sigma' - \sigma\varrho') - (\tau\varrho' - \varrho\tau')^2 = 0.$$

7. Bestimmung einer Fläche des Bündels durch zwei Punkte. Jeder Punkt der Raumkurve § 24, (33) liegt auf *allen* Flächen des Bündels (6). Soll eine solche Fläche durch zwei *andere* Punkte  $y_x^{(1)}$  und  $y_k^{(2)}$  hindurchgehen, müssen die beiden Gleichungen:

$$(25) \quad \varrho f_1 + \sigma g_1 + \tau h_1 = 0, \quad \varrho f_2 + \sigma g_2 + \tau h_2 = 0$$

bestehen, durch die unteren Indizes die Substitution der Werte  $y_k^{(1)}$  und  $y_k^{(2)}$  bezeichnet. Die Gleichungen (25) bestimmen aber die zwei Verhältnisse  $\varrho : \sigma : \tau$  eindeutig, wenn nicht:

$$(26) \quad f_1 : g_1 : h_1 = f_2 : g_2 : h_2$$

ist, was nach (18) bedeutet, daß  $y_k^{(1)}$  und  $y_k^{(2)}$  auf derselben Sehne liegen.

Zwei Punkte des Raumes, die nicht auf der Raumkurve und nicht beide auf derselben Sehne liegen, bestimmen stets eine und nur eine Fläche des Bündels.

8. Bestimmung eines Büschels im Bündel durch eine gegebene Sehne. Eine Gerade liegt ganz auf einer Fläche (6), wenn drei Punkte der Geraden auf der Fläche liegen. Bei einer Sehne  $\lambda_1 \lambda_2$  ist aber nur ein Punkt nötig, da schon die beiden Endpunkte  $\lambda_1$  und  $\lambda_2$  als Punkte der Raumkurve auf (6) liegen. Damit also eine Sehne  $\lambda_1 \lambda_2$  einer Fläche (6) angehört, bedarf es nur einer Bedingung. Diese folgt durch Substitution der charakteristischen Proportion (18) in die Gleichung (6):

I. Die Sehne  $\lambda_1 \lambda_2$  gehört der Fläche  $\varrho, \sigma, \tau$  des Bündels (6) an, wenn:

$$(27) \quad \varrho - (\lambda_1 + \lambda_2)\sigma + \lambda_1 \lambda_2 \tau = 0.$$

Ist  $\lambda_1, \lambda_2$  gegeben, so wird durch (27) der eine der drei homogenen Parameter durch die beiden andern ausgedrückt, sodaß die Gleichung (6) mit nur einem Parameterverhältnis ein Büschel darstellt. Es folgt daher als Umkehr des Satzes 5, II:

II. Die Raumkurve 3. O. bildet zusammen mit jeder ihrer Sehnen oder Tangenten die Grundkurve eines im Bündel (6) enthaltenen Büschels.

9. Sehnen auf gegebener Fläche des Bündels. Betrachtet man dagegen in (27)  $\varrho, \sigma, \tau$  als gegeben und  $\lambda_1, \lambda_2$  als veränderlich, so ergibt sich (§ 30, (4)):

Auf jeder Fläche  $\varrho, \sigma, \tau$  des Bündels (6) liegen unendlich viele der Gleichung (27) entsprechende Sehnen, deren Endpunktpaare eine Involution von Punkten der Kurve bilden.

Die durch die quadratische Gleichung:

$$(28) \quad \varrho - 2\sigma\lambda + \tau\lambda^2 = 0$$

bestimmten Doppelpunkte der Involution sind die Berührungspunkte zweier Tangenten, die auf der Fläche  $\varrho, \sigma, \tau$  liegen<sup>1</sup>). Sie sind nach (8) für eine eigentliche Fläche  $\varrho, \sigma, \tau$  stets getrennt, dagegen fallen sie für einen Sehnenkegel  $\lambda_0$ , wo nach (12)  $\varrho = \lambda_0^2, \sigma = \lambda_0, \tau = 1$  wird, und (28) sich auf  $(\lambda - \lambda_0)^2 = 0$  reduziert, in die Tangente der Raumkurve in der Spitze des Kegels zusammen.

10. Fläche des Bündels durch zwei gegebene Sehnen. Nach (27) gehören die beiden Sehnen  $\lambda_1\lambda_2$  und  $\lambda_3\lambda_4$  einer Fläche  $\varrho, \sigma, \tau$  des Bündels an, wenn:

$$(29) \quad \varrho - (\lambda_1 + \lambda_2)\sigma + \lambda_1\lambda_2\tau = 0, \quad \varrho - (\lambda_3 + \lambda_4)\sigma + \lambda_3\lambda_4\tau = 0$$

oder:

$$(30) \quad \left\{ \begin{array}{l} \varrho : \sigma : \tau = \lambda_1\lambda_2(\lambda_3 + \lambda_4) - \lambda_3\lambda_4(\lambda_1 + \lambda_2) : \lambda_1\lambda_2 - \lambda_3\lambda_4 \\ \quad : (\lambda_1 + \lambda_2) - (\lambda_3 + \lambda_4). \end{array} \right.$$

Durch die zwei gegebenen Sehnen  $\lambda_1\lambda_2$  und  $\lambda_3\lambda_4$  geht eine Fläche des Bündels (6) mit der Gleichung:

$$(31) \quad \left\{ \begin{array}{l} \{ \lambda_1\lambda_2(\lambda_3 + \lambda_4) - \lambda_3\lambda_4(\lambda_1 + \lambda_2) \} f + (\lambda_1\lambda_2 - \lambda_3\lambda_4)g \\ \quad + (\lambda_1 + \lambda_2 - \lambda_3 - \lambda_4)h = 0. \end{array} \right.$$

11. Fläche des Bündels durch eine gegebene Treffgerade. Zwei Punkte einer Treffgeraden liegen nicht auf einer Sehne, bestimmen also nach 7 eine Fläche des Bündels. Da aber die Treffgerade schon einen Punkt der Kurve enthält, liegt sie ganz auf der Fläche.

I. Es gibt also eine bestimmte Fläche (6), welche eine gegebene Treffgerade enthält.

1) Cremona, Ann. di mat. 1 (1858), S. 280.

Eine durch den Punkt  $\lambda_0$  der Raumkurve gehende Treffgerade hat nach § 27, (13); (17) die Gleichungen ( $\varrho\tau - \sigma^2 \neq 0$ ):

$$(32) \quad y_1 - \lambda_0 y_2 : y_2 - \lambda_0 y_3 : y_3 - \lambda_0 y_4 = \varrho : \sigma : \tau$$

mit bestimmten Werten von  $\varrho : \sigma : \tau$ . Da nun nach (19) identisch in  $y_1, y_2, y_3, y_4$  und  $\lambda_0$ :

$$(33) \quad (y_1 - \lambda_0 y_2)f + (y_2 - \lambda_0 y_3)g + (y_3 - \lambda_0 y_4)h = 0,$$

so ist für alle Punkte der Treffgeraden (32):

$$(34) \quad \varrho f + \sigma g + \tau h = 0.$$

Die Treffgerade liegt also auf der den gegebenen Werten  $\varrho : \sigma : \tau$  entsprechenden, eigentlichen ( $\varrho\tau - \sigma^2 \neq 0$ ) Fläche (6).

II. Die durch die gegebene Treffgerade (32) bestimmte eigentliche Fläche (6) entspricht den durch (32) gegebenen Werten von  $\varrho : \sigma : \tau$ .

Da die Linie (32) unabhängig von  $\lambda_0$  auf der Fläche (34) liegt, so folgt umgekehrt:

III. Auf jeder gegebenen eigentlichen Fläche  $\varrho, \sigma, \tau$  des Bündels (6) liegen unendlich viele Trefflinien, die den Gleichungen (32) mit veränderlichem  $\lambda_0$  entsprechen.

**12. Die beiden Scharen von Erzeugenden auf einer Fläche des Bündels.** Um die nach 9 auf der Fläche  $\varrho, \sigma, \tau$  liegenden Sehnen (27) in der Form (20) darzustellen, kann man, falls  $\sigma \neq 0$ , die Gleichung (27) nach  $(\lambda_1 + \lambda_2)$  auflösen und erhält mit Einführung eines Parameters  $\mu = \lambda_1 \lambda_2$ :

$$\sigma \neq 0 : \lambda_1 + \lambda_2 = \frac{\varrho + \mu\tau}{\sigma}, \quad \lambda_1 \lambda_2 = \mu.$$

Ist dagegen  $\sigma = 0$ , so ist  $\lambda_1 \lambda_2$  nach (27) konstant und  $\mu = \tau(\lambda_1 + \lambda_2)$  veränderlich:

$$\sigma = 0 : \lambda_1 + \lambda_2 = \frac{\mu}{\tau}, \quad \lambda_1 \lambda_2 = -\frac{\varrho}{\tau}.$$

I. Die auf der Fläche  $\varrho, \sigma, \tau$  liegenden Sehnen sind mit einem laufenden Parameter  $\mu$ , je nachdem  $\sigma \neq 0$  oder  $\sigma = 0$ , durch das eine oder andere der Gleichungenpaare dargestellt:

$$(35) \quad \begin{cases} \sigma y_1 - (\varrho + \mu\tau)y_2 + \sigma\mu y_3 = 0, \\ \sigma y_2 - (\varrho + \mu\tau)y_3 + \sigma\mu y_4 = 0, \end{cases} \quad (35') \quad \begin{cases} \tau y_1 - \mu y_2 - \varrho y_3 = 0, \\ \tau y_2 - \mu y_3 - \varrho y_4 = 0. \end{cases}$$

Entsprechend folgt aus (32) mit Rücksicht auf 12:

II. Die auf der Fläche  $\varrho, \sigma, \tau$  liegenden Treffgeraden sind mit einem laufenden Parameter  $\lambda_0$ , je nachdem  $\sigma \neq 0$  oder  $\sigma = 0$ , durch das eine oder andere der Gleichungenpaare dargestellt:

$$(36) \begin{cases} \sigma(y_1 - \lambda_0 y_2) - \varrho(y_2 - \lambda_0 y_3) = 0, \\ \tau(y_2 - \lambda_0 y_3) - \sigma(y_3 - \lambda_0 y_4) = 0; \end{cases} \quad (36') \begin{cases} \tau(y_1 - \lambda_0 y_2) - \varrho(y_3 - \lambda_0 y_4) = 0, \\ y_2 - \lambda_0 y_3 = 0. \end{cases}$$

Ganz unabhängig hiervon, kann man nun die Fläche (4), je nachdem  $\sigma \neq 0$  oder  $\sigma = 0$ , in der einen oder andern der Formen darstellen:

$$(37) \quad (\tau y_2 - \sigma y_3)(\sigma y_2 - \varrho y_3) - (\sigma y_1 - \varrho y_2)(\tau y_3 - \sigma y_4) = 0,$$

$$(37') \quad y_2(\tau y_2 - \varrho y_4) - (\tau y_1 - \varrho y_3)y_3 = 0.$$

Die beiden Scharen der Erzeugenden der Flächen (37) sind dann mit zwei Parametern  $\mu$  und  $\lambda_0$  (II § 159, (15), (15')):

$$(38) \begin{cases} (\sigma y_1 - \varrho y_2) - \mu(\tau y_2 - \sigma y_3) = 0, \\ (\sigma y_2 - \varrho y_3) - \mu(\tau y_3 - \sigma y_4) = 0; \end{cases} \quad (39) \begin{cases} (\sigma y_1 - \varrho y_2) - \lambda_0(\sigma y_2 - \varrho y_3) = 0, \\ (\tau y_2 - \sigma y_3) - \lambda_0(\tau y_3 - \sigma y_4) = 0; \end{cases}$$

und der Fläche (37') ebenso:

$$(38') \begin{cases} (\tau y_1 - \varrho y_2) - \mu y_3 = 0, \\ (\tau y_2 - \varrho y_3) - \mu y_4 = 0; \end{cases} \quad (39') \begin{cases} (\tau y_1 - \varrho y_2) - \lambda_0(\tau y_2 - \varrho y_3) = 0, \\ y_2 - \lambda_0 y_3 = 0. \end{cases}$$

Die Übereinstimmung von (38) und (35), (39) mit (36), (38') mit (35'), (39') mit (36') zeigt:

III. *Auf jeder eigentlichen Fläche  $\varrho, \sigma, \tau$  des Bündels (6) besteht die eine Schar der Erzeugenden aus Sehnen, die andere aus Treffgeraden der Raumkurve 3. O.<sup>1)</sup>*

Für eine uneigentliche Fläche  $\varrho, \sigma, \tau$ , also einen Sehnenkegel, fallen in Folge von (11), (12) die Scharen (39) und (39') der Treffgeraden in die (38) und (38') der Sehnen hinein (§ 27, 7, II).

**13. Bestimmung eines Hyperboloides durch eine Involution von Kurvenpunkten.** Die Endpunkte  $\lambda_1, \lambda_2$  der auf einer Fläche  $\varrho, \sigma, \tau$  des Bündels (6) liegenden Sehnen, bilden (§ 30, (4)) die Involution (27). Sei umgekehrt durch (27) mit gegebenen Werten von  $\varrho, \sigma, \tau$  eine Involution von Punkten der Kurve gegeben. In den Gleichungen (20) der Sehne, welche zwei entsprechende Punkte  $\lambda_1, \lambda_2$  der Involution verbinden, sind dann die Größen  $\lambda_1 + \lambda_2$  und  $\lambda_1 \lambda_2$  durch die Gleichungen (27) verbunden. Durch Elimination beider Größen aus (27) und (20) folgt aber:

$$(40) \quad \begin{vmatrix} \varrho & \sigma & \tau \\ y_1 & y_2 & y_3 \\ y_3 & y_3 & y_4 \end{vmatrix} = \varrho f + \sigma g + \tau h = 0.$$

1) G. Salmon, Camb. Dubl. math. J. 5 (1850), S. 38.

Die Sehnen, welche die Punktpaare einer gegebenen Involution (27) auf der Kurve verbinden, liegen auf der Fläche (40), bilden deren eine Regelschar.<sup>1)</sup>

**14. Ebenenbüschel durch eine Treffgerade.** Das Bündel aller durch den Punkt  $\lambda_0$  der Raumkurve gehenden Treffgeraden ist durch die Gleichungen (32) dargestellt; das Bündel aller durch  $\lambda_0$  gehenden Ebenen ebenso durch:

$$(41) \quad r(y_1 - \lambda_0 y_2) + s(y_2 - \lambda_0 y_3) + t(y_3 - \lambda_0 y_4) = 0$$

mit beliebigen Werten der Parameter  $r:s:t$ . Die Ebene (41) schneidet die Kurve außer in  $\lambda_0$  noch in zwei Punkten  $\lambda_1, \lambda_2$ , für die nach § 24, (22):

$$(42) \quad r\lambda^2 + s\lambda + t = 0$$

und daher:

$$(43) \quad 1 : -(\lambda_1 + \lambda_2) : \lambda_1 \lambda_2 = r : s : t.$$

Geht daher die Ebene (41) durch eine feste Treffgerade  $\lambda_0, \varrho, \sigma, \tau$  in (32), sodaß:

$$(44) \quad r\varrho + s\sigma + t\tau = 0,$$

so folgt mit Substitution von (43) in (44) wieder wie in (27):

$$(45) \quad \varrho - (\lambda_1 + \lambda_2)\sigma + \lambda_1 \lambda_2 \tau = 0.$$

Die durch eine feste Treffgerade  $\varrho, \sigma, \tau$  im Punkte  $\lambda_0$  der Kurve gehenden Ebenen schneiden die Kurve, außer in  $\lambda_0$ , in Punktpaaren  $\lambda_1, \lambda_2$  einer Involution (45).<sup>2)</sup>

Die Sehnen  $\lambda_1 \lambda_2$  bilden nach 13 die eine Schar der Erzeugenden der Fläche  $\varrho, \sigma, \tau$  des Bündels (6).

**15. Duale Übertragung.** Indem man in den vorstehenden Betrachtungen mit Rücksicht auf § 29, (3'); (4) überall:  $y_1, y_2, y_3, y_4$ ;  $f, g, h$  durch:  $-3v_4, v_3, -v_2, 3v_1$ ;  $F, G, H$  ersetzt, erhält man die dualen auf die Scharschar (6') bezüglichen Sätze.

## § 32. Konjugierte Punkte und Ebenen im Bündel und bei der Raumkurve 3. Ordnung.

### 1. Polarebenen eines Punktes in bezug auf die Flächen des Bündels.

Die Polarebenen eines Punktes $P_1 = y_k^{(1)}$ in bezug auf die drei Flächen 2. O.:	Die Pole einer Ebene $\Pi_1 = v_k^{(1)}$ in bezug auf die drei Flächen 2. Kl.
--	---

1) Chasles, J. de math. (2) 2 (1857), S. 401 (Nr. 21).

2) Cremona, Ann. di mat. 1 (1858), S. 281.

$$(1) \begin{cases} f = y_2 y_4 - y_3^2 = 0, \\ g = y_2 y_3 - y_1 y_4 = 0, \\ h = y_1 y_3 - y_2^2 = 0 \end{cases} \quad (1') \begin{cases} F = 3v_1 v_3 - v_2^2 = 0, \\ G = 9v_1 v_4 - v_2 v_3 = 0, \\ H = 3v_2 v_4 - v_3^2 = 0 \end{cases}$$

haben die Gleichungen:

$$(2) \begin{cases} u = y_4^{(1)} y_2 - 2y_3^{(1)} y_3 + y_2^{(1)} y_4 = 0, \\ v = -y_4^{(1)} y_1 + y_3^{(1)} y_2 + y_2^{(1)} y_3 \\ \quad - y_1^{(1)} y_4 = 0, \\ w = y_3^{(1)} y_1 - 2y_2^{(1)} y_2 + y_1^{(1)} y_3 = 0; \end{cases} \quad (2') \begin{cases} U = 3v_3^{(1)} v_1 - 2v_2^{(1)} v_2 + 3v_1^{(1)} v_3 = 0, \\ V = 9v_4^{(1)} v_1 - v_3^{(1)} v_2 - v_2^{(1)} v_3 \\ \quad + 9v_1^{(1)} v_4 = 0, \\ W = 3v_4^{(1)} v_2 - 2v_3^{(1)} v_3 + 3v_2^{(1)} v_4 = 0. \end{cases}$$

Die Polarebenen des Punktes  $P_1$  in bezug auf die Flächen des Bündels § 31, (6):

$$(3) \quad \rho f + \sigma g + \tau h = 0$$

bilden alsdann das Ebenenbündel:

$$(4) \quad \rho u + \sigma v + \tau w = 0;$$

Eine Ausnahme bilden solche Punkte  $P_1$ , für welche die drei Ebenen (2) mehr als einen Punkt gemein haben (s. unter 6).

Die Pole der Ebene  $\Pi_1$  in bezug auf die Flächen der Scharschar § 31, (6'):

$$(3) \quad \rho F + \sigma G + \tau H = 0$$

bilden alsdann das ebene Punktfeld:

$$(4') \quad \rho U + \sigma V + \tau W = 0.$$

## 2. Begriff konjugierter Punkte bei der Raumkurve.

Ist  $P_2$  der Schnittpunkt der drei Ebenen (2), so gehen (II § 68, 13) die Polarebenen des Punktes  $P_2$  in bezug auf die Flächen des Bündels wiederum durch  $P_1$ .

Ist  $\Pi_2$  die Verbindungsebene der drei Punkte (2'), so liegen die Pole der Ebene  $\Pi_2$  in bezug auf die Flächen der Scharschar wiederum auf  $\Pi_1$ .

Die Beziehung der beiden Punkte  $P_1$  und  $P_2$  oder Ebenen  $\Pi_1$  und  $\Pi_2$  ist reziprok. Die Punkte  $P_1$  und  $P_2$  sind *harmonische Pole* oder *konjugierte Punkte in bezug auf alle Flächen des Bündels* (3), die Ebenen  $\Pi_1$  und  $\Pi_2$  *harmonische Polarebenen* oder *konjugierte Ebenen in bezug auf alle Flächen der Scharschar* (3'). Wir nennen sie (in anderer Bedeutung als § 29, 10) *konjugierte Punkte* und *Ebenen in bezug auf die Kurve 3. O.<sup>1)</sup>*

Zwischen den Koordinaten zweier konjugierter Punkte  $P_1$  und  $P_2$  oder Ebenen  $\Pi_1$  und  $\Pi_2$  bestehen die Beziehungen:

$$(5) \begin{cases} y_4^{(1)} y_2^{(2)} - 2y_3^{(1)} y_3^{(2)} + y_2^{(1)} y_4^{(2)} = 0, \\ -y_4^{(1)} y_1^{(2)} + y_3^{(1)} y_2^{(2)} + y_2^{(1)} y_3^{(2)} \\ - y_1^{(1)} y_4^{(2)} = 0, \\ y_3^{(1)} y_1^{(2)} - 2y_2^{(1)} y_2^{(2)} + y_1^{(1)} y_3^{(2)} = 0; \end{cases} \quad (5') \begin{cases} 3v_3^{(1)} v_1^{(2)} - 2v_2^{(1)} v_2^{(2)} + 3v_1^{(1)} v_3^{(2)} = 0, \\ -9v_4^{(1)} v_1^{(2)} + v_3^{(1)} v_2^{(2)} + v_2^{(1)} v_3^{(2)} \\ -9v_1^{(1)} v_4^{(2)} = 0, \\ 3v_4^{(1)} v_2^{(2)} - 2v_3^{(1)} v_3^{(2)} + 3v_2^{(1)} v_4^{(2)} = 0, \end{cases}$$

die in den beiderseitigen Koordinaten symmetrisch und linear sind.

1) v. Staudt, Beitr. (1860), S. 321; Cremona, Nouv. Ann. (2) 1 (1862), S. 293; Th. Reye, Zeitschr. Math. Phys. 13 (1868), S. 526.

### 3. Die Verbindungslinie zweier konjugierter Punkte als Sehne.

Multipliziert man die Gleichungen (5) mit  $y_1^{(1)}$ ,  $y_2^{(1)}$ ,  $y_3^{(1)}$  oder  $y_2^{(1)}$ ,  $y_3^{(1)}$ ,  $y_4^{(1)}$  und addiert, so folgt:

$$f^{(1)}y_1^{(2)} + g^{(1)}y_2^{(2)} + h^{(1)}y_3^{(2)} = 0, \quad f^{(1)}y_2^{(2)} + g^{(1)}y_3^{(2)} + h^{(1)}y_4^{(2)} = 0,$$

wenn der obere Index die Substitution der Koordinaten  $y_k^{(1)}$  und  $y_k^{(2)}$  in die Ausdrücke (1) bedeutet; und daraus, sowie entsprechend (§ 29, (3')) aus (5'):

$$(6) \quad f^{(1)} : g^{(1)} : h^{(1)} = f^{(2)} : g^{(2)} : h^{(2)} \quad | \quad (6') \quad F^{(1)} : G^{(1)} : H^{(1)} = F^{(2)} : G^{(2)} : H^{(2)}.$$

Die Gleichungen (6) bedeuten aber nach § 31, (18), daß  $y_k^{(1)}$  und  $y_k^{(2)}$  auf derselben Sehne liegen, also (§ 26, 1, I):

<i>Zwei konjugierte Punkte der Raumkurve liegen stets auf derselben, durch einen von ihnen bestimmten Sehne.<sup>1)</sup></i>	<i>Zwei konjugierte Ebenen der Raumkurve gehen stets durch dieselbe, durch eine von ihnen bestimmte Achse.</i>
---	--

**4. Involution konjugierter Punkte auf einer Sehne.** Sind umgekehrt zwei Punkte  $y_k^{(1)}$  und  $y_k^{(2)}$  einer Sehne  $\lambda_1 \lambda_2$  zu den beiden Schnittpunkten  $\lambda_1$  und  $\lambda_2$  der Sehne mit der Raumkurve harmonisch, so sind sie, da  $\lambda_1$  und  $\lambda_2$  auf allen Flächen des Bündels (3) liegen, auch harmonische Pole aller Flächen des Bündels, also konjugiert bezüglich der Raumkurve.

<i>Jede Sehne <math>\lambda_1 \lambda_2</math> enthält eine Involution konjugierter Punkte in bezug auf die Raumkurve; die Kurvenpunkte <math>\lambda_1</math> und <math>\lambda_2</math> sind die Doppelpunkte der Involution.<sup>1)</sup></i>	<i>Jede Achse <math>\lambda_1 \times \lambda_2</math> enthält eine Involution konjugierter Ebenen in bezug auf die Raumkurve; die Schmiegungebenen <math>\lambda_1</math> und <math>\lambda_2</math> sind die Doppelebenen der Involution.</i>
--	--

**5. Der Konjugierte eines gegebenen Punktes.** Die Auflösung der in  $y_1^{(2)}$ ,  $y_2^{(2)}$ ,  $y_3^{(2)}$ ,  $y_4^{(2)}$  linearen homogenen Gleichungen (5) gibt, wenn kurz  $y_k$  und  $y_k'$  für  $y_k^{(1)}$  und  $y_k^{(2)}$  geschrieben wird:

*Der konjugierte Punkt  $y_k'$  eines gegebenen Punktes  $y_k$  ist:*

$$(7) \quad \begin{cases} y_1' = -y_1^2 y_4 + 3y_1 y_2 y_3 - 2y_2^3 = g y_1 + 2h y_2, \\ y_2' = -y_1 y_2 y_4 + 2y_1 y_3^2 - y_2^2 y_3 = -f y_1 + h y_3, \\ y_3' = y_1 y_3 y_4 - 2y_2^2 y_4 + y_2 y_3^2 = -f y_2 + h y_4, \\ y_4' = y_1 y_4^2 - 3y_2 y_3 y_4 + 2y_3^3 = -2f y_3 - g y_4; \end{cases}$$

*die konjugierte Ebene  $v_k'$  einer gegebenen Ebene  $v_k$  ist:<sup>2)</sup>*

1) Cremona, Ann. di mat. 2 (1859), S. 23; 24; Reye, Geom. d. Lage 2 (1892), S. 218.

2) Cremona, Ann. di mat. 2 (1859), S. 22.



$$(7') \quad \begin{cases} 3v_1' = -27v_1^2v_4 + 9v_1v_2v_3 - 2v_2^3 = -3G_1v_1 + 2Fv_2, \\ v_2' = -9v_1v_2v_4 + 6v_1v_3^2 - v_2^2v_3 = -3Hv_1 + Fv_3, \\ v_3' = 9v_1v_3v_4 - 6v_2^2v_4 + v_2v_3^2 = -Hv_2 + 3Fv_4, \\ 3v_4' = 27v_1v_4^2 - 9v_2v_3v_4 + 2v_3^3 = -2Hv_3 + 3Gv_4. \end{cases}$$

Danach gehört im allgemeinen zu jedem Punkt  $y_k$  ein bestimmter konjugierter  $y_k'$  und zu jeder Ebene  $v_k$  eine bestimmte konjugierte  $v_k'$ .

**6. Punkte mit mehr konjugierten Punkten.** Der konjugierte Punkt  $y_k^{(2)}$  eines gegebenen Punktes  $y_k^{(1)}$  ist als Schnittpunkt der drei Ebenen (2) definiert. Die Werte von  $y_k'$  in (7) sind die vier Unterdeterminanten 3. Grades der Matrix der Koeffizienten in (2), nur daß die Bezeichnung  $y_k^{(1)}$ ,  $y_k^{(2)}$  durch  $y_k$ ,  $y_k'$  ersetzt ist. Die drei Ebenen (2) haben immer dann und nur dann mehr als einen Punkt gemein, wenn diese vier Unterdeterminanten verschwinden (I § 51, (9)), also nach (7):

$$(8) \quad gy_1 + 2hy_2 = 0,$$

$$(9) \quad fy_1 - hy_3 = 0,$$

$$(10) \quad fy_2 - hy_4 = 0,$$

$$(11) \quad 2fy_3 + gy_4 = 0.$$

Setzt man nun zuerst die Determinante der in  $f$  und  $h$  linearen homogenen Gleichungen (9) und (10):

$$(12) \quad g = y_2y_3 - y_1y_4 \neq 0$$

voraus, so folgt aus (9) und (10):  $f = 0$ ,  $h = 0$ , und damit aus (8) und (11) mit Rücksicht auf (12):  $y_1 = 0$ ,  $y_4 = 0$ . Dies reduziert aber nach (1) die Gleichungen  $f = 0$ ,  $h = 0$  auf  $y_2 = 0$ ,  $y_3 = 0$ . Alle vier Koordinaten  $y_k$  können aber nicht verschwinden, sodaß (12) unmöglich ist. Es bleibt daher nur die Annahme:

$$(13) \quad g = 0,$$

womit aus (8) und (11):

$$(14) \quad hy_2 = 0, \quad fy_3 = 0.$$

Ist nun  $y_2 \neq 0$  und  $y_3 \neq 0$ , so ist  $f = 0$ ,  $h = 0$ . Ist  $y_2 = 0$ ,  $y_3 \neq 0$  oder  $y_2 \neq 0$ ,  $y_3 = 0$ , so folgt aus (14) bezüglich  $f = -y_3^2 = 0$  oder  $h = -y_2^2 = 0$ , was jedesmal der Voraussetzung widerspricht. Sind endlich  $y_2$  und  $y_3$  beide 0, so sind nach (1) auch  $f$  und  $h$  beide 0, neben (13). Also folgt (§ 24, (33)):

I. Die einzigen Punkte unbestimmten konjugierten Punktes sind die Punkte der Kurve selbst. Die einzigen Ebenen unbestimmter konjugierten Ebene sind die Schmiegungsebenen der Kurve.

Ist aber  $y_1^{(1)}$  ein Punkt  $\lambda$  der Kurve also:

$$y_k^{(1)} = \lambda^3, \quad y_2^{(1)} = \lambda^2, \quad y_3^{(1)} = \lambda, \quad y_4^{(1)} = 1,$$

so werden die drei Ebenen (2):

$$(15) \quad y_2 - 2\lambda y_3 + \lambda^2 y_4 = 0, \quad y_1 - \lambda y_2 - \lambda^2 y_3 + \lambda^3 y_4 = 0, \quad y_1 - 2\lambda y_2 + \lambda^2 y_3 = 0,$$

gehen also alle drei durch die Tangente in  $\lambda$  (§ 25, (2)).

II. Die Polarebenen eines Punktes $\lambda$ der Kurve selbst in bezug auf die Flächen des Bündels (3) gehen alle durch die Tangente im Punkte $\lambda$ .	Die Pole einer Schmiegungeebene $\lambda$ selbst in bezug auf die Flächen der Scharschar (3') liegen alle auf der Tangente in der Ebene $\lambda$ .
---	---

III. Zu einem Punkte  $\lambda$  der Kurve sind daher alle Punkte der Tangente  $\lambda$  und umgekehrt, zu jedem Punkte der Tangente  $\lambda$  ist immer der Punkt  $\lambda$  der Kurve konjugiert; dieser ist auch zu sich selbst konjugiert. Zu einer Schmiegungeebene  $\lambda$  sind alle Tangentialebenen  $\lambda$  und umgekehrt, zu jeder Tangentialebene  $\lambda$  ist immer die Schmiegungeebene  $\lambda$  konjugiert; diese ist auch zu sich selbst konjugiert.<sup>1)</sup>

#### 7. Gleichungen der Verbindungssehne zweier konjugierter Punkte in Ebenenkoordinaten.

Die Verbindungslinie des Punktes  $y_k$  mit seinem konjugierten Punkt ist nach § 3 die durch ihn gehende Sehne  $\lambda_1 \lambda_2$ , für die nach § 26, (2):

$$(16) \quad 1 : -(\lambda_1 + \lambda_2) : \lambda_1 \lambda_2 = f : g : h.$$

Dann sind nach § 26, (6) ihre Achsenkoordinaten:

$$(17) \quad \begin{cases} s_1 = g^2 - fh, & s_2 = -fg, & s_3 = f^2, \\ s_4 = fh, & s_5 = gh, & s_6 = h^2; \end{cases}$$

Die Schnittlinie der Ebene  $v_k$  mit ihrer konjugierten Ebene ist nach § 3 die in ihr liegende Achse  $\lambda_1 \times \lambda_2$ , für die nach § 26, (2'):

$$(16') \quad 1 : -(\lambda_1 + \lambda_2) : \lambda_1 \lambda_2 = F : G : H.$$

Dann sind nach § 26, (6') ihre Strahlenkoordinaten:

$$(17') \quad \begin{cases} r_1 = \frac{1}{3}(G^2 - FH), & r_2 = GH, \\ & r_3 = H^2, \\ r_4 = 3FH, & r_5 = -FG, & r_6 = F^2. \end{cases}$$

In laufenden Ebenenkoordinaten wird eine gerade Linie durch die Gleichungen zweier ihrer Punkte, im vorliegenden Falle des Punktes  $y_k$  und eines der Schnittpunkte mit den vier Koordinatenebenen dargestellt (I § 59, 4):

Die Verbindungslinie des Punktes  $y_k$  mit seinem konjugierten Punkt ist in laufenden Ebenenkoordinaten durch zwei der folgenden Gleichungen dargestellt:

Die Schnittlinie der Ebene  $v_k$  mit ihrer konjugierten Ebene ist in laufenden Punktkoordinaten durch zwei der folgenden Gleichungen dargestellt:

1) Reye, Geom. d. Lage 2 (1892), S. 219.

$$(18) \left\{ \begin{array}{l} y_1 v_1 + y_2 v_2 + y_3 v_3 + y_4 v_4 = 0 \\ h^2 v_2 - g h v_3 + (g^2 - f h) v_4 = 0, \\ f h v_3 - h^2 v_1 - f g v_4 = 0, \\ g h v_1 - f h v_2 + f^2 v_4 = 0, \\ (g^2 - f h) v_1 - f g v_2 + f^2 v_3 = 0; \end{array} \right. \quad (18') \left\{ \begin{array}{l} v_1 y_1 + v_2 y_2 + v_3 y_3 + v_4 y_4 = 0, \\ F^2 y_2 + F G y_3 + \frac{1}{3}(G^2 - F H) y_4 = 0, \\ 3 F H y_3 - F^2 y_1 + G H y_4 = 0, \\ -F G y_1 - 3 F H y_2 + H^2 y_4 = 0, \\ \frac{1}{3}(G^2 - F H) y_1 + G H y_2 + H^2 y_3 = 0. \end{array} \right.$$

8. Polarbeziehung konjugierter Punkt- und Ebenenpaare. Bei der Polarverwandtschaft in § 29, 2 in bezug auf die Raumkurve, bezüglich den linearen Komplex in § 29, 14, entsprachen sich Punkt und Ebene des Raumes als *Pol- und Polarebene*, bei der hier betrachteten Verwandtschaft in bezug auf die Raumkurve, bezüglich das Flächenbündel und die Flächenschar § 31, 2, entsprechen sich Punkt und Punkt, Ebene und Ebene des Raumes als *konjugiert*.

Seien nun  $y_k$  und  $y'_k$  *konjugierte Punkte*, untereinander verbunden durch die Gleichungen (7), und  $v_k$  und  $v'_k$  ihre *Polarebenen*, mit ihnen verbunden durch die Gleichungen § 29, (3), (3'):

$$(19) \quad 3v'_1 = y'_4, \quad v'_2 = -y'_3, \quad v'_3 = y'_2, \quad 3v'_4 = -y'_1;$$

$$(20) \quad y_1 = -3v_4, \quad y_2 = v_3, \quad y_3 = -v_2, \quad y_4 = 3v_1$$

und nach § 29, (4):

$$(21) \quad f = F, \quad g = G, \quad h = H.$$

Dann ist nach (19) und (7):

$$3v'_1 = -2fy_3 - gy_4, \quad v'_2 = fy_2 - hy_4, \quad v'_3 = -fy_1 + hy_3, \quad 3v'_4 = -gy_1 - 2hy_2,$$

und dann nach (20) und (21):

$$3v'_1 = 2Fv_2 - 3Gv_1, \quad v'_2 = Fv_3 - 3Hv_1, \quad v'_3 = 3Fv_4 - Hv_2, \\ 3v'_4 = 3Gv_4 - 2Hv_3,$$

und daher nach (7')  $v'_k$  und  $v_k$  *konjugierte Ebenen*.

I. Die Polarebenen  $\Pi$  und  $\Pi'$  zweier konjugierter Punkte  $P$  und  $P'$  sind konjugierte Ebenen.<sup>1)</sup> I'. Die Pole  $P$  und  $P'$  zweier konjugierter Ebenen  $\Pi$  und  $\Pi'$  sind konjugierte Punkte.

Nach 3 ist die Gerade  $PP'$  die durch  $P$  gehende Sehne und die Gerade  $\Pi \times \Pi'$  die in  $\Pi$  liegende Achse. Da nun  $P$  und  $\Pi$  Pol und Polarebene sind, so folgt aus § 29, 7, II:

II. Die Sehne  $s$  zweier konjugierter Punkte  $P$  und  $P'$  und die Achse  $a$  ihrer Polarebenen  $\Pi$  und  $\Pi'$  sind zusammengehörig;<sup>2)</sup> die Endpunkte

1) v. Staudt, Beiträge, S. 322.

2) Cremona, Ann. di mat. (1) 2 (1859) S. 23.

$\lambda_1$  und  $\lambda_2$  der Sehne  $s$  sind die Schmiegungspunkte der durch die Achse  $a$  gehenden Schmiegungsebenen  $\lambda_1$  und  $\lambda_2$  (Fig. 51).

Zugleich folgt mit Rücksicht auf 4 und § 29, 3:

III. Die Involution konjugierter Punkte  $P, P'$  auf einer Sehne  $s$  und die Involution konjugierter Ebenen  $\Pi, \Pi'$  an der zugehörigen Achse  $a$  liegen perspektiv (Fig. 51).

Wird die Ebene  $\Pi$  (Fig. 51) zu der Sehne  $s$  parallel, so halbiert die konjugierte Ebene  $\Pi'$  die Sehne  $\lambda_1\lambda_2$ .<sup>1)</sup>

9. Pol einer Ebene in bezug auf einen Achsenkegelschnitt. Die Gleichung des Achsenkegelschnittes in der Schmiegungsebene  $\lambda$  und des Sehnenkegels im Punkte  $\lambda$  lautet nach § 26, (19') und (19):

$$(22) \quad \lambda^2 v_2^2 + v_3^2 + \lambda v_2 v_3 - 3\lambda^2 v_3 v_1 - 9\lambda v_1 v_4 - 3v_2 v_4 = 0.$$

Der Pol einer Ebene  $v_k$  des Raumes in bezug auf den Achsenkegelschnitt (22) hat die Koordinaten (II § 149, (3')):

$$(23) \quad \begin{cases} \rho y_1 = -3\lambda^2 v_3 - 9\lambda v_4, \\ \rho y_2 = 2\lambda^2 v_2 + \lambda v_3 - 3v_4, \\ \rho y_3 = -3\lambda^2 v_1 + \lambda v_2 + 2v_3, \\ \rho y_4 = -9\lambda v_1 - 3v_2. \end{cases}$$

Er liegt in der Ebene:

$$(24) \quad v_1^0 : v_2^0 : v_3^0 : v_4^0 = 1 : -3\lambda : 3\lambda^2 : -\lambda^3$$

des Achsenkegelschnittes  $\lambda$  selbst, wie denn mit (23) und (24) identisch in  $\lambda$ :

$$(25) \quad v_1^0 y_1 + v_2^0 y_2 + v_3^0 y_3 + v_4^0 y_4 = 0.$$

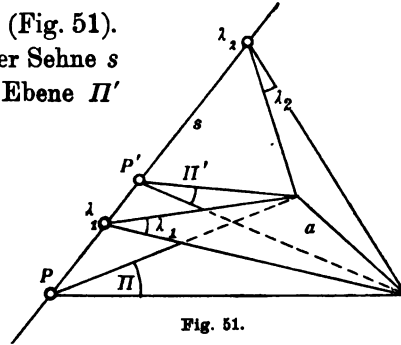


Fig. 51.

$$(22') \quad y_2^2 + \lambda^2 y_3^2 - \lambda y_2 y_3 - y_3 y_1 + \lambda y_1 y_4 - \lambda^2 y_2 y_4 = 0.$$

Die Polarebene eines Punktes  $y_k$  im Raume in bezug auf den Sehnenkegel (22') hat die Koordinaten (II § 149, (3')):

$$(23') \quad \begin{cases} \rho v_1 = -y_3 + \lambda y_4, \\ \rho v_2 = 2y_2 - \lambda y_3 - \lambda^2 y_4, \\ \rho v_3 = -y_1 - \lambda y_2 + 2\lambda^2 y_3, \\ \rho v_4 = \lambda y_1 - \lambda^2 y_2. \end{cases}$$

Sie geht durch die Spitze:

$$(24') \quad y_1^0 : y_2^0 : y_3^0 : y_4^0 = \lambda^3 : \lambda^2 : \lambda : 1$$

des Sehnenkegels  $\lambda$  selbst, wie denn mit (23') und (24') identisch in  $\lambda$ :

$$(25') \quad y_1^0 v_1 + y_2^0 v_2 + y_3^0 v_3 + y_4^0 v_4 = 0.$$

10. Ort der Pole einer Ebene in bezug auf den laufenden Achsenkegelschnitt. Da die rechten Seiten von (23), (23') in  $\lambda$  quadratisch sind, so folgt:

1) Cremona, Ann. di mat. (1) 2 (1859), S. 24.

Der Ort der Pole einer beliebigen festen Ebene  $v_k$  in bezug auf den laufenden Achsenkegelschnitt  $\lambda$  ist wieder ein Kegelschnitt,<sup>1)</sup> der „Polkegelschnitt der Ebene  $v_k$ “.

Die Polarebene eines beliebigen festen Punktes  $y_k$  in bezug auf den laufenden Sehnenkegel  $\lambda$  umhüllen wieder einen Kegel 2. Kl.<sup>1)</sup>, den „Polarebenenkegel der Punktes  $y_k$ “.

Die Gleichungen (23) und (23') enthalten die Parameterdarstellung der Punkte des Polkegelschnittes der Ebene  $v_k$ , bezüglich der Tangentialebenen des Polarebenenkegels des Punktes  $y_k$  in laufendem Parameter  $\lambda$ .

**11. Die Ebene des Polkegelschnittes.** Durch Elimination von  $q$ ,  $\lambda^2$ ,  $\lambda$ , 1 aus den vier Gleichungen (23) und (23') ergibt sich:

Die Ebene des Polkegelschnittes der Ebene  $v_k$  hat die Gleichung:

$$(26) \begin{vmatrix} \frac{y_1}{3} & -v_3 & -3v_4 & 0 \\ y_2 & 2v_2 & v_3 & -3v_4 \\ y_3 & -3v_1 & v_2 & 2v_3 \\ \frac{y_4}{3} & 0 & -3v_1 & -v_2 \end{vmatrix} = 0.$$

Die Spitze des Polarebenenkegels des Punktes  $y_k$  hat die Gleichung:

$$(26') \begin{vmatrix} v_1 & -y_3 & -y_4 & 0 \\ v_2 & 2y_2 & y_3 & -y_4 \\ v_3 & -y_1 & y_2 & 2y_3 \\ v_4 & 0 & -y_1 & -y_2 \end{vmatrix} = 0.$$

Die vier Unterdeterminanten der 1. Kolonne, die erste und vierte noch durch 3 geteilt, sind die Koordinaten  $v'_k$  der Ebene (26). Sie haben aber die Werte (7'), also:

Zu jeder Ebene  $v_k$  ist die Ebene  $v'_k$  ihres Polkegelschnittes die konjugierte Ebene.<sup>2)</sup>

Die vier Unterdeterminanten der 1. Kolonne sind die Koordinaten  $y'_k$  des Punktes (26'). Sie haben aber die Werte (7), also (wie allgemeiner schon unter 1; 2):

Zu jedem Punkte  $y_k$  ist die Spitze  $y'_k$  seines Polarebenenkegelschnittes der konjugierte Punkt.

Die Beziehung beider Ebenen oder Punkte ist daher auch reziprok.

### § 33. Die Schnittpunkte zweier konjugierter Ebenen mit der Kurve.

**1. Fragestellung.** Durch einen Punkt  $y_k$  gehen drei Schmiegeungsebenen  $\lambda_1, \lambda_2, \lambda_3$ , durch den konjugierten Punkt  $y'_k$  drei Schmiegeungsebenen  $\lambda'_1, \lambda'_2, \lambda'_3$ . Eine Ebene  $v_k$  schneidet die Kurve in drei Punkten  $\lambda_1, \lambda_2, \lambda_3$  die konjugierte Ebene  $v'_k$  in drei Punkten  $\lambda'_1, \lambda'_2, \lambda'_3$ . Zwischen  $y_k$  und  $y'_k$ ,  $v_k$  und  $v'_k$  bestehen die Beziehungen § 32, (7); (7'). Es

1) Cremona, Ann. di mat. 1 (1858), S. 288; Schröter, Oberfl. (1880), S. 319.

2) Cremona, Ann. di mat. 1 (1858), S. 288.

handelt sich nunmehr um die Auffindung *direkter Beziehungen zwischen den Parametern*  $\lambda_1, \lambda_2, \lambda_3$  und  $\lambda_1', \lambda_2', \lambda_3'$ , die ebenso, wie jene, reziprok sein müssen.

**2. Die einfachsten symmetrischen Funktionen der Wurzeln einer kubischen Gleichung.** Sind  $\lambda_1, \lambda_2, \lambda_3$  die Wurzeln der kubischen Gleichung:

$$(1) \quad \lambda^3 + p\lambda^2 + q\lambda + r = 0,$$

so ist:

$$(2) \quad \lambda_1 + \lambda_2 + \lambda_3 = -p, \quad \lambda_2\lambda_3 + \lambda_3\lambda_1 + \lambda_1\lambda_2 = q, \quad \lambda_1\lambda_2\lambda_3 = -r,$$

und ferner:

$$(3) \quad \begin{cases} \lambda_1^2 + \lambda_2^2 + \lambda_3^2 = p^2 - 2q, & \lambda_2^2\lambda_3^2 + \lambda_3^2\lambda_1^2 + \lambda_1^2\lambda_2^2 = q^2 - 2pq, \\ \lambda_1^3 + \lambda_2^3 + \lambda_3^3 = -p^3 + 3pq - 3r, \\ \lambda_2\lambda_3(\lambda_2 + \lambda_3) + \lambda_3\lambda_1(\lambda_3 + \lambda_1) + \lambda_1\lambda_2(\lambda_1 + \lambda_2) = 3r - pq, \\ \lambda_1^3(\lambda_2 + \lambda_3) + \lambda_2^3(\lambda_3 + \lambda_1) + \lambda_3^3(\lambda_1 + \lambda_2) = p^3q - 2q^2 - pr. \end{cases}$$

**3. Kubische Gleichung der drei Werte einer unsymmetrischen Funktion.** Wir bilden nun diejenige kubische Gleichung:

$$(4) \quad \lambda^3 + p'\lambda^2 + q'\lambda + r' = 0,$$

deren Wurzeln die drei Werte:

$$(5) \quad \lambda_1' = \frac{q - 3\lambda_2\lambda_3}{p + 3\lambda_1}, \quad \lambda_2' = \frac{q - 3\lambda_3\lambda_1}{p + 3\lambda_2}, \quad \lambda_3' = \frac{q - 3\lambda_1\lambda_2}{p + 3\lambda_3}$$

einer dreiwertigen unsymmetrischen Funktion der drei Wurzeln  $\lambda_1, \lambda_2, \lambda_3$  sind. Die Koeffizienten dieser Gleichung haben die Werte:

$$(6) \quad p' = -(\lambda_1' + \lambda_2' + \lambda_3'), \quad q' = \lambda_2'\lambda_3' + \lambda_3'\lambda_1' + \lambda_1'\lambda_2', \quad r' = -\lambda_1'\lambda_2'\lambda_3'.$$

Für den gemeinsamen Nenner von  $p', q', r'$  nach Einsetzung der Werte (5) ergibt sich mittels (2):

$$(7) \quad (p + 3\lambda_1)(p + 3\lambda_2)(p + 3\lambda_3) = -(2p^3 - 9pq + 27r) = -P,$$

und für  $p', q', r'$  selbst mit Einsetzung der Werte (5):

$$(8) \quad \begin{cases} p' = \frac{1}{P} \{ (q - 3\lambda_2\lambda_3)(p + 3\lambda_2)(p + 3\lambda_3) + \dots + \dots \}, \\ q' = -\frac{1}{P} \{ (q - 3\lambda_3\lambda_1)(q - 3\lambda_1\lambda_2)(p + 3\lambda_1) + \dots + \dots \}, \\ r' = \frac{1}{P} (q - 3\lambda_2\lambda_3)(q - 3\lambda_3\lambda_1)(q - 3\lambda_1\lambda_2), \end{cases}$$

wo die durch Punkte angedeuteten Glieder durch zyklische Vertauschung von  $\lambda_1, \lambda_2, \lambda_3$  entstehen. Die Berechnung der symmetrischen Funktionen von  $\lambda_1, \lambda_2, \lambda_3$  geschieht dann mittels der Formeln (2) und (3), womit sich ergibt:

Die Koeffizienten der kub. Gleichung (4), welche die drei Wurzeln (5) hat, sind:

$$(9) \quad p' = \frac{3(p^2q - 6q^2 + 9pr)}{2p^3 - 9pq + 27r}, \quad q' = -\frac{3(pq^2 - 6p^2r + 9qr)}{2p^3 - 9pq + 27r},$$

$$r' = -\frac{2q^3 - 9pqr + 27r^2}{2p^3 - 9pq + 27r} \cdot 1)$$

Umgekehrt hat die Gleichung (4) die Wurzeln (5), wenn man den  $p'$ ,  $q'$ ,  $r'$  die Werte (9) gibt.

4. Homogene Form des Satzes. Setzt man jetzt:

$$(10) \quad p = \frac{b}{a}, \quad q = \frac{c}{a}, \quad r = \frac{d}{a}; \quad p' = \frac{b'}{a'}, \quad q' = \frac{c'}{a'}, \quad r' = \frac{d'}{a'},$$

so nimmt der Satz unter 3 die Form an:

Hat die kub. Gleichung:

$$(11) \quad a\lambda^3 + b\lambda^2 + c\lambda + d = 0$$

die Wurzeln  $\lambda_1, \lambda_2, \lambda_3$ , so hat die kub. Gleichung:

$$(12) \quad a'\lambda^3 + b'\lambda^2 + c'\lambda + d' = 0$$

mit den Koeffizienten:

$$(13) \quad \begin{cases} a' = 27a^2d - 9abc + 2b^3, & b' = 3(9abd - 6ac^2 + b^2c), \\ c' = -3(9acd - 6b^2d + bc^2), & d' = -(27ad^2 - 9bcd + 2c^3) \end{cases}$$

die Wurzeln  $\lambda_1', \lambda_2', \lambda_3'$  in (5).

5. Anwendung des Satzes auf konjugierte Elemente. Setzt man nun in (11) und (12):

$$(14) \quad \begin{cases} a = y_4, & b = -3y_3, & c = 3y_2, & d = -y_1, \\ a' = y_4', & b' = -3y_3', & c' = 3y_2', & d' = -y_1'; \end{cases} \text{ oder:}$$

$$(14') \quad \begin{cases} a = v_1, & b = v_2, & c = v_3, & d = v_4, \\ a' = v_1', & b' = v_2', & c' = v_3', & d' = v_4'; \end{cases}$$

so nehmen die Gleichungen (11) und (12) die Form an:

$$(15) \quad \begin{cases} y_4\lambda^3 - 3y_3\lambda^2 + 3y_2\lambda - y_1 = 0, \\ y_4'\lambda^3 - 3y_3'\lambda^2 + 3y_2'\lambda - y_1' = 0; \end{cases} \text{ oder:}$$

$$(15') \quad \begin{cases} v_1\lambda^3 + v_2\lambda^2 + v_3\lambda + v_4 = 0, \\ v_1'\lambda^3 + v_2'\lambda^2 + v_3'\lambda + v_4' = 0, \end{cases}$$

1) Cremona, Ann. di mat. (1), 2 (1859), S. 22.

und bestimmen nach § 24, (26') und (26) die durch die Punkte  $y_k$  und  $y'_k$  gehenden Schmiegungebenen  $\lambda_1, \lambda_2, \lambda_3$  und  $\lambda'_1, \lambda'_2, \lambda'_3$  oder die in den Ebenen  $v_k$  und  $v'_k$  liegenden Kurvenpunkte  $\lambda_1, \lambda_2, \lambda_3$  und  $\lambda'_1, \lambda'_2, \lambda'_3$ . Zugleich aber gehen die Gleichungen (13) in die Gleichungen § 32, (7) oder (7') über, welche ausdrücken, daß  $y_k$  und  $y'_k$ ,  $v_k$  und  $v'_k$  konjugiert sind. Daher ergeben sich die beiden Sätze:

<p>Gehen durch einen Punkt <math>y_k</math> die drei Schmiegungebenen <math>\lambda_1, \lambda_2, \lambda_3</math>, so gehen durch den konjugierten Punkt <math>y'_k</math> die drei Schmiegungebenen:</p>	<p>Liegen in einer Ebene <math>v_k</math> die drei Kurvenpunkte <math>\lambda_1, \lambda_2, \lambda_3</math>, so liegen in der konjugierten Ebene die drei Kurvenpunkte:</p>
--	--

$$(16) \quad \lambda'_1 = \frac{2\lambda_2\lambda_3 - \lambda_3\lambda_1 - \lambda_1\lambda_2}{\lambda_2 + \lambda_3 - 2\lambda_1}, \quad \lambda'_2 = \frac{2\lambda_3\lambda_1 - \lambda_1\lambda_2 - \lambda_2\lambda_3}{\lambda_3 + \lambda_1 - 2\lambda_2},$$

$$\lambda'_3 = \frac{2\lambda_1\lambda_2 - \lambda_2\lambda_3 - \lambda_3\lambda_1}{\lambda_1 + \lambda_2 - 2\lambda_3}.$$

Wird  $\lambda_3 = \lambda_2$ , so ergibt sich in Übereinstimmung mit § 32, 6, III:

$$(17) \quad \lambda'_1 = \lambda'_2 = \lambda'_3 = \lambda_2,$$

da jeder Tangentialebene  $\lambda_1\lambda_2\lambda_3$  die Schmiegungeebene  $\lambda_2\lambda_3\lambda_2$  konjugiert ist.

Wird  $\lambda_1 = \lambda_2 = \lambda_3$ , so wird:

$$(18) \quad \lambda'_1, \lambda'_2, \lambda'_3, \text{ unbestimmt,}$$

da jeder Schmiegungeebene  $\lambda_1\lambda_1\lambda_1$  jede Tangentialebene  $\lambda_1\lambda_1\lambda_0$  bei unbestimmtem  $\lambda_0$  konjugiert ist.

**6. Bedeutung der Parameterbeziehung.** Schreibt man die Gleichungen (16) in der Form:

$$(19) \quad \lambda_1\lambda'_1 - \frac{1}{2}(\lambda_1 + \lambda'_1)(\lambda_2 + \lambda_3) + \lambda_2\lambda_3 = 0, \dots, \dots,$$

so erkennt man nach § 30, 2:

*Die Punkte oder Schmiegungebenen  $\lambda'_1; \lambda'_2; \lambda'_3$  sind bezüglich die vierten harmonischen Elemente zu  $\lambda_1$  und  $\lambda_2, \lambda_3$ ; zu  $\lambda_2$  und  $\lambda_3, \lambda_1$ ; zu  $\lambda_3$  und  $\lambda_1, \lambda_2$ .*

Gegenüber den Gleichungen § 32, (7), (7'), die sich auf das kanonische Koordinatentetraeder der Gleichungen § 24, (22) beziehen, sind die Parameterbeziehungen (16) zwischen den konjugierten Elementen von der Wahl des Koordinatentetraeders unabhängig, aber auch gegen jede lineare Transformation des Parameters invariant (I § 6, 10).



7. Die Realitätsverhältnisse konjugierter Elemente. Je nachdem die Parameter  $\lambda_1, \lambda_2, \lambda_3$  alle drei reell oder einer reell und zwei konjugiert komplex sind, gilt das Entsprechende nach (16) auch für  $\lambda_1', \lambda_2', \lambda_3'$ .

*Je nachdem daher unter den in einer Ebene liegenden Kurvenpunkten drei reelle oder ein reeller sich befinden, sind auch von den in der konjugierten Ebene enthaltenen Kurvenpunkten drei oder einer reell.*

Der duale Satz bezieht sich auf die Schmiegungebenen an zwei konjugierten Punkten.

8. Involution konjugierter Elemente. Die nicht homogenen Koeffizienten (10) erhalten durch die Annahme (14), (14') die Werte:

$$(20) \quad p = -\frac{3y_2}{y_4}, \quad q = \frac{3y_2}{y_4}, \quad r = -\frac{y_1}{y_4}; \quad (20') \quad p = \frac{v_2}{v_1}, \quad q = \frac{v_2}{v_1}, \quad r = \frac{v_4}{v_1}.$$

Danach wird mit Rücksicht auf § 24, (33) gleichzeitig:

$$(21) \quad \begin{cases} y_4^2(p^2 - 3q) = -9f, \\ y_4^2(pq - 9r) = -9g, \\ y_4^2(q^2 - 3pr) = -9h \end{cases} \quad (21') \quad \begin{cases} v_1^2(p^2 - 3q) = -F, \\ v_1^2(pq - 9r) = -G, \\ v_1^2(q^2 - 3pr) = -H. \end{cases}$$

Setzt man nun zur Abkürzung:

$$(22) \quad S = -(\lambda_1 + \lambda_1'), \quad T = \lambda_1 \lambda_1',$$

so wird nach (5) unter Benutzung der aus (2) folgenden Beziehung:  $\lambda_2 \lambda_3 = q + p\lambda_1 + \lambda_1'^2$ :

$$S = 2\frac{q + p\lambda_1}{p + 3\lambda_1}, \quad T = \frac{3r + q\lambda_1}{p + 3\lambda_1}.$$

Ordnet man diese Gleichungen nach  $\lambda_1$ :

$$(3S - 2p)\lambda_1 + (pS - 2q) = 0, \quad (3T - q)\lambda_1 + (pT - 3r) = 0,$$

so folgt durch Elimination von  $\lambda_1$ :

$$(p^2 - 3q)T - \frac{1}{2}(pq - 9r)S + (q^2 - 3pr) = 0$$

oder nach (22):

$$(p^2 - 3q)\lambda_1 \lambda_1' + \frac{1}{2}(pq - 9r)(\lambda_1 + \lambda_1') + (q^2 - 3pr) = 0.$$

Da hier die Koeffizienten nach (2) in  $\lambda_1, \lambda_2, \lambda_3$  symmetrisch sind, muß dieselbe Gleichung auch mit  $\lambda_2, \lambda_2'$  und  $\lambda_3, \lambda_3'$  für  $\lambda_1, \lambda_1'$  gelten:

*Sind  $\lambda_1, \lambda_2, \lambda_3$  und  $\lambda_1', \lambda_2', \lambda_3'$  durch (16) verknüpfte Schmiegungebenen konjugierter Punkte  $y_k, y_k'$  oder Schnittpunkte konjugierter Ebenen  $v_k, v_k'$ , so gehören die Paare  $\lambda_1, \lambda_1'; \lambda_2, \lambda_2'; \lambda_3, \lambda_3'$  der Involution an:*

$$(23) \quad (p^2 - 3q)\lambda \lambda' + \frac{1}{2}(pq - 9r)(\lambda + \lambda') + (q^2 - 3pr) = 0.$$

Die Gleichung (23) lautet, wenn man einen Augenblick  $\alpha, \beta, \gamma$  für  $\lambda_1, \lambda_2, \lambda_3$  schreibt, ausführlich:

$$(24) \quad (\alpha^2 + \beta^2 + \gamma^2 - \beta\gamma - \gamma\alpha - \alpha\beta)\lambda\lambda' \\ - \frac{1}{2}(\beta^2\gamma + \gamma^2\alpha + \alpha^2\beta + \beta\gamma^2 + \gamma\alpha^2 + \alpha\beta^2 - 6\alpha\beta\gamma)(\lambda + \lambda') \\ + \beta^2\gamma^2 + \gamma^2\alpha^2 + \alpha^2\beta^2 - (\alpha + \beta + \gamma)\alpha\beta\gamma = 0.$$

Da sie jedoch nach (21) und (21') auch in der Form geschrieben werden kann:

$$(25) \quad f\lambda\lambda' + \frac{1}{2}g(\lambda + \lambda') + h = 0; \quad (25') \quad F\lambda\lambda' + \frac{1}{2}G(\lambda + \lambda') + H = 0$$

so entsprechen die Doppelemente der Involution (§ 30, (5)) den quadratischen Gleichungen:

$$(26) \quad f\lambda^2 + g\lambda + h = 0; \quad (26') \quad F\lambda^2 + G\lambda + H = 0.$$

Da dies aber nach § 26, (3); (3') diejenigen sind, welche die Sehne des Punktes  $y_k$  oder die Achse der Ebene  $v_k$  bestimmen, so folgt mit Rücksicht auf § 32, 3:

*Die Schmiegunspunkte  $\lambda_1, \lambda_1'; \lambda_2, \lambda_2'; \lambda_3, \lambda_3'$  der sechs Schmiegunsebenen, die im Sinne von (16) durch zwei konjugierte Punkte  $y_k$  und  $y_k'$  gehen, gehören der Involution von Punkten der Raumkurve an, deren Doppelpunkte die Endpunkte der Sehne  $y_k y_k'$  sind.*

*Die Schmiegunsebenen  $\lambda_1, \lambda_1'; \lambda_2, \lambda_2'; \lambda_3, \lambda_3'$  der sechs Kurvenpunkte die im Sinne von (16) in zwei konjugierten Ebenen  $v_k$  und  $v_k'$  liegen, gehören der Involution von Schmiegunsebenen an, deren Doppelebenen die Schmiegunsebenen der Achse  $v_k \times v_k'$  sind.*

**9. Einführung der Ebene dreier Kurvenpunkte als Koordinatenebene.** Die Gleichung der Ebene  $\Pi$ , welche durch drei Punkte  $\lambda_1, \lambda_2, \lambda_3$  der Kurve bestimmt ist, lautet nach § 24, (28) mit der Bedeutung (2) von  $p, q, r$ :

$$(27) \quad y_1 + py_2 + qy_3 + ry_4 = 0.$$

Der Pol  $P$  dieser Ebene ist nach § 29, (3'):

$$(28) \quad y_1 = -3r, y_2 = q, y_3 = -p, y_4 = 3.$$

Die Schnittpunkte  $J_1', J_2', J_3'$  der Kanten  $J_4 J_1, J_4 J_2, J_4 J_3$  mit der Ebene  $\Pi$  haben die Koordinaten:  $r, 0, 0, -1; 0, r, 0, -p; 0, 0, r, -q$ . Bezeichnet man daher die Koordinaten in bezug auf das neue Ko-

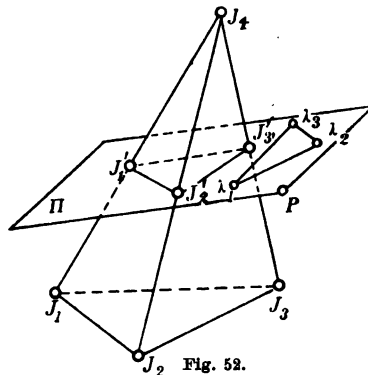


Fig. 52.

ordinatentetraeder  $J_1'J_2'J_3'J_4$  (Fig. 52) mit  $z_k$ , so bestehen zwischen alten und neuen Koordinaten die Gleichungen (I § 63, (25)):

$$(29) \quad y_1 = rz_1, \quad y_2 = rz_2, \quad y_3 = rz_3, \quad y_4 = -z_1 - pz_2 - qz_3 + z_4,$$

oder umgekehrt:

$$(30) \quad rz_1 = y_1, \quad rz_2 = y_2, \quad rz_3 = y_3, \quad rz_4 = y_1 + py_2 + qy_3 + ry_4.$$

Im neuen System erhält daher die Ebene  $\Pi$  die Gleichung:

$$(31) \quad z = 0$$

und ihr Pol  $P$  die Koordinaten:

$$(32) \quad z_1 = -3r, \quad z_2 = q, \quad z_3 = -p, \quad z_4 = 0.$$

**10. Harmonikale im Dreieck dreier Kurvenpunkte.** Die Seiten des Dreiecks  $\lambda_1\lambda_2\lambda_3$ , also die Sehnen  $\lambda_2\lambda_3$ ,  $\lambda_3\lambda_1$ ,  $\lambda_1\lambda_2$  werden *im Raume* durch je *zwei* Gleichungen dargestellt, die Gleichung der Ebene  $\Pi = \lambda_1\lambda_2\lambda_3$  einerseits:

$$(33) \quad y_1 - (\lambda_1 + \lambda_2 + \lambda_3)y_2 + (\lambda_2\lambda_3 + \lambda_3\lambda_1 + \lambda_1\lambda_2)y_3 - \lambda_1\lambda_2\lambda_3y_4 = 0$$

und die Gleichung ihrer Verbindungsebenen  $\lambda_2\lambda_30$ ,  $\lambda_3\lambda_10$ ,  $\lambda_1\lambda_20$  mit dem Punkte  $J_4$  ( $\lambda = 0$  in § 24, (22)):

$$(34) \quad y_1 - (\lambda_2 + \lambda_3)y_2 + \lambda_2\lambda_3y_3 = 0, \quad y_1 - (\lambda_3 + \lambda_1)y_2 + \lambda_3\lambda_1y_3 = 0, \\ y_1 - (\lambda_1 + \lambda_2)y_2 + \lambda_1\lambda_2y_3 = 0,$$

woraus sich jeweils wieder die Darstellung § 25, (1) ergibt.

In der Ebene (33) oder (27) oder (31) aber, bezogen auf das *Koordinatendreieck*  $J'_1J'_2J'_3$  lauten die Gleichungen der drei Seiten des Dreiecks  $\lambda_1\lambda_2\lambda_3$  nach (34) und (29):

$$(35) \quad X_1 = z_1 - (\lambda_2 + \lambda_3)z_2 + \lambda_2\lambda_3z_3 = 0, \quad X_2 = z_1 - (\lambda_3 + \lambda_1)z_2 + \lambda_3\lambda_1z_3 = 0, \\ X_3 = z_1 - (\lambda_1 + \lambda_2)z_2 + \lambda_1\lambda_2z_3 = 0.$$

Die Gleichung der *Harmonikale* eines Punktes  $z_1^0$ ,  $z_2^0$ ,  $z_3^0$  in bezug auf das Dreieck ist (I § 26, (10)):

$$(36) \quad \frac{X_1}{X_1^0} + \frac{X_2}{X_2^0} + \frac{X_3}{X_3^0} = 0,$$

wo  $X_1^0$ ,  $X_2^0$ ,  $X_3^0$  die für den Punkt  $z_k^0$  gebildeten Werte von  $X_1$ ,  $X_2$ ,  $X_3$  sind. Für den Punkt (32) ist nun mit Rücksicht auf (2):

$$(37) \quad X_1^0 = 3\lambda_1\lambda_2\lambda_3 - (\lambda_2 + \lambda_3)(\lambda_2\lambda_3 + \lambda_3\lambda_1 + \lambda_1\lambda_2) \\ + \lambda_2\lambda_3(\lambda_1 + \lambda_2 + \lambda_3) = -\lambda_1(\lambda_2 - \lambda_3)^2, \dots, \dots$$

Die Gleichung der Harmonikale des Punktes (32) ist daher:

$$\frac{X_1}{\lambda_1(\lambda_2 - \lambda_3)^2} + \frac{X_2}{\lambda_2(\lambda_3 - \lambda_1)^2} + \frac{X_3}{\lambda_3(\lambda_1 - \lambda_2)^2} = 0,$$

oder mit Rückkehr zum räumlichen Koordinatensystem:

Sind  $\lambda_1$ ,  $\lambda_2$ ,  $\lambda_3$  die Schnittpunkte einer Ebene  $\Pi$  mit der Raum-

*kurve, so hat die Harmonikale des Poles P der Ebene, der in ihr selbst liegt, in bezug auf das Dreieck  $\lambda_1 \lambda_2 \lambda_3$  die Gleichungen:*<sup>1)</sup>

$$(38) \quad \begin{cases} y_1 - (\lambda_1 + \lambda_2 + \lambda_3)y_2 + (\lambda_2 \lambda_3 + \lambda_3 \lambda_1 + \lambda_1 \lambda_2)y_3 - \lambda_1 \lambda_2 \lambda_3 y_4 = 0, \\ \frac{y_1 - (\lambda_2 + \lambda_3)y_2 + \lambda_2 \lambda_3 y_3}{\lambda_1 (\lambda_2 - \lambda_3)^2} + \frac{y_1 - (\lambda_3 + \lambda_1)y_2 + \lambda_3 \lambda_1 y_3}{\lambda_2 (\lambda_3 - \lambda_1)^2} \\ + \frac{y_1 - (\lambda_1 + \lambda_2)y_2 + \lambda_1 \lambda_2 y_3}{\lambda_3 (\lambda_1 - \lambda_2)^2} = 0. \end{cases}$$

**11. Einführung der Koeffizienten an Stelle der Wurzeln.** Die erste Gleichung (38) erhält durch Einführung von  $p, q, r$  die Form (27); wir wollen auch die zweite in  $p, q, r$  darstellen. Die zweite Gleichung (38) hat die Form:

$$(39) \quad Ay_1 - By_2 + Cy_3 = 0,$$

wo  $A, B, C$  symmetrische Funktionen von  $\lambda_1, \lambda_2, \lambda_3$  sind:

$$(40) \quad \begin{cases} A = \lambda_2 \lambda_3 (\lambda_3 - \lambda_1)^2 (\lambda_1 - \lambda_2)^2 + \dots + \dots; \\ B = \lambda_2 \lambda_3 (\lambda_2 + \lambda_3) (\lambda_3 - \lambda_1)^2 (\lambda_1 - \lambda_2)^2 + \dots + \dots; \\ C = \lambda_2^2 \lambda_3^2 (\lambda_3 - \lambda_1)^2 (\lambda_1 - \lambda_2)^2 + \dots + \dots \end{cases}$$

Nun ist zunächst:

$$\begin{aligned} (\lambda_3 - \lambda_1)^2 (\lambda_1 - \lambda_2)^2 &= 3\lambda_1^4 - 2\lambda_1^3 (\lambda_1 + \lambda_2 + \lambda_3) + 6\lambda_1^2 \lambda_2 \lambda_3 \\ &\quad - 2\lambda_1 \lambda_2 \lambda_3 (\lambda_1 + \lambda_2 + \lambda_3) + (\lambda_2^2 \lambda_3^2 + \lambda_3^2 \lambda_1^2 + \lambda_1^2 \lambda_2^2), \end{aligned}$$

und mit Rücksicht auf (2) und (3):

$$(41) \quad (\lambda_3 - \lambda_1)^2 (\lambda_1 - \lambda_2)^2 = 3\lambda_1^4 + 2p\lambda_1^3 - 6r\lambda_1 + q^2 - 4pr.$$

Mit Benutzung der Formeln (2), (3) ergibt sich alsdann:

$$(42) \quad \begin{cases} A = 3r(p^3 - 3pq + 3r) - 2pr(p^2 - 2q) + 18r^2 + q(q^2 - 4pr) \\ \quad = p^3 r - 9pqr + q^3 + 27r^2, \\ B = -3r(p^2 q - 2q^2 - pr) - 2pr(3r - pq) - 12pr^2 \\ \quad + (q^2 - 4pr)(3r - pq) = 3p^3 qr + 9q^2 r - pq^3 - 27pr^2, \\ C = 3r^2(p^2 - 2q) - 2p^2 r^2 + 6qr^2 + (q^2 - 4pr)(q^2 - 2pr) \\ \quad = (3pr - q^2)^2. \end{cases}$$

Die beiden Gleichungen (38) können daher in der Form geschrieben werden:

$$(43) \quad \begin{cases} y_1 + py_2 + qy_3 + ry_4 = 0, \\ \frac{1}{3} \{ (pq - 9r)^2 - (p^2 - 3q)(q^2 - 3pr) \} y_1 + (pq - 9r)(q^2 - 3pr)y_2 \\ \quad + (3pr - q^2)^2 y_3 = 0^2 \end{cases}$$

1) Cremona, Ann. di mat (1) 2 (1859), S. 21, wo  $\lambda_1(\lambda_2 - \lambda_3)^2$  für  $\lambda_1(\lambda_2^2 + \lambda_3^2)$  zu lesen ist.

2) Cremona, Ann. di mat. 2 (1859), S. 23.

oder in der Bezeichnung (20') mit Rücksicht auf (21'):

$$(44) \quad \begin{cases} v_1 y_1 + v_2 y_2 + v_3 y_3 + v_4 y_4 = 0, \\ \frac{1}{3}(G^2 - FH)y_1 + GHy_2 + H^2 y_3 = 0. \end{cases}$$

Dies sind aber nach § 32, (18') die Gleichungen der Achse, in der die Ebene  $v_k$  von ihrer konjugierten  $v_k'$  geschnitten wird. Wegen der Reziprozität zweier konjugierter Ebenen folgt daher unter Hinzunahme des dualen Satzes:

<p><i>Die Schnittachse zweier konjugierter Ebenen ist in jeder von ihnen die Harmonikale des Poles der Ebene in bezug auf das Dreieck ihrer drei Schnittpunkte mit der Kurve.<sup>1)</sup></i></p>	<p><i>Die Verbindungssehne zweier konjugierter Punkte ist an jedem von ihnen die Harmonikale der Polarebene des Punktes in bezug auf das Dreiflach der drei durch ihn gehenden Schmiegungebenen.</i></p>
--	--

### § 34. Das an eine Ebene sich anlehrende Haupttetraeder.

**1. Konjugierte Ebenen durch die Schmiegungsstrahlen eines Schmiegungstetraeders.** Das Schmiegungstetraeder  $J_1 J_2 J_3 J_4$ , auf das sich die Gleichungen § 28, (1) beziehen, hat nach § 28, 4 zwei Gegenkanten, die Schmiegungsstrahlen sind, die Kanten  $J_3 J_1$  und  $J_2 J_4$ . Irgendeine durch die Kante  $J_3 J_1$  ( $y_2 = 0, y_4 = 0$ ) gehende Ebene hat die Gleichung:  $v_2 y_2 + v_4 y_4 = 0$  oder die Koordinaten:  $0, v_2, 0, v_4$ . Die konjugierte Ebene ist nach § 32, (7'):  $v_2, 0, 9v_4, 0$  oder  $v_2 y_1 + 9v_4 y_3 = 0$ , geht also durch die Kante  $J_2 J_4$  ( $y_1 = 0, y_3 = 0$ ). Irgendeine durch die Kante  $J_2 J_4$  gehende Ebene  $v_1, 0, v_3, 0$  hat die konjugierte  $0, 9v_1, 0, v_3$ , die wiederum durch  $J_3 J_1$  geht. Da  $J_1 J_2 J_3 J_4$  ein beliebiges Schmiegungstetraeder ist, so gilt das entsprechende für jedes solche.

Sagen wir daher von einem Schmiegungstetraeder  $P_1 P_2 P_3 P_4$ , daß es sich an eine Ebene anlehnt, wenn eine der beiden Kanten  $P_3 P_1$  und  $P_2 P_4$ , welche Schmiegungsstrahlen sind, in der Ebene liegt, so gilt der Satz:

*Lehnt sich ein Schmiegungstetraeder an eine Ebene  $\Pi$  an, so lehnt es sich auch an die konjugierte Ebene  $\Pi'$  an.*

**2. Konjugierte Punkte auf den zwei Schmiegungsstrahlen.** Da die Kante  $P_3 P_1$  nach § 29, 9, II ihre eigene reziproke Polare ist, so daß der Pol jeder durch sie gehenden Ebene auf ihr selbst liegt, so folgt weiter:

1) Cremona, Ann. di mat. (1) 2, S. 21; Nouv. Ann. (2) 1 (1862), S. 297; H. Schröter, Oberfl. (1880), S. 288; St. Jolles, J. f. Math. 130 (1906), S. 270.

*Lehnt sich ein Schmiegungstetraeder  $P_1P_2P_3P_4$  an zwei konjugierte Ebenen  $\Pi$  und  $\Pi'$  an, so daß die Kanten  $P_3P_1$  und  $P_3P_4$  bezüglich mit  $\Pi$  und  $\Pi'$  vereint liegen, so liegen auch die Pole  $P$  und  $P'$  der beiden Ebenen bezüglich mit den Kanten  $P_3P_1$  und  $P_3P_4$  vereint.*

Diese Pole sind nach § 32, 8, I' wieder konjugiert.

**3. Die drei Schmiegungstetraeder, die sich an eine Ebene anlehnen.** Ein Schmiegungstetraeder  $P_1P_2P_3P_4$  ist nach § 28, 2 durch zwei Punkte  $P_4$  und  $P_1$  der Kurve, seine *Hauptecken*, mit den Parametern  $\alpha$  und  $\beta$  bestimmt, worauf die Ecken  $P_2$  und  $P_3$ , die nicht auf der Kurve liegen, die Koordinaten § 28, (5) haben.

Sei nun auf das Schmiegungstetraeder  $J_1J_2J_3J_4$  bezogen:

$$(1) \quad v_1y_1 + v_2y_2 + v_3y_3 + v_4y_4 = 0$$

die Gleichung einer gegebenen Ebene  $\Pi$ , welche die Kurve in den drei Punkten  $\beta_1, \beta_2, \beta_3$  schneidet, so daß nach § 24, (27):

$$(2) \quad \begin{cases} v_1 = 1, & v_2 = -(\beta_1 + \beta_2 + \beta_3), & v_3 = \beta_2\beta_3 + \beta_3\beta_1 + \beta_1\beta_2, \\ v_4 = -\beta_1\beta_2\beta_3. \end{cases}$$

Jeder der drei Punkte genügt der Gleichung 3. Grades § 24, (26), so daß etwa für  $\beta_1$ :

$$(3) \quad v_1\beta_1^3 + v_2\beta_1^2 + v_3\beta_1 + v_4 = 0.$$

Wir wählen nun  $\beta_1$  als eine Hauptecke  $P_1$  eines neuen Schmiegungstetraeders  $P_1P_2P_3P_4$  und suchen die andere Hauptecke  $P_4 = \alpha_1$  so zu bestimmen, daß die Ecke  $P_3$  und daher auch die Kante  $P_1P_3$  in der Ebene (1) liegt, also das Schmiegungstetraeder sich an die Ebene (1) anlehnt. Es muß dann nach § 28, (5) sein:

$$3v_1\alpha_1^2\beta_1 + v_2\alpha_1(\alpha_1 + 2\beta_1) + v_3(2\alpha_1 + \beta_1) + 3v_4 = 0$$

oder, wenn die mit 3 multiplizierte Gleichung (3) subtrahiert und der nicht verschwindende Faktor  $\alpha_1 - \beta_1$  gestrichen wird:

$$(4) \quad 3v_1(\alpha_1 + \beta_1)\beta_1 + v_2(\alpha_1 + 3\beta_1) + 2v_3 = 0.$$

Setzt man aber hier die Werte (2) ein, so ergibt sich:

$$\alpha_1(2\beta_1 - \beta_2 - \beta_3) - (\beta_2\beta_1 + \beta_1\beta_2 - 2\beta_2\beta_3) = 0$$

und damit:

$$(5) \quad \alpha_1 = \frac{\beta_2\beta_1 + \beta_1\beta_2 - 2\beta_2\beta_3}{2\beta_1 - \beta_2 - \beta_3}.$$

Ebenso hätte sich, wenn man  $\beta_2$  oder  $\beta_3$  als Ecke  $P_1$  genommen hätte, für die Ecke  $P_4$  ergeben:

$$(5) \quad \alpha_2 = \frac{\beta_1 \beta_2 + \beta_2 \beta_3 - 2\beta_3 \beta_1}{2\beta_2 - \beta_3 - \beta_1}, \quad \alpha_3 = \frac{\beta_2 \beta_3 + \beta_3 \beta_1 - 2\beta_1 \beta_2}{2\beta_3 - \beta_1 - \beta_2}.$$

Daher folgt mit Rücksicht auf § 33, (16):

I. Es gibt im allgemeinen drei Schmiegungstetraeder  $P_1^{(i)} P_2^{(i)} P_3^{(i)} P_4^{(i)}$ ,  $i = 1, 2, 3$ , die sich an eine gegebene Ebene  $\Pi$  anlehnen. Die Punktpaare  $P_1^{(i)} = \beta_i$ ,  $P_4^{(i)} = \alpha_i$ , welche die Hauptecken der drei Schmiegungstetraeder abgeben, bestehen je aus einem der drei Schnittpunkte  $\beta_i$  der Ebene  $\Pi$  mit der Kurve und dem jedesmal gleichnamigen der drei Schnittpunkte  $\alpha_i$  der konjugierten Ebene  $\Pi'$  mit der Kurve.

4. Die Kanten der drei Schmiegungstetraeder. Nach 2 folgt alsdann weiter:

II. Die Kanten  $P_3^{(i)} P_1^{(i)}$  dieser drei Schmiegungstetraeder gehen alle drei durch den Pol  $P$  der Ebene  $\Pi$  und die Kanten  $P_3^{(i)} P_4^{(i)}$  alle drei durch den Pol  $P'$  der Ebene  $\Pi'$ .

Sie sind die Verbindungslinien der drei in der Ebene  $\Pi$  oder  $\Pi'$  liegenden Kurvenpunkte mit dem Pol  $P$  oder  $P'$ . Gleichzeitig folgt aus § 28, 6:

III. Die Sehnen der Kurve, welche die beiden Kanten  $P_3^{(i)} P_1^{(i)}$  und  $P_3^{(i)} P_4^{(i)}$  schneiden, werden von diesen jedesmal ( $i = 1, 2, 3$ ) harmonisch geteilt.

Allgemein ist die Kante  $P_1 P_3$  oder  $P_3 P_4$  des Schmiegungstetraeders mit den Hauptecken  $P_1 = \beta$  und  $P_4 = \alpha$  durch die 2. und 4. oder 1. und 3. Gleichung § 28, (4) dargestellt, wofür unter Elimination von  $y_4$  und  $y_1$  die Gleichungenpaare:

$$(6) \quad \begin{cases} (\alpha + \beta)y_1 - (3\alpha + \beta)\beta y_2 + 2\alpha\beta^2 y_3 = 0, \\ 2y_2 - (\alpha + 3\beta)y_3 + (\alpha + \beta)\beta y_4 = 0; \end{cases}$$

$$(7) \quad \begin{cases} (\alpha + \beta)y_1 - \alpha(\alpha + 3\beta)y_2 + 2\alpha^2\beta y_3 = 0, \\ 2y_2 - (3\alpha + \beta)y_3 + \alpha(\alpha + \beta)y_4 = 0. \end{cases}$$

eintreten können. Sie geben mit  $\alpha$ ,  $\beta = \alpha_i$ ,  $\beta_i$ ,  $i = 1, 2, 3$ , die Kanten  $P_3^{(i)} P_1^{(i)}$  und  $P_3^{(i)} P_4^{(i)}$ .

5. Besondere Lage der Ebene. Die drei Schnittpunkte  $\beta_1, \beta_2, \beta_3$  der gegebenen Ebene (1) mit der Kurve waren zunächst getrennt vorausgesetzt.

Fallen jedoch zwei zusammen,  $\beta_3 = \beta_2$ , so werden nach § 33, (17) die Werte (5) gleich:  $\alpha_1 = \alpha_2 = \alpha_3 = \beta_2$ . Da für ein Schmiegungstetraeder (§ 28, 2) stets  $\alpha \neq \beta$  sein muß, bleibt dann von den drei Wertepaaren  $\beta_i, \alpha_i$  nur das eine  $\beta_1, \alpha_1 = \beta_2$  übrig. Die Ebene  $\Pi$  ist

die Tangentialebene  $\beta_2\beta_3\beta_1 = \alpha_1\alpha_2\beta_1$  und ihre konjugierte  $\Pi'$  die Schmiegungeebene  $\beta_2\beta_3\beta_3 = \alpha_1\alpha_1\alpha_1$  (§ 32, 6, III):

I. *An eine gegebene Tangentialebene  $\Pi$ , die im Punkte  $\beta_2 = \alpha_1$  die Kurve berührt und sie außerdem in  $\beta_1$  schneidet, lehnt sich nur ein einziges Schmiegungstetraeder  $P_1P_2P_3P_4$  an mit den Hauptecken  $P_1 = \beta_1$ ,  $P_4 = \alpha_1$ .*

Die Ebenen  $\Pi$  und  $\Pi'$  sind nach § 28, (3) selbst seine Ebenen  $\Pi_2 = P_3P_1P_4$  und  $\Pi_1 = P_2P_3P_4$ , ihre Pole  $P$  und  $P'$  nach § 29, 9, I seine Ecken  $P_3$  und  $P_4$ .

Fallen alle drei Punkte  $\beta_1 = \beta_2 = \beta_3$  zusammen, werden  $\alpha_1, \alpha_2, \alpha_3$  unbestimmt, die Ebene  $\Pi$  ist die Schmiegungeebene  $\beta_1\beta_1\beta_1$ , die konjugierte  $\Pi'$  kann jede Tangentialebene  $\beta_1\beta_1\lambda_0$  in  $\beta_1$  sein (§ 32, 6, III):

II. *An eine gegebene Schmiegungeebene  $\Pi$ , die im Punkte  $\beta_1$  der Kurve sich anschmiegt, lehnen sich  $\infty^1$  Schmiegungstetraeder an mit den Hauptecken  $P_1 = \beta_1$  und  $P_4 = \lambda_0$  mit beliebigem  $\lambda_0$ .*

Die Ebenen  $\Pi$  und  $\Pi'$  sind selbst seine Ebenen  $\Pi_4 = P_1P_2P_3$  und  $\Pi_3 = P_1P_2P_4$ , ihre Pole  $P$  und  $P'$  seine Ecken  $P_1$  und  $P_2$ .

6. Die drei an eine Ebene sich anlehnenden Koordinatentetraeder. Die drei in der gegebenen Ebene  $\Pi$  liegenden, reell und getrennt angenommenen Kurvenpunkte, sollen jetzt, was nach § 24, 4, II keine Beschränkung ist, die besonderen Parameter:

$$(8) \quad \beta_1 = \infty, \quad \beta_2 = 1, \quad \beta_3 = -1$$

haben, worauf nach (5) die in der konjugierten Ebene  $\Pi'$  liegenden Punkte werden:

$$(9) \quad \alpha_1 = 0, \quad \alpha_2 = -3, \quad \alpha_3 = 3.$$

Die Haupteckenpaare der drei an die Ebene  $\Pi$  sich anlehnenden Schmiegungstetraeder sind alsdann nach 3, I:

$$(10) \quad J_1, J_4 = \infty, 0; \quad J_1', J_4' = 1, -3; \quad J_1''J_4'' = -1, 3.$$

Das erste ist das Koordinatentetraeder, auf das sich, mit dem Einheitspunkt  $J_0(\lambda = 1)$ , die Parameterdarstellung § 28, (1):

$$(11) \quad y_1 = \lambda^3, \quad y_2 = \lambda^2, \quad y_3 = \lambda, \quad y_4 = 1;$$

$$(11') \quad v_1 = 1, \quad v_2 = -3\lambda, \quad v_3 = 3\lambda^2, \quad v_4 = -\lambda^3$$

bezieht. Für das zweite und dritte hat die Parameterdarstellung nach § 28, (9) ebenfalls die Form:

$$(12) \quad \begin{cases} y_1' = \lambda'^3, & y_2' = \lambda'^2, & y_3' = \lambda', & y_4' = 1; \\ y_1'' = \lambda''^3, & y_2'' = \lambda''^2, & y_3'' = \lambda'', & y_4'' = 1, \end{cases}$$



wenn die neuen Parameter, aus § 28, (8) mit  $\alpha, \beta, \gamma = -3, 1, -1; 3, -1, \infty$ :

$$(13) \quad \lambda' = -\frac{\lambda+3}{\lambda-1}, \quad \lambda'' = \frac{\lambda-3}{\lambda+1}$$

und die Einheitspunkte  $J_0'(\lambda = -1)$  und  $J_0''(\lambda = \infty)$  eingeführt werden.

I. Führt man die drei an die Ebene der drei Kurvenpunkte (8) sich anlehnenden Schmiegungstetraeder als Koordinatentetraeder ein, so sind (11), (12) die zugehörigen kanonischen Parameterdarstellungen der Raumkurve und bestehen zwischen  $\lambda, \lambda', \lambda''$  die Beziehungen (13).

II. Die Kantenpaare  $J_3J_1$  und  $J_2J_4$ ,  $J_3'J_1'$  und  $J_2'J_4'$ ,  $J_3''J_1''$  und  $J_2''J_4''$  teilen alsdann nach § 28, 6 alle die Sehnen  $\lambda_1\lambda_2$ ,  $\lambda_1'\lambda_2'$ ,  $\lambda_1''\lambda_2''$  der Kurve harmonisch, für die bezüglich:

$$(14) \quad \lambda_1 + \lambda_2 = 0, \quad \lambda_1' + \lambda_2' = 0, \quad \lambda_1'' + \lambda_2'' = 0$$

oder nach (13) in dem ersten Parameter  $\lambda$  ausgedrückt:

$$(15) \quad \lambda_2 = -\lambda_1, \quad \lambda_2 = -\frac{\lambda_1-3}{\lambda_1+1}, \quad \lambda_2 = \frac{\lambda_1+3}{\lambda_1-1}.$$

7. Das an eine Ebene sich anlehnende Haupttetraeder. I. Um nun die drei an die Ebene  $\Pi$  sich anlehnenden Schmiegungstetraeder gleichmäßig zu benutzen, führen wir das an die Ebene  $\Pi$  sich anlehnende Haupttetraeder  $E_1E_2E_3E_4$  ein. Seine Ecken  $E_1, E_2, E_3$  sollen die in der Ebene  $\Pi$  liegenden Kurvenpunkte (8), seine Ecke  $E_4$  der Pol  $P'$  der zur Ebene  $\Pi$  konjugierten Ebene  $\Pi'$  sein.

Die Koordinaten der neuen Ecken  $E_1, E_2, E_3$  in bezug auf das Tetraeder  $J_1J_2J_3J_4$  folgen nach (8) mit  $\lambda = \infty, 1, -1$  aus (11):

$$(16) \quad y_1, y_2, y_3, y_4 = 1, 0, 0, 0; 1, 1, 1, 1; -1, 1, -1, 1.$$

Ihre Verbindungsebene hat nach § 24, (28) die Gleichung:

$$(17) \quad \Pi: y_2 - y_4 = 0,$$

die konjugierte Ebene  $\Pi'$  nach § 32, (7') ( $v_1 = 0, v_2 = 1, v_3 = 0, v_4 = -1$ ):

$$(18) \quad \Pi': y_1 - 9y_3 = 0.$$

Die Pole  $P$  und  $P' = E_4$  dieser beiden Ebenen haben nach § 29, (3') die Koordinaten:

$$(19) \quad y_1, y_2, y_3, y_4 = 3, 0, -1, 0 \text{ und } 0, 3, 0, -1.$$

II. Indem wir den drei Koordinatengruppen (16) und der zweiten (19) noch die Faktoren 8,  $-1, 1, 2$  hinzufügen (I § 63, (6)), erhalten wir, bis auf einen jeweiligen Proportionalitätsfaktor, folgende Beziehungen zwischen den auf die Tetraeder  $J_1J_2J_3J_4$  und  $E_1E_2E_3E_4$  bezogenen Punkt- und Ebenenkoordinaten  $y_k, v_k$  und  $x_k, u_k$  (I § 63, (25); (26)):

$$\begin{aligned}
 (20) \quad & \begin{cases} y_1 = 8x_1 - x_2 - x_3, \\ y_2 = -x_2 + x_3 + 6x_4, \\ y_3 = -x_2 - x_3, \\ y_4 = -x_2 + x_3 - 2x_4; \end{cases} & (21) \quad & \begin{cases} x_1 = y_1 - y_2, \\ x_2 = -y_2 - 4y_3 - 3y_4, \\ x_3 = y_2 - 4y_3 + 3y_4, \\ x_4 = y_2 - y_4; \end{cases} \\
 (22) \quad & \begin{cases} v_1 = u_1, \\ v_2 = -u_2 + u_3 + u_4, \\ v_3 = -u_1 - 4u_2 - 4u_3, \\ v_4 = -3u_2 + 3u_3 - u_4; \end{cases} & (23) \quad & \begin{cases} u_1 = 8v_1, \\ u_2 = -v_1 - v_2 - v_3 - v_4, \\ u_3 = -v_1 + v_2 - v_3 + v_4, \\ u_4 = 6v_2 - 2v_4. \end{cases}
 \end{aligned}$$

**8. Parameterdarstellung im Haupttetraeder.** Setzt man nun in (21) und (23) die Werte (11) und (11') ein, so ergibt sich:

*In bezug auf das an [die Ebene der drei Punkte  $\lambda = \infty, 1, -1$  der Raumkurve (11), (11') sich anlehrende Haupttetraeder  $E_1 E_2 E_3 E_4$  lautet die Parameterdarstellung ihrer Punkte und Ebenen:*

$$\begin{aligned}
 (24) \quad & \begin{cases} x_1 = \lambda(\lambda - 1)(\lambda + 1), \\ x_2 = -(\lambda + 3)(\lambda + 1), \\ x_3 = (\lambda - 3)(\lambda - 1), \\ x_4 = (\lambda - 1)(\lambda + 1); \end{cases} & (25) \quad & \begin{cases} u_1 = 8, \\ u_2 = (\lambda - 1)^3, \\ u_3 = -(\lambda + 1)^3, \\ u_4 = 2\lambda(\lambda + 3)(\lambda - 3). \end{cases}
 \end{aligned}$$

Da die Ecken  $E_1, E_2, E_3$  die Punkte  $\lambda = \infty, 1, -1$  der Kurve sind, hat die Gleichung  $x_4 = 0$  nach (24) die Wurzeln  $\lambda = \infty, 1, -1$  und haben die Gleichungen  $u_1 = 0, u_2 = 0, u_3 = 0$  nach (25) je dreifach die Wurzel  $\lambda = \infty, 1, -1$  (§ 24, 6). Da  $E_4$  der Pol der Ebene der drei Punkte  $\lambda = 0, -3, 3$  in (9), also nach § 29, 1 der Schnittpunkt der drei Schmiegungebenen  $\lambda = 0, -3, 3$  ist, gibt die Gleichung  $u_4 = 0$  nach (25) diese Werte von  $\lambda$  als Wurzeln. Die drei Punkte  $\lambda = 0, -3, 3$  liegen wiederum nach (24) bezüglich in den Ebenen  $x_1 = 0, x_2 = 0, x_3 = 0$ .

Die konjugierten Ebenen  $\Pi$  und  $\Pi'$  in (17) und (18), jetzt  $E_4$  und etwa  $E_0$  genannt, haben nach (20) im neuen System die Gleichungen<sup>1)</sup>:

$$(26) \quad E_4: x_4 = 0; \quad E_0: x_1 + x_2 + x_3 = 0,$$

und ihre Pole  $P$  und  $P'$  in (19), jetzt etwa  $E_0$  und  $E_4$  genannt, erhalten die Gleichungen:

$$(27) \quad E_0: u_1 + u_2 + u_3 = 0; \quad E_4: u_4 = 0.$$

$E_0$  und  $E_0$  treten als weitere Bestandteile zu dem Haupttetraeder hinzu.

1) Cremona, Ann. di mat. 2 (1859), S. 26.

**9. Zyklische Vertauschung dreier Kanten des Haupttetraeders.** Entnimmt man aus (24) die Verhältnisse von  $x_1, x_2, x_3$  zu  $x_4$  und führt alsdann mittels der Gleichungen (13) einmal  $\lambda'$  und einmal  $\lambda''$  ein, so erhält man die folgende dreifache Darstellung der Raumkurve im Haupttetraeder:

$$(28) \quad \frac{x_1}{x_4} = \lambda, \quad \frac{x_2}{x_4} = -\frac{\lambda+3}{\lambda-1}, \quad \frac{x_3}{x_4} = \frac{\lambda-3}{\lambda+1};$$

$$(28') \quad \frac{x_1}{x_4} = \frac{\lambda'-3}{\lambda'+1}, \quad \frac{x_2}{x_4} = \lambda', \quad \frac{x_3}{x_4} = -\frac{\lambda'+3}{\lambda'-1};$$

$$(28'') \quad \frac{x_1}{x_4} = -\frac{\lambda''+3}{\lambda''-1}, \quad \frac{x_2}{x_4} = \frac{\lambda''-3}{\lambda''+1}, \quad \frac{x_3}{x_4} = \lambda''.$$

Hiernach entspricht einer zyklischen Vertauschung der Parameter  $\lambda, \lambda', \lambda''$  eine solche der Koordinaten  $x_1, x_2, x_3$ . Wie die Substitution (21) von (11) zu (28) führte, so würden in der Tat die aus (21) mit  $y'_k$  und  $y''_k$  für  $y_k$  und mit zyklischer Vertauschung von  $x_1, x_2, x_3$  hervorgehenden Substitutionen von (12) zu (28') und (28'') führen. Man erhält daher aus (20) durch zweimalige zyklische Vertauschung von  $x_1, x_2, x_3$  die Koordinaten  $y'_1, y'_2, y'_3, y'_4$  und  $y''_1, y''_2, y''_3, y''_4$  in  $x_1, x_2, x_3, x_4$  ausgedrückt. Daraus folgt aber mit Rücksicht auf 7, I:

*Einer zyklischen Vertauschung der drei an die Ebene  $E_4$  sich anlehnenden Schmiegungstetraeder entspricht nur eine zyklische Vertauschung der drei Koordinaten  $x_1, x_2, x_3$  in dem einen an dieselbe Ebene sich anlehnenden Haupttetraeder.<sup>1)</sup>*

**10. Die drei Reihen harmonisch geteilter Sehnen.** Nun haben die Kanten  $J_3J_1$  und  $J_2J_4$  des ersten Schmiegungstetraeders  $J_1J_2J_3J_4$  in 6 in bezug auf dieses die Gleichungen:

$$J_3J_1: y_2 = 0, y_4 = 0; \quad J_2J_4: y_3 = 0, y_1 = 0$$

oder nach (20) in bezug auf  $E_1E_2E_3E_4$ :

$$x_2 - x_3 = 0, x_4 = 0; \quad x_1 = 0, x_2 + x_3 = 0.$$

Durch zyklische Vertauschung von  $x_1, x_2, x_3$  müssen nach 9 die Kanten  $J'_3J'_1$  und  $J'_2J'_4$ ;  $J''_3J''_1$  und  $J''_2J''_4$  der beiden anderen Schmiegungstetraeder entstehen, so daß mit Rücksicht auf 6, II folgt:

*Von den drei Linienpaaren:*

$$(29) \quad \begin{cases} x_1 = 0, x_2 + x_3 = 0, \\ x_2 - x_3 = 0, x_4 = 0; \end{cases} \begin{cases} x_2 = 0, x_3 + x_1 = 0, \\ x_3 - x_1 = 0, x_4 = 0; \end{cases} \begin{cases} x_3 = 0, x_1 + x_2 = 0, \\ x_1 - x_2 = 0, x_4 = 0 \end{cases}$$

1) Vgl. die zyklische Beziehung bei Reye, G. d. L. 2 (1892), S. 208.

werden die Sehnen  $\lambda_1 \lambda_2$  harmonisch geteilt, für die bezüglich:

$$(30) \quad \lambda_2 = -\lambda_1, \quad \lambda_2 = -\frac{\lambda_1 - 3}{\lambda_1 + 1}, \quad \lambda_2 = \frac{\lambda_1 + 3}{\lambda_1 - 1}.$$

Die ersten Linien der drei Paare (29) liegen alle in der Ebene  $E_0$  in (26) und gehen alle durch deren Pol  $E_4$  in (27), die zweiten Linien liegen alle in der Ebene  $E_4$  und gehen alle durch deren Pol  $E_0$  (4, II).

Zu jeder der drei Reihen von Sehnen (30) gehören zwei Tangenten, die Tangenten in den Punkten  $\lambda = \infty$  und  $\lambda = 0$ ;  $\lambda = 1$  und  $\lambda = -3$ ;  $\lambda = -1$  und  $\lambda = 3$ .

**11. Die Hyperboloide der harmonisch geteilten Sehnen.** Den Ort der Sehnen, für deren Endpunkte  $\lambda_1, \lambda_2$  die erste Bedingung (30) besteht, bildet nach § 28, (15) das Hyperboloid:

$$y_2 y_3 - y_1 y_4 = 0.$$

Überträgt man diese Gleichung durch (20) in das neue System und fügt die durch zyklische Vertauschung von  $x_1, x_2, x_3$  entstehenden Gleichungen hinzu, so folgt:

*Die drei Reihen von Sehnen, die durch die drei Linienpaare (29) harmonisch geteilt werden, liegen bezüglich auf den drei Hyperboloiden:*

$$(31) \quad \begin{cases} H_1 = x_3 x_1 - x_1 x_2 - 2x_1 x_4 + x_2 x_4 + x_3 x_4 = 0, \\ H_2 = x_1 x_2 - x_2 x_3 - 2x_2 x_4 + x_3 x_4 + x_1 x_4 = 0, \\ H_3 = x_3 x_3 - x_3 x_1 - 2x_3 x_4 + x_1 x_4 + x_2 x_4 = 0. \end{cases}$$

Sie gehören infolge der Identität:

$$H_1 + H_2 + H_3 = 0$$

einem Büschel an und haben außer der Raumkurve noch die Sehne:

$$(32) \quad x_1 : x_2 : x_3 = 1 : 1 : 1$$

gemein (§ 31, 5, II), diejenige uneigentliche Sehne, die durch die nicht auf der Kurve liegende Ecke  $E_4$  des Haupttetraeders geht.

**12. Darstellung der Raumkurve im Haupttetraeder ohne Parameter.** Der Sehnenkegel des Punktes  $\lambda = \infty$  ist nach § 26, (18):

$$y_2 y_4 - y_3^2 = 0.$$

Überträgt man ihn mittels (20) in die neuen Koordinaten und fügt die durch zyklische Vertauschung entstehenden Sehnenkegel der Punkte  $\lambda = 1$  und  $\lambda = -1$  hinzu, so folgt im Sinne von § 24, (33):

**I. Die Raumkurve ist in bezug auf das Haupttetraeder durch die Gleichungen der Sehnenkegel in den drei Punkten  $E_1, E_2, E_3$  dargestellt:**

$$(33) \begin{cases} x_2x_3 + (x_2 - x_3)x_4 + 3x_4^2 = 0, & x_3x_1 + (x_3 - x_1)x_4 + 3x_4^2 = 0, \\ x_1x_2 + (x_1 - x_2)x_4 + 3x_4^2 = 0. \end{cases}$$

Je zwei von ihnen haben eine Seite des Dreiecks  $E_1E_2E_3$  gemein. Verbindet man die Gleichungen (33) mit den homogenen Parametern  $\varrho, \sigma, \tau$ , so ergibt sich weiter (§ 31, 2):

II. Das Bündel aller durch die Raumkurve (33) gehenden Flächen 2. O. hat die Gleichung:

$$(34) \begin{cases} \varrho x_2x_3 + \sigma x_3x_1 + \tau x_1x_2 - (\sigma - \tau)x_1x_4 - (\tau - \varrho)x_2x_4 - (\varrho - \sigma)x_3x_4 \\ + 3(\varrho + \sigma + \tau)x_4^2 = 0. \end{cases}$$

**13. Polarbeziehung und linearer Komplex.** Setzt man in (23) für  $v_k$  die Werte § 29, (3), mit  $\varrho = 1$ , und alsdann für  $y_k$  wieder die Werte (20) ein, so ergibt sich:

Zwischen Pol und Polarebene bestehen in bezug auf das Haupttetraeder die Beziehungen:

$$(35) \begin{cases} u_1 = x_2 - x_3 + 2x_4, \\ u_2 = x_3 - x_1 + 2x_4, \\ u_3 = x_1 - x_2 + 2x_4, \\ u_4 = -2x_1 - 2x_2 - 2x_3; \end{cases} \quad (36) \begin{cases} x_1 = 2u_2 - 2u_3 + u_4, \\ x_2 = 2u_3 - 2u_1 + u_4, \\ x_3 = 2u_1 - 2u_2 + u_4, \\ x_4 = -u_1 - u_2 - u_3. \end{cases}$$

Sie drücken zugleich die Polarverwandtschaft in bezug auf den linearen Komplex (§ 29, 14, II):

$$(37) \quad \varphi = p_1 + p_2 + p_3 + 2p_4 + 2p_5 + 2p_6 = 0$$

aus (II § 86, (1); (19)), dem nach § 25, 8 und § 27, 6 Tangenten und Schmiegungsstrahlen der Raumkurve angehören. Zwischen *reziproken* Polaren  $p_k$  und  $p'_k$  bestehen daher in bezug auf das Haupttetraeder die Gleichungen (II § 86, (24)):

$$(38) \quad \begin{cases} p'_1 = 2\varphi - 6p_1, & p'_2 = 2\varphi - 6p_2, & p'_3 = 2\varphi - 6p_3, \\ p'_4 = \varphi - 6p_4, & p'_5 = \varphi - 6p_5, & p'_6 = \varphi - 6p_6. \end{cases}$$

**14. Die Doppelpyramidengruppe im Haupttetraeder.** Die Gesamtheit der drei Gleichungen (33), welche die Raumkurve vollständig definieren, geht durch Vertauschung von  $x_1, x_2, x_3$  mit:

$$(39) \begin{cases} s_0: x_1, x_2, x_3; & s_1: -x_1, -x_3, -x_2; & s_2: -x_3, -x_2, -x_1; \\ s_3: -x_2, -x_1, -x_3; & s_4: x_2, x_3, x_1; & s_5: x_3, x_1, x_2 \end{cases}$$

jedesmal in sich über (ähnlich wie der Kegelschnitt:  $x_1x_2 - x_3^2 = 0$  durch Vert. von  $x_1, x_2$  mit  $x_1, x_2; x_2, x_1; -x_1, -x_2; -x_2, -x_1$ ).

*Zu jedem Haupttetraeder gehört eine Doppelpyramidengruppe<sup>1)</sup> (39), durch welche die Raumkurve in sich übergeht.*

Die Substitutionen  $s_1, s_2, s_3$  entsprechen nach (28) und (14) der Vertauschung der Punkte  $\lambda$  und  $-\lambda$ ,  $\lambda'$  und  $-\lambda'$ ,  $\lambda''$  und  $-\lambda''$ , deren Sehne durch eines der drei Linienpaare (29) harmonisch geteilt wird, die Substitutionen  $s_4, s_5$  der zyklischen Vertauschung der drei Schmiegungstetraeder unter 9.

Für die Bündelgleichung (34) ist die Gruppe (39) gleichbedeutend mit der Gruppe der sechs Permutationen der drei Parameter  $\varrho, \sigma, \tau$ .

Die Fläche  $\varrho = \sigma = \tau = 1$ :

$$(40) \quad x_2 x_3 + x_3 x_1 + x_1 x_2 + 9x_4^2 = 0$$

bleibt daher bei allen Substitutionen der Gruppe invariant (vgl. § 21, (30)).

**15. Allgemeine Parameter im Haupttetraeder.** Durch Einführung des Haupttetraeders ist in allen vom Parameter  $\lambda$  freien Gleichungen (26), (27), (29), (31) bis (40) vollkommene Symmetrie in den Koordinaten  $x_1 : x_2, x_2 : x_3, x_3 : x_4$  hergestellt. Um dies auch in der Parameterdarstellung (24) zu erreichen, müssen die drei Punkte  $E_1, E_2, E_3$ , an deren Ebene  $\Pi$  sich das Haupttetraeder anlehnt, statt der besonderen Parameter  $\infty, 1, -1$  in (8) allgemeine  $\alpha, \beta, \gamma$  erhalten. Die Schnittpunkte mit der konjugierten Ebene  $\Pi'$  werden dann an Stelle von  $0, -3, 3$  nach § 33, (16):

$$(41) \quad \alpha' = \frac{2\beta\gamma - \gamma\alpha - \alpha\beta}{\beta + \gamma - 2\alpha}, \quad \beta' = \frac{2\gamma\alpha - \alpha\beta - \beta\gamma}{\gamma + \alpha - 2\beta}, \quad \gamma' = \frac{2\alpha\beta - \beta\gamma - \gamma\alpha}{\alpha + \beta - 2\gamma},$$

worin noch zur Abkürzung gesetzt werde:

$$(42) \quad \alpha_0 = \beta + \gamma - 2\alpha, \quad \beta_0 = \gamma + \alpha - 2\beta, \quad \gamma_0 = \alpha + \beta - 2\gamma.$$

Führt man nun durch die Substitution:

$$(43) \quad \lambda = \frac{\alpha_0(\alpha' - \mu)}{(\beta - \gamma)(\alpha - \mu)}$$

einen neuen Parameter  $\mu$  ein, so wird zunächst:

$$(44) \quad \begin{cases} \lambda - 1 = 2 \frac{(\gamma - \alpha)(\beta - \mu)}{(\beta - \gamma)(\alpha - \mu)}, & \lambda + 1 = -2 \frac{(\alpha - \beta)(\gamma - \mu)}{(\beta - \gamma)(\alpha - \mu)}, \\ \lambda + 3 = -2 \frac{\beta_0(\beta' - \mu)}{(\beta - \gamma)(\alpha - \mu)}, & \lambda - 3 = -2 \frac{\gamma_0(\gamma' - \mu)}{(\beta - \gamma)(\alpha - \mu)}. \end{cases}$$

Damit wird aus (28):

$$(45) \quad \frac{x_1}{x_4} = \frac{\alpha_0(\alpha' - \mu)}{(\beta - \gamma)(\alpha - \mu)}, \quad \frac{x_2}{x_4} = \frac{\beta_0(\beta' - \mu)}{(\gamma - \alpha)(\beta - \mu)}, \quad \frac{x_3}{x_4} = \frac{\gamma_0(\gamma' - \mu)}{(\alpha - \beta)(\gamma - \mu)}$$

und folgt mit gleichzeitiger Umformung von (25):

1) H. Weber, Algebra, 2. Aufl. 2 (1899), S. 270.

In dem an die Ebene der drei Punkte  $\alpha, \beta, \gamma$  sich anlehnenden Haupttetraeder lautet die Parameterdarstellung der Raumkurve:

$$(46) \quad \begin{cases} x_1 = \frac{\alpha_0}{\beta - \gamma}(\alpha' - \mu)(\beta - \mu)(\gamma - \mu), \\ x_2 = \frac{\beta_0}{\gamma - \alpha}(\beta' - \mu)(\gamma - \mu)(\alpha - \mu), \\ x_3 = \frac{\gamma_0}{\alpha - \beta}(\gamma' - \mu)(\alpha - \mu)(\beta - \mu), \\ x_4 = (\alpha - \mu)(\beta - \mu)(\gamma - \mu); \end{cases}$$

$$(47) \quad \begin{cases} u_1 = (\beta - \gamma)^3(\alpha - \mu)^3, \\ u_2 = (\gamma - \alpha)^3(\beta - \mu)^3, \\ u_3 = (\alpha - \beta)^3(\gamma - \mu)^3, \\ u_4 = \alpha_0\beta_0\gamma_0(\alpha' - \mu)(\beta' - \mu)(\gamma' - \mu), \end{cases}$$

wo  $\alpha', \beta', \gamma'$  die drei Punkte (41) der konjugierten Ebene sind und  $\alpha_0, \beta_0, \gamma_0$  die Werte (42) haben.

Aus (45) geht weiter hervor:

$$(48) \quad \begin{cases} \frac{1}{2} \left( \frac{x_1}{x_4} - 1 \right) = \frac{(\gamma - \alpha)(\beta - \mu)}{(\beta - \gamma)(\alpha - \mu)}, & \frac{1}{2} \left( \frac{x_1}{x_4} + 1 \right) = -\frac{(\alpha - \beta)(\gamma - \mu)}{(\beta - \gamma)(\alpha - \mu)}, \\ \frac{1}{2} \left( \frac{x_2}{x_4} - 1 \right) = \frac{(\alpha - \beta)(\gamma - \mu)}{(\gamma - \alpha)(\beta - \mu)}, & \frac{1}{2} \left( \frac{x_2}{x_4} + 1 \right) = -\frac{(\beta - \gamma)(\alpha - \mu)}{(\gamma - \alpha)(\beta - \mu)}, \\ \frac{1}{2} \left( \frac{x_3}{x_4} - 1 \right) = \frac{(\beta - \gamma)(\alpha - \mu)}{(\alpha - \beta)(\gamma - \mu)}, & \frac{1}{2} \left( \frac{x_3}{x_4} + 1 \right) = -\frac{(\gamma - \alpha)(\beta - \mu)}{(\alpha - \beta)(\gamma - \mu)}. \end{cases}$$

Danach erkennt man sofort, daß die Parameterdarstellung (45) oder (46) die Gleichungen (33), die in der Form geschrieben werden können:

$$(49) \quad \begin{aligned} \frac{1}{4} \left( \frac{x_2}{x_4} - 1 \right) \left( \frac{x_3}{x_4} + 1 \right) + 1 &= 0, \quad \frac{1}{4} \left( \frac{x_3}{x_4} - 1 \right) \left( \frac{x_2}{x_4} + 1 \right) + 1 = 0, \\ \frac{1}{4} \left( \frac{x_1}{x_4} - 1 \right) \left( \frac{x_3}{x_4} + 1 \right) + 1 &= 0, \end{aligned}$$

identisch in  $\mu$  erfüllt.

**16. Die Doppelpyramidengruppe des allgemeinen Parameters.**  
In dem bisherigen Parameter  $\lambda$  drücken sich die Substitutionen (39), gleichbedeutend mit (14) und (13) bei gleichmäßiger Bezeichnung in der Form aus:

$$(50) \quad \begin{aligned} s_1 : \lambda + \lambda' &= 0; \quad s_2 : \frac{\lambda + 3}{\lambda - 1} + \frac{\lambda' + 3}{\lambda' - 1} = 0; \quad s_3 : \frac{\lambda - 3}{\lambda + 1} + \frac{\lambda' - 3}{\lambda' + 1} = 0; \\ s_4 : \lambda' &= -\frac{\lambda + 3}{\lambda - 1}; \quad s_5 : \lambda' = \frac{\lambda - 3}{\lambda + 1}. \end{aligned}$$

In dem neuen Parameter  $\mu$  werden sie daher nach (43), (44):

$$(51) s_1: \frac{\alpha' - \mu}{\alpha - \mu} + \frac{\alpha' - \mu'}{\alpha - \mu'} = 0; s_2: \frac{\beta' - \mu}{\beta - \mu} + \frac{\beta' - \mu'}{\beta - \mu'} = 0; s_3: \frac{\gamma' - \mu}{\gamma - \mu} + \frac{\gamma' - \mu'}{\gamma - \mu'} = 0$$

$$(52) s_4: \frac{\alpha_0(\alpha' - \mu)}{(\beta - \gamma)(\alpha - \mu')} = \frac{\beta_0(\beta' - \mu)}{(\gamma - \alpha)(\beta - \mu)}; s_5: \frac{\alpha_0(\alpha' - \mu')}{(\beta - \gamma)(\alpha - \mu')} = \frac{\gamma_0(\gamma' - \mu)}{(\alpha - \beta)(\gamma - \mu)}$$

Die Substitutionen (51) sind die Involutionen:

$$(53) \quad \alpha\alpha' - \frac{1}{2}(\alpha + \alpha')(\mu + \mu') + \mu\mu' = 0, \dots, \dots$$

bei denen die Punkte  $\mu, \mu'$  harmonisch sind (§ 30, (3)) zu  $\alpha, \alpha'; \beta, \beta'$  oder  $\gamma, \gamma'$ .

Drückt man jedoch die Koeffizienten durch die gegebenen Parameter  $\alpha, \beta, \gamma$  allein aus, und fügt die Entwicklung der Gleichungen (52) hinzu, so folgt:

Der Doppelpyramidengruppe (39) entsprechen folgende Substitutionen des Parameters  $\mu$  in der Darstellung (46):

$$(54) s_0: 1; s_1: (\beta + \gamma - 2\alpha)\mu\mu' + (\alpha^2 - \beta\gamma)(\mu + \mu') + \alpha(2\beta\gamma - \gamma\alpha - \alpha\beta) = 0; \\ s_2: (\gamma + \alpha - 2\beta)\mu\mu' + (\beta^2 - \gamma\alpha)(\mu + \mu') + \beta(2\gamma\alpha - \alpha\beta - \beta\gamma) = 0; \\ s_3: (\alpha + \beta - 2\gamma)\mu\mu' + (\gamma^2 - \alpha\beta)(\mu + \mu') + \gamma(2\alpha\beta - \beta\gamma - \gamma\alpha) = 0;$$

$$s_4: (\alpha^2 + \beta^2 + \gamma^2 - \beta\gamma - \gamma\alpha - \alpha\beta)\mu\mu' - (\beta\gamma^2 + \gamma\alpha^2 + \alpha\beta^2 - 3\alpha\beta\gamma)\mu \\ - (\beta^2\gamma + \gamma^2\alpha + \alpha^2\beta - 3\alpha\beta\gamma)\mu' + \beta^2\gamma^2 + \gamma^2\alpha^2 + \alpha^2\beta^2 - (\alpha + \beta + \gamma)\alpha\beta\gamma = 0;$$

$$s_5: (\alpha^2 + \beta^2 + \gamma^2 - \beta\gamma - \gamma\alpha - \alpha\beta)\mu\mu' - (\beta^2\gamma + \gamma^2\alpha + \alpha^2\beta - 3\alpha\beta\gamma)\mu \\ - (\beta\gamma^2 + \gamma\alpha^2 + \alpha\beta^2 - 3\alpha\beta\gamma)\mu' + \beta^2\gamma^2 + \gamma^2\alpha^2 + \alpha^2\beta^2 - (\alpha + \beta + \gamma)\alpha\beta\gamma = 0$$

(vgl. § 33, (24)). Sie kommen mit  $\alpha = \infty, \beta = 1, \gamma = -1, \mu = \lambda, \mu' = \lambda'$  wieder auf (50) zurück.

### § 35. Übergang von kanonischen Tetraeder- zu rechtwinkligen Koordinaten.

1. Die Transformationsformeln. In den auf ein Schmiegungstetraeder bezogenen Tetraederkoordinaten  $y_k, v_k$  waren die Punkte und Ebenen der Raumkurve durch die Gleichungen § 34, (11); (11') dargestellt, in homogenen rechtwinkligen Koordinaten durch die Gleichungen § 7, (1); (11).

Bei gleichbleibendem Parameter  $\lambda$  gelten daher zwischen den beiderlei Koordinaten die Beziehungen:

$$(1) \begin{cases} x = ay_1 + a'y_2 + a''y_3, \\ y = \phantom{ay_1} by_2 + b'y_3, \\ z = \phantom{ay_1} \phantom{by_2} cy_3, \\ t = ly_2 + my_3 + ny_4; \end{cases} \quad (2) \begin{cases} u = bcnv_1, \\ v = c(-a'nv_1 + anv_2 - alv_4), \\ w = (a'b' - a''b)nv_1 - ab'nv_2 \\ \quad + abnv_3 + a(b'l - bm)v_4, \\ s = abcv_4. \end{cases}$$



Umgekehrt führt die Auflösung dieser Gleichungen nach  $y_k$  und  $v_k$  bis auf einen Proportionalitätsfaktor zurück zu den bereits in § 7, (3); (13), ohne die Bezeichnung als Tetraederkoordinaten, benutzten Ausdrücke:

$$(3) \begin{cases} y_1 = bcnx - a'n(cy - b'z) - a''bnz, \\ y_2 = an(cy - b'z), \\ y_3 = abnz, \\ y_4 = -al(cy - b'z) - ab(ms - ct); \end{cases} \quad (4) \begin{cases} v_1 = au, \\ v_2 = a'u + bv + ls, \\ v_3 = a''u + b'v + cw + ms, \\ v_4 = ns. \end{cases}$$

Die Formeln (1)–(4) vermitteln den Übergang zwischen den rechtwinkligen Koordinaten  $x, y, z, t; u, v, w, s$  und den Tetraederkoordinaten  $y_k, v_k$ , die einerseits in §§ 1–23 und anderseits in §§ 24–34 als Grundlage dienen.

**2. Polarverwandtschaft in rechtwinkligen Koordinaten.** Durch Verbindung der Formeln (2) und (3) mit § 29, (3) entstehen die in § 8, (23) angegebenen Beziehungen zwischen den rechtwinkligen Koordinaten von Pol und Polarebene in bezug auf die Raumkurve 3. O.

**3. Die konjugierte der unendlich fernen Ebene.** Die unendlich ferne Ebene,  $t = 0$  im rechtwinkligen System, hat nach (1) in Tetraederkoordinaten die Gleichung:

$$(5) \quad ly_2 + my_3 + ny_4 = 0$$

und die Koordinaten:

$$(6) \quad v_1 = 0, v_2 = l, v_3 = m, v_4 = n.$$

Daher sind die Koordinaten der konjugierten Ebene nach § 32, (7'):

$$(7) \quad v_1' = 2l^3, v_2' = 3l^2m, v_3' = 3l(6ln - m^2), v_4' = m(9ln - 2m^2).$$

Die zur unendlich fernen Ebene konjugierte hat in Tetraederkoordinaten die Gleichung:

$$(8) \quad l^3y_1 + \frac{3}{2}l^2my_2 + 3l(3ln - \frac{1}{2}m^2)y_3 + m(\frac{3}{2}ln - m^2)y_4 = 0.$$

Setzt man die Werte (7) unter Weglassung der Akzente in (2) ein, so folgt für die rechtwinkligen Koordinaten der zur unendlich fernen Ebene konjugierten:

$$(9) \begin{cases} u = 2bcl^3n, v = -2cl(a'l^3n + am(3ln - m^2)), \\ w = 2(a'b' - a''b)l^3n + 6ab'l^2mn + 6abln(3ln - 2m^2) - 2a(b'l - bm)m^3, \\ s = abcm(9ln - 2m^2). \end{cases}$$

Für die vier Arten der Raumkurve § 6, (18) ergibt sich hieraus mit:

$$l = 1, m = 0, n = \varepsilon e^3 : u = 2bce^2, v = -2a'ce^2, w = 2(a'b' - a''b)e^2 + 18ab\varepsilon e^4, s = 0;$$

$$l = 0, m = 1, n = -e : u = 0, v = 0, w = 2ab, s = -2abc;$$

$$l = 0, m = 0, n = 1 : u = 0, v = 0, w = 0, s = 0.$$

Die zur unendlich fernen Ebene konjugierte ist bei der kub. Ellipse ( $\varepsilon = 1$ ) und Hyperbel ( $\varepsilon = -1$ ):

$$(10) \quad c(bx - a'y) + (a'b' - a''b + 9ab\varepsilon e^2)s = 0;$$

bei der kub. hyperbolischen Parabel:

$$(11). \quad z - ct = 0;$$

bei der kub. Parabel unbestimmt.

Die Ebene (11) ist die *Schmiegungeebene* der kub. hyperbolischen Parabel § 7, (27) im doppelt zählenden unendlich fernen Punkte  $\lambda = \infty$ , da die unendlich ferne Ebene Tangentialebene in diesem Punkte ist (§ 32, 6, III).

Bei der kub. Parabel sind der unendlich fernen Ebene, der Schmiegungeebene im Punkte  $\lambda = \infty$ , nach § 32, 6, III alle Tangentialebenen im Punkte  $\lambda = \infty$  konjugiert, also nach § 24, (29) die Ebenen:

$$(12) \quad y_3 - \lambda_0 y_4 = 0$$

oder nach (3) bei beliebigem  $\lambda_0$  (§ 8, (39)):

$$(13) \quad z - c\lambda_0 t = 0.$$

**4. Die Scheitelpunkte der Raumkurve.** Die drei in der unendlich fernen Ebene liegenden Kurvenpunkte haben für die drei ersten Arten nach § 6, (19) die Parameter:

$$(14) \quad \lambda_1 = \infty, \lambda_2 = ei, \lambda_3 = -ei; \lambda_1 = \infty, \lambda_2 = e, \lambda_3 = -e; \\ \lambda_1 = \lambda_2 = \infty, \lambda_3 = e.$$

Für die Schnittpunkte mit der konjugierten Ebene ist daher nach § 33, (16); (17):

$$(15) \quad \lambda_1' = 0, \lambda_2' = -3ei, \lambda_3' = 3ei; \lambda_1' = 0, \lambda_2' = -3e, \lambda_3' = 3e; \\ \lambda_1' = \lambda_2' = \lambda_3' = \infty.$$

Bei der kub. Parabel, wo  $\lambda_1 = \lambda_2 = \lambda_3 = \infty$  und nach § 33, (18)  $\lambda_1' = \lambda_2' = \lambda_3'$  unbestimmt wird, tritt dafür nach (13) bei beliebigem  $\lambda_0$  ein:

$$(15') \quad \lambda_1' = \lambda_2' = \infty, \lambda_3' = \lambda_0.$$

Daraus folgt nach § 11, 2; 3:

Die reellen endlichen Schnittpunkte der zur unendlich fernen Ebene konjugierten Ebene mit der Raumkurve sind deren Scheitelpunkte.

*Die kub. Ellipse hat einen Scheitelpunkt  $\lambda = 0$ , die kub. Hyperbel drei  $\lambda = 0, -3e, 3e$ , die kub. hyperbolische Parabel keinen, die kub. Parabel alle ihre Punkte  $\lambda_0$  als Scheitelpunkte.*

**5. Die Ebene des Mittelpunktskegelschnittes.** Die Pole einer festen Ebene in bezug auf alle Achsenkegelschnitte  $\lambda$  bilden nach § 32, 10 den Polkegelschnitt der Ebene. Der Polkegelschnitt der unendlich fernen Ebene ist daher der Ort der Mittelpunkte aller Achsenkegelschnitte, der in § 10, (19) eingeführte Mittelpunktskegelschnitt der Raumkurve. Aus § 32, 11 folgt alsdann:

*Der Mittelpunktskegelschnitt der Raumkurve liegt in der zur unendlich fernen Ebene konjugierten Ebene (vgl. (10); (11); (13) mit § 10, (25); (29)); (30).<sup>1)</sup>*

*Überhaupt liegen die Mittelpunkte aller Flächen der Scharschar § 10, (43) in dieser Ebene.<sup>2)</sup>*

Denn die Elimination von  $x, \varrho, \sigma, \tau$  aus den Gleichungen § 10, (19):

$$xx = b_{11}, \quad xy = b_{21}, \quad xz = b_{31}, \quad xt = b_{41}$$

gibt dasselbe Resultat, gleichviel ob in den Werten § 10, (44) der  $b_{11}$  die Parameter  $\varrho, \sigma, \tau$  ganz beliebig gelassen oder gleich  $\lambda^2, \lambda, 1$  (§ 10, (6)) genommen werden, nämlich die Gleichung der Ebene (9) (vgl. § 32, 1, (4')).

**6. Die Durchmesser der Raumkurve.** Wie nach § 34, 3 an jede gegebene Ebene, so lehnen sich auch an die unendlich ferne Ebene drei Schmiegungstetraeder an. Da deren Kanten  $P_3P_1$  unendlich fern werden, geht die harmonische Teilung der Sehnen, welche die Kanten  $P_3P_1$  und  $P_2P_4$  nach § 34, 4, III schneiden, in Halbierung durch die Kante  $P_2P_4$  über.

*Die im Endlichen liegende Kante  $P_2P_4$  eines Schmiegungstetraeders, das sich mit der Kante  $P_3P_1$  an die unendlich ferne Ebene anlehnt, halbiert alle die beiden Kanten schneidenden Sehnen der Kurve, ist also ein „Durchmesser“ der Kurve.*

Die so sich ergebenden Durchmesser der Kurve liegen in der zur unendlich fernen Ebene  $\Pi$  konjugierten Ebene  $\Pi'$  und sind nach § 34, 4, II die Verbindungslinien des Poles  $P'$  der Ebene  $\Pi'$  mit den

1) Cremona, Ann. di mat. 1 (1858), S. 288; 2 (1859), S. 22.

2) Reye, Hamburger Mitteil. 2 (1890), S. 54.

in ihr liegenden Kurvenpunkten, also nach 4, soweit diese endlich und reell sind, den Scheitelpunkten der Kurve.

Bei der kub. Ellipse gibt es daher einen solchen „*Scheiteldurchmesser*“, bei der kub. Hyperbel drei (§ 11, 8).

Bei der *kub. hyperbol. Parabel* lehnt sich nach § 34, 5, I nur ein Schmiegungstetraeder an die unendlich ferne Ebene  $\Pi$  und ihre konjugierte  $\Pi'$  an, für welches  $\Pi$  und  $\Pi'$  selbst die Seitenflächen  $\Pi_3$  und  $\Pi_1$  und der doppelt zählende unendlich ferne Punkt  $\lambda = \infty$  der Kurve die Hauptecke  $P_4$  und der einfach zählende  $\lambda = e$  die Hauptecke  $P_1$  ist. Die Kante  $P_3P_4$  ist der Durchmesser, der diesem Schmiegungstetraeder entspricht (Fig. 50, S. 170). Er ist aber mangels eines Scheitelpunktes *kein Scheiteldurchmesser* (§ 11, 8; 9).

Bei der kub. Parabel gibt es nach § 34, 5, II unendlich viele Schmiegungstetraeder, die sich an die unendlich ferne Ebene anlehnen und durch den unendlich fernen Punkt  $\lambda = \infty$  als Hauptecke  $P_1$  und je einen beliebigen endlichen Kurvenpunkt  $\lambda = \lambda_0$  als Hauptecke  $P_4$  bestimmt sind. Zu jedem gehört eine Kante  $P_3P_4$  als *Scheiteldurchmesser* (§ 11, 8).

**7. Gleichungen der Scheiteldurchmesser in Tetraederkoordinaten.** Die unendlich ferne Ebene  $\Pi$  und ihre konjugierte  $\Pi'$  sind durch die Gleichungen (5) und (8) dargestellt; ihre Pole  $P$  und  $P'$  haben nach § 29, (3') die Koordinaten:

$$(16) \quad P: 3n, -m, l, 0; \quad P': -m(9ln - 2m^2), l(6ln - m^2), -l^2m, 2l^3.$$

Für die *kub. Ellipse* ( $l = 1, m = 0, n = e^2$ ) wird aus (5), (8), (16):

$$(17) \quad \Pi: y_2 + e^2 y_4 = 0; \quad \Pi': y_1 + 9e^2 y_3 = 0; \quad P: 3e^2, 0, 1, 0; \quad P': 0, 3e^2, 0, 1.$$

Dem einzigen unendlich fernen Punkte  $\beta_1 = \infty$  entspricht nach (15) der Scheitelpunkt  $\alpha_1 = 0$ , und daher nach § 34, (7) *der Scheiteldurchmesser*:

$$(18) \quad y_1 = 0, \quad y_3 = 0.$$

Für die *kub. Hyperbel* ( $l = 1, m = 0, n = -e^2$ ) wird ebenso:

$$(19) \quad \Pi: y_2 - e^2 y_4 = 0; \quad \Pi': y_1 - 9e^2 y_3 = 0; \quad P: 3e^2, 0, -1, 0; \quad P': 0, 3e^2, 0, -1.$$

Den unendlich fernen Punkten  $\beta_1 = \infty, \beta_2 = e, \beta_3 = -e$  entsprechen nach (15) die Scheitelpunkte  $\alpha_1 = 0, \alpha_2 = -3e, \alpha_3 = 3e$ , und daher nach § 34, (7) *die drei Scheiteldurchmesser*:

$$(20) \quad y_1 = 0, \quad y_3 = 0; \quad y_1 - 9e^2 y_3 = 0, \quad y_2 + 4\epsilon e y_3 + 3e^2 y_4 = 0 \quad (\epsilon = 1, -1).$$

Sie liegen alle drei in der Ebene  $\Pi'$  und gehen alle drei durch deren Pol  $P'$  in (19).

Für die *kub. hyperbol. Parabel* ( $l = 0, m = 1, n = -e$ ) wird:

$$(21) \quad II: y_3 - ey_4 = 0; \quad II': y_4 = 0; \quad P: 3e, 1, 0, 0; \quad P': 1, 0, 0, 0.$$

Dem unendlich fernen Punkte  $\beta_1 = e$  entspricht nach (15) der Punkt  $\alpha_1 = \infty$ , und daher nach § 34, (7) der *Durchmesser*:

$$(22) \quad y_4 = 0, \quad y_3 - 2ey_3 = 0.$$

Für die *kub. Parabel* ( $l = 0, m = 0, n = 1$ ) wird nach (5); (12); § 29, (3):

$$(23) \quad II: y_4 = 0; \quad II': y_3 - \lambda_0 y_4 = 0; \quad P = 1, 0, 0, 0; \quad P' = 3\lambda_0, 1, 0, 0.$$

Der dem Schmiegungetetraeder  $\beta_1 = \infty, \alpha_1 = \lambda_0$  in (15') entsprechende *Durchmesser*  $P, P_4$  hat nach § 34, (7) die Gleichungen:

$$(24) \quad y_3 - \lambda_0 y_4 = 0, \quad y_1 - 3\lambda_0 y_3 + 2\lambda_0^2 y_3 = 0.$$

**8. Gleichungen der Scheiteldurchmesser im rechtwinkligen System.** Mittels der Formeln (3) können wir endlich auf das rechtwinklige System der Parameterdarstellung § 7, (1) zurückgehen. Die unendlich ferne Ebene  $II$  erhält dann die Gleichung  $t = 0$ , ihre konjugierte  $II'$  die Gleichungen (10), (11) oder (13).

*Der Scheiteldurchmesser (18) der kub. Ellipse* wird dann:

$$(25) \quad bx - a'y = 0, \quad z = 0,$$

und die Pole (17) der Ebenen  $II$  und  $II'$  erhalten nach (1) die Koordinaten:

$$(26) \quad \begin{aligned} P: x &= 3ae^2 + a'', \quad y = b', \quad z = c, \quad t = 0; \\ P': x &= \frac{3}{4}a', \quad y = \frac{3}{4}b, \quad z = 0, \quad t = 1. \end{aligned}$$

*Die drei Scheiteldurchmesser (20) der kub. Hyperbel* werden:

$$(27) \quad \begin{cases} bx - a'y = 0; \\ z = 0; \end{cases} \quad (28) \quad \begin{cases} c(bx - a'y) - (9abe^2 - a'b' + a''b)z = 0, \\ 4cy + 4(\epsilon be - b')z - 3bct = 0, \end{cases}$$

$\epsilon = \pm 1$ , und die Pole der Ebenen  $II$  und  $II'$ :

$$(29) \quad \begin{aligned} P: x &= -3ae^2 + a'', \quad y = b', \quad z = c, \quad t = 0; \\ P': x &= \frac{3}{4}a', \quad y = \frac{3}{4}b, \quad z = 0, \quad t = 1. \end{aligned}$$

Die drei Durchmesser liegen in der Ebene (10) und gehen durch den Punkt  $P'$  in (29), den *Mittelpunkt* der Kurve (§ 19, (5)).

*Der Durchmesser (22) der kub. hyperbol. Parabel* wird:

$$(30) \quad y - (2be + b')t = 0, \quad z - ct = 0,$$

die *Mittelpunktsachse* des hyperbol. Zylinders (§ 11, (41)).

Endlich ergibt sich für den durch *den Punkt*  $\lambda_0$  *gehenden Scheiteldurchmesser* (24) *der kub. Parabel* in Übereinstimmung mit § 23, (12):  
 (31)  $z - c\lambda_0 t = 0, b c x - (3 a \lambda_0 + a') c y + (2 a b \lambda_0^2 + 3 a b' \lambda_0 + a' b' - a'' b) z = 0.$

### III. Kapitel.

## Erzeugung und Beziehung zwischen Punkten der Raumkurve 3. Ordnung.

### § 36. Erzeugung der Raumkurve 3. Ordnung durch projektive Büschel und Bündel.

1. **Drei projektive Ebenenbüschel.** Es seien:

$$(1) \quad \begin{cases} L - \sum_1^4 u_k x_k = 0, \\ L' - \sum_1^4 u'_k x_k = 0; \end{cases} \quad \begin{cases} M - \sum_1^4 v_k x_k = 0, \\ M' - \sum_1^4 v'_k x_k = 0; \end{cases} \quad \begin{cases} N - \sum_1^4 w_k x_k = 0, \\ N' - \sum_1^4 w'_k x_k = 0 \end{cases}$$

die Gleichungen von drei mal zwei Ebenen. Dann stellen die Gleichungen:

$$(2) \quad L - tL' = 0, \quad M - tM' = 0, \quad N - tN' = 0$$

mit einem Parameter  $t$  *drei projektive Ebenenbüschel* dar (I § 66, 4). Bezeichnet man für die Matrix der Koeffizienten der Gleichungen (2):

$$(3) \quad T = \begin{vmatrix} u_1 - tu'_1 & u_2 - tu'_2 & u_3 - tu'_3 & u_4 - tu'_4 \\ v_1 - tv'_1 & v_2 - tv'_2 & v_3 - tv'_3 & v_4 - tv'_4 \\ w_1 - tw'_1 & w_2 - tw'_2 & w_3 - tw'_3 & w_4 - tw'_4 \end{vmatrix}$$

die Unterdeterminanten, die durch Streichung der 1., 2., 3. oder 4. Kolonne und Zufügung abwechselnder Vorzeichen  $+, -, +, -$  entstehen, mit  $T_1, T_2, T_3, T_4$ , so gibt die Auflösung der Gleichungen (2) nach  $x_k$  (I Anm. 2, III, (14)):

$$(4) \quad x_1 : x_2 : x_3 : x_4 = T_1 : T_2 : T_3 : T_4.$$

Dabei ist allgemein  $T_k$  eine ganze Funktion 3. Grades von  $t$ , etwa:

$$(5) \quad T_k = a_{k1} t^3 + a_{k2} t^2 + a_{k3} t + a_{k4}.$$

Setzen wir daher:

$$(6) \quad A = |a_{ki}| \neq 0$$

voraus, so ergibt sich nach § 24, (1) unter Hinzufügung des dualen Satzes:

*Der Ort der Schnittpunkte entsprechender Ebenen dreier projektiven Ebenenbüschel ist eine Raumkurve 3. O.<sup>1)</sup>* | *Die Verbindungsebenen entsprechender Punkte dreier projektiven Punktreihen bilden einen Ebenenbüschel 3. O.<sup>2)</sup>*

**2. Bedeutung der Bedingung  $A \neq 0$ .** Sollten die drei Ebenen (2) für einen Wert  $t$  mehr als einen Punkt gemein haben, etwa eine gerade Linie, so müßte mit drei Faktoren  $\lambda, \mu, \nu$ , die nicht sämtlich verschwinden, identisch in  $x_k$  sein:

$$(7) \quad \lambda(L - tL') + \mu(M - tM') + \nu(N - tN') = 0$$

also für  $k = 1, 2, 3, 4$ :

$$(8) \quad \lambda(u_k - tu_k') + \mu(v_k - tv_k') + \nu(w_k - tw_k') = 0.$$

Dazu müßten aber die vier Unterdeterminanten (5) für dieses  $t$  alle verschwinden, was nach (6) nicht möglich.

*Die Bedingung (6) bewirkt, daß entsprechende Ebenen der drei Büschel (2) niemals mehr als einen Punkt gemein haben.<sup>3)</sup>*

**3. Zwei projektive Ebenenbündel.** Durch die sechs Ebenen (1) werden andererseits zwei projektive Ebenenbündel:

$$(9) \quad \begin{cases} \lambda L + \mu M + \nu N = 0, \\ \lambda L' + \mu M' + \nu N' = 0, \end{cases}$$

bestimmt (I § 68, 1), die keine Ebene entsprechend gemein haben. Sonst müßte für diese Ebene  $\lambda, \mu, \nu$  eine Identität von der Form:

$$(10) \quad (\lambda L + \mu M + \nu N) - t(\lambda L' + \mu M' + \nu N') = 0$$

bestehen, was mit (7) übereinkäme und nach (6) nicht möglich ist.

Je zwei entsprechende Ebenen haben daher eine Gerade gemein.

*Die Schnittlinien entsprechender Ebenen zweier projektiven Ebenenbündel bilden eine Strahlenkongruenz.*

Die Achsenkoordinaten  $q_k$  ( $k = 1, 2, \dots, 6$ ) der Linien der Kongruenz sind die Unterdeterminanten der Matrix:

$$(11) \quad \begin{vmatrix} \lambda u_1 + \mu v_1 + \nu w_1 & \lambda u_2 + \mu v_2 + \nu w_2 & \lambda u_3 + \mu v_3 + \nu w_3 & \lambda u_4 + \mu v_4 + \nu w_4 \\ \lambda u_1' + \mu v_1' + \nu w_1' & \lambda u_2' + \mu v_2' + \nu w_2' & \lambda u_3' + \mu v_3' + \nu w_3' & \lambda u_4' + \mu v_4' + \nu w_4' \end{vmatrix},$$

sind also rational in den beiden Parametern  $\lambda : \mu : \nu$ .

1) M. Chasles, J. de Math. (2) 2 (1857), S. 402 (Nr. 27). H. Schröter, J. f. Math. 56 (1859), S. 36.

2) Schröter, ebd. S. 30.

3) v. Staudt, Beitr. (1860), S. 304.

4. Zwei projektive Strahlbündel. Durch die sechs Ebenen (1) sind ferner zwei projektive Strahlbündel:

$$(12) \quad \begin{cases} L:M:N = \lambda:\mu:\nu, \\ L':M':N' = \lambda:\mu:\nu, \end{cases}$$

bestimmt (I § 68, 2), mit gleichen Zentren, wie die Ebenenbündel (9).

Zwei entsprechende Strahlen der beiden Bündel (12) werden sich im allgemeinen nicht schneiden. Gibt es aber für geeignetes  $\lambda:\mu:\nu$  einen Punkt, der beiden Gleichungen (12) genügt, so muß für diesen:

$$(13) \quad L:M:N = L':M':N'$$

oder mit einem Faktor  $t$ :

$$(14) \quad L - tL' = 0, \quad M - tM' = 0, \quad N - tN' = 0.$$

Diesen Gleichungen genügt aber nach (2) nur ein Punkt, der die Koordinaten (4) hat. Die Strahlbündel können keinen Strahl entsprechend gemein haben.

<p><i>Der Ort der Schnittpunkte sich schneidender entsprechenden Strahlen zweier projektiven Strahlbündel ist eine Raumkurve 3. O.<sup>1)</sup></i></p>	<p><i>Die Verbindungsebenen sich schneidender entsprechenden Strahlen zweier projektiven Strahlfelder bilden einen Ebenenbüschel 3. O.<sup>2)</sup></i></p>
---	---

5. Die Scheitelpunkte der beiden Bündel. Die Scheitelpunkte  $S$  und  $S'$ :

$$(15) \quad L = 0, M = 0, N = 0; \quad L' = 0, M' = 0, N' = 0$$

der Bündel (9) oder (12) sind, mit den Werten  $t = 0$  und  $t = \infty$ , Schnittpunkte entsprechender Ebenen der drei projektiven Ebenenbüschel (2) und (14).

Daher sind die Scheitel  $S$  und  $S'$  der beiden Bündel (9) oder (12) selbst Punkte der Raumkurve<sup>1)</sup> (vgl. § 30, 5).

6. Die Achsen der drei Büschel. Die Achsen  $l, m, n$  der drei Ebenenbüschel (2):

$$(16) \quad L = 0, L' = 0; \quad M = 0, M' = 0; \quad N = 0, N' = 0$$

sind, mit den Wertsystemen  $\lambda, \mu, \nu = 1, 0, 0; 0, 1, 0; 0, 0, 1$ , Schnittlinien entsprechender Ebenen der Bündel (9).

Daher sind die Achsen  $l, m, n$  der drei Büschel (2) Strahlen der Kongruenz (11) der beiden Ebenenbündel (9).

1) Fr. Seydewitz, Arch. Math. Phys. 10 (1847), S. 205.

2) H. Schröter, J. f. Math. 56 (1859), S. 38.



**7. Die Kongruenz der Sehnen.** Jeder Punkt der Raumkurve ist, einem Werte  $t$  entsprechend, durch die drei Gleichungen (2) bestimmt. Da in jeder Ebene drei Punkte der Kurve liegen, muß dies auch von der Ebene:

$$(17) \quad \lambda L + \mu M + \nu N = 0$$

gelten. In der Tat ist die Bedingung, daß die vier Ebenen (2) und (17) durch einen Punkt gehen (I § 61, 3) in  $t$  vom 3. Grade. Sie muß aber die Wurzel  $t = 0$  haben, da für  $t = 0$  die Gleichung (17) eine Folge der Gleichungen (2) ist. Es tritt also noch für zwei andere Werte  $t_1$  und  $t_2$  ein, daß der Schnittpunkt der drei Ebenen (2) auf (17) liegt. Durch Multiplikation der Gleichungen (2) mit  $\lambda, \mu, \nu$  und Addition folgt aber wegen (17):

$$(18) \quad t(\lambda L' + \mu M' + \nu N') = 0.$$

Für die beiden von  $t = 0$  verschiedenen Werte  $t_1$  und  $t_2$ , für die der Schnittpunkt von (2) auf (17) liegt, liegt er also auch auf:

$$(19) \quad \lambda L' + \mu M' + \nu N' = 0,$$

also auf der Schnittlinie (9) der beiden Ebenen (17) und (19). Ebenso schließt man umgekehrt von (2) und (19) auf (17), wo dann  $t = \infty$  einer der drei Punkte ist. Also liegen auf jedem Strahle  $\lambda, \mu, \nu$  der Kongruenz (11) zwei Punkte der Kurve (2).

I. *Jeder Strahl der von den Ebenenbüscheln (9) erzeugten Kongruenz ist eine Sehne der von den Ebenenbüscheln (2) erzeugten Raumkurve 3. O.<sup>1)</sup>*

II. *Nach 6 sind daher auch die Achsen der drei Ebenenbüschel (2) Sehnen der Kurve.*

Umgekehrt können die Parameter  $\lambda:\mu:\nu$  der Ebene (17), die durch den Punkt  $S$  der Kurve in (15) geht, so bestimmt werden, daß die Ebene (17) durch zwei weitere Punkte  $t_1$  und  $t_2$  der Kurve geht. Durch diese geht dann, wie vorhin, auch die Ebene (19), also:

III. *Jede Sehne der von den Ebenenbüscheln (2) erzeugten Raumkurve ist ein Strahl der von den Ebenenbüscheln (9) erzeugten Kongruenz.*

**8. Die drei durch die Ebenenbüschel erzeugten Linienflächen.** Je zwei von den drei projektiven Ebenenbüscheln (2) erzeugen durch die Schnittlinien entsprechender Ebenen eine *Linienfläche 2. O.* Die Gleichungen der drei so entstehenden Flächen sind:

$$(20) \quad f = MN' - NM' = 0, \quad g = NL' - LN' = 0, \quad h = LM' - ML' = 0.$$

1) Schröter, Oberfl. 2. O. (1880), S. 440.

Umgekehrt folgen aus dem gleichzeitigen Bestehen der drei Gleichungen (20) die Proportion:

$$(21) \quad L:M:N = L':M':N'$$

oder mit einem Proportionalitätsfaktor  $t$  die Gleichungen (2). Daher ergibt sich mit Rücksicht auf 1:

*Die Raumkurve 3. O., die durch die drei Ebenenbüschel (1) erzeugt wird, liegt auf jeder der drei Linienflächen 2. O. (20); und umgekehrt gehört jeder Punkt, der auf jeder der drei Flächen (20) liegt, der Raumkurve an (vgl. den Spezialfall § 24, 11).*

**9. Gemeinsame Erzeugende je zweier Linienflächen.** Aus der Darstellung (16) der Achsen  $l, m, n$  geht hervor:

*Je zwei der drei Linienflächen (20) haben eine der drei Achsen  $l, m, n$  der Ebenenbüschel (2) gemein, die nach 7, II Sehnen der Raumkurve sind.*

Infolge der Identitäten:

$$(22) \quad Lf + Mg + Nh = 0, \quad L'f + M'g + N'h = 0$$

genügt jeder *gemeinsame Punkt* der Flächen  $g$  und  $h$  den beiden Gleichungen:

$$(23) \quad Lf = 0, \quad L'f = 0.$$

Liegt ein solcher Punkt nicht auf der Achse  $l$  in (16), so liegt er auf der Fläche  $f$ , also nach 8 auf der Raumkurve. Liegt er aber auf der Achse  $l$ , die den beiden Flächen  $g$  und  $h$  gemeinsam ist, so kann er nur dann auf  $f$  liegen, wenn er einer der beiden Schnittpunkte der Achse  $l$  mit der Fläche  $f$  und damit, als Punkt der Raumkurve, einer der Endpunkte der Sehne  $l$  ist.

*Die Raumkurve 3. O., die durch die drei Ebenenbüschel (2) erzeugt wird, bildet zusammen mit der Achse eines der drei Ebenenbüschel (2) den vollständigen Durchschnitt der beiden Linienflächen, die dieses Ebenenbüschel mit je einem der beiden andern erzeugt.*

**10. Die Erzeugenden eines Hyperboloides.** Die beiden Regelscharen der Linienfläche  $f = 0$  sind, falls diese eine eigentliche Linienfläche 2. O. ist, mit den Parametern  $t$  und  $\mu : \nu$  (II § 159, 5):

$$(24) \quad \begin{cases} M - tM' = 0, \\ N - tN' = 0; \end{cases} \quad (25) \quad \begin{cases} \mu M + \nu N = 0, \\ \mu M' + \nu N' = 0. \end{cases}$$

Die *erste Schar* (24) besteht aus den Schnittlinien entsprechender Ebenen der beiden letzten Ebenenbüschel (2). Eine solche Schnittlinie enthält nur einen Punkt der Raumkurve, den Schnittpunkt der

Linie mit der Ebene  $t$  des ersten Büschels (2). Die drei Ebenen  $t$  in (2) haben nämlich nach 2 nie mehr als einen Schnittpunkt.

Die *zweite Schar* (25) besteht aus Strahlen den Kongruenz (11), in denen sich entsprechende Ebenen  $0, \mu, \nu$  der Ebenenbündel (9) schneiden, also nach 7 aus Sehnen.

*Eine Erzeugende einer eigentlichen Fläche  $f, g$  oder  $h$  in (20) ist Trefflinie oder Sehne, je nachdem sie der Regelschar zweier Ebenenbüschel (2) oder der Linienkongruenz der Ebenenbündel (9) angehört.*

**11. Die Erzeugenden eines Kegels.** Ist die Fläche  $f$ , etwa mit  $N = M'$ , ein Kegel:

$$(26) \quad MN' - N^2 = 0,$$

so liegt die Spitze:

$$(27) \quad S: M = 0, N' = 0, M' = N = 0$$

auf allen drei Flächen (20), also auf der Raumkurve. Die Erzeugenden des Kegels werden unter Zusammenfall von (24) und (25) mit  $\nu : \mu = -t$ :

$$(28) \quad M - tM' = 0, M' - tN' = 0 \quad (M - tN = 0, N - tN' = 0).$$

Sie gehen alle durch den Punkt  $S$  der Raumkurve und werden außerdem von der 1. Ebene (2) in einem Punkte der Raumkurve geschnitten (der nur für die durch  $S$  gehende Ebene des 1. Büschels (2) in  $S$  fällt).

*Eine Erzeugende einer Kegelfläche  $f, g$  oder  $h$  in (20) ist stets Sehne, deren einer Endpunkt in die Spitze des Kegels fällt.*

**12. Flächenbündel der Raumkurve.** Da die Raumkurve auf jeder der drei Flächen (20) liegt, so liegt sie auch auf jeder Fläche des Bündels:

$$(29) \quad \varrho f + \sigma g + \tau h = 0$$

bei willkürlichen Werten von  $\varrho : \sigma : \tau$ .

Liegt nun ein den beiden Flächen:

$$(30) \quad \varrho f + \sigma g + \tau h = 0, \varrho' f + \sigma' g + \tau' h = 0$$

angehöriger Punkt nicht auf der Raumkurve, so daß für ihn nicht gleichzeitig die drei Gleichungen (20) bestehen, so ist für ihn:

$$(31) \quad f : g : h = \sigma\tau' - \tau\sigma' : \tau\varrho' - \varrho\tau' : \varrho\sigma' - \sigma\varrho' = \lambda : \mu : \nu,$$

wo  $\lambda, \mu, \nu$  zur Abkürzung eingeführt werden, und daher nach (22) auch:

$$(32) \quad \lambda L + \mu M + \nu N = 0, \lambda L' + \mu M' + \nu N' = 0.$$

Der Punkt liegt also auf einer Linie der Kongruenz (11) oder:

Irgend zwei Flächen des Bündels (29) haben außer der Raumkurve stets noch eine Sehne der Raumkurve gemein (§ 31, 5, II).

### § 37. Beziehung zwischen sieben Punkten der Raumkurve 3. Ordnung.

1. Bestimmung der Raumkurve durch sechs Punkte. Die Raumkurve 3. O. ist durch sechs Punkte, von denen keine vier in einer Ebene liegen, bestimmt.<sup>1)</sup>

Denn sind 1, 2, 3, 4, 5, 6 sechs gegebene Punkte im Raume, so bestimmen die fünf Strahlen 12, 13, 14, 15, 16 einen Kegel 2. O. mit der Spitze 1 und die fünf Strahlen 21, 23, 24, 25, 26 einen Kegel 2. O. mit der Spitze 2. Beide Kegel haben die Erzeugende 12 gemein. Ihr übriger Durchschnitt ist eine Raumkurve 3. O., die durch die sechs gegebenen Punkte geht.

Zwischen sieben Punkten einer Raumkurve wird daher bereits eine Beziehung bestehen.

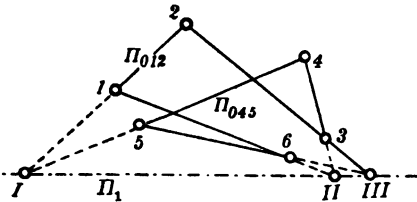


Fig. 53.

2. Der Pascalsche Satz für den Sehnenkegel. Irgend sieben Punkte der Raumkurve seien mit 0, 1, 2, 3, 4, 5, 6, bezeichnet. Die sechs Strahlen 01, 02, 03, 04, 05, 06 gehören dem Sehnenkegel des Punktes 0 an und bilden daher, wie sechs Strahlen eines jeden Kegels 2. O., eine *Pascalsche sechskantige Pyramide*. Die drei Schnittlinien je zweier Gegenebenen der Pyramide:

$$(1) \quad 012 \times 045 = I, \quad 034 \times 061 = II, \quad 056 \times 023 = III$$

(Fig. 53 im Durchschnitt) liegen in einer Ebene  $\Pi_1$ , die durch die Spitze 0 des Kegels geht, der „Pascalschen Ebene“ der Pyramide.

Die Gleichungen der Seitenebenen der Pyramide sind nach § 24, (28):

$$(2) \quad \begin{cases} \Pi_{012} = (y_1 - \lambda_0 y_2) - (\lambda_1 + \lambda_2)(y_2 - \lambda_0 y_3) + \lambda_1 \lambda_2 (y_3 - \lambda_0 y_4) = 0, \\ \Pi_{045} = (y_1 - \lambda_0 y_2) - (\lambda_4 + \lambda_5)(y_2 - \lambda_0 y_3) + \lambda_4 \lambda_5 (y_3 - \lambda_0 y_4) = 0, \quad \dots, \end{cases}$$

wo die  $\lambda$  die Parameter der gleichnamigen Punkte der Kurve sind.

Setzt man nun (II § 37, (4)):

$$(3) \quad \begin{cases} \varrho_1 = (\lambda_3 - \lambda_5)(\lambda_4 - \lambda_6), & \varrho_1' = (\lambda_1 - \lambda_3)(\lambda_6 - \lambda_2), \\ \varrho_2 = (\lambda_5 - \lambda_1)(\lambda_6 - \lambda_2), & \varrho_2' = (\lambda_3 - \lambda_5)(\lambda_2 - \lambda_4), \\ \varrho_3 = (\lambda_1 - \lambda_3)(\lambda_2 - \lambda_4), & \varrho_3' = (\lambda_5 - \lambda_1)(\lambda_4 - \lambda_6), \end{cases}$$

1) M. Chasles, Aperçu hist. (1837), S. 403 (Note 33, (1)); Fr. Seydewitz, Arch. Math. Phys. 10 (1847), S. 211.

und führt ferner die Abkürzungen ein (II § 52, (19)):

$$(4) \quad \begin{cases} L_1 = \lambda_1 \lambda_4 + \lambda_3 \lambda_6 + \lambda_5 \lambda_2, & L_2 = \lambda_3 \lambda_5 \lambda_4 + \lambda_5 \lambda_1 \lambda_6 + \lambda_1 \lambda_3 \lambda_2, \\ M_1 = \lambda_1 \lambda_6 + \lambda_3 \lambda_2 + \lambda_5 \lambda_4, & M_2 = \lambda_3 \lambda_5 \lambda_6 + \lambda_5 \lambda_1 \lambda_2 + \lambda_1 \lambda_3 \lambda_4, \\ N_1 = \lambda_1 \lambda_2 + \lambda_3 \lambda_4 + \lambda_5 \lambda_6; & N_2 = \lambda_3 \lambda_5 \lambda_2 + \lambda_5 \lambda_1 \lambda_4 + \lambda_1 \lambda_3 \lambda_6; \end{cases}$$

$$(4) \quad \begin{cases} L_3 = \lambda_1 \lambda_6 \lambda_2 + \lambda_3 \lambda_2 \lambda_4 + \lambda_5 \lambda_4 \lambda_6, & L_4 = \lambda_3 \lambda_5 \lambda_6 \lambda_2 + \lambda_5 \lambda_1 \lambda_2 \lambda_4 + \lambda_1 \lambda_3 \lambda_4 \lambda_6, \\ M_3 = \lambda_1 \lambda_2 \lambda_4 + \lambda_3 \lambda_4 \lambda_6 + \lambda_5 \lambda_6 \lambda_2, & M_4 = \lambda_3 \lambda_5 \lambda_2 \lambda_4 + \lambda_5 \lambda_1 \lambda_4 \lambda_6 + \lambda_1 \lambda_3 \lambda_6 \lambda_2, \\ N_3 = \lambda_1 \lambda_4 \lambda_6 + \lambda_3 \lambda_6 \lambda_2 + \lambda_5 \lambda_2 \lambda_4, & N_4 = \lambda_3 \lambda_5 \lambda_4 \lambda_6 + \lambda_5 \lambda_1 \lambda_6 \lambda_2 + \lambda_1 \lambda_3 \lambda_2 \lambda_4, \end{cases}$$

so drückt sich die Eigenschaft der Pascalschen Pyramide in den identischen Gleichungen aus (II § 52, (20)):

$$(5) \quad \begin{cases} \varrho_1 \Pi_{012} - \varrho_1' \Pi_{045} + \Pi_1 = 0, \\ \varrho_2 \Pi_{034} - \varrho_2' \Pi_{061} + \Pi_1 = 0, \\ \varrho_3 \Pi_{056} - \varrho_3' \Pi_{023} + \Pi_1 = 0, \end{cases}$$

worin:

$$(6) \quad \Pi_1 = (M_1 - N_1)(y_1 - \lambda_0 y_2) + (M_2 - N_2 + M_3 - N_3)(y_2 - \lambda_0 y_3) + (M_4 - N_4)(y_3 - \lambda_0 y_4) = 0$$

die Gleichung der Pascalschen Ebene ist.

### 3. Erhaltung einer Sehne bei veränderter Spitze der Pyramide.

Die Ebene (6) schneidet die Kurve:

$$(7) \quad y_1 = \lambda^3, y_2 = \lambda^2, y_3 = \lambda, y_4 = 1$$

außer im Punkte  $\lambda_0$  noch in zwei weiteren Punkten, deren Parameter  $\lambda_1', \lambda_1''$  die Wurzeln der aus (6) mit der Substitution (7) entstehenden quadratischen Gleichung:

$$(8) \quad f_1(\lambda) = (M_1 - N_1)\lambda^2 + (M_2 - N_2 + M_3 - N_3)\lambda + (M_4 - N_4) = 0$$

sind. Da diese aber nicht von  $\lambda_0$ , sondern nach (4) nur von  $\lambda_1, \lambda_2, \dots, \lambda_6$  abhängt, so folgt:

Die Pascalsche Ebene der Pascalschen Pyramide 01, 02, ..., 06 dreht sich, während sich die Spitze  $\lambda_0$  der Pyramide auf der Kurve bewegt, um eine den festen Punkten  $\lambda_1, \lambda_2, \dots, \lambda_6$  eigentümliche Sehne  $\lambda_1' \lambda_1''$ , für die:

$$(9) \quad 1 : -(\lambda_1' + \lambda_1'') : \lambda_1' \lambda_1'' = M_1 - N_1 : M_2 - N_2 + M_3 - N_3 : M_4 - N_4.$$

Wir nennen sie die Cremonasche Sehne des der Raumkurve einbeschriebenen Sechsecks  $\lambda_1 \lambda_2 \lambda_3 \lambda_4 \lambda_5 \lambda_6$ .<sup>1)</sup>

### 4. Involution der Endpunkte dreier Cremonascher Sehnen.

Da bei den Gleichungen (5) nichts darüber vorausgesetzt ist, in wel-

1) Cremona, J. f. Math. 58 (1861), S. 144.

cher Reihenfolge sechs gegebene Punkte der Kurve mit  $\lambda_1, \lambda_2, \dots, \lambda_6$  bezeichnet wurden, so behält die der Kurve 3. O. einbeschriebene Pyramide 01, 02, ..., 06 den Charakter als Pascalsche bei jeder Vertauschung der sechs Kanten bei.

Die einer zyklischen Vertauschung der geraden Kanten 02, 04, 06 entsprechenden Pascalschen Ebenen  $\Pi_1, \Pi_2, \Pi_3$  haben infolge der Bezeichnung (4) neben (6) die Gleichungen:

$$(10) \quad \begin{cases} \Pi_2 = (N_1 - L_1)(y_1 - \lambda_0 y_2) + (N_2 - L_2 + N_3 - L_3)(y_2 - \lambda_0 y_3) \\ \quad + (N_4 - L_4)(y_3 - \lambda_0 y_4) = 0, \\ \Pi_3 = (L_1 - M_1)(y_1 - \lambda_0 y_2) + (L_2 - M_2 + L_3 - M_3)(y_2 - \lambda_0 y_3) \\ \quad + (L_4 - M_4)(y_3 - \lambda_0 y_4) = 0 \end{cases}$$

und gehen zufolge der Identität:

$$(11) \quad \Pi_1 + \Pi_2 + \Pi_3 = 0$$

alle drei durch einen Strahl des Bündels am Punkte  $\lambda_0$  („Steinersche Achse“, II § 52, 11).

Auch für die quadratische Gleichung (8) und die einer zyklischen Vertauschung der  $L, M, N$  entsprechenden besteht die Identität:

$$(12) \quad f_1(\lambda) + f_2(\lambda) + f_3(\lambda) = 0,$$

welche ausdrückt, daß die drei Endpunktpaare  $\lambda_1', \lambda_1''; \lambda_2', \lambda_2''; \lambda_3', \lambda_3''$  der entsprechenden Cremonaschen Sehnen einem Büschel von Punktepaaren angehören, oder was dasselbe ist (II § 8, (53)):

Die Endpunkte der drei Cremonaschen Sehnen, die den drei der Raumkurve einbeschriebenen Sechsecken 123456, 143652, 163254 eigentümlich sind, gehören einer Involution von Kurvenpunkten an.

Die drei Sehnen selbst liegen daher nach § 31, 13 auf demselben durch die Kurve gehenden Hyperboloid.

**5. Eigenschaft von sieben Kurvenpunkten.** Da nach der 1. Gleichung (1) die Ebene 045 die Ebene 012 in der Geraden I schneidet, so trifft die in der Ebene 045 liegende Sehne 45 die Ebene 012 in einem Punkte  $A$  der Geraden I und ebenso die Sehne 12 die Ebene 045 in einem Punkte  $A'$  der Geraden I. Die Punkte  $A = 012 \times 45$  und  $A' = 045 \times 12$  liegen also auf I (Fig. 54). Die entsprechenden Folgerungen knüpfen sich an die 2. und 3. Gleichung (1). Da außerdem die Geraden I, II, III nach 1 in der Ebene  $\Pi_1$  liegen und durch den Punkt 0 gehen, so folgt:

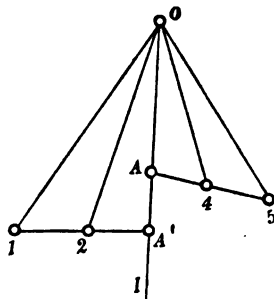


Fig. 54.

I. Sind  $0, 1, \dots, 6$  irgend sieben Punkte der Raumkurve, so bilden die dadurch mitbestimmten Punkte:

$$(13) \quad \begin{cases} A = 012 \times 45, & B = 034 \times 61, & C = 056 \times 23; \\ A' = 045 \times 12, & B' = 061 \times 34, & C' = 023 \times 56 \end{cases}$$

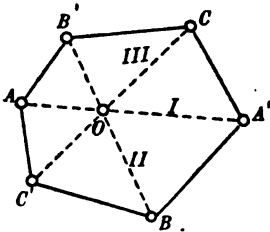


Fig. 55.

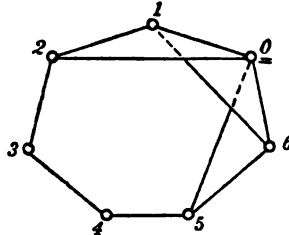


Fig. 56.

ein ebenes Brianschonsches Sechseck<sup>1)</sup> (Fig. 55).

Als Ausschnitt aus diesem Ergebnis heben wir noch hervor:

II. Sind  $0, 1, \dots, 6$  irgend sieben Punkte der Kurve, so liegen die drei Punkte:

$$(14) \quad A = 210 \times 45, \quad B' = 106 \times 34, \quad C = 065 \times 23$$

(Fig. 56), in denen die Ebenen der drei aufeinanderfolgenden Seitenpaare  $21, 10; 10, 06; 06, 65$  des Siebenecks  $01 \dots 6$  von den drei übrigen Seiten  $45, 34, 23$  geschnitten werden, in einer durch den Punkt  $0$  gehenden Ebene  $\Pi_1$ .<sup>2)</sup>

#### 6. Konstruktion der Raumkurve 3. O. aus sechs Punkten.

Durch zweimalige Anwendung des Satzes 5, II auf ein der Kurve einbeschriebenes Siebeneck  $12 \dots 7$  ergibt sich, daß von den Punkten (Fig. 57; 58):

$$(15) \quad 321 \times 56 = B, \quad 217 \times 45 = D, \quad 176 \times 34 = A;$$

$$(16) \quad 176 \times 34 = A, \quad 765 \times 23 = E, \quad 654 \times 12 = C,$$

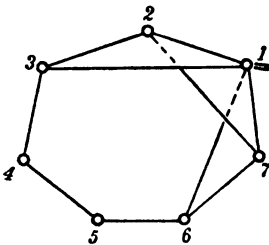


Fig. 57.

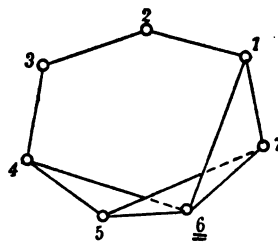


Fig. 58.

die drei ersten,  $B, D, A$ , in einer durch  $1$  gehenden Ebene  $A$  und die drei letzten,  $A, E, C$ , in einer durch  $6$  gehenden Ebene  $B$  liegen.

Sind nun die 6 Punkte  $1, 2, 3, 4, 5, 6$  bekannt, so sind auch die Punkte:

$$(17) \quad B = 123 \times 56, \quad C = 456 \times 12$$

bekannt. Nun liegen in jeder beliebigen Ebene drei Punkte der Kurve, also auch in jeder durch die Sehne  $16$  gehenden Ebene  $\Pi$ , außer  $1$

1) Cremona, J. f. Math. 58 (1861), S. 144.

2) Chasles, Aperçu hist. (1837), S. 404 (Note 33, (3)).

und 6, noch ein unbekannter Punkt 7 der Kurve. Für diese Ebene  $\Pi$  ist dann der Punkt:

$$(18) \quad A = \Pi \times 34 \quad (= 167 \times 34).$$

bekannt und damit auch die Ebenen:

$$(19) \quad A = 1AB, B = 6AC.$$

Da nun  $D$  in  $A$  und auf 45,  $E$  in  $B$  und auf 23 liegt, ist:

$$(20) \quad 1AB \times 45 = D, 6AC \times 23 = E.$$

Da endlich  $D$  auch in 127 und  $E$  in 567 liegt, so liegt 7 auch in 12  $D$  und 56  $E$ , sodaß:

$$(21) \quad 7 = \Pi \times 12 D \times 56 E.$$

Durch Drehung der Ebene  $\Pi$  um 16 erhält man weitere Punkte 7 der Kurve.<sup>1)</sup>

**7. Begriff der Charakteristik eines einbeschriebenen Sechsecks.**  
Alle durch die Raumkurve 3. O. gehenden Flächen gehören nach § 31, (6) dem Bündel:

$$(22) \quad \varrho f + \sigma g + \tau h = 0$$

an, wo  $f, g, h$  die Bedeutung § 31, (5) haben. Soll eine solche Fläche durch zwei Sehnen  $\lambda_1 \lambda_2$  und  $\lambda_3 \lambda_4$  der Raumkurve gehen, müssen  $\varrho : \sigma : \tau$  die Werte § 31, (30) haben.

Daher sind die Gleichungen der drei Hyperboloide des Bündels (22), welche je zwei Gegenseitenpaare:

$$(23) \quad 12 \text{ und } 45, \quad 34 \text{ und } 61, \quad 56 \text{ und } 23$$

eines der Raumkurve einbeschriebenen Sechsecks enthalten:

$$(24) \quad \begin{cases} H_1 = \varrho_1 f + \sigma_1 g + \tau_1 h = 0, & H_2 = \varrho_2 f + \sigma_2 g + \tau_2 h = 0, \\ & H_3 = \varrho_3 f + \sigma_3 g + \tau_3 h = 0, \end{cases}$$

worin:

$$(25) \quad \begin{aligned} \varrho_1 &= \lambda_1 \lambda_2 (\lambda_4 + \lambda_5) - \lambda_4 \lambda_5 (\lambda_1 + \lambda_2), \\ \varrho_2 &= \lambda_3 \lambda_4 (\lambda_6 + \lambda_1) - \lambda_6 \lambda_1 (\lambda_3 + \lambda_4), \\ \varrho_3 &= \lambda_5 \lambda_6 (\lambda_2 + \lambda_3) - \lambda_2 \lambda_3 (\lambda_5 + \lambda_6), \\ \sigma_1 &= \lambda_1 \lambda_2 - \lambda_4 \lambda_5, & \tau_1 &= \lambda_1 + \lambda_2 - \lambda_4 - \lambda_5, \\ \sigma_2 &= \lambda_3 \lambda_4 - \lambda_6 \lambda_1, & \tau_2 &= \lambda_3 + \lambda_4 - \lambda_6 - \lambda_1, \\ \sigma_3 &= \lambda_5 \lambda_6 - \lambda_2 \lambda_3, & \tau_3 &= \lambda_5 + \lambda_6 - \lambda_2 - \lambda_3. \end{aligned}$$

Da aber identisch:

1) Cremona, Ann. di mat. 1 (1858), S. 174.



$$(26) \quad \begin{cases} (\lambda_3 - \lambda_6)\varrho_1 + (\lambda_5 - \lambda_2)\varrho_2 + (\lambda_1 - \lambda_4)\varrho_3 = 0 \\ (\lambda_3 - \lambda_6)\sigma_1 + (\lambda_5 - \lambda_2)\sigma_2 + (\lambda_1 - \lambda_4)\sigma_3 = 0 \\ (\lambda_3 - \lambda_6)\tau_1 + (\lambda_5 - \lambda_2)\tau_2 + (\lambda_1 - \lambda_4)\tau_3 = 0 \end{cases}$$

und damit ebenfalls identisch:

$$(27) \quad (\lambda_3 - \lambda_6)H_1 + (\lambda_5 - \lambda_2)H_2 + (\lambda_1 - \lambda_4)H_3 = 0,$$

so folgt:

Die drei Hyperboloide, welche durch die Raumkurve 3. O. und je ein Paar Gegenseiten eines ihr einbeschriebenen Sechsecks gehen, gehören einem Büschel an, haben also (§ 31, 6) alle drei eine Sehne gemein<sup>1)</sup>, welche die „Charakteristik“ des Sechsecks heißt.

**8. Bestimmung der Charakteristik eines einbeschriebenen Sechsecks.** Die Parameter der Endpunkte der Sehne, welche die beiden Hyperboloide  $H_1$  und  $H_2$  gemein haben, sind nach § 31, (23) durch die quadratische Gleichung bestimmt:

$$(28) \quad (\sigma_1\tau_2 - \sigma_2\tau_1)\lambda^2 + (\tau_1\varrho_2 - \tau_2\varrho_1)\lambda + (\varrho_1\sigma_2 - \varrho_2\sigma_1) = 0.$$

Nun ist aber nach (25) mit Benutzung der Abkürzungen (4):

$$(29) \quad \begin{cases} \sigma_1\tau_2 - \sigma_2\tau_1 = (\lambda_1 - \lambda_4)(M_1 - N_1), \\ \tau_1\varrho_2 - \tau_2\varrho_1 = (\lambda_1 - \lambda_4)(M_2 - N_2 + M_3 - N_3), \\ \varrho_1\sigma_2 - \varrho_2\sigma_1 = (\lambda_1 - \lambda_4)(M_4 - N_4). \end{cases}$$

Die Endpunkte der gemeinsamen Sehne der drei Hyperboloide (24) bestimmen sich aus der quadratischen Gleichung (8).

Die Charakteristik des einbeschriebenen Sechsecks ist daher identisch mit der Cremonaschen Sehne, die nach 3 zu demselben Sechseck gehört.

**9. Die Gruppe eines Hyperboloids.** Die Funktionen  $\varrho_1, \sigma_1, \tau_1$  in (25) sind sechswertige Funktionen der vier Elemente  $\lambda_1, \lambda_2, \lambda_4, \lambda_5$  mit der Gruppe:

$$(30) \quad 1; (12); (45); (12)(45).$$

Den Substitutionen dieser Gruppe entsprechen die aus denselben sechs Punkten gebildeten Sechsecke:

$$(31) \quad 123456; \left\{ \begin{array}{l} 213456 \\ = 126543; \end{array} \right. \quad 123546; \left\{ \begin{array}{l} 213546 \\ = 126453. \end{array} \right.$$

Zu diesen vier Sechsecken gehört also dasselbe Hyperboloid  $H_1$ , während die beiden anderen Hyperboloide  $H_2$  und  $H_3$  jeweils verschieden sind.

Je vier von den 60 Sechsecken der sechs Punkte haben unter ihren drei Hyperboloiden ein gemeinsames.

1) v. Staudt, Beitr. 1860, S. 320; Cremona, J. f. Math. 58 (1861), S. 145.

Die Anzahl der verschiedenen Hyperboloide ist daher  $\frac{3 \cdot 60}{4} = 45$ .

Die vier Charakteristiken, die zu je vier solchen Sechsecken gehören, liegen alle vier auf dem gemeinsamen Hyperboloid.<sup>1)</sup>

### § 38. Der Gegenpunkt von vier Punkten der Raumkurve.

**1. Dritter Schnittpunkt einer Ebene.** Soll die durch die drei Kurvenpunkte  $\lambda_0, \lambda_1, \lambda_2$  gehende Ebene:

$$y_1 - (\lambda_0 + \lambda_1 + \lambda_2)y_2 + (\lambda_1\lambda_2 + \lambda_2\lambda_0 + \lambda_0\lambda_1)y_3 - \lambda_0\lambda_1\lambda_2y_4 = 0$$

durch einen gegebenen Punkt  $y_i^0$  des Raumes gehen, muß:

$$y_1^0 - (\lambda_0 + \lambda_1 + \lambda_2)y_2^0 + (\lambda_1\lambda_2 + \lambda_2\lambda_0 + \lambda_0\lambda_1)y_3^0 - \lambda_0\lambda_1\lambda_2y_4^0 = 0$$

sein. Durch Auflösung dieser Gleichung nach  $\lambda_0$  ergibt sich:

Ist eine Ebene durch zwei Punkte  $\lambda_1, \lambda_2$  der Kurve und einen Punkt  $y_i^0$  des Raumes bestimmt, so ist ihr dritter Schnittpunkt mit der Kurve:

$$(1) \quad \lambda_0 = \frac{y_1^0 - (\lambda_1 + \lambda_2)y_2^0 + \lambda_1\lambda_2y_3^0}{y_2^0 - (\lambda_1 + \lambda_2)y_3^0 + \lambda_1\lambda_2y_4^0}.$$

**2. Wiederholte Anwendung dieses Satzes.** Ist nun  $P = y_i$  ein beliebiger Punkt des Raumes und  $\lambda_1, \lambda_2, \lambda_3, \lambda_4$  vier Kurvenpunkte, so sind nach (1) die dritten Schnittpunkte der Ebenen  $P\lambda_1\lambda_2$  und  $P\lambda_3\lambda_4$  mit der Kurve:

$$(2) \quad \begin{cases} \lambda_{12} = \frac{y_1 - (\lambda_1 + \lambda_2)y_2 + \lambda_1\lambda_2y_3}{y_2 - (\lambda_1 + \lambda_2)y_3 + \lambda_1\lambda_2y_4} = \frac{A_{12}}{B_{12}}, \\ \lambda_{34} = \frac{y_1 - (\lambda_3 + \lambda_4)y_2 + \lambda_3\lambda_4y_3}{y_2 - (\lambda_3 + \lambda_4)y_3 + \lambda_3\lambda_4y_4} = \frac{A_{34}}{B_{34}} \end{cases}$$

und danach wieder nach (1) der dritte Schnittpunkt der Ebene  $P\lambda_{12}\lambda_{34}$ :

$$(3) \quad \begin{cases} \lambda = \frac{y_1 - (\lambda_{12} + \lambda_{34})y_2 + \lambda_{12}\lambda_{34}y_3}{y_2 - (\lambda_{12} + \lambda_{34})y_3 + \lambda_{12}\lambda_{34}y_4}, \text{ oder nach (2):} \\ \lambda = \frac{B_{12}B_{34}y_1 - (A_{12}B_{34} + A_{34}B_{12})y_2 + A_{12}A_{34}y_3}{B_{12}B_{34}y_2 - (A_{12}B_{34} + A_{34}B_{12})y_3 + A_{12}A_{34}y_4} = \frac{A_{12,34}}{B_{12,34}}. \end{cases}$$

Setzt man zur Abkürzung:

$$(4) \quad \begin{cases} p = -(\lambda_1 + \lambda_2 + \lambda_3 + \lambda_4), & q = \lambda_2\lambda_3 + \lambda_3\lambda_1 + \lambda_1\lambda_2 + \lambda_1\lambda_4 + \lambda_2\lambda_4 + \lambda_3\lambda_4, \\ r = -(\lambda_2\lambda_3\lambda_4 + \lambda_1\lambda_3\lambda_4 + \lambda_1\lambda_2\lambda_4 + \lambda_1\lambda_2\lambda_3), & s = \lambda_1\lambda_2\lambda_3\lambda_4, \end{cases}$$

so wird:

1) Cremona, J. f. Math. 58 (1861), S. 145.

$$B_{12}B_{34} = y_2^2 + (\lambda_1 + \lambda_2)(\lambda_3 + \lambda_4)y_3^2 + sy_4^2 + py_2y_3 \\ + (\lambda_1\lambda_2 + \lambda_3\lambda_4)y_2y_4 + ry_2y_4,$$

$$A_{12}A_{34} = y_1^2 + (\lambda_1 + \lambda_2)(\lambda_3 + \lambda_4)y_2^2 + sy_3^2 + py_1y_2 \\ + (\lambda_1\lambda_2 + \lambda_3\lambda_4)y_1y_3 + ry_2y_3,$$

$$A_{12}B_{34} + A_{34}B_{12} = py_2^2 + ry_3^2 + \{2(\lambda_1 + \lambda_2)(\lambda_3 + \lambda_4) + (\lambda_1\lambda_2 + \lambda_3\lambda_4)\}y_2y_3 \\ + py_1y_3 + 2y_1y_2 + (\lambda_1\lambda_2 + \lambda_3\lambda_4)y_1y_4 + ry_2y_4 + 2sy_2y_4.$$

Als dann ergibt sich mit den § 31, (5) eingeführten Abkürzungen:

$$(5) \quad \begin{cases} A_{12,34} = (y_1 + py_2 + qy_3 + ry_4)h - s(fy_3 + gy_4), \\ B_{12,34} = (py_1 + qy_2 + ry_3 + sy_4)f - (gy_1 + hy_2). \end{cases}$$

**3. Begriff des Gegenpunktes.** Da die Ausdrücke  $A_{12,34}, B_{12,34}$ , die in ihrer ursprünglichen Definition in (3) der Verteilung der Punkte  $\lambda_1, \lambda_2, \lambda_3, \lambda_4$  in die Paare  $\lambda_1\lambda_2$  und  $\lambda_3\lambda_4$  entsprechen, nach (5) nur von den *symmetrischen* Funktionen (4) abhängen, so ist notwendig:

$$(6) \quad A_{23,14} = A_{31,24} = A_{12,34} = A, \quad B_{23,14} = B_{31,24} = B_{12,34} = B.$$

Daher bleibt auch der Punkt  $\lambda$  in (3) für die Ebenenpaare  $P\lambda_2\lambda_3$ ,  $P\lambda_1\lambda_4$  und  $P\lambda_3\lambda_1$ ,  $P\lambda_2\lambda_4$  derselbe wie für das Ebenenpaar  $P\lambda_1\lambda_2$ ,  $P\lambda_3\lambda_4$  nämlich:

$$(7) \quad \lambda = \frac{A}{B}.$$

*Verbindet man einen Punkt  $P$  des Raumes mit vier Kurvenpunkten  $\lambda_1, \lambda_2, \lambda_3, \lambda_4$ , so erhält man ein vollständiges Vierkant mit drei Paaren von Gegenebenen  $P\lambda_2\lambda_3$ ,  $P\lambda_1\lambda_4$ ;  $P\lambda_3\lambda_1$ ,  $P\lambda_2\lambda_4$ ;  $P\lambda_1\lambda_2$ ,  $P\lambda_3\lambda_4$ , welche die Kurve in drei weiteren Punktepaaren:  $\lambda_{23}, \lambda_{14}$ ;  $\lambda_{31}, \lambda_{24}$ ;  $\lambda_{12}, \lambda_{34}$  schneiden. Als dann haben die drei Ebenen  $P\lambda_{23}\lambda_{14}$ ,  $P\lambda_{31}\lambda_{24}$ ,  $P\lambda_{12}\lambda_{34}$  alle drei denselben dritten Schnittpunkt  $\lambda$  mit der Kurve.*

Dieser durch den Punkt  $P$  und die vier Kurvenpunkte  $\lambda_1, \lambda_2, \lambda_3, \lambda_4$  bestimmte Punkt der Kurve heißt der *Gegenpunkt des Punktes  $P$  in bezug auf die vier Kurvenpunkte  $\lambda_1\lambda_2\lambda_3\lambda_4$* .

**4. Kegelbüschel durch vier Strahlen  $P\lambda_1, P\lambda_2, P\lambda_3, P\lambda_4$ .** Die durch einen festen Punkt  $P = y_k$  des Raumes und zwei Kurvenpunkte  $\lambda_1, \lambda_2$  bestimmte Ebene hat nach 1 in laufenden Koordinaten  $\eta_k$  die Gleichung:

$$(8) \quad \Pi_{12} = \eta_1 - (\lambda_1 + \lambda_2 + \lambda_{12})\eta_2 + (\lambda_1\lambda_2 + (\lambda_1 + \lambda_2)\lambda_{12})\eta_3 - \lambda_1\lambda_2\lambda_{12}\eta_4 = 0,$$

wo  $\lambda_{12}$  den Wert (2) hat. Bezeichnet nun  $\Pi_{12}^\lambda$  den aus  $\Pi_{12}$  durch die Substitution:

$$(9) \quad \eta_1 = \lambda^2, \quad \eta_2 = \lambda^2, \quad \eta_3 = \lambda, \quad \eta_4 = 1$$

hervorgehenden Ausdruck, so ist:

$$(10) \quad \Pi_{12}^{\lambda} = (\lambda - \lambda_1)(\lambda - \lambda_2)(\lambda - \lambda_{12}).$$

Bildet man dann nach (8) die entsprechenden Ausdrücke  $\Pi_{34}$ ,  $\Pi_{31}$ ,  $\Pi_{24}$ , so stellt die Gleichung:

$$(11) \quad \Pi_{31} \Pi_{24} + \mu \Pi_{12} \Pi_{34} = 0$$

mit dem Parameter  $\mu$  einen Büschel von Flächen 2. O. dar. Diese Flächen sind *Kegel mit der Spitze P*, da sie nach der Form der Gleichung (11) durch die Strahlen:

$$P\lambda_1: \Pi_{31} = 0, \Pi_{12} = 0; \quad P\lambda_2: \Pi_{24} = 0, \Pi_{12} = 0;$$

$$P\lambda_3: \Pi_{31} = 0, \Pi_{34} = 0; \quad P\lambda_4: \Pi_{24} = 0, \Pi_{34} = 0$$

gehen.

*Die Gleichung (11) stellt somit den Büschel aller der Kegel 2. O. mit der Spitze P dar, welcher durch die vier Strahlen  $P\lambda_1, P\lambda_2, P\lambda_3, P\lambda_4$  bestimmt ist.*

**5. Übrige Schnittpunkte des Kegels mit der Raumkurve.** Die sechs Schnittpunkte eines Kegels (11) mit der Raumkurve (§ 31, 1) bestimmen sich aus der Gleichung 6. Grades in  $\lambda$ , welche aus (11) durch die Substitution (9) entsteht, also nach (10), mit Unterdrückung der vier bekannten Wurzeln  $\lambda_1, \lambda_2, \lambda_3, \lambda_4$ , aus:

$$(12) \quad (\lambda - \lambda_{31})(\lambda - \lambda_{24}) + \mu(\lambda - \lambda_{12})(\lambda - \lambda_{34}) = 0.$$

*Ein Kegel  $\mu$  des Büschels (11) schneidet die Raumkurve, außer in den vier festen Punkten, noch in zwei weiteren Punkten, deren Parameter  $\lambda'$  und  $\lambda''$  die Wurzeln der quadratischen Gleichung:*

$$(13) \quad (1 + \mu)\lambda^2 - \{(\lambda_{31} + \lambda_{24}) + \mu(\lambda_{12} + \lambda_{34})\}\lambda + (\lambda_{31}\lambda_{24} + \mu\lambda_{12}\lambda_{34}) = 0$$

*sind, so daß:*

$$(14) \quad \lambda' + \lambda'' = \frac{(\lambda_{31} + \lambda_{24}) + \mu(\lambda_{12} + \lambda_{34})}{1 + \mu}, \quad \lambda'\lambda'' = \frac{\lambda_{31}\lambda_{24} + \mu\lambda_{12}\lambda_{34}}{1 + \mu}.$$

**6. Dritter Schnittpunkt der Ebene  $P\lambda'\lambda''$  mit der Raumkurve.** Der dritte Schnittpunkt der Ebene  $P\lambda'\lambda''$  mit der Raumkurve ist daher:

$$\begin{aligned} \lambda &= \frac{y_1 - (\lambda' + \lambda'')y_2 + \lambda'\lambda''y_3}{y_2 - (\lambda' + \lambda'')y_3 + \lambda'\lambda''y_4} \\ &= \frac{\{y_1 - (\lambda_{31} + \lambda_{24})y_2 + \lambda_{31}\lambda_{24}y_3\} + \mu\{y_1 - (\lambda_{12} + \lambda_{34})y_2 + \lambda_{12}\lambda_{34}y_3\}}{\{y_2 - (\lambda_{31} + \lambda_{24})y_3 + \lambda_{31}\lambda_{24}y_4\} + \mu\{y_2 - (\lambda_{12} + \lambda_{34})y_3 + \lambda_{12}\lambda_{34}y_4\}} \end{aligned}$$

oder mit Substitution der Werte (2) von  $\lambda_{12}, \lambda_{34}$  und der entsprechenden von  $\lambda_{31}, \lambda_{24}$  und mit Rücksicht auf (3) und (6):

$$(15) \quad \lambda = \frac{\frac{A}{B_{31}B_{24}} + \mu \frac{A}{B_{12}B_{34}}}{\frac{B}{B_{31}B_{24}} + \mu \frac{B}{B_{12}B_{34}}} = \frac{A}{B}.$$

Die Unabhängigkeit dieses Punktes von  $\mu$  und seine Übereinstimmung mit (7) gibt den Satz:

*Die vier Strahlen  $P\lambda_1, P\lambda_2, P\lambda_3, P\lambda_4$ , die einen festen Punkt  $P$  des Raumes mit vier festen Punkten  $\lambda_1, \lambda_2, \lambda_3, \lambda_4$  der Raumkurve verbinden, bestimmen einen Büschel von Kegeln 2. O. Der laufende Kegel des Büschels schneidet die Raumkurve, außer in  $\lambda_1, \lambda_2, \lambda_3, \lambda_4$ , noch in zwei weiteren Punkten  $\lambda', \lambda''$ , deren Verbindungsebene  $P\lambda'\lambda''$  mit  $P$ , außer  $\lambda', \lambda''$ , einen festen dritten Schnittpunkt  $\lambda$  mit der Kurve hat, den Gegenpunkt des Punktes  $P$  mit Bezug auf die Punkte  $\lambda_1, \lambda_2, \lambda_3, \lambda_4$ .<sup>1)</sup>*

**7. Involution der Schnittpunktpaare.** Durch Elimination von  $\mu$  aus den beiden Gleichungen (14) geht hervor:

$$(16) \quad \begin{cases} (\lambda_{31} + \lambda_{24} - \lambda_{12} - \lambda_{34})\lambda'\lambda'' - (\lambda_{31}\lambda_{24} - \lambda_{12}\lambda_{34})(\lambda' + \lambda'') \\ \quad + \lambda_{31}\lambda_{24}(\lambda_{12} + \lambda_{34}) - \lambda_{12}\lambda_{34}(\lambda_{31} + \lambda_{24}) = 0, \end{cases}$$

und damit nach § 30, (4):

*Die Punktpaare, in denen die Kegel  $\mu$  des Büschels (10) die Raumkurve schneiden, bilden eine Involution auf der Kurve.<sup>2)</sup>*

1) Cremona, Ann. di mat. 1 (1858), S. 294; vgl. Salmon-Fiedler, Höh. Kurven (1873), S. 162.

2) Cremona, Ann. di mat. 1 (1858), S. 294.

## Sachverzeichnis.

- Achse* Begriff § 8, 2; § 25, 2 — eigentl. u. uneigentl. § 26, 1 — Gleichungen in rechth. § 8, (4), schiefw. § 12, (10), Tetraederkoord. § 25, (1') — Parameterdarstellung § 26, (6') — in gegeb. Ebene § 8, 4; § 26, 1; 3 — in d.  $\infty$  f. Ebene § 8, 10.
- Achsendurchmesser* Begr. u. Anzahl § 11, 9 — von ihm halbierte Sehnen § 11, 11 — Lage bei d. kub. Hyperbel § 20, 13.
- Achsenkegelschnitt* Begr. § 10, 1; § 26, 11 — Gleich. in rechth. § 10, 2, schiefw. § 12, 5, Tetraederebenenkoord. § 26, (17'), Tetraederpunktkoord. § 26, (20') — als Schnitt der Tangentenfläche § 26, 13 —  $\infty$  ferner der kub. Parabel § 10, 3 — ob Parabel, Ellipse, Hyperbel § 10, 4; 5 — ob gleichseit. Hyperb. § 10, 12 — in Asymptoten- u. Scheitelschmiegeebene d. kub. Ellipse § 17, 12 — in d. drei Asymptot. eb. d. kub. Hyp. § 20, 23 — in d. zwei Asymptot. eb. d. kub. hyperb. Parabel § 22, 11.
- Arten vier der kub. Kegelschn.* § 2, 7; § 3, 2; 6.
- Asymptoten* Begr., Anzahl u. Gleich. § 8, 12 — Lage auf d. Sehnenzylindern § 9, 13 — Lage bei d. kub. Hyperbel § 20, 3.
- Asymptotenebenen* Begr., Anzahl u. Gleich. § 7, 11 — als Tang. eb. der Sehnenzylinder § 9, 13 — Lage bei d. kub. Hyperbel § 20, 4.
- Berührungsebene, -punkt* s. Tangentenebene, -punkt.
- Berührungssehne* einer Rotatfläche des kub. Kegelschn. § 13, 1 — ihr vollst. Vierseit § 13, 5 — ihre Gleich. in rechth. § 14, 4—6; § 15, 7 — in schiefw. Koord. § 20, (52), § 22, 15.
- Bestimmung d. R.k. 3. O. durch sechs Punkte* § 37, 1.
- Brennpunktsort der Achsenparabeln der kub. Parabel* § 23, 16.
- Bündel v. Flächen 2. O. durch d. R.k. 3. O.* Gleichung in rechth. Koord. § 9, 14, schiefw. § 12, 5, natürlichen d. kub. Hyperbel § 20, 20, hyperb. Parabel § 22, 10, Parabel § 23, 10, Tetraederkoord. § 31, 2 — Art der Flächen § 9, 15; § 31, 3; 4 — Determinante § 31, 3 — Elementarteiler § 31, 5 — Sehnen u. Trefflinien auf den Flächen § 31, 6—14.
- Determinante der Parameterdarstellung* § 4, (2); § 24, (2) — Invarianz bei Koord.transf. § 24, 3 — bei Parametertransf. § 24, 4.
- Doppelpyramidengruppe* d. allg. kub. Hyperbel § 20, 18 — d. gleichwinkligen § 21, 6 — d. allg. R.k. 3. O. § 34, 14 — in allg. Parametern § 34, 16.
- Doppelverhältnis* von Punkten u. Schmiegeebenen § 30, 1.
- Direktrix* einer bes. kub. Parabel § 23, 14.
- Drei Gleichungen d. R.k. 3. O. in rechth.* § 7, 9, schiefw. Koord. § 12, 6 — im Schmiege.tetraeder § 24, 11 — im Haupttetraeder § 34, 12.
- Ebenenbüschel 3. O.* Begr. § 24, 1 — Identität mit d. R.k. 3. O. § 24, 10.
- Erzeugende der Flächen 2. O. durch d. R.k. 3. O.* § 31, 12; § 36, 10; 11.
- Gegenpunkt* von vier Kurvenpunkten § 38, 3.
- Gleichseitige* kub. Hyperbel § 9, 17; § 21, 1; 2 — Achsenhyperbeln § 10, 12 — Mittelpunktskegelschnitte § 10, 11.
- Gleichwinklige* kub. Hyperbel § 21, 3 — Unterarten § 21, 4.
- Harmonische Punkte* u. Schmiegeebenen § 30, 2.

*Harmonikale* dreier Kurvenpunkte einer Ebene § 33, 10; 11.

*Hauptachse* der kub. Hyperbel § 20, 12; 16, II — des lin. Komplexes der gleichwinkl. kub. Hyperbel § 21, 5.

*Hauptebe* der kub. Hyperbel § 20, 11.

*Haupttetraeder* an eine Ebene sich anlehnend § 34, 7 — an  $\infty$  f. Ebene § 35, 6.

*Hyperboloidische Lage* von Sehnen u. Achsen § 26, 9 — von reziprok. Polaren § 29, 12 — bei Möbiusschen Tetraedern § 29, 16.

*Involutionen* von Punkten u. Schmiegeebenen § 30, 2 — bei Flächen 2. O. durch d. R.k. 3. O. § 31, 13 — bei konjug. Punkten u. Ebenen § 33, 8 — bei einbeschr. Sechsecken § 37, 4.

*Kegelbüschel* durch Strahlen nach vier Kurvenpunkten § 38, 4—7.

*Klasse* d. R.k. 3. O. § 7, 6; § 24, 2.

*Kongruente Bündel* am kub. Kreis § 18, 12.

*Konjugierte Punkte u. Ebenen* Begr. § 32, 2 — analyt. Darstellung § 32, 5 — Involutionen auf einer Sehne, an einer Achse § 32, 4 — Polarbeziehungen § 32, 8 — Parameterbeziehungen § 33, 5—6 — konjugierte der  $\infty$  f. Ebene § 35, 3.

*Kreis kubischer* § 16, 6; § 18, 1—12 — mitgleichseit. Mittelpunktskegelschnitt § 18, (32).

*Konstantenzahl* der R.k. 3. O. § 5, 5; 6.

*Konstruktion* der kub. Ellipse § 17, 15 — des kub. Kreises § 18, 3 — der kub. Hyperbel § 20, 25 — kub. hyperb. Parabel § 22, 13 — kub. Parabel § 23, 11 — der R.k. 3. O. durch 6 Punkte § 37, 6.

*Kubischer Kegelschnitt* Begr. § 1, 1; § 6, 4.

*Linearer Komplex* der Tangenten § 25, 8 u. Schmiegeungsstrahlen § 27, 6 — Gleichung in rechth. Koord. § 8, (12) — in natürl. Koord. d. kub. Hyperbel § 20, 9 — in kanon. Tetraederkoord. § 25, 8 — in allgemeinen § 29, (20) — im Haupttetraeder § 34, 13.

*Mittelpunkt d. kub. Hyperbel* als Schnittp. d. drei Scheitelschmiegeebenen § 19, 2 — als Pol der Hauptebe § 20, 11.

*Mittelpunktskegelschnitt* Begr. § 10, 6 — der vier Arten § 10, 7; 8 — Schnittp. seiner Ebene mit d. Kurve § 10, 9 — ein Kreis § 10, 10 — eine gleichseit. Hyperbel § 10, 11 — im natürl. System d. kub. Hyperbel § 20, 22 — als Sonderfall des Polkegelschnittes § 35, 5.

*Natürliches Koordinatensystem* der kub. Ellipse § 17, 13 — Hyperbel § 20, 1 — hyperbol. Parabel § 22, 6 — Parabel § 23, 9.

*Nebenseitelpunkte* der kub. Ellipse § 17, 8 — des kub. Kreises § 18, 4.

*Ordnung* d. Kurve § 4, 4; § 24, 2.

*Orthogonale Flächen* 2. O. beim kub. Kreis § 18, 8.

*Paraboloide hyperbolische* der halbierten Sehnen § 9, 16 — gleichseitige § 17, (29); § 18, 8 — drei durch d. Hauptachse der kub. Hyperbel § 20, 19 — bei d. kub. Parabel § 23, 7.

*Parallelepipedon* d. kub. Hyperbel § 20, 2.

*Parallelkegel* d. kub. Parabel § 23, 12.

*Parameterdarstellung* der Punkte, Schmiegeebenen u. Tangenten allgemeine in rechth. Koord. § 4, (1) — normierte in rechth. Koord. § 6, (14); § 7, (11); § 8, (11) — in schiefw. § 12, (6); (7); (11) — im Schmiegetetraeder § 24, (22); (22'); § 25, (3) — im allg. Tetraeder § 24, (1); (1'); § 25, (4) — im Haupttetraeder § 34, (24); (25) — in symmetr. Parametern § 34, (46); (47) — im natürlichen System der kub. Ellipse § 17, (34); (35); (36), des kub. Kreises § 18, (2)—(4); (7); (9), der kub. Hyperbel § 19, (17); (18); (30), hyperbol. Parabel § 22, (21); (22); (28), Parabel § 23, (25)—(27).

*Polaren reziproke* § 29, 6—8.

*Permutationsgruppe des Flächenbündels* der gleichseit. kub. Hyperbel § 21, 7 — d. allgem. R.k. 3. O. § 34, 14.

*Polarsystem* d. R.k. 3. O. u. d. lin. Komplexes in rechth. Koord. § 8, 9; § 35, 2 — im natürl. System d. kub. Hyp. § 20, (18) — im Schmiegetetraeder § 29, 1; 2 — im allg. Tetr. § 29, 13—15 — im Haupttetr. § 34, 13.

*Polarverwandschaft* d. R.k. 3. O. mit sich selbst § 29, 4.

- Polkegelschnitt* Begr. § 32, 10 — seine Ebene § 32, 11.
- Projektive Ebenenbündel* § 30, 4; § 36, 3 — Ebenenbüschel § 30, 3; § 36, 1 — Strahlbündel § 30, 5; § 36, 4 — Erzeugung d. R.k. 3. O. § 36, 1; 4 — ihrer Sehnen § 36, 3; 7 — ihrer Flächen 2. O. § 36, 8—12.
- Quadratische Komplexe der Tangenten* § 25, 9 — der Sehnen u. Achsen § 26, 6.
- Rang der Kurve* § 25, 7.
- Rationale Raumkurve* 3. O. § 4, 4; § 24, 2.
- Realitätsbeziehung* zwischen Sehne u. Schmiegeebenen durch einen Punkt § 26, 10; Anm. S. 242.
- Rotationsflächen* der kub. Kegelschn. Begr. § 13, 1 — Arten § 13, 2 —  $\infty$  f. Kurven § 14, 7—9 — Gleichungen in rechth. Koord. § 15, 3—6 — im natürl. System der kub. Hyperbel § 20, 26; § 21, 9 — der kub. hyperb. Parabel § 22, 15.
- Schar von Flächen* 2. Kl. der Schmiegeebenen in rechth. Koord. § 10, 13 — in Tetraederkoord. § 31, 2.
- Scheinbarer Doppelpunkt* der R.k. 3. O. § 8, 3; § 26, 1.
- Scheiteldurchmesser* Begr. § 11, 8 — von ihm halbierte Sehnen § 11, 10 — einer der kub. Ellipse § 17, 6; 10; 11 — drei der kub. Hyperbel § 20, 14 — keine der kub. hyp. Parabel § 22, 2 —  $\infty$  viele der kub. Parabel § 23, 5 — Beziehung zum Schmiegungstetraeder § 35, 6—8.
- Scheitelpunkte* Begr. § 11, 1 — Anzahl § 11, 2—3 — Schnittpunkte mit der Eb. des Mittelpunktskegelschnittes § 11, 2, III — mit der konjugierten der  $\infty$  f. Ebene § 35, 4 — als Koord.anfang § 11, 4—5 — Lage bei der kub. Hyp. § 20, 6.
- Scheitelschmiegeebene* § 11, (28) — drei bei d. kub. Hyperbel § 20, 8.
- Scheiteltangente* § 11, (27) — drei bei d. kub. Hyp. § 20, 7.
- Schmiegeebene* Begr. § 7, 4; § 24, 9 — zwei parallele der kub. Ellipse § 8, 11 — Tangentialebene des Sehnenkegels § 26, 14.
- Schmiegungskegelschnitt* s. Achsenkegelschnitt.
- Schmiegunbspunkt* § 7, 8; § 24, 9.
- Schmiegungsstrahlen* Begr. § 27, 6 — Gleichungen § 27, 7 — zweiam Schmiegetetraeder § 28, 4.
- Schmiegungstetraeder* Begr. § 28, 1; 2; 4 — bei der kub. hyperb. Parabel § 22, 9 — bei der kub. Parabel § 23, 9 — Transformation auf ein neues § 28, 3 — harmon. Teilung der Sehnen in ihm § 28, 6; 7 — Polarbeziehung in ihm § 29, 9 — drei an eine Ebene sich anlehnend § 34, 3; 6.
- Schnittpunkt dreier Schmiegeebenen* § 7, 7; § 24, 7.
- Schnittpunkte* der R.k. 3. O. mit einer Ebene § 4, 3 — mit einer Geraden § 4, 3; § 25, 1 — mit einer Fläche 2. O. § 31, 1.
- Schraubensinn* der R.k. 3. O. § 8, 8 — des kub. Kreises § 18, 3 — des lin. Komplexes § 8, 7.
- Sechseck* einbeschriebenes § 37, 7 — seine Charakteristik § 37, 7; 8; 3 — seine Hyperboloide § 37, 9; § 20, 19.
- Sehne* Begr. § 8, 1; § 25, 2 — eigentl. u. uneigentl. § 8, 3; § 26, 1 — Gleichungen in rechth. § 8, (2), schiefw. § 12, (9), Tetraederkoord. § 25, (1) — Parameterdarst. § 26, (6) — durch gegeb. Punkt § 8, 3; § 26, 1; 3.
- Sehnenkegel* Begr. § 9, 1; § 26, 11 — Gleich. in rechth. § 9, 2, schiefw. § 12, 5, Tetraederpunktkoord. § 26, (17), Tetraederebenenkoord. § 26, (20) — Beziehung zur Tangentenfläche § 26, 13.
- Sehnenzylinder* § 9, 4 — ihre Mittelpunktsachsen § 9, 6—9; § 6, 7 — Lage bei der kub. Hyperbel § 20, 5.
- Siebeneck* einbeschriebenes § 37, 2; 5.
- Streichlinie* § 27, 1.
- Tangente* doppelte Entstehung § 8, 5; § 25, 4 — Gleichungen in rechth. Koord. § 8, (9); (10), Tetraederkoord. § 25, (2) — Beziehung zum Sehnenkegel § 26, 14.
- Tangentenfläche* § 25, 11 — Schnitt mit der Schmiegeebene § 25, 12.
- Tangentenpunkt* Begr. § 7, 8; § 24, 8 — als Punkt der Tangente § 25, 5.
- Tangentialebene* Begr. u. Gleichung in rechth. Koord. § 7, 3, in Tetraeder-



- koord. § 24, 8 — als Ebene durch Tangente § 25, 5.
- Tetraeder* zwei sich um- und einbeschriebenen (*Möbiussche*) § 29, 16.
- Tetraedraler Komplex* § 25, 10.
- Transformation* der Koordinaten von belieb. Tetraeder auf belieb. Tetraeder § 24, 3, auf Schmiegtetr. § 24, 5 — von Schmiegtetr. auf andres § 28, 3 — von Schmiegtetr. auf Haupttetr. § 34, 7 — von Schmiegtetr. auf rechth. § 35, 1 — von rechth. auf rechth. § 5, 1; 2, auf schiefw. § 12, 1 — des Parameters § 4, 5; § 24, 4.
- Transversale* von Sehne u. Achse § 26, 8 — von zwei reziproken Polaren § 29, 11.
- Trefflinien* Begr. § 27, 1 — ihr Komplex § 27, 2 — Komplexkegel § 27, 3—5.
- Unendlich ferne Ebene* als Bestandteil der R.k. 3. O. § 7, 10.
- Unendlich ferne Punkte* der R.k. 3. O. Entstehung § 2, 2 — Realität u. Zusammenfall § 2, 3—6 — bildliche Darstellung § 3, 3 — Normierung ihrer Parameter § 4, 9.
- Unterarten* der kub. Kegelsch. s. Vorwort, S. IV/V.
- Verbindungsebene* dreier Kurvenpunkte § 7, (6); § 24, 7.
- Zusammengehörige Sehne* u. Achse § 26, 7.
- Zweige* drei der kub. Hyperbel § 20, 24 — zwei der kub. hyperbol. Parabel § 22, 14.

### Anmerkung zu § 26, 10.

Sind in § 26, (12) die beiden Parameter  $\lambda_1, \lambda_2$  konjugiert komplex:

$$(1) \quad \lambda_1 = \alpha + \beta i, \quad \lambda_2 = \alpha - \beta i,$$

so sind die Koordinaten  $y_k^{(1)}, y_k^{(2)}$  der beiden entsprechenden Kurvenpunkte  $P_1, P_2$  ebenfalls von der Form:

$$(2) \quad y_k^{(1)} = A_k + B_k i, \quad y_k^{(2)} = A_k - B_k i, \quad k = 1, 2, 3, 4,$$

und die eines Punktes  $P$  der Verbindungslinie in § 26, (13):

$$(3) \quad y_k = A_k(1-t) + B_k(1+t)i.$$

Der Punkt  $P$  ist daher reell, wenn der mit dem Parameter:

$$(4) \quad t = r + si$$

gebildete Quotient:

$$(5) \quad \frac{1+t}{1-t} i = \frac{-2s + (1-r^2-s^2)i}{(1-r)^2 + s^2}$$

reell, also:

$$(6) \quad r^2 + s^2 = 1$$

oder  $t$  eine komplexe Einheit ist, etwa:

$$(7) \quad t = e^{\varphi i}.$$

Dann sind auch die drei Wurzelwerte:

$$(8) \quad \tau = \varrho + \sigma i = \sqrt[3]{t} = e^{\frac{\varphi + 2h\pi}{3}i}, \quad h = 0, 1, 2,$$

komplexe Einheiten.

Andererseits ist der Wert von  $\lambda$  in § 26, (15) mit (1) und (8):

$$(9) \quad \lambda = \frac{\alpha + \beta i - (\alpha - \beta i)(\varrho + \sigma i)}{1 - (\varrho + \sigma i)} = \frac{\alpha(1-\varrho)^2 + \alpha\sigma^2 - 2\beta\sigma + \beta(1-\varrho^2 - \sigma^2)i}{(1-\varrho)^2 + \sigma^2}$$

reell, wenn:

$$\varrho^2 + \sigma^2 = 1,$$

also  $\tau$  eine komplexe Einheit ist. Danach folgt neben § 26, 10:

*Geht durch einen Punkt des Raumes eine uneigentliche Sehne, so gehen durch ihn drei reelle Schmiegungebenen.*

Von **Otto Staudé** erschienen früher im gleichen Verlage:

## **Analytische Geometrie des Punktes, der geraden Linie und der Ebene**

Ein Handbuch zu den Vorlesungen und Übungen über analytische Geometrie

Mit 387 Figuren. [VIII u. 447 S.] gr. 8. 1905. In Leinwand geb. *M* 14.—

„... Die Absicht des Verfassers, ein für die Praxis brauchbares Buch zu schaffen, ist glänzend in die Tat umgesetzt. Das Werk ist nicht bloß in der ganzen Anlage durchsichtig disponiert, sondern auch im einzelnen ist die Ausführung so übersichtlich wie nur denkbar; jeder Artikel ist mit einer besonderen, kurzen und treffenden Überschrift versehen, die zahlreichen (387) ungemein sauber ausgeführten Figuren erleichtern eine schnelle Übersicht über die jedesmal in Frage kommenden Begriffe und Benennungen. Häufig gebrauchte Formelsysteme sind vollständig aufgestellt, auch in verschiedenen Bezeichnungsweisen, was bei der praktischen Anwendung des Buches viel Zeit erspart; auch das ausführliche, alphabetische Register am Schlusse ist sehr angenehm.“

(Archiv der Mathematik und Physik.)

„Obgleich es an guten einführenden Lehrbüchern der analytischen Geometrie nicht mangelt, so wird trotzdem das vorliegende sicherlich in kurzer Zeit große Verbreitung finden, da es eine ganze Reihe pädagogischer Vorzüge besitzt, die dem Studierenden den Zugang zu dieser Disziplin sehr erleichtern. ... Das Verständnis wird noch bedeutend durch die zahlreichen und hübsch gezeichneten Figuren erleichtert, die sofort eine Übersicht über die in Frage kommenden Begriffe und Benennungen geben. Als weiterer Vorzug sei die ausführliche und genaue Darlegung der Definitionen insbesondere inbezug auf die Richtung und den Sinn der Gebilde erwähnt. Auch daß nach Baltzers Vorbild die analytische Geometrie auf der geraden Linie und im Strahlbüschel an die Spitze gestellt wird, trägt manches zur Vereinfachung bei.“

(Monatshefte für Mathematik und Physik.)

## **Analytische Geometrie des Punktpaares, des Kegelschnittes und der Fläche zweiter Ordnung**

In 2 Teilen. gr. 8. 1910.

I. Teil: Mit 181 Figuren. [X u. 548 S.] Geh. *M* 20.—, geb. *M* 22.—

II. Teil: Mit 47 Figuren. [IV u. S. 549—1000.] Geh. *M* 16.—, geb. *M* 18.—

Das vorliegende Werk schließt sich nach Form und Inhalt an das im gleichen Verlage 1905 erschienene: 'Analytische Geometrie des Punktes, der geraden Linie und der Ebene' an. Wie dieses mit den Gebilden erster Ordnung, so beschäftigt sich das neue Werk mit den Gebilden zweiter Ordnung in den Mannigfaltigkeiten von ein, zwei oder drei Dimensionen. Beide bilden ein systematisches Lehrbuch der gesamten Elemente der analytischen Geometrie der Ebene und des Raumes. Es soll zugleich ein Handbuch sein, das dem Studierenden neben der Vorlesung die Hauptzüge des Gebietes im Zusammenhang vor Augen hält. Bloße Beispiele und Übungsaufgaben sind daher aus dem Buche fortgelassen, dagegen ist auf den systematischen Aufbau der Theorie besonderer Wert gelegt. Zahlreiche schematische Figuren sollen zur leichteren Orientierung beitragen. Ein dem zweiten Teil angehängtes Sachverzeichnis wird neben dem Inhaltsverzeichnis die schnelle Auffindung einzelner Begriffe und Lehrsätze gewährleisten.

„... Alles in allem genommen haben wir hier ein Werk vor uns, das eine Zierde von 'Teubners Sammlung' bildet und den dieser Sammlung vorgesetzten Leitworten in jeder Richtung entspricht.“

(Jahresbericht der Deutschen Mathematiker-Vereinigung.)

## **Die Fokaleigenschaften der Flächen zweiter Ordnung**

Ein neues Kapitel zu den Lehrbüchern der analytischen Geometrie des Raumes

Mit Figuren im Text. [VIII u. 186 S.] gr. 8. 1896. Geh. *M* 7.—

Das vorliegende Buch enthält eine zusammenfassende Darstellung der vom Verfasser entdeckten Fokaleigenschaften der Flächen zweiter Ordnung. Gegenüber den früheren Veröffentlichungen über denselben Gegenstand (Leips. Ber. 1889 und Math. Ann. Bd. 20 und 27) bietet das Buch nicht nur eine wesentliche Vereinfachung der Beweise, sondern auch eine wesentliche die Anwendung der Integralrechnung zur Bestimmung von Bögen, Flächen, Kurven und zeigt die Reihenentwicklung mit Hilfe der MacLaurinschen und Taylorsche Reihe. Den Schluß bildet die Ableitung der Gesetze für den freien Fall, den senkrechten und schiefen Wurf.

## Verlag von B. G. Teubner in Leipzig und Berlin

### Koordinaten-Geometrie.

#### a. Analytische Geometrie der Ebene und des Raumes.

- v. Brill, A., Einführung in die Theorie der algebraischen Kurven. ca. 250 S. gr. 8. [In Vorbereitung.]
- Clebsch, A., Vorlesungen über Geometrie. Mit besonderer Benutzung der Vorträge v. A. Clebsch bearb. u. herausg. v. F. Lindemann. 2 Bde. gr. 8.
- I. Band: Geometrie der Ebene. I. Teil. Kegelschnitte u. algebraische Formen. 2. Aufl. 1. Lfg. 480 S. 1906. geh. n.  $\mathcal{M}$  16.— 2. (Schluß-)Lieferung. 287 S. 1910. geh. n.  $\mathcal{M}$  6.— II. Teil. [Unter der Presse.]
- II. „ Geometrie des Raumes. I. Teil. Die Flächen erster und zweiter Ordnung oder Klasse und der lineare Komplex. Mit vielen Fig. VIII, 650 S. gr. 8. 1891. geh. n.  $\mathcal{M}$  12.— II. Teil. [U. d. Presse.]
- Darstellungen, graphische, aus der reinen und angewandten Mathematik. Herausgeg. vom Mathematischen Institut der Kgl. Technischen Hochschule zu München.
- Detle, W., analytische Geometrie der Kegelschnitte. Mit 45 Fig. VI, 232 S. gr. 8. 1909. geb. n.  $\mathcal{M}$  4.40.
- Dingeldey, F., Lehrbuch der analytischen Geometrie. ca. 400 S. gr. 8. geb. [In Vorbereitung.]
- Ebner, F., Leitfaden der technisch wichtigen Kurven. Mit 93 Fig. VIII, 197 S. gr. 8. 1906. geb. n.  $\mathcal{M}$  4.—
- Kegelschnitte und Kegelschnittssysteme. gr. 8. geb. [In Vorb.]
- v. Escherich, G., Einleitung in die analytische Geometrie des Raumes. VIII, 282 S. gr. 8. 1881. geh. n.  $\mathcal{M}$  5.20.
- Fort, O., u. O. Schlömilch, Lehrbuch der analytischen Geometrie. 2 Teile. Mit Holzschnitten im Text. gr. 8. geh. n.  $\mathcal{M}$  9.—, geb. n.  $\mathcal{M}$  10.60.
- I. Teil: Analytische Geometrie der Ebene, von O. Fort. 7. Aufl. von R. Heger. XVII, 268 S. 1904. geh. n.  $\mathcal{M}$  4.—, geb. n.  $\mathcal{M}$  4.80.
- II. „ Analytische Geometrie des Raumes, v. O. Schlömilch. 6. Aufl. von R. Heger. VIII, 338 S. 1898. geh. n.  $\mathcal{M}$  5.—, geb. n.  $\mathcal{M}$  5.80.
- Ganter, H., und F. Rudio, die Elemente der analytischen Geometrie. Zum Gebrauch an höheren Lehranstalten, sowie zum Selbststudium. Mit zahlreichen Übungsbeispielen. In 2 Teilen. Mit vielen Fig. gr. 8.
- I. Teil: Ganter u. Rudio, die analytische Geometrie der Ebene. 7., verbesserte Aufl. VIII, 190 S. 1910. geb. n.  $\mathcal{M}$  3.—
- II. „ Rudio, die analytische Geometrie des Raumes. 4., verbesserte Auflage. X, 194 S. 1908. geb. n.  $\mathcal{M}$  3.—
- Graefe, Fr., Aufgaben und Lehrsätze aus der analytischen Geometrie des Punktes, der geraden Linie, des Kreises und der Kegelschnitte. Für Studierende an Universitäten und Technischen Hochschulen. IV, 136 S. gr. 8. 1885. geh. n.  $\mathcal{M}$  2.40, geb. n.  $\mathcal{M}$  3.20.
- Auflösungen und Beweise der Aufgaben und Lehrsätze aus der analytischen Geometrie des Punktes, der geraden Linie, des Kreises und der Kegelschnitte. Für Studierende an Universitäten und Technischen Hochschulen. IV, 269 S. gr. 8. 1886. geh. n.  $\mathcal{M}$  4.80, geb. n.  $\mathcal{M}$  5.60.
- Aufgaben und Lehrsätze aus der analytischen Geometrie des Raumes, insbesondere der Flächen zweiten Grades. Für Studierende an Universitäten u. Techn. Hochsch. XIV, 127 S. gr. 8. 1888. geh. n.  $\mathcal{M}$  3.—, geb. n.  $\mathcal{M}$  3.80.
- Auflösungen und Beweise der Aufgaben und Lehrsätze aus der analytischen Geometrie des Raumes, insbesondere der Flächen zweiten Grades. Für Studierende an Universitäten und Technischen Hochschulen. XVI, 353 S. gr. 8. 1890. geh. n.  $\mathcal{M}$  8.—, geb. n.  $\mathcal{M}$  9.—
- Graßmann, H., projektive Geometrie der Ebene. Unter Benutzung der Punkt-rechnung dargestellt. 2 Bände. Mit zahlreichen Fig.
- I. Band: Binäres. Mit zahlreichen Fig. XII, 360 S. gr. 8. 1909. geh. n.  $\mathcal{M}$  12.—, geb. n.  $\mathcal{M}$  13.—
- II. „ Ternäres. I. Teil. XII, 410 S. gr. 8. 1913. geh. n.  $\mathcal{M}$  18.—, geb. n.  $\mathcal{M}$  19.—
- [Gregorius a St. Vincentio.] Die Kegelschnitte des Gregorius a St. Vincentio in vergleichender Bearbeitung. Von K. Bopp. III, 228 S. gr. 8. 1907. geh. n.  $\mathcal{M}$  10.—

## Verlag von B. G. Teubner in Leipzig und Berlin

**Gundelfinger, S.**, Vorlesungen aus der analytischen Geometrie der Kegelschnitte, herausg. von Fr. Dingeldey. Mit Fig. und einem Anhang, enthaltend Aufgaben und weitere Ausführungen. VIII, 454 S. gr. 8. 1895. geh. n.  $\mathcal{M}$  12.—

**Heffter, L., u. C. Koehler**, Lehrbuch der analytischen Geometrie. 2 Bände. I. Band: Geometrie in den Grundgebilden erster Stufe und in der Ebene. Mit 136 Textfiguren. XVI, 526 S. gr. 8. 1905. geb. n.  $\mathcal{M}$  14.— [II. Band in Vorbereitung.]

**Hesse, O.**, Vorlesungen aus der analytischen Geometrie der geraden Linie, des Punktes und des Kreises in der Ebene. 4. Auflage, revidiert und ergänzt von S. Gundelfinger. VIII, 251 S. gr. 8. 1906. geb. n.  $\mathcal{M}$  6.—

**Hochheim, A.**, Aufgaben aus der analytischen Geometrie der Ebene. 3 Hefte, in je 2 Teilen. gr. 8. geh.

Heft I: Die gerade Linie, der Punkt, der Kreis. 4., vermehrte Auflage, bearbeitet von O. Jahn und Fr. Hochheim. 1911

A. Aufgaben. VI, 104 S. geb. n.  $\mathcal{M}$  2.40.

B. Auflösungen. II, 136 S. geb. n.  $\mathcal{M}$  2.60.

Heft II: Die Kegelschnitte. Abteilung I. 3., vermehrte Auflage, bearbeitet von O. Jahn und Fr. Hochheim.

A. Aufgaben. IV, 90 S. 1906. geb. n.  $\mathcal{M}$  1.80.

B. Auflösungen. Mit Figuren. 106 S. 1908. geh. n.  $\mathcal{M}$  1.60, geb. n.  $\mathcal{M}$  2.20.

Heft III: Die Kegelschnitte. Abteilung II, 2. Auflage 1911.

A. Aufgaben. 69 S. geh. n.  $\mathcal{M}$  1.20, geb. n.  $\mathcal{M}$  1.80.

B. Auflösungen. 100 S. geh. n.  $\mathcal{M}$  1.80, geb. n.  $\mathcal{M}$  2.40.

**Klein, F.**, autographierte Vorlesungshefte. 4. geh.

Höhere Geometrie. Unveränderter Abdruck 1907.

Heft 1, 566 Seiten (W.-S. 1892/93) } zusammen n.  $\mathcal{M}$  15.—  
Heft 2, 388 Seiten (S.-S. 1893)

**Loria, G.**, spezielle algebraische und transzendente ebene Kurven, Theorie und Geschichte. Autorisierte deutsche Ausgabe von Fr. Schütte. In 3 Bänden. gr. 8. 2. Auflage

I. Band: Die algebraischen Kurven. Mit 142 Fig. XVIII, 498 S. 1910. geh. n.  $\mathcal{M}$  16.50, in Leinw. geb. n.  $\mathcal{M}$  18.—

II. „ Die transzendenten und die abgeleiteten Kurven. Mit 80 Fig. VIII, 384 S. 1911. geh. n.  $\mathcal{M}$  12.50, geb.  $\mathcal{M}$  14.—

**Mehmke, B.**, Vorlesungen über Punkt- und Vektorenrechnung. In 2 Bänden. I. Band: Punktrechnung. Erster Teilband. Mit 152 Fig. VIII, 394 S. gr. 8. 1913. geh. n.  $\mathcal{M}$  14.—

**Repertorium der höheren Mathematik.** Von E. Pascal. 2., völlig umgearbeitete Auflage der deutschen Ausgabe von P. Epstein, R. Rothe und H. E. Timerding. 2 Bände in 4 Teilen: I, 1. Analysis. geb.  $\mathcal{M}$  10.— II, 1. Geometrie. geb.  $\mathcal{M}$  10.— [I. 2 und II. 2 in Vorb.]

**Runge, C.**, analytische Geometrie der Ebene. Mit 75 Fig. IV, 198 S. gr. 8. 1908. geb. n.  $\mathcal{M}$  6.—

**Salmon, G.**, analytische Geometrie der Kegelschnitte mit besonderer Berücksichtigung der neueren Methoden. Frei bearbeitet von W. Fiedler. 3 Teile. gr. 8. geh. n.  $\mathcal{M}$  17.—, geb. n.  $\mathcal{M}$  19.—

I. Teil: 7., verbesserte Auflage. XXXIV, 444 S. 1907. geb. n.  $\mathcal{M}$  10.—

II. „ 6. Aufl. XXIV u. S. 443—854. 1903. geh. n.  $\mathcal{M}$  8.—, geb. n.  $\mathcal{M}$  9.—

— analytische Geometrie der höheren ebenen Kurven. Deutsch bearbeitet von W. Fiedler. 2., verbesserte Auflage. XVI, 508 S. gr. 8. 1882. geh. n.  $\mathcal{M}$  11.20, geb. n.  $\mathcal{M}$  12.20.

— analytische Geometrie des Raumes. Deutsch bearb. v. W. Fiedler. 2 Tle. gr. 8.

I. Teil: Die Elemente und die Theorie der Flächen zweiten Grades. 4., verbesserte Auflage. Mit Holzschnitten. XXIV, 448 S. 1898. geh. n.  $\mathcal{M}$  8.—, geb. n.  $\mathcal{M}$  9.—

II. „ Analytische Geometrie der Kurven im Raume, der Strahlensysteme und der algebraischen Flächen. 3. Auflage. Mit Holzschnitten. LXXXII, 686 S. 1880. geh. n.  $\mathcal{M}$  16.—, geb. n.  $\mathcal{M}$  17.40.

**Sauerbeck, P.**, Einleitung in die analytische Geometrie der höheren algebraischen Kurven. Mit 76 Abb. VI, 166 S. gr. 8. 1902. geh. n.  $\mathcal{M}$  8.—

## Verlag von B. G. Teubner in Leipzig und Berlin

- Schröder, J., Aufgaben für den Unterricht in der analytischen Geometrie der Ebene an höheren Schulen. Mit 2 Figurentafeln. IV, 49 S. gr. 8. 1910. steif brosch. n.  $\mathcal{M}$  1.40.
- Severi, F., Vorlesungen über algebraische Geometrie. Geometrie auf einer Kurve Riemannsche Flächen. Abelsche Integrale. Autorisierte deutsche Ausgabe von E. Löffler. gr. 8. [Unter der Presse.]
- Study, E., Vorlesungen über ausgewählte Gegenstände der Geometrie. ca. 5 Bände von je 10–12 Bogen. gr. 8. steif geh.
1. Heft: Ebene analytische Kurven und zu ihnen gehörige Abbildungen. Mit 9 Fig. IV, 126 S. 1911. n.  $\mathcal{M}$  4.80.
  2. „ Unter Mitwirkung von W. Blaschke. Konforme Abbildung einfach-zusammenhängender Bereiche. Mit 43 Fig. VIII, 142 S. 1913. n.  $\mathcal{M}$  5.60.
- Thomae, J., Grundriß einer analytischen Geometrie der Ebene. Mit 8 Fig. X, 183 S. gr. 8. 1906. geb. n.  $\mathcal{M}$  3.60.

### b. Liniengeometrie.

- Clebsch, A., Vorlesungen über Geometrie. Unter besonderer Benutzung der Vorträge von A. Clebsch bearb. und herausg. von F. Lindemann. Mit Vorwort von F. Klein. 2. Band. I. Teil. Die Flächen erster und zweiter Ordnung oder Klasse und der lineare Komplex. Mit vielen Fig. VIII, 650 S. gr. 8. 1891. geh. n.  $\mathcal{M}$  12.—
- Study, E., Geometrie der Dynamen. Die Zusammensetzung von Kräften und verwandte Gegenstände der Geometrie. Mit 46 Fig. und 1 Tafel. XIII, 603 S. gr. 8. 1903. geh. n.  $\mathcal{M}$  21.—, geb. n.  $\mathcal{M}$  23.—

### c. Differentialgeometrie.

- Bianchi, L., Vorlesungen über Differentialgeometrie. Autorisierte deutsche Übersetzung von M. Lukat. 2., vermehrte und verbesserte Auflage. XVIII, 721 S. gr. 8. 1910. geh. n.  $\mathcal{M}$  22.60, geb. n.  $\mathcal{M}$  24.60.
- Cesàro, E., Vorlesungen über natürliche Geometrie. Autor. deutsche Ausgabe von G. Kowalewski. Mit 48 Fig. VIII, 341 S. gr. 8. 1901. geb. n.  $\mathcal{M}$  12.—
- Joachimsthal, F., Anwendung der Differential- und Integralrechnung auf die allgemeine Theorie der Flächen und der Linien doppelter Krümmung. 3., vermehrte Aufl. von L. Natani. Mit zahlreichen Fig. X, 808 S. gr. 8. 1890. geh. n.  $\mathcal{M}$  6.—, geb. n.  $\mathcal{M}$  7.— [Vergr.]
- Klein, F., autographierte Vorlesungshefte. 4. geh.  
Anwendung der Differential- und Integralrechnung auf Geometrie, eine Revision der Prinzipien (S.-S. 1901). Neuer Abdr. 1907. VIII, 434 S. n.  $\mathcal{M}$  10.—
- Knoblauch, J., Einleitung in die allgemeine Theorie der krummen Flächen. VIII, 267 S. gr. 8. 1888. geh. n.  $\mathcal{M}$  8.—
- Differentialgeometrie. X, 634 S. gr. 8. 1913. geh. n.  $\mathcal{M}$  18.—, geb. n.  $\mathcal{M}$  20.—
- v. Lillienthal, R., Vorlesungen über Differentialgeometrie. In 2 Bänden. gr. 8. geb.
- I. Band: Kurventheorie. Mit 26 Fig. VI, 368 S. 1908. n.  $\mathcal{M}$  12.—
  - II. „ Flächentheorie. Erster Teil. VIII, 270 S. 1913. geh. n.  $\mathcal{M}$  12.—, geb. n.  $\mathcal{M}$  13.—
- Grundlagen einer Krümmungslehre der Kurvenscharen. VII, 114 S. gr. 8. 1896. geh. n.  $\mathcal{M}$  5.—
- Meyer, W. Fr., über die Theorie benachbarter Geraden und einen verallgemeinerten Krümmungsbegriff. Eine Ergänzung zu den Lehrbüchern über Differentialgeometrie. XVIII, 152 S. gr. 8. 1911. geh. n.  $\mathcal{M}$  8.—, geb. n.  $\mathcal{M}$  9.—
- Schell, W., allgemeine Theorie der Kurven doppelter Krümmung in rein geometrischer Darstellung. Mit Holzschnitten. 2. erweit. Aufl. VIII, 163 S. gr. 8. 1898. geh. n.  $\mathcal{M}$  5.— [3. neubearb. Aufl. von E. Salkowski in Vorb.]
- v. Stahl, H., u. V. Kommerell, die Grundformeln der allgemeinen Flächentheorie. Mit 1 lithographischen Tafel. VI, 114 S. gr. 8. 1893. geh. n.  $\mathcal{M}$  4.—
- Wilczynski, E. J., projective differential Geometry of Curves and ruled Surfaces. VIII, 298 S. gr. 8. 1906. geb. n.  $\mathcal{M}$  10.—

Verlag von B. G. Teubner in Leipzig und Berlin

## Fortschritte der mathematischen Wissenschaften in Monographien

Herausgegeben von  
Prof. Dr. Otto Blumenthal in Aachen.

gr. 8. Steif geheftet.

Unter obigem Titel gibt O. Blumenthal im Verlage von B. G. Teubner eine Sammlung von Monographien heraus, in denen die Ergebnisse neuerer Forschungen auf dem Gebiete der reinen und angewandten Mathematik zusammenfassend dargestellt werden sollen. Als äußere Grenze des Unternehmens ist der Bereich der Mathematischen Enzyklopädie gedacht.

Bisher erschienen in dieser Sammlung:

1. H. Minkowski, Zwei Abhandlungen über die Grundgleichungen der Elektrodynamik. Mit Einleitung von O. Blumenthal. [82 S.] 1910. n. M. 2.40.
2. H. A. Lorentz, A. Einstein und H. Minkowski, das Relativitätsprinzip. Eine Sammlung von Abhandlungen. VIII, 84 S., 1913. ca. n. M. 3.—
3. D. Hilbert, Grundzüge einer allgem. Theorie der linearen Integralgleichungen. XXVI, 282 S. 1912. n. M. 11.—

In Vorbereitung bes. unter der Presse (\*) befinden sich:

- S. Bernstein, Einführung in die allgemeine Theorie der partiellen Differentialgleichungen von elliptischem Typus.
- \* O. Blumenthal, Grundlag. d. Theorie der ganzen Funktionen unendlich. Ordnung.
- C. Carathéodory, Der Picardsche Satz und seine Verallgemeinerungen.
- M. von Smoluchowsky, grundsätzliche Fragen der kinetischen Gastheorie.

---

## E. Pascals Repertorium der höheren Mathematik

Zweite, völlig umgearbeitete Auflage der deutschen Ausgabe.

Unter Mitwirkung zahlreicher Mathematiker herausgegeben von

Dr. P. Epstein

Dr. H. E. Timerding

Professor a. d. Universität Straßburg Prof. a. d. Techn. Hochschule Braunschweig

und Dr. R. Rothe

Professor an der Techn. Hochsch. Hannover.

2 Bände in 4 Teilen. 8. In Leinwand geb.

I. Band: Analysis. Unter Mitwirkung von R. Fricke, Ph. Furtwängler, A. Guldberg, H. Hahn, E. Hecke, E. Jahnke, H. Jung, G. Kowalewski, A. Loewy, E. Pascal, H. E. Timerding hrsg. von P. Epstein und R. Rothe. I. Hälfte; Algebra, Differential- und Integralrechnung. [XV u. 527 S.] 1910. n. M. 10.— [Die II. Hälfte befindet sich unter der Presse.]

II. Band: Geometrie. Unter Mitwirkung von L. Berzolari, R. Bonola, E. Ciani, M. Dehn, G. Dingeldey, F. Enriques, G. Giraud, G. Guareschi, L. Heffter, W. Jacobsthal, H. Liebmann, J. Møllerup, J. Neuberg, U. Perazzo, O. Staudé, E. Steinitz, H. Wieleitner, K. Zindler herausgegeben von H. E. Timerding. I. Hälfte: Grundlagen und ebene Geometrie. [XVI und 534 S.] 1910. n. M. 10.— [Die II. Hälfte befindet sich unter der Presse.]

Das Werk soll eine Übersicht über das weite Gebiet der Algebra, Analysis, und Geometrie im einzelnen, und eine Darlegung ihrer allgemeinen Prinzipien und Methoden geben und von dem heutigen Stand der Forschung Rechenschaft ablegen, es soll so nicht bloß zur Führung und Orientierung während des mathematischen Studienganges dienen, sondern auch eine brauchbare Hilfe bei selbständiger wissenschaftlicher Arbeit gewähren.